



TUGAS AKHIR (RC18-4803)

**DESAIN MODIFIKASI STRUKTUR GEDUNG
APARTEMEN ARUNDAYA MENGGUNAKAN SISTEM
BALOK PRATEKAN PADA LANTAI 5 SEBAGAI
BALLROOM DAN MENGGUNAKAN METODE BETON
PRACETAK**

MUHAMMAD ALI AZMI
NRP. 03111640000038

Dosen Pembimbing I
Prof. Dr. Ir. Triwulan, DEA.

Dosen Pembimbing II
Prof. Dr. Ir. I Gusti Putu Raka

DEPARTEMEN TEKNIK SIPIL
Fakultas Teknik Sipil, Perencanaan, dan Kebumian
Institut Teknologi Sepuluh Nopember
Surabaya
2020



TUGAS AKHIR (RC18-4803)

**DESAIN MODIFIKASI STRUKTUR GEDUNG
APARTEMEN ARUNDAYA MENGGUNAKAN SISTEM
BALOK PRATEKAN PADA LANTAI 5 SEBAGAI
BALLROOM DAN MENGGUNAKAN METODE BETON
PRACETAK**

MUHAMMAD ALI AZMI
NRP. 03111640000038

Dosen Pembimbing I
Prof. Dr. Ir. Triwulan, DEA.

Dosen Pembimbing II
Prof. Dr. Ir. I Gusti Putu Raka

DEPARTEMEN TEKNIK SIPIL
Fakultas Teknik Sipil, Perencanaan, dan Kebumian
Institut Teknologi Sepuluh Nopember
Surabaya
2020

“Halaman ini sengaja dikosongkan...”



FINAL PROJECT (RC18-4803)

**STRUCTURAL MODIFICATION DESIGN OF THE
ARUNDAYA APARTMENT BUILDING USING
PRESTRESSED CONCRETE BEAM SYSTEM ON THE 5TH
FLOOR AS BALLROOM AND APPLYING PRECAST
CONCRETE METHOD**

MUHAMMAD ALI AZMI
NRP. 03111640000038

Academic Supervisor I
Prof. Dr. Ir. Triwulan, DEA.

Academic Supervisor II
Prof. Dr. Ir. I Gusti Putu Raka

DEPARTMENT OF CIVIL ENGINEERING
Faculty of Civil, Planning, and Geo Engineering
Sepuluh Nopember Institute of Technology
Surabaya
2020

“Halaman ini sengaja dikosongkan...”

DESAIN MODIFIKASI STRUKTUR GEDUNG APARTEMEN ARUNDAYA MENGGUNAKAN SISTEM BALOK PRATEKAN PADA LANTAI 5 SEBAGAI *BALLROOM* DAN MENGGUNAKAN METODE BETON PRACETAK

TUGAS AKHIR

Diajukan untuk Memenuhi Salah Satu Syarat
Memperoleh Gelar Sarjana Teknik
pada

Program Studi S-1 Departemen Teknik Sipil
Fakultas Teknik Sipil, Perencanaan, dan Kebumian
Institut Teknologi Sepuluh Nopember

Oleh:

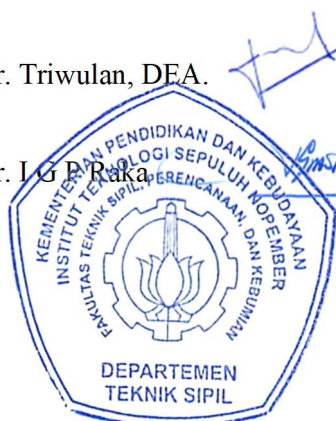
MUHAMMAD ALI AZMI

NRP. 03111640000038

Disetujui oleh Pembimbing Tugas Akhir:

1. Prof. Dr. Ir. Triwulan, DEA.  (Pembimbing I)

2. Prof. Dr. Ir. I.G P Raka  (Pembimbing II)



**SURABAYA
JULI 2020**

“Halaman ini sengaja dikosongkan...”

**DESAIN MODIFIKASI STRUKTUR GEDUNG
APARTEMEN ARUNDAYA MENGGUNAKAN SISTEM
BALOK PRATEKAN PADA LANTAI 5 SEBAGAI
BALLROOM DAN MENGGUNAKAN METODE BETON
PRACETAK**

Nama Mahasiswa : Muhammad Ali Azmi
NRP : 03111640000038
Jurusan : Teknik Sipil FTSPK – ITS
Dosen Pembimbing : 1. Prof. Dr. Ir. Triwulan, DEA.
 2. Prof. Dr. Ir. I Gusti Putu Raka

ABSTRAK

Ketersediaan lahan untuk hunian semakin sedikit akibat kebutuhan terhadap hunian yang terus meningkat. Hal ini yang menjadikan hunian vertikal seperti apartemen menjadi salah satu alternatif dari permasalahan tersebut. Pada saat ini sebagian besar masyarakat di kota-kota besar, salah satunya di kota Surabaya sering menggunakan ballroom sebagai tempat penyelenggaraan acara besar, seperti Wedding party, Birthday party, dan acara besar lainnya, karena kapasitasnya yang besar. Maka dari itu, kebutuhan masyarakat akan apartemen yang memiliki banyak fasilitas umum semakin meningkat. Akan tetapi, pembangunan apartemen memiliki masalah terhadap waktu yaitu pembangunannya yang relatif lama. Dengan perkembangan teknologi konstruksi, apartemen dan struktur gedung bertingkat lainnya dapat didirikan dengan waktu yang lebih singkat dan relatif lebih ekonomis dengan menggunakan metode beton pracetak.

Struktur bangunan beton merupakan struktur gedung yang paling banyak digunakan karena memiliki sifat yang awet dan minim perawatan. Pada Gedung Apartemen The Arundaya terdapat 3 tower yang masing-masingnya terdiri dari 47 lantai dan 3 lantai basement. Apartemen The Arundaya didirikan dengan struktur utama menggunakan beton bertulang melalui metode cor

in-situ. Gedung ini akan direncanakan ulang dimana pada lantai 5 difungsikan sebagai gedung pertemuan atau ballroom untuk penyelenggaraan acara-acara formal. Struktur balok prategang akan digunakan pada lantai 5 agar dapat menahan beban yang ada tanpa adanya kolom di tengah ruangan. Serta menggunakan beton pracetak pada elemen pelat dan balok. Perlu ada perlakuan khusus pada sambungan antar elemen-elemen pracetak agar dapat bersifat monolit.

Pada perhitungan struktur gedung ini mengacu pada Standar Perencanaan ketahanan gempa untuk struktur bangunan gedung SNI 1726:2019, Persyaratan beton struktural untuk bangunan gedung SNI 2847:2019, Beban minimum untuk perancangan bangunan gedung dan struktur lain SNI 1727:2013, Peraturan pembebanan indonesia untuk bangunan gedung PPIUG 1983. Dalam menganalisis struktur dan desain bangunan penulis menggunakan ETABS sebagai program bantu. Pada tugas akhir ini akan membahas perancangan struktur gedung Apartemen Arundaya Surabaya, sehingga akan menghasilkan perencanaan yang berisikan spesifikasi dan gambar yang sesuai dengan perencanaan struktur yang mengacu pada peraturan dan standarisasi yang berlaku.

Kata Kunci: Balok Prategang, Beton Pracetak, Gempa, Monolit, Sambungan.

STRUCTURAL MODIFICATION DESIGN OF THE ARUNDAYA APARTMENT BUILDING USING PRESTRESSED CONCRETE BEAM SYSTEM ON THE 5TH FLOOR AS BALLROOM AND APPLYING PRECAST CONCRETE METHOD

Name : Muhammad Ali Azmi
NRP : 03111640000038
Department : Civil Engineering – FTSPK ITS
**Supervisor : 1. Prof. Dr. Ir. Triwulan, DEA.
2. Prof. Dr. Ir. I Gusti Putu Raka**

ABSTRACT

The availability of land for housing is decreasing due to the increasing need for housing. This makes vertical residence such as apartments one alternative to the problem. At this time most people in big cities, often uses ballrooms as a venue for large events, such as Wedding parties, Birthday parties, and other large events, because of their large capacity. Therefore, the community's need for apartments with many public facilities is increasing. However, the construction of apartments has a problem which is the construction time is relatively long. With the development of construction technology, apartments and other multi-storey building structures can be built in a shorter and relatively more economical time using the precast concrete method.

Concrete building structure is the most widely used building structure because it has the properties of a durable and minimal maintenance. In The Arundaya Apartment Building there are 3 towers, each consisting of 47 floors and 3 basement floors. The Arundaya Apartment was built using reinforced concrete through the in-situ cast method. This building will be re-planned where on the 5th floor functioned as a meeting hall or ballroom for organizing formal events. The prestressed beam structure will be used on the 5th floor in order to be able to withstand the existing load without a column in the middle of the room. And using precast

concrete on slab and beam elements. There needs to be special treatment in the connection between precast elements so that they can be monolithic.

In the calculation of this building structure refers to the earthquake resistance planning standards for building structures SNI 1726:2019, structural concrete requirements for buildings SNI 2847:2019, minimum load for building design and other structures SNI 1727:2013, Indonesian loading regulations for buildings PPIUG 1983. In order to get the structural analysis and design of the building, the writer uses ETABS as the engineering software. In this final project will discuss the design of the Surabaya Arundaya Apartment building structure, so that it will produce a plan that contains specifications and drawings in accordance with the structural planning that refers to the applicable regulations and standardization.

Keywords: ***Precast concrete, Pre-stressed beam, Earthquake, Monolith, Connection.***

KATA PENGANTAR

Puji dan syukur ke hadirat Tuhan Yang Maha Esa karena atas berkat rahmat, kasih dan bimbingan-Nya penulis dapat menyelesaikan Tugas Akhir yang berjudul “Desain Modifikasi Struktur Gedung Apartemen Arundaya Menggunakan Sistem Balok Pratekan pada Lantai 5 sebagai *Ballroom* dan Menggunakan Metode Beton Pracetak” ini dengan baik dan tepat waktu. Pada kesempatan kali ini, penulis mengucapkan terima kasih yang sebesar-besarnya kepada pihak-pihak yang telah membantu dalam penyelesaian Tugas Akhir ini dalam bentuk bimbingan juga dukungan moril yang diberikan kepada Penulis. Ucapan tersebut dikhususkan kepada:

1. Orang tua serta saudara dan keluarga yang telah memberikan semangat selama menjalani perkuliahan di ITS.
2. Prof. Dr. Ir. Triwulan, DEA. selaku Dosen Pembimbing I yang telah memberikan bimbingannya dalam proses penyusunan Tugas Akhir ini.
3. Prof. Dr. Ir. I Gusti Putu Raka selaku Dosen Pembimbing II yang telah memberikan bimbingannya dalam proses penyusunan Tugas Akhir ini.
4. Seluruh dosen pengajar di Departemen Teknik Sipil yang telah mengajar dan membimbing selama masa perkuliahan.
5. Freaky Reborn yang terdiri dari Beryl, Salman, Wong, Idoz, Kydut, Bayu, dan Giris yang telah memberikan warna baru dalam dunia perkuliahan.
6. Diaz, Avi, Shalva, Beryl, Naufal, Ajeng, Vira, Fida, dan Lulu yang selalu memberikan perhatian dan semangat tiada henti.
7. Nazhif, Ihza, Farras, Ipank, dan Eja yang tetap menjaga saya untuk berada di jalan yang benar.

8. Rekan – rekan BPH HMS 2018/2019 yang selalu bercanda tetapi memberi pembelajaran yang luar biasa.
9. HMS Cakrawala yang telah memberikan pembelajaran yang tidak akan bisa didapatkan di tempat lain.
10. Rekan – rekan S-59 serta semua pihak yang telah memberikan bantuan dalam proses penyusunan Tugas Akhir ini

Dalam penulisan Tugas Akhir ini, saya menyadari bahwa masih ada kekurangan. Maka kritik dan saran yang bersifat membangun sangat saya harapkan demi laporan ini.

Semoga Tugas Akhir ini dapat memberikan manfaat bagi pembaca, penulis dan semua pihak yang terkait.

Surabaya, 30 Juli 2020

Penulis

DAFTAR ISI

LEMBAR PENGESAHAN	v
ABSTRAK	vii
ABSTRACT	ix
KATA PENGANTAR	xi
DAFTAR ISI	xiii
DAFTAR GAMBAR	xix
DAFTAR TABEL	xxvii
BAB I PENDAHULUAN	1
1.1. Latar Belakang	1
1.2. Perumusan Masalah	5
1.2.1. Permasalahan Utama	5
1.2.2. Detail Permasalahan	5
1.3. Tujuan	6
1.3.1. Umum	6
1.3.2. Khusus	6
1.4. Batasan Masalah	6
1.5. Manfaat Penulisan	7
BAB II TINJAUAN PUSTAKA	9
2.1. Umum	9
2.2. Sistem Struktur	9
2.2.1. Daktilitas Struktur Bangunan dan Pembebanan Nominal 9	
2.2.2. Konsep <i>Strong Column Weak Beam</i>	10
2.3. Sistem Beton Pratekan	10
2.4. Desain Balok Prategang	10
2.5. Tahap Pembebanan Prategang	11
2.5.1. Tahap Awal	11
2.5.2. Tahap Antara (Intermediate)	12
2.5.3. Tahap Akhir	12

2.6.Dampak Pemberian Pasca Tarik Pada Balok Terhadap Gedung Bertingkat	14
2.7.Sistem Monolit pada Balok Prategang	17
2.8.Beton Pracetak	18
2.9.Elemen Struktur Beton Pracetak	20
2.9.1. Pelat Pracetak.....	20
2.9.2. Balok Pracetak	21
2.10. Sambungan Beton Pracetak	23
2.10.1. Sambungan Kering dengan Menggunakan Baut	23
2.10.2. Sambungan Kering dengan Menggunakan Las	24
2.10.3. Sambungan Basah dengan Cor di Tempat.....	25
2.11. Pondasi	25
2.11.1. Tiang Pancang.....	29
BAB III METODOLOGI	31
3.1.Umum.....	31
3.2.Bagan Alir Penyelesaian Tugas Akhir	31
3.3.Pengumpulan Data.....	33
3.4.Studi Literatur.....	34
3.5.Preliminary Design	34
3.5.1. Preliminary Design Struktur Utama Non Prategang...	34
3.5.2. Preliminary Design Struktur Prategang	35
3.6.Perencanaan Struktur Sekunder	36
3.6.1. Perencanaan Pelat	36
3.6.2. Perhitungan Balok Anak	40
3.7.Pembebanan.....	41
3.7.1. Beban Mati.....	41
3.7.2. Beban Hidup	41
3.7.3. Beban Gempa.....	41
3.7.4. Kombinasi Pembebanan.....	46
3.8.Analisa Struktur.....	46
3.8.1. Kontrol Permodelan Struktur	46
3.9.Perencanaan Struktur	49
3.9.1. Perencanaan Struktur Utama Non Prategang	49
3.9.2. Perencanaan Struktur Utama Prategang	51
3.10. Pengangkuran.....	63

3.11. Sistem Hubungan Balok Kolom	64
3.11.1. Metode Pelaksanaan Beton Prategang dengan Sistem Monolit	64
3.12. Perencanaan Sambungan	66
3.12.1. Perencanaan Sambungan pada Balok-Kolom.....	67
3.12.2. Perencanaan Sambungan Balok Induk dengan Balok Anak	68
3.12.3. Perencanaan Sambungan Balok Induk dengan Pelat	69
3.13. Design Bangunan Bawah	70
3.13.1. Perencanaan Basement.....	70
3.13.2. Perencanaan Pondasi.....	70
3.14. Gambar Output.....	73
BAB IV PEMBAHASAN	75
4.1. Preliminary Design	75
4.1.1. Umum	75
4.1.2. Data Perencanaan.....	75
4.1.3. Pembebanan	76
4.1.4. Perencanaan Balok	76
4.1.5. Perencanaan Tebal Pelat	79
4.1.6. Perencanaan Kolom	88
4.1.7. Perencanaan Tebal Dinding Geser dan Basement	95
4.2. Perencanaan Struktur Sekunder	96
4.2.1. Umum	96
4.2.2. Perencanaan Tangga	96
4.2.3. Perencanaan Struktur Pelat	110
4.2.4. Perencanaan Balok Anak	133
4.3. Pembebanan dan Analisis Struktur	153
4.3.1. Umum	153
4.3.2. Permodelan Struktur	153
4.3.3. Pembebanan Gravitasi.....	154
4.3.4. Pembebanan Gempa Dinamis	159
4.4. Perencanaan Struktur Utama Pratekan.....	173
4.4.1. Umum	173
4.4.2. Data Perencanaan Beton Pratekan.....	173
4.4.3. Mencari Lebar Efektif	175

4.4.4. Penentuan Tegangan Ijin Baja dan Beton.....	175
4.4.5. Perhitungan Pembebaan	177
4.4.6. Penentuan Gaya Pratekan Balok Prategang.....	177
4.4.7. Penentuan Tendon yang Digunakan	184
4.4.8. Perhitungan Kehilangan Gaya Prategang	185
4.4.9. Kontrol Gaya Prategang Setelah Kehilangan	190
4.4.10. Kontrol Lendutan	194
4.4.11. Perencanaan Kebutuhan Tulangan Lunak	196
4.4.12. Kontrol Momen Nominal Setelah adanya Tulangan	203
4.4.13. Kontrol Momen Retak.....	206
4.4.14. Daerah Limit Tendon	208
4.4.15. Pengangkuran Ujung.....	209
4.4.16. Metode Pelaksanaan.....	211
4.5. Perencanaan Struktur Utama Non Prategang	212
4.5.1. Perencanaan Struktur Balok Induk	212
4.5.2. Perencanaan Struktur Kolom	247
4.5.3. Perencanaan Struktur Dinding Geser	261
4.6. Perencanaan Sambungan	275
4.6.1. Umum	275
4.6.2. Konsep Desain Sambungan.....	276
4.6.3. Perencanaan Konsol pada Elemen Pracetak	277
4.6.4. Perencanaan Sambungan Balok-Kolom	283
4.6.5. Perencanaan Sambungan Balok Induk dan Balok Anak	291
4.6.6. Perencanaan Sambungan Pelat dan Balok.....	297
4.6.7. Perencanaan Sambungan Tangga dengan Balok / Shearwall	298
4.7. Perencanaan Struktur Bawah	303
4.7.1. Umum	303
4.7.2. Beban Struktur	303
4.7.3. Spesifikasi Tiang Pancang	306
4.7.4. Data Tanah.....	307
4.7.5. Daya Dukung	307
4.7.6. Perencanaan Poer (<i>Pile Cap</i>).....	323

4.7.7. Perencanaan Basement.....	341
4.7.8. Perencanaan Sloof.....	350
4.8. Metode Pelaksanaan Konstruksi	355
4.8.1. Umum	355
4.8.2. Fabrikasi Beton Pracetak.....	356
4.8.3. Pengangkatan dan Penempatan Crane	356
4.8.4. Transportasi Elemen Beton Pracetak.....	357
4.8.5. Metode Pekerjaan Elemen Beton Pracetak.....	357
BAB V PENUTUP.....	361
5.1. Kesimpulan.....	361
5.2. Saran.....	364
DAFTAR PUSTAKA	365
LAMPIRAN.....	367

“Halaman ini sengaja dikosongkan...”

DAFTAR GAMBAR

Gambar 1. 1 Perspektif Gedung Apartemen Arundaya	2
Gambar 2. 1 Denah Tipikal dan Potongan Gedung yang Diinvestigasi.....	14
Gambar 2. 2 (a) Momen pada Kolom Akibat Pemberian Pasca Tarik pada Lantai Bertingkat, Dasar Kolom terkekang (Jepit). (b) Efek Pemberian Pasca Tarik pada Lantai 10 Terhadap Lantai di Bawahnya.....	15
Gambar 2. 3 Pemberian Gaya 100 Kips pada Balok, Gaya Dalam pada Balok dan Momen yang Terjadi pada Kolom	16
Gambar 2. 4 Momen pada Kolom dan Gaya Prategang pada Balok Setelah 15 Lantai Diberikan Gaya Pasca Tarik Dengan Kolom Terkekang pada Dasarnya (Jepit) (Fintel dan Ghosh, 1978).....	17
Gambar 2. 5 Efek dari Reaksi Horizontal.....	18
Gambar 2. 6 Solid Core Slab.....	20
Gambar 2. 7 Hollow Core Slab	20
Gambar 2. 8 Double Tee Slab	21
Gambar 2. 9 <i>Retangular Beam</i>	22
Gambar 2. 10 <i>L-Shaped Beam</i>	22
Gambar 2. 11 <i>Inverted Tee Beam</i>	22
Gambar 2. 12 Sambungan Menggunakan Baut	24
Gambar 2. 13 Sambungan Menggunakan Las	24
Gambar 2. 14 Sambungan Balok-Kolom dengan Cor di Tempat	25
Gambar 2. 15 <i>Wall Footing</i>	26
Gambar 2. 16 <i>Single column footing</i>	26
Gambar 2. 17 <i>Combined footing</i>	27
Gambar 2. 18 <i>Raft Foundation</i>	28
Gambar 2. 19 <i>Pile Cap</i>	28
Gambar 2. 20 Pondasi Tiang	29
Gambar 3. 1 Bagan Alir Penyelesaian Tugas Akhir	32
Gambar 3. 2 Diagram alir perhitungan penulangan komponen lentur	39

Gambar 3. 3 S _s , Gempa maksimum yang dipertimbangkan risiko tertarget (MCE _R)	42
Gambar 3. 4 S ₁ , Gempa maksimum yang dipertimbangkan risiko tertarget (MCE _R)	43
Gambar 3. 5 Penentuan Simpangan antar Lantai	49
Gambar 3. 6 Daerah Limit Kabel	63
Gambar 3. 7 Bagan Hubungan Balok Kolom	64
Gambar 3. 8 Pekerjaan Kolom Sistem Monolit	65
Gambar 3. 9 Pemberian Gaya Prategang Pada Balok Prategang Sistem Monolit.....	66
Gambar 3. 10 Sambungan balok dengan kolom	67
Gambar 3. 11 Parameter geometri konsol pendek	68
Gambar 3. 12 Sambungan balok induk dengan balok anak	69
Gambar 3. 13 Sambungan balok induk dengan pelat.....	70
Gambar 4. 1 Gambar Denah Pembalokan Lantai 1-4	77
Gambar 4. 2 Variasi Pelat pada Gedung Apartemen Arundaya..	80
Gambar 4. 3 Ilustrasi	82
Gambar 4. 4 Denah Pelat Tipe 550 x 350 cm	83
Gambar 4. 5 Area yang membebani kolom (pembebanan 1-5)...	89
Gambar 4. 6 Denah Lantai 1.....	97
Gambar 4. 7 Desain Perencanaan Tangga	98
Gambar 4. 8 Detail Perencanaan Tangga.....	99
Gambar 4. 9 Beban Hidup dan Mati pada Tangga.....	101
Gambar 4. 10 Gaya Dalam Bidang N pada Tangga.....	105
Gambar 4. 11 Gaya Dalam Bidang D pada Tangga.....	105
Gambar 4. 12 Gaya Dalam Bidang M pada Tangga	105
Gambar 4. 13 Desain Tulangan Pelat Tangga.....	109
Gambar 4. 14 Desain Tulangan Pelat Bordes	109
Gambar 4. 15 Penulangan Pelat Tangga dan Pelat Bordes	110
Gambar 4. 16 Denah pelat yang ditinjau	112
Gambar 4. 17 Pelat yang ditinjau	113
Gambar 4. 18 Pelat yang ditinjau	115
Gambar 4. 19 Posisi titik angkat pelat (4 buah titik angkat)	122
Gambar 4. 20 Pelat yang ditinjau	123
Gambar 4. 21 Titik Angkat Pelat dan Momen yang Terjadi	129

Gambar 4. 22 Dimensi pelat sebelum pengangkatan	130
Gambar 4. 23 <i>Jenka PSA Short Insert</i>	132
Gambar 4. 24 Profil Kait <i>JL</i>	132
Gambar 4. 25 <i>Jenka Lifter</i>	132
Gambar 4. 26 Balok Anak yang ditinjau	134
Gambar 4. 27 Distribusi beban pada balok anak	134
Gambar 4. 28 Pembebanan BA1 Sebelum Komposit	135
Gambar 4. 29 Pembebanan BA 1 Setelah Komposit	135
Gambar 4. 30 Skema penulangan balok anak setelah komposit	141
Gambar 4. 31 Skema penulangan balok anak sebelum komposit	145
Gambar 4. 32 Titik Angkat Balok Anak.....	147
Gambar 4. 33 Letak Titik Pengangkatan	148
Gambar 4. 34 <i>Jenka PSA Short Inserts</i>	151
Gambar 4. 35 Kait <i>JL</i>	151
Gambar 4. 36 Potongan Balok Anak (BA 1) (a) Tumpuan dan (b) Lapangan.....	152
Gambar 4. 37 Potongan pada titik lapangan	152
Gambar 4. 38 Permodelan Apartemen Arundaya dengan ETABS	153
Gambar 4. 39 Grafik Spektrum Respons Desain	162
Gambar 4. 40 Elevasi Tiap Lantai untuk Menghitung Batas Simpangan Gedung	170
Gambar 4. 41 Potongan Melintang Balok Prategang pada Tengah Bentang	178
Gambar 4. 42 Diagram Tegangan pada Tengah Bentang Balok Pratekan Saat Kondisi Transfer	181
Gambar 4. 43 Diagram Tegangan pada Tumpuan Balok Pratekan Saat Kondisi Transfer.....	182
Gambar 4. 44 Diagram Tegangan Penampang Tengah Bentang pada Balok Pratekan Saat Kondisi Service	183
Gambar 4. 45 Diagram Tegangan pada Penampang Tumpuan Balok Pratekan Saat Kondisi Service	184
Gambar 4. 46 Diagram Tegangan pada Penampang Tengah Bentang pada Balok Pratekan Akibat Beban Layan	191

Gambar 4. 47 Diagram Tegangan Penampang Tumpuan Balok Pratekan Akibat Beban layan	192
Gambar 4. 48 Diagram Tegangan pada Penampang Tengah Bentang Balok Pratekan Akibat Beban 1D+1L+1E	193
Gambar 4. 49 Diagram Tegangan pada Penampang Tumpuan Balok Pratekan Akibat Beban 1D+1L+1E.....	194
Gambar 4. 50 Daerah Limit Balok Pratekan.....	209
Gambar 4. 51 Gaya-gaya dalam (N, D, M) BI 1 akibat Beban Gravitasi (D+L).....	213
Gambar 4. 52 Gaya-gaya dalam (N, D, M) BI 1 akibat Beban Gempa (Arah X).....	213
Gambar 4. 53 Gaya-gaya dalam (N, D, M) BI 1 akibat Beban Gempa (Arah Y).....	214
Gambar 4. 54 Gaya-gaya dalam (N, D) BI 1 akibat Beban Kombinasi	214
Gambar 4. 55 Gaya dalam Momen BI 1 akibat Beban Kombinasi pada Daerah Tumpuan.....	214
Gambar 4. 56 Gaya dalam Momen BI 1 akibat Beban Kombinasi pada Daerah Lapangan	215
Gambar 4. 57 Balok BI 1 (50x70) sebagai tinjauan contoh perhitungan.....	216
Gambar 4. 58 Dimensi Balok BI 1	216
Gambar 4. 59 Diagram block tegangan dan regangan beton pada balok induk sisi tumpuan.....	220
Gambar 4. 60 Kontrol Balok T	221
Gambar 4. 61 Penulangan Lentur Balok BI 1	224
Gambar 4. 62 Penulangan Lentur Balok BI 2	224
Gambar 4. 63 Penulangan Lentur Balok BI 3	225
Gambar 4. 64 Penulangan Geser Balok BI 1	229
Gambar 4. 65 Penulangan Geser Balok BI 2	230
Gambar 4. 66 Penulangan Geser Balok BI 3	230
Gambar 4. 67 Skema Gaya Dalam Torsi Balok BI 1	230
Gambar 4. 68 Skema Penulangan Balok BI 1 dengan tambahan Tulangan Torsi	233
Gambar 4. 69 Tinjauan Balok Induk BI 1 sebelum Komposit ..	235

Gambar 4. 70 Distribusi Beban pada Balok Induk	235
Gambar 4. 71 Pembebanan BI 1 sebelum Komposit	236
Gambar 4. 72 Penulangan Balok Induk BI 1 sebelum Komposit	238
Gambar 4. 73 Penulangan Balok Induk BI 2 sebelum Komposit	239
Gambar 4. 74 Penulangan Balok Induk BI 3 sebelum Komposit	239
Gambar 4. 75 Titik Angkat Balok Induk	240
Gambar 4. 76 Titik Angkat Balok Induk BI 1	241
Gambar 4. 77 Jenka PSA Short Inserts	243
Gambar 4. 78 Kait JL	243
Gambar 4. 79 Kolom yang ditinjau	248
Gambar 4. 80 Skema gaya-gaya dalam (N, D, M) maksimum Kolom K4.....	249
Gambar 4. 81 Diagram Interaksi P-M arah X	251
Gambar 4. 82 Diagram Interaksi P-M arah Y	251
Gambar 4. 83 Rasio Tulangan Kolom K1 pada SP Column	252
Gambar 4. 84 Diagram P-M Kolom arah X dengan $f_s = 1,25f_y$	254
Gambar 4. 85 Diagram P-M Kolom arah Y dengan $f_s = 1,25f_y$	254
Gambar 4. 86 Output SpColumn (setelah Mpr)	254
Gambar 4. 87 Ilustrasi Arah Momen Nominal	256
Gambar 4. 88 Denah Shearwall	261
Gambar 4. 89 Diagram Geser Shearwall (SW 1) Arah X	263
Gambar 4. 90 Diagram Geser Shearwall (SW 1) Arah Y	263
Gambar 4. 91 Diagram Momen Shearwall (SW 1) Arah X	264
Gambar 4. 92 Diagram Momen Shearwall (SW 1) Arah Y	264
Gambar 4. 93 Ilustrasi Pendekatan Berbasis Tegangan	268
Gambar 4. 94 Ilustrasi Pendekatan Berbasis Perpindahan	270
Gambar 4. 95 Diagram P-M Shearwall (SW 1) Arah X	273
Gambar 4. 96 Diagram P-M Shearwall (SW 1) Arah Y	273
Gambar 4. 97 Detail Penulangan SW 1	275
Gambar 4. 98 Detail Penulangan SW 2 dan SW 3.....	275
Gambar 4. 99 Detail Sambungan Balok – Kolom	277
Gambar 4. 100 Detail Sambungan Balok-Balok.....	277

Gambar 4. 101 Potongan Melintang dan Geometrik Konsol Pendek	278
Gambar 4. 102 Detail Konsol Pendek pada Kolom	282
Gambar 4. 103 Spesifikasi <i>Standard Coupler</i> (SM) <i>Modix Rebar</i>	284
Gambar 4. 104 Spesifikasi <i>Position Coupler</i> (PM) <i>Modix Rebar</i>	285
Gambar 4. 105 Contoh Penamaan Kode Produk <i>Modix Rebar Coupler</i> dari <i>Peikko Group</i>	286
Gambar 4. 106 Detail Sambungan Balok Induk-Kolom <i>Single Sided Connection</i>	288
Gambar 4. 107 Detail Sambungan Balok Induk-Kolom <i>Double Sided Connection</i>	290
Gambar 4. 108 Contoh Pemasangan <i>BECO Beam Shoe</i>	291
Gambar 4. 109 Sambungan Kuat Balok	292
Gambar 4. 110 Dimensi <i>BECO Beam Shoe</i>	293
Gambar 4. 111 Dimensi <i>COPRA Anchor</i>	294
Gambar 4. 112 Contoh Kode Produk <i>Single Sided Connection</i>	295
Gambar 4. 113 Contoh Kode Produk <i>Double Sided Connection</i>	295
Gambar 4. 114 Detail Sambungan Balok Anak ke Balok Induk (BI 1 – BA1) <i>Single Sided Connection</i>	296
Gambar 4. 115 Detail Sambungan Balok Anak ke Balok Induk (BA1 – BI 1 – BA1) <i>Double Sided Connection</i>	297
Gambar 4. 116 Detail panjang penyaluran pelat	298
Gambar 4. 117 Detail Sambungan Tangga	302
Gambar 4. 118 Denah Pondasi	304
Gambar 4. 119 Pembagian segmen tiang pancang	309
Gambar 4. 120 Grafik Daya Dukung Tanah terhadap Kedalaman	310
Gambar 4. 121 Konfigurasi Tiang Pancang Pondasi Tipe 1	311
Gambar 4. 122 Konfigurasi Tiang Pancang Pondasi Tipe 2	312
Gambar 4. 123 Konfigurasi Tiang Pancang Pondasi Tipe 3	312
Gambar 4. 124 Grup tiang pancang Tipe 1	316
Gambar 4. 125 Diagram Gaya Lateral Tiang	318

Gambar 4. 126 Grafik <i>Immediate Settlement of Isolate Footing</i>	319
Gambar 4. 127 Grafik <i>Influence Value for Laterally Loaded Pile</i>	320
Gambar 4. 128 Grafik <i>Influence Value for Laterally Loaded Pile</i>	321
Gambar 4. 129 Tampak Atas Pile Cap Tipe 1	324
Gambar 4. 130 Ilustrasi Daerah Geser Pons pada Pondasi tipe 1	325
Gambar 4. 131 Ilustrasi Gaya <i>Punching Load</i>	325
Gambar 4. 132 Ilustrasi pembebanan kolom selain bentuk persegi	326
Gambar 4. 133 Area kritis geser pons dua arah Pondasi Tipe 1	327
Gambar 4. 134 Area kritis geser pons dua arah Pondasi Tipe 2	328
Gambar 4. 135 Area kritis geser pons dua arah Pondasi Tipe 3	329
Gambar 4. 136 Area kritis akibat 1 tiang pancang.....	329
Gambar 4. 137 Permodelan 3D Pilecap Tipe 1.....	331
Gambar 4. 138 M11 (a) dan M22 (b) pada Pilecap Tipe 1	331
Gambar 4. 139 Permodelan Pilecap Tipe 2	335
Gambar 4. 140 M11 (a) dan M22 (b) pada Pilecap Tipe 2	336
Gambar 4. 141 Permodelan Pilecap Tipe 3	336
Gambar 4. 142 M11 pada Pilecap Tipe 3	337
Gambar 4. 143 M22 pada Pilecap Tipe 3	337
Gambar 4. 144 Penulangan Pilecap Tipe 1	338
Gambar 4. 145 Penulangan Pilecap Tipe 2	339
Gambar 4. 146 Penulangan Pilecap Tipe 3	340
Gambar 4. 147 Diagram Tegangan pada Dinding <i>Basement</i>	342
Gambar 4. 148 Detail Penulangan Dinding <i>Basement</i>	345
Gambar 4. 149 Denah Pelat Basement	346
Gambar 4. 150 Pelat Basement (PB 1) yang ditinjau.....	346
Gambar 4. 151 Denah Sloof	351
Gambar 4. 152 Luasan tributary sloof yang ditinjau.....	351
Gambar 4. 153 Diagram Interaksi P-M Sloof.....	353
Gambar 4. 154 Ilustrasi Penulangan Lentur Sloof.....	354
Gambar 4. 155 Potongan Sloof	355

Gambar 4. 156 Pemasangan Balok Induk.....	358
Gambar 4. 157 Detail sambungan Kolom – Balok Induk	359
Gambar 4. 158 Detail Sambungan Balok Induk – Balok Anak	359
Gambar 4. 159 Detail Penyambungan Beam Shoe	359
Gambar 4. 160 Pengecoran Topping	360

DAFTAR TABEL

Tabel 3. 1 Tebal Minimum Pelat Tanpa Balok Interior	36
Tabel 4. 1 Rekapitulasi Dimensi Balok Induk	78
Tabel 4. 2 Rekapitulasi Dimensi Balok Anak.....	79
Tabel 4. 3 Rekapitulasi Dimensi Balok Prategang	79
Tabel 4. 4 Tebal minimum balok non prategang atau pelat satu arah bila lendutan tidak dihitung	81
Tabel 4. 5 Rekapitulasi Preliminary Desai Pelat Lantai	87
Tabel 4. 6 Beban yang Diterima Kolom Lantai 16-20.....	91
Tabel 4. 7 Beban yang Diterima Kolom Lantai 11-15.....	92
Tabel 4. 8 Beban yang Diterima Kolom Lantai 6-10.....	93
Tabel 4. 9 Beban yang Diterima Kolom Lantai Basement - 5	94
Tabel 4. 10 Data Perencanaan Tangga	100
Tabel 4. 11 Pembebanan pada Tangga	102
Tabel 4. 12 Gaya Dalam Tangga Kombinasi 1,2D + 1,6L.....	106
Tabel 4. 13 Rekapitulasi Tulangan Tangga	110
Tabel 4. 14 Perhitungan Momen Pelat Sesudah Overtopping...	119
Tabel 4. 15 Data Perencanaan Pelat Sesudah Overtopping	120
Tabel 4. 16 Perhitungan Tulangan Pelat Sesudah Overtopping	121
Tabel 4. 17 Perhitungan Momen Pelat Sebelum Overtopping..	126
Tabel 4. 18 Data Perencanaan Pelat Sebelum Overtopping.....	127
Tabel 4. 19 Perhitungan Tulangan Pelat Sebelum Overtopping	128
Tabel 4. 20 Rekapitulasi Tulangan Pelat	132
Tabel 4. 21 Rekapitulasi Tulangan Balok Anak	152
Tabel 4. 22 Rekapitulasi Pembebanan.....	155
Tabel 4. 23 Hasil Pembebanan Pada ETABS	159
Tabel 4. 24 Kontrol Pembebanan Gravitasi	159
Tabel 4. 25 Parameter Respon <i>Spectral</i> dan Percepatan <i>Spectral</i> Desain	160
Tabel 4. 26 Nilai Periode Fundamental (T) dan Percepatan Respons Spektrum.....	161
Tabel 4. 27 Koefisian Batas Atas Perioda	163
Tabel 4. 28 Modal Periode dan Frekuensi	164
Tabel 4. 29 Berat Efektif Struktur	165

Tabel 4. 30 Gaya Geser Dasar Hasil Analisis Ragam.....	166
Tabel 4. 31 Gaya Geser Dinamik Setelah Faktor Skala	166
Tabel 4. 32 Rekapitulasi Gaya Geser Statik-Dinamik Setelah Koreksi Faktor Skala.....	167
Tabel 4. 33 Modal Partisipasi Massa	167
Tabel 4. 34 Kontrol <i>Dual System</i>	168
Tabel 4. 35 Batas Simpangan Gedung	169
Tabel 4. 36 Simpangan Lantai Akibat Gempa Arah X	171
Tabel 4. 37 Simpangan Lantai Akibat Gempa Arah Y	172
Tabel 4. 38 Kekuatan Tekan Beton pada Berbagai Umur.....	174
Tabel 4. 39 Rekapitulasi Kontrol Tegangan Sebelum Perhitungan Kehilangan Saat Keadaan Transfer	184
Tabel 4. 40 Rekapitulasi Kontrol Tegangan Sebelum Perhitungan Kehilangan Saat Keadaan Service	184
Tabel 4. 41 Tendon yang Digunakan.....	185
Tabel 4. 42 Rekapitulasi Perhitungan Kehilangan Prategang ...	190
Tabel 4. 43 Rekapitulasi Kontrol Tegangan Setelah Perhitungan Kehilangan	194
Tabel 4. 44 Rekapitulasi Penulangan Lentur dan Sengkang Balok Prategang.....	202
Tabel 4. 45 Perhitungan Tul. Lentur Balok setelah Komposit ..	222
Tabel 4. 46 Perhitungan Tul. Lentur Balok setelah Komposit (Lanjutan).....	223
Tabel 4. 47 Perhitungan Tul. Lentur Balok setelah Komposit (Lanjutan).....	223
Tabel 4. 48 Perhitungan M_{pr} Balok Induk.....	226
Tabel 4. 49 Rekapitulasi Kebutuhan Tulangan Torsi Longitudinal	233
Tabel 4. 50 Perhitungan Tulangan Sebelum Komposit.....	238
Tabel 4. 51 Perhitungan Tulangan Sebelum Komposit (Lanjutan)	238
Tabel 4. 52 Rekapitulasi Tulangan Balok Induk.....	243
Tabel 4. 53 Data Perencanaan Kolom	248
Tabel 4. 54 Kontrol Dimensi Kolom	250
Tabel 4. 55 Beban Aksial dan Momen Maksimum Arah X	250

Tabel 4. 56 Beban Aksial dan Momen Maksimum Arah Y	250
Tabel 4. 57 Penulangan Longitudinal Kolom	252
Tabel 4. 58 Kontrol Rasio Tulangan.....	252
Tabel 4. 59 Kontrol Kapasitas Beban Aksial	253
Tabel 4. 60 Kontrol Gaya Tekan terhadap Gaya Geser	255
Tabel 4. 61 Kontrol <i>Strong Column Weak Beam</i> Arah X	256
Tabel 4. 62 Kontrol <i>Strong Column Weak Beam</i> Arah Y	256
Tabel 4. 63 Perhitungan Tulangan Geser pada Sendi Plastis	258
Tabel 4. 64 Perhitungan Tulangan Geser diluar Sendi Plastis ..	258
Tabel 4. 65 Kontrol Kebutuhan Torsi.....	259
Tabel 4. 66 Rekapitulasi Perencanaan Struktur Kolom	260
Tabel 4. 67 Data Perencanaan Shearwall.....	262
Tabel 4. 68 Gaya-gaya dalam pada shearwall	262
Tabel 4. 69 Kontrol Penampang terhadap Gaya Geser	265
Tabel 4. 70 Rekapitulasi Titik Berat dan Inersia	268
Tabel 4. 71 Kontrol Komponen Batas Arah X	269
Tabel 4. 72 Kontrol Komponen Batas Arah Y	269
Tabel 4. 73 Kontrol Pendekatan Perpindahan Arah X	271
Tabel 4. 74 Kontrol Pendekatan Perpindahan Arah Y	271
Tabel 4. 75 Panjang Elemen Batas	272
Tabel 4. 76 Kontrol Tulangan Longitudinal Arah X	274
Tabel 4. 77 Kontrol Tulangan Longitudinal Arah Y	274
Tabel 4. 78 Rekapitulasi Penulangan Shearwall.....	274
Tabel 4. 79 Rekapitulasi Perencanaan Konsol Pendek	282
Tabel 4. 80 Rekapitulasi Perencanaan Konsol Pendek (Lanjutan)	283
Tabel 4. 81 Spesifikasi <i>BECO Beam Shoe</i>	292
Tabel 4. 82 Beban pada Pondasi Tipe 1	304
Tabel 4. 83 Beban pada Pondasi Tipe 2	305
Tabel 4. 84 Beban pada Pondasi Tipe 3	305
Tabel 4. 85 Spesifikasi Tiang Pancang WIKA	306
Tabel 4. 86 Kontrol Tiang Pancang dalam Grup Tipe 1	314
Tabel 4. 87 Kontrol Tiang Pancang dalam Grup Tipe 2	314
Tabel 4. 88 Kontrol Tiang Pancang dalam Grup Tipe 3	315
Tabel 4. 89 Rekapitulasi Kontrol Beban Maksimum Tipe 1....	317

Tabel 4. 90 Rekapitulasi Kontrol Beban Maksimum Tipe 2.....	317
Tabel 4. 91 Rekapitulasi Kontrol Beban Maksimum Tipe 3.....	318
Tabel 4. 92 Kontrol terhadap Gaya Lateral Tipe 1	322
Tabel 4. 93 Kontrol terhadap Gaya Lateral Tipe 2	322
Tabel 4. 94 Kontrol terhadap Gaya Lateral Tipe 3	323
Tabel 4. 95 Kontrol Geser dan Tegangan 2 Arah Akibat Kolom	328
Tabel 4. 96 Kontrol Geser dan Tegangan 2 Arah Akibat Tiang Pancang	330
Tabel 4. 97 Rekapitulasi Penulangan Pilecap	335
Tabel 4. 98 Rekapitulasi Perhitungan Pelat Basement.....	350
Tabel 5. 1 Dimensi Struktur Sekunder.....	361
Tabel 5. 2 Dimensi Struktur Primer.....	362
Tabel 5. 3 Dimensi Struktur Bawah	362

BAB I

PENDAHULUAN

1.1. Latar Belakang

Kawasan metropolitan sebagai kawasan perkotaan yang terdiri atas sebuah kawasan perkotaan yang berdiri sendiri atau kawasan perkotaan inti dengan kawasan perkotaan di sekitarnya yang saling memiliki keterkaitan fungsional yang dihubungkan dengan sistem jaringan prasarana wilayah yang terintegrasi dengan jumlah penduduk secara keseluruhan sekurang-kurangnya 1.000.000 (satu juta) jiwa (Undang-Undang No. 17 tahun 2006). Menurut data pada Badan Pusat Statistik, jumlah penduduk Kota Surabaya adalah 2,87 juta jiwa pada tahun 2018. Dengan kondisi tersebut, maka Surabaya bisa disebut sebagai salah satu Kota Metropolitan di Indonesia. Dengan banyaknya penduduk tersebut, menuntut pembangunan akan prasarana seperti gedung tinggi (*high rise building*) yang semakin cepat. Hal tersebut membutuhkan teknologi konstruksi yang membutuhkan waktu pembangunan yang relatif cepat tanpa mengorbankan mutu dan kualitas beton.

Beton pracetak terdiri dari beton (campuran semen, air, agregat dan *admixture*) yang dicetak menjadi bentuk tertentu di lokasi yang berbeda dari lokasi layannya (PCI, 2004). Sebenarnya beton pracetak tidak berbeda dengan beton biasa, hanya metode pabrikasinya yang menjadikan beton pracetak ini berbeda. Beton pracetak adalah sebuah metode konstruksi dimana proses pembuatan beton dilakukan dengan cara dicetak terlebih dahulu di sebuah pabrik menjadi panel-panel yang nantinya akan dirakit.

Alasan penggunaan beton pracetak ini dianggap lebih ekonomis antara lain : mengurangi biaya pemakaian bekisting, mereduksi biaya upah pekerja karena jumlah pekerja relatif lebih sedikit, mereduksi durasi pelaksanaan proyek sehingga overhead yang dikeluarkan menjadi lebih kecil (Ervianto, 2006). Karena proses pengecorannya di tempat khusus (bengkel pabrikasi), maka mutunya dapat terjaga dengan baik. Dengan

manfaat yang ada, beton pracetak dianggap solusi yang tepat terhadap tuntutan akan konstruksi yang efisien dan ekonomis. Namun di lain sisi, penerapan sistem pracetak akan lebih efektif dan efisien bila diterapkan pada pekerjaan yang sifatnya berulang dan massal (Tjahjono & Purnomo, 2004).

Gedung Apartemen The Arundaya di Surabaya merupakan sebuah gedung yang difungsikan sebagai hunian vertikal dan terdiri atas tiga tower, yaitu tower A, tower B, dan tower C yang masing-masing memiliki total 51 lantai. Dimana terdapat 3 lantai *basement*, 1 lantai semi *basement*, 4 lantai podium, dan 43 lantai hunian. Apartemen The Arundaya memiliki tinggi total bangunan 160 m. Dengan rencana tampak gedung seperti pada **Gambar 1.1**.



Gambar 1. 1 Perspektif Gedung Apartemen Arundaya

Sumber: PT. Inti Solusi Cemerlang

Dalam pelaksanaannya, gedung ini dibangun dengan menggunakan metode cor *in situ*. Penggunaan cor *in situ* pada sebuah proyek konstruksi sering kali mengakibatkan hasil konstruksi yang kurang rapih dan kurang presisi. Terlebih, metode cor *in situ* juga memerlukan waktu yang relatif lama. Seperti yang disampaikan sebelumnya, suatu pekerjaan konstruksi memiliki tuntutan untuk dapat diselesaikan dengan waktu yang cepat dengan

hasil yang tetap rapih dan juga presisi. Gedung Apartemen Arundaya (Tower A) dalam hal ini memiliki ruang untuk dikembangkan dari sisi metode pelaksanaan konstruksinya. Atas dasar tersebut, penulis akan merencanakan ulang gedung Apartemen Arundaya (Tower A) dengan menggunakan metode beton pracetak.

Apartemen The Arundaya merupakan bangunan hunian vertikal yang multifungsi. Selain berisi hunian tempat tinggal terdapat banyak fasilitas umum penunjang seperti kolam renang, ruko perbelanjaan, *gymnasium*, *community lounge*, dan *café*. Pada saat ini sebagian besar masyarakat di kota-kota besar, salah satunya di kota Surabaya sering menggunakan *ballroom* sebagai tempat penyelenggaraan acara besar, seperti *Wedding party*, *Birthday party*, dan acara besar lainnya, masyarakat memilih menggunakan *ballroom* karena kapasitasnya yang besar.

Dalam sistem beton bertulang, beban eksternal menyebabkan Tarik di serat bawah beton yang berdampak pada retakan. Pada penampang retak, momen yang bekerja dilawan dengan tekanan pada beton dan tarikan pada tulangan baja. Walaupun tulangan baja menyediakan kuat tarik bagi beton yang retak, hal itu tidak mencegah retakan dan kehilangankekakuan akibat retak. Lebar retakan berbanding lurus dengan regangan dan diperkuat dengan tegangan dalam tulangan. Tegangan baja harus dibatasi untuk mencegah melebarnya retakan. Besarnya tegangan baja menyebabkan besarnya defleksi (Gilbert & Mickleborough, 1990). Oleh karena itu, suatu struktur balok pada sistem ini memiliki bentang tertentu untuk mencegah lendutan besar yang melampaui batas akibat momen lentur. Struktur yang menopang balok dan membaginya menjadi beberapa bentang adalah kolom. Hal ini menyebabkan suatu ruangan luas yang memerlukan bentang panjang memiliki banyak kolom ditengahnya. Ditinjau dari fungsinya, ruang *ballroom* merupakan suatu ruangan yang dapat menampung banyak orang. Kolom-kolom ditengah ruangan dapat mengganggu kenyamanan karena mengurangi estetika dan fungsi ruangan. Oleh karena itu, dibutuhkan suatu struktur agar

balok - balok bentang panjang memiliki kekuatan yang dapat menahan beban tanpa ditopang oleh kolom tengahnya.

Beton pratekan merupakan teknologi konstruksi beton yang mengkombinasikan dua jenis bahan mutu tinggi, yaitu beton dan baja, dengan cara menarik baja tersebut dan menahannya ke beton, sehingga membuat beton dalam keadaan tertekan. Kombinasi aktif ini menghasilkan perilaku yang lebih baik dari kedua bahan tersebut. Kemampuan beton dalam menahan tarikan diperbaiki dengan memberikan tekanan, sementara kemampuannya menahan tekanan tidak dikurangi. Sehingga, beton pratekan merupakan kombinasi yang ideal dari dua bahan modern yang berkekuatan tinggi (Lin & Burns, 1981). Selain itu, kelebihan beton prategang dibanding beton bertulang adalah (Marshall, 2000):

1. Prategang cenderung menetralisir tegangan tarik dan tekanan yang disebabkan oleh beban sehingga retakan dapat dihilangkan dan sebagai hasilnya seluruh bagian beton menjadi aktif dan menahan beban. Mekanisme ini jauh lebih efektif daripada beton bertulang dimana bagian yang tidak retak di zona tekan saja yang dapat menahan beban.
2. Deformasi yang disebabkan oleh prategang berfungsi untuk mengimbangi deformasi akibat beban.
3. Beton prategang membutuhkan material dan penampang yang lebih kecil daripada beton bertulang karena seluruh bagian dari material berkekuatan tinggi ini dapat dimanfaatkan secara efisien dan efektif untuk menahan beban.
4. Struktur yang lebih kecil dapat menghemat biaya dalam hal penanganan dan transportasi.
5. Menciptakan struktur yang lebih estetik.
6. Rentang yang lebih panjang dimungkinkan karena pengurangan berat penampang.
7. Metode konstruksi inovatif difasilitasi.

Maka dari itu, bangunan ini akan direncanakan ulang dengan menggunakan sistem beton pratekan atau prategang guna untuk memaksimalkan kebutuhan dan fungsi ruang yang cukup

besar tanpa menggunakan kolom yang banyak. Serta penggunaan metode beton pracetak pada pembangunan komponen pelat dan balok. Dalam perencanaan ulang gedung Apartemen Arundaya (Tower A), penulis akan mengubah jumlah lantai. Jumlah lantai akan diperkecil menjadi 20 lantai.

1.2. Perumusan Masalah

1.2.1. Permasalahan Utama

Bagaimana merencanakan ulang struktur Gedung Apartemen Arundaya (Tower A) dengan menggunakan sistem Balok Pratekan dan menggunakan metode Beton Pracetak?

1.2.2. Detail Permasalahan

1. Bagaimana menentukan *preliminary design* untuk struktur primer dan struktur sekunder yang sesuai dalam perencanaan struktur Gedung Apartemen Arundaya (Tower A)?
2. Bagaimana perhitungan pembebanan dalam perencanaan struktur Gedung Apartemen Arundaya (Tower A)?
3. Bagaimana melakukan analisa permodelan struktur Gedung Apartemen Arundaya (Tower A) dengan menggunakan program bantu SAP 2000/ETABS?
4. Bagaimana merencanakan balok beton pratekan yang menenuhi kriteria perancangan struktur?
5. Bagaimana merencanakan sambungan antar elemen beton pracetak agar tahan gempa?
6. Bagaimana merancang pondasi dari struktur Gedung Apartemen Arundaya (Tower A) yang mampu menahan beban yang dipikul dan sesuai dengan kondisi tanah di lapangan?
7. Bagaimana menuangkan hasil perencanaan dan perhitungan struktur Gedung Apartemen Arundaya (Tower A) ke dalam gambar teknik yang sesuai standar?

1.3. Tujuan

1.3.1. Umum

Tujuan utama perencanaan gedung hotel Gedung Apartemen Arundaya (Tower A) adalah agar mampu merencanakan dan menetapkan metode beton pracetak dalam pembangunan komponen balok dan pelat, serta memodifikasi lantai 5 dengan menggunakan balok pratekan untuk dipergunakan sebagai *ballroom* sesuai dengan peraturan standard yang berlaku.

1.3.2. Khusus

1. Menentukan *preliminary design* untuk struktur primer dan struktur sekunder yang sesuai dalam perencanaan struktur Gedung Apartemen Arundaya (Tower A).
2. Menghitung pembebanan dalam perencanaan ulang struktur Gedung Apartemen Arundaya (Tower A).
3. Melakukan analisa permodelan struktur Gedung Apartemen Arundaya (Tower A) dengan menggunakan program bantu SAP 2000/ETABS.
4. Merencanakan balok beton pratekan yang memenuhi kriteria perancangan struktur.
5. Menentukan metode sambungan dari elemen-elemen pracetak yang tahan gempa.
6. Merancang pondasi dari struktur Gedung Apartemen Arundaya (Tower A) yang mampu menahan beban yang dipikul dan sesuai dengan kondisi tanah di lapangan.
7. Menuangkan hasil perencanaan dan perhitungan struktur Gedung Apartemen Arundaya (Tower A) ke dalam gambar teknik yang sesuai standar.

1.4. Batasan Masalah

Agar penulisan tugas akhir ini tidak terjadi penyimpangan dalam pembahasan masalah, maka perlu adanya batasan masalah sebagai berikut:

1. Perencanaan elemen struktur pracetak hanya pada pelat dan balok.
2. Meninjau metode pelaksanaan yang hanya berkaitan dengan perhitungan struktur.

3. Analisa struktur dengan menggunakan program bantuan ETABS/SAP2000.
4. Perencanaan tidak meninjau dari segi produksi beton pracetak, segi analisis anggaran biaya dan manajemen konstruksi, dan tidak memperhitungkan *electrical* dan *plumbing*.
5. Perencanaan *basement* dan pondasi.

1.5. Manfaat Penulisan

Manfaat dari Tugas Akhir ini adalah untuk mendapatkan alternatif desain pada pembangunan Gedung Apartemen Arundaya (Tower A) dengan menggunakan metode beton pracetak dan metode beton pratekan serta untuk dapat menjadi acuan bagi para pembaca tentang pembangunan dengan metode beton pracetak dan metode beton pratekan.

“Halaman ini sengaja dikosongkan...”

BAB II

TINJAUAN PUSTAKA

2.1. Umum

Dalam tinjauan pustaka ini akan dibahas beberapa jurnal ilmiah dan dasar teori yang berkaitan dengan perencanaan bangunan Gedung Apartemen Arundaya (Tower A). Dalam perencanaannya perlu ada tinjauan khusus terhadap perencanaan struktur gedung menggunakan beton prategang serta menggunakan metode beton pracetak.

2.2. Sistem Struktur

Suatu bangunan gedung diharuskan memiliki sistem struktur yang sesuai dengan faktor daya tahan terhadap gempa. Berikut adalah pembagian sistem struktur menurut wilayah gempanya (Rudiatmoko, Restu, Budiwati, & Made, 2012)

- Wilayah gempa 1 dan 2 (resiko gempa rendah). Desain dengan menggunakan Sistem Rangka Pemikul Momen Biasa (SRPMB) dan dinding struktur dengan beton biasa.
- Wilayah gempa 3 dan 4 (resiko gempa sedang).Desain dengan menggunakan Sistem Rangka Pemikul Momen Menengah (SRPMM) dan Sistem Dinding Struktur Biasa (SDSB) dengan beton tanpa detailing khusus.
- Wilayah gempa 5 dan 6 (resiko gempa tinggi). Desain menggunakan Sistem Rangka Pemikul Momen Khusus (SRPMK) dan Sistem Dinding Struktur Khusus dengan beton khusus.

2.2.1. Daktilitas Struktur Bangunan dan Pembebanan Nominal

Daktail adalah kemampuan deformasi inelastis tanpa kehilangan kekuatan yang berarti. Sedangkan struktur daktail adalah kemampuan struktur mengalami simpangan pasca elastik yang besar secara berulang kali dan bolak balik akibat gempa yang menyebabkan terjadinya peleahan pertama, sambil

mempertahankan kekuatan dan kekuatan yang cukup, sehingga struktur tersebut tetap berdiri, walau berada dalam kondisi keruntuhan. (Tavio & Kusuma, 2009)

2.2.2. Konsep Strong Column Weak Beam

Dalam Konsep *Strong Column Weak Beam*, elemen balok direncanakan lebih lemah dibanding dengan elemen kolom, sehingga apabila terjadi pembebanan yang berlebihan, maka elemen balok akan mengalami proses leleh terlebih dahulu daripada elemen kolom. Melelehnya tulangan pada suatu sistem balok bertulang dapat menyebabkan kegagalan struktur.

2.3. Sistem Beton Pratekan

Beton pratekan adalah beton yang mengalami tegangan internal dengan benar dan distribusi sedemikian rupa sehingga dapat mengimbangi tegangan yang terjadi akibat beban eksternal sampai batas tertentu (Abeles, Bardhah, & Turner, 1976). Tendon pada beton pratekan tidak boleh sama sekali memikul beban gempa, bahkan tidak dianjurkan digunakan pada zona gempa tinggi. Tetapi jika ada gempa maka beban tersebut dipikul oleh tulangan lunak.

2.4. Desain Balok Prategang

Desain Struktur beton pratekan melibatkan banyak pertimbangan, yang paling penting adalah penentuan distribusi tegangan pada masing – masing anggota struktur. Besarnya prategang dan tata letak tendon dalam struktur biasanya ditentukan dari prasyarat kemampuan dari struktur tersebut. Agar persyaratan terpenuhi, perkiraan yang cukup akurat tentang besarnya gaya prategang diperlukan. Hal ini memerlukan prosedur yang andal untuk penentuan kehilangan langsung dan kehilangan akibat waktu dari gaya prategang yang berada pada kondisi transfer dan layan, dimana kedua kondisi tersebut merupakan dua tahap penting dalam rancangan beton pratekan. (Adewuye & Franklin, 2011).

Tiga kondisi batas layan yang paling umum adalah pemeriksaan pada baja tarikan pratekan dan tegangan tekan beton, kontrol retak dan deformasi. Rasio bentang dan besar prategang mengatur parameter untuk kontrol deformasi. Kebanyakan standar desain memberlakukan balok beton pratekan dalam kelas yang berbeda yang biasanya didasarkan pada tingkat tegangan lentur yang diijinkan untuk kontrol retak efektif. Namun, pembatasan tegangan adalah faktor fundamental yang menentukan kemampuan struktural beton pratekan. Batas yang dikenakan pada tegangan beton untuk menghindari retak longitudinal dan membatasi deformasi rangkap. Juga, batas ditetapkan untuk tegangan efektif dalam tendon setelah kehilangan yang diijinkan untuk mencegah tegangan pada baja prategang berada dibawah kemampuan yang dapat menyebabkan deformasi tendon yang tidak elastis. Tegangan lentur adalah hasil dari momen lentur akibat gravitasi atau beban yang bekerja dan gaya pratekan eksentrik. (Adewuyi dan Franklin, 2011)

2.5. Tahap Pembebaan Prategang

Salah satu pertimbangan istimewa pada beton prategang adalah banyaknya tahapan pembebaan dimana sebuah komponen struktur dibebani.

2.5.1. Tahap Awal

Batang atau struktur diberi gaya prategang tetapi tidak dibebani oleh beban eksternal. Tahap ini selanjutnya dapat dibagi dalam beberapa tahap, beberapa diantaranya tidak penting oleh karenanya dapat diabaikan pada desain-desain tertentu.

- Sebelum diberi Gaya Prategang

Sebelum beton diberi gaya prategang, beton cukup lemah dalam memikul beban; oleh karena itu harus dicegah agar tidak terjadi kehancuran pada perletakan.

- Pada saat diberi Gaya Prategang

Merupakan percobaan yang kritis dari kekuatan tendon. Seringkali tegangan maksimum yang mungkin dialami oleh tendon terjadi pada saat penarikan.

- Pada saat Peralihan Gaya Prategang

Untuk komponen-komponen pratarik peralihan gaya prategang dilakukan sekaligus dan dalam waktu yang singkat. Untuk komponen-komponen struktur pasca-tarik, peralihan seringkali secara bertahap, gaya prategang pada tendon-tendon dialihkan ke beton satu per satu. Pada kedua keadaan tersebut tidak ada gaya eksternal pada komponen struktur kecuali berat sendirinya.

- Desentring dan Penarikan Kembali

Jika sebuah komponen struktur dicor dan diberi gaya prategang di tempat, maka pada umumnya komponen tersebut akan memikul sendiri selama atau sesudah diberi gaya prategang. Jadi bekisting dapat dibongkar setelah diberi gaya prategang, dan tidak ada pembebanan baru terjadi pada struktur. Beberapa struktur beton mengalami penarikan ulang. Ini adalah sistem prategang dalam dua tahap atau lebih. Jadi tegangan-tegangan pada berbagai macam tahap penarikan harus terjadi.

2.5.2. Tahap Antara (*Intermediate*)

Ini adalah tahapan selama pengangkutan dan penempatan. Hal ini terjadi hanya pada komponen-komponen struktur pracetak bila diangkat ke lapangan dan dipasang pada tempatnya. Hal ini penting sekali untuk menjamin bahwa komponen-komponen struktur tersebut telah ditumpu dan diangkat dengan semestinya.

2.5.3. Tahap Akhir

Ini adalah bila beban kerja yang sesungguhnya bekerja pada struktur seperti konstruksi-konstruksi lain, pendesain harus mempertimbangkan berbagai macam kombinasi beban hidup pada setiap bagian yang berbeda dari struktur akibat beban lateral seperti angin dan gaya-gaya gempa, dan dengan beban-beban regangan

seperti yang dihasilkan oleh penurunan pada tumpuan dan pengaruh temperatur. Untuk struktur beton prategang, terutama untuk jenis-jenis yang tidak umum, seringkali perlu untuk menyelidiki retak-retak dan beban batasnya, perilakunya akibat beban yang bekerja tetap (*sustained load*) selain akibat beban kerja.

- Beban yang Bekerja Tetap (*Sustained Load*)

Lendutan ke atas atau ke bawah dari komponen struktur prategang akibat beban tetap yang sesungguhnya (sering hanya terdiri dari beban mati) seringkali merupakan faktor penentu dalam desain, karena pengaruh dalam rangkap akibat lentur akan memperbesar nilainya. Sehingga seringkali dikehendaki untuk membatasi besar lendutan akibat beban tetap.

- Beban Kerja

Untuk mendesain akibat beban kerja haruslah ada pemeriksaan terhadap tegangan dan regangan yang berlebihan. Tidak perlu ada suatu jaminan atas kekuatan yang cukup untuk memikul beban yang berlebihan.

- Beban Retak

Retak pada komponen beton prategang berarti perubahan yang mendadak pada tegangan retak dan tegangan geser. Hal ini seringkali merupakan ukuran bagi kekuatan leleh.

- Beban Batas

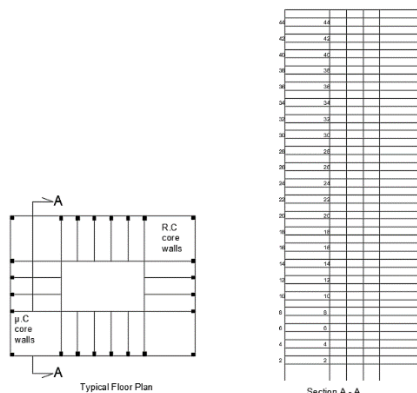
Struktur yang didesain berdasarkan tegangan kerja mungkin tidak terlalu mempunyai angka keamanan yang cukup untuk kelebihan beban. Karena disyaratkan bahwa sebuah struktur memiliki kapasitas minimum tertentu, maka perlu ditentukan kekuatan batasnya (*ultimate strength*). Secara umum kekuatan batas dari sebuah struktur didefinisikan sebagai beban maksimum yang dapat dipikul secara hancur.

2.6. Dampak Pemberian Pasca Tarik Pada Balok Terhadap Gedung Bertingkat

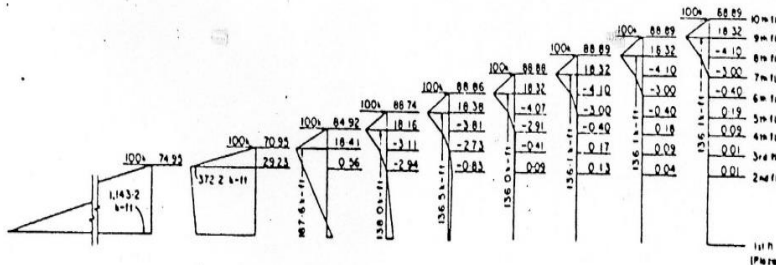
Balok pasca tarik pada gedung bertingkat sudah menjadi faktor utama dalam konstruksi dalam beberapa tahun, dampak pasca tarik pada tingkat tertentu terhadap tingkat lainnya pada saat pembangunan dipelajari oleh Mark Fintel dan S.K. Ghosh pada tahun 1989. Pada studinya digunakan gedung tipikal seperti pada **Gambar 2.1.**

Yang menjadi fokus utama studinya adalah kekangan yang diberikan oleh kolom yang besar dengan kekakuan yang tinggi (tipe kolom yang sering ada pada bangunan bertingkat). Hal ini menghalangi tegangan pasca tarik yang diberikan ke balok, sehingga mengurangi efektifitas pasca tarik.

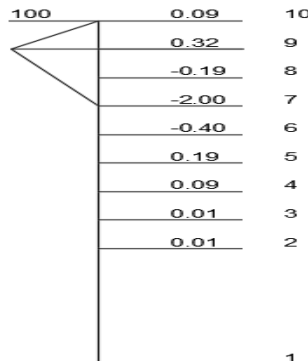
Pada analisis awal didapat, efek dari *post tension* pada lantai tertentu diperpanjang sampai hanya beberapa tingkat dibawahnya. Sebagai contoh, efek signifikan dari *post tension* pada lantai 10 diperpanjang sampai ke tingkat 4 dan tidak lebih jauh kebawah. Ditunjukkan pada **Gambar 2.2.**



Gambar 2. 1 Denah Tipikal dan Potongan Gedung yang Diinvestigasi
Sumber: Fintel & Ghosh (1987)



(a)



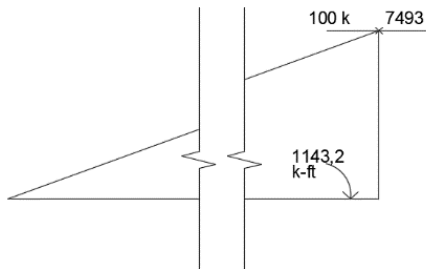
(b)

Gambar 2. 2 (a) Momen pada Kolom Akibat Pemberian Pasca Tarik pada Lantai Bertingkat, Dasar Kolom terkekang (Jepit). (b) Efek Pemberian Pasca Tarik pada Lantai 10 Terhadap Lantai di Bawahnya

Sumber: Fintel & Ghosh (1987)

Di hasil yang lain, pada bawah bangunan, (kondisi ketika balok lantai kedua telah di pasca tarik, sedangkan lantai pertama tidak ditarik), perpendekan elastis dari balok lantai kedua menginduksi perpindahan horizontal pada puncak kolom tingkat satu. Jika kolom dikekang pada dasarnya, perpindahan disertai

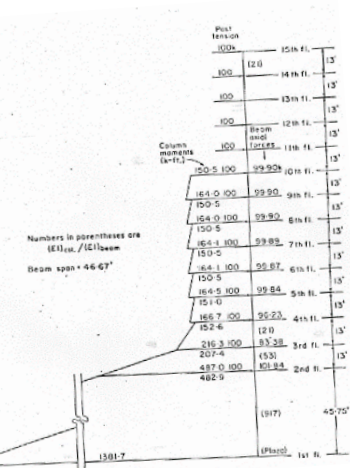
dengan momen pada kolom, dan pada waktu yang sama mengurangi pasca tarik yang masuk ke balok yang ditarik. (**Gambar 2.3**). jumlah dari kehilangan prategang ke kolom tergantung dari kekakuan lentur relatif dari kolom dan kekakuan aksial dari balok.



Gambar 2. 3 Pemberian Gaya 100 Kips pada Balok, Gaya Dalam pada Balok dan Momen yang Terjadi pada Kolom

Sumber: Fintel dan Ghosh (1978)

Dalam kondisi ekstrim dari kekakuan yang tinggi, semua gaya akan meregangkan kolom kaku dan tidak akan menekan balok. Hasil studi lainnya menunjukkan apabila semua lantai telah diberikan pasca tarik sebesar 100 kips, maka akan terjadi penumpukan momen yang sangat besar pada kolom paling bawah, dapat dilihat dari **Gambar 2.4** dimana superposisi telah dibuat untuk tiap tiap kolom dan tiap tiap balok dari efek pasca tarikan semua balok lantai pada dan tingkat diatasnya, menyajikan gaya dan momen kolom kumulatif dan gaya prategang dibalok. (Fintel dan Ghosh, 1978)

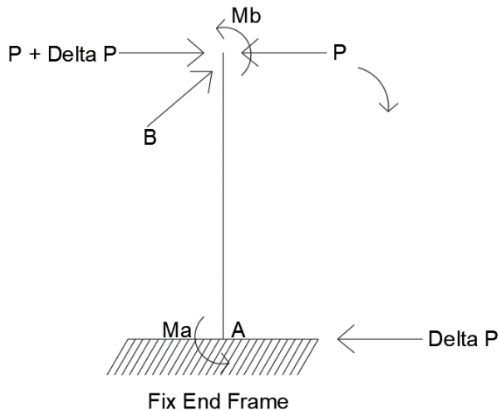


Gambar 2. 4 Momen pada Kolom dan Gaya Prategang pada Balok Setelah 15 Lantai Diberikan Gaya Pasca Tarik Dengan Kolom Terkekang pada Dasarnya (Jepit)
(Fintel dan Ghosh, 1978)

2.7. Sistem Monolit pada Balok Prategang

Rangka pemukul momen terdiri dari kolom dan balok yang terhubung dengan kaku. Untuk memenuhi persyaratan stabilitas struktur karena beban siklik lateral, dianjurkan untuk meningkatkan area tulangan kompresi (A_s') pada tumpuan balok atau dekat hubungan balok – kolom. (Astawa, Tavio, dan Raka, 2015)

Dampak prategang terhadap sistem monolit yaitu momen akibat perpendekan longitudinal disebabkan oleh gaya prategang yang memberikan reaksi horizontal pada bagian bawah kolom.



Gambar 2. 5 Efek dari Reaksi Horizontal
Sumber: Abeles, Bardhah dan Turner (1976)

Pada **Gambar 2.5** dapat dilihat bahwa untuk menghasilkan gaya prategang P pada arah longitudinal, gaya $P+\Delta P$, dimana ΔP adalah reaksi horizontal. ΔP untuk perletakan jepit dapat dicari menggunakan persamaan berikut. (Abeles, Bardhah, dan Turner, 1976):

$$\Delta P = \frac{M_B - M_A}{l_h} \quad (2.1)$$

2.8. Beton Pracetak

Pembuatan struktur beton bertulang dengan sistem pabrikasi dikenal dengan sistem pracetak. Menurut SNI 2847:2019, beton pracetak didefinisikan sebagai elemen struktur yang dicetak di tempat lain dari posisi akhirnya dalam struktur. Dalam perhitungannya, beton pracetak tidak memiliki perbedaan dengan beton konvensional pada umumnya.

Secara garis besar, keunggulan daripada beton pracetak adalah sebagai berikut:

1. Durasi proyek menjadi lebih singkat dibandingkan dengan beton konvensional. (Ervianto, 2006) (Yadav & Shah, 2013)
2. Kontinuitas proses konstruksi dapat terjaga. (Ervianto, 2006)
3. Produksi massal menghasilkan ketepatan dimensi yang lebih akurat. (Ervianto, 2006)
4. Mengurangi kebisingan pada lingkungan proyek. (Ervianto, 2006)
5. Pelaksanaan konstruksi hampir tidak terpengaruh oleh cuaca. (Ervianto, 2006)
6. Kebutuhan akan scaffolding dan bekisting secara signifikan berkurang. (Yadav & Shah, 2013)
7. Quality Kontrol lebih mudah karena fabrikasi di lakukan di lingkungan pabrik. (Yadav & Shah, 2013)
8. Mengurangi keborosan. (Yadav & Shah, 2013)

Sedangkan kelemahan daripada beton pracetak dapat dijabarkan sebagai berikut:

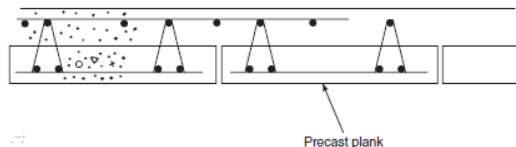
1. Dibutuhkan proses transportasi yang memadai karena beton pracetak difabrikasi di luar proyek. (Ervianto, 2006)
2. Membutuhkan kecermatan pada menentukan jenis sambungan agar perilaku struktur dapat menyerupai beton konvensional. (Ervianto, 2006)
3. Dibutuhkan perhatian khusus dalam mengangkat, memindahkan, maupun mengerek. (Yadav & Shah, 2013)
4. Korosi dapat terjadi pada sambungan antar elemen pracetak. (Yadav & Shah, 2013)
5. Elemen *precast* dengan ukuran yang besar membutuhkan crane yang memadai. (Yadav & Shah, 2013)
6. Bangunan dengan ukuran yang besar dengan elemen pracetak yang berulang dapat terlihat monoton. (Yadav & Shah, 2013)

2.9. Elemen Struktur Beton Pracetak

2.9.1. Pelat Pracetak

Pada elemen pelat pracetak, terdapat beberapa opsi pelat pracetak yang umum diproduksi dan dapat digunakan sebagai elemen pracetak, antara lain:

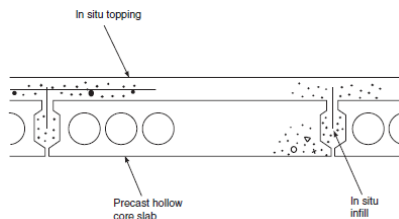
1. Pelat Pracetak Tanpa Lubang (*Solid Flat Slab*). Merupakan pelat pracetak yang umum digunakan dengan karakteristik tanpa lubang pada bagian tengahnya. Pelat ini dapat berupa pratekan atau beton bertulang pada umumnya dengan ketebalan dan lebar bervariasi. Penampang *solid flat slab* diilustrasikan pada **Gambar 2.6**.



Gambar 2. 6 *Solid Core Slab*

Sumber: Elliot (2002)

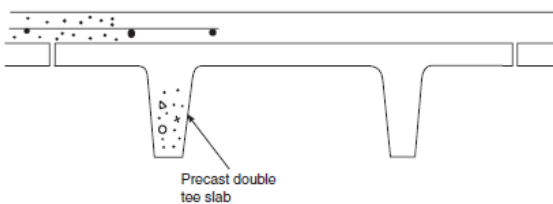
2. Pelat Pracetak Berlubang (*Hollow Core Slab*). Merupakan salah satu jenis pelat *precast* dengan karakteristik lubang-lubang pada bagian tengahnya yang diameternya dibatasi sampai 75 mm dari tebal pelat total. Penampang *Hollow Core Slab* diilustrasikan pada **Gambar 2.7**. (Elliot, 2002).



Gambar 2. 7 *Hollow Core Slab*

Sumber: Elliot (2002)

3. *Double Tee Slab*. Merupakan pelat modifikasi daripada *Hollow Core Slab* dengan karakteristik membentuk dua kaki vertikal yang membentuk dua profil T. Kelebihan dari opsi pelat ini adalah bentang yang lebih panjang dengan massa yang lebih kecil jika dibandingkan dengan HCS. Penampang *Double Tee Slab* diilustrasikan pada **Gambar 2.8**. (Elliot, 2002).



Gambar 2. 8 *Double Tee Slab*

Sumber: Elliot (2002)

2.9.2. Balok Pracetak

Balok merupakan batang horizontal yang membentang dari satu kolom ke kolom yang lain dan umumnya menahan lentur dan geser dari beban pelat dan berat sendiri. Balok pratekan dapat diproduksi dengan penampang dan bentang yang bermacam-macam. Hal yang paling menentukan penampang balok adalah sistem yang digunakan, seperti sistem sambungan antara balok dengan pelat lantai dan sistem sambungan antara balok dan kolom (Erwianto, 2006). Untuk balok pracetak, terdapat beberapa opsi balok yang umum digunakan, yaitu:

1. Balok berpenampang persegi (*Rectangular Beam*). Balok berpenampang persegi diilustrasikan pada **Gambar 2.9**.



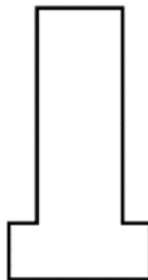
Gambar 2. 9 *Retangular Beam*

2. Balok berpenampang L (*L-Shaped Beam*). Balok berpenampang L diilustrasikan pada **Gambar 2.10**.



Gambar 2. 10 *L-Shaped Beam*

3. Balok berpenampang T terbalik (*Inverted Tee Beam*). Balok berpenampang T terbalik diilustrasikan pada **Gambar 2.11**.



Gambar 2. 11 *Inverted Tee Beam*

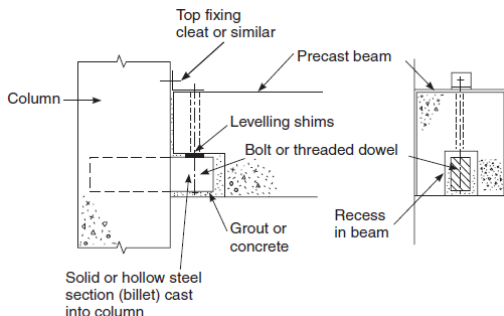
2.10. Sambungan Beton Pracetak

Elemen yang berperan sangat penting dalam desain konstruksi bangunan tahan gempa ialah sambungan. Keruntuhan bangunan akibat gempa terjadi pada sambungan yang relatif kurang kaku atau monolit sehingga lemah dalam menahan beban gempa. Agar bangunan memiliki performa yang baik saat menerima beban gempa, maka harus dipenuhi syarat sambungan balok kolom. Sambungan balok – kolom menempati fungsi yang sangat kritis, karena mekanisme respon struktur terhadap beban terjadi pada penyaluran gaya-gaya dari balok ke kolom-kolom bangunan (Indrayana, 2013).

Secara umum, ada dua jenis sambungan yang biasa digunakan dalam sistem beton pracetak, yaitu sambungan kering (*dry connection*) dan sambungan basah (*wet connection*) (Ervianto, 2006). Untuk sambungan kering dapat digunakan sambungan dengan baut maupun sambungan dengan las. Sementara untuk sambungan basah merupakan sambungan dengan cor langsung di tempat.

2.10.1. Sambungan Kering dengan Menggunakan Baut

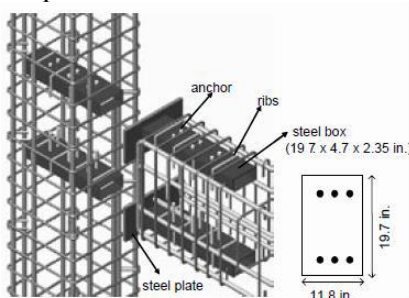
Metode penyambungan jenis ini dilakukan dengan memberikan pelat baja pada ujung-ujung kedua elemen beton pracetak yang akan disambung. Pelat baja tersebut ditanam masuk pada daerah tulangan dan dicor pada waktu pembuatan elemen pracetak. Pelat baja dari kedua komponen tersebut disatukan menggunakan alat sambung berupa baut dengan kuat tarik tinggi. Untuk menghindari terjadinya korosi pada pelat baja, setelah proses penyambungan selesai dilakukan maka pelat baja tersebut ditutup dengan adukan semen beton. Sambungan menggunakan baut diilustrasikan pada **Gambar 2.12.** (Ervianto, 2006).



Gambar 2. 12 Sambungan Menggunakan Baut

2.10.2. Sambungan Kering dengan Menggunakan Las

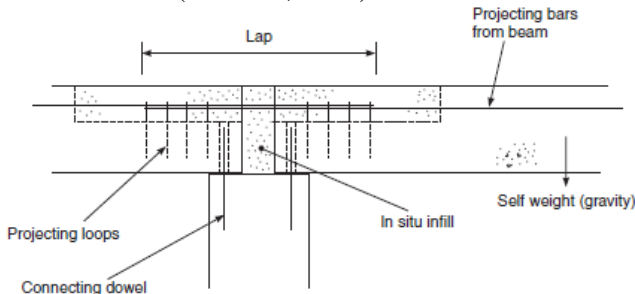
Alat sambung jenis ini menggunakan pelat baja (pelat sisip) yang ditanam masuk pada daerah tulangan dan ditempatkan pada ujung-ujung beton yang akan disatukan, kemudian di cor pada waktu pembuatan elemen pracetak. Fungsi dari pelat baja ini adalah untuk meneruskan gaya-gaya sehingga pelat baja ini harus benar-benar menyatu dengan material betonnya (Ervianto, 2006). Untuk menyatukan antar pelat sisip dari beton yang akan disambung digunakan pelat baja (pelat sambung) yang dilas ke pelat sisip. Setelah dilas, pelat disambung tersebut kemudian ditutup dengan menggunakan adukan beton. Hal ini dilakukan untuk melindungi pelat penyambung tersebut dari korosi yang membahayakan kekuatan sambungan. Sambungan menggunakan baut diilustrasikan pada **Gambar 2.13**.



Gambar 2. 13 Sambungan Menggunakan Las

2.10.3. Sambungan Basah dengan Cor di Tempat

Metode penyambungan jenis ini menggunakan tulangan biasa sebagai penyambung antar komponen beton pracetak. Komponen beton pracetak yang sudah berada di tempatnya akan dicor bagian ujungnya untuk menyambungkan komponen satu dengan yang lain. Sambungan jenis ini lebih sering digunakan dalam pelaksanaan beton pracetak karena menghasilkan struktur yang lebih kaku jika dibanding dengan menggunakan sambungan jenis lain. Selain itu sambungan jenis ini lebih mudah untuk dikerjakan dilapangan. Sambungan cor di tempat diilustrasikan pada **Gambar 2.14.** (Ervianto, 2006).

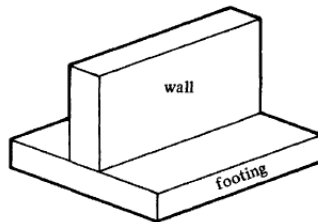


Gambar 2. 14 Sambungan Balok-Kolom dengan Cor di Tempat

2.11. Pondasi

Pondasi adalah bagian struktural yang berfungsi untuk menahan beban kolom dan dinding kemudian meneruskan beban tersebut ke tanah yang ada di bawahnya. Pada umumnya, tegangan yang diizinkan pada tanah di bawah pondasi sebesar beberapa ton per meter persegi sementara tegangan yang dihasilkan oleh kolom dan dinding umumnya lebih sebesar beberapa ratus ton per meter persegi. Dengan demikian, maka diperlukan luasan tanah yang cukup untuk meneruskan beban-beban ini ke tanah. Selain itu, pondasi juga perlu menahan geser dan guling (McCormac & Nelson, 2005). Berikut adalah beberapa jenis tipe daripada pondasi beton bertulang:

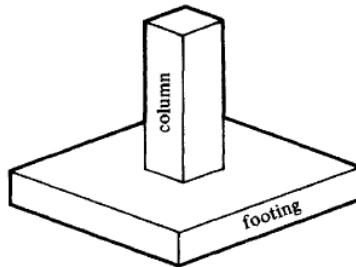
1. *Wall footing.* Pondasi ini secara sederhana adalah perpanjangan dan perbesaran dari dasar dinding untuk meneruskan beban sampai ke tanah. Pada umumnya pondasi ini digunakan pada tepi bangunan dan dapat pula digunakan digunakan pada dinding interior. *Wall Footing* diilustrasikan pada **Gambar 2.15**.



Gambar 2. 15 *Wall Footing*

Sumber: McCormac & Nelson (2005)

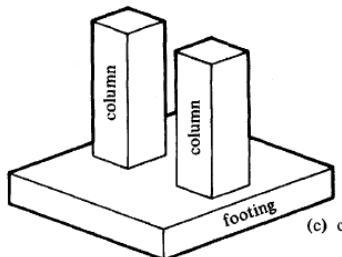
2. *Single column footing.* Pondasi ini digunakan untuk meneruskan beban dari sebuah kolom sampai ke tanah. Tipe pondasi *single footing* merupakan pondasi yang paling sering digunakan, khususnya ketika beban yang perlu diteruskan tidak terlalu besar dan jarak antar kolomnya tidak terlalu dekat. *Single column footing* diilustrasikan pada **Gambar 2.16**.



Gambar 2. 16 *Single column footing*

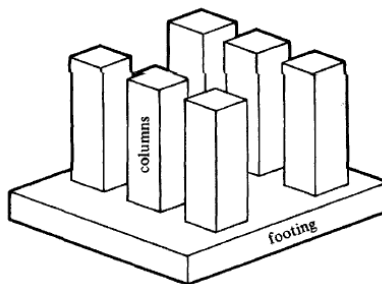
Sumber: McCormac & Nelson (2005)

3. *Combined footing.* Pondasi ini digunakan untuk meneruskan beban dari dua atau lebih kolom sampai ke tanah. Tipe pondasi ini relatif lebih ekonomis apa bila jarak antara kolom tidak terlalu jauh. *Combined footing* diilustrasikan pada **Gambar 2.17**.



Gambar 2. 17 *Combined footing*
Sumber: McCormac & Nelson (2005)

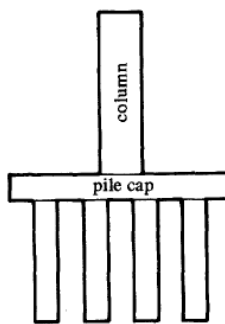
4. *Raft foundation.* Pondasi adalah pondasi beton bertulang menerus sampai pada suatu luasan yang besar dan berfungsi meneruskan beban dari banyak kolom. Untuk pondasi jenis ini, penggalian cenderung dilakukan dalam skala yang besar. Tujuan dari penggalian ini adalah untuk memindahkan tanah sampai pada berat yang sama dengan bangunan. Setelah ini dilakukan, secara teori tegangan tanah yang dihasilkan setelah bangunan selesai dibangun akan sama dengan sebelum tanah tersebut digali. *Raft foundation* diilustrasikan pada **Gambar 2.18**.



Gambar 2. 18 *Raft Foundation*

Sumber: McCormac & Nelson (2005)

5. *Pile and pilecaps.* Pondasi ini adalah sebuah pondasi beton bertulang yang berfungsi untuk meneruskan beban kepada pancang yang berada di bawahnya. (McCormac & Nelson, 2005) Pondasi ini, bersama dengan pancangnya, umum digunakan apabila tanah yang berada pada kedalaman yang dangkal tidak cukup kuat untuk menahan beban bangunan sehingga diperlukan untuk meneruskan beban sampai suatu kedalaman dimana tanah sudah cukup kuat. *Pile cap* diilustrasikan pada **Gambar 2.19**.

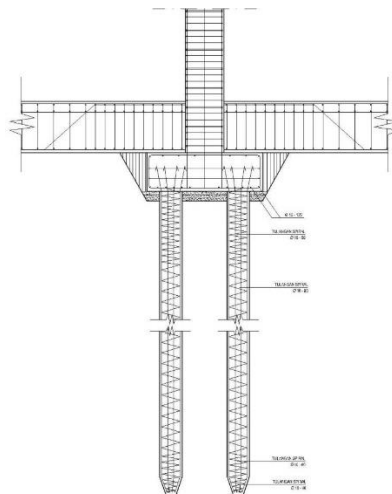


Gambar 2. 19 *Pile Cap*

Sumber: McCormac & Nelson (2005)

2.11.1. Tiang Pancang

Tiang pancang merupakan jenis pondasi yang berbentuk tiang silinder atau tiang kotak dengan panjang sekitar 10 m sampai 30 m. Penggunaan tiang pancang sebagai pondasi dikarenakan daya dukung (*bearing capacity*) yang tidak cukup kuat untuk menahan beban dari struktur di atasnya. Tiang pancang diilustrasikan pada **Gambar 2.20**.



Gambar 2. 20 Pondasi Tiang

“Halaman ini sengaja dikosongkan...”

BAB III

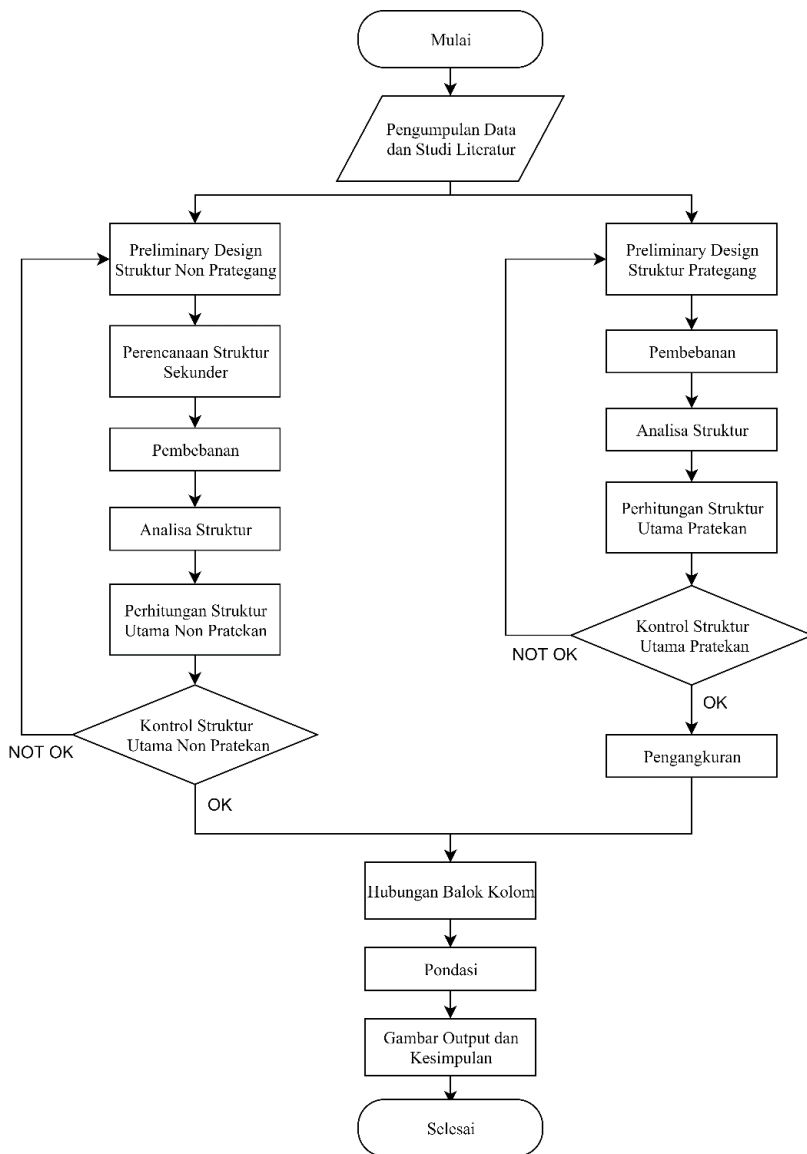
METODOLOGI

3.1. Umum

Dalam penyusunan Tugas Akhir, diperlukan langkah – langkah penggerjaan sesuai dengan kegiatan yang akan dilakukan. Urutan pelaksanaannya dimulai dari pengumpulan data, pedoman perancangan, dan sampai tujuan akhir dari analisa struktur yang akan disajikan. Hal ini bertujuan agar penyusunan tugas akhir ini dapat berjalan dengan baik

3.2. Bagan Alir Penyelesaian Tugas Akhir

Lingkup pekerjaan yang akan dilaksanakan dalam menyelesaikan Tugas Akhir ini akan diterangkan sesuai bagan alir pada **Gambar 3.1.**



Gambar 3. 1 Bagan Alir Penyelesaian Tugas Akhir

3.3. Pengumpulan Data

1. Data Umum
 - Nama Gedung : The Arundaya
 - Lokasi : Jl. Ir. Soekarno, Kec. Mulyorejo, Surabaya.
 - Fungsi : Hunian Apartemen
 - Jumlah Lantai : 47 Lantai, 3 *Basement*, dan 1 *Semi Basement*
 - Ketinggian Tiap Lantai
 - Basement 1-3* : 3 m
 - Semi Basement* : 3,5 m
 - Lantai 1 : 5 m
 - Lantai 2 : 3,5 m
 - Lantai 3 : 5 m
 - Lantai 4 : 3,5 m
 - Lantai 5 : 5 m
 - Lantai 6-47 : 3,2 m
 - Tinggi Bangunan : 160 m
 - Total Luas Area : -
 - Struktur Utama : Struktur Beton Bertulang
2. Data Bahan
 - Kekuatan Tekan Beton : -
 - Tegangan Leleh Baja : -
3. Data Gambar
 - Gambar Struktur : (Lampiran)
 - Gambar Arsitektur : (Lampiran)

Bangunan gedung tersebut akan dimodifikasi menggunakan metode beton prategang dan metode pracetak dengan data bangunan yang direncanakan sebagai berikut:

1. Data Umum
 - Nama Gedung : The Arundaya

- Lokasi : Jl. Ir. Soekarno, Kec. Mulyorejo, Surabaya.
 - Fungsi : Hunian Apartemen
 - Jumlah Lantai : 20 Lantai, 1 *Basement*.
 - Ketinggian Tiap Lantai
 - Basement* : 3 m
 - Lantai 1-5 : 5 m
 - Lantai 6-20 : 3,2 m
 - Tinggi Bangunan : 73 m
 - Total Luas Area : -
 - Struktur Utama : Struktur Beton Bertulang, Struktur Beton Pratekan
 - Metode : Pelat dan Balok Pracetak
2. Data Bahan
- Kekuatan Tekan Beton : 35 MPa
 - Tegangan Leleh Baja : 420 MPa
3. Data Gambar
- Gambar Struktur : (Lampiran)
 - Gambar Arsitektur : (Lampiran)

3.4. Studi Literatur

Literatur yang digunakan dalam penggerjaan tugas akhir ini bersumber dari beberapa buku, jurnal, dan peraturan. Literatur – literatur yang digunakan dicantumkan pada daftar pustaka.

3.5. Preliminary Design

3.5.1. Preliminary Design Struktur Utama Non Prategang

3.5.1.1. Perencanaan Dimensi Balok Induk

Perencanaan balok induk menggunakan peraturan dari SNI 2847-2019 pasal 9.3.1

a. Tinggi minimum balok

$$- h_{\min} = \frac{L}{16}, \quad (3.1)$$

digunakan apabila $f_y = 420 \text{ MPa}$

$$\text{- } h_{\min} = \frac{L}{16} \left(0.4 + \frac{f_y}{700} \right), \quad (3.2)$$

digunakan apabila $f_y \neq 420 \text{ MPa}$

$$\text{- } h_{\min} = \frac{L}{16} (1.65 - 0.0003wc) > 1.09 \quad (3.3)$$

digunakan untuk nilai W_c 1440 kg/m^3 sampai 1840 kg/m^3

b. Lebar minimum

$$\text{- } b = \frac{2}{3}xh \quad (3.4)$$

3.5.1.2. Perencanaan Dimensi Kolom

Perencanaan dimensi kolom awalnya harus menentukan beban yang akan membebani kolom tersebut, kemudian dikalikan dengan faktor beban, lalu dapat dicari luasan dari kolom tersebut sesuai dengan rumus

$$A = \frac{W}{\phi x f'c} \quad (3.5)$$

dimana:

- A = Luas kolom rencana
- W = Beban total terfaktor
- $f'c$ = Mutu beton (MPa)
- ϕ = 0,65 (faktor reduksi)

3.5.2. Preliminary Design Struktur Prategang

Menentukan dimensi awal balok prategang yang akan digunakan sesuai dengan SNI 2847:2019. Penampang awal beton prategang didesain berdasarkan ketentuan ketentuan sesuai SNI 2847:2019 pasal 22.2. Selain itu juga dapat didesain dengan asumsi yang sesuai dengan ketentuan tinggi dimensi balok pada persamaan 3.1, 3.2, 3.3, 3.4.

3.6. Perencanaan Struktur Sekunder

Perencanaan struktur sekunder dipisah dari struktur utama karena struktur sekunder hanya meneruskan beban yang ada ke struktur utama. Perencanaan struktur sekunder antara lain meliputi:

3.6.1. Perencanaan Pelat

3.6.1.1. Perencanaan Dimensi Pelat

- Menentukan tebal minimum pelat

Dimensi tebal minimum pelat dengan balok yang membentang di antara tumpuan pada semua sisinya harus memenuhi syarat SNI 2847:2019 pasal 8.3.1.2, antara lain:

- Untuk α_{f_m} sama atau lebih kecil dari 0,2 menggunakan **Tabel 3.1**

Tabel 3. 1 Tebal Minimum Pelat Tanpa Balok Interior

Tegangan leleh, f_y Mpa**	Tanpa penebalan*		Dengan penebalan*		
	Panel eksterior		Panel interior	Panel eksterior	
	Tanpa balok pinggir	Dengan balok pinggir***		Tanpa balok pinggir	Dengan balok pinggir***
280	ln / 33	ln / 36	ln / 36	ln / 36	ln / 40
420	ln / 30	ln / 33	ln / 33	ln / 33	ln / 36
520	ln / 28	ln / 31	ln / 31	ln / 31	ln / 34
Untuk kontruksi dua arah, l_n adalah panjang bentang bersih dalam arah panjang, diukur muka ke muka tumpuan pada pelat tanpa balok dan muka ke muka balok atau tumpuan lainnya pada kasus yang lain					
*Panel drop drop didefinisikan dalam 13.2.5					
** Untuk f_y antara nilai yang diberikan dalam tabel, tebal minimum harus ditentukan dengan interpolasi linier					
*** Pelat dengan balok di antara kolom kolomnya di sepanjang tepi eksterior. Nilai α_f untuk balok tepi tidak boleh kurang dari 0,8					

(SNI 2847:2019, Tabel 8.3.1.1)

- 2) Untuk α_{fm} lebih besar dari 0,2 tapi tidak lebih dari 2,0, ketebalan pelat harus memenuhi:

$$h = \frac{\ln\left(0.8 + \frac{fy}{1400}\right)}{36 + 5\beta(\alpha_{fm} - 0.2)} \quad (3.6)$$

dan tidak boleh kurang dari 125 mm.

(SNI 2847:2019, Tabel 8.3.1.2 Persamaan (b))

- 3) Untuk α_{fm} lebih besar dari 2, ketebalan pelat minimum tidak boleh kurang dari:

$$h = \frac{\ln\left(0.8 + \frac{fy}{1400}\right)}{36 + 9\beta} \quad (3.7)$$

dan tidak boleh kurang dari 90 mm.

(SNI 2847:2019, Tabel 8.3.1.2 Persamaan (d))

- 4) Pada tepi yang tidak menerus, balok tepi harus mempunyai rasio kekakuan α_t tidak kurang dari 0,8 atau sebagai alternatif ketebalan minimum yang ditentukan pada persamaan 3.6 atau 3.7 harus dinaikkan paling tidak 10 persen pada panel dengan tepi yang tidak menerus.

Dimana:

- α_{fm} adalah nilai rata – rata dari α_f untuk semua balok pada tepi dari suatu panel, dengan rumus sebagai berikut.

$$\alpha_{fm} = \frac{E.balok \times I.balok}{E.pelat \times I.pelat} \quad (3.8)$$

dengan :

$$I_{balok} = \frac{1}{12} \times K \times b \times h^3 \quad (3.9)$$

$$I_{plat} = Ly \times \frac{hf^3}{12} \quad (3.10)$$

$$K = \frac{1 + \left(\frac{be}{bw} - 1\right)x\left(\frac{hf}{hw}\right)x\left[4 - 6\left(\frac{hf}{hw}\right) + 4\left(\frac{hf}{hw}\right)^2 + \left(\frac{be}{bw} - 1\right)x\left(\frac{hf}{hw}\right)^3\right]}{1 + \left(\frac{be}{bw} - 1\right)x\left(\frac{hf}{hw}\right)} \quad (3.11)$$

- β adalah rasio bentang bersih dalam arah panjang terhadap arah pendek pelat, dengan rumus sebagai berikut.

$$\beta = \frac{L_n}{S_n} < 2 \text{ (pelat 2 arah)} \quad (3.12)$$

$$\beta = \frac{L_n}{S_n} > 2 \text{ (pelat 1 arah)} \quad (3.13)$$

dengan :

L_n = bentang bersih yang lebih panjang

S_n = bentang bersih yang lebih pendek

L_n adalah panjang bentang bersih dalam arah memanjang diukur muka ke muka balok.

b. Menentukan Lebar Efektif

Dimensi lebar efektif dari konstruksi balok-T harus memenuhi syarat SNI 2847:2019 pasal 6.3.2.1

1) Interior tidak boleh melebihi :

$$- \quad be_1 = bw + 8t \quad (3.14)$$

$$- \quad be_2 = bw + \frac{1}{2} S \quad (3.15)$$

$$- \quad be_3 = bw + \frac{1}{8} L_n \quad (3.16)$$

2) Eksterior tidak boleh melebihi dari :

$$- \quad be_1 = bw + 6t \quad (3.17)$$

$$- \quad be_2 = bw + \frac{1}{2} S \quad (3.18)$$

$$- \quad be_3 = bw + \frac{1}{12} L_n \quad (3.19)$$

dimana :

b_e = lebar efektif

L_n = bentang bersih yang lebih panjang

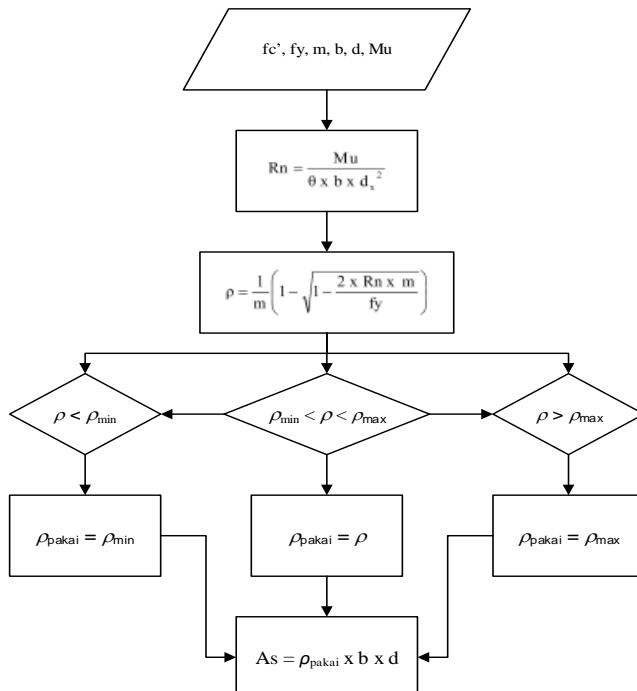
t = tebal slab

S = jarak bersih ke badan di sebelahnya

3.6.1.2. Penulangan Pelat

Perencanaan tulangan pelat terbagi menjadi perhitungan tulangan lentur pelat, perhitungan tulangan geser, dan perhitungan tulangan susut. Diagram alir perhitungan tulangan lentur pelat diilustrasikan pada **Gambar 3.2**

a. Perhitungan Tulangan Lentur Pelat



Gambar 3. 2 Diagram alir perhitungan penulangan komponen lentur

Batasan pada *spacing* tulangan yaitu:

- *Critical Sections*

Nilai *spacing* tulangan pada *critical sections* diambil dengan nilai yang terkecil dari:

$$S \leq 450 \text{ mm}$$

$$S \leq 2h$$

- *Other Sections*

Nilai *spacing* tulangan pada *sections* lainnya diambil dengan nilai yang terkecil dari:

$$S \leq 450 \text{ mm}$$

$$S \leq 3h$$

b. Perhitungan Tulangan Susut

Kebutuhan tulangan susut diatur dalam SNI 2847:2019

Pasal 24.4.3.2. luasan tulangan susut dan suhu harus menyediakan paling sedikit memiliki rasio luas tulangan terhadap luas bruto penampang beton sebagai berikut, tetapi tidak kurang dari 0,0014:

- 1) ρ_{min} pada pelat yang menggunakan batang tulangan ulir dengan tegangan leleh kurang dari 420 MPa adalah 0,0020
- 2) ρ_{min} pada pelat yang menggunakan batang tulangan ulir dengan tegangan leleh sama atau lebih dari 420 MPa adalah $0,0018\left(\frac{420}{f_y}\right)$

3.6.2. Perhitungan Balok Anak

Balok anak menerima beban dari pelat yang dihitung sebagai beban ekivalen beban trapesium dan segitiga. Beban ekivalen ini akan digunakan untuk mendapatkan gaya dalam pada balok anak lalu digunakan untuk menentukan tulangan lentur dan geser pada balok anak (perhitungan tulangan longitudinal dan geser seperti perhitungan pada balok induk).

3.7. Pembebanan

Penggunaan beban yang ada mengikuti peraturan yang ada di PPIUG-1983 serta SNI 1727:2013 dan kombinasi pembebanan menggunakan SNI 1727:2013 pasal 2.3.2. antara lain:

3.7.1. Beban Mati

Beban mati adalah berat seluruh bahan konstruksi bangunan gedung yang terpasang, termasuk dinding, lantai, atap, plafon, tangga, dinding partisi tetap, finishing, kulit bangunan gedung dan komponen arsitektural lainnya serta peralatan layan terpasang lain termasuk berat keran. (SNI 1727:2013 Pasal 3.1.1)

3.7.2. Beban Hidup

Beban hidup adalah beban yang diakibatkan oleh pengguna dan penghuni bangunan gedung atau struktur lain yang tidak termasuk beban konstruksi dan beban lingkungan, seperti beban angin, beban hujan, beban gempa, beban banjir, atau beban mati. (SNI 1727:2013 Pasal 4.1)

3.7.3. Beban Gempa

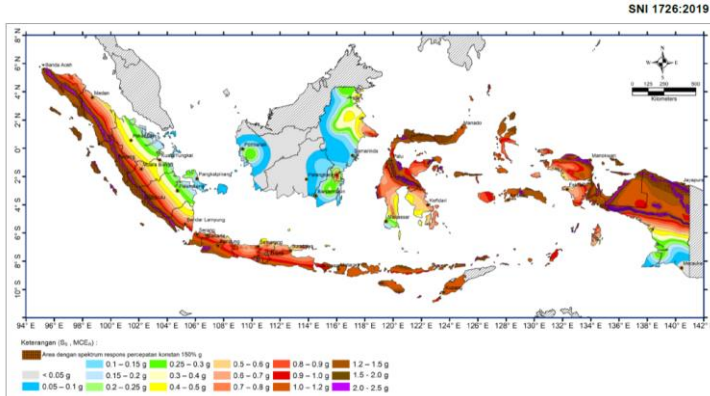
Menurut SNI 1726:2019, terdapat 2 metode analisa gempa dinamik, yaitu analisis respon spectrum dan analisis respon dinamik riwayat gempa (*time history*). Pada Tugas Akhir ini digunakan analisis gempa dengan menggunakan respon spectrum. Berikut merupakan tahapan perhitungan Analisa respon spectrum untuk mendapatkan nilai gaya gempa lateral yang timbul di semua tingkat.

3.7.3.1. Penentuan Faktor Keutamaan dan Kategori Resiko Struktur Bangunan

Sesuai Tabel 3 SNI 1726:2019, untuk berbagai resiko struktur bangunan gedung dan non gedung, pengaruh gempa rencana terhadapnya harus dikalikan dengan suatu faktor keutamaan I_e menurut Tabel 4 SNI 1726:2019.

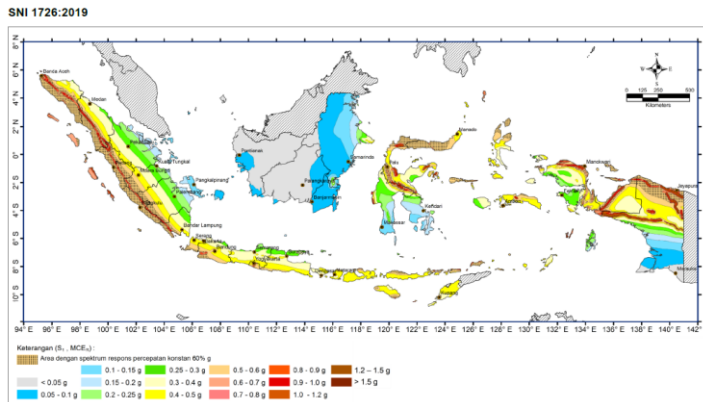
3.7.3.2. Menentukan Nilai S_s dan S_1

S_s adalah parameter percepatan *respons spectral* MCE dari peta gempa pada periode pendek, redaman 5 persen (SNI 1726:2019). Nilai S_s diperoleh dari letak bangunan sesuai dengan peta zona Indonesia pada **Gambar 3.3**.



Gambar 3. 3 S_s , Gempa maksimum yang dipertimbangkan risiko tertarget (MCE_R)
(SNI 1726:2019, Gambar 15)

S_1 adalah parameter percepatan *respons spectral* MCE dari peta gempa pada periode 1 detik, redaman 5 persen (SNI 1726:2019). Nilai S_1 diperoleh dari letak bangunan sesuai dengan peta zona gempa Indonesia **Gambar 3.4**.



Gambar 3. 4 S₁, Gempa maksimum yang dipertimbangkan risiko tertarget (MCE_R)
(SNI 1726:2019, Gambar 16)

3.7.3.3. Menentukan Faktor Amplifikasi Getaran

Untuk menentukan *respons spectral* percepatan gempa MCE_R di permukaan tanah, diperlukan faktor amplifikasi meliputi faktor amplifikasi getaran terkait percepatan pada getaran perioda pendek (Fa) dan faktor amplifikasi getaran terkait percepatan pada getaran perioda 1 detik (Fv). Faktor amplifikasi getaran terkait percepatan pada getaran perioda pendek (Fa) bergantung pada nilai situs terdahulu dan nilai S_s, sementara faktor amplifikasi getaran terkait percepatan pada getaran perioda 1 detik (Fv) bergantung pada kelas situs terdahulu dan nilai S₁.

3.7.3.4. Menentukan S_{MS} dan S_{M1}

Parameter spektrum respons percepatan pada perioda pendek (S_{MS}) dan perioda 1 detik (S_{M1}) yang disesuaikan dengan pengaruh klasifikasi situs, harus ditentukan dari persamaan berikut:

$$S_{MS} = Fa \cdot S_s \quad (3.20)$$

$$S_{M1} = Fv \cdot S_1 \quad (3.21)$$

3.7.3.5. Menghitung Nilai S_{D1} dan S_{DS}

Parameter percepatan spectral desain untuk perioda pendek, S_{DS} dan pada perioda 1 detik, S_{D1} harus ditentukan melalui persamaan berikut: (SNI 1726:2019 pasal 6.3)

$$S_{DS} = \frac{2}{3} S_{MS} \quad (3.22)$$

$$S_{D1} = \frac{2}{3} S_{M1} \quad (3.23)$$

3.7.3.6. Menentukan Koefisien Respon Seismik

Koefisien repons seismik, C_s harus ditentukan sesuai dengan ketentuan yang ditetapkan pada SNI 1726:2019 pasal 7.8.1.1 :

$$C_s = \frac{S_{ds}}{\left(\frac{R}{I_e}\right)} , \text{ (SNI 1726:2019, persamaan 31)} \quad (3.24)$$

Keterangan:

S_{ds} = parameter percepatan spectrum respon desain dalam rentang perioda pendek.

R = Faktor modifikasi respon.

I_e = Faktor keutamaan gedung

Nilai C_s tidak boleh melebihi:

$$C_s = \frac{S_{ds}}{T\left(\frac{R}{I_e}\right)}, \text{ (SNI 1726:2019, persamaan 32)} \quad (3.25)$$

Keterangan:

T = Perioda fundamental struktur

Nilai C_s tidak boleh kurang dari:

$$C_s = \frac{0.5 S_1}{\left(\frac{R}{I_e}\right)}, \text{ (SNI 1726:2019, persamaan 35)} \quad (3.26)$$

Keterangan:

S_1 = Parameter percepatan spektrum respons maksimum

3.7.3.7. Menghitung Berat Seismik Efektif

Menurut SNI 1726:2019 pasal 7.7.2, berat seismik efektif struktur, W , harus menyertakan seluruh beban mati dan beban lainnya, yaitu:

- Daerah yang digunakan untuk penyimpanan : minimum sebesar 25 % beban hidup lantai (beban lantai di garasi publik dan struktur parkiran terbuka, serta beban penyimpanan yang tidak melebihi 5 % dari berat seismik efektif pada suatu lantai tidak perlu disertakan);
- Jika ketentuan untuk partisi diisyaratkan dalam desain beban lantai, diambil yang terbesar di antara berat partisi aktual atau berat daerah lantai minimum sebesar $0,46 \text{ kN/m}^2$;
- Berat operasional total dari peralatan yang permanen;
- Berat lanskap dan beban lainnya pada taman atap dan luasan sejenis lainnya

3.7.3.8. Menghitung Distribusi Gaya Vertikal

Gaya gempa lateral (F_x), dalam (kN), yang timbul di semua tingkat harus ditentukan dari persamaan:

$$F_x = C_{vx} \cdot V \quad (3.27)$$

$$C_{vx} = \frac{W_x \cdot h_x^k}{\sum_{i=1}^n W_i h_i^k} \quad (3.28)$$

dimana :

C_{vx} = Faktor distribusi vertikal

V = Gaya lateral desain total atau geser di dasar struktur (kN)

W_x dan W_i = Bagian berat seismik efektif total struktur pada tingkat i atau x (kN)

h_x dan h_i = Tinggi dari dasar sampai tingkat i atau x , dalam meter (m)

k = Eksponen yang terkait dengan periода struktur.

3.7.4. Kombinasi Pembebaan

Beban – beban yang dibebankan kepada struktur tersebut dibebankan kepada komponen struktur menggunakan kombinasi beban berdasarkan SNI 1727:2013 Pasal 2.3.2 yaitu:

- a. $U = 1,4 D$
- b. $U = 1,2 D + 1,6 L + 0,5 (L_r \text{ atau } S \text{ atau } R)$
- c. $U = 1,2 D + 1,6 (L_r \text{ atau } S \text{ atau } R) + (L \text{ atau } 0,5W)$
- d. $U = 1,2 D + 1,0 W + L + 0,5 (L_r \text{ atau } S \text{ atau } R)$
- e. $U = 1,2 D + 1,0 E + L + 0,2 S$
- f. $U = 0,9 D + 1,0 W$
- g. $U = 0,9 D + 1,0 E$

dimana:

U = Beban *Ultimate*

D = Beban Mati

L = Beban Hidup

E = Beban Gempa

3.8. Analisa Struktur

Analisa struktur utama menggunakan program bantu untuk mendapatkan reaksi – reaksi dan gaya dalam yang terdapat pada struktur. Model harus memenuhi beberapa kriteria dibawah agar gaya gempa yang terjadi pada model dapat digunakan untuk perhitungan perencanaan.

3.8.1. Kontrol Permodelan Struktur

Kontrol permodelan struktur dilakukan setelah memperoleh Analisa dari program bantu, hal ini dilakukan agar mengetahui desain yang dilakukan telah memenuhi syarat keamanan dan sesuai dengan standar yang terdapat pada peraturan. Kontrol permodelan struktur yang dilakukan sebagai berikut.

3.8.1.1. Kontrol Perioda Fundamental Struktur (SNI 1726:2019 pasal 7.8.2)

Sesuai dengan SNI 1726:2019, perioda fundamental struktur (T), dalam arah yang ditinjau harus diperoleh

menggunakan sifat struktur dan karakteristik deformasi elemen pemikul dalam analisis yang teruji. Perioda fundamental struktur, T , tidak boleh melebihi batasan atas pada perioda yang dihitung (C_u) dari SNI 1726:2019 Tabel 17 dan perioda fundamental pendekatan, T_a , yang ditentukan sesuai dengan pasal 7.8.2.1 sebagai alternatif dalam melakukan analisis untuk menentukan perioda fundamental struktur, T , diizinkan secara langsung menggunakan perioda bangunan pendekatan, T_a , yang dihitung sesuai dengan 7.8.2.1.

$$T_a < T < C_u T_a \quad (3.29)$$

$$T_a = C_t \times h_n^x \quad (3.30)$$

Dimana:

H_n = ketinggian struktur (m)

C_t = koefisien yang ditentukan dari SNI 1726:2019 Tabel 18

X = koefisien yang ditentukan dari SNI 1726:2019 Tabel 18

3.8.1.2. Kontrol Partisipasi Massa (SNI 1726:2019 pasal 7.9.1.1)

Analisis harus dilakukan untuk menentukan ragam getar alami untuk struktur. Analisis harus menyertakan jumlah ragam yang cukup untuk mendapatkan partisipasi massa ragam terkombinasi sebesar 100% dari massa struktur. Untuk mencapai ketentuan ini, untuk ragam satu badan kaku (*single rigid body*) dengan periode 0,05 detik, diizinkan untuk mengambil semua ragam dengan periode di bawah 0,05 detik.

$$\text{Partisipasi massa} = 100\% \quad (3.31)$$

Sebagai alternatif, analisis diizinkan untuk memasukkan jumlah ragam yang minimum untuk mencapai massa ragam terkombinasi paling sedikit 90% dari massa aktual dalam masing-masing arah horizontal orthogonal dari respons yang ditinjau oleh model.

3.8.1.3. Kontrol Skala Gaya Dinamis (SNI 1726:2019 pasal 7.9.1.4.1)

Bila perioda fundamental yang dihitung melebihi $C_u T_a$, maka $C_u T_a$ harus digunakan sebagai pengganti dari T dalam arah itu. Kombinasi respons untuk geser dasar ragam (V_t) lebih kecil 100 persen dari geser dasar yang dihitung (V) melalui metode statik ekivalen maka gaya harus dikalikan dengan V/V_t .

$$V_{\text{dinamis}} = V_{\text{statis}} \quad (3.32)$$

3.8.1.4. Kontrol Drift/defleksi Bangunan (SNI 1726:2019 pasal 7.8.6)

Penentuan simpangan antar lantai tingkat desain (Δ) harus dihitung sebagai perbedaan defleksi pada pusat massa di atas dan di bawah tingkat yang ditinjau seperti pada **Gambar 3.5**. Apabila pusat massa tidak segaris dalam arah vertikal, diizinkan untuk menghitung simpangan di dasar tingkat berdasarkan proyeksi vertikal dari pusat massa tingkat di atasnya. Simpangan pusat massa di tingkat x (δ_x) (mm) harus ditentukan sesuai dengan persamaan berikut:

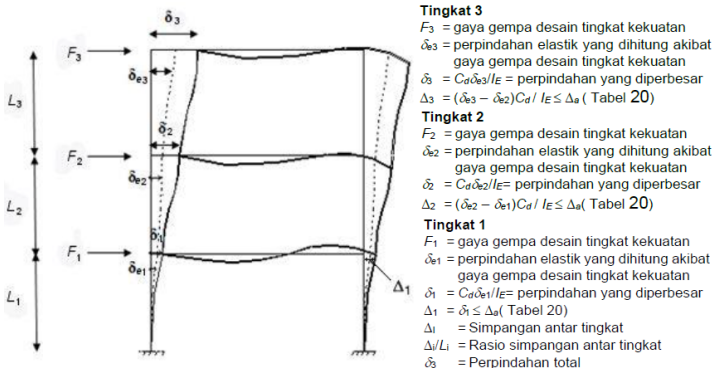
$$\delta_x = \frac{C_d \delta_{xe}}{I_e} \quad (3.33)$$

Dimana:

δ_{xe} = simpangan di tingkat-x yang disyaratkan pada pasal ini yang ditentukan dengan analisis elastis

I_e = faktor keutamaan gempa yang ditentukan sesuai dengan SNI 1729:2012 pasal 4.1.2

C_d = faktor pembesaran simpangan dalam SNI 1726:2019 Tabel 12



Gambar 3. 5 Penentuan Simpangan antar Lantai

Sumber: SNI 1726:2019 Gambar 10

3.9. Perencanaan Struktur

Perencanaan struktur yang digunakan merupakan konsep desain yang hendak digunakan pada perhitungan perencanaan gedung.

3.9.1. Perencanaan Struktur Utama Non Prategang

Setelah memperoleh analisa gaya dalam menggunakan program bantu dilakukan kontrol desain serta penulangan struktur utama sesuai dengan aturan yang terdapat pada SNI 2847:2019. Kontrol desain dilakukan untuk analisa struktur bangunan, sehingga memenuhi syarat keamanan dan sesuai dengan standar yang terdapat pada peraturan. Kontrol desain yang dilakukan berupa pengecekan terhadap kontrol geser, kontrol lentur, momen nominal, beban layan (*servisibility*) dan beban *ultimate*. Apabila desain memenuhi, maka dilanjutkan ke output gambar. Apabila tidak memenuhi, maka harus mendesain ulang dimensi struktur bangunan.

3.9.1.1. Perencanaan Tulangan Balok

Perencanaan tulangan balok terbagi atas tulangan lentur dan tulangan geser, dan tulangan torsi bila diperlukan.

a. Perencanaan tulangan lentur balok

Balok merupakan komponen struktur yang terkena beban lentur. Perhitungan penulangan lentur untuk komponen balok harus memenuhi ketentuan SRPMK yang tercantum dalam SNI 2847:2019 pasal 18.6.3.

b. Perhitungan tulangan geser balok

Perencanaan penampang geser harus didasarkan sesuai dengan SNI 2847:2019 pasal 22.9.3.1 yaitu harus memenuhi:

$$\Phi V_n \geq V_u \quad (3.34)$$

Dimana :

V_n = kuat geser nominal penampang

V_u = kuat geser terfaktor pada penampang

Φ = reduksi kekuatan geser = 0,75 (SNI 2847:2019, pasal 21.2.1)

Kuat geser nominal dari penampang terdiri dari kuat geser beton (V_c) dan tulangan (V_s).

$$V_n = V_c + V_s \quad (3.35)$$

$$V_c = 0,17\lambda\sqrt{f'}cb_w d \quad (3.36)$$

Perencanaan penampang terhadap geser harus didasarkan pada

$$\Phi V_n \geq V_u \quad (3.37)$$

Dimana :

V_u = geser terfaktor pada penampang yang ditinjau

V_n = kuat geser nominal

V_c = kuat geser beton

V_s = kuat geser nominal tulangan geser

c. Kontrol torsi

Pengaruh torsi harus diperhitungkan apabila :

$$T_u \leq 0.083\lambda\sqrt{f'c} \left(\frac{A_{cp}^2}{P_{cp}} \right) \quad (3.38)$$

Perencanaan penampang terhadap torsi:

$$T_u \leq \varphi T_n \quad (3.39)$$

Tulangan sengkang untuk puntir:

Gunakan harga terkecil dari:

$$T_n = \frac{2A_0 A_t f_y t}{s} \cot \theta \quad (3.40)$$

$$T_n = \frac{2A_0 A_t f_y}{P_h} \cot \theta \quad (3.41)$$

Dimana :

T_u = momen torsi terfaktor

T_n = kuat momen torsi

T_c = kuat torsi nominal yang disumbang oleh beton

T_s = kuat momen torsi nominal tulangan geser

A_0 = luas yang dibatasi oleh lintasan aliran geser mm^2

3.9.1.2. Perencanaan Tulangan Kolom

Perencanaan tulangan lentur pada kolom sesuai dengan SNI 2847:2019, pasal 18.7.3 dimana harus sesuai dengan filosofi *Strong Column Weak Beam* dengan syarat:

$$\sum M_{nc} > 1.2 \sum M_{nb} \quad (3.42)$$

Detail penulangan kolom akibat beban aksial tekan harus sesuai SNI 2847:2019 pasal 10.7.3. Sedangkan untuk perhitungan tulangan geser harus sesuai dengan SNI 2847:2019 pasal 10.7.6.

3.9.2. Perencanaan Struktur Utama Prategang

Dalam perencanaan beton prategang pada Tugas Akhir ini, perencanaan balok prategang dengan menggunakan sistem monolit, *jacking* ditempat dan sistem pasca tarik, yaitu sistem prategang dimana kabel ditarik setelah beton mengeras. Langkah – langkah perencanaan yang digunakan ialah sebagai berikut.

3.9.2.1. Gaya Prategang

Penentuan gaya prategang awal berpengaruh pada momen total, gaya tersebut kemudian akan disalurkan ke penampang. Gaya prategang mempengaruhi tendon dan baja sesuai dengan esentrисitas yang digunakan, terdefinisikan pada persamaan dibawah. (Nawy, 2001)

$$f = \frac{F}{A} \pm \frac{Fey}{I} \pm \frac{My}{I} \quad (3.43)$$

3.9.2.2. Pemilihan Tendon Baja Prategang

Pemilihan tendon baja prategang sangat dipengaruhi oleh gaya prategang yang ada. Pemilihan tendon harus disesuaikan dengan tegangan ijin yang berlaku pada SNI 2847:2019 pasal 20.3.2.5.

Tegangan baja yang digunakan tidak boleh melampaui nilai berikut.

- a. Tegangan ijin saat penarikan kabel (*Jacking*)

$$0,94f_{py} \text{ atau } < 0,8f_{pu} \quad (3.44)$$

dan nilai maksimum direkomendasikan oleh pemasok perangkat angkur

- b. Tegangan ijin pada saat segera setelah peralihan gaya prategang

$$0,70 f_{pu} \quad (3.45)$$

Tegangan ijin pada beton tidak boleh melebihi nilai – nilai berikut.

- a. Tegangan ijin pada saat pemberian gaya prategang (sebelum kehilangan)

$$0.70f_{ci} \quad (Tegangan tekan ujung dari balok sederhana) \quad (3.46)$$

$$0.50\sqrt{f_{ci}} \quad (Tegangan tarik ujung dari balok sederhana) \quad (3.47)$$

b. Tegangan ijin pada saat beban kerja setelah terjadi kehilangan gaya prategang

$$0.45f'_c \quad (3.48)$$

(Tegangan tekan serat terluar)

$$ft \leq 0.62\sqrt{f'_c} \quad (3.49)$$

(Tegangan tarik serat terluar kelas U)

$$0.62\sqrt{f'_c} < ft \leq \sqrt{f'_c} \quad (3.50)$$

(Tegangan tarik serat terluar kelas T)

$$ft > \sqrt{f'_c} \quad (3.51)$$

(Tegangan tarik serat terluar kelas C)

Setelah memilih tendon baja prategang, maka dilanjutkan dengan menentukan tata letak kabel sesuai dengan batas yang telah ditetapkan pada peraturan SNI 2847:2019. Tata letak kabel sangat ditentukan oleh jenis kabel yang digunakan, agar tidak melebihi batas yang telah ditetapkan.

3.9.2.3. Kehilangan Prategang

Kehilangan prategang dapat dikelompokkan kedalam 2 kategori, yaitu:

1) Kehilangan segera (kehilangan langsung)

Kehilangan langsung adalah kehilangan gaya awal prategang sesaat setelah pemberian gaya prategang pada komponen balok prategang yang terdiri dari

a. Kehilangan akibat slip angkur (SNI 2847:2019 pasal 20.3.2.6.1.a)

Perhitungan kehilangan prategang akibat pengangkuran, sebagai berikut

$$x = \sqrt{\frac{E_s \times g}{f_{pakai} \times (\mu_L^\alpha + K)}} \quad (3.52)$$

dimana :

E_s = modulus elastisitas baja prategang

g = penyetelan angkur
 μ = Koefisen gesekan
 α = sudut kelengkungan tendon
 K = Koefisien *Wobble Effect*
 L = panjang kabel

- b. Kehilangan akibat perpendekan elastis (SNI 2847:2019 pasal 20.3.2.6.1.b)

Perhitungan kehilangan prategang akibat perpendekan elastis, sebagai berikut

$$ES = Kes \times n \times F_{cir} \quad (3.53)$$

dimana :

Kes = 1 untuk komponen pratarik dan 0,5 untuk komponen pasca tarik (digunakan)
 n = perbandingan modulus elastisitas beton dan baja (E_s/E_c)
 E_s = Modulus elastisitas baja
 E_c = Modulus elastisitas beton
 F_{cir} = tegangan pada penampang beton (F_o/A)

- c. Kehilangan akibat gesekan (*Wobble Effect*) (SNI 2847:2019 pasal 20.3.2.6.2)

Perhitungan kehilangan prategang akibat gesekan, sebagai berikut:

$$Ps = Px \cdot e^{-\sum(\mu\alpha_i + KL_i)} \quad (3.54)$$

$$\Delta = (1 - e^{-\mu\alpha - KL}) \times 100\% \quad (3.55)$$

$$\alpha = 8 \times \frac{f}{L} \quad (3.56)$$

dimana :

Ps = Gaya prategang setelah terjadi kehilangan akibat *friction*
 Px = Gaya awal prategang di tengah bentang
 K = Koefisien *Wobble Effect*
 L = Panjang bersih balok

α = Sudut kelengkungan

μ = Koefisien gesekan

f = Fokus tendon (eksetrisitas dari c.g.s)

d. Kehilangan akibat kekangan kolom

Kehilangan ini perlu diperhitungkan untuk desain cor monolit, karena pada saat *jacking* beton terkekang oleh kolom. Kehilangan ini didasarkan pada sistem pengecoran *cast in place*.

$$\Delta P = \frac{M_B - M_A}{h} \quad (3.57)$$

dimana :

M_B dan M_A = Momen muka kolom pada titik A dan B akibat
gaya P yang bekerja
 h = tinggi kolom

2) Kehilangan yang tergantung oleh waktu (kehilangan tidak langsung)

Hilangnya gaya awal yang ada terjadi secara bertahap dan dalam waktu yang relatif lama (tidak secara langsung seketika saat pemberian prategang), adapun macam kehilangan tidak langsung adalah

a. Kehilangan akibat rangkak (SNI 2847:2019 pasal 20.3.2.6.1.c)

Perhitungan kehilangan prategang akibat rangkak untuk *bounded tendon*, sebagai berikut

$$CR = K_{cr} \cdot \left(\frac{E_s}{E_c} \right) \cdot [f_{cir} - f_{cds}] \quad (3.58)$$

dimana :

K_{cr} = 2 untuk pratarik 1,69 untuk pasca tarik (digunakan)

f_{cds} = tegangan beton di daerah c.g.s akibat beban tetap (*dead load*)

f_{cir} = tegangan beton di daerah c.g.s akibat gaya awal prategang

- b. Kehilangan akibat susut (SNI 2847:2019 pasal 20.3.2.6.1.d)

Untuk komponen pasca tarik dapat dihitung menggunakan rumus

$$SH = 8,2 \times 10^{-6} \cdot Ksh \cdot Es \cdot \left(1 - 0,06 \frac{V}{S}\right) \times (100 - RH) \quad (3.59)$$

dimana :

$\frac{V}{S}$ = V adalah ratio volume dan S adalah luas permukaan

Koefisien $0,06 \frac{V}{S}$, dalam satuan inchi = $0,0236 \frac{V}{S}$ dalam satuan cm.

Ksh = 1 (metode pratarik)

RH = Kelembaban relatif udara sekitar

- c. Kehilangan akibat relaksasi baja (SNI 2847:2019 pasal 20.3.2.6.1e)

Perhitungan kehilangan prategang akibat relaksasi baja, sebagai berikut

$$SH = 8,2 \times 10^{-6} \cdot Ksh \cdot Es \cdot \left(1 - 0,06 \frac{V}{S}\right) \times (100 - RH) \quad (3.60)$$

dimana :

K_{re} = Koefisien relaksasi baja

J = Koefisien relaksasi

SH = Kehilangan prategang akibat susut

CR = Kehilangan prategang akibat rangkak

ES = Kehilangan prategang akibat perpendekan elastis

C = Koefisien batang *stress relieved*

3.9.2.4. Kontrol Kuat Batas Beton Prategang

- a. Kontrol momen nominal

Kontrol terhadap tegangan yang terjadi di balok pada saat penampang mencapai kuat nominal (fps) yang menghasilkan

nilai momen nominal. Nilai f_{ps} pada balok dihitung dengan rumus pada SNI 2847:2019 pasal 20.3.2.3.

Momen nominal merupakan momen batas yang dimiliki oleh penampang beton yang fungsinya menahan momen ultimate dan momen retak yang terjadi. Momen nominal dapat dihitung dengan rumus sebagai berikut

$$M_n = A_{ps}f_{ps} \left(d_p - \frac{a}{2} \right) = A_{ps}f_{ps} \left(d_p - 0,59 \frac{A_{ps}f_{ps}}{b f_c'} \right) \quad (3.61)$$

Dengan syarat :

$$\phi M_n > M_u ; \quad \phi M_n > 1.2 M_{cr} \quad (3.62)$$

dimana :

M_n = Momen nominal

M_u = Momen *ultimate*

A_{ps} = luasan tendon prategang

f_{ps} = tegangan pada tulangan prategang disaat penampang mencapai kuat nominal

d_p = jarak penampang baja ke serat atas beton

b = lebar penampang beton

f'_c = mutu beton

ϕ = angka reduksi (0,9)

b. Kontrol kuat batas beton prategang

Kuat batas balok prategang yang diakibatkan oleh beban luar berfaktor harus memiliki nilai – nilai berikut

$$1.2 M_{cr} \leq M_u \leq \phi M_n \quad (3.63)$$

dimana :

M_{cr} = momen retak yang terjadi pada balok prategang

M_u = momen *ultimate* balok prategang

M_n = Kapasitas penampang

Φ = Faktor reduksi

c. Kontrol momen retak

Momen retak adalah momen yang menghasilkan retakan – retakan kecil pertama pada balok beton prategang yang dihitung dengan teori elastis, dengan menganggap bahwa retakan mulai terjadi saat tegangan tarik pada serat terluar beton mencapai modulus keruntuhannya (f_r). Momen retak dapat dihitung menggunakan percamaan berikut

$$M_{cr} = M_1 + M_2 \quad (3.64)$$

$$M_1 = F \times (e + Kt) \quad (3.65)$$

$$M_2 = F_r \times W_b \quad (3.66)$$

$$F_r = 0,7\sqrt{f'_c} \quad (3.67)$$

dimana :

M_{cr} = momen *crack*

F = gaya prategang pada saat servis

e = eksentrisitas tendon terhadap garis netral penampang beton

Kt = daerah kern diatas sumbu netral beton

f_r = tegangan tarik pada serat terluar beton

W_b = momen resisten bawah (I/Y_b)

d. Kontrol lentur

Kontrol terhadap tegangan yang terjadi di balok pada tahap yang kritis, baik pada saat *jacking* atau tahap beban layan. Hal ini bertujuan untuk mengetahui apakah dimensi dari balok mampu untuk memikul tegangan yang diberikan, dimana tegangan ijin yang diberikan berdasarkan (SNI 2847:2019 pasal 24.5.3)

$$\sigma_{ct,b} = -\frac{F}{A} \mp \frac{F \cdot e}{W_{t,b}} \pm \frac{M_{DL}}{W_{t,b}} \pm \frac{M_{LL}}{W_{t,b}} \leq \sigma_{ijin\ ct,b} \quad (3.68)$$

dimana :

$\sigma_{ct,b}$ = Tegangan lentur yang terjadi pada serat atas dan bawah

F	= Gaya prategang efektif setelah kehilangan
A	= Luas penampang
Wt, b	= Modulus elastis penampang
e	= Eksentrisitas dari garis netral beton prategang (c.g.c) ke tendon baja (c.g.s)
M _{DL}	= Momen akibat berat sendiri
M _{LL}	= Momen akibat beban hidup
σ _{ijin ct,b}	= Tegangan ijin sesuai ketentuan pada SNI.

e. Kontrol geser

Kontrol geser dan perhitungan tulangan geser harus sesuai dengan SNI 2847:2019 pasal 22.5.8.2. Perhitungan geser dilakukan agar struktur mampu memikul gaya geser yang diterima.

Rumus untuk perhitungan kontrol geser, sebagai berikut

$$\phi V_c \geq V_u \quad (3.69)$$

dimana :

V_c diambil terkecil dari:

$$V_c = \left(0.05\lambda\sqrt{f'c} + 4.8 \frac{V_{u,dp}}{M_u} \right) \times bw \times d \quad (3.70)$$

$$V_c = \left(0.05\lambda\sqrt{f'c} + 4.8 \right) \times bw \times d \quad (3.71)$$

$$V_c = 0,42\lambda\sqrt{f'c} \cdot bw \cdot d \quad (3.72)$$

Serta V_c harus memenuhi persyaratan berikut

$$0,17\lambda\sqrt{f'c} \cdot bw \cdot d \leq V_c \quad (3.73)$$

Sebagai alternatif dapat digunakan ketentuan SNI 2847:2013 pasal 22.5.8.3 dengan V_c harus terkecil dari V_{ci} dan V_{cw}

Ambil terbesar dari:

$$V_{ci} = \left(0.05\lambda\sqrt{f'c} \cdot bw \cdot dp + V_d + \frac{V_i \cdot M_{cre}}{M_{max}} \right) \quad (3.74)$$

$$V_{ci} = 0,14\lambda\sqrt{f'c} \cdot bw \cdot d \quad (3.75)$$

Dimana $dp \geq 0,8 h$

Dengan,

$$M_{cre} = \frac{I}{y_t} (0.05\lambda\sqrt{f'c} + f_{pe} - f_d) \quad (3.76)$$

Dan nilai – nilai M_{max} dan V_i harus dihitung dari kombinasi beban yang menyebabkan momen terfaktor maksimum pada penampang yang ditinjau.

V_{cw} harus dihitung dengan

$$V_{cw} = (0.29\lambda\sqrt{f'c} + 0.3f_{pc})bw.dp + V_p \quad (3.77)$$

dimana :

- V_c = Kuat geser nominal yang disumbangkan oleh beton
- V_u = Kuat geser *ultimate* dari kombinasi beban yang ada
- V_{ci} = Kuat geser nominal yang disumbangkan oleh beton pada saat terjadi keretakan diagonal akibat kombinasi momen dan geser
- V_{cw} = Kuat geser nominal yang disumbangkan oleh beton pada saat terjadi keretakan diagonal akibat tegangan tarik utama yang berlebihan pada badan penampang
- V_d = Gaya geser pada penampang akibat beban mati tidak terfaktor
- V_i = Gaya geser terfaktor pada penampang akibat beban luar yang terjadi bersamaan dengan M_{max}
- V_p = Komponen vertikal gaya prategang efektif pada penampang
- I = Momen inersia penampang yang menahan beban luar terfaktor yang bekerja
- y_t = Garis netral
- bw = Lebar badan / garis tengah penampang
- D = Jarak dari serat tekan terluar ke titik berat tulangan tarik

- M_{cro} = Momen yang menyebabkan terjadinya retak lentur pada penampang akibat beban luar
 M_{max} = Momen terfaktor maksimum pada penampang akibat beban luar
 f_d = Tegangan akibat beban mati tak terfaktor, pada serat terluar penampang dimana tegangan tarik disebabkan oleh beban luar
 f_{pc} = Tegangan tekan pada beton setelah kehilangan pada titik berat penampang yang menahan beban luar atau pertemuan antara badan dan flens jika titik berat terletak dalam flens
 f_{pe} = Tegangan tekan pada beton akibat gaya prategang efektif saja setelah memperhitungkan kehilangan pada serat terluar penampang dimana tegangan tarik terjadi akibat beban luar

3.9.2.5. Kontrol Lendutan

Lendutan merupakan tanda akan terjadinya kegagalan struktur, sehingga kita perlu untuk menghitung lendutan struktur agar tidak melebihi batas – batas yang telah ditetapkan. Lendutan dihitung menurut pembebanan, dimana berat sendiri dan beban eksternal mempengaruhi. Berikut adalah kontrol lendutan yang harus dilakukan yaitu

- Lendutan akibat tekanan tendon

Perhitungan lendutan akibat tekanan tendon dapat dihitung sebagai berikut

$$\Delta l_{po} = \frac{5}{384} \times \frac{P_o \times l^4}{E_c \times I} \quad (3.78)$$

Dengan nilai P_o sebesar

$$P_o = \frac{8 \times F_o \times f}{l^2} \quad (3.79)$$

dimana :

P_o = Gaya Prategang (N)

f = Fokus tendon (eksentrисitas dari c.g.s)

l = Panjang efektif (mm)

E_c = Modulus elastisitas beton (MPa)

I = Inersia balok (mm^4)

- Lendutan akibat eksentrisitas tepi balok

Eksentrisitas terhadap c.g.c pada letak tendon menyebabkan lendutan kearah bawah (karena menyebabkan momen negatif)

$$\Delta l_{me} = \frac{Po \times e \times l^2}{8 \times E_c \times I} \quad (3.80)$$

dimana:

P_o = Gaya Prategang (N)

e = Eksentrisitas dari c.g.c dari tepi balok (mm)

l = Panjang efektif (mm)

E_c = Modulus elastisitas beton (MPa)

I = Inersia balok (mm^4)

- Lendutan akibat beban sendiri

Berat sendiri menyebabkan balok terletak kebawah sehingga lendutan yang terjadi berupa lendutan ke bawah

$$\Delta l_{qo} = \frac{5}{384} \times \frac{q_o \times l^4}{E_c \times I} \quad (3.81)$$

dimana:

q_o = Beban terbagi merata (N/m)

e = Eksentrisitas dari c.g.c dari tepi balok (mm)

l = Panjang efektif (mm)

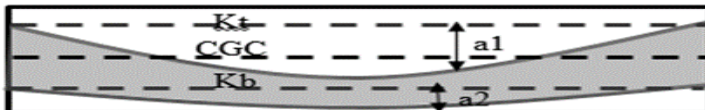
E_c = Modulus elastisitas beton (MPa)

I = Inersia balok (mm^4)

3.9.2.6. Daerah Limit Kabel

Daerah limit kabel adalah daerah batas dimana tendon dapat diletakkan. Tegangan tarik pada serat beton terjauh akibat beban layan tidak boleh melebihi nilai maksimum yang diijinkan persyaratan yang ada. Oleh karena itu diperlukan daerah batas pada

penampang beton dimana pada daerah tersebut gaya prategang dapat diterapkan pada penampang tanpa menyebabkan terjadinya tegangan tarik pada penampang beton. Daerah limit kabel diilustrasikan pada **Gambar 3.6**.



Gambar 3. 6 Daerah Limit Kabel

dimana:

$$a_1 \text{ (atas)} = \frac{M_{\max}}{F} \quad (3.82)$$

$$a_2 \text{ (bawah)} = \frac{M_{\min}}{F_o} \quad (3.83)$$

3.10. Pengangkuran

Kegagalan pada balok prategang pasca tarik tidak bisa disebabkan oleh hancurnya bantalan beton pada daerah tepat di belakang angkur tendon akibat tekanan yang sangat besar. Kegagalan ini diperhitungkan pada kondisi ekstrim saat transfer, yaitu saat gaya prategang maksimum dan pengangkuran global disyaratkan. Bila diperlukan, pada daerah pengangkuran dapat dipasang tulangan untuk memikul gaya pencar, belah dan pecah yang timbul akibat pengangkuran tendon sesuai SNI 2847:2019 pasal 25.9.3.1.

Daerah pengangkuran dianggap tersusun dari 2 buah daerah, yaitu :

a. Daerah lokal

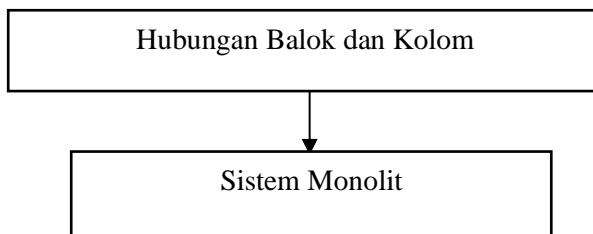
Prisma persegi (prisma persegi ekivalen untuk angkur oval) dari beton yang langsung mengelilingi alat angkur dan sebagian tulangan pengekang,

b. Daerah umum

Daerah tempat pengangkuran dimana gaya prategang terpusat disalurkan ke beton dan disebarluaskan secara merata pada seluruh penampang.

3.11. Sistem Hubungan Balok Kolom

Sistem yang digunakan untuk balok prategang dengan kolom yaitu sistem monolit, struktur monolit merupakan salah satu dari tiga penentu komponen struktur puntir. Struktur monolit diasumsikan mampu menahan geser vertikal, akan tetapi desain harus dengan bentuk penampang yang sama. Bagan hubungan balok kolom diilustrasikan pada **Gambar 3.7**.



Gambar 3. 7 Bagan Hubungan Balok Kolom

3.11.1. Metode Pelaksanaan Beton Prategang dengan Sistem Monolit

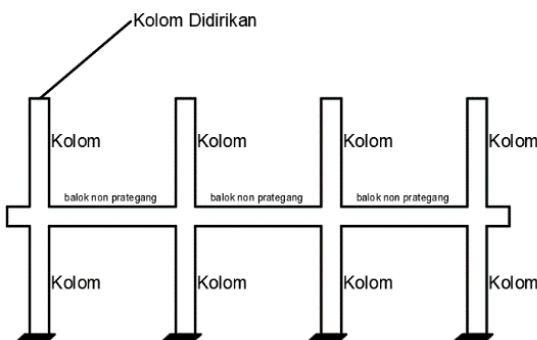
Balok prategang dengan sistem hubungan balok – kolom monolit dan menggunakan metode *post – tension*. Beton prategang dikerjakan setelah struktur utama non prategang dibawahnya selesai. Karena kolom merupakan struktur vertikal yang merupakan struktur utama dari sebuah gedung, maka pekerjaan balok prategang dikerjakan setelah kolom berdiri **Gambar 3.8**.

Bekisting beton prategang dipasang, lalu dipasang pipa selongsong lentur yang dibuat dari plastik atau *metal*, yang akan menyelubungi tendon. Pipa tersebut diletakan didalam bekisting dengan posisi diatur dan ditahan untuk membentuk pola sesuai bidang momennya. Kemudian karena pekerjaannya dilakukan dengan metode cor di tempat, maka beton langsung di cor, pengecoran ini dapat dilakukan sekaligus dengan pengecoran pelat lantai selebar B_{eff} . Pengecoran harus tetap menjaga pipa selongsong tendon tetap kokoh pada posisinya dan tidak

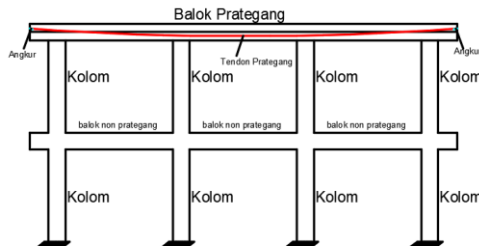
kemasukan adukan, kemudian dilakukan perawatan pengerasan beton secukupnya sampai mencapai kekuatan tertentu.

Setelah itu, tendon dimasukkan kedalam pipa selongsong yang sudah disiapkan. Tendon tersebut kemudian ditarik (*jacking*) di satu ujung dan ujung satunya. Pada saat penarikan tendon ini, sudah terjadi kehilangan gaya – gaya prategangnya. Dengan demikian *jacking* harus sudah mempertimbangkan hal – hal yang menyangkut kehilangan tersebut.

Kemudian diangkurkan, fungsi angkur untuk menahan tendon agar tidak terjadi *slip* (penggelinciran) dalam rangka upaya agar beban atau tegangan tarikan tetap bertahan pada tendon. Kemudian proses *grouting*, proses ini dilakukan dengan menyuntikkan pasta semen setelah tendon ditarik atau sebelum beban hidup bekerja. Tahapan ini diilustrasikan pada **Gambar 3.9**.



Gambar 3. 8 Pekerjaan Kolom Sistem Monolit



Gambar 3. 9 Pemberian Gaya Prategang Pada Balok Prategang Sistem Monolit

3.12. Perencanaan Sambungan

Sambungan yang digunakan adalah sambungan baut dimana digunakan acuan produk dari *Peikko Group Corporation* dengan tambahan *grouting* agar tercipta sambungan yang monolit. Sambungan terbagi menjadi sambungan daktail dan sambungan kuat, sesuai dengan SNI 2847:2019 pasal 18.9.2.1 sambungan daktail pada struktur rangka pemikul momen khusus harus memenuhi persyaratan sebagai berikut:

$$V_n \geq 2 V_e \quad (3.84)$$

Dimana:

V_n = Kuat geser nominal

V_e = Gaya geser desain untuk kombinasi pembebanan termasuk pengaruh gempa

Sedangkan sambungan pada struktur rangka pemikul momen khusus sesuai SNI 2847:2019 pasal 18.9.2.2 adalah sebagai berikut:

$$\phi S_n \geq 1.4 S_e \quad (3.85)$$

Dimana:

S_n = Kekuatan sambungan nominal

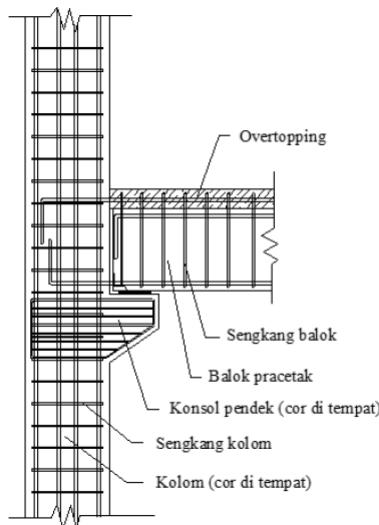
S_e = Kekuatan sambungan yang terjadi

3.12.1. Perencanaan Sambungan pada Balok-Kolom

Sambungan antara balok pracetak dengan kolom harus bersifat kaku atau monolit. Untuk menghasilkan sambungan dengan kekakuan yang relatif sama dengan beton cor di tempat, dapat dilakukan beberapa hal berikut ini.

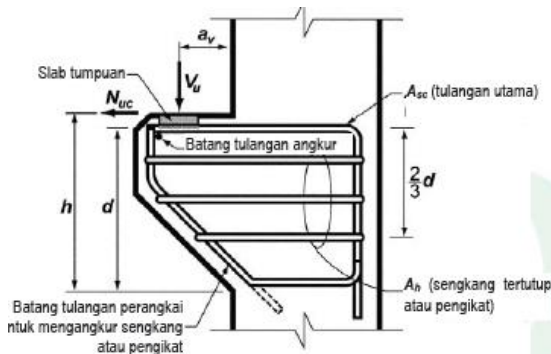
- Kombinasi dengan beton cor di tempat (*topping*), dimana permukaan balok pracetak dan kolom dikasarkan dengan amplitudo 5 mm.
- Pendetailan tulangan sambungan yang dihubungkan atau diikat secara efektif menjadi satu kesatuan, sesuai dengan aturan yang diberikan yaitu tulangan menerus atau pemberian kait standar pada sambungan ujung.
- Pemasangan dowel dan pemberian *grouting* pada tumpuan atau bidang kontak antara balok pracetak dan kolom untuk mengantisipasi gaya lateral yang bekerja pada struktur.

Ilustrasi sambungan balok dengan kolom tertera pada **Gambar 3.10.**



Gambar 3. 10 Sambungan Balok dengan Kolom

Pada perancangan sambungan balok dan kolom ini menggunakan konsol pendek. Balok induk diletakkan pada konsol pendek pada kolom kemudian dirangkai menjadi satu kesatuan. Konsol pendek diilustrasikan pada **Gambar 3.11**.

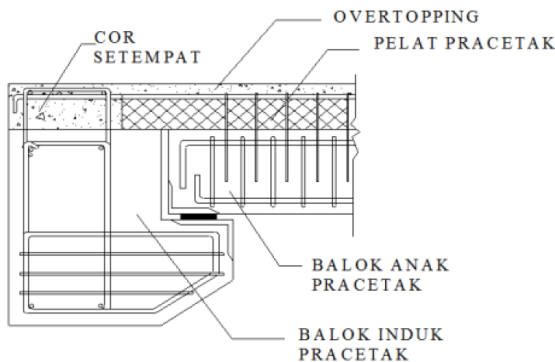


Gambar 3. 11 Parameter Geometri Konsol Pendek

3.12.2. Perencanaan Sambungan Balok Induk dengan Balok Anak

Balok anak diletakkan menumpu pada tepi balok induk dengan ketentuan panjang landasan adalah sedikitnya 1/180 kali bentang bersih komponen plat pracetak, tapi tidak boleh kurang dari 75 mm. Untuk membuat integritas struktur, maka tulangan utama balok anak baik yang tulangan atas maupun bawah dibuat menerus atau dengan kait standar yang pendetailannya sesuai dengan aturan SNI 2847:2019

Dalam perancangan sambungan balok induk dengan balok anak digunakan konsol pada balok induk. Balok anak diletakkan pada konsol pendek pada balok induk, kemudian dirangkai menjadi satu kesatuan. Perencanaan konsol pada balok induk ini sama dengan perencanaan konsol pada kolom. Seperti yang diilustrasikan pada **Gambar 3.12**.



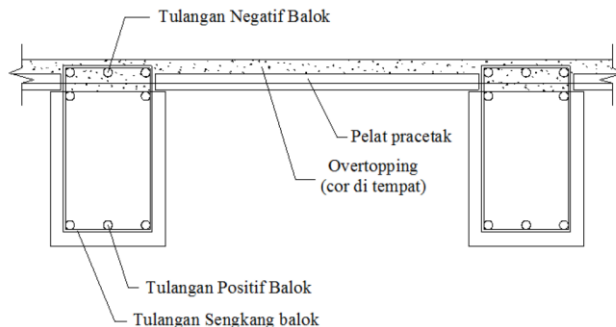
Gambar 3. 12 Sambungan Balok Induk dengan Balok Anak

3.12.3. Perencanaan Sambungan Balok Induk dengan Pelat

Untuk menghasilkan sambungan yang bersifat kaku, monolit, dan terintegrasi pada elemen-elemen ini, maka harus dipastikan gaya-gaya yang bekerja pada plat pracetak tersalurkan pada elemen balok. Hal ini dapat dilakukan dengan cara-cara sebagai berikut.

- Kombinasi dengan beton cor di tempat (*topping*), dimana permukaan pelat pracetak dan beton pracetak dikasarkan dengan amplitudo 5 mm.
- Pendetailan tulangan sambungan yang dihubungkan atau diikat secara efektif menjadi satu kesatuan, sesuai dengan aturan yang diberikan.
- *Grouting* pada tumpuan atau bidang kontak antara plat pracetak dengan balok pracetak.

Sambungan balok induk dengan pelat diilustrasikan pada **Gambar 3.13.**



Gambar 3. 13 Sambungan Balok Induk dengan Pelat

3.13. Design Bangunan Bawah

3.13.1. Perencanaan Basement

3.13.1.1. Penulangan Dinding Basement

Penulangan dinding *basement* dihitung sesuai dengan yang telah diatur dalam SNI 2847:2019

3.13.1.2. Kontrol Ketebalan Dinding Basement

Ketebalan dinding *basement* dikontrol sesuai dengan yang telah diatur dalam SNI 2847:2019 pasal 11.3.1.1

3.13.1.3. Penulangan Pelat Lantai Basement

Elevasi air tanah diasumsikan pada kondisi yang paling berbahaya, yaitu sama dengan permukaan tanah. Penulangan pelat lantai *basement* dihitung sesuai dengan yang telah diatur dalam SNI 2847:2019.

3.13.2. Perencanaan Pondasi

Dalam perencanaan pondasi untuk suatu konstruksi dapat digunakan beberapa macam tipe pondasi. Pemilihan tipe pondasi ini didasarkan atas:

- Fungsi bangunan atas yang akan dipikul oleh pondasi tersebut
- Besarnya beban dan beratnya bangunan atas
- Keadaan tanah dimana bangunan tersebut akan didirikan

- Biaya pondasi dibandingkan biaya bangunan atas

Pemakaian tiang pancang digunakan untuk pondasi suatu bangunan bila tanah dasar di bawah bangunan tersebut tidak mempunyai daya dukung yang cukup untuk memikul berat bangunan dan bebannya atau bila tanah keras yang mampu memikul berat bangunan dan bebannya letaknya sangat dalam.

Struktur pondasi direncanakan dengan menggunakan pondasi dalam, yaitu tiang pancang. Perhitungan kekuatan pondasi berdasarkan data tes tanah yang ada.

3.13.2.1. Tekanan Ijin pada Tiang

Tekanan ijin pada tiang pancang dihitung dengan persamaan:

$$P \text{ ijin tiang} = \frac{A \text{ tiang} \times Cn}{SF_1} + \frac{JHP}{SF_2} \quad (3.86)$$

dimana:

$$SF_1 = (2-3)$$

$$SF_2 = (5-8)$$

$$Cn = \text{Nilai conus (4D keatas dan 4D kebawah)}$$

$$JHP = \text{Jumlah Hambatan Lekatan}$$

3.13.2.2. Jumlah Tiang dan Efisiensi Tiang dalam Grup

Jumlah tiang pancang dan jarak antar tiang yang diperlukan dapat dihitung dengan persamaan:

$$n = \frac{\sum PU}{Pijin} \quad (3.87)$$

$$S \geq \frac{1.57(D)min - 2D}{m+n-2} \quad (3.88)$$

dimana:

$$n = \text{jumlah tiang pancang yang diperlukan}$$

$$s = \text{jarak antar tiang pancang}$$

$$m = \text{jumlah kolom}$$

$$n = \text{jumlah baris}$$

Untuk efisiensi tiang pancang dapat dihitung dengan menggunakan persamaan sebagai berikut:

$$\eta = 1 - \theta \frac{(n-1)m + (m-1)n}{90 \times m \times n} \quad (3.89)$$

$$\theta = \text{arc tan} \frac{D}{S} \quad (3.90)$$

3.13.2.3. Kontrol Kekuatan Tiang

Kekuatan tiang pancang harus melebihi dari beban maksimum yang diterima, dihitung dengan persamaan sebagai berikut:

$$P_{\max} = \frac{\sum P_u}{n} + \frac{M_y \times X_{\max}}{\sum x^2} + \frac{M_x \times Y_{\max}}{\sum y^2} \quad (3.91)$$

P_{ult} = Efisiensi tiang x P_u 1 tiang

Kontrol : $P_{ult} > P$ perlu = P_{\max}

3.13.2.4. Kontrol Geser Pons pada Poer

Dalam merencanakan tebal *poer*, harus memenuhi persyaratan bahwa kekuatan geser nominal harus lebih besar dari geser yang terjadi. Kuat geser yang disumbangkan dari beton diambil dari:

$$1. V_c = 0.17 \left(1 + \frac{2}{\beta}\right) \lambda \sqrt{f_c} b d \quad (3.92)$$

$$2. V_c = 0.083 \left(\frac{\alpha d}{b} + 2\right) \lambda \sqrt{f_c} b d \quad (3.93)$$

$$3. V_c = 0.33 \lambda \sqrt{f_c} b d \quad (3.94)$$

Keterangan :

- β = rasio dari sisi panjang terhadap sisi pendek pada kolom
- bo = keliling pada penampang kritis pada *poer*
 $= 2(b_{kolom}+d) + 2(h_{kolom}+d)$
- α_s = 30, untuk kolom tepi
 $= 40$, untuk kolom tengah
 $= 20$, untuk kolom pojok

$$\emptyset Vc > Pu \dots\dots \text{OK}, \quad (3.95)$$

(Ketebalan dan ukuran *poer* memenuhi syarat terhadap geser)

3.14. Gambar *Output*

Hasil analisa baik dari struktur sekunder, struktur utama non prategang dan struktur utama prategang dituangkan dalam gambar teknik yang mampu menjelaskan secara nyata hasil perhitungan dengan menggunakan *software* bantu sipil AutoCAD sesuai standar yang ada.

“Halaman ini sengaja dikosongkan...”

BAB IV

PEMBAHASAN

4.1. Preliminary Design

4.1.1. Umum

Preliminary design merupakan proses perencanaan awal yang akan digunakan untuk merencanakan dimensi dari struktur gedung. *Preliminary design* yang dilakukan sesuai dengan peraturan yang ada. Perencanaan yang dilakukan terhadap komponen struktur antara lain balok induk, balok anak, balok pratekan, pelat, dan kolom. Sebelum melakukan *preliminary* baiknya dilakukan penentuan data perencanaan dan beban yang akan diterima oleh struktur gedung.

4.1.2. Data Perencanaan

Perencanaan Gedung Apartemen Arundaya menggunakan beton bertulang yang menggunakan sistem beton pracetak pada elemen balok dan pelat. Data bangunan yang akan digunakan dalam penggeraan Tugas Akhir yaitu:

- Tipe Bangunan : Gedung Apartemen
- Lokasi : Mulyorejo, Surabaya
- Ketinggian Lantai :
 - *Basement* : 3 m
 - Lt.1 – Lt. 5 : 5 m
 - Lt. 6 - Lt.20 : 3.2 m
- Mutu Beton (f'_c) :
 - Balok Induk : 35 Mpa
 - Balok Anak : 35 Mpa
 - Pelat Lantai : 35 Mpa
 - Kolom : 35 Mpa
 - Balok Prategang : 35 Mpa
 - Pelat Atap : 35 Mpa
- Mutu Baja (f_y) : 420 Mpa
- Data Tanah : Terlampir

- Data Gambar : Terlampir

4.1.3. Pembebaan

1. Beban Gravitasi

- Beban Mati (PPIUG 1983)
 - Berat sendiri beton bertulang : 2400 kg/m³
 - Spesi (1 cm) : 21 kg/m²
 - Tegel : 24 kg/m²
 - Dinding bata ringan : 250 kg/m³
 - Plafond : 11 kg/m²
 - Penggantung : 7 kg/m²
 - *Plumbing + ducting* : 30 kg/m²
- Beban Hidup (SNI 1727:2013)
 - Lantai atap : 0,96 kN/m²
 - Lantai hunian : 1,92 kN/m²
 - Lantai *ballroom* : 4,79 kN/m²
 - Lantai ruang publik : 4,79 kN/m²

2. Beban Gempa

Perencanaan dan perhitungan struktur terhadap gempa berdasarkan SNI 1726:2012.

4.1.4. Perencanaan Balok

a. Perencanaan Balok Induk

Penentuan tinggi balok minimum (*h*.min) dihitung berdasarkan SNI 2847-2019 pasal 9.3.1. Tebal minimum balok non prategang atau pelat satu arah bila lendutan tidak dihitung).

Persamaan 3.1 : (untuk *f_y* = 420 Mpa)

$$h = \frac{l}{16}$$

Persamaan 3.4:

$$b = \frac{2}{3} \cdot h$$

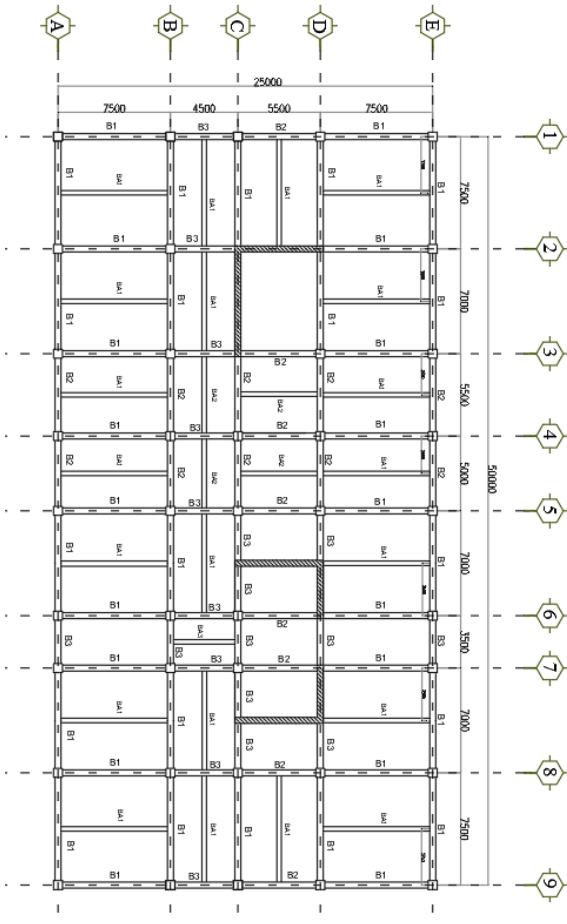
Dimana :

L = Panjang Balok (mm)

h = Tinggi Balok (mm)

b = Lebar Balok (mm)

Gedung yang direncanakan memiliki panjang balok induk yang bervariasi pada arah memanjang dan melintang yaitu pada **Gambar 4.1** berikut.



Gambar 4. 1 Gambar Denah Pembalokan Lantai 1-4

Tabel 4. 1 Rekapitulasi Dimensi Balok Induk

Nama Balok	Bentang (mm)	h min (mm)	b min (mm)	Dimensi	
				h (mm)	b (mm)
BI 1	7500	468,75	312,5	700	500
BI 2	5500	343,75	229,167	600	450
BI 3	4500	281,25	187,5	600	350

Dari hasil rekapitulasi **Tabel 4.1**, dimensi balok induk terdiri dari 50/70, 45/60, dan 35/60.

b. Perencanaan Balok Anak

Perencanaan dimensi balok anak untuk mutu beton 35 Mpa dan mutu baja 420 Mpa direncanakan sebagai balok pada dua tumpuan menerus, sehingga digunakan perumusan:

$$h_{\min} = \frac{l}{21}$$

$$b_{\min} = \frac{2}{3} \times h$$

Dimana:

l = Panjang Balok (mm)

h = Tinggi Balok (mm)

b = Lebar Balok (mm)

Dimensi balok anak dengan panjang yang berbeda diperoleh sebagaimana tertera pada **Tabel 4.2**.

Tabel 4. 2 Rekapitulasi Dimensi Balok Anak

Nama Balok	Bentang (mm)	h min (mm)	b min (mm)	Dimensi	
				h (mm)	b (mm)
BA 1	7500	357,143	238,095	500	350
BA 2	5500	261,905	174,603	450	300
BA 3	4500	214,286	142,857	400	250

Dari hasil rekapitulasi **Tabel 4.2**, dimensi balok anak terdiri dari 35/50, 30/45 dan 25/40.

c. Perencanaan Balok Pratekan

Dimensi balok Pratekan pada *preliminary design* direncanakan sebagai berikut:

$$h_{\min} = \frac{1}{20}$$

$$b_{\min} = \frac{2}{3} \times h$$

Dimana:

1 = Panjang Balok (mm)

h = Tinggi Balok (mm)

b = Lebar Balok (mm)

Tabel 4. 3 Rekapitulasi Dimensi Balok Prategang

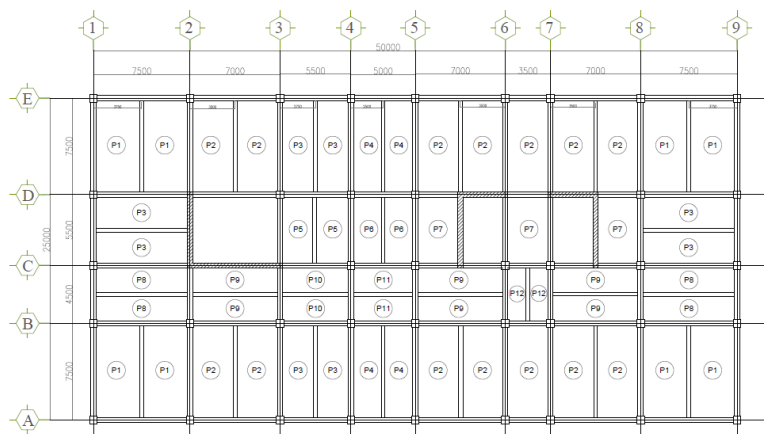
Nama Balok	Bentang (mm)	h min (mm)	b min (mm)	Dimensi	
				h (mm)	b (mm)
BP	12000	600	350	600	350

4.1.5. Perencanaan Tebal Pelat

Perencanaan ini menggunakan perhitungan pelat satu arah dan dua arah. Dimana pelat yang rasio panjang dan lebarnya kurang yaitu pelat yang rasio panjang dan lebarnya lebih dari 2, termasuk pelat satu arah. Pelat dua arah memiliki rasio panjang dan lebarnya kurang dari 2, sehingga besar pembebahan yang

diterima diteruskan pada keseluruhan pemikul di sekeliling panel pelat tersebut.

Permodelan struktur yang digunakan adalah sistem rangka pemikul momen, dimana pelat difokuskan hanya menerima beban gravitasi. Tumpuan pada sisi pelat diasumsikan sebagai perletakan jepit elastis. Variasi pelat perencanaan diilustrasikan pada **Gambar 4.2**.



Gambar 4. 2 Variasi Pelat pada Gedung Apartemen Arundaya

4.1.5.1. Pelat Satu Arah

Dasaran menentukan dimensi pelat berdasarkan SNI 7833-2012 Tabel 2 (Pasal 5.2.7.1.1)

Tabel 4. 4 Tebal Minimum Balok Non Prategang atau Pelat Satu Arah Bila Lendutan Tidak Dihitung

Komponen struktur	Tebal minimum, <i>h</i>			
	Tertumpu sederhana	Satu ujung menerus	Kedua ujung menerus	Kantilever
	Komponen struktur tidak mendukung atau tidak dihubungkan dengan partisi atau konstruksi lainnya yang mungkin rusak oleh lendutan yang besar			
Pelat massif satu arah	$\ell /20$	$\ell /24$	$\ell /28$	$\ell /10$
Balok atau pelat berusuk satu arah	$\ell /16$	$\ell /18,5$	$\ell /21$	$\ell /8$

CATATAN:

Nilai yang diberikan harus digunakan langsung untuk komponen struktur dengan beton normal dan tulangan mutu 420. Untuk kondisi lain, nilai di atas harus dimodifikasi sebagai berikut.

a) Untuk struktur beton ringan dengan densitas w_c antara 1 440 kg/m³ dan 1 840 kg/m³, nilai harus dikalikan dengan $(1,65 - 0,0003w_c)$, tapi tidak kurang dari 1,09.

b) Untuk f_y selain 420 MPa, nilai harus dikalikan dengan $(0,4 + f_y/700)$

(Sumber: SNI 7833-2012 Beton Pracetak dan Beton Pratekan)

4.1.5.2. Pelat Dua Arah

Perhitungan dimensi pelat berdasarkan syarat lendutan, ketebalan minimum dari pelat harus memenuhi persyaratan SNI 2847:2019 pasal 8.3.1.2.

- Untuk $\alpha_m \leq 0.2$ menggunakan **Tabel 3.1**
- Untuk $0.2 < \alpha_m < 2$ ketebalan minimum pelat harus memenuhi

$$h = \frac{\ln(0.8 + \frac{f_y}{1400})}{36 + 5\beta(\alpha_{fm} - 0.2)}$$

dan tidak boleh kurang dari 125 mm

- Untuk $\alpha_m \geq 2$ ketebalan minimum pelat harus memenuhi

$$h = \frac{\ln(0.8 + \frac{f_y}{1400})}{36 + 9\beta}$$

dan tidak boleh kurang dari 90 mm

L_n = Panjang bentang bersih

S_n = Lebar bentang bersih

F_y = Tegangan leleh baja

β = Rasio bentang bersih dalam arah memanjang terhadap arah memendek dari pelat 2 arah

α_m = Nilai rata-rata α untuk semua balok pada tepi-tepi dari suatu panel

Harga α_m didapat dari:

$$\alpha = \frac{E_{balok} I_{balok}}{E_{balok} I_{pelat}}$$

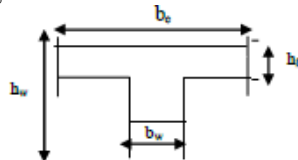
$$I_{balok} = 1/12 \times K \times b \times h^3$$

$$\beta = L_n / S_n$$

$$I_{pelat} = L_y \times h f^3 / 12$$

$$K = \frac{1 + \left(\frac{be}{bw} - 1 \right) \left(\frac{hf}{hw} \right) \left[4 - 6 \left(\frac{hf}{hw} \right) + 4 \left(\frac{hf}{hw} \right)^2 + \left(\frac{be}{bw} - 1 \right) \left(\frac{hf}{hw} \right)^3 \right]}{1 + \left(\frac{be}{bw} - 1 \right) \left(\frac{hf}{hw} \right)}$$

Balok tengah :



Gambar 4. 3 Ilustrasi

$$\text{Nilai } be_1 = bw + 8hf$$

$$be_2 = bw + 2(hw - hf)$$

$$be_2 = \frac{1}{8}Ln$$

Dari ketiga nilai be tersebut diambil yang terkecil.

4.1.5.3. Data Perencanaan Tebal Pelat Lantai

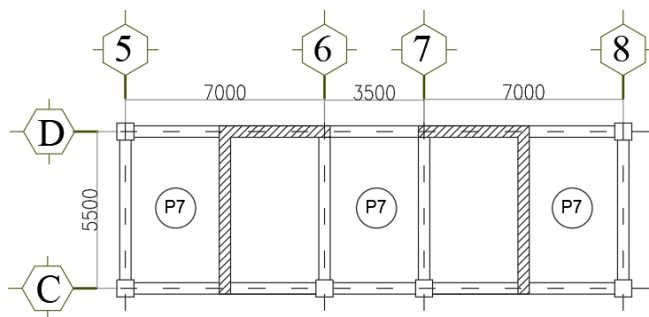
Pelat yang direncanakan pada bangunan ini memiliki spesifikasi sebagai berikut:

- Mutu beton
 - Pelat Lantai : 35 Mpa
 - Pelat Atap : 35 Mpa
- Mutu baja : 420 Mpa
- Rencana tebal pelat lantai : 14 cm

- Rencana tebal pelat atap : 14 cm

4.1.5.4. Perhitungan Tebal Pelat

- Contoh Perhitungan Tipe P7 550 x 350 cm. Ilustrasi tertera pada **Gambar 4.4**:



Gambar 4. 4 Denah Pelat Tipe 550 x 350 cm

Direncanakan $hf = 14 \text{ cm}$

$$Ln = 550 - (45 + 45) / 2$$

$$Ln = 505 \text{ cm}$$

$$Sn = 350 - (45 + 35) / 2$$

$$Sn = 305 \text{ cm}$$

$$\beta = Ln/Sn$$

$$= 505 / 305$$

$$= 1,656 < 2 \text{ (Pelat 2 arah)}$$

- Balok BI2

Perhitungan lebar efektif:

- $be = bw + 8 \times hf$

$$be = 45 + 8 \times 14$$

$$be = 157 \text{ cm}$$

- $be = bw + 2(hw - hf)$

$$be = 45 + 2(60 - 14)$$

$$be = 137 \text{ cm}$$

- $be = bw + \frac{1}{8}Ln$

$$be = 45 + \frac{1}{8}505$$

$be = 108,13 \text{ cm}$ (menentukan)

be pakai = 108,13 cm

$$k = \frac{1 + \left(\frac{be}{bw} - 1\right) \left(\frac{hf}{hw}\right) \left[4 - 6 \left(\frac{hf}{hw}\right) + 4 \left(\frac{hf}{hw}\right)^2 + \left(\frac{be}{bw} - 1\right) \left(\frac{hf}{hw}\right)^3\right]}{1 + \left(\frac{be}{bw} - 1\right) \left(\frac{hf}{hw}\right)}$$

$$k = \frac{1 + \left(\frac{108,13}{45} - 1\right) \left(\frac{14}{60}\right) \left[4 - 6 \left(\frac{14}{60}\right) + 4 \left(\frac{14}{60}\right)^2 + \left(\frac{108,13}{45} - 1\right) \left(\frac{14}{60}\right)^3\right]}{1 + \left(\frac{108,13}{45} - 1\right) \left(\frac{14}{60}\right)}$$

$$k = 1.453$$

$$I_{balok} = \frac{1}{12} \times k \times b \times h^3 \quad I_{pelat} = bs \times \frac{t^3}{12}$$

$$I_{balok} = \frac{1}{12} \times 1,45 \times 45 \times 60^3 \quad I_{pelat} = 550 \times \frac{14^3}{12}$$

$$I_{balok} = 1176652 \text{ cm}^4 \quad I_{pelat} = 125766,7 \text{ cm}^4$$

$$\alpha_m = \frac{I_{balok}}{I_{pelat}} = \frac{1176652}{125766,7} = 9,356$$

- Balok BI2

Perhitungan lebar efektif:

- $be = bw + 8 \times hf$

$$be = 45 + 8 \times 14$$

$$be = 157 \text{ cm}$$

- $be = bw + 2(hw - hf)$

$$be = 45 + 2(60 - 14)$$

$$be = 137 \text{ cm}$$

- $be = bw + \frac{1}{8}Ln$

$$be = 45 + \frac{1}{8}505$$

$be = 108,13 \text{ cm}$ (menentukan)

be pakai = 108,13 cm

$$k = \frac{1 + \left(\frac{be}{bw} - 1\right) \left(\frac{hf}{hw}\right) \left[4 - 6 \left(\frac{hf}{hw}\right) + 4 \left(\frac{hf}{hw}\right)^2 + \left(\frac{be}{bw} - 1\right) \left(\frac{hf}{hw}\right)^3\right]}{1 + \left(\frac{be}{bw} - 1\right) \left(\frac{hf}{hw}\right)}$$

$$k = \frac{1 + \left(\frac{108,13}{45} - 1\right) \left(\frac{14}{60}\right) \left[4 - 6 \left(\frac{14}{60}\right) + 4 \left(\frac{14}{60}\right)^2 + \left(\frac{108,13}{45} - 1\right) \left(\frac{14}{60}\right)^3\right]}{1 + \left(\frac{108,13}{45} - 1\right) \left(\frac{14}{60}\right)}$$

$$k = 1,453$$

$$I_{balok} = \frac{1}{12} \times k \times b \times h^3 \quad I_{pelat} = bs \times \frac{t^3}{12}$$

$$I_{balok} = \frac{1}{12} \times 1,45 \times 45 \times 60^3 \quad I_{pelat} = 550 \times \frac{14^3}{12}$$

$$I_{balok} = 1176652 \text{ cm}^4 \quad I_{pelat} = 125766,7 \text{ cm}^4$$

$$\alpha_m = \frac{I_{balok}}{I_{pelat}} = \frac{1176652}{125766,7} = 9,356$$

- Balok BI2

Perhitungan lebar efektif:

- $be = bw + 8 \times hf$
 $be = 45 + 8 \times 14$
 $be = 157 \text{ cm}$
- $be = bw + 2(hw - hf)$
 $be = 45 + 2(60 - 14)$
 $be = 137 \text{ cm}$
- $be = bw + \frac{1}{8}Ln$
 $be = 45 + \frac{1}{8}505$
 $be = 108,13 \text{ cm (menentukan)}$
 be pakai = 108,13 cm

$$k = \frac{1 + \left(\frac{be}{bw} - 1\right) \left(\frac{hf}{hw}\right) \left[4 - 6 \left(\frac{hf}{hw}\right) + 4 \left(\frac{hf}{hw}\right)^2 + \left(\frac{be}{bw} - 1\right) \left(\frac{hf}{hw}\right)^3\right]}{1 + \left(\frac{be}{bw} - 1\right) \left(\frac{hf}{hw}\right)}$$

$$k = \frac{1 + \left(\frac{108,13}{45} - 1\right) \left(\frac{14}{60}\right) \left[4 - 6 \left(\frac{14}{60}\right) + 4 \left(\frac{14}{60}\right)^2 + \left(\frac{108,13}{45} - 1\right) \left(\frac{14}{60}\right)^3\right]}{1 + \left(\frac{108,13}{45} - 1\right) \left(\frac{14}{60}\right)}$$

$k = 1,453$

$$\begin{aligned} I_{balok} &= \frac{1}{12} \times k \times b \times h^3 & I_{pelat} &= bs \times \frac{t^3}{12} \\ I_{balok} &= \frac{1}{12} \times 1,45 \times 45 \times 60^3 & I_{pelat} &= 550 \times \frac{14^3}{12} \\ I_{balok} &= 1176652 \text{ cm}^4 & I_{pelat} &= 125766,7 \text{ cm}^4 \end{aligned}$$

$$\alpha_m = \frac{I_{balok}}{I_{pelat}} = \frac{1176652}{125766,7} = 9,356$$

- Balok BI2

Perhitungan lebar efektif:

- $be = bw + 8 \times hf$
 $be = 45 + 8 \times 14$
 $be = 157 \text{ cm}$
- $be = bw + 2(hw - hf)$
 $be = 45 + 2(60 - 14)$
 $be = 137 \text{ cm}$
- $be = bw + \frac{1}{8}Ln$
 $be = 45 + \frac{1}{8}505$
 $be = 108,13 \text{ cm (menentukan)}$
 be pakai = 108,13 cm

$$k = \frac{1 + \left(\frac{be}{bw} - 1\right) \left(\frac{hf}{hw}\right) \left[4 - 6 \left(\frac{hf}{hw}\right) + 4 \left(\frac{hf}{hw}\right)^2 + \left(\frac{be}{bw} - 1\right) \left(\frac{hf}{hw}\right)^3\right]}{1 + \left(\frac{be}{bw} - 1\right) \left(\frac{hf}{hw}\right)}$$

$$k = \frac{1 + \left(\frac{108,13}{45} - 1\right) \left(\frac{14}{60}\right) \left[4 - 6 \left(\frac{14}{60}\right) + 4 \left(\frac{14}{60}\right)^2 + \left(\frac{108,13}{45} - 1\right) \left(\frac{14}{60}\right)^3\right]}{1 + \left(\frac{108,13}{45} - 1\right) \left(\frac{14}{60}\right)}$$

$k = 1,453$

$$\begin{aligned}
 I_{balok} &= \frac{1}{12} \times k \times b \times h^3 & I_{pelat} &= bs \times \frac{t^3}{12} \\
 I_{balok} &= \frac{1}{12} \times 1,45 \times 45 \times 60^3 & I_{pelat} &= 550 \times \frac{14^3}{12} \\
 I_{balok} &= 1176652 \text{ cm}^4 & I_{pelat} &= 125766,7 \text{ cm}^4 \\
 \alpha_m &= \frac{I_{balok}}{I_{pelat}} = \frac{1176652}{125766,7} = 9,356
 \end{aligned}$$

Jadi α_m rata-rata adalah
 $\alpha_m = \frac{9,36+9,36+9,36+9,36}{4} = 9,36 > 2$

Sehingga harus memenuhi persyaratan SNI 2847:2019 pasal 8.3.1.2

$$\begin{aligned}
 h_{min} &= \frac{L_n \left(0,8 + \frac{f_y}{1400} \right)}{36 + 9\beta} \\
 &= \frac{505 \left(0,8 + \frac{420}{1400} \right)}{36 + 9(1,656)} \\
 &= 10,91 \text{ cm} < 14 \text{ cm (OK)}
 \end{aligned}$$

Preliminary design pelat lantai memenuhi persyaratan sehingga dipakai tebal pelat lantai 14 cm. berikut merupakan rekapitulasi *preliminary* pelat lantai. Rekapitulasi tebal rencana pelat tertera pada **Tabel 4.5**.

Tabel 4. 5 Rekapitulasi *Preliminary Design* Pelat Lantai

Nama Pelat	panjang (mm)	lebar (mm)	Ly (mm)	Lx (mm)	β	Arah	t min (cm)	t rencana (cm)
P1	7500	3750	7100	3400	2.088	1 arah	13.39	14
P2	7500	3500	7100	3150	2.254	1 arah	12.50	14
P3	7500	2750	7200	2400	3.000	1 arah	9.82	14
P4	7500	2500	7200	2150	3.349	1 arah	8.93	14
P5	5500	2750	5200	2450	2.122	1 arah	9.82	14

P6	5500	2500	5200	2200	2.364	1 arah	8.93	14
P7	5500	3500	5050	3050	1.656	2 arah	10.91	14
P8	7500	2250	7200	1900	3.789	1 arah	8.04	14
P9	7000	2250	6700	1900	3.526	1 arah	8.04	14
P10	5500	2250	5200	1950	2.667	1 arah	8.04	14
P11	5000	2250	4700	1950	2.410	1 arah	8.04	14
P12	4500	1750	4200	1500	2.800	1 arah	6.25	14

4.1.6. Perencanaan Kolom

Kolom yang direncanakan harus mampu memikul beban aksial terfaktor yang bekerja pada semua lantai atau atap dan momen maksimum dari beban terfaktor pada satu bentang terdekat dari lantai atau atap yang ditinjau. Data - data yang diperlukan dalam menentukan dimensi kolom adalah sebagai berikut :

- Tebal Pelat = 14 cm
- Tinggi Lantai *Basement* = 300 cm
- Tinggi Lantai 1-5 = 500 cm
- Tinggi Lantai 6 - Atap = 320 cm
- Dimensi Balok Induk 1 = 50/70 cm
- Dimensi Balok Induk 3 = 35/60 cm
- Dimensi Balok Anak 1 = 35/50 cm

Menurut SNI 2847:2019 Pasal 21.2.1 elemen struktur yang menerima momen, gaya aksial, atau kombinasi momen dan gaya aksial dengan tulangan sengkang biasa yang terkontrol tekan, maka faktor reduksi ($\phi=0.65$).

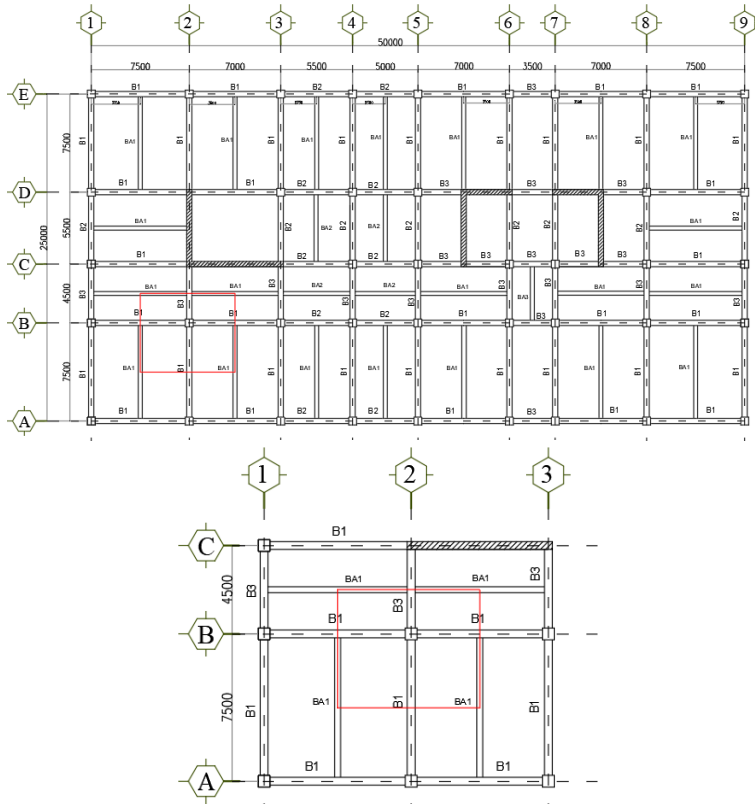
Rencana Awal Luas Penampang Kolom

$$A = \frac{W}{\phi x f' c} \quad b = h$$

Pembebatan pada kolom berdasarkan PPIUG 1983 untuk beban mati dan SNI 1727:2013 untuk beban hidup, yang

diberikan di tiap lantai sebagai perencanaan pembebanan kolom. Untuk efisiensi dan keefektifan dimensi struktur dibuat beberapa variasi kolom. Diambil satu dimensi kolom yang berbeda setiap 5 tingkatnya.

Area yang membebani kolom (Pembebanan 1 – Pembebanan 5) dapat dilihat pada **Gambar 4.5:**



Gambar 4. 5 Area yang membebani kolom (pembebanan 1-5)

Untuk beban hidup kolom diijinkan untuk beban hidup tereduksi berdasarkan SNI 1727:2013 pasal 4.8 dengan syarat komponen struktur yang memiliki faktor elemen beban hidup

(K_{LL}) dikalikan luas tributari (A_T) lebih dari sama dengan 37,16 m^2 ($K_{LL} \cdot A_T \geq 37,16 \text{ m}^2$) dapat dihitung dengan cara sebagai berikut:

$$\begin{aligned} A_{TT} &= 7,5 \text{ m} \times 6,25 \text{ m} \\ &= 45,3125 \text{ m}^2 \\ K_{LL} &= 4 \\ K_{LL} \times A_{TT} &= 4 \times 45,3125 \text{ m}^2 \\ &= 181,25 \text{ m}^2 \geq 37,16 \text{ m}^2 (\text{OK}) \end{aligned}$$

- Reduksi beban hidup pelat lantai atap

$$\begin{aligned} R_1 &= 1,2 - (0,011 \times 45,3125) \\ &= 0,702 \text{ (untuk } 18,58 \text{ m}^2 \geq A_T \geq 55,74 \text{ m}^2) \end{aligned}$$

$$R_2 = 1$$

$$Lo = 0,96 \text{ kN/m}^2$$

$$Lr = Lo \cdot R_1 \cdot R_2$$

$$= 0,6735 \text{ kN/m}^2$$

$$\text{Syarat } 0,58 \leq Lr \leq 0,96$$

- Reduksi beban hidup pelat lantai apartemen fungsi hunian

$$Lo = 1,92 \text{ kN/m}^2$$

$$L = 1,92 \left(0,25 + \frac{4,57}{\sqrt{K_{LL} \times AT}}\right) \geq 0,4 \times Lo$$

$$L = 1,92 \left(0,25 + \frac{4,57}{\sqrt{181,25}}\right) \geq 0,4 \times 1,92$$

$$L = 1,132 \text{ kN/m}^2 \geq 0,77 \text{ kN/m}^2$$

Namun, sesuai dengan SNI 1727:2013 pasal 4.7.3 dan 4.7.5 beban hidup tinggi (diatas 4,79 kN/m²) serta tempat pertemuan, beban hidup yang terjadi tidak boleh direduksi. Maka untuk beban hidup untuk fungsi ruang publik dan *ballroom* tidak direduksi.

- Beban hidup pelat lantai apartemen fungsi *ballroom* dan ruang publik

$$Lo = 4,79 \text{ kN/m}^2$$

Tabel 4. 6 Beban yang Diterima Kolom Lantai 16-20

PEMBEBANAN I			Lantai	20 - 16		
BEBAN MATI						
Jenis Beban	Berat Sendiri	Panjang (m)	Lebar (m)	Tebal (m)	Jumlah	Total Berat (kg)
Pelat	2400	7.25	6	0.14	5	73080
Plafon+Penggantung	18	7.25	6	-	5	3915
Tegel	24	7.25	6	-	5	5220
Spesi (2cm)	42	7.25	6	-	5	9135
Dinding Batu Bata	250	13.25	-	3.2	5	53000
Ducting+Plumbing	30	7.25	6	-	5	6525
Balok BI1	2400	11	0.5	0.7	5	46200
Balok BI3	2400	2.25	0.35	0.6	5	5670
Balok BA1	2400	7.375	0.35	0.5	5	15487.5
WD						212823.5
Jenis Beban	Berat Sendiri	Panjang (m)	Lebar (m)	Tebal (m)	Jumlah	Total Berat (kg)
Kolom Lantai 20-16 (45x45)	2400	0.5	0.5	3.2	4	7680
Total Beban Kolom						7680
BEBAN HIDUP						
Jenis Beban	Berat Sendiri	Panjang (m)	Lebar (m)	Tebal (m)	Jumlah	Total Berat (kg)
Lantai Hunian	114.52	7.25	6	-	4	19926.229
Atap	69.264	7.25	6	-	1	3012.984
WL						22939.213
WD Total						225912.5
WL Total						22939.213
$W = 1.2 \text{ WD} + 1.6 \text{ WL}$						307797.74

$$\text{Mutu Beton} = 35 \text{ Mpa} = 350 \text{ kg/cm}^2 \quad (1 \text{ Mpa} = 10 \text{ Kg/cm}^2)$$

$$A = \frac{W}{0,65 \times f'c} = \frac{307797,74}{0,65 \times 350} = 1352,96$$

$$b = h = \sqrt{1352,96} = 36,783 \approx 50 \text{ cm}$$

Jadi kolom yang digunakan dari lantai 16 – 20 (Atap) adalah 50/50 cm.

Tabel 4. 7 Beban yang Diterima Kolom Lantai 11-15

PEMBEBANAN II		Lantai	15 - 11								
BEBAN MATI											
Jenis Beban	Berat Sendiri	Panjang (m)	Lebar (m)	Tebal (m)	Jumlah	Total Berat (kg)					
Pelat	2400	7.25	6	0.14	5	73080					
Plafon+Penggantung	18	7.25	6	-	5	3915					
Tegel	24	7.25	6	-	5	5220					
Spesi (2cm)	42	7.25	6	-	5	9135					
Dinding Batu Bata	250	13.25	-	3.2	5	53000					
Ducting+Plumbing	30	7.25	6	-	5	6525					
Balok BI1	2400	11	0.5	0.7	5	46200					
Balok BI3	2400	2.25	0.35	0.6	5	5670					
Balok BA1	2400	7.375	0.35	0.5	5	15487.5					
Beban Diatas						218232.5					
WD						436465					
Jenis Beban	Berat Sendiri	Panjang (m)	Lebar (m)	Tebal (m)	Jumlah	Total Berat (kg)					
Kolom Lantai 20-16 (45x45)	2400	0.5	0.5	3.2	5	9600					
Kolom Lantai 15-11 (60x60)	2400	0.6	0.6	3.2	4	11059.2					
Total Beban Kolom						20659.2					
BEBAN HIDUP											
Jenis Beban	Berat Sendiri	Panjang (m)	Lebar (m)	Tebal (m)	Jumlah	Total Berat (kg)					
Lantai Hunian	114.52	7.25	6	-	5	24907.786					
Beban Diatas						22939.213					
WL						47846.998					
WD Total						457124.2					
WL Total						47846.998					
$W = 1.2 \text{ WD} + 1.6 \text{ WL}$						625104.24					

$$\text{Mutu Beton} = 35 \text{ Mpa} = 350 \text{ kg/cm}^2 \quad (1 \text{ Mpa} = 10 \text{ Kg/cm}^2)$$

$$A = \frac{W}{0,65 \times f'c} = \frac{625104,24}{0,65 \times 350} = 2747,71$$

$$b = h = \sqrt{2747,71} = 52,419 \approx 60 \text{ cm}$$

Jadi kolom yang digunakan dari lantai 11 – 15 adalah 60/60 cm.

Tabel 4. 8 Beban yang Diterima Kolom Lantai 6-10

PEMBEBANAN III			Lantai	10 - 6							
BEBAN MATI											
Jenis Beban	Berat Sendiri	Panjang (m)	Lebar (m)	Tebal (m)	Jumlah	Total Berat (kg)					
Pelat	2400	7.25	6	0.14	5	73080					
Plafon+Penggantung	18	7.25	6	-	5	3915					
Tegel	24	7.25	6	-	5	5220					
Spesi (2cm)	42	7.25	6	-	5	9135					
Dinding Batu Bata	250	13.25	-	3.2	5	53000					
Ducting+Plumbing	30	7.25	6	-	5	6525					
Balok BI1	2400	11	0.5	0.7	5	46200					
Balok BI3	2400	2.25	0.35	0.6	5	5670					
Balok BA1	2400	7.375	0.35	0.5	5	15487.5					
Beban Diatas						436465					
WD						654697.5					
Jenis Beban	Berat Sendiri	Panjang (m)	Lebar (m)	Tebal (m)	Jumlah	Total Berat (kg)					
Kolom Lantai 20-16 (45x45)	2400	0.5	0.5	3.2	5	9600					
Kolom Lantai 15-11 (60x60)	2400	0.6	0.6	3.2	5	13824					
Kolom Lantai 10-6 (75x75)	2400	0.75	0.75	3.2	4	17280					
Total Beban Kolom						40704					
BEBAN HIDUP											
Jenis Beban	Berat Sendiri	Panjang (m)	Lebar (m)	Tebal (m)	Jumlah	Total Berat (kg)					
Lantai Hunian	114.52	7.25	6	-	5	24907.786					
Beban Diatas						47846.998					
WL						72754.784					
WD Total						695401.5					
WL Total						72754.784					
$W = 1.2 \text{ WD} + 1.6 \text{ WL}$						950889.45					

$$\text{Mutu Beton} = 35 \text{ Mpa} = 350 \text{ kg/cm}^2 \quad (1 \text{ Mpa} = 10 \text{ Kg/cm}^2)$$

$$A = \frac{W}{0,65 \times f'c} = \frac{950889,45}{0,65 \times 350} = 4179,73$$

$$b = h = \sqrt{4179,73} = 64,651 \approx 75 \text{ cm}$$

Jadi kolom yang digunakan dari lantai 6 – 10 adalah 75/75 cm.

Tabel 4. 9 Beban yang Diterima Kolom Lantai Basement - 5

PEMBEBANAN IV		Lantai	5 - Basement			
BEBAN MATI						
Jenis Beban	Berat Sendiri	Panjang (m)	Lebar (m)	Tebal (m)	Jumlah	Total Berat (kg)
Pelat	2400	7.25	6	0.14	6	87696
Plafon+Penggantung	18	7.25	6	-	6	4698
Tegel	24	7.25	6	-	6	6264
Spesi (2cm)	42	7.25	6	-	6	10962
Ducting+Plumbing	30	7.25	6	-	6	7830
Balok BI1	2400	11	0.5	0.7	6	55440
Balok BI3	2400	2.25	0.35	0.6	6	6804
Balok BA1	2400	7.375	0.35	0.5	6	18585
Beban Diatas						654697.5
WD						852976.5
Jenis Beban	Berat Sendiri	Panjang (m)	Lebar (m)	Tebal (m)	Jumlah	Total Berat (kg)
Kolom Lantai 20-16 (45x45)	2400	0.5	0.5	3.2	5	9600
Kolom Lantai 15-11 (60x60)	2400	0.6	0.6	3.2	5	13824
Kolom Lantai 10-6 (75x75)	2400	0.75	0.75	3.2	5	21600
Kolom Lantai 5-Basement (90x90)	2400	0.9	0.9	5	5	48600
Total Beban Kolom						93624
BEBAN HIDUP						
Jenis Beban	Berat Sendiri	Panjang (m)	Lebar (m)	Tebal (m)	Jumlah	Total Berat (kg)
Ruang Publik	479	7.25	6	-	6	125019
Beban Diatas						72754.784
WL						197773.78
WD Total						946600.5
WL Total						197773.78
$W = 1.2 \text{ WD} + 1.6 \text{ WL}$						1452358.7

$$\text{Mutu Beton} = 35 \text{ Mpa} = 350 \text{ kg/cm}^2 \quad (1 \text{ Mpa} = 10 \text{ Kg/cm}^2)$$

$$A = \frac{W}{0,65 \times f'c} = \frac{1452358,7}{0,65 \times 350} = 6383,99$$

$$b = h = \sqrt{6383,99} = 79,9 \approx 90 \text{ cm}$$

Jadi kolom yang digunakan dari lantai *Basement – 5* adalah 90/90 cm.

Dengan perhitungan tersebut, berikut rekapitulasi dimensi kolom yang digunakan untuk awal perencanaan:

- Kolom lantai 16 – atap : 50/50 cm
- Kolom lantai 11 – 15 : 60/60 cm
- Kolom lantai 6 – 10 : 75/75 cm
- Kolom lantai *basement – 5* : 90/90 cm

4.1.7. Perencanaan Tebal Dinding Geser dan *Basement*

Menurut SNI 2847:2019 pasal 11.3.1.1, ketebalan dinding pendukung tidak boleh kurang dari 1/25 tinggi atau panjang bentang tertumpu, yang lebih pendek atau kurang dari 100 mm. Direncanakan:

a. Dinding Geser

- Tebal Dinding Geser : 320 mm
- Panjang Bentang : 7000 mm
- Tinggi : 5000 mm

$$32 \text{ cm} \geq L/25 = 7000/25 = 28,0 \text{ cm (OK)}$$

$$32 \text{ cm} \geq H/25 = 5000/25 = 20,0 \text{ cm (OK)}$$

b. Dinding *Basement*

- Tebal Dinding *Basement* : 300 mm
- Panjang Bentang : 7500 mm
- Tinggi : 5000 mm

$$30 \text{ cm} \geq L/25 = 7500/25 = 30,0 \text{ cm (OK)}$$

$$30 \text{ cm} \geq H/25 = 3000/25 = 20,0 \text{ cm (OK)}$$

Jadi, tebal *shearwall* sebesar 32 cm dan dinding *basement* sebesar 30 cm telah memenuhi syarat SNI 2847:2019 pasal 11.3.1.1.

4.2. Perencanaan Struktur Sekunder

4.2.1. Umum

Struktur gedung dibagi menjadi dua yaitu struktur utama (primer) dan struktur sekunder. Struktur sekunder tidak menahan beban secara keseluruhan, namun tetap mengalami tegangan akibat pembebahan yang bekerja secara langsung pada bagian tersebut, maupun perubahan bentuk dari struktur primer. Bagian dari struktur sekunder antara lain meliputi tangga, pelat lantai, balok *lift* dan balok anak. Pada subbab ini akan dibahas mengenai perancangan struktur sekunder.

4.2.2. Perencanaan Tangga

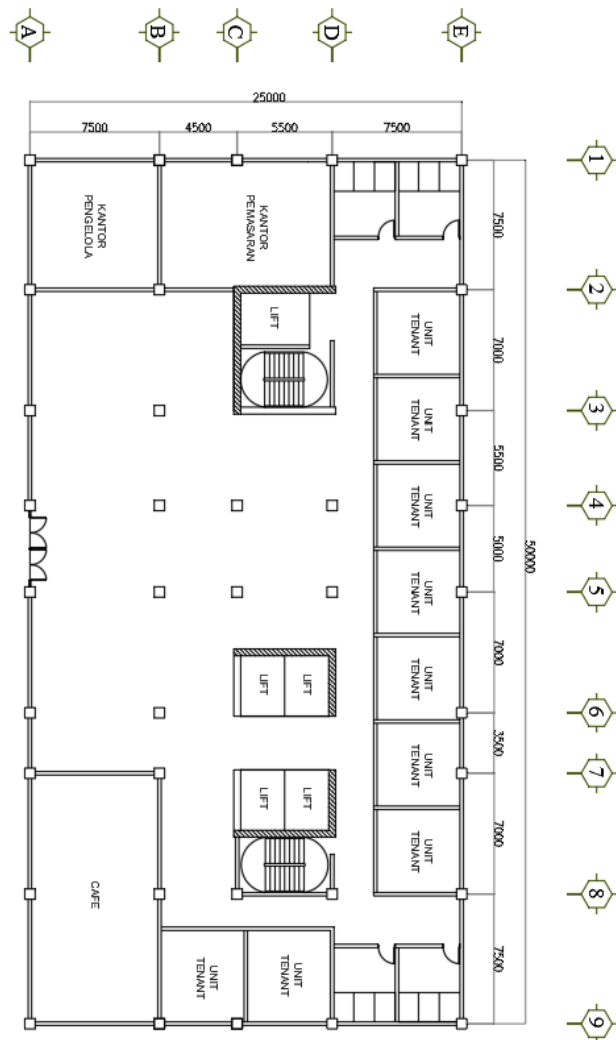
4.2.2.1. Data Perencanaan Tangga Tipe 1

- Panjang bentang tangga (L) : 550 cm
- Tinggi lantai : 320 cm
- Tinggi tanjakan (t) : 15 cm
- Lebar injakan (i) : 30 cm
- Jumlah injakan (ni) : $\frac{\text{Elevasi bordes}}{\text{Tinggi tanjakan}}$: 11 buah
- Jumlah tanjakan (nt) : ni – 1 buah : 10 buah
- Tebal pelat tangga (tp) : 14 cm
- Tebal pelat bordes : 14 cm
- Elevasi bordes : 160 cm
- Lebar bordes : $\frac{L-\text{Panjang horizontal}}{2}$: 125 cm
- Panjang bordes : 350 cm
- Lebar tangga : 175 cm
- Panjang horizontal tangga : 300 cm
- Kemiringan tangga : $\text{arc tan} \left(\frac{160}{300} \right) = 28,07^\circ$
- Tebal anak tangga rata-rata (tr) :

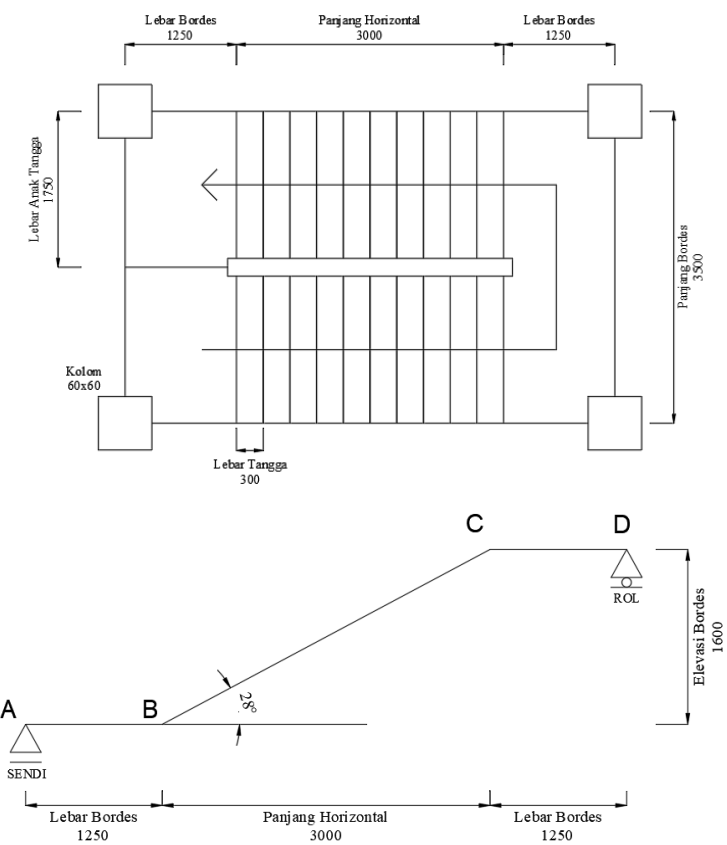
$$\frac{i}{2} x \sin \alpha = \frac{30}{2} x \sin 28,07 = 7,06 \text{ cm}$$
- Tebal pelat tangga rata-rata :

$$tp + tr = 15 + 7,06 = 22,06 \text{ cm} \approx 21 \text{ cm}$$
- Cek Syarat
 1. $60 \leq (2t+i) \leq 65$
 $60 \leq (30+30) \leq 65 \text{ (OK)}$
 2. $25^\circ \leq \alpha \leq 40^\circ$
 $25^\circ \leq 28,07 \leq 40^\circ \text{ (OK)}$

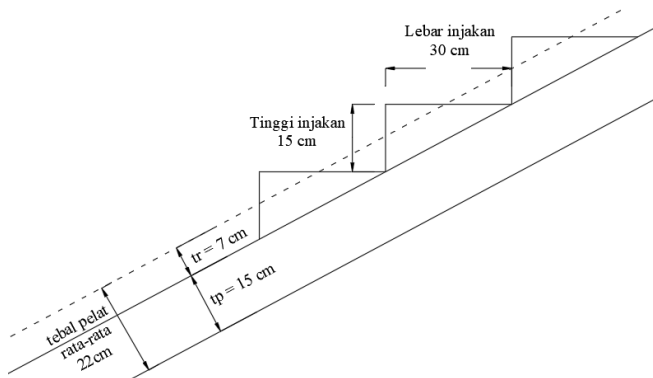
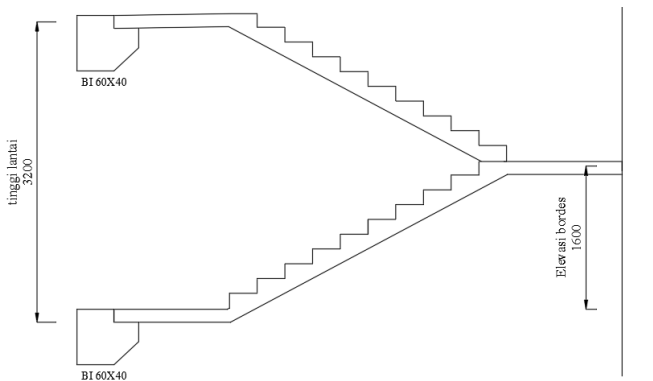
Detail perencanaan tangga dapat dilihat pada **Gambar 4.6, Gambar 4.7, dan Gambar 4.8.**



Gambar 4. 6 Denah Lantai 1



Gambar 4. 7 Desain Perencanaan Tangga



Gambar 4. 8 Detail Perencanaan Tangga

Berikut merupakan data perencanaan pada keseluruhan tipe tangga yang tertera pada **Tabel 4. 10.**

Tabel 4. 10 Data Perencanaan Tangga

Data Perencanaan	TIPE TANGGA		
	Tipe 1	Tipe 2	Tipe 3
Panjang Bentang Tangga (cm)	550	750	750
Tinggi Lantai (cm)	320	500	300
Tinggi Tanjakan (cm)	15	17	15
Lebar Injakan (cm)	30	30	30
Jumlah Injakan	11	15	10
Jumlah Tanjakan	10	14	9
Tebal Pelat Tangga (cm)	14	15	15
Tebal Pelat Bordes (cm)	14	15	15
Elevasi Bordes (cm)	160	250	150
Lebar Bordes (cm)	125	165	240
Panjang Bordes (cm)	350	400	400
Lebar Tangga (cm)	175	200	200
Panjang Horizontal Tangga (cm)	300	420	270
Kemiringan Tangga α ($^{\circ}$)	28.07	30.76	29.05
Tebal Anak Tangga Rata-rata (cm)	7.06	7.67	7.28
Tebal Pelat Tangga Rata-rata (cm)	21.00	23.00	22.00
Cek Syarat			
$60 \leq (2t+1) \leq 65$	OK	OK	OK
$25^{\circ} \leq \alpha \leq 40^{\circ}$	OK	OK	OK

(Sumber: Data Pribadi)

4.2.2.2. Pembebanan Tangga dan Bordes

Pada perhitungan pembebanan struktur tangga, beban hidup dan mati diberikan untuk lebar tangga setiap 1 m'. Berikut contoh perhitungan pembebanan pada struktur tangga Tipe 1.

a. Pembebanan Tangga

- Beban Mati

$$\begin{aligned} \text{Pelat tangga} &= \frac{0.21 \times 2400}{\cos 28,07} = 571,2 \text{ kg/m} \\ \text{Tegel (t=1)} &= 24 \times 1 = 24 \text{ kg/m} \\ \text{Spesi (t=1)} &= 21 \times 1 = 21 \text{ kg/m} \\ \text{Sandaran} &= 50 = 50 \text{ kg/m} \end{aligned}$$

Tegel dan Spesi Vertikal

$$= \frac{(24+21) \times 1m \times 1,6m}{3m} = 24 \text{ kg/m} + \\ \text{qd} = \underline{\underline{690,2 \text{ kg/m}}}$$

- Beban hidup

$$ql = 479 \text{ kg/m}$$

- Kombinasi

$$\text{qu 1} = 1,2 \times qd + 1,6 \times ql \\ = (1,2 \times 690,2) + (1,6 \times 479) \\ = \underline{\underline{1594,64 \text{ kg/m}}}$$

b. Pembebatan Bordes

- Beban Mati

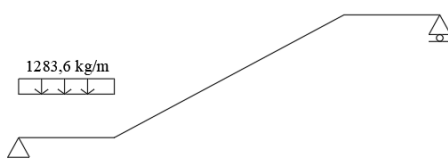
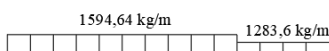
Pelat tangga	= 2400 x 0,14	= 336 kg/m
Tegel (t=1)	= 24 x 1	= 24 kg/m
Spesi (t=1)	= 21 x 2	= 21 kg/m
Sandaran	= 50	= 50 kg/m
		qd = 431 kg/m

- Beban Hidup

$$ql = 479 \text{ kg/m}$$

- Kombinasi

$$\text{qu 2} = 1,2 \times qd + 1,6 \times ql \\ = (1,2 \times 431) + (1,6 \times 479) \\ = \underline{\underline{1283,6 \text{ kg/m}}}$$



Gambar 4. 9 Beban Hidup dan Mati pada Tangga

Rekapitulasi pembebanan pada seluruh tipe tangga tertera pada **Tabel 4.11**.

Tabel 4. 11 Pembebanan pada Tangga

Data Perencanaan	TIPE TANGGA		
	Tipe 1	Tipe 2	Tipe 3
Pelat Tangga			
Beban Mati (kg/m')			
1. Berat Sendiri	571.2	642.39	604.01
2. Tegel	24	24	24
3. Spesi	21	21	21
4. Sandaran	50	50	50
5. Tegel & Spesi Vertikal	24	26.79	25
Total Beban Mati (qd)	690.20	764.17	724.01
Beban Hidup (kg/m')			
1. Beban Hidup pada Tangga	479	479	479
Total Beban Hidup (ql)	479	479	479
Beban Ultimate (kg/m')			
$qu = 1,2 qd + 1,6 ql$	1594.64	1683.41	1635.21
Pelat Bordes			
Beban Mati (kg/m')			
1. Berat Sendiri	336	360	360
2. Tegel	24	24	24
3. Spesi	21	21	21
4. Sandaran	50	50	50
Total Beban Mati (qd)	431	455	455
Beban Hidup (kg/m')			
1. Beban Hidup pada Tangga	479	479	479
Total Beban Hidup (ql)	479	479	479
Beban Ultimate (kg/m')			
$qu = 1,2 qd + 1,6 ql$	1283.6	1312.4	1312.4

(Sumber: Data Pribadi)

4.2.2.3. Perhitungan Gaya Dalam pada Tangga

Pada proses analisa struktur tangga, perhitungan dengan menggunakan mekanika teknik statis dengan permisalan sendi-

rol, dengan pembebanan tangga seperti pada **Gambar 4.8**. Berikut contoh perhitungan gaya dalam tangga Tipe 1.

- **Reaksi Perletakan**

- $\Sigma H = 0 \rightarrow H_A = 0$
- $\Sigma M_A = 0$
 $R_D (5,5) - q_1 (3) (1,25+1,5) - q_2 (1,25)(0,625)[1 + (4,25)] = 0$
 $R_D = 3996,46 \text{ kg}$
- $\Sigma V = 0$
 $R_A - q_1 (3) - q_2 (1,25 \times 2) + R_D = 0$
 $R_A = 1594,64 (3) + 1283,6(1,25 \times 2) - 3996,46 = 0$
 $R_A = 3996,46 \text{ kg}$

- **Gaya Normal**

- Pada Bordes ($0 < X < 1,25$) dan ($4,25 < X < 5,5$)
 $N = 0 \text{ kg}$
- Pada Anak Tangga ($1,25 < X < 4,25$)
 $X = 1,25 \text{ m}$
 $N_1 = -[R_A - q_2 (X)] \sin \alpha$
 $= -2391,96 \sin (28,07)$
 $= -1125,63 \text{ kg}$
 $X = 4,25$
 $N_2 = -[R_A - q_2 (1,25)] \sin \alpha + q_1 (X-1,25) \sin \alpha$
 $= -1125,63 + 1594,64 (3) \sin (28,07)$
 $= 1125,63 \text{ kg}$

- **Gaya Lintang**

- Pada Bordes ($0 < X < 1,25$) dan ($4,25 < X < 5,5$)
 $X = 0 \text{ m}$
 $D_1 = R_A$
 $= 3996,46 \text{ kg}$
 $X = 1,25 \text{ m}$
 $D_2 = R_A - q_2 (X)$
 $= 3996,46 - 1283,6 (1,25)$
 $= 2391,96 \text{ kg}$

- Pada Anak Tangga ($1,25 < X < 4,25$)

$$X = 1,25 \text{ m}$$

$$\begin{aligned} D_1 &= [R_A - q_2(X)] \cos \alpha \\ &= 2110,55 \text{ kg} \end{aligned}$$

$$X = 4,25 \text{ m}$$

$$\begin{aligned} D_2 &= [R_A - q_2(1,25)] \cos \alpha - q_1(X-1,25) \cos \alpha \\ &= -2110,55 \text{ kg} \end{aligned}$$

- **Gaya Momen**

- Pada Bordes ($0 < X < 1,25$) dan ($4,25 < X < 5,5$)

$$X = 0 \text{ m}$$

$$M_1 = 0 \text{ kgm}$$

$$X = 1,25 \text{ m}$$

$$\begin{aligned} M_2 &= R_A X - 0,5 q_2 X^2 \\ &= 3996,46(1,25) - 0,5(1283,6)(1,25)^2 \\ &= 3992,76 \text{ kgm} \end{aligned}$$

- Pada Anak Tangga ($1,25 < X < 4,25$)

$$X = 1,25 \text{ m}$$

$$M_1 = 3992,76 \text{ kgm}$$

$$X = 4,25 \text{ m}$$

$$\begin{aligned} M_2 &= R_A X - q_2(1,25)(X-0,625) - 0,5 q_1(X-1,25)^2 \\ &= 3996,46(4,25) - (1283,6)(1,25)(3,625) - 0,5(1594,64)(3)^2 \\ &= 3992,76 \text{ kgm} \end{aligned}$$

- Momen Maksimal

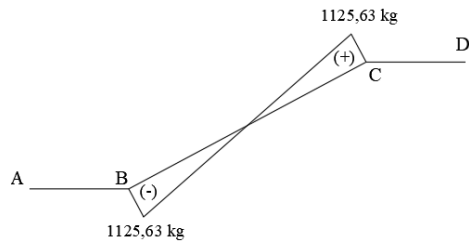
$$M_{\max} = R_A(1,25+X) - q_2(1,25)(X+0,625) - 0,5 q_1 X^2$$

$$\frac{dy}{dx} = 0$$

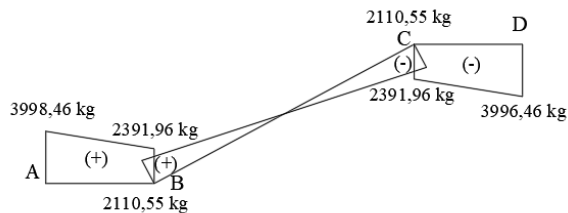
$$X = 1,5 \text{ m}$$

$$M_{\max} = 5786,7325 \text{ kgm}$$

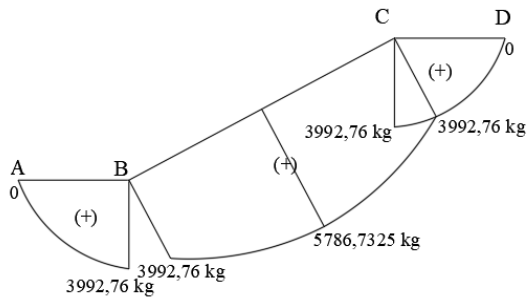
Ilustrasi diagram bidang N, D, dan M dari hasil perhitungan gaya dalam struktur tangga di atas dapat dilihat pada **Gambar 4.10, 4.11, dan 4.12.**



Gambar 4. 10 Gaya Dalam Bidang N pada Tangga



Gambar 4. 11 Gaya Dalam Bidang D pada Tangga



Gambar 4. 12 Gaya Dalam Bidang M pada Tangga

Tabel 4. 12 Gaya Dalam Tangga Kombinasi 1,2D + 1,6L

Data Perencanaan	TIPE TANGGA		
	Tipe 1	Tipe 2	Tipe 3
Reaksi Perl letakan			
Reaksi Perl letakan A (kg)	3996.46	5700.62	5357.30
Reaksi Perl letakan D (kg)	3996.46	5700.62	5357.30
Gaya Normal			
NA (kg)	0	0	0
NB kiri (kg)	0	0	0
NB kanan (kg)	-1125.63	-1808.18	-1072.07
NC kiri (kg)	1125.63	1808.18	1072.07
NC kanan (kg)	0	0	0
ND (kg)	0	0	0
Gaya Geser			
DA (kg)	3996.46	5700.62	5357.30
DB kiri (kg)	2391.96	3535.16	2207.54
DB kanan (kg)	2110.55	3037.74	1929.73
DC kiri (kg)	-2110.55	-3037.74	-1929.73
DC kanan (kg)	-2391.96	-3535.16	-2207.54
DD (kg)	-3996.46	-5700.62	-5357.30
Gaya Momen			
MA (kgm)	0	0	0
MB (kgm)	3992.76	7619.52	9077.80
MC (kgm)	3992.76	7619.52	9077.80
MD (kgm)	0	0	0
M max (kgm)	5786.73	11331.43	10567.89

(Sumber: Data Pribadi)

4.2.2.4. Perhitungan Tulangan Pelat Tangga dan Bordes

Tulangan pelat tangga dan bordes dibuat sama agar lebih mudah dalam pelaksanaan. Perhitungan tulangan tangga adalah sebagai berikut:

- **Data Perencanaan Penulangan Tangga dan Bordes**
 - $f'c = 35 \text{ Mpa}$
 - $fy = 420 \text{ Mpa}$
 - $\beta_1 = 0,85 - 0,05 \frac{(Fc' - 28)}{7} = 0,8$
 - $\rho_{\min} = \frac{0,0018 \times 420}{fy} = 0,0018$
 - $\rho_b = \frac{0,85 \times \beta_1 \times fc}{fy} \left(\frac{600}{600 + fy} \right)$
 $= \frac{0,85 \times 0,8 \times 35}{420} \left(\frac{600}{600 + 420} \right)$
 $= 0,03333$
 - $\rho_{\max} = 0,75 \times \rho_b = 0,025$
 - $m = \frac{fy}{0,85 \times fc'} = \frac{420}{0,85 \times 35} = 14,118$
 - Tebal pelat = 140 mm
 - Direncanakan tulangan = D16 mm ($As = 201,06 \text{ mm}^2$)
 - Tebal selimut beton (d') = 20 mm
 - $dx = 140 - 20 - (0,5 \times 16) = 112 \text{ mm}$
 - $dy = 140 - 20 - 16 - (0,5 \times 16) = 96 \text{ mm}$
 - $M_u = 5786,7325 \text{ kgm} = 57,8673 \text{ kNm} = 57867325 \text{ Nmm}$
 - $V_u = 3996,46 \text{ kg}$
 - $N_u = 1125,63 \text{ kg}$
- **Perhitungan Penulangan**
 - **Penulangan Longitudinal**

Penulangan terhadap momen positif

 $R_n = \frac{Mu}{bd^2} = \frac{57867325}{0,9 \times 1000 \times 112^2} = 5,1257 \text{ Mpa}$
 $\rho_{\text{perlu}} = \frac{1}{m} \left(1 - \sqrt{1 - \frac{2 \times m \times R_n}{fy}} \right)$
 $= \frac{1}{14,118} \left(1 - \sqrt{1 - \frac{2 \times 14,118 \times 5,1257}{420}} \right) = 0,0135$
 $\rho_{\text{pakai}} = 0,0135 > \rho_{\min}$
 $A_s \text{ perlu} = \rho_{\text{pakai}} \times b \times d$
 $= 0,0135 \times 1000 \times 112$
 $= 1510,69 \text{ mm}^2$

Jarak tulangan maksimum:

$$S_{\text{perlu}} = \frac{b \times As}{As_{\text{perlu}}} = \frac{1000 \times 201,06}{1510,69} = 133,09 \text{ mm}$$

$$S_{\text{pakai}} = 125 \text{ mm}$$

Kontrol Regangan:

$$a = \frac{As \times fy}{0,85 f c' b} = 21,33 \text{ mm}$$

$$c = \frac{a}{\beta_1} = \frac{21,33}{0,8} = 26,66 \text{ mm}$$

$$\varepsilon_t = \frac{(dx - c) \times 0,003}{c} = \frac{(112 - 26,66) \times 0,003}{26,66} \\ = 0,0096 > 0,005 \text{ (OK)}$$

Asumsi faktor reduksi $\varnothing = 0,9$ dapat digunakan. (OK)

∴ Digunakan tulangan lentur D16 – 125

Penulangan terhadap momen negatif

Karena memakai perletakan sendi-rol (beban gravitasi tidak ada momen negatif), maka rasio tulangan untuk momen negatif memakai ρ_{\min} .

$$\rho_{\text{pakai}} = 0,0018$$

$$As_{\text{perlu}} = \rho_{\text{pakai}} \times b \times d \\ = 0,0018 \times 1000 \times 112 \\ = 201,6 \text{ mm}^2$$

Jarak tulangan maksimum:

$$S_{\text{perlu}} = \frac{b \times As}{As_{\text{perlu}}} = \frac{1000 \times 201,06}{201,6} = 997,331 \text{ mm}$$

$$S_{\text{pakai}} = 250 \text{ mm}$$

∴ Digunakan tulangan lentur D16 – 250

- **Penulangan Geser** (SNI 2847:2019 Pasal 22.5.6.1)

Komponen struktur dibeban tekan aksial.

$$V_c = 0,17x \left(1 + \frac{Nu}{Ag \times 14}\right) x \sqrt{fc'} x bw x d$$

$$V_c = 0,17x \left(1 + \frac{11256,282}{1000 \times 150 \times 14}\right) x \sqrt{35} x 1000 x 112$$

$$V_c = 113073,43 \text{ N}$$

$$V_n = 0,5 x \varnothing x V_c = 0,5 x 0,75 x 113073,43$$

$$= 42402,53 \text{ N}$$

$V_n > V_u \rightarrow$ tidak perlu tulangan geser

- **Penulangan Susut (SNI 2847:2019 Pasal 24.4.3.2)**

Tulangan susut menggunakan $\rho_{min} = 0,0018$

ρ pakai = 0,0018

$$\begin{aligned} A_s \text{ perlu} &= \rho_{\text{pakai}} \times b \times d \\ &= 0,0018 \times 1000 \times 112 \\ &= 201,6 \text{ mm}^2 \end{aligned}$$

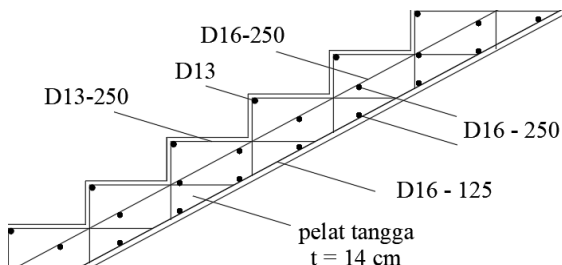
Jarak tulangan maksimum:

$$S \text{ perlu} = \frac{b \times A_s}{A_s \text{ perlu}} = \frac{1000 \times 201,06}{201,6} = 997,33 \text{ mm}$$

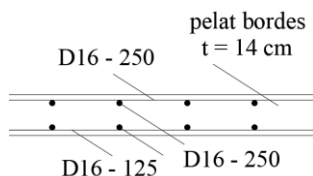
S pakai = 250 mm

\therefore **Digunakan tulangan susut D16 – 250**

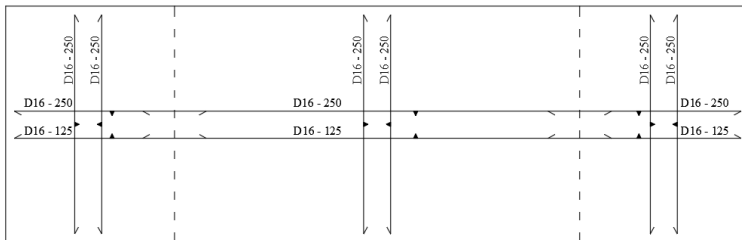
Detail penulangan tangga tipe 1 dapat dilihat pada **Gambar 4.13, 4.14, dan 4.15**. Serta rekapitulasi penulangan untuk seluruh tipe tangga tertera pada **Tabel 4.13**.



Gambar 4. 13 Desain Tulangan Pelat Tangga



Gambar 4. 14 Desain Tulangan Pelat Bordes



Gambar 4. 15 Penulangan Pelat Tangga dan Pelat Bordes

Tabel 4. 13 Rekapitulasi Tulangan Tangga

Tipe Tangga	Tulangan		
	Longitudinal Positif	Longitudinal Negatif	Susut
Tipe 1	D16 -125 mm	D16 - 250 mm	D16 - 250 mm
Tipe 2	D16 - 50 mm	D16 - 250 mm	D16 - 300 mm
Tipe 3	D16 - 50 mm	D16 - 250 mm	D16 - 300 mm

4.2.3. Perencanaan Struktur Pelat

Pada tugas akhir ini, terdapat dua jenis pelat yang akan direncanakan, yaitu pelat lantai dan pelat atap. Akan tetapi, untuk efisiensi kinerja sistem pracetak, pelat atap akan direncanakan sama dengan pelat lantai. Berdasarkan penelitian Minehiro Nishiyama tentang *Precast Concrete Research, Design, and Construction in Japan* yang mengacu pada AIJ standard bahwa tebal minimal total tebal pelat adalah 80 mm, dimana untuk pelat topping adalah 50 mm dan untuk precast slab 30 mm. Maka, pelat yang digunakan ialah pelat *half slab* dengan tebal pelat pracetak setebal 9 cm dan *overtopping* setebal 5 cm. Dalam perencanaan pelat pada tugas akhir ini, terdapat 12 tipe pelat.

Perencanaan pelat didasarkan pada beberapa keadaan, yaitu saat pengangkatan, sebelum komposit, dan setelah komposit.

- Saat Pengangkatan

Keadaan ini terjadi pada saat instalasi pelat *half slab*, dimana dilakukan proses pengangkatan pelat ke tempat

yang direncanakan. Pengangkatan direncanakan dilakukan pada hari ke-14 dengan nilai kekuatan beton sebesar 30,8 MPa.

- Sebelum Komposit

Keadaan ini terjadi pada saat awal pengecoran *topping* yaitu komponen pracetak dan komponen topping belum menyatu dalam memikul beban, perletakkan pelat pada kondisi diasumsikan sebagai perletakan bebas diatas balok.

- Setelah Komposit

Keadaan ini terjadi saat *topping* dan elemen pracetak pelat telah bekerja bersama-sama dalam memikul beban.

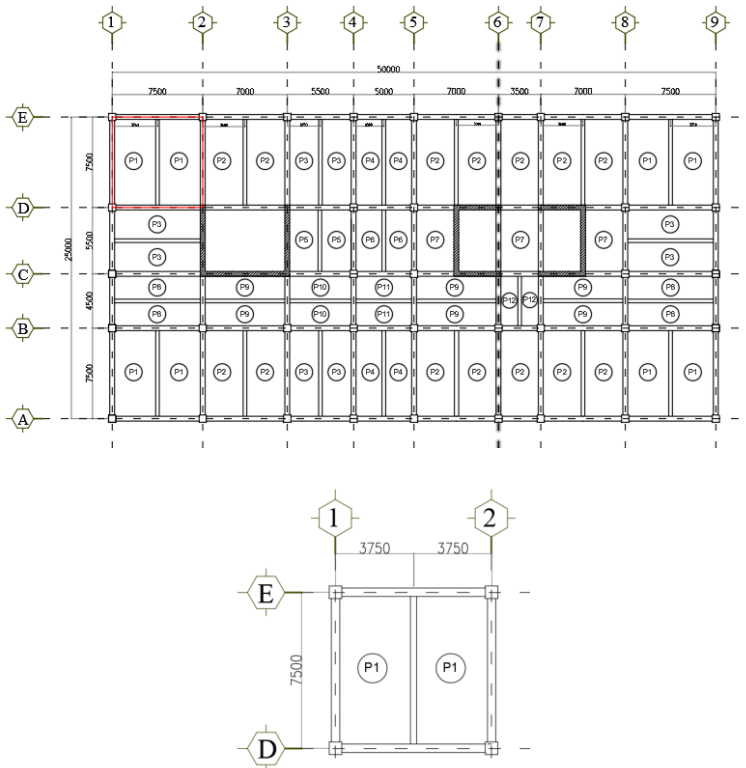
Penulangan yang digunakan ialah penulangan yang paling kritis dari ketiga keadaan diatas. Selain itu, dalam tugas akhir ini juga akan direncanakan tulangan angkat untuk pengangkatan pelat pracetak. Struktur pelat pracetak direncanakan menggunakan pelat sambungan balok dengan pelat menggunakan sistem *overtopping*. Peraturan yang digunakan untuk besar beban yang bekerja pada struktur pelat menggunakan SNI 2847:2019 dan PCI Handbook.

4.2.3.1. Data Perencanaan Pelat

Contoh perhitungan ialah untuk pelat P1 (7500 x 3750 mm) dengan data perencanaan sebagai berikut:

- Tebal pelat	= 14 cm (9 cm pracetak)
- Mutu beton (f'_c)	= 35 MPa
- Mutu beton pengangkatan	= 30,8 Mpa (14 hari)
- Mutu baja (f_y)	= 420 Mpa
- <i>Clear Cover</i>	= 20 mm
- Diameter tulangan rencana	= 10 mm
- Panjang Pelat	= 7,5 m
- Lebar Pelat	= 3,75 m

Denah pelat yang ditinjau tertera pada **Gambar 4.16.**



Gambar 4. 16 Denah pelat yang ditinjau

4.2.3.2. Pembebanan Pelat

Pelat direncanakan menerima beban mati (DL) dan beban hidup (LL) berdasarkan PBI 1983 sesuai dengan fungsi bangunan Apartemen dan kombinasi pembebanan yang dipakai sesuai dengan peraturan SNI 1727:2013.

- Setelah Komposit

Beban Mati (DL) :

- Pelat	: $0,14 \text{ m} \times 2400 \text{ kg/m}^3$	= 336 kg/m^2
- Spesi (2 cm)	: $2 \times 21 \text{ kg/m}^2$	= 42 kg/m^2
- Tegel		= 24 kg/m^2
- Plafond		= 11 kg/m^2

- Penggantung	= 7 kg/m ²
- Ducting + Plumbing	= 30 kg/m ²
DL	= 450 kg/m ²

Beban Hidup (LL) :

- Beban Hidup Ruang Publik	= 479 kg/m ²
LL	= 479 kg/m ²

$$\mathbf{Qu} = 1,2 \text{ DL} + 1,6 \text{ LL} = 1,2 (450) + 1,6 (479) = 1306,4 \text{ kg/m}^2$$

- Sebelum Komposit

Beban Mati (DL) :

- Pelat	: 0,9 m x 2400 kg/m ³	= 216 kg/m ²
- Overtopping	: 0,5 m x 2400 kg/m ³	= 120 kg/m ²
DL		= 336 kg/m ²

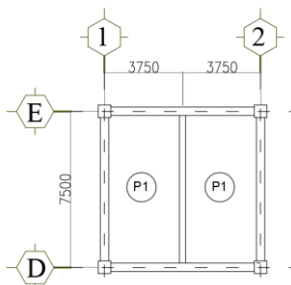
Beban Hidup (LL) :

- Pekerja	= 100 kg/m ²
LL	= 100 kg/m ²

$$\mathbf{Qu} = 1,2 \text{ DL} + 1,6 \text{ LL} = 1,2 (336) + 1,6 (100) = 563,2 \text{ kg/m}^2$$

4.2.3.3. Perhitungan Tulangan Pelat

Perhitungan tulangan pelat untuk pelat lantai tipe P1 (7500 x 3750 mm) (**Gambar 4.17**). Berikut merupakan langkah-langkah yang digunakan dalam menentukan tulangan lentur pelat:



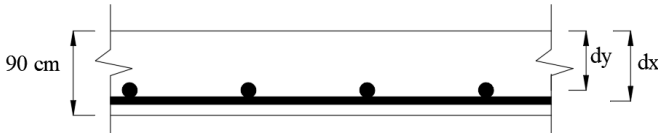
Gambar 4. 17 Pelat yang ditinjau

- Menentukan Jenis Pelat

$$\beta = \frac{Ly}{Lx} \quad (\beta \geq 2 \rightarrow \text{Pelat 1 arah}, \beta < 2 \rightarrow \text{pelat 1 arah})$$

$$\beta = \frac{Ly}{Lx} = \frac{7500}{3750} = 2 \rightarrow 1 \text{ arah}$$

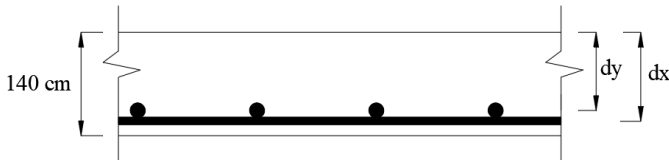
- Kondisi sebelum *overtopping*



$$dx = 90 - 20 - \frac{10}{2} = 65 \text{ mm}$$

$$dy = 90 - 20 - 10 - \frac{10}{2} = 55 \text{ mm}$$

- Kondisi sesudah *overtopping*



$$dx = 140 - 20 - \frac{10}{2} = 115 \text{ mm}$$

$$dy = 90 - 20 - 10 - \frac{10}{2} = 105 \text{ mm}$$

- Untuk mutu beton $f'_c = 35 \text{ MPa}$ berdasarkan SNI 2847:2019 Pasal 22.2.2.4.3 harga dari β_1 adalah sebagai berikut:

$$\beta_1 = 0,85 - 0,005 \frac{f'_c - 28}{7} = 0,8$$

- Menentukan batasan harga tulangan dengan menggunakan rasio tulangan yang disyaratkan sebagai berikut:

$$\rho_{min} = \frac{0,0018 \times 420}{f_y} = 0,0018 \text{ (SNI 2847:2019 Pasal 24.4.3.2)}$$

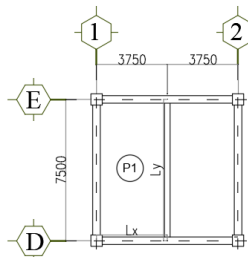
$$\rho_b = 0,85 \left(\frac{\beta_1 x f' c}{f_y} \right) x \left(\frac{600}{600+f_y} \right) = 0,0333$$

$$\rho_{max} = 0,75 \times \rho_b = 0,025$$

Penulangan pokok pelat pada tumpuan sama dengan pada lapangan, tetapi letak tulangan tariknya berbeda. Pada daerah tumpuan tulangan tarik berada di atas sedangkan pada derah lapangan tulangan tariknya berada di bawah.

a. Penulangan Pelat Sesudah *Overtopping*

Dengan menggunakan koefisien momen PBI 1971 tabel 13.3.1 untuk momen-momen di dalam pelat yang terjepit penuh dengan $Ly/Lx = 2$ didapat persamaan momen sebagai berikut:



Gambar 4. 18 Pelat yang ditinjau

$$M = 0,001 \times qu \times Lx^2 \times X$$

$$Mulx (+) = X1 \rightarrow 41 \text{ (PBI 1971, Tabel 13.3.1)}$$

$$Mulx (+) = 0,001 \times 1306,4 \times 3,75^2 \times 41 = 753,22 \text{ kgm}$$

$$Muly (+) = X2 \rightarrow 12 \text{ (PBI 1971, Tabel 13.3.1)}$$

$$Muly (+) = 0,001 \times 1306,4 \times 3,75^2 \times 12 = 220,46 \text{ kgm}$$

$$Mutx (-) = X3 \rightarrow 83 \text{ (PBI 1971, Tabel 13.3.1)}$$

$$Mutx (-) = 0,001 \times 1306,4 \times 3,75^2 \times 83 = 1524,81 \text{ kgm}$$

$$Muty (-) = X4 \rightarrow 57 \text{ (PBI 1971, Tabel 13.3.1)}$$

$$\text{Muty} (-) = 0,001 \times 1306,4 \times 3,75^2 \times 57 = 1047,16 \text{ kgm}$$

• Perhitungan Tulangan Tumpuan dan Lapangan Arah X

- Besaran momen yang digunakan:

$$\text{Mulx} (+) = \text{Mutx} (-) = 1524,81 \text{ kgm} = 15248138 \text{ Nmm}$$

$$m = \frac{fy}{0,85 \times f'c} = \frac{420}{0,85 \times 35} = 14,118$$

$$Rn = \frac{\text{Mu}}{\emptyset \times b \times dx^2} = \frac{15248138}{0,9 \times 1000 \times 115^2} = 1,28 \text{ Mpa}$$

- Rasio tulangan:

$$\begin{aligned} \rho_{\text{perlu}} &= \frac{1}{m} \left(1 - \sqrt{1 - \frac{2 \times m \times Rn}{fy}} \right) \\ &= \frac{1}{14,118} \left(1 - \sqrt{1 - \frac{2 \times 14,118 \times 1,28}{420}} \right) = 0,00312 \end{aligned}$$

$$\rho_{\min} = \frac{0,0018 \times 420}{fy} = 0,0018$$

$\rho_{\text{perlu}} > \rho_{\min}$, maka digunakan $\rho_{\text{perlu}} = 0,00312$

- Perhitungan kebutuhan tulangan arah X:

$$As_{\text{perlu}} = \rho \times b \times d = 0,00312 \times 1000 \times 115 = 358,67 \text{ mm}^2$$

- Jarak tulangan

$$S_{\max 1} = 450 \text{ mm (SNI 2847:2019 Pasal 7.7.2.3)}$$

$$S_{\max 2} = 3h = 3(140) = 420 \text{ mm}$$

$$\begin{aligned} S_{\text{hasil}} &= 1000 \times \frac{As \text{ tulangan}}{As \text{ perlu}} \\ &= 1000 \times \frac{0,25 \times \pi \times 10^2}{358,67} \\ &= 218,98 \text{ mm} \end{aligned}$$

$$S_{\text{pakai}} = 200 \text{ mm}$$

- Kontrol regangan

$$a = \frac{As \times fy}{0,85 \times f'c \times b} = 5,06 \text{ mm}$$

$$c = \frac{a}{\beta_1} = 6,33 \text{ mm}$$

$$\begin{aligned} \varepsilon_t &= \frac{(dx - c) \times 0,003}{c} = \frac{(115 - 6,33) \times 0,003}{6,33} \\ &= 0,052 > 0,005 (\text{OK}) \end{aligned}$$

Asumsi faktor reduksi $\emptyset = 0,9$ dapat digunakan. (OK)

- Kontrol retak (SNI 2847:2019 Pasal 24.3.2)

$$f_s = \frac{2}{3} f_y = \frac{2}{3} \times 240 = 280 \text{ MPa}$$

$$C_c = 20 - \frac{10}{2} = 15 \text{ mm}$$

$$S_{\max 1} = 380 \left(\frac{280}{f_s} \right) - 2,5 C_c = 342,5 \text{ mm}$$

$$S_{\max 2} = 300 \left(\frac{280}{f_s} \right) = 300 \text{ mm}$$

∴ Digunakan tulangan lentur arah X = D10-200 mm

• Perhitungan Tulangan Tumpuan dan Lapangan Arah Y

- Besaran momen yang digunakan:

$$M_{\text{uly}} (+) = M_{\text{uty}} (-) = 1047,16 \text{ kgm} = 10471613 \text{ Nmm}$$

$$m = \frac{f_y}{0,85 \times f'c} = \frac{420}{0,85 \times 35} = 14,118$$

$$R_n = \frac{M_u}{\emptyset \times b \times d \times z^2} = \frac{10471613}{0,9 \times 1000 \times 105^2} = 1,06 \text{ Mpa}$$

- Rasio tulangan:

$$\rho_{\text{perlu}} = \frac{1}{m} \left(1 - \sqrt{1 - \frac{2 \times m \times R_n}{f_y}} \right)$$

$$= \frac{1}{14,118} \left(1 - \sqrt{1 - \frac{2 \times 14,118 \times 1,06}{420}} \right) = 0,00256$$

$$\rho_{\min} = \frac{0,0018 \times 420}{f_y} = 0,0018$$

$\rho_{\text{perlu}} > \rho_{\min}$, maka digunakan $\rho_{\text{perlu}} = 0,00256$

- Perhitungan kebutuhan tulangan arah Y:

$$A_{\text{perlu}} = \rho \times b \times d = 0,00256 \times 1000 \times 105 = 189 \text{ mm}^2$$

- Jarak tulangan

$$S_{\max 1} = 450 \text{ mm (SNI 2847:2019 Pasal 7.7.2.3)}$$

$$S_{\max 2} = 3h = 3(140) = 420 \text{ mm}$$

$$\begin{aligned} S_{\text{hasil}} &= 1000 \times \frac{As \text{ tulangan}}{As \text{ perlu}} \\ &= 1000 \times \frac{0,25 \times \pi \times 10^2}{189} \\ &= 415,55 \text{ mm} \end{aligned}$$

$$S_{\text{pakai}} = 250 \text{ mm}$$

- Kontrol regangan

$$a = \frac{As \times f_y}{0,85 \times f'c \times b} = 2,67 \text{ mm}$$

$$c = \frac{a}{\beta_1} = 3,34 \text{ mm}$$

$$\varepsilon_t = \frac{(dx - c) \times 0,003}{c} = \frac{(105 - 3,34) \times 0,003}{3,34}$$

$$= 0,152 > 0,005 \text{ (OK)}$$

Asumsi faktor reduksi $\emptyset = 0,9$ dapat digunakan. (OK)

- Kontrol retak (SNI 2847:2019 Pasal 24.3.2)

$$f_s = \frac{2}{3} f_y = \frac{2}{3} \times 240 = 280 \text{ MPa}$$

$$Cc = 20 - \frac{10}{2} = 15 \text{ mm}$$

$$S_{maks1} = 380 \left(\frac{280}{f_s} \right) - 2,5Cc = 342,5 \text{ mm}$$

$$S_{maks2} = 300 \left(\frac{280}{f_s} \right) = 300 \text{ mm}$$

∴ Digunakan tulangan lentur arah Y = D10-250 mm

Rekapitulasi perhitungan penulangan pelat sesudah *overtopping* dapat dilihat pada **Tabel 4.14, 4.15, dan 4.16.**

Tabel 4. 14 Perhitungan Momen Pelat Sesudah *Overtopping*

Pelat		Panjang (m)	Lebar (m)	Ly / Lx	Koef. Momen	Beban Hidup (Kg/m ²)	Beban Mati (Kg/m ²)	Kombinasi 1.2D + 1.6L	Momen Ultimate (Kgm)
P1	Lapangan X	7.5	3.75	2	Mulx 41	479	450	1306.4	753.22
	Lapangan Y	7.5	3.75	2	Muly 12	479	450	1306.4	220.46
	Tumpuan X	7.5	3.75	2	Mutx 83	479	450	1306.4	1524.81
	Tumpuan Y	7.5	3.75	2	Muty 57	479	450	1306.4	1047.16
P2	Lapangan X	7.5	3.5	2.1	Mulx 41	479	450	1306.4	656.14
	Lapangan Y	7.5	3.5	2.1	Muly 11	479	450	1306.4	176.04
	Tumpuan X	7.5	3.5	2.1	Mutx 83	479	450	1306.4	1328.28
	Tumpuan Y	7.5	3.5	2.1	Muty 57	479	450	1306.4	912.19
P3	Lapangan X	7.5	2.75	2.7	Mulx 42	479	450	1306.4	414.95
	Lapangan Y	7.5	2.75	2.7	Muly 8	479	450	1306.4	79.04
	Tumpuan X	7.5	2.75	2.7	Mutx 83	479	450	1306.4	820.01
	Tumpuan Y	7.5	2.75	2.7	Muty 57	479	450	1306.4	563.14
P4	Lapangan X	7.5	2.5	3	Mulx 42	479	450	1306.4	342.93
	Lapangan Y	7.5	2.5	3	Muly 8	479	450	1306.4	65.32
	Tumpuan X	7.5	2.5	3	Mutx 83	479	450	1306.4	677.70
	Tumpuan Y	7.5	2.5	3	Muty 57	479	450	1306.4	465.41
P5	Lapangan X	5.5	2.75	2	Mulx 41	479	450	1306.4	405.07
	Lapangan Y	5.5	2.75	2	Muly 12	479	450	1306.4	118.56
	Tumpuan X	5.5	2.75	2	Mutx 83	479	450	1306.4	820.01
	Tumpuan Y	5.5	2.75	2	Muty 57	479	450	1306.4	563.14
P6	Lapangan X	5.5	2.5	2.2	Mulx 41	479	450	1306.4	334.77
	Lapangan Y	5.5	2.5	2.2	Muly 11	479	450	1306.4	89.82
	Tumpuan X	5.5	2.5	2.2	Mutx 83	479	450	1306.4	677.70
	Tumpuan Y	5.5	2.5	2.2	Muty 57	479	450	1306.4	465.41
P7	Lapangan X	5.5	3.5	1.6	Mulx 37	479	450	1306.4	592.13
	Lapangan Y	5.5	3.5	1.6	Muly 16	479	450	1306.4	256.05
	Tumpuan X	5.5	3.5	1.6	Mutx 79	479	450	1306.4	1264.27
	Tumpuan Y	5.5	3.5	1.6	Muty 57	479	450	1306.4	912.19
P8	Lapangan X	7.5	2.25	3.3	Mulx 42	479	450	1306.4	277.77
	Lapangan Y	7.5	2.25	3.3	Muly 8	479	450	1306.4	52.91
	Tumpuan X	7.5	2.25	3.3	Mutx 83	479	450	1306.4	548.93
	Tumpuan Y	7.5	2.25	3.3	Muty 57	479	450	1306.4	376.98
P9	Lapangan X	7	2.25	3.1	Mulx 42	479	450	1306.4	277.77
	Lapangan Y	7	2.25	3.1	Muly 8	479	450	1306.4	52.91
	Tumpuan X	7	2.25	3.1	Mutx 83	479	450	1306.4	548.93
	Tumpuan Y	7	2.25	3.1	Muty 57	479	450	1306.4	376.98
P10	Lapangan X	5.5	2.25	2.4	Mulx 42	479	450	1306.4	277.77
	Lapangan Y	5.5	2.25	2.4	Muly 10	479	450	1306.4	66.14
	Tumpuan X	5.5	2.25	2.4	Mutx 83	479	450	1306.4	548.93
	Tumpuan Y	5.5	2.25	2.4	Muty 57	479	450	1306.4	376.98
P11	Lapangan X	5	2.25	2.2	Mulx 41	479	450	1306.4	271.16
	Lapangan Y	5	2.25	2.2	Muly 11	479	450	1306.4	72.75
	Tumpuan X	5	2.25	2.2	Mutx 83	479	450	1306.4	548.93
	Tumpuan Y	5	2.25	2.2	Muty 57	479	450	1306.4	376.98
P12	Lapangan X	4.5	1.75	2.6	Mulx 42	479	450	1306.4	168.04
	Lapangan Y	4.5	1.75	2.6	Muly 8	479	450	1306.4	32.01
	Tumpuan X	4.5	1.75	2.6	Mutx 83	479	450	1306.4	332.07
	Tumpuan Y	4.5	1.75	2.6	Muty 57	479	450	1306.4	228.05

Tabel 4. 15 Data Perencanaan Pelat Sesudah *Overtopping*

	Pelat	Spesifikasi Bahan			Spesifikasi Penampang			Input Gaya		β_1
		D Tul. (mm)	Fy Tul. (Mpa)	Fc Beton (Mpa)	Lebar (b) (mm)	Tebal (h) (mm)	Cover (mm)	d (mm)	Mu (Nm)	
P1	Lapangan X	10	420	35	1000	140	20	115	753221.2.5	0.80
	Lapangan Y	10	420	35	1000	140	20	105	2204550	0.80
	Tumpuan X	10	420	35	1000	140	20	115	15248138	0.80
	Tumpuan Y	10	420	35	1000	140	20	105	10471613	0.80
P2	Lapangan X	10	420	35	1000	140	20	115	6561394	0.80
	Lapangan Y	10	420	35	1000	140	20	105	1760374	0.80
	Tumpuan X	10	420	35	1000	140	20	115	13282822	0.80
	Tumpuan Y	10	420	35	1000	140	20	105	9121938	0.80
P3	Lapangan X	10	420	35	1000	140	20	115	4149453	0.80
	Lapangan Y	10	420	35	1000	140	20	105	790372	0.80
	Tumpuan X	10	420	35	1000	140	20	115	8200109.5	0.80
	Tumpuan Y	10	420	35	1000	140	20	105	5631400.5	0.80
P4	Lapangan X	10	420	35	1000	140	20	115	3429300	0.80
	Lapangan Y	10	420	35	1000	140	20	105	653200	0.80
	Tumpuan X	10	420	35	1000	140	20	115	6776950	0.80
	Tumpuan Y	10	420	35	1000	140	20	105	4654050	0.80
P5	Lapangan X	10	420	35	1000	140	20	115	4050656.5	0.80
	Lapangan Y	10	420	35	1000	140	20	105	1185558	0.80
	Tumpuan X	10	420	35	1000	140	20	115	8200109.5	0.80
	Tumpuan Y	10	420	35	1000	140	20	105	5631400.5	0.80
P6	Lapangan X	10	420	35	1000	140	20	115	3347650	0.80
	Lapangan Y	10	420	35	1000	140	20	105	898150	0.80
	Tumpuan X	10	420	35	1000	140	20	115	6776950	0.80
	Tumpuan Y	10	420	35	1000	140	20	105	4654050	0.80
P7	Lapangan X	10	420	35	1000	140	20	115	5921258	0.80
	Lapangan Y	10	420	35	1000	140	20	105	2560544	0.80
	Tumpuan X	10	420	35	1000	140	20	115	12642686	0.80
	Tumpuan Y	10	420	35	1000	140	20	105	9121938	0.80
P8	Lapangan X	10	420	35	1000	140	20	115	2777733	0.80
	Lapangan Y	10	420	35	1000	140	20	105	529092	0.80
	Tumpuan X	10	420	35	1000	140	20	115	5489329.5	0.80
	Tumpuan Y	10	420	35	1000	140	20	105	3769780.5	0.80
P9	Lapangan X	10	420	35	1000	140	20	115	2777733	0.80
	Lapangan Y	10	420	35	1000	140	20	105	529092	0.80
	Tumpuan X	10	420	35	1000	140	20	115	5489329.5	0.80
	Tumpuan Y	10	420	35	1000	140	20	105	3769780.5	0.80
P10	Lapangan X	10	420	35	1000	140	20	115	2777733	0.80
	Lapangan Y	10	420	35	1000	140	20	105	661365	0.80
	Tumpuan X	10	420	35	1000	140	20	115	5489329.5	0.80
	Tumpuan Y	10	420	35	1000	140	20	105	3769780.5	0.80
P11	Lapangan X	10	420	35	1000	140	20	115	2711596.5	0.80
	Lapangan Y	10	420	35	1000	140	20	105	727501.5	0.80
	Tumpuan X	10	420	35	1000	140	20	115	5489329.5	0.80
	Tumpuan Y	10	420	35	1000	140	20	105	3769780.5	0.80
P12	Lapangan X	10	420	35	1000	140	20	115	1680357	0.80
	Lapangan Y	10	420	35	1000	140	20	105	320068	0.80
	Tumpuan X	10	420	35	1000	140	20	115	3320705.5	0.80
	Tumpuan Y	10	420	35	1000	140	20	105	2280484.5	0.80

Tabel 4. 16 Perhitungan Tulangan Pelat Sesudah *Overtopping*

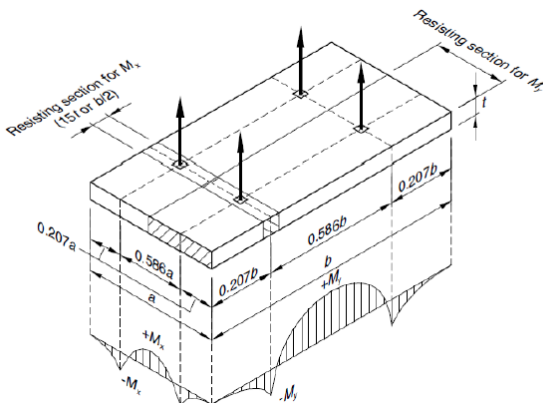
Pelat		ρ max	ρ min	Rn	m	ρ perlu	ρ pakai	As Perlu	S Perlu	S Pakai
				(Mpa)				(mm ²)	(mm)	(mm)
P1	X	0.025	0.0018	1.2811	14.118	0.0031	0.0031	358.7	219.0	200
	Y	0.025	0.0018	1.0553	14.118	0.0026	0.0026	189.0	415.6	250
P2	X	0.025	0.0018	1.1160	14.118	0.0027	0.0027	311.5	252.1	250
	Y	0.025	0.0018	0.9193	14.118	0.0022	0.0022	189.0	415.6	250
P3	X	0.025	0.0018	0.6889	14.118	0.0017	0.0018	207.0	379.4	250
	Y	0.025	0.0018	0.5675	14.118	0.0014	0.0018	189.0	415.6	250
P4	X	0.025	0.0018	0.5694	14.118	0.0014	0.0018	207.0	379.4	250
	Y	0.025	0.0018	0.4690	14.118	0.0011	0.0018	189.0	415.6	250
P5	X	0.025	0.0018	0.6889	14.118	0.0017	0.0018	207.0	379.4	250
	Y	0.025	0.0018	0.5675	14.118	0.0014	0.0018	189.0	415.6	250
P6	X	0.025	0.0018	0.5694	14.118	0.0014	0.0018	207.0	379.4	250
	Y	0.025	0.0018	0.4690	14.118	0.0011	0.0018	189.0	415.6	250
P7	X	0.025	0.0018	1.0622	14.118	0.0026	0.0026	296.2	265.1	250
	Y	0.025	0.0018	0.9193	14.118	0.0022	0.0022	189.0	415.6	250
P8	X	0.025	0.0018	0.4612	14.118	0.0011	0.0018	207.0	379.4	250
	Y	0.025	0.0018	0.3799	14.118	0.0009	0.0018	189.0	415.6	250
P9	X	0.025	0.0018	0.4612	14.118	0.0011	0.0018	207.0	379.4	250
	Y	0.025	0.0018	0.3799	14.118	0.0009	0.0018	189.0	415.6	250
P10	X	0.025	0.0018	0.4612	14.118	0.0011	0.0018	207.0	379.4	250
	Y	0.025	0.0018	0.3799	14.118	0.0009	0.0018	189.0	415.6	250
P11	X	0.025	0.0018	0.4612	14.118	0.0011	0.0018	207.0	379.4	250
	Y	0.025	0.0018	0.3799	14.118	0.0009	0.0018	189.0	415.6	250
P12	X	0.025	0.0018	0.2790	14.118	0.0007	0.0018	207.0	379.4	250
	Y	0.025	0.0018	0.2298	14.118	0.0005	0.0018	189.0	415.6	250

b. Penulangan Pelat Sebelum *Overtopping*

Sebelum *overtopping*, pelat pracetak mengalami kondisi pembebahan, yaitu saat pengangkatan dan saat sudah terletak bebas diatas balok.

- **Momen Pelat yang Terjadi Saat Pengangkatan**

Dalam pemasangan pelat pracetak, perlu diingat bahwa pelat akan mengalami pengangkatan elemen (*erection*). Besarnya momen dan pengaturan jarak tulangan angkat sesuai dengan buku PCI Design Handbook, “*Precast and Prestress Concrete, Sixth Edition*” (PCI, 2004) seperti yang ditunjukan pada **Gambar 4.19** dibawah ini dimana momen daerah tumpuan sama dengan momen daerah lapangan, yaitu :



Gambar 4. 19 Posisi titik angkat pelat (4 buah titik angkat)

$$M_x = 0,0107 \times w \times a^2 \times b$$

$$M_y = 0,0107 \times w \times a \times b^2$$

Pada segmen pelat : 750 x 375 cm

Dengan $w = (0,09 \times 2400) = 216 \text{ kg/m}^2$

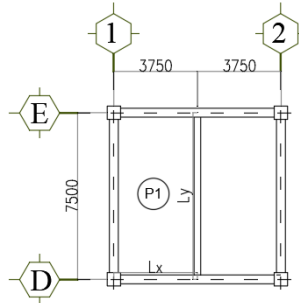
Maka:

$$M_x = 0,0107 \times 216 \times 3,75^2 \times 7,5 = 341,263 \text{ kgm}$$

$$My = 0,0107 \times 216 \times 3,75 \times 7,5^2 = 682,526 \text{ kgm}$$

• **Momen Pelat yang Terjadi Saat Terletak di Atas Balok**

Dengan menggunakan koefisien momen PBI 1971 tabel 13.3.1 untuk momen-momen di dalam pelat yang terjepit penuh dengan $Ly/Lx = 2$ didapat persamaan momen sebagai berikut:



Gambar 4. 20 Pelat yang ditinjau

$$M = 0,001 \times qu \times Lx^2 \times X$$

$$\text{Mulx (+)} = X_1 \rightarrow 100 \text{ (PBI 1971, Tabel 13.3.1)}$$

$$\text{Mulx (+)} = 0,001 \times 563,2 \times 3,75^2 \times 100 = 792 \text{ kgm}$$

$$\text{Muly (+)} = X_2 \rightarrow 37 \text{ (PBI 1971, Tabel 13.3.1)}$$

$$\text{Muly (+)} = 0,001 \times 563,2 \times 3,75^2 \times 37 = 293,04 \text{ kgm}$$

$$\text{Mutx (-)} = X_3 \rightarrow 0 \text{ (PBI 1971, Tabel 13.3.1)}$$

$$\text{Mutx (-)} = 0,001 \times 1306,4 \times 3,75^2 \times 0 = 0 \text{ kgm}$$

$$\text{Muty (-)} = X_4 \rightarrow 0 \text{ (PBI 1971, Tabel 13.3.1)}$$

$$\text{Muty (-)} = 0,001 \times 1306,4 \times 3,75^2 \times 0 = 0 \text{ kgm}$$

Maka, momen pelat yang paling kritis adalah:

$$M_x = 792 \text{ kgm}$$

$$My = 682,526 \text{ kgm}$$

• Perhitungan Tulangan Tumpuan dan Lapangan Arah X

- Besaran momen yang digunakan:

$$M_{ulx} (+) = M_{utx} (-) = 792 \text{ kgm} = 7920000 \text{ Nmm}$$

$$m = \frac{fy}{0,85 \times f'c} = \frac{420}{0,85 \times 35} = 14,118$$

$$R_n = \frac{Mu}{\emptyset \times b \times dx^2} = \frac{7920000}{0,9 \times 1000 \times 65^2} = 2,08 \text{ MPa}$$

- Rasio tulangan:

$$\rho_{perlu} = \frac{1}{m} \left(1 - \sqrt{1 - \frac{2 \times m \times R_n}{fy}} \right)$$

$$= \frac{1}{14,118} \left(1 - \sqrt{1 - \frac{2 \times 14,118 \times 2,08}{420}} \right) = 0,00517$$

$$\rho_{min} = \frac{0,0018 \times 420}{fy} = 0,0018$$

$\rho_{perlu} > \rho_{min}$, maka digunakan $\rho_{perlu} = 0,00517$

- Perhitungan kebutuhan tulangan arah X:

$$A_{sperlu} = \rho \times b \times d = 0,003517 \times 1000 \times 65 = 336,3 \text{ mm}^2$$

- Jarak tulangan

$$S_{max1} = 450 \text{ mm (SNI 2847:2019 Pasal 7.7.2.3)}$$

$$S_{max2} = 3h = 3(140) = 420 \text{ mm}$$

$$S_{hasil} = 1000 \times \frac{As \text{ tulangan}}{As \text{ perlu}}$$

$$= 1000 \times \frac{0,25 \times \pi \times 10^2}{336,3}$$

$$= 233,54 \text{ mm}$$

$$S_{pakai} = 200 \text{ mm}$$

- Kontrol regangan

$$a = \frac{As \times fy}{0,85 \times f'c \times b} = 4,75 \text{ mm}$$

$$c = \frac{a}{\beta_1} = 5,72 \text{ mm}$$

$$\epsilon_t = \frac{(dx - c) \times 0,003}{c} = \frac{(115 - 5,72) \times 0,003}{5,72}$$

$$= 0,031 > 0,005 \text{ (OK)}$$

Asumsi faktor reduksi $\emptyset = 0,9$ dapat digunakan. (OK)

- Kontrol retak (SNI 2847:2019 Pasal 24.3.2)

$$fs = \frac{2}{3}fy = \frac{2}{3} \times 240 = 280 \text{ MPa}$$

$$Cc = 20 - \frac{10}{2} = 15 \text{ mm}$$

$$S_{\max 1} = 380 \left(\frac{280}{f_s} \right) - 2,5Cc = 342,5 \text{ mm}$$

$$S_{\max 2} = 300 \left(\frac{280}{f_s} \right) = 300 \text{ mm}$$

∴ Digunakan tulangan lentur arah X = D10-200 mm

• Perhitungan Penulangan Tumpuan dan Lapangan Arah Y

- Besaran momen yang digunakan:

$$Muly (+) = Muty (-) = 682,53 \text{ kgm} = 6825263 \text{ Nmm}$$

$$m = \frac{fy}{0,85 \times f'c} = \frac{420}{0,85 \times 35} = 14,118$$

$$Rn = \frac{Mu}{\emptyset \times b \times dx^2} = \frac{6825263}{0,9 \times 1000 \times 55^2} = 2,51 \text{ Mpa}$$

- Rasio tulangan:

$$\begin{aligned} \rho_{\text{perlu}} &= \frac{1}{m} \left(1 - \sqrt{1 - \frac{2 \times m \times Rn}{fy}} \right) \\ &= \frac{1}{14,118} \left(1 - \sqrt{1 - \frac{2 \times 14,118 \times 2,51}{420}} \right) = 0,00629 \end{aligned}$$

$$\rho_{\min} = \frac{0,0018 \times 420}{fy} = 0,0018$$

$\rho_{\text{perlu}} > \rho_{\min}$, maka digunakan $\rho_{\text{perlu}} = 0,00629$

- Perhitungan kebutuhan tulangan arah Y:

$$As_{\text{perlu}} = \rho \times b \times d = 0,00629 \times 1000 \times 55 = 345,73 \text{ mm}^2$$

- Jarak tulangan

$$S_{\max 1} = 450 \text{ mm (SNI 2847:2019 Pasal 7.7.2.3)}$$

$$S_{\max 2} = 3h = 3(140) = 420 \text{ mm}$$

$$\begin{aligned} S_{\text{hasil}} &= 1000 \times \frac{As \text{ tulangan}}{As \text{ perlu}} \\ &= 1000 \times \frac{0,25 \times \pi \times 10^2}{345,73} \end{aligned}$$

$$= 227,17 \text{ mm}$$

$$S_{\text{pakai}} = 200 \text{ mm}$$

- Kontrol regangan

$$a = \frac{As \times fy}{0,85 \times f'c \times b} = 4,88 \text{ mm}$$

$$c = \frac{a}{\beta_1} = 5,88 \text{ mm}$$

$$\varepsilon_t = \frac{(dx - c) \times 0,003}{c} = \frac{(115 - 5,88) \times 0,003}{5,88}$$

$$= 0,025 > 0,005 \text{ (OK)}$$

Asumsi faktor reduksi $\varnothing = 0,9$ dapat digunakan. (OK)

- Kontrol retak (SNI 2847:2019 Pasal 24.3.2)

$$f_s = \frac{2}{3} f_y = \frac{2}{3} \times 240 = 280 \text{ MPa}$$

$$Cc = 20 - \frac{10}{2} = 15 \text{ mm}$$

$$S_{\text{maks1}} = 380 \left(\frac{280}{f_s} \right) - 2,5Cc = 342,5 \text{ mm}$$

$$S_{\text{maks2}} = 300 \left(\frac{280}{f_s} \right) = 300 \text{ mm}$$

∴ Digunakan tulangan lentur arah Y = D10-200 mm

Rekapitulasi perhitungan penulangan pelat sebelum *overtopping* dapat dilihat pada **Tabel 4.17, 4.18, dan 4.19**.

Tabel 4. 17 Perhitungan Momen Pelat Sebelum *Overtopping*

Pelat	Panjang (m)	Lebar (m)	Ly / Lx	Koef. Momen	Beban Hidup (Kg/m ²)	Beban Mati (Kg/m ²)	Kombinasi 1.2D + 1.6L	Momen Pengangkatan	Momen Ultimate (Kgm)
	X	Y	X		Y	Y	Y	Y	Y
P1	X 7,5	3,75	2	Mulx	100	100	336	792	341.263
	Y 7,5	3,75	2	Muly	37	100	336	293.040	682.526
P2	X 7,5	3,5	2,1	Mulx	103	100	336	710.618	297.278
	Y 7,5	3,5	2,1	Muly	36	100	336	248.371	637.025
P3	X 7,5	2,75	2,7	Mulx	125	100	336	532.400	183.524
	Y 7,5	2,75	2,7	Muly	25	100	336	106.480	500.519
P4	X 7,5	2,5	3	Mulx	125	100	336	440	151.673
	Y 7,5	2,5	3	Muly	25	100	336	88	455.018
P5	X 5,5	2,75	2	Mulx	100	100	336	425.920	134.584
	Y 5,5	2,75	2	Muly	37	100	336	157.590	269.168
P6	X 5,5	2,5	2,2	Mulx	106	100	336	373.120	111.227
	Y 5,5	2,5	2,2	Muly	35	100	336	123.200	244.698
P7	X 5,5	3,5	1,6	Mulx	84	100	336	579.533	218.004
	Y 5,5	3,5	1,6	Muly	41	100	336	282.867	342.578
P8	X 7,5	2,25	3,3	Mulx	125	100	336	356.400	122.855
	Y 7,5	2,25	3,3	Muly	25	100	336	71.280	409.516
P9	X 7	2,25	3,1	Mulx	125	100	336	356.400	114.664
	Y 7	2,25	3,1	Muly	25	100	336	71.280	356.734
P10	X 5,5	2,25	2,4	Mulx	110	100	336	313.632	90.093
	Y 5,5	2,25	2,4	Muly	33	100	336	94.090	220.228
P11	X 5	2,25	2,2	Mulx	106	100	336	302.227	81.903
	Y 5	2,25	2,2	Muly	35	100	336	99.792	302.227
P12	X 4,5	1,75	2,6	Mulx	125	100	336	215.600	44.592
	Y 4,5	1,75	2,6	Muly	25	100	336	43.120	114.664

Tabel 4. 18 Data Perencanaan Pelat Sebelum *Overtopping*

Pelat	Spesifikasi Bahan			Spesifikasi Penampang				Input Gaya	β_1	
	D Tul.	Fy Tul.	F'c Beton	Lebar (b)	Tebal (h)	Cover	d			
	(mm)	(Mpa)	(Mpa)	(mm)	(mm)	(mm)	(mm)			
P1	X	10	420	30.8	1000	90	20	65	7920000	0.83
	Y	10	420	30.8	1000	90	20	55	6825263	0.83
P2	X	10	420	30.8	1000	90	20	65	7106176	0.83
	Y	10	420	30.8	1000	90	20	55	6370245	0.83
P3	X	10	420	30.8	1000	90	20	65	5324000	0.83
	Y	10	420	30.8	1000	90	20	55	5005193	0.83
P4	X	10	420	30.8	1000	90	20	65	4400000	0.83
	Y	10	420	30.8	1000	90	20	55	4550175	0.83
P5	X	10	420	30.8	1000	90	20	65	4259200	0.83
	Y	10	420	30.8	1000	90	20	55	2691681	0.83
P6	X	10	420	30.8	1000	90	20	65	3731200	0.83
	Y	10	420	30.8	1000	90	20	55	2446983	0.83
P7	X	10	420	30.8	1000	90	20	65	5795328	0.83
	Y	10	420	30.8	1000	90	20	55	3425776	0.83
P8	X	10	420	30.8	1000	90	20	65	3564000	0.83
	Y	10	420	30.8	1000	90	20	55	4095158	0.83
P9	X	10	420	30.8	1000	90	20	65	3564000	0.83
	Y	10	420	30.8	1000	90	20	55	3567337	0.83
P10	X	10	420	30.8	1000	90	20	65	3136320	0.83
	Y	10	420	30.8	1000	90	20	55	2202285	0.83
P11	X	10	420	30.8	1000	90	20	65	3022272	0.83
	Y	10	420	30.8	1000	90	20	55	1820070	0.83
P12	X	10	420	30.8	1000	90	20	65	2156000	0.83
	Y	10	420	30.8	1000	90	20	55	1146644	0.83

Tabel 4. 19 Perhitungan Tulangan Pelat Sebelum *Overtopping*

Pelat		ρ max	ρ min	Rn	m	ρ perlu	ρ pakai	As Perlu	S Perlu	S Pakai
				(Mpa)				(mm ²)	(mm)	(mm)
P1	X	0.025	0.0018	0.0000	14.118	0.0052	0.0052	336.3	233.5	200
	Y	0.025	0.0018	0.0000	14.118	0.0063	0.0063	345.7	227.2	200
P2	X	0.025	0.0018	0.0000	14.118	0.0046	0.0046	300.4	261.5	250
	Y	0.025	0.0018	0.0000	14.118	0.0058	0.0058	321.5	244.3	200
P3	X	0.025	0.0018	0.0000	14.118	0.0034	0.0034	222.8	352.5	250
	Y	0.025	0.0018	0.0000	14.118	0.0045	0.0045	249.9	314.3	250
P4	X	0.025	0.0018	0.0000	14.118	0.0028	0.0028	183.2	428.7	250
	Y	0.025	0.0018	0.0000	14.118	0.0041	0.0041	226.3	347.0	250
P5	X	0.025	0.0018	0.0000	14.118	0.0027	0.0027	177.2	443.2	250
	Y	0.025	0.0018	0.0000	14.118	0.0024	0.0024	132.0	594.9	250
P6	X	0.025	0.0018	0.0000	14.118	0.0024	0.0024	154.8	507.3	250
	Y	0.025	0.0018	0.0000	14.118	0.0022	0.0022	119.8	655.6	250
P7	X	0.025	0.0018	0.0000	14.118	0.0037	0.0037	243.2	323.0	250
	Y	0.025	0.0018	0.0000	14.118	0.0031	0.0031	168.9	464.9	250
P8	X	0.025	0.0018	0.0000	14.118	0.0023	0.0023	147.7	531.6	250
	Y	0.025	0.0018	0.0000	14.118	0.0037	0.0037	203.0	386.9	250
P9	X	0.025	0.0018	0.0000	14.118	0.0023	0.0023	147.7	531.6	250
	Y	0.025	0.0018	0.0000	14.118	0.0032	0.0032	176.1	446.0	250
P10	X	0.025	0.0018	0.0000	14.118	0.0020	0.0020	129.7	605.4	250
	Y	0.025	0.0018	0.0000	14.118	0.0020	0.0020	107.6	729.8	250
P11	X	0.025	0.0018	0.0000	14.118	0.0019	0.0019	124.9	628.7	250
	Y	0.025	0.0018	0.0000	14.118	0.0016	0.0018	99.0	793.3	250
P12	X	0.025	0.0018	0.0000	14.118	0.0014	0.0018	117.0	671.3	250
	Y	0.025	0.0018	0.0000	14.118	0.0010	0.0018	99.0	793.3	250

4.2.3.4. Kontrol Lendutan

Tebal pelat yang dipakai lebih besar dari tabel minimum pelat seperti yang disyaratkan SNI 2847:2019 Pasal 7.3.1.1, maka tidak perlu dilakukan kontrol terhadap lendutan.

4.2.3.5. Panjang Penyaluran

Panjang penyaluran harus disediakan cukup untuk tulangan pelat sebelum dan sesudah komposit. Panjang penyaluran didasarkan pada SNI 2847:2019 pasal 18.8.5.1

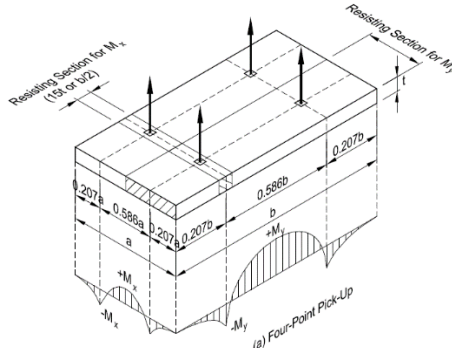
- $l_{dh1} > 8D = 8 \times 10 = 80 \text{ mm}$
- $l_{dh2} > 150 \text{ mm}$
- $l_{dh \text{ hasil}} = \frac{f_y \times D b}{5,4\sqrt{f'c}} = 131,47 \text{ mm}$
- $l_{dh \text{ pakai}} = 175 \text{ mm}$

.:Digunakan panjang penyaluran 175 mm

4.2.3.6. Pengangkatan Pelat

• Titik Angkat Pelat Pracetak

Dalam pemasangan pelat pracetak, pelat akan mengalami pengangkatan sehingga perlu direncanakan tulangan angkat untuk pelat. Contoh perhitungan akan diambil pelat tipe P 1 dengan dimensi 3,75 m x 7,5 m yang menggunakan empat titik pengangkatan sesuai pada **Gambar 4.21.**



Gambar 4. 21 Titik Angkat Pelat dan Momen yang Terjadi
(PCI Design Handbook, Precast and Prestress Concrete, Sixth Edition, 2004)

Gaya akibat pengangkatan akan ditransformasikan kedua arah horizontal, yaitu arah i dan j. Tinggi pengangkatan dari muka pelat diambil 90 cm. Pada perhitungan beban ultimate ditambahkan koefisien kejut ($k = 1,2$) pada saat pengangkatan.

- **Perhitungan Tulangan Angkat Pelat**

$$k = 1,2 \text{ (koefisien kejut)}$$

$$\begin{aligned} DL \text{ (bebani mati)} &= 0,09 \times 3,75 \times 7,5 \times 2400 \\ &= 6075 \text{ kg} \end{aligned}$$

$$LL \text{ (bebani hidup)} = 100 \text{ kg (asumsi 1 orang pekerja)}$$

$$\begin{aligned} Qu \text{ (bebani } ultimate) &= 1,2 (1,2DL + 1,6 LL) \\ &= 1,2 (1,2 \times 6075 + 1,6 \times 100) \\ &= 8940 \text{ kg} \end{aligned}$$

$$Tu \text{ (bebani tiap tulangan)} = \frac{Qu}{4} = \frac{8940}{4} = 2235 \text{ kg}$$

$$\sigma_{tarik ijin} = \frac{fy}{1,5} = \frac{420}{1,5} = 280 \text{ N/mm}^3 = 2800 \text{ kg/cm}^3$$

$$\begin{aligned} A_{butuh} &= \frac{Tu}{Tarik ijin} = \frac{2235}{2800} = 0,7982 \text{ cm}^2 \\ &= 79,82 \text{ mm}^2 \end{aligned}$$

Maka, digunakan tulangan angkat D13 ($A=132,66 \text{ mm}^2$)

- **Kontrol Tulangan Angkat**

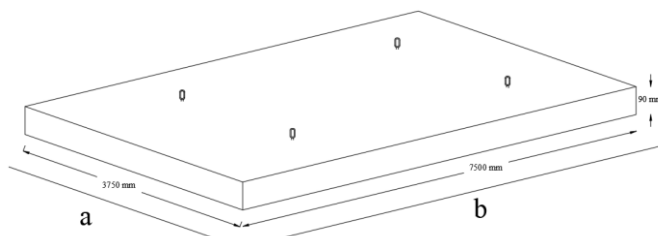
$$f_{pelat} < f_{cr}$$

f_{cr} untuk beton 14 hari adalah:

$$f_{cr} = 0,7 \times \sqrt{f'c} = 0,7\sqrt{30,8} = 3,885 \text{ MPa}$$

$$y_c = 0,5 \times 0,09 = 0,045 \text{ m}$$

$$\begin{aligned} w &= (t_{pelat} \times 2400) + \frac{pekerja}{A_{pelat}} \\ &= (0,09 \times 2400) + \frac{100}{3,75 \times 7,5} \\ &= 219,56 \text{ kg/m}^2 \end{aligned}$$



Gambar 4. 22 Dimensi pelat sebelum pengangkatan

Berdasarkan *PCI Design Handbook, Precast and Prestressed Concrete, 6th Edition*, momen maksimum diperhitungkan dengan rumus:

$$\begin{aligned} M_x &= 0,0107 \times w \times a^2 \times b \\ &= 0,0107 \times 219,56 \times 3,75^2 \times 7,5 = 247,77 \text{ kgm} \\ M_y &= 0,0107 \times w \times a \times b^2 \\ &= 0,0107 \times 219,56 \times 3,75 \times 7,5^2 = 495,54 \text{ kgm} \\ T_u &= 2235 \text{ kg} \\ M &= \frac{P \times y_c}{t_g(45)} = \frac{2235 \times 0,045}{t_g(45)} = 100,58 \text{ kgm} \end{aligned}$$

M_y ditahan oleh penampang selebar $a/2 = 3750/2 = 1875 \text{ mm}$

$$Z = \frac{1}{6} \times 1875 \times 90^2 = 2531520 \text{ mm}^2$$

$$\begin{aligned} M_{y\text{total}} &= M_{\text{pengangkatan}} + M_{\text{akibat tulangan angkat}} \\ &= 495,54 + 100,58 = 596,12 \text{ kgm} \\ &= 5961188 \text{ Nmm} \end{aligned}$$

$$f_t = f_b = \frac{M_{\text{total}}}{z} = \frac{5961188}{2531520} = 2,355 < f_r = 3,885 \text{ MPa (OK)}$$

M_x ditahan oleh penampang selebar $150t = 13500 \text{ mm}$ atau $b/2 = 7500/2 = 3750 \text{ mm}$

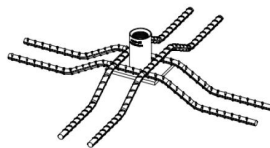
$$Z = \frac{1}{6} \times 3750 \times 90^2 = 5062500 \text{ mm}^2$$

$$\begin{aligned} M_{x\text{total}} &= 247,77 + 100,58 = 348,35 \text{ kgm} \\ &= 3483469 \text{ Nmm} \end{aligned}$$

$$f_t = f_b = \frac{M_{\text{total}}}{z} = \frac{3483469}{5062500} = 0,688 < f_r = 3,885 \text{ MPa (OK)}$$

• Pemilihan Profil Tulangan Angkat

Tulangan angkat yang digunakan adalah jenis *Jenka Lifting System* dari *Peikko Group*. Tipe yang digunakan adalah *Jenka PSA Short Insert* dengan kait *JL*. Disetiap titik angkat, profil ini dapat mengangkat beban sebesar 40 kN dengan sudut $0^\circ - 45^\circ$. Ilustrasi tulangan angkat sesuai pada **Gambar 4.23, 4.24, dan 4.25.**



Gambar 4. 23 Jenka PSA Short Insert



Gambar 4. 24 Profil Kait JL



Gambar 4. 25 Jenka Lifter

4.2.3.7. Rekapitulasi Tulangan Pelat

Berikut merupakan rekapitulasi tulangan pelat.

Tabel 4. 20 Rekapitulasi Tulangan Pelat

4.2.4. Perencanaan Balok Anak

Pada perencanaan balok anak, beban yang diterima oleh balok anak berupa beban persegi biasa. Itu dikarenakan pelat pracetak hanya menumpu dua titik tumpu, titik tumpu pertama ada di balok induk serta titik tumpu yang kedua berada di balok anak.

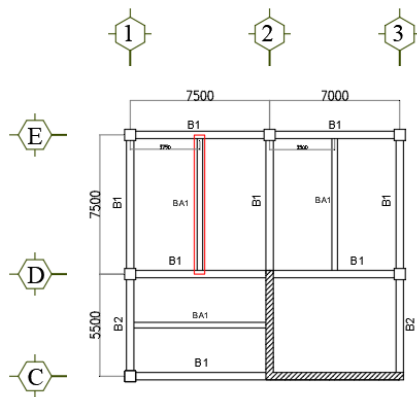
4.2.4.1. Data Perencanaan Balok Anak

Dalam perencanaan balok anak, ada beberapa kondisi yang harus ditinjau untuk perhitungan tulangan. Kondisi tersebut sama dengan kondisi saat merencanakan pelat lantai dan pelat atap, yaitu kondisi setelah komposit, sebelum komposit, dan saat pengangkatan. Pengangkatan direncanakan dilakukan pada hari ketujuh dengan nilai kekuatan beton sebesar 25 MPa. Contoh perhitungan yang ditunjukkan dalam subbab 4.2.4 ialah untuk balok anak tipe 1 (BA 1).

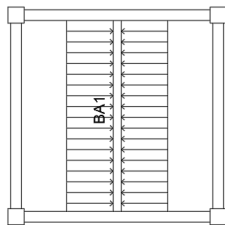
- Dimensi Komposit = 35x50 cm
- Dimensi Half Beam = 35x31 cm
- *Overtopping* = 14 cm
- $f'c$ = 35 MPa
- f_y = 420 MPa
- L = 7,5 m
- Tulangan Longitudinal = 22 mm
- Tulangan Transversal = 10 mm
- *Clear Cover* = 50 m

4.2.4.2. Pembebanan Balok Anak

Beban yang bekerja pada balok anak adalah berat sendiri balok anak tersebut dan semua beban merata pada pelat (termasuk berat sendiri pelat dan berat hidup merata di atasnya). Distribusi beban pada balok pendukung sedemikian rupa sehingga dianggap sebagai beban persegi panjang pada bentang balok anak dikarenakan pelat yang menumpu pada balok anak adalah pelat satu arah. Beban berbentuk persegi panjang yang dimaksud dapat dilihat pada **Gambar 4.27**:



Gambar 4. 26 Balok Anak yang Ditinjau



Gambar 4. 27 Distribusi Beban pada Balok Anak

- Sebelum Komposit
 - Beban Mati

$$\text{Berat Sendiri Balok} = 2400 \times 0,35 \times 0,36 = 302,4 \text{ kg/m}$$

$$\text{Berat Overtopping} = 2400 \times 0,35 \times 0,14 = 117,6 \text{ kg/m}$$

$$\text{Berat Pelat} = 2400 \times 3,75 \times 0,14 = 1260 \text{ kg/m}$$

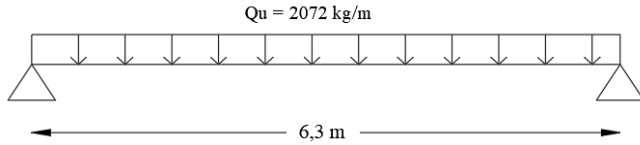
$$q_D = 1680 \text{ kg/m}$$
 - Beban Hidup

$$\text{Pekerja} = 100 \times 0,35 = 35 \text{ kg/m}$$

$$q_L = 35 \text{ kg/m}$$
 - Kombinasi Beban

$$q_u = (1,2 \times 1680) + (1,6 \times 35)$$

$$= 2072 \text{ kg/m}$$



Gambar 4. 28 Pembebanan BA1 Sebelum Komposit

- Sesudah Komposit

- Beban Mati

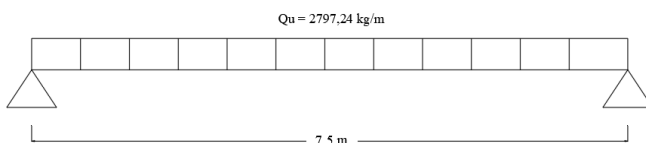
Berat Sendiri Balok	$= 2400 \times 0,35 \times 0,5$	$= 420 \text{ kg/m}$
Berat Pelat	$= 2400 \times 3,75 \times 0,14$	$= 1260 \text{ kg/m}$
Plafond	$= 11 \times 3,75$	$= 41,25 \text{ kg/m}$
Penggantung	$= 7 \times 3,75$	$= 26,25 \text{ kg/m}$
<i>Ducting&Plumbing</i>	$= 30 \times 3,75$	$= 112,5 \text{ kg/m}$
Keramik	$= 24 \times 3,75$	$= 90 \text{ kg/m}$
Spesi (2 cm)	$= 42 \times 3,75$	$= 157,5 \text{ kg/m}$
q_D		$= 2107,5 \text{ kg/m}$

- Beban Hidup

Ruang Publik	$= 479 \times 3,75$	$= 167,65 \text{ kg/m}$
q_L		$= 167,65 \text{ kg/m}$

- Kombinasi Beban

$$\begin{aligned} q_u &= (1,2 \times 2107,5) + (1,6 \times 167,65) \\ &= 2797,24 \text{ kg/m} \end{aligned}$$



Gambar 4. 29 Pembebanan BA 1 Setelah Komposit

4.2.4.3. Perhitungan Momen dan Gaya Geser

- Sebelum Komposit

Asumsi balok berada di atas dua tumpuan sederhana (sendi-rol). Tidak ada momen yang terjadi pada tumpuan, momen hanya terjadi pada lapangan.

$$\begin{aligned}
 M_{tumpuan} &= 0 \text{ kgm} \\
 M_{lapangan} &= \frac{1}{8} \times q \times L^2 \\
 &= \frac{1}{8} \times 2072 \times 6,3^2 \\
 &= 10279,71 \text{ kgm} \\
 V_u \text{ maks} &= \frac{1}{2} \times q \times L \\
 &= \frac{1}{2} \times 2072 \times 6,3 \\
 &= 6526,8 \text{ kg}
 \end{aligned}$$

- Setelah Komposit

Asumsi balok berada pada dua tumpuan dengan perletakan jepit-jepit. Momen maksimum terjadi pada tumpuan. Momen pada lapangan diasumsikan sama dengan yang terjadi pada tumpuan.

$$\begin{aligned}
 M_u \text{ maks (+ dan -)} &= \frac{1}{12} \times q \times L^2 \\
 &= \frac{1}{12} \times 2797,24 \times 7,5^2 \\
 &= 13112,06 \text{ kgm}
 \end{aligned}$$

$$\begin{aligned}
 V_u \text{ maks} &= \frac{1}{2} \times q \times L \\
 &= \frac{1}{2} \times 2797,24 \times 7,5 \\
 &= 10489,65 \text{ kg}
 \end{aligned}$$

4.2.4.4. Perhitungan Penulangan Balok Anak

$$\beta_1 = 0,85 - 0,005 \frac{f'c - 28}{7} = 0,8$$

$$\begin{aligned}
 \rho_{\min 1} &= 0,25 \frac{\sqrt{f'c'}}{f_y} = 0,25 \frac{\sqrt{35}}{420} \\
 &= 0,0035
 \end{aligned}$$

$$\begin{aligned}
 \rho_{\min 2} &= \frac{1,4}{f_y} = \frac{f_y}{420} \\
 &= 0,0033
 \end{aligned}$$

$$\begin{aligned}
 m &= \frac{f_y}{0,85 f'c'} = \frac{420}{0,85 \times 35} \\
 &= 14,12
 \end{aligned}$$

- Setelah Komposit

$$\begin{aligned} d &= h_{\text{balok}} - \text{clear cover} - D_{\text{sengkang}} - 0,5D_{\text{tulangan}} \\ &= 500 - 50 - 10 - 0,5(22) \\ &= 429 \text{ mm} \end{aligned}$$

$$M_{\text{tumpuan}} = 13112,06 \text{ kgm}$$

$$M_{\text{lapangan}} = 13112,06 \text{ kgm}$$

$$V_u = 10489,65 \text{ kg}$$

a. Tulangan Negatif Tumpuan (Atas)

$$\emptyset = 0,9$$

$$\begin{aligned} R_n &= \frac{Mu}{\emptyset bd^2} \\ &= \frac{13112,06 \times 10^4}{0,9(350)(429)^2} \\ &= 2,262 \end{aligned}$$

$$\begin{aligned} \rho_{\text{perlu}} &= \frac{1}{m} \left(1 - \sqrt{1 - \frac{2xmxRn}{fy}} \right) \\ &= \frac{1}{14,12} \left(1 - \sqrt{1 - \frac{2x14,12 \times 2,262}{420}} \right) \\ &= 0,0056 \end{aligned}$$

$$\rho_{\text{pakai}} = 0,0056 > \rho_{\text{min}}$$

$$\begin{aligned} A_s \text{ perlu} &= \rho_{\text{pakai}} \times b \times d \\ &= 0,0056 \times 350 \times 429 \\ &= 841,9 \text{ mm}^2 \end{aligned}$$

$$\begin{aligned} n_{\text{pakai}} &= \frac{As \text{ perlu}}{As \text{ tulangan}} \\ &= \frac{841,9}{0,25\pi(22)^2} \\ &= 2,21 \approx 3 \text{ buah} \end{aligned}$$

$$s_{\text{min1}} = D_{\text{tulangan}} = 22 \text{ mm}$$

$$s_{\text{min2}} = 25 \text{ mm}$$

$$\begin{aligned} s_{\text{hasil}} &= \frac{b - n_{\text{pakai}} D_{\text{tulangan}} - 2 \text{ clear cover} - 2 D_{\text{sengkang}}}{n_{\text{pakai}} - 1} \\ &= \frac{350 - 3(22) - 2(50) - 2(10)}{3 - 1} \\ &= 82 \text{ mm} > s_{\text{min}} (\text{OK}) \end{aligned}$$

Kontrol Regangan:

$$\begin{aligned}
 a &= \frac{As \times fy}{0,85 \times f'c \times b} = 45,99 \text{ mm} \\
 c &= \frac{a}{\beta_1} = 57,49 \text{ mm} \\
 \varepsilon_t &= \frac{(dx - c) \times 0,003}{c} = \frac{(429 - 57,49) \times 0,003}{57,49} \\
 &= 0,019 > 0,005 \text{ (OK)}
 \end{aligned}$$

Asumsi faktor reduksi $\emptyset = 0,9$ dapat digunakan.

.. Maka digunakan tulangan negatif tumpuan 3D22

b. Tulangan Positif Tumpuan (Bawah)

$$\begin{aligned}
 M_u &= 0,5 M_u \text{ negatif tumpuan} \\
 &= 6556,031 \text{ kgm}
 \end{aligned}$$

$$\emptyset = 0,9$$

$$\begin{aligned}
 R_n &= \frac{Mu}{\emptyset bd^2} \\
 &= \frac{6556,031 \times 10^4}{0,9(350)(429)^2} \\
 &= 1,13
 \end{aligned}$$

$$\begin{aligned}
 \rho_{\text{perlu}} &= \frac{1}{m} \left(1 - \sqrt{1 - \frac{2xmxRn}{fy}} \right) \\
 &= \frac{1}{14,12} \left(1 - \sqrt{1 - \frac{2 \times 14,12 \times 1,13}{420}} \right)
 \end{aligned}$$

$$= 0,0027 < \rho_{\min}$$

$$\rho_{\text{pakai}} = \rho_{\min} = 0,0035$$

$$\begin{aligned}
 A_s \text{ perlu} &= \rho_{\text{pakai}} \times b \times d \\
 &= 0,0035 \times 350 \times 429
 \end{aligned}$$

$$= 528,75 \text{ mm}^2$$

$$\begin{aligned}
 n_{\text{pakai}} &= \frac{As \text{ perlu}}{As \text{ tulangan}} \\
 &= \frac{528,75}{0,25\pi(22)^2}
 \end{aligned}$$

$$= 1,39 \approx 2 \text{ buah}$$

$$s_{\min 1} = D_{\text{tulangan}} = 22 \text{ mm}$$

$$s_{\min 2} = 25 \text{ mm}$$

$$s_{\text{hasil}} = \frac{b - n_{\text{pakai}} D_{\text{tulangan}} - 2 \text{ clear cover} - 2 D_{\text{sengkang}}}{n_{\text{pakai}} - 1}$$

$$= \frac{350 - 2(22) - 2(50) - 2(10)}{2-1} \\ = 186 \text{ mm} > s_{\min} (\text{OK})$$

Kontrol Regangan:

$$a = \frac{As \times fy}{0,85 \times f'c \times b} = 30,66 \text{ mm} \\ c = \frac{a}{\beta_1} = 38,33 \text{ mm} \\ \epsilon_t = \frac{(dx - c) \times 0,003}{c} = \frac{(429 - 38,33) \times 0,003}{38,33} \\ = 0,031 > 0,005 (\text{OK})$$

Asumsi faktor reduksi $\phi = 0,9$ dapat digunakan.

∴ Maka digunakan tulangan positif tumpuan 2D22

c. Tulangan Positif Lapangan (Bawah)

$$\phi = 0,9$$

$$R_n = \frac{Mu}{\phi bd^2} \\ = \frac{13112,06 \times 10^4}{0,9(350)(429)^2} \\ = 2,262$$

$$\rho_{\text{perlu}} = \frac{1}{m} \left(1 - \sqrt{1 - \frac{2xmxRn}{fy}} \right) \\ = \frac{1}{14,12} \left(1 - \sqrt{1 - \frac{2 \times 14,12 \times 2,262}{420}} \right) \\ = 0,0056$$

$$\rho_{\text{pakai}} = 0,0056 > \rho_{\min}$$

$$A_s \text{ perlu} = \rho_{\text{pakai}} \times b \times d \\ = 0,0056 \times 350 \times 429 \\ = 841,9 \text{ mm}^2$$

$$n_{\text{pakai}} = \frac{As \text{ perlu}}{As \text{ tulangan}} \\ = \frac{841,9}{0,25\pi(22)^2} \\ = 2,21 \approx 3 \text{ buah}$$

$$s_{\min 1} = D_{\text{tulangan}} = 22 \text{ mm}$$

$$s_{\min 2} = 25 \text{ mm}$$

$$\begin{aligned}
 s_{\text{hasil}} &= \frac{b - n_{\text{pakai}} D_{\text{tulangan}} - 2 D_{\text{clearcover}} - 2 D_{\text{sengkang}}}{n_{\text{pakai}} - 1} \\
 &= \frac{350 - 3(22) - 2(50) - 2(10)}{3 - 1} \\
 &= 82 \text{ mm} > s_{\min} (\text{OK})
 \end{aligned}$$

Kontrol Regangan:

$$\begin{aligned}
 a &= \frac{A_s \times f_y}{0,85 \times f' c \times b} = 45,99 \text{ mm} \\
 c &= \frac{a}{\beta_1} = 57,49 \text{ mm} \\
 \varepsilon_t &= \frac{(dx - c) \times 0,003}{c} = \frac{(429 - 57,49) \times 0,003}{57,49} \\
 &= 0,019 > 0,005 (\text{OK})
 \end{aligned}$$

Asumsi faktor reduksi $\varnothing = 0,9$ dapat digunakan.

∴ Maka digunakan tulangan positif lapangan 3D22

d. Tulangan Negatif Lapangan (Atas)

$$\begin{aligned}
 M_u &= 0,5 M_u \text{ negatif tumpuan} \\
 &= 6556,031 \text{ kgm}
 \end{aligned}$$

$$\varnothing = 0,9$$

$$\begin{aligned}
 R_n &= \frac{M_u}{\varnothing b d^2} \\
 &= \frac{6556,031 \times 10^4}{0,9(350)(429)^2} \\
 &= 1,13
 \end{aligned}$$

$$\begin{aligned}
 \rho_{\text{perlu}} &= \frac{1}{m} \left(1 - \sqrt{1 - \frac{2x m x R_n}{f_y}} \right) \\
 &= \frac{1}{14,12} \left(1 - \sqrt{1 - \frac{2 \times 14,12 \times 1,13}{420}} \right)
 \end{aligned}$$

$$= 0,0027 < \rho_{\min}$$

$$\rho_{\text{pakai}} = \rho_{\min} = 0,0035$$

$$\begin{aligned}
 A_s \text{ perlu} &= \rho_{\text{pakai}} \times b \times d \\
 &= 0,0035 \times 350 \times 429
 \end{aligned}$$

$$= 528,75 \text{ mm}^2$$

$$\begin{aligned}
 n_{\text{pakai}} &= \frac{A_s \text{ perlu}}{A_s \text{ tulangan}} \\
 &= \frac{528,75}{0,25\pi(22)^2}
 \end{aligned}$$

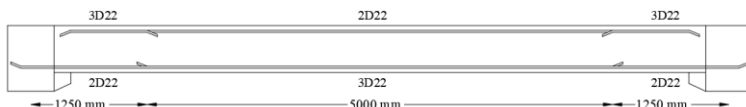
$$\begin{aligned}
 &= 1,39 \approx 2 \text{ buah} \\
 s_{\min 1} &= D_{\text{tulangan}} = 22 \text{ mm} \\
 s_{\min 2} &= 25 \text{ mm} \\
 s_{\text{hasil}} &= \frac{b - n_{\text{pakai}} D_{\text{tulangan}} - 2 \text{clearcover} - 2 D_{\text{sengkang}}}{n_{\text{pakai}} - 1} \\
 &= \frac{350 - 2(22) - 2(50) - 2(10)}{2 - 1} \\
 &= 186 \text{ mm} > s_{\min} (\text{OK})
 \end{aligned}$$

Kontrol Regangan:

$$\begin{aligned}
 a &= \frac{A_s \times f_y}{0,85 \times f'c \times b} = 30,66 \text{ mm} \\
 c &= \frac{a}{\beta_1} = 38,33 \text{ mm} \\
 \epsilon_t &= \frac{(dx - c) \times 0,003}{c} = \frac{(429 - 38,33) \times 0,003}{38,33} \\
 &= 0,031 > 0,005 (\text{OK})
 \end{aligned}$$

Asumsi faktor reduksi $\phi = 0,9$ dapat digunakan.

∴ Maka digunakan tulangan negatif lapangan 2D22



Gambar 4. 30 Skema penulangan balok anak setelah komposit

e. Tulangan Geser

$$\begin{aligned}
 V_u &= 104896,5 \text{ N} \\
 V_c &= 0,17 \sqrt{f'c'} bd \\
 &= 151010,9 \text{ N} \\
 \phi V_c &= 113258,2 \text{ N} \\
 0,5\phi V_c &= 56629,1 \text{ N} \\
 V_{s \min} &= 0,062 \sqrt{f'c'} bd \\
 &= 55518,7 \text{ N}
 \end{aligned}$$

$$\phi (V_c + V_{s \min}) = 41639,03 \text{ N}$$

Syarat:

Kondisi 1:

$$V_u \leq 0,5\phi V_c \rightarrow \text{tidak memenuhi}$$

Kondisi 2:

$$0,5\phi V_c \leq V_u \leq \phi V_c \rightarrow \text{memenuhi}$$

Oleh karena kondisi 2 persyaratan tulangan geser memenuhi, maka diperlukan tulangan geser minimum pada perencanaan balok anak ini.

$$\begin{aligned} S_{\max 1} &= \frac{d}{2} = \frac{429}{2} = 214.5 \text{ mm} \\ S_{\max 2} &= 600 \text{ mm} \\ Spakai &= 200 \text{ mm} \\ D_{\text{sengkang}} &= 10 \text{ mm}, As = 78,54 \text{ mm}^2 \\ \text{Sengkang} &= 2 \text{ kaki} \\ fy \text{ sengkang} &= 420 \text{ MPa} \\ Av &= 2 \times As D10 = 2 \times 78,54 = 157,08 \text{ mm}^2 \\ V_s \text{ pakai} &= \frac{Av fy d}{Spakai} = \frac{157,08(420)(429)}{200} \\ &= 141513 \text{ N} > V_{s \min} (\text{OK}) \end{aligned}$$

∴ Maka, digunakan tulangan geser tumpuan D10-200 mm

- Sebelum Komposit

$$\begin{aligned} d &= h_{\text{balok}} - \text{clear cover} - D_{\text{sengkang}} - 0,5D_{\text{tulangan}} \\ &= 360 - 50 - 10 - 0,5(22) \\ &= 289 \text{ mm} \\ M_{\text{tumpuan}} &= 0 \text{ kgm} \\ M_{\text{lapangan}} &= 10279,71 \text{ kgm} \\ V_u &= 6526,8 \text{ kg} \end{aligned}$$

a. Tulangan Negatif Tumpuan (Atas)

$$\begin{aligned} \rho_{\text{pakai}} &= \rho_{\min} = 0,0035 \\ A_s \text{ perlu} &= \rho_{\text{pakai}} \times b \times d \\ &= 0,0035 \times 350 \times 289 \\ &= 356,2 \text{ mm}^2 \\ n_{\text{pakai}} &= \frac{As \text{ perlu}}{As \text{ tulangan}} \\ &= \frac{356,2}{0,25\pi(22)^2} \\ &= 0,93 \approx 2 \text{ buah} \end{aligned}$$

$$\begin{aligned}
 s_{\min 1} &= D_{\text{tulangan}} = 22 \text{ mm} \\
 s_{\min 2} &= 25 \text{ mm} \\
 s_{\text{hasil}} &= \frac{b - n_{\text{pakai}} D_{\text{tulangan}} - 2 \text{clearcover} - 2 D_{\text{sengkang}}}{n_{\text{pakai}} - 1} \\
 &= \frac{350 - 2(22) - 2(50) - 2(10)}{2 - 1} \\
 &= 186 \text{ mm} > s_{\min} (\text{OK})
 \end{aligned}$$

∴ Maka digunakan tulangan negatif tumpuan 2D22

b. Tulangan Positif Tumpuan (Bawah)

$$\begin{aligned}
 \rho_{\text{pakai}} &= \rho_{\min} = 0,0035 \\
 A_s \text{ perlu} &= \rho_{\text{pakai}} \times b \times d \\
 &= 0,0035 \times 350 \times 289 \\
 &= 356,2 \text{ mm}^2 \\
 n_{\text{pakai}} &= \frac{A_s \text{ perlu}}{A_s \text{ tulangan}} \\
 &= \frac{356,2}{0,25\pi(22)^2} \\
 &= 1,39 \approx 2 \text{ buah} \\
 s_{\min 1} &= D_{\text{tulangan}} = 22 \text{ mm} \\
 s_{\min 2} &= 25 \text{ mm} \\
 s_{\text{hasil}} &= \frac{b - n_{\text{pakai}} D_{\text{tulangan}} - 2 \text{clearcover} - 2 D_{\text{sengkang}}}{n_{\text{pakai}} - 1} \\
 &= \frac{350 - 2(22) - 2(50) - 2(10)}{2 - 1} \\
 &= 186 \text{ mm} > s_{\min} (\text{OK})
 \end{aligned}$$

∴ Maka digunakan tulangan positif tumpuan 2D22

c. Tulangan Positif Lapangan (Bawah)

$$\begin{aligned}
 \emptyset &= 0,9 \\
 R_n &= \frac{Mu}{\emptyset bd^2} \\
 &= \frac{10279,71 \times 10^4}{0,9(350)(289)^2} \\
 &= 3,91 \\
 \rho_{\text{perlu}} &= \frac{1}{m} \left(1 - \sqrt{1 - \frac{2xmxRn}{fy}} \right)
 \end{aligned}$$

$$\begin{aligned}
 &= \frac{1}{14,12} \left(1 - \sqrt{1 - \frac{2x14,12x3,91}{420}} \right) \\
 &= 0,01 \\
 \rho_{\text{pakai}} &= 0,01 > \rho_{\text{min}} \\
 A_s \text{ perlu} &= \rho_{\text{pakai}} \times b \times d \\
 &= 0,01 \times 350 \times 289 \\
 &= 1012,55 \text{ mm}^2 \\
 n_{\text{pakai}} &= \frac{As \text{ perlu}}{As \text{ tulangan}} \\
 &= \frac{1012,55}{0,25\pi(22)^2} \\
 &= 2,66 \approx 3 \text{ buah} \\
 s_{\text{min1}} &= D_{\text{tulangan}} = 22 \text{ mm} \\
 s_{\text{min2}} &= 25 \text{ mm} \\
 s_{\text{hasil}} &= \frac{b - n_{\text{pakai}} D_{\text{tulangan}} - 2 \text{ clearcover} - 2 D_{\text{sengkang}}}{n_{\text{pakai}} - 1} \\
 &= \frac{350 - 3(22) - 2(50) - 2(10)}{4 - 1} \\
 &= 82 \text{ mm} > s_{\text{min}} (\text{OK})
 \end{aligned}$$

Kontrol Regangan:

$$\begin{aligned}
 a &= \frac{As \times fy}{0,85 \times f' c \times b} = 45,99 \text{ mm} \\
 c &= \frac{a}{\beta_1} = 57,49 \text{ mm} \\
 \epsilon_t &= \frac{(dx - c) \times 0,003}{c} = \frac{(289 - 57,49) \times 0,003}{57,49} \\
 &= 0,012 > 0,005 (\text{OK})
 \end{aligned}$$

Asumsi faktor reduksi $\emptyset = 0,9$ dapat digunakan.

∴ Maka digunakan tulangan positif lapangan 3D22

d. Tulangan Negatif Lapangan (Atas)

$$\begin{aligned}
 M_u &= 0,5 M_u \text{ negatif tumpuan} \\
 &= 5139,86 \text{ kgm} \\
 \emptyset &= 0,9 \\
 R_n &= \frac{Mu}{\emptyset bd^2} \\
 &= \frac{5139,86 \times 10^4}{0,9(350)(289)^2}
 \end{aligned}$$

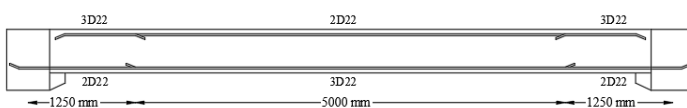
$$\begin{aligned}
 &= 1,95 \\
 \rho_{\text{perlu}} &= \frac{1}{m} \left(1 - \sqrt{1 - \frac{2xmxRn}{fy}} \right) \\
 &= \frac{1}{14,12} \left(1 - \sqrt{1 - \frac{2x14,12x1,95}{420}} \right) \\
 &= 0,005 \\
 \rho_{\text{pakai}} &= 0,005 > \rho_{\text{min}} \\
 A_s \text{ perlu} &= \rho_{\text{pakai}} \times b \times d \\
 &= 0,005 \times 350 \times 289 \\
 &= 487,1 \text{ mm}^2 \\
 n_{\text{pakai}} &= \frac{As \text{ perlu}}{As \text{ tulangan}} \\
 &= \frac{487,1}{0,25\pi(22)^2} \\
 &= 1,84 \approx 2 \text{ buah} \\
 s_{\text{min1}} &= D_{\text{tulangan}} = 22 \text{ mm} \\
 s_{\text{min2}} &= 25 \text{ mm} \\
 s_{\text{hasil}} &= \frac{b - n_{\text{pakai}}D_{\text{tulangan}} - 2\text{clearcover} - 2Ds_{\text{engkang}}}{n_{\text{pakai}} - 1} \\
 &= \frac{350 - 2(22) - 2(50) - 2(10)}{2 - 1} \\
 &= 186 \text{ mm} > s_{\text{min}} (\text{OK})
 \end{aligned}$$

Kontrol Regangan:

$$\begin{aligned}
 a &= \frac{As \times fy}{0,85 \times f'c \times b} = 30,66 \text{ mm} \\
 c &= \frac{a}{\beta_1} = 38,33 \text{ mm} \\
 \varepsilon_t &= \frac{(dx - c) \times 0,003}{c} = \frac{(289 - 38,33) \times 0,003}{38,33} \\
 &= 0,0196 > 0,005 (\text{OK})
 \end{aligned}$$

Asumsi faktor reduksi $\varnothing = 0,9$ dapat digunakan.

∴ Maka digunakan tulangan negatif lapangan 2D22



Gambar 4. 31 Skema penulangan balok anak sebelum komposit

e. Tulangan Geser

$$\begin{aligned}
 V_u &= 65268 \text{ N} \\
 V_c &= 0,17\sqrt{fc'}bd \\
 &= 101729,95 \text{ N} \\
 \phi V_c &= 76297,5 \text{ N} \\
 0,5\phi V_c &= 38148,7 \text{ N} \\
 V_{s \min} &= 0,062\sqrt{fc'}bd \\
 &= 37400,7 \text{ N} \\
 \phi (V_c + V_{s \min}) &= 28050,54 \text{ N}
 \end{aligned}$$

Syarat:

Kondisi 1:

$$V_u \leq 0,5\phi V_c \rightarrow \text{tidak memenuhi}$$

Kondisi 2:

$$0,5\phi V_c \leq V_u \leq \phi V_c \rightarrow \text{memenuhi}$$

Oleh karena kondisi 2 persyaratan tulangan geser memenuhi, maka diperlukan tulangan geser minimum pada perencanaan balok anak ini.

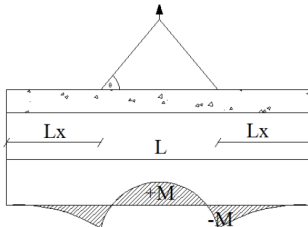
$$\begin{aligned}
 S_{\max 1} &= \frac{d}{2} = \frac{289}{2} = 144,5 \text{ mm} \\
 S_{\max 2} &= 600 \text{ mm} \\
 S_{\text{pakai}} &= 125 \text{ mm} \\
 D_{\text{sengkang}} &= 10 \text{ mm}, As = 78,54 \text{ mm}^2 \\
 \text{Sengkang} &= 2 \text{ kaki} \\
 fy \text{ sengkang} &= 420 \text{ MPa} \\
 A_v &= 2 \times As D 10 = 2 \times 78,54 = 157,08 \text{ mm}^2 \\
 V_{s \text{ pakai}} &= \frac{A_v f_y d}{Spakai} = \frac{157,08(420)(289)}{125} \\
 &= 152530 \text{ N} > V_{s \min} (\text{OK})
 \end{aligned}$$

∴ Maka, digunakan tulangan geser tumpuan D10-125 mm

- Saat Pengangkatan

$$\begin{aligned}
 d &= h_{\text{balok}} - \text{clear cover} - D_{\text{sengkang}} - 0,5D_{\text{tulangan}} \\
 &= 360 - 50 - 10 - 0,5(22) \\
 &= 289 \text{ mm}
 \end{aligned}$$

Pada saat pengangkatan direncanakan 2 titik angkat dengan lokasi titik pengangkatan berada pada daerah tumpuan. Rencana serta titik pengangkatan balok anak tertera pada **Gambar 4.32 dan 4.33.**



Gambar 4. 32 Titik Angkat Balok Anak

$$+M = \frac{WL^2}{8} \left(1 - 4X + \frac{4Y_c}{L \tan\theta} \right)$$

$$-M = \frac{WX^2L^2}{2}$$

$$y_t = \frac{h}{2} = \frac{36}{2} = 18 \text{ cm}$$

$$I_{\text{balok}} = \frac{1}{12} bh^3 = \frac{1}{12} 30(36)^3 = 136080 \text{ cm}^4$$

$$y_c = y_t + 5 = 18 + 5 = 23 \text{ cm}$$

Balok direncanakan diangkat dengan sudut 45°

$$\theta = 45^\circ$$

$$L = 6,3 \text{ m}$$

$$X = \frac{1 + \frac{4yc}{L \tan\theta}}{2 \left(1 + \sqrt{1 + \frac{y_t}{yb} \left(1 + \frac{4yc}{L \tan\theta} \right)} \right)} = 0,232$$

$$LX = 6,3 (0,232) = 1,46 \text{ m} \approx 1,5 \text{ m}$$

$$L - 2XL = 6,3 - 2(1,5) = 3,3 \text{ m}$$

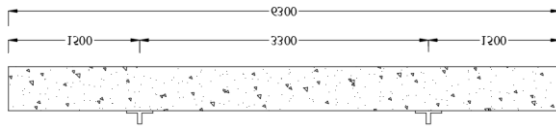
$$W = 1,4(2400 \times 0,35 \times 0,36) = 423,36 \text{ kg/m}$$

$$+M = \frac{WL^2}{8} \left(1 - 4X + \frac{4Y_c}{L \tan\theta} \right)$$

$$= 454,029 \text{ kgm}$$

$$-M = \frac{WX^2L^2}{2}$$

$$= 454,029 \text{ kgm}$$



Gambar 4. 33 Letak Titik Pengangkatan

a. Tulangan Negatif Tumpuan (Atas)

Oleh karena pada saat pengangkatan momen yang terjadi sangat kecil, maka untuk menentukan luasan tukangan yang diperlukan dapat langsung menggunakan nilai ρ_{\min} .

$$\rho_{\text{pakai}} = \rho_{\min} = 0,0035$$

$$\begin{aligned} A_s \text{ perlu} &= \rho_{\text{pakai}} \times b \times d \\ &= 0,0033 \times 350 \times 289 \\ &= 337,17 \text{ mm}^2 \end{aligned}$$

$$\begin{aligned} n_{\text{pakai}} &= \frac{A_s \text{ perlu}}{A_s \text{ tulangan}} \\ &= \frac{337,17}{0,25\pi(22)^2} \\ &= 0,89 \approx 2 \text{ buah} \end{aligned}$$

$$s_{\min 1} = D_{\text{tulangan}} = 22 \text{ mm}$$

$$s_{\min 2} = 25 \text{ mm}$$

$$\begin{aligned} s_{\text{hasil}} &= \frac{b - n_{\text{pakai}} D_{\text{tulangan}} - 2 \text{ clearcover} - 2 D_{\text{sengkang}}}{n_{\text{pakai}} - 1} \\ &= \frac{350 - 2(22) - 2(50) - 2(10)}{2 - 1} \\ &= 186 \text{ mm} > s_{\min} (\text{OK}) \end{aligned}$$

∴ Maka digunakan tulangan negatif tumpuan 2D22

b. Tulangan Positif Tumpuan (Bawah)

$$\rho_{\text{pakai}} = \rho_{\min} = 0,0033$$

$$\begin{aligned} A_s \text{ perlu} &= \rho_{\text{pakai}} \times b \times d \\ &= 0,0033 \times 350 \times 289 \\ &= 337,17 \text{ mm}^2 \end{aligned}$$

$$\begin{aligned} n_{\text{pakai}} &= \frac{A_s \text{ perlu}}{A_s \text{ tulangan}} \\ &= \frac{337,17}{0,25\pi(22)^2} \end{aligned}$$

$$\begin{aligned}
 &= 0,89 \approx 2 \text{ buah} \\
 s_{\min 1} &= D_{\text{tulangan}} = 22 \text{ mm} \\
 s_{\min 2} &= 25 \text{ mm} \\
 s_{\text{hasil}} &= \frac{b - n_{\text{pakai}} D_{\text{tulangan}} - 2 \text{clearcover} - 2 D_{\text{sengkang}}}{n_{\text{pakai}} - 1} \\
 &= \frac{350 - 2(22) - 2(50) - 2(10)}{2 - 1} \\
 &= 186 \text{ mm} > s_{\min} (\text{OK})
 \end{aligned}$$

.: Maka digunakan tulangan positif tumpuan 2D22

c. Tulangan Positif Lapangan (Bawah)

Oleh karena pada saat pengangkatan momen yang terjadi sangat kecil, maka untuk menentukan luasan tulangan yang diperlukan dapat langsung menggunakan nilai ρ_{\min} .

$$\begin{aligned}
 \rho_{\text{pakai}} &= \rho_{\min} = 0,033 \\
 A_s \text{ perlu} &= \rho_{\text{pakai}} \times b \times d \\
 &= 0,033 \times 350 \times 289 \\
 &= 337,17 \text{ mm}^2 \\
 n_{\text{pakai}} &= \frac{A_s \text{ perlu}}{A_s \text{ tulangan}} \\
 &= \frac{337,17}{0,25\pi(22)^2} \\
 &= 0,89 \approx 2 \text{ buah} \\
 s_{\min 1} &= D_{\text{tulangan}} = 22 \text{ mm} \\
 s_{\min 2} &= 25 \text{ mm} \\
 s_{\text{hasil}} &= \frac{b - n_{\text{pakai}} D_{\text{tulangan}} - 2 \text{clearcover} - 2 D_{\text{sengkang}}}{n_{\text{pakai}} - 1} \\
 &= \frac{350 - 2(22) - 2(50) - 2(10)}{2 - 1} \\
 &= 186 \text{ mm} > s_{\min} (\text{OK})
 \end{aligned}$$

.: Maka digunakan tulangan positif lapangan 2D22

d. Tulangan Negatif Lapangan (Atas)

$$\begin{aligned}
 \rho_{\text{pakai}} &= \rho_{\min} = 0,0033 \\
 A_s \text{ perlu} &= \rho_{\text{pakai}} \times b \times d \\
 &= 0,0033 \times 350 \times 289
 \end{aligned}$$

$$\begin{aligned}
 &= 337,17 \text{ mm}^2 \\
 n_{\text{pakai}} &= \frac{As \text{ perlu}}{As \text{ tulangan}} \\
 &= \frac{337,17}{0,25\pi(22)^2} \\
 &= 0,89 \approx 2 \text{ buah} \\
 s_{\min 1} &= D_{\text{tulangan}} = 22 \text{ mm} \\
 s_{\min 2} &= 25 \text{ mm} \\
 s_{\text{hasil}} &= \frac{b - n_{\text{pakai}} D_{\text{tulangan}} - 2 \text{ clear cover} - 2 D_{\text{sengkang}}}{n_{\text{pakai}} - 1} \\
 &= \frac{350 - 2(22) - 2(50) - 2(10)}{2 - 1} \\
 &= 186 \text{ mm} > s_{\min} (\text{OK})
 \end{aligned}$$

∴ Maka digunakan tulangan negatif lapangan 2D22

4.2.4.5. Pengangkatan Balok Anak

Sebelum melakukan instalasi balok anak, balok anak terlebih dahulu mengalami proses pengangkatan menuju titik lokasi pemasangan. Oleh karena itu, diperlukan perencanaan tulangan angkat untuk balok anak seperti pada pelat yang telah dibahas pada subbab 4.2.3.6 sebelumnya. Untuk pengangkatan balok anak pada tugas akhir ini direncanakan dengan menggunakan dua titik angkat tanpa bantuan *spreader beam*.

- Perhitungan Tulangan Angkat

$$\text{Faktor Kejut (K)} = 1,2$$

$$DL = h_{\text{pracetak}} \times b_{\text{pracetak}} \times L \times \gamma_{\text{beton}}$$

$$= 0,36 \times 0,35 \times 6,3 \times 2400$$

$$= 1905,12 \text{ kg}$$

$$q = K \times 1,4 \times DL$$

$$= 1,2 \times 1,4(1905,12)$$

$$= 3200,6 \text{ kg}$$

Gaya Angkat (T_u):

$$T_u = \frac{q}{2 \cos(45)} = \frac{3200,6}{2 \cos(45)} = 2263,2 \text{ kg}$$

- Kontrol Tegangan

$$\sigma_{\text{balok}} < \sigma_{\text{ijin}}$$

$$\sigma_{ijin} = \frac{0,7\sqrt{fc'}}{SF} = \frac{0,7\sqrt{25}}{1,5} = 2,33 \text{ MPa}$$

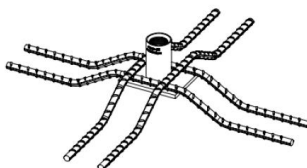
$$Z = \frac{1}{6} b (h_{pracetak})^2 = \frac{1}{6} 35 (36)^2 = 7560 \text{ cm}^3$$

$$\sigma_{balok} = \frac{Mu}{Z} = \frac{454,029 \times 10^4}{7560 \times 10^3} = 0,6 \text{ MPa}$$

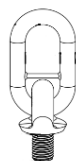
$\sigma_{balok} < \sigma_{ijin}$ (OK)

- Pemilihan Profil Tulangan Angkat

Tulangan angkat yang digunakan adalah jenis *Jenka Lifting System* dari *Peikko Group*. Tipe yang digunakan adalah *Jenka PSA Short Insert* dengan kait *JL*. Disetiap titik angkat, profil ini dapat mengangkat beban sebesar 40 kN dengan sudut $0^\circ - 45^\circ$. Ilustrasi tulangan angkat sesuai pada **Gambar 4.34 dan 4.35**.



Gambar 4. 34 Jenka PSA Short Inserts



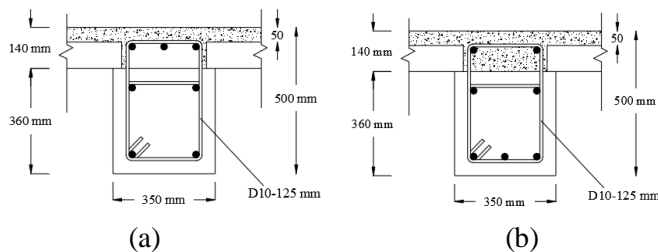
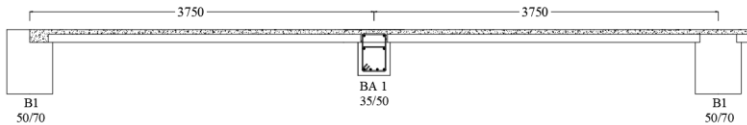
Gambar 4. 35 Kait JL

4.2.4.6. Rekapitulasi Tulangan Balok Anak

Berikut merupakan rekapitulasi tulangan balok anak yang tertera pada **Tabel 4.21**. Serta detail penulangan Balok Anak (BA 1) yang sesuai dengan **Gambar 4.36 dan 4.37**.

Tabel 4. 21 Rekapitulasi Tulangan Balok Anak

Tipe Balok	BA 1		BA 2		BA 3	
Tulangan	Tumpuan	Lapangan	Tumpuan	Lapangan	Tumpuan	Lapangan
Dimensi	350 mm x 500 mm		300 mm x 450 mm		250mm x 400 mm	
Bentang	7.5 m		5.5m		4.5 m	
Decking	50 mm		50 mm		50 mm	
Atas	3D22	2D22	2D22	2D22	2D22	2D22
Tengah	2D22	2D22	2D22	2D22	2D22	2D22
Bawah	2D22	3D22	2D22	2D22	2D22	2D22
Sengkang	D10-125 mm		D10-100 mm		D10-150 mm	

Gambar 4. 36 Potongan Balok Anak (BA 1) (a) Tumpuan dan
(b) Lapangan

Gambar 4. 37 Potongan pada Titik Lapangan

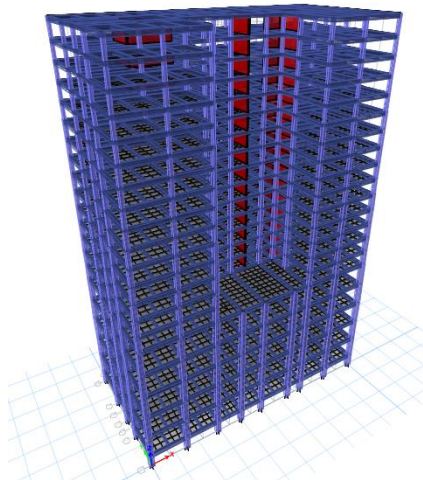
4.3. Pembebaan dan Analisis Struktur

4.3.1. Umum

Dalam perencanaan gedung bertingkat perlu dilakukan adanya perencanaan pembebaan gravitasi maupun pembebaan gempa. Hal ini bertujuan agar struktur gedung tersebut mampu untuk memikul beban beban yang terjadi. Pembebaan gravitasi mengacu pada ketentuan SNI 1727:2013, PPIUG 1983 dan SNI 2847:2019, dan pembebaan gempa dengan mengacu pada SNI 1726:2019, yang di dalamnya terdapat ketentuan dan persyaratan perhitungan beban gempa.

4.3.2. Permodelan Struktur

Dalam perhitungan analisis beban gempa perlu suatu permodelan struktur, dimana struktur Gedung Apartemen Arundaya memiliki bentuk yang tidak beraturan, sehingga harus dilakukan analisa dengan menggunakan analisa respon dinamik. Struktur Gedung Apartemen Arundaya memiliki total 21 lantai, tinggi total gedung 76 meter. Ilustrasi permodelan sesuai **Gambar 4.38**.



Gambar 4. 38 Permodelan Apartemen Arundaya dengan ETABS

4.3.3. Pembebanan Gravitasi

Data-data perencanaan pembebanan Gedung Apartemen Arundaya yang digunakan adalah sebagai berikut:

- Input Beban Sendiri:

- Mutu beton (F'c)	= 35 Mpa
- Mutu baja (Fy)	= 420 Mpa
- Ketinggian lantai	
a. <i>Basement</i>	= 3 m
b. Lt. 1 – Lt. 5	= 5 m
c. Lt. 6 – Lt. 20	= 3,2 m
- Dimensi Balok	
a. Balok induk	= 50/70; 45/60; 35/60
b. Balok anak	= 35/50; 30/45; 25/40
c. Balok Pratekan	= 35/60
- Tebal Pelat Lantai	= 14 cm
- Tebal Pelat Atap	= 14 cm
- Dimensi Kolom	
a. <i>Basement</i> – Lt. 5	= 90/90 cm
b. Lt 6 – 10	= 75/75 cm
c. Lt 11 – 15	= 60/60 cm
d. Lt 16 = 20 (Atap)	= 50/50 cm

- Input Beban Hidup:

- Lantai Apartemen	= 192 kg/m ²
- Lantai <i>Ballroom</i>	= 479 kg/m ²
- Lantai Fasilitas Publik	= 479 kg/m ²
- Lantai Atap	= 69,264 kg/m ²

- Input Beban Mati Tambahan (*Superdead*):

Penggantung	= 7 kg/m ²
Plafond	= 11 kg/m ²
Spesi (t = 2 cm)	= 42 kg/m ²
Tegel (t = 1 cm)	= 24 kg/m ²
<i>Ducting & Plumbing</i>	= 30 kg/m ²

Rekapitulasi pembebanan gravitasi secara manual dapat dilihat pada **Tabel 4. 22.**

Tabel 4. 22 Rekapitulasi Pembebanan

Lantai Atap						
Beban Mati	Berat Sendiri		t	Luas total (m ²)	Berat (kg)	
Pelat Atap	2400	kg/m ³	0.14	998	335328	
Spesi (2 cm)	42	kg/m ²		998	41916	
Tegel	24	kg/m ²		998	23952	
Plafon	11	kg/m ²		998	10978	
Penggantung	7	kg/m ²		998	6986	
Ducting & Plumbing	30	kg/m ²		998	29940	
			L (m)	b (m)	h (m)	
BI 1	2400	kg/m ³	236.5	0.5	0.7	198660
BI 2	2400	kg/m ³	75.5	0.45	0.6	48924
BI 3	2400	kg/m ³	55	0.35	0.6	27720
BA 1	2400	kg/m ³	126.5	0.35	0.5	53130
BA 2	2400	kg/m ³	11	0.3	0.45	3564
Shearwall	2400	kg/m ³	30.5	0.32	3.2	74956.8
				$W_D =$	856054.8	
Beban Hidup	Berat Sendiri			Luas total (m ²)		
Lantai Atap	69.264	kg/m ²		998	69125.47	
				$W_L =$	69125.47	
Lantai 20-16						
Beban Mati	Berat Sendiri		t	Luas total (m ²)	Berat (kg)	
Pelat Atap	2400	kg/m ³	0.14	921	309456	
Spesi (2 cm)	42	kg/m ²		921	38682	
Tegel	24	kg/m ²		921	22104	
Plafon	11	kg/m ²		921	10131	
Penggantung	7	kg/m ²		921	6447	
Ducting & Plumbing	30	kg/m ²		921	27630	
			L (m)	b (m)	h (m)	
BI 1	2400	kg/m ³	236.5	0.5	0.7	198660
BI 2	2400	kg/m ³	75.5	0.45	0.6	48924

BI 3	2400	kg/m^3	55	0.35	0.6	27720
BA 1	2400	kg/m^3	126.5	0.35	0.5	53130
BA 2	2400	kg/m^3	11	0.3	0.45	3564
Shearwall	2400	kg/m^3	30.5	0.32	3.2	74956.8
Kolom	2400	kg/m^3	108.8	0.5	0.5	65280
					$W_D =$	886684.8
Beban Hidup	Berat Sendiri		Luas total (m ²)			
Lantai Hunian	114.52	kg/m^2	921		105471.6	
				$W_L =$	105471.6	
Lantai 15-11						
Beban Mati	Berat Sendiri	t	Luas total (m ²)	Berat (kg)		
Pelat Atap	2400	kg/m^3	0.14	921		309456
Spesi (2 cm)	42	kg/m^2		921		38682
Tegel	24	kg/m^2		921		22104
Plafon	11	kg/m^2		921		10131
Penggantung	7	kg/m^2		921		6447
Ducting & Plumbing	30	kg/m^2		921		27630
			L (m)	b (m)	h (m)	Berat (kg)
BI 1	2400	kg/m^3	236.5	0.5	0.7	198660
BI 2	2400	kg/m^3	75.5	0.45	0.6	48924
BI 3	2400	kg/m^3	55	0.35	0.6	27720
BA 1	2400	kg/m^3	126.5	0.35	0.5	53130
BA 2	2400	kg/m^3	11	0.3	0.45	3564
Shearwall	2400	kg/m^3	30.5	0.32	3.2	74956.8
Kolom	2400	kg/m^3	108.8	0.6	0.6	94003.2
				$W_D =$	915408	
Beban Hidup	Berat Sendiri		Luas total (m ²)			
Lantai Hunian	114.52	kg/m^2	921		105471.6	
				$W_L =$	105471.6	

Lantai 10-6						
Beban Mati	Berat Sendiri		t	Luas total (m ²)	Berat (kg)	
Pelat Atap	2400	kg/m ³	0.14	921	309456	
Spesi (2 cm)	42	kg/m ²		921	38682	
Tegel	24	kg/m ²		921	22104	
Plafon	11	kg/m ²		921	10131	
Penggantung	7	kg/m ²		921	6447	
Ducting & Plumbing	30	kg/m ²		921	27630	
			L (m)	b (m)	h (m)	
BI 1	2400	kg/m ³	236.5	0.5	0.7	198660
BI 2	2400	kg/m ³	75.5	0.45	0.6	48924
BI 3	2400	kg/m ³	55	0.35	0.6	27720
BA 1	2400	kg/m ³	126.5	0.35	0.5	53130
BA 2	2400	kg/m ³	11	0.3	0.45	3564
Shearwall	2400	kg/m ³	30.5	0.32	3.2	74956.8
Kolom	2400	kg/m ³	108.8	0.75	0.75	146880
					W _D =	968284.8
Beban Hidup	Berat Sendiri		Luas total (m ²)			
Lantai Hunian	114.52	kg/m ²	921			105471.6
					W _L =	105471.6
Lantai 5						
Beban Mati	Berat Sendiri		t	Luas total (m ²)	Berat (kg)	
Pelat Atap	2400	kg/m ³	0.14	1173	394128	
Spesi (2 cm)	42	kg/m ²		1173	49266	
Tegel	24	kg/m ²		1173	28152	
Plafon	11	kg/m ²		1173	12903	
Penggantung	7	kg/m ²		1173	8211	
Ducting & Plumbing	30	kg/m ²		1173	35190	
			L (m)	b (m)	h (m)	Berat (kg)
BI 1	2400	kg/m ³	236.5	0.5	0.7	198660
BI 2	2400	kg/m ³	75.5	0.45	0.6	48924

BI 3	2400	kg/m^3	55	0.35	0.6	27720
BA 1	2400	kg/m^3	126.5	0.35	0.5	53130
BA 2	2400	kg/m^3	11	0.3	0.45	3564
BP	2400	kg/m^3	39	0.35	0.6	19656
Shearwall	2400	kg/m^3	30.5	0.32	5	117120
Kolom	2400	kg/m^3	185	0.9	0.9	359640
					$W_D =$	1356264
Beban Hidup	Berat Sendiri		Luas total (m ²)			
Ballroom	479.00	kg/m^2	1173		561867	
				$W_L =$	561867	
Lantai 4-Basement						
Beban Mati	Berat Sendiri	t	Luas total (m ²)	Berat (kg)		
Pelat Atap	2400	kg/m^3	0.14	1173	394128	
Spesi (2 cm)	42	kg/m^2		1173	49266	
Tegel	24	kg/m^2		1173	28152	
Plafon	11	kg/m^2		1173	12903	
Penggantung	7	kg/m^2		1173	8211	
Ducting & Plumbing	30	kg/m^2		1173	35190	
		L (m)	b (m)	h (m)	Berat (kg)	
BI 1	2400	kg/m^3	273	0.5	0.7	229320
BI 2	2400	kg/m^3	96.5	0.45	0.6	62532
BI 3	2400	kg/m^3	72	0.35	0.6	36288
BA 1	2400	kg/m^3	156	0.35	0.5	65520
BA 2	2400	kg/m^3	21.5	0.3	0.45	6966
BA 3	2400	kg/m^3	4.5	0.25	0.4	1080
Shearwall	2400	kg/m^3	30.5	0.32	5	117120
Kolom	2400	kg/m^3	200	0.9	0.9	388800
				$W_D =$	1435476	
Beban Hidup	Berat Sendiri		Luas total (m ²)			
Ruang Publik	479.00	kg/m^2	1173		561867	
				$W_L =$	561867	

Tabel 4. 23 Hasil Pembebanan Pada ETABS

Load Case/Combo	FX kgf	FY kgf	FZ kgf	MX kgf-m	MY kgf-m	MZ kgf-m
D+L	0.00	0.00	26331402	351665682	-662686208	-0.0006

Tabel 4. 24 Kontrol Pembebanan Gravitasi

Keterangan	n Lantai	W_D	W_L
		kg	kg
Lt. Atap	1	856054.8	69125.47
Lt. 20-16	5	4433424	527357.94
Lt. 15-11	5	4577040	527357.94
Lt. 10-6	5	4841424	527357.94
Lt.5	1	1356264	561867
Lt. 4-1	4	5741904	2247468
Kolom Basement	1	388800	
Shearwall Basement	1	117120	
Total		22312030.8	4460534.306
W _D + W _L		26772565.11	
W _D + W _L ETABS		26331402	
Kontrol Selisih		1.65%	

Pembebanan yang diinput pada ETABS haruslah mendekati perhitungan manual ($\pm 5\%$) sehingga pembebanan pada ETABS dapat dinyatakan benar. Berikut merupakan rasio selisih pembebanan gravitasi yang didapat dari ETABS dan Manual (**Tabel 4.24**):

$$\text{Selisih} = \left(\frac{26772565.11}{26331402} - 1 \right) \times 100\% = 1.65\% < 5\%$$

Jadi dapat disimpulkan bahwa pembebanan gravitasi pada program bantu ETABS sudah benar.

4.3.4. Pembebanan Gempa Dinamis

Pembebanan gempa dengan mengacu pada SNI 1726:2019, yang di dalamnya terdapat ketentuan dan persyaratan perhitungan beban gempa.

4.3.4.1. Faktor Keutamaan Gempa

Faktor keutamaan gempa ditentukan dari jenis pemanfaatan gedung sesuai dengan kategori resiko pada peraturan. Kategori resiko untuk gedung apartemen/rumah susun termasuk kategori II dengan faktor keutamaan gempa (I_e) 1,0.

4.3.4.2. Kelas Situs

Kelas situs ditentukan berdasarkan data tanah yang didapat dari proses pengumpulan data. Kelas situs pada gedung Apartemen Arundaya Surabaya termasuk dalam kelas situs SE (Tanah Lunak)

4.3.4.3. Parameter Respon *Spectral* dan Percepatan *Spectral Desain*

Sebagai input data pada ETABS, diperlukan data Percepatan Respon Spektrum (MCE). Data percepatan respon spektrum diambil dari *website* puskim.pu.go.id.

Dari web tersebut didapatkan data pada lokasi Surabaya dengan kelas situs SE (Tanah Lunak) seperti pada **Tabel 4.25**.

Tabel 4. 25 Parameter Respon *Spectral* dan Percepatan *Spectral Desain*

PGA (g)	0.325
S_s (g)	0.663
S_1 (g)	0.246
F_{PGA}	1.125
F_A	1.374
F_V	3.015
S_{MS} (g)	0.911
S_{M1} (g)	0.742
S_{DS} (g)	0.607
S_{D1} (g)	0.495
T_0 (s)	0.163
T_1 (s)	0.815

4.3.4.4. Kategori Desain Seismik

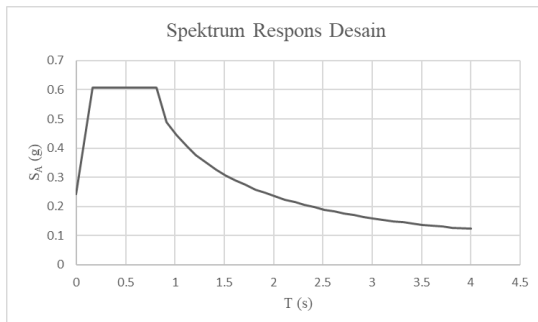
Berdasarkan SNI 1726:2019 Tabel 8, untuk nilai $SDS \geq 0.5$, $SD1 \geq 0.2$, dan termasuk kategori resiko II, maka dapat diperoleh kategori desain seismik D. Pada tugas akhir ini, struktur yang digunakan ialah sistem ganda dengan menggunakan Sistem Rangka Pemikul Momen Khusus (SRPMK) dan dinding geser beton bertulang khusus.

4.3.4.5. Periode Fundamental dan Spektrum Respons Desain

Untuk periode fundamental (**Tabel 4.26**) dan spektrum respons desain (**Gambar 4.39**) dapat diperoleh dari *website* puskim.pu.go.id atau dengan menggunakan peraturan SNI 1726:2019 pasal 6.4.

Tabel 4. 26 Nilai Periode Fundamental (T) dan Percepatan Respons Spektrum

T (detik)	SA (g)	T (detik)	SA (g)
0	0.243	2.315	0.205
0.163	0.607	2.415	0.197
0.815	0.607	2.515	0.189
0.915	0.488	2.615	0.182
1.015	0.444	2.715	0.176
1.115	0.407	2.815	0.17
1.215	0.376	2.915	0.164
1.315	0.35	3.015	0.159
1.415	0.327	3.115	0.154
1.515	0.306	3.215	0.149
1.615	0.289	3.315	0.145
1.715	0.273	3.415	0.141
1.815	0.258	3.515	0.137
1.915	0.246	3.615	0.133
2.015	0.234	3.715	0.13
2.115	0.223	3.815	0.126
2.215	0.214	4	0.124



Gambar 4. 39 Grafik Spektrum Respons Desain

4.3.4.6. Koefisien Modifikasi Respons

Struktur Gedung Apartemen Arundaya direncanakan akan menggunakan sistem ganda dengan rangka pemikul momen khusus. Untuk memperoleh R (Koefisien Modifikasi Respon), Ω_0 (Faktor Kuat Lebih Sistem), dan C_d (Faktor Pembesaran Defleksi), tabel 12 pada SNI 1726:2019 akan digunakan. Dengan kategori desain seismik D, diperoleh :

$$R = 7$$

$$\Omega_0 = 2,5$$

$$C_d = 5,5$$

4.3.4.7. Kontrol Waktu Getar Alami Fundamental (T)

Waktu gertar/periode alami fundamental struktur merupakan waktu yang dibutuhkan struktur untuk menempuh satu siklus gerakan yang nilainya dipengaruhi oleh fungsi massa dan kekakuan. Nilai periode desain akan digunakan untuk mendapatkan beban gempa rencana. Penentuan periode didasarkan pada peraturan SNI 1726:2019 pasal 7.8.2, yaitu:

$$T = C_u \times T_a$$

Dimana:

T_a = periode fundamental pendekatan (s)

C_u = koefisien untuk batas atas periode

Periode fundamental pendekatan sendiri ditentukan dengan persamaan berikut:

$$T_a = C_t h_n^x$$

Berdasarkan SNI 1726:2019 Tabel 18, tipe struktur sistem rangka pemikul momen menggunakan nilai parameter periode pendekatan C_t adalah 0,466, nilai x digunakan 0,9 dengan ketinggian gedung 76 m.

$$T_a = C_t h_n^x$$

$$T_a = 0,0466 \times 76^{0,9}$$

$$T_a = 2,297 \text{ s} \rightarrow \text{batas bawah}$$

Selain itu juga harus dilakukan pengecekan terhadap batas atas perioda sesuai pada **Tabel 4.27**.

Tabel 4. 27 Koefisian Batas Atas Perioda

Parameter Percepatan Respons Spectral Desain pada 1 detik, S_{D1}	Koefisian C_u
$\geq 0,4$	1,4
0,3	1,4
0,2	1,5
0,15	1,6
$\leq 0,1$	1,7

Dengan nilai $S_{D1} = 0,495$, maka koefisien C_u diambil sebesar 1,4.

$$T = C_u \times T_a$$

$$T = 1,4 \times 2,297$$

$$T = 3,215 \text{ s} \rightarrow \text{batas atas}$$

Nilai perioda (T) didapat dari permodelan ETABS yang telah diinput gaya gempa dinamik yang tertera pada **Tabel 4.28**.

Tabel 4. 28 Modal Periode dan Frekuensi

Case	Mode	Period	Sum UX	Sum UY	Sum UZ
		sec			
Modal	1	2.469	0.1466	0.2612	0
Modal	2	2.426	0.1665	0.5735	0
Modal	3	2.154	0.7222	0.701	0
Modal	4	0.72	0.7387	0.7119	0
Modal	5	0.703	0.7636	0.782	0
Modal	6	0.604	0.8409	0.8332	0
Modal	7	0.348	0.8527	0.8362	0
Modal	8	0.326	0.8671	0.8607	0
Modal	9	0.274	0.8931	0.889	0
Modal	10	0.212	0.9008	0.89	0
Modal	11	0.194	0.9115	0.9034	0
Modal	12	0.163	0.9241	0.9218	0
Modal	13	0.143	0.9278	0.922	0
Modal	14	0.131	0.9356	0.9291	0
Modal	15	0.111	0.9415	0.9406	0

Periode fundamental struktur terbesar yang didapat dari analisis ETABS = 2,469 s, maka:

$$T_a < T_{ETABS} < C_u \times T_a$$

$$2,297 \text{ s} < 2,469 \text{ s} < 3,215 \text{ s} \dots \text{“OK”}$$

Digunakan periode fundamental struktut (T) = 2,469 s.

4.3.4.8. Kontrol Gaya Geser Dasar (*Base Shear*)

Koefisien respons seismik, C_s , harus ditentukan sesuai dengan SNI 1726:2019 pasal 7.8.1.1. Nilai R yang dipakai yaitu R untuk sistem ganda dengan Rangka Beton Bertulang Pemikul Momen Khusus dan Dinding Geser Beton Bertulang Khusus = 7. (SNI 1726:2019 Tabel 12)

$$C_s = \frac{S_{DS}}{\left(\frac{R}{I_e}\right)} ; S_{DS} = 0,607 ; I_e = 1 ; R = 7$$

$$C_s = \frac{0,607}{\binom{7}{1}} = 0,0867$$

Nilai C_s tidak lebih dari:

$$C_s = \frac{S_{D1}}{T \binom{R}{I_e}} ; S_{D1} = 0,495; I_e = 1; R = 7; T = 2,467 \text{ s}$$

$$C_s = \frac{0,495}{2,469 \binom{7}{1}} = 0,0286 \rightarrow C_s \text{ max}$$

Dan nilai C_s tidak kurang dari:

$$C_s = 0,044 \times S_{DS} \times I_e$$

$$C_s = 0,044 \times 0,607 \times 1$$

$$C_s = 0,0267 \rightarrow C_s \text{ min}$$

Dari hasil perhitungan diatas, maka nilai C_s diambil sebesar 0,0286.

Untuk perhitungan gempa faktor reduksi beban hidup bangunan apartemen sebesar 0,3, sehingga didapatkan berat seismik efektif bangunan (W) sesuai pada **Tabel 4.29**.

Tabel 4. 29 Berat Efektif Struktur

Load Case/Combo	FX	FY	FZ
	kgf	kgf	kgf
D+0.3L	0	-1.67E-05	23136384

Gaya geser yang telah didapatkan dari perhitungan di atas akan didistribusikan secara vertikal ke masing-masing lantai sesuai dengan SNI 1726:2019

$$C_s = 0,0286$$

$$W = 23136384 \text{ kg}$$

$$V = C_s \times W$$

$$= 0,0286 \times 23136384 \text{ kg}$$

$$= 663183,165 \text{ kg}$$

Sehingga diperoleh V statik sebesar 663.183,165 kg. Apabila kombinasi respons untuk gaya geser dasar hasil analisis ragam (V_t) kurang dari 100% dari gaya geser (V) yang dihitung melalui metode statik ekivalen, maka gaya tersebut harus

dikalikan dengan $\frac{V}{V_t}$ (SNI 1726:2019 pasal 7.9.1.4.1). Berikut merupakan gaya geser dasar hasil analisis ragam yang diperoleh menggunakan program bantu ETABS yang sesuai pada **Tabel 4.30.**

Tabel 4. 30 Gaya Geser Dasar Hasil Analisis Ragam

Load Case/Combo	FX	FY	FZ
	kgf	kgf	kgf
Gempa X Max	444452.184	256255.491	1.66E-06
Gempa Y Max	260201.017	418206.648	1.92E-06

$$V = 663.343,541 \text{ kg}$$

$$V_{tx} = 444.452,184 \text{ kg}$$

$$V_{ty} = 418.206,648 \text{ kg}$$

Berdasarkan **Tabel 4.30**, gaya geser dinamis < gaya geser statik, maka faktor skala gaya harus diberikan.

$$\text{Faktor skala arah } X = \frac{663.183,165}{444.452,184} = 1,49$$

$$\text{Faktor skala arah } Y = \frac{663.183,165}{418.206,648} = 1,59$$

Setelah didapatkan faktor skala untuk masing-masing arah pembebanan, selanjutnya dilakukan analisa ulang struktur dengan mengalikan skala faktor yang diperoleh di atas pada *scale factor* untuk *Define Respons Spectra*. Kemudian dilakukan *running ulang* pada program analisis. Hasil dari running ulang tersebut sesuai **Tabel 4.31**:

Tabel 4. 31 Gaya Geser Dinamik Setelah Faktor Skala

Load Case/Combo	FX	FY	FZ
	kgf	kgf	kgf
Gempa X Max	664533.183	382992.875	2.39E-06
Gempa Y Max	453709.444	729161.189	3.34E-06

Tabel 4. 32 Rekapitulasi Gaya Geser Statik-Dinamik Setelah Koreksi Faktor Skala

Gaya Gempa	Fx	Fy
	kgf	kgf
Statik	663183.165	663183.165
Dinamik	664533.183	729161.189

Ternyata hasil dari *running* ulang tersebut sudah memenuhi persyaratan SNI 1726:2019 Pasal 7.9.1.4.1. Selanjutnya geser dasar ragam hasil *running* ulang tersebut akan digunakan sebagai beban gempa desain.

4.3.4.9. Kontrol Partisipasi Massa

Sesuai dengan SNI 1726:2019, Perhitungan respons dinamik struktur harus sedemikian rupa sehingga partisipasi massa dalam menghasilkan respon total sekurang kurangnya adalah 90%. Didapatkan besaran Partisipasi Massa pada program bantu ETABS sesuai pada **Tabel 4.33**.

Tabel 4. 33 Modal Partispasi Massa

Case	Mode	Period	Sum UX	Sum UY
		sec		
Modal	1	2.469	0.1466	0.2612
Modal	2	2.426	0.1665	0.5735
Modal	3	2.154	0.7222	0.701
Modal	4	0.72	0.7387	0.7119
Modal	5	0.703	0.7636	0.782
Modal	6	0.604	0.8409	0.8332
Modal	7	0.348	0.8527	0.8362
Modal	8	0.326	0.8671	0.8607
Modal	9	0.274	0.8931	0.889
Modal	10	0.212	0.9008	0.89
Modal	11	0.194	0.9115	0.9034
Modal	12	0.163	0.9241	0.9218
Modal	13	0.143	0.9278	0.922
Modal	14	0.131	0.9356	0.9291
Modal	15	0.111	0.9415	0.9406

Dari tabel diatas didapatkan bahwa dalam penjumlahan respon ragam menghasilkan respon total telah mencapai 90% untuk arah X dan arah Y. Maka, ketentuan menurut SNI 1726:2019 pasal 7.9.1.1 terpenuhi.

4.3.4.10. Kontrol Dual System

Sistem Rangka Pemikul Momen (SRPM) harus memikul minimum 25% dari beban geser nominal total yang bekerja dalam arah kerja beban gempa tersebut. Berikut total reaksi perletakan SRPM dan *shearwall* yang tertera pada **Tabel 4.34**:

Tabel 4. 34 Kontrol Dual System

Pemikul Gaya Geser	Gempa X		Gempa Y	
	FX (kg)	%	FY (kg)	%
<i>Shear Wall</i>	484360.25	70.1%	565506.22	74.4%
SRPM	206303.81	29.9%	194310.36	25.6%
Total	690664.06	100%	759816.58	100%

Dari hasil perhitungan diatas, dapat dilihat bahwa persentase total dari SRPM memiliki nilai lebih besar dari 25%, sehingga konfigurasi struktur gedung telah memenuhi syarat sebagai struktur *dual system*.

4.3.4.11. Kontrol Drift

Kinerja batas layan struktur gedung sangat ditentukan oleh simpangan antar tingkat akibat pengaruh gempa rencahan. Dimaksudkan untuk menjaga kenyamanan penghuni, mencegah kerusakan non-struktural, membatasi peretakan beton yang berlebihan.

Nilai dari simpangan antar lantai ini dihitung dengan aplikasi program bantu struktur yang selanjutnya batasan simpangan dinyatakan dengan perumusan seperti berikut ini:

Untuk kontrol *drift* pada SNI 1726:2019, dirumuskan sebagai berikut :

$$\delta_x = \frac{C_d \times \delta_{XE}}{I_e} < \Delta ijin$$

Dimana:

δ_x = defleksi pada lantai ke-x

C_d = faktor pembesaran defleksi (=5,5)

(SNI 1726:2019 Tabel 12)

I_e = faktor keutamaan gedung (=1)

(SNI 1726:2019 Tabel 4)

Berdasarkan Tabel 20 pada SNI 1726:2019 untuk jenis struktur yang masuk kedalam tipe semua struktur lainnya dan berada pada kategori risiko II, batas simpangan antar lantai ijin adalah $0.020 h_{sx}$, dimana h_{sx} merupakan tinggi antar tingkat.

Tabel 4. 35 Batas Simpangan Gedung

Struktur	Kategori risiko		
	I atau II	III	IV
Struktur, selain dari struktur dinding geser batu bata, 4 tingkat atau kurang dengan dinding interior, partisi, langit-langit dan sistem dinding eksterior yang telah didesain untuk mengakomodasi simpangan antar tingkat.	$0,025h_{sx}^c$	$0,020h_{sx}$	$0,015h_{sx}$
Struktur dinding geser kantilever batu bata ^d	$0,010h_{sx}$	$0,010h_{sx}$	$0,010h_{sx}$
Struktur dinding geser batu bata lainnya	$0,007h_{sx}$	$0,007h_{sx}$	$0,007h_{sx}$
Semua struktur lainnya	$0,020h_{sx}$	$0,015h_{sx}$	$0,010h_{sx}$

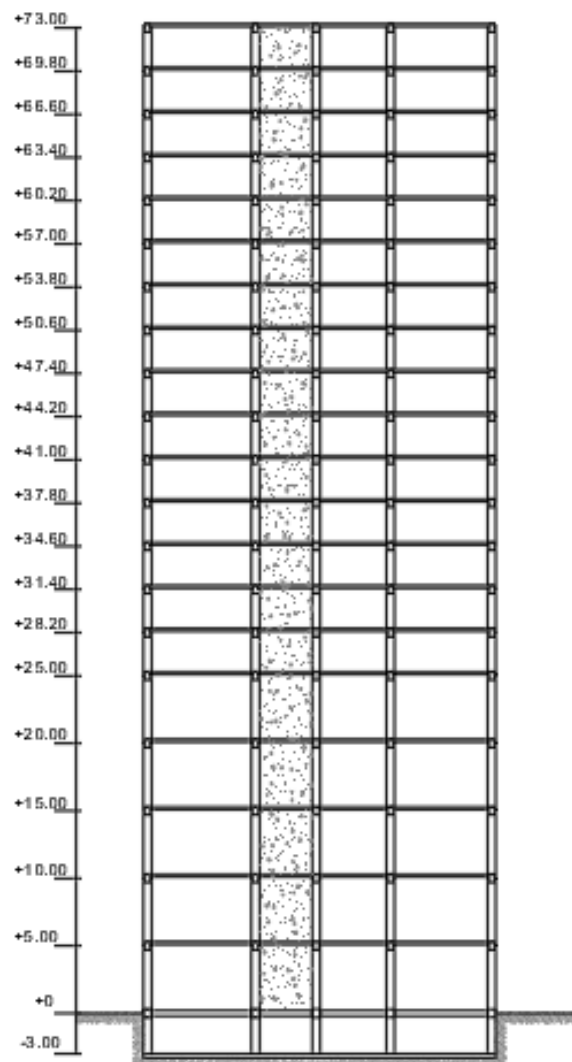
(SNI 1726:2019 Tabel 20)

Berikut merupakan *drift* ijin yang didapat dari perhitungan di atas. Elevasi tiap lantai diilustrasikan pada Gambar 4.40:

$$\Delta_{ijin} = 0.02 \times h_{sx} \\ = 0.02 \times 3000 = 60 \text{ mm } (\textit{Basement})$$

$$\Delta_{ijin} = 0.02 \times h_{sx} \\ = 0.02 \times 5000 = 100 \text{ mm } (\text{Lantai 1-5})$$

$$\Delta_{ijin} = 0.02 \times h_{sx} \\ = 0.02 \times 3200 = 64 \text{ mm } (\text{Lantai 6 - Atap})$$



Gambar 4. 40 Elevasi Tiap Lantai untuk Menghitung Batas Simpangan Gedung

Berikut hasil perhitungan kontrol simpangan antar tingkat yang terjadi akibat pengaruh gempa rencana yang tertera pada **Tabel 4.36 dan 4.37**:

$$\delta_x = \frac{C_d \times (\delta_2 - \delta_1)}{I_e} < \Delta_{ijin}$$

Tabel 4. 36 Simpangan Lantai Akibat Gempa Arah X

Lantai	Elevasi	h_{sx}	Drift	δ_{xe}	δ_x	Δ_{ijin}	Kontrol
	mm	mm	mm	mm	mm	mm	
Atap	73000	3200	80.40	2.80	15.41	64	OK
20	69800	3200	77.59	2.92	16.04	64	OK
19	66600	3200	74.68	3.03	16.65	64	OK
18	63400	3200	71.65	3.15	17.33	64	OK
17	60200	3200	68.50	3.29	18.09	64	OK
16	57000	3200	65.21	3.36	18.50	64	OK
15	53800	3200	61.85	3.51	19.28	64	OK
14	50600	3200	58.34	3.63	19.98	64	OK
13	47400	3200	54.71	3.75	20.64	64	OK
12	44200	3200	50.96	3.88	21.31	64	OK
11	41000	3200	47.08	3.94	21.64	64	OK
10	37800	3200	43.15	4.03	22.17	64	OK
9	34600	3200	39.12	4.10	22.54	64	OK
8	31400	3200	35.02	4.15	22.81	64	OK
7	28200	3200	30.87	4.17	22.94	64	OK
6	25000	5000	26.70	6.49	35.68	100	OK
5	20000	5000	20.21	6.19	34.07	100	OK
4	15000	5000	14.02	5.60	30.78	100	OK
3	10000	5000	8.42	4.60	25.28	100	OK
2	5000	5000	3.83	3.08	16.93	100	OK
1	0	3000	0.75	0.75	4.11	60	OK
Base	-3000	0	0	0	0	0	OK

Tabel 4. 37 Simpangan Lantai Akibat Gempa Arah Y

Lantai	Elevasi	h_{sx}	Drift	δxe	δx	Δ_{ijin}	Kontrol
	mm	mm	mm	mm	mm	mm	
Atap	73000	3200	93.916	3.411	18.76	64	OK
20	69800	3200	90.505	3.508	19.29	64	OK
19	66600	3200	86.997	3.612	19.87	64	OK
18	63400	3200	83.385	3.735	20.54	64	OK
17	60200	3200	79.65	3.871	21.29	64	OK
16	57000	3200	75.779	3.966	21.81	64	OK
15	53800	3200	71.813	4.107	22.59	64	OK
14	50600	3200	67.706	4.24	23.32	64	OK
13	47400	3200	63.466	4.367	24.02	64	OK
12	44200	3200	59.099	4.497	24.73	64	OK
11	41000	3200	54.602	4.579	25.18	64	OK
10	37800	3200	50.023	4.684	25.76	64	OK
9	34600	3200	45.339	4.767	26.22	64	OK
8	31400	3200	40.572	4.834	26.59	64	OK
7	28200	3200	35.738	4.878	26.83	64	OK
6	25000	5000	30.86	7.523	41.38	100	OK
5	20000	5000	23.337	7.384	40.61	100	OK
4	15000	5000	15.953	6.532	35.93	100	OK
3	10000	5000	9.421	5.271	28.99	100	OK
2	5000	5000	4.15	3.379	18.58	100	OK
1	0	3000	0.771	0.771	4.241	60	OK
Base	-3000	0	0	0	0	0	OK

4.4. Perencanaan Struktur Utama Pratekan

4.4.1. Umum

Beton pratekan merupakan komponen struktur yang menggabungkan kekuatan baja mutu tinggi dan beton mutu tinggi. Penggunaan pratekan ini juga didasari oleh efisiensi yang mampu diberikan balok pratekan untuk bentang panjang tanpa kolom di tengahnya dibandingkan beton bertulang biasa.

Menurut SNI 2847:2019 pasal. 18.6.3.5, tendon pratekan diperbolehkan menerima 25% momen positif atau negatif di penampang kritis pada sendi plastis dan harus diangkur pada atau melampaui muka sisi luar *joint*. Perencanaan beton pratekan pada Gedung Apartemen Arundaya ini direncanakan dengan metode pasca tarik (*post tension*) dengan sistem monolit. Metode pasca tarik adalah metode pratekan dimana tendon baja ditarik setelah beton mengeras. Jadi tendon pratekan diangkurkan pada beton tersebut segera setelah gaya pratekan diberikan.

Perencanaan beton pratekan pada lantai 5 karena akan dibuat ruang seminar berupa *ballroom* pada lantai 5. Balok prategang dibuat dengan panjang bentang 1 meter. Jumlah balok arah memanjang sebanyak 3 buah. Perencanaan lebih difokuskan pada balok yang lokasinya berada di tengah karena merupakan balok paling kritis. Sebelum dilakukan perhitungan perencanaan balok pratekan, maka akan ditentukan terlebih dahulu spesifikasi mutu bahan, tahap pembebanan, jenis tendon yang digunakan, tegangan ijin komponen struktur, kehilangan pratekan, serta kontrol struktur yang meliputi kontrol batas layan (*servisibility*), dan penggambaran *output*.

4.4.2. Data Perencanaan Beton Pratekan

Berikut ini adalah data data perencanaan beton pratekan pada lantai atap balok:

- Panjang bentang : 12 m
- Dimensi balok pratekan : 350/600 mm
- f'_c beton prategang : 35 Mpa
- f'_c beton pelat atap : 35 Mpa
- Selimut beton : 40 mm

Jacking dilakukan pada beton saat umur tertentu dan belum mencapai kekuatan yang maksimum. Kekuatan tekan beton pada berbagai umur mengacu pada Tabel 4.1.4 PBI 1971. (**Tabel 4.38**).

Tabel 4. 38 Kekuatan Tekan Beton pada Berbagai Umur

Umur beton (hari)	3	7	14	21	28	90	365
Sement Portland Biasa	0,40	0,75	0,88	0,95	1,00	1,15	1,35

Umur beton untuk menentukan koefisien yang digunakan bergantung pada faktor suhu rata – rata mengacu pada PBI 1971 pasal 10.9, dengan rumus:

$$U = \frac{\Sigma \Delta h (S+10^0)}{30^0}$$

Dalam pelaksanaan, *jacking* dilakukan setelah 14 hari curing sehingga perhitungan kuat tekan beton adalah sebagai berikut

$$\Sigma \Delta h = 14 \text{ hari}$$

$$S = 30^0$$

$$U = \frac{14(30+10)}{30} = 18,67 \text{ hari}$$

$$\text{Koefisien kuat tekan beton} = 0,88 + \frac{18,67 - 14}{21 - 14} x (0,95 - 0,88) \\ = 0,93$$

$$f_{ci} = 0,93 \times 35 = 32,4 \text{ MPa}$$

Untuk tebal pelat yang digunakan, perencanaan pada lantai dengan balok pratekan ketebalan yang digunakan yaitu 140 mm.

- Jarak antar balok prategang yang terbesar

$$Lx_1 \text{ (kiri)} = 7500 - 350$$

$$= 7150 \text{ mm}$$

$$Lx_2 \text{ (kanan)} = 5000 - 350$$

$$= 4650 \text{ mm}$$

4.4.3. Mencari Lebar Efektif

Dalam mencari lebar efektif (b_w), maka didasarkan pada perumusan yang terdapat pada SNI 2847:2019 Pasal 6.3.2.1, dimana lebar efektif sayap harus mencakup lebar badan balok ditambah lebar efektif sayap yang menjorok dari masing-masing sisi badan balok tidak boleh melebihi:

- Enam kali tebal pelat
- Setengah jarak bersih antara balok-balok yang bersebelahan
- Seperduabelas panjang balok

Perhitungan lebar efektif balok arah memanjang ialah sebagai berikut:

$$\begin{aligned}
 b_{\text{eff}} &= b + 6h \\
 &= 350 + (6 \times 14) \\
 &= 2100 \text{ mm} \\
 b_{\text{eff}} &= b + 0.5 \times (Lx_1 + Lx_2) \\
 &= 350 + 0.5 \times (7150 + 4650) \\
 &= 6250 \text{ mm} \\
 b_{\text{eff}} &= b + ln/12 \\
 &= 350 + 12000/12 \\
 &= 1350 \text{ mm}
 \end{aligned}$$

Sehingga nilai b_{eff} yang terkecil adalah 1350 mm.

Penggunaan lebar efektif di dalam perhitungan beton pratekan hanya digunakan pada saat analisa tegangan yang terjadi pada beton pratekan sendiri, sementara untuk perhitungan beban yang ada lebar sesuai dengan jarak antar balok pratekan yang sesungguhnya.

4.4.4. Penentuan Tegangan Ijin Baja dan Beton

Tegangan baja tidak boleh melampaui nilai-nilai berikut:

- a. Tegangan ijin akibat gaya pengangkuran tendon $0,94 f_{py}$, tetapi tidak lebih besar dari nilai terkecil dari $0,8 f_{pu}$ dan nilai maksimum yang direkomendasikan oleh pabrik pembuat

- tendon pratekan atau perangkat angkur. (SNI 2847:2019 pasal 20.3.2.5.1)
- b. Tendon pasca tarik pada daerah angkur dan sambungan sesaat setelah penyaluran gaya pratekan $0,70 f_{pu}$ (SNI 2847:2019 pasal 20.3.2.5.1)

Namun berdasarkan T.Y Lin dan Burns perumusan diatas juga berlaku untuk tendon pratarik segera setelah peralihan gaya pratekan.

Tegangan ijin pada beton tidak boleh melebihi nilai-nilai berikut:

- a. Segera setelah peralihan gaya pratekan (sebelum kehilangan), tegangan serat-serat terluar memiliki nilai sebagai berikut:

- Tegangan tekan : $0,60 \times f_{ci}$ (SNI 2847:2019 Pasal 24.5.3.1)

$$\sigma_{tk} = 0,6 \times f_{ci} = 0,6 \times 32,4 = 19,46 \text{ MPa}$$

- Tegangan tarik terluar direncanakan untuk dapat terjadi retak, sehingga diklasifikasikan sebagai kelas T :

$$\sigma_{tr} = 0,25\sqrt{f_{ci}} \text{ (SNI 2847:2019 Pasal 24.5.3.2)}$$

$$\sigma_{tr} = 0,25 \times \sqrt{32,4} = 1,42 \text{ MPa}$$

- Tegangan tekan terluar pada ujung-ujung komponen struktur di atas perletakan sederhana : $0,70 \times f_{ci}$ (SNI 2847:2019 Pasal 24.5.3.1)

$$\sigma_{tk} = 0,7 \times f_{ci} = 0,7 \times 32,4 = 22,7 \text{ MPa}$$

- Tegangan tarik terluar pada ujung-ujung komponen struktur di atas perletakan sederhana : $(0,5) \times \sqrt{f_{ci}}$ (SNI 2847:2019 Pasal 24.5.3.2)

$$\sigma_{tr} = 0,5 \times \sqrt{32,4} = 2,85 \text{ MPa}$$

- b. Pada beban kerja setelah terjadi kehilangan gaya pratekan.

- Tegangan tekan (beban tetap): $0,45 \times f_c$ (SNI 2847:2019 Pasal 24.5.4.1)

$$\sigma_{tk} = 0,45 \times f'_c = 0,45 \times 35 = 15,75 \text{ MPa}$$

- Tegangan tekan (beban tetap + beban hidup): $0,6 \times f_c$ (SNI 2847:2019 Pasal 24.5.4.1)

- $\sigma_{tk} = 0,6 \times f'_c = 0,6 \times 35 = 21 \text{ Mpa}$
- Tegangan tarik (SNI 2847:2019 pasal 24.5.2.1)

Kelas U	$= ft \leq 0,62\sqrt{f'_c}$
	$= ft \leq 0,62\sqrt{35}$
	$= ft \leq 3,67 \text{ MPa}$
Kelas T	$= 0,62\sqrt{f'_c} < ft \leq \sqrt{f'_c}$
	$= 0,62\sqrt{35} < ft \leq \sqrt{35}$
	$= 3,67 < ft \leq 5,92 \text{ MPa}$
Kelas C	$= ft > \sqrt{f'_c}$
	$= ft > \sqrt{35}$
	$= ft > 5,92 \text{ MPa}$

Pada perencanaan ini beton pratekan diijinkan tarik berdasarkan kelas T dengan tegangan ijin tarik sebesar $0,8\sqrt{f'_c} = 4,73 \text{ MPa}$.

4.4.5. Perhitungan Pembebanan

Perhitungan pembebanan dilakukan dalam 2 tahapan, yaitu:

Tahap Awal

Tahap dimana struktur diberi gaya pratekan sehingga hanya beban mati dan beban mati tambahan yang bekerja.

Tahap Akhir

Merupakan tahap dimana beban mati tambahan dan beban hidup telah bekerja pada struktur (Lin & Burns, 1996).

4.4.6. Penentuan Gaya Pratekan Balok Prategang

4.4.6.1. Analisa Penampang Global

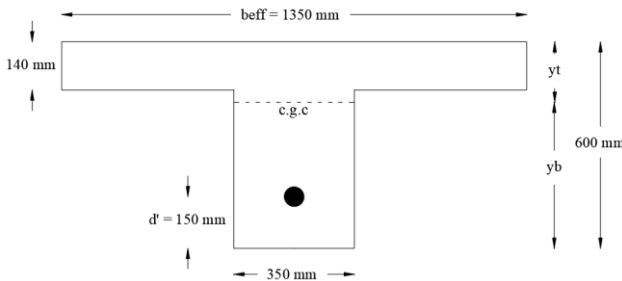
Balok pratekan memiliki ukuran yang sama sehingga analisa penampang dapat memiliki nilai yang sama. Penampang balok pratekan menjadi penampang balok T, karena ada pelat lantai. Perhitungan dapat menggunakan perumusan dibawah (SNI 2847:2019 Pasal 19.2.2)

$$\text{Epelat} = 4700\sqrt{f'_c} = 4700\sqrt{35} = 27806 \text{ Mpa}$$

$$\text{Ebalok} = 4700\sqrt{f'_c} = 4700\sqrt{35} = 27806 \text{ Mpa}$$

$$n = \text{Ebalok}/\text{Epelat} = 27806/27806 = 1$$

Potongan melintang pada tengah bentang diilustrasikan pada **Gambar 4.41**.



Gambar 4. 41 Potongan Melintang Balok Prategang pada Tengah Bentang

Dari **Gambar 4. 41** dapat dilihat tebal pelat (tf) adalah 140 mm. y_t merupakan jarak dari c.g.c ke serat atas dan y_b adalah jarak dari c.g.c ke serat bawah. Untuk mendapatkan besarnya y_t dan y_b perlu diketahui luas penampang balok dan pelat secara total.

Luas penampang balok pratekan didapat sebagai berikut:
be pakai = be/n

$$= 1350 \text{ mm} / 1$$

$$= 1350 \text{ mm}$$

$$\begin{aligned} A_{\text{pelat}} &= be \times tf \\ &= 1350 \text{ mm} \times 140 \text{ mm} \\ &= 189.000 \text{ mm}^2 \end{aligned}$$

$$\begin{aligned} A_{\text{balok}} &= b \times (h - tf) \\ &= 350 \times (600 - 140) \\ &= 161.000 \text{ mm}^2 \end{aligned}$$

$$A_{\text{tot}} = 350.000 \text{ mm}^2$$

$$Y_t = \frac{Apelat \times Yt\ pelat + Abalok \times Yt\ balok}{Apelat + Abalok}$$

$$= 175,8 \text{ mm}$$

$$\begin{aligned} Y_b &= (h - Y_t) \\ &= 600 - 175,8 \\ &= 424,2 \text{ mm} \end{aligned}$$

$$I = \frac{1}{12}bh^3 + (A_{\text{balok}} \times db^2) + \frac{1}{12}betf^3 (A_{\text{pelat}} \times dt^2)$$

$$\begin{aligned}
 &= 11.335.160.667 \text{ mm}^4 \\
 W_t &= \frac{I}{Y_t} \\
 &= 64.477.591,96 \text{ mm}^3 \\
 W_b &= \frac{I}{Y_b} \\
 &= 26.721.265,13 \text{ mm}^3 \\
 K_t &= \frac{W_b}{A_{\text{total}}} \\
 &= 76,35 \text{ mm} \\
 K_b &= \frac{W_t}{A_{\text{total}}} \\
 &= 184,22
 \end{aligned}$$

4.4.6.2. Mencari Gaya Prategang Awal (Fo)

Besar gaya prategang yang dibutuhkan harus memenuhi tegangan beton yang diijinkan.

Tegangan pada beton yang diijinkan

- Pada saat transfer

Tengah bentang:	Tarik ijin	= 1,42 MPa
	Tekan ijin	= -19,46 MPa
Tumpuan:	Tarik ijin	= 2,85 MPa
	Tekan ijin	= -22,7 MPa

- Pada saat beban layan

Tengah bentang:	Tarik ijin	= 4,73 MPa
	Tekan ijin	= -21 Mpa
Tumpuan:	Tarik ijin	= 4,73 MPa
	Tekan ijin	= -21 Mpa

Eksentrisitas rencana:

- Eksentrisitas pada tengah bentang (e) = $y_b - d'$
 $= 424,2 - 150$
 $= 274,2 \text{ mm}$
- Eksentrisitas pada tumpuan (e) = 50 mm (di atas cgc)

Besar gaya prategang yang dibutuhkan diambil berdasarkan beberapa persamaan, yaitu persamaan pada serat atas dan bawah pada tumpuan dan tengah bentang saat transfer.

Kondisi saat transfer gaya prategang

Adapun output dari ETABS dengan kombinasi D

Momen tumpuan kiri (-) = 141,7274 kNm (digunakan)

Momen lapangan (+) = 91,5795 kNm

Momen tumpuan kanan (-) = 138,2601 kNm

Tengah Bentang

- Serat atas:

$$\begin{aligned}\sigma_t &\geq -\frac{Fo}{A} + \frac{Fo \times e}{Wt} - \frac{M_{lapangan}}{Wt} \\ 1,42 &\geq -\frac{Fo}{350.000} + \frac{Fo \times 274,2}{64.477.592} - \frac{91.579.500}{64.477.592} \\ Fo &= 2038,05 \text{ kN}\end{aligned}$$

- Serat bawah:

$$\begin{aligned}\sigma_b &\leq -\frac{Fo}{A} - \frac{Fo \times e}{Wb} + \frac{M_{lapangan}}{Wb} \\ -19,46 &\leq -\frac{Fo}{350.000} - \frac{Fo \times 274,2}{26.721.265} + \frac{91.579.500}{26.721.265} \\ Fo &= 1744,63 \text{ kN}\end{aligned}$$

Tumpuan

- Serat atas:

$$\begin{aligned}\sigma_t &\leq -\frac{Fo}{A} - \frac{Fo \times e}{Wt} + \frac{M_{tumpuan}}{Wt} \\ -22,7 &\leq -\frac{Fo}{350.000} - \frac{Fo \times 50}{64.477.592} + \frac{141.727.400}{64.477.592} \\ Fo &= 6854,93 \text{ kN}\end{aligned}$$

- Serat bawah:

$$\begin{aligned}\sigma_b &\geq -\frac{Fo}{A} + \frac{Fo \times e}{Wb} - \frac{M_{tumpuan}}{Wb} \\ 2,85 &\geq -\frac{Fo}{350.000} + \frac{Fo \times 50}{26.721.265} - \frac{141.727.400}{26.721.265} \\ Fo &= 8267,01 \text{ kN}\end{aligned}$$

4.4.6.3. Kontrol Gaya Prategang

Kontrol dilakukan dengan memasukkan satu persatu Fo pada semua kondisi, maka Fo yang membuat tegangan yang terjadi tidak melebihi tegangan ijinnya baik tarik maupun tekan

adalah $F_o = 1744,63$ kN. Maka, diambilah $F_o = 1500$ kN dan $F_e = 1200$ kN (asumsi kehilangan prategang 20%).

Berikut merupakan perhitungan kontrol tegangan pada balok pratekan.

Kondisi saat transfer gaya prategang

Adapun *output* dari ETABS dengan kombinasi 1D

Momen tumpuan kiri (-) = 141,7274 kNm

Momen lapangan (+) = 91,5795 kNm

Tengah Bentang

- Serat atas:

$$\begin{aligned}\sigma_t &= -\frac{F_o}{A} + \frac{F_o \times e}{W_t} - \frac{M_{lapangan}}{W_t} \\ \sigma_t &= -\frac{1.500.000}{350.000} + \frac{1.500.000 \times 274,2}{64.477.592} - \frac{91.579.500}{64.477.592} \\ \sigma_t &= 0,67 \text{ MPa}\end{aligned}$$

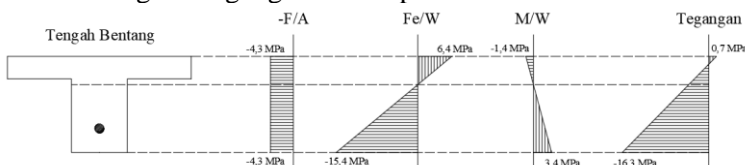
-19,46 MPa < 0,67 MPa < 1,42 MPa (**OK**)

- Serat bawah:

$$\begin{aligned}\sigma_b &= -\frac{F_o}{A} - \frac{F_o \times e}{W_b} + \frac{M_{lapangan}}{W_b} \\ \sigma_b &= -\frac{1.500.000}{350.000} - \frac{1.500.000 \times 274,2}{26.721.265} + \frac{91.579.500}{26.721.265} \\ \sigma_b &= -16,25 \text{ MPa}\end{aligned}$$

-19,46 MPa < -16,25 MPa < 1,42 MPa (**OK**)

Ilustrasi diagram tegangan tertera pada **Gambar 4.42**.



Gambar 4. 42 Diagram Tegangan pada Tengah Bentang Balok Pratekan Saat Kondisi Transfer

Tumpuan

- Serat atas:

$$\begin{aligned}\sigma_t &= -\frac{F_o}{A} - \frac{F_o \times e}{W_t} + \frac{M_{tumpuan}}{W_t} \\ \sigma_t &= -\frac{1.500.000}{350.000} - \frac{1.500.000 \times 50}{64.477.592} + \frac{141.727.400}{64.477.592} \\ \sigma_t &= -3,25 \text{ MPa}\end{aligned}$$

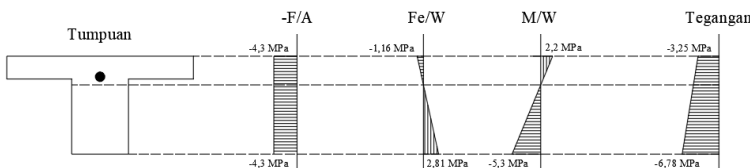
$-22,7 \text{ MPa} < -3,25 \text{ MPa} < 2,85 \text{ MPa}$ (**OK**)

- Serat bawah:

$$\begin{aligned}\sigma_b &= -\frac{F_o}{A} + \frac{F_o \times e}{W_b} - \frac{M_{tumpuan}}{W_b} \\ \sigma_b &= -\frac{1.500.000}{350.000} + \frac{1.500.000 \times 50}{26.721.265} - \frac{141.727.400}{26.721.265} \\ \sigma_b &= -6,78 \text{ MPa}\end{aligned}$$

$-22,7 \text{ MPa} < -6,78 \text{ MPa} < 2,85 \text{ MPa}$ (**OK**)

Ilustrasi diagram tegangan tertera pada **Gambar 4.43.**



Gambar 4. 43 Diagram Tegangan pada Tumpuan Balok
Pratekan Saat Kondisi Transfer

Kondisi saat beban layan

Adapun *output* dari ETABS dengan kombinasi 1D + 1L

Momen tumpuan (-) = 216,4133 kNm

Momen lapangan (+) = 141,4431 kNm

Tengah Bentang

Asumsi kehilangan gaya prategang 20%

- Serat atas:

$$\sigma_t = -\frac{F_e}{A} + \frac{F_e \times e}{W_t} - \frac{M_{lapangan}}{W_t}$$

$$\sigma_t = -\frac{1.200.000}{350.000} + \frac{1.200.000 \times 274,2}{64.477.592} - \frac{141.443.100}{64.477.592}$$

$$\sigma_t = -0,52 \text{ MPa}$$

$-21 \text{ MPa} < -0,52 \text{ MPa} < 4,73 \text{ MPa} (\text{OK})$

- Serat bawah:

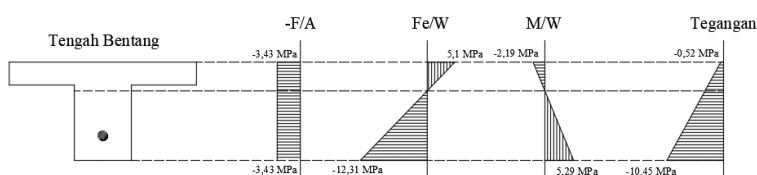
$$\sigma_b = -\frac{Fe}{A} - \frac{Fe \times e}{Wb} + \frac{M_{\text{lapangan}}}{Wb}$$

$$\sigma_b = -\frac{1.200.000}{350.000} - \frac{1.200.000 \times 274,2}{26.721.265} + \frac{141.443.100}{26.721.265}$$

$$\sigma_b = -10,45 \text{ MPa}$$

$-21 \text{ MPa} < -10,45 \text{ MPa} < 4,73 \text{ MPa} (\text{OK})$

Ilustrasi diagram tegangan tertera pada **Gambar 4.44**.



Gambar 4. 44 Diagram Tegangan Penampang Tengah Bentang pada Balok Pratekan Saat Kondisi *Service*

Tumpuan

- Serat atas:

$$\sigma_t = -\frac{Fe}{A} - \frac{Fe \times e}{Wt} + \frac{Mt_{\text{tumpuan}}}{Wt}$$

$$\sigma_t = -\frac{1.200.000}{350.000} - \frac{1.200.000 \times 50}{64.477.592} + \frac{216.413.300}{64.477.592}$$

$$\sigma_t = -1,00 \text{ MPa}$$

$-21 \text{ MPa} < -1,00 \text{ MPa} < 4,73 \text{ MPa} (\text{OK})$

- Serat bawah:

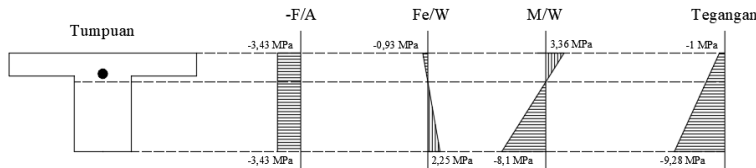
$$\sigma_b = -\frac{Fe}{A} + \frac{Fe \times e}{Wb} - \frac{Mt_{\text{tumpuan}}}{Wb}$$

$$\sigma_b = -\frac{1.200.000}{350.000} + \frac{1.200.000 \times 50}{26.721.265} - \frac{216.413.300}{26.721.265}$$

$$\sigma_b = -9,28 \text{ MPa}$$

$-21 \text{ MPa} < -9,28 \text{ MPa} < 4,73 \text{ MPa} (\text{OK})$

Ilustrasi diagram tegangan tertera pada **Gambar 4.45**.



Gambar 4. 45 Diagram Tegangan pada Penampang Tumpuan Balok Pratekan Saat Kondisi Service

Rekapitulasi kontrol tegangan pada saat transfer dan service tertera pada **Tabel 4.39** dan **4.40**.

Tabel 4. 39 Rekapitulasi Kontrol Tegangan Sebelum Perhitungan Kehilangan Saat Keadaan Transfer

Nama Balok		Teg. Ijin Tekan (MPa)	Teg. Ijin Tarik (MPa)	Keadaan Transfer (MPa)	
				Serat Atas	Serat Bawah
Balok Pratekan	Tengah Bentang	-19.46	1.42	0.67	-16.25
	Tumpuan	-22.70	2.85	-3.25	-6.78

Tabel 4. 40 Rekapitulasi Kontrol Tegangan Sebelum Perhitungan Kehilangan Saat Keadaan Service

Nama Balok		Teg. Ijin Tekan (MPa)	Teg. Ijin Tarik (MPa)	Keadaan Service (MPa)	
				Serat Atas	Serat Bawah
Balok Pratekan	Tengah Bentang	-21.00	4.73	-0.52	-10.45
	Tumpuan	-21.00	4.73	-1.00	-9.28

4.4.7. Penentuan Tendon yang Digunakan

Dipakai tipe baja prategang dengan nilai $f_{pu} = 1860 \text{ MPa}$ (*strand stress-relieved*).

$$f_{p\max} = 0,75 \times 1860 = 1395 \text{ MPa}$$

Luas tendon yang diperlukan adalah:

$$A_{perlu} = \frac{F_o}{f_{p\max}} = \frac{1.500.000}{1395} = 1.075,27 \text{ mm}^2$$

Tendon baja yang digunakan ialah spesifikasi dari *multistrand post-tensioning*, dengan spesifikasi sebagai berikut:

Tendon unit : 5-12

Jumlah strand : 9

Minimum breaking load : 1660 kN

Diameter strand: 12,7 mm

Jumlah tendon : 1

Luas tendon yang digunakan

$$\begin{aligned} \text{Apakai} &= \frac{1}{4} \pi d^2 n = \frac{1}{4} \cdot \pi \cdot 12,7^2 \times 9 \\ &= 1.140,1 \text{ mm}^2 > A_{perlu} (\text{OK}) \end{aligned}$$

Nilai tegangan pakai :

$$f_{pakai} = \frac{F_o}{A_{pakai}} = \frac{1.500.000}{1.140,1} = 1315,68 \text{ Mpa}$$

Tabel 4. 41 Tendon yang Digunakan

Nama Balok	Fo (kN)	Tendon Unit	Jumlah Strand	Diameter Strand (mm)	Apakai (mm ²)	Fpakai (MPa)
Balok Pratekan	1500	5-12	9	12,7	1.140,1	1.315,7

4.4.8. Perhitungan Kehilangan Gaya Prategang

Berikut merupakan perhitungan kehilangan prategang pada balok pratekan.

1. Kehilangan Segera (kehilangan langsung)

Kehilangan langsung adalah kehilangan gaya awal pratekan sesaat setelah pemberian gaya pratekan pada komponen balok pratekan. Kehilangan secara langsung terdiri dari:

- Kehilangan akibat *slip* angker (SNI 2847:2019 Pasal 20.3.2.6.1.a)

Perhitungan kehilangan pratekan akibat pengangkuran harus dicek apakah kehilangan pratekan akibat pengangkuran berpengaruh sampai ke tengah bentang :

$$x = \sqrt{\frac{E_s \times g}{f_{paku} \times \left(\mu \frac{\alpha}{L} + K \right)}}$$

Dengan ketentuan sebagai berikut :

$$E_s = 200.000 \text{ MPa}$$

$$g = 2,5 \text{ mm}$$

$$f_{paku} = 1315,68 \text{ MPa}$$

$$\mu = 0,15 \text{ (7-wires strand tendon)}$$

$$K = 0,0016 \text{ (7-wires strand tendon)}$$

$$f = 274,2 + 50 = 324,2 \text{ mm}$$

$$\alpha = \text{sudut kelengkungan tendon } \left(\frac{8f}{L} \right) = 0,216$$

$$L = 12 \text{ m}$$

$$x = \sqrt{\frac{200000 \times 2,5}{1315,68 \times \left(0,15 \frac{0,216}{12000} + 0,0016 \right)}} = 487,36 \text{ mm}$$

Sehingga diperoleh nilai dari $x = 487,36 \text{ mm}$.

Dengan hasil perhitungan pengaruh pengangkuran sampai ke tumpuan kantilever $x < 6 \text{ m}$, maka kehilangan akibat pengangkuran tidak mempengaruhi.

- b. Kehilangan akibat perpendekan elastis (SNI 2847:2019 Pasal 20.3.2.6.1.b)

Dikarenakan jumlah tendon yang digunakan hanya berjumlah 1 buah, maka kehilangan gaya pratekan akibat perpendekan elastis tidak mempengaruhi.

- c. Kehilangan akibat gesekan (*Wobble Effect*) (SNI 2847:2019 Pasal 20.3.6.2)

Perhitungan kehilangan pratekan diakibatkan oleh gesekan antara material beton dan baja pratekan saat proses pemberian gaya pratekan. Kehilangan pratekan akibat gesekan (*wobble effect*) dihitung dengan perumusan sebagai berikut :

$$F_{pf} = F_i e^{-(\mu\alpha+KL)}$$

$$F_{pf} = 1500 \cdot e^{-(\mu\alpha + KL)}$$

Dengan ketentuan sebagai berikut :

$$\mu = 0,15 \text{ (7-wires strand tendon)}$$

$$K = 0,0016 \text{ (7-wires strand tendon)}$$

$$\alpha = \text{sudut kelengkungan tendon } \left(\frac{8f}{L} \right) = 0,216$$

$$L = 12 \text{ m}$$

$$\text{Nilai } F_{pf} = 1.424,53 \text{ kN}$$

$$\Delta F_{pf} = 1.500 - 1.424,53 = 75,47 \text{ kN}$$

$$\Delta f_{pf} = \frac{75,47 \times 10^3}{1140,1} = 66,19 \text{ MPa}$$

Persentase kehilangan pratekan akibat gesekan ialah :

$$\Delta f_{pf} = \frac{66,19}{1315,68} = 5,03 \%$$

d. Kehilangan akibat kekangan kolom

Perumusan yang digunakan untuk kehilangan gaya pratekan akibat kekangan kolom ialah sebagai berikut :

$$\Delta P = \frac{M_B - M_A}{h}$$

Dari hasil perhitungan ETABS, diperoleh nilai maksimum nilai momen ialah sebagai berikut.

Perhitungan pada kolom kiri.

$$M_B = 63,54 \text{ kNm}$$

$$M_A = 53,93 \text{ kNm}$$

$$\Delta P = \frac{(63,54 - (53,93))}{5} = 1,92 \text{ kN}$$

$$\Delta f_P = \frac{1,92 \times 1000}{1140,1} = 1,68 \text{ MPa}$$

Persentase kehilangan pratekan akibat kekangan kolom kiri ialah :

$$\Delta f_P = \frac{1,68}{1315,68} = 0,13 \%$$

Perhitungan pada kolom kanan.

$$M_B = 33,95 \text{ kNm}$$

$$M_A = 31,66 \text{ kNm}$$

$$\Delta P = \frac{(33,95 - (31,66))}{5} = 0,46 \text{ kN}$$

$$\Delta f_p = \frac{460}{1140,1} = 0,4 \text{ MPa}$$

Persentase kehilangan pratekan akibat kekangan kolom kanan ialah :

$$\Delta f_p = \frac{0,4}{1315,68} = 0,031 \%$$

Persentase total akibat kekangan kolom adalah
 $0,13\% + 0,031\% = 0,161\%$

2. Kehilangan yang tergantung oleh waktu (kehilangan tidak langsung)

Hilangnya gaya awal yang ada terjadi secara bertahap dan dalam waktu yang relatif lama (tidak secara langsung seketika saat pemberian gaya pratekan), adapun macam kehilangan tidak langsung adalah sebagai berikut:

- a. Kehilangan akibat rangkak (SNI 2847:2019 Pasal 20.3.2.6.1.c)

Rumus perhitungan kehilangan pratekan akibat rangkak:

$$CR = K_{cr} \cdot (E_s/E_c) \cdot [f_{c_{ir}} - f_{c_{ds}}]$$

dimana :

$K_{cr} = 2$ untuk metode pra-tarik

$= 1,6$ untuk metode pasca-tarik

$f_{c_{ds}}$ = tegangan beton didaerah c.g.s. akibat seluruh beban mati pada struktur setelah diberi gaya prategang

$f_{c_{ir}}$ = tegangan beton didaerah c.g.s. akibat gaya awal pratekan

$$f_{c_{ir}} = \frac{1.500.000}{735.000} + \frac{1.500.000 \times 274,2^2}{11.335.160.667} - \frac{91,58 \times 10^6 \times 274,2}{11.335.160.667}$$

$$= 12,02 \text{ MPa}$$

$$F_{c_{ds}} = \frac{116,5 \times 10^6 \times 274,2}{11.335.160.667} = 2,82 \text{ MPa}$$

$$CR = K_{cr} \cdot (E_s/E_c) \cdot [f_{c_{ir}} - f_{c_{ds}}] = 105,9 \text{ MPa}$$

Persentase kehilangan pratekan akibat rangkak ialah:

$$\Delta f_{cr} = \frac{105,9}{1315,68} = 8,05 \%$$

- b. Kehilangan akibat susut (SNI 2847:2019 pasal 20.3.2.6.1.d)
Rumus perhitungan kehilangan pratekan akibat susut:

$$SH = (8,2 \times 10^{-6}) K_{SH} \cdot E_s \left[1 - 0,06 \left(\frac{V}{S} \right) \right] \cdot [100 - RH]$$

$$RH = 80\%$$

$$K_{sh} = 0,69 \text{ (14 hari)}$$

$$\begin{aligned} \frac{V}{S} &= \frac{\text{luas penampang beton}}{\text{keliling penampang beton}} \\ &= \frac{350.000}{3.900} \\ &= 120,7 \text{ mm} = 12,07 \text{ cm} \end{aligned}$$

$$E_s = 200.000 \text{ MPa}$$

$$SH = 6,28 \text{ MPa}$$

Persentase kehilangan pratekan akibat susut ialah :

$$\Delta f_{sh} = \frac{6,28}{1315,68} = 0,48 \%$$

- c. Kehilangan akibat relaksasi baja (SNI 2847:2013 pasal 18.6.1.e)
Rumus perhitungan kehilangan pratekan akibat relaksasi baja.

$$RE = [Kre \cdot J \cdot (SH + CR + ES)] * C$$

$$K_{re} = 138 \text{ MPa}$$

$$J = 0,15$$

$$\frac{f_{pi}}{f_{pu}} = \frac{1315,68}{1860} = 0,71$$

$$C = 1,09$$

$$\begin{aligned} RE &= [138 - 0,15(6,28 + 105,9 + 0)] \times 1,09 \\ &= 132,08 \text{ Mpa} \end{aligned}$$

Persentase kehilangan pratekan akibat relaksasi baja ialah :

$$\Delta f_{re} = \frac{132,08}{1315,68} = 10,04 \%$$

Sehingga, total kehilangan pratekan :

$$5,03 + 0,161 + 8,05 + 0,48 + 10,04 = 23,75 \%$$

Besar gaya prategang setelah terjadi kehilangan prategang ialah sebagai berikut:

$$Fe = \frac{100 - 23,75}{100} \times 1500 = 1.143,68 \text{ kN}$$

Rekapitulasi kehilangan prategang tertera pada **Tabel 4.42.**

Tabel 4. 42 Rekapitulasi Perhitungan Kehilangan Prategang

Nama Balok	Jenis Kehilangan	Besar Kehilangan	% Kehilangan Total	Fo (kN)	Fe (kN)
Balok Pratekan	Friksi	5,03	23,75	1500	1.143,68
	Rangkak	8,05			
	Relaksasi	10,04			
	Susut	0,48			
	Kekangan Kolom	0,161			

4.4.9. Kontrol Gaya Prategang Setelah Kehilangan

Berikut merupakan perhitungan kontrol gaya prategang setelah kehilangan pada balok arah memanjang.

a. Kontrol akibat beban layan

Ada *output* dari ETABS dengan kombinasi 1D + 1L

Momen tumpuan (-) = 216,4133 kNm

Momen lapangan (+) = 141,4431 kNm
(tengah bentang)

Tengah Bentang

- Serat atas:

$$\sigma_t = -\frac{Fe}{A} + \frac{Fe \times e}{Wt} - \frac{M_{lapangan}}{Wt}$$

$$\sigma_t = -\frac{1.143,682}{350.000} + \frac{1.143,682 \times 274,2}{64.477.592} - \frac{141.443.100}{64.477.592}$$

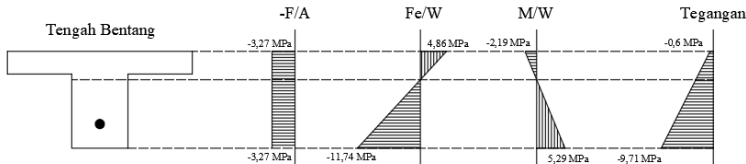
$$\sigma_t = -0,6 \text{ MPa}$$

-21 MPa < -0,6 MPa < 4,73 MPa (**OK**)

- Serat bawah:

$$\begin{aligned}\sigma_b &= -\frac{Fe}{A} - \frac{Fe \times e}{Wb} + \frac{M_{lapangan}}{Wb} \\ \sigma_b &= -\frac{1.143.682}{350.000} - \frac{1.143.682 \times 274,2}{26.721.265} + \frac{141.443.100}{26.721.265} \\ \sigma_b &= -9,71 \text{ MPa} \\ -21 \text{ MPa} &< -9,71 \text{ MPa} < 4,73 \text{ MPa} (\text{OK})\end{aligned}$$

Ilustrasi diagram tegangan tertera pada **Gambar 4.46.**



Gambar 4. 46 Diagram Tegangan pada Penampang Tengah Bentang pada Balok Pratekan Akibat Beban Layan

Tumpuan

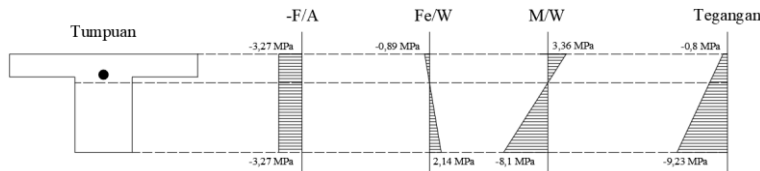
- Serat atas:

$$\begin{aligned}\sigma_t &= -\frac{Fe}{A} - \frac{Fe \times e}{Wt} + \frac{Mt_{tumpuan}}{Wt} \\ \sigma_t &= -\frac{1.143.682}{350.000} - \frac{1.143.682 \times 50}{64.477.592} + \frac{216.413.300}{64.477.592} \\ \sigma_t &= -0,8 \text{ MPa} \\ -21 \text{ MPa} &< -0,8 \text{ MPa} < 4,73 \text{ MPa} (\text{OK})\end{aligned}$$

- Serat bawah:

$$\begin{aligned}\sigma_b &= -\frac{Fe}{A} + \frac{Fe \times e}{Wb} - \frac{Mt_{tumpuan}}{Wb} \\ \sigma_b &= -\frac{1.143.682}{350.000} + \frac{1.143.682 \times 50}{26.721.265} - \frac{216.413.300}{26.721.265} \\ \sigma_b &= -9,23 \text{ MPa} \\ -21 \text{ MPa} &< -9,23 \text{ MPa} < 4,73 \text{ MPa} (\text{OK})\end{aligned}$$

Ilustrasi diagram tegangan tertera pada **Gambar 4.47.**



Gambar 4. 47 Diagram Tegangan Penampang Tumpuan Balok Pratekan Akibat Beban Layan

b. Kontrol terhadap SNI 2847:2019 Pasal 18.6.3.5

Prategang rata-rata, f_{pc} , yang dihitung untuk luas yang sama dengan dimensi penampang komponen struktur terkecil yang dikalikan dengan dimensi penampang tegak lurus tidak boleh melebihi yang lebih kecil dari 3,5 MPa dan $f'_c/10$.

Dimana:

$$\frac{f_c}{10} = \frac{35}{10} = 3,5 \text{ MPa} \text{ dan } 3,5 \text{ MPa, maka diambil nilai } 3,5 \text{ MPa}$$

- Pada balok Pratekan

$$f_{pc} = \frac{Fe}{A} = -\frac{1.143.682}{350.000} = -3,27 \text{ MPa} < -3,5 \text{ MPa (OK)}$$

c. Kontrol terhadap beban gempa

Ketika terjadi gempa dan beban hidup maksimum *output* dari ETABS dengan kombinasi 1D+1L+1E pada balok arah memanjang.

$$\text{Momen tumpuan (-)} = 265,499 \text{ kNm}$$

$$\text{Momen lapangan (+)} = 141,771 \text{ kNm} \\ (\text{tengah bentang})$$

Tengah Bentang

- Serat atas:

$$\sigma_t = -\frac{Fe}{A} + \frac{Fe \times e}{Wt} - \frac{M_{lapangan}}{Wt}$$

$$\sigma_t = -\frac{1.143.682}{350.000} + \frac{1.143.682 \times 274,2}{64.477.592} - \frac{141.770.600}{64.477.592}$$

$$\sigma_t = -0,6 \text{ MPa}$$

$$-21 \text{ MPa} < -0,6 \text{ MPa} < 4,73 \text{ MPa (OK)}$$

- Serat bawah:

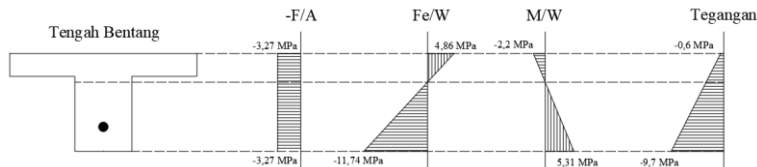
$$\sigma_b = -\frac{Fe}{A} - \frac{Fe \times e}{Wb} + \frac{M_{lapangan}}{Wb}$$

$$\sigma_b = -\frac{1.143.682}{350.000} - \frac{1.143.682 \times 274,2}{26.721.265} + \frac{141.770.600}{26.721.265}$$

$$\sigma_b = -9,7 \text{ MPa}$$

$-21 \text{ MPa} < -9,7 \text{ MPa} < 4,73 \text{ MPa} (\text{OK})$

Ilustrasi diagram tegangan tertera pada **Gambar 4.48.**



Gambar 4. 48 Diagram Tegangan pada Penampang Tengah Bentang Balok Pratekan Akibat Beban 1D+1L+1E

Tumpuan

- Serat atas:

$$\sigma_t = -\frac{Fe}{A} - \frac{Fe \times e}{Wt} + \frac{Mt_{tumpuan}}{Wt}$$

$$\sigma_t = -\frac{1.143.682}{350.000} - \frac{1.143.682 \times 50}{64.477.592} + \frac{265.498.500}{64.477.592}$$

$$\sigma_t = -0,04 \text{ MPa}$$

$-21 \text{ MPa} < -0,04 \text{ MPa} < 4,73 \text{ MPa} (\text{OK})$

- Serat bawah:

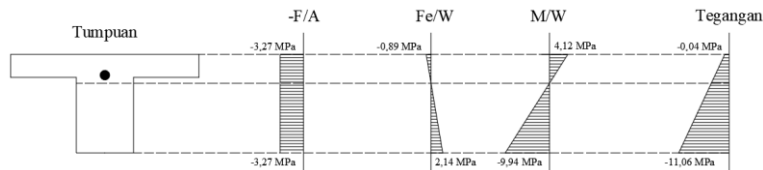
$$\sigma_b = -\frac{Fe}{A} + \frac{Fe \times e}{Wb} - \frac{Mt_{tumpuan}}{Wb}$$

$$\sigma_b = -\frac{1.143.682}{350.000} + \frac{1.143.682 \times 50}{26.721.265} - \frac{265.498.500}{26.721.265}$$

$$\sigma_b = -11,06 \text{ MPa}$$

$-21 \text{ MPa} < -11,06 \text{ MPa} < 4,73 \text{ MPa} (\text{OK})$

Ilustrasi diagram tegangan tertera pada **Gambar 4.49.**



Gambar 4. 49 Diagram Tegangan pada Penampang Tumpuan Balok Pratekan Akibat Beban 1D+1L+1E

Rekapitulasi Kontrol Tegangan tertera pada **Tabel 4.43.**

Tabel 4. 43 Rekapitulasi Kontrol Tegangan Setelah Perhitungan Kehilangan

Kontrol Tegangan Setelah Perhitungan Kehilangan					
Kontrol Beban Layan					
Nama Balok		Teg. Ijin Tekan (MPa)	Teg. Ijin Tarik (MPa)	Serat Atas	Serat Bawah
Balok Pratekan	Tengah Bentang	-21.00	4.73	-0.60	-9.71
	Tumpuan	-21.00	4.73	-0.80	-9.23
Kontrol Beban Gempa (1D + 1L + 1E)					
Nama Balok		Teg. Ijin Tekan (MPa)	Teg. Ijin Tarik (MPa)	Serat Atas	Serat Bawah
Balok Pratekan	Tengah Bentang	-21.00	4.73	-0.60	-9.70
	Tumpuan	-21.00	4.73	-0.04	-11.06

4.4.10. Kontrol Lendutan

Kemampuan layan struktur beton pratekan ditinjau dari perilaku defleksi komponen tersebut. Elemen beton pratekan memiliki dimensi yang lebih langsing dibanding beton bertulang biasa sehingga kontrol lendutan sangat diperlukan untuk memenuhi batas layan yang disyaratkan pada SNI 2847:2019 Tabel 24.2.2.

$$f_{ijin} = \frac{L}{480} = \frac{12000}{480} = 25.00 \text{ mm}$$

a. Lendutan saat Jacking

1. Lendutan akibat tekanan tendon

Tekanan tendon menyebabkan balok tertekuk keatas sehingga lendutan yang terjadi berupa lendutan keatas (*chambre*). Dari hasil output ETABS didapatkan lendutan akibat tendon sebesar

$$\Delta l_{po} = -15,62 \text{ mm } (\uparrow)$$

2. Lendutan akibat berat sendiri

Dalam perhitungan lendutan saat transfer/jacking pada portal merupakan akibat berat sendiri balok pratekan, dan pelat, maka analisa lendutan yang dilakukan ialah sebagai kesatuan portal sehingga nilai lendutan didapat langsung dari hasil ETABS. Dari hasil output ETABS didapatkan lendutan akibat berat sendiri sebesar

$$\Delta l_{ql} = 13,72 \text{ mm } (\downarrow)$$

Sehingga, lendutan total saat *jacking*

$$\Delta l = -15,62 + 13,72 = -1,9 \text{ mm } (\uparrow)$$

Syarat : $f < f_{ijin} = -1,9 \text{ mm} < 27,5 \text{ mm}$ (OK)

b. Lendutan saat Beban Layan

1. Lendutan akibat tekanan tendon

Tekanan tendon menyebabkan balok tertekuk keatas sehingga lendutan yang terjadi berupa lendutan keatas (*chambre*). Dari hasil output ETABS didapatkan lendutan akibat tendon sebesar

$$\Delta l_{po} = -15,62 \text{ mm } (\uparrow)$$

2. Lendutan akibat beban layan

Dalam perhitungan lendutan saat transfer/jacking pada portal merupakan akibat berat sendiri balok pratekan, dan pelat, maka analisa lendutan yang dilakukan ialah sebagai kesatuan portal sehingga nilai lendutan didapat langsung dari hasil ETABS. Dari hasil output ETABS didapatkan lendutan akibat berat sendiri sebesar

$$\Delta l_{ql} = 21,09 \text{ mm } (\downarrow)$$

Sehingga, lendutan total saat *jacking*

$$\Delta l = -17,65 + 21,09 = 3,44 \text{ mm} (\downarrow)$$

Syarat : $f < f_{ijin} = 3,44 \text{ mm} < 27,5 \text{ mm}$ (OK)

4.4.11. Perencanaan Kebutuhan Tulangan Lunak

Menurut SNI 2847:2019 pasal. 18.6.3.5, tendon pratekan tidak diperbolehkan menerima lebih dari seperempat momen positif atau negatif di penampang kritis pada sendi plastis dan harus diangkur pada atau melampaui muka sisi luar *joint*.

1. Momen Nominal Oleh Tendon Pratekan

a. Tumpuan

$$f_c = 35 \text{ MPa}$$

$$A_{ps} = 1140,09 \text{ mm}^2$$

$$d = yb + e_{tumpuan}$$

$$= 424,2 + 50$$

$$= 474,2 \text{ mm}$$

$$b = 350 \text{ mm}$$

$$\beta_1 = 0,85 - \frac{(f'_c - 28)}{7} \times 0,05$$

$$= 0,85 - \frac{(35 - 28)}{7} \times 0,05$$

$$= 0,8$$

$$\gamma_p = 0,4$$

$$f_{pu} = 1860 \text{ MPa}$$

$$f_{ps} = f_{pu} \left\{ 1 - \frac{\gamma_p}{\beta_1} \left[\rho_p \frac{f_{pu}}{f'_c} + \frac{d}{d_p} (\omega - \omega') \right] \right\}$$

Untuk sebaran tulangan tekan yang dihitung, maka :

$$\left[\rho_p \frac{f_{pu}}{f'_c} + \frac{d}{d_p} (\omega - \omega') \right] \text{ dapat diambil tidak kurang dari}$$

$$0,17. \text{ Diambil } \left[\rho_p \frac{f_{pu}}{f'_c} + \frac{d}{d_p} (\omega - \omega') \right] = 0,17$$

$$F_{ps} = 1860 \left\{ 1 - \frac{0,4}{0,8} 0,17 \right\}$$

$$= 1701,9 \text{ MPa}$$

$$T = A_{ps} \times f_{ps}$$

$$= 1140,09 \times 1701,9$$

$$\begin{aligned}
 &= 1.940.322 \text{ N} \\
 \mathbf{a} &= \frac{\mathbf{A}_{ps} \cdot f_{ps}}{0,85 f'_c b} \\
 &= \frac{1.940.322}{0,85.35.350} \\
 &= 186,35 \text{ mm} \\
 \mathbf{M}_n &= T \cdot \left(d - \frac{a}{2} \right) \\
 &= 1.940.322 \left(4774,2 - \frac{2186,35}{2} \right) \times 10^{-6} \\
 &= 739,32 \text{ kN.m} \\
 25\% \varnothing M_n &= 25\% \times 0,9 \times 739,32 \text{ kN.m} \\
 &= 166,35 \text{ kN.m} \\
 \mathbf{M}_u &= \text{akibat gempa maks} = 265,5 \text{ kNm}
 \end{aligned}$$

Sehingga momen yang harus ditanggung tulangan lunak $M_u - 25\% \varnothing M_n = 265,5 - 166,35 = 99,15 \text{ kNm}$. Jadi momen yang digunakan untuk perhitungan tulangan lunak adalah 99,15 kNm

b. Lapangan

$$\begin{aligned}
 f'_c &= 35 \text{ MPa} \\
 A_{ps} &= 1140,09 \text{ mm}^2 \\
 d &= h - d' \\
 &= 600 - 150 \\
 &= 450 \\
 b_{eff} &= 1350 \text{ mm} \\
 \beta_1 &= 0,85 - \frac{(f'_c - 28)}{7} \times 0,05 \\
 &= 0,8 \\
 Y_p &= 0,4 \\
 f_{pu} &= 1860 \text{ MPa} \\
 f_{ps} &= f_{pu} \left\{ 1 - \frac{Y_p}{\beta_1} \left[\rho_p \frac{f_{pu}}{f'_c} + \frac{d}{d_p} (\omega - \omega') \right] \right\}
 \end{aligned}$$

Untuk sebarang tulangan tekan yang dihitung, maka :

$$\left[\rho_p \frac{f_{pu}}{f'_c} + \frac{d}{d_p} (\omega - \omega') \right] \text{ dapat diambil tidak kurang dari } 0,17. \text{ Diambil } \left[\rho_p \frac{f_{pu}}{f'_c} + \frac{d}{d_p} (\omega - \omega') \right] = 0,17$$

$$\begin{aligned}
 Fps &= 1860 \left\{ 1 - \frac{0,4}{0,8} 0,17 \right\} \\
 &= 1701,9 \text{ MPa} \\
 T &= Aps \times fps \\
 &= 1140,09 \times 1701,9 \\
 &= 1.940.322 \text{ N} \\
 a &= \frac{Aps \cdot fps}{0,85 f_c b} \\
 &= \frac{1.940.322}{0,85 \cdot 35 \cdot 1350} \\
 &= 48,31 \text{ mm} \\
 M_n &= T \left(d - \frac{a}{2} \right) \\
 &= 1.940.322 \left(450 - \frac{48,31}{2} \right) \times 10^{-6} \\
 &= 826,27 \text{ kN.m}
 \end{aligned}$$

2. Data-data Perencanaan Kebutuhan Tulangan Lunak

- $M_u = 99,15 \text{ kN.m}$
- Mutu beton = 35 Mpa
- Mutu baja = 420 Mpa
- Dimensi balok = 35/60 cm
- Panjang balok = 12 m
- Diameter tulangan longitudinal (D) = 22 mm
- Diameter tulangan sengkang (D) = 10 mm
- Selimut beton = 40 mm
- $d = 600 - 40 - 10 - 22/2 = 539 \text{ mm}$

a. Penulangan Lentur

Rasio tulangan sesuai dengan data mutu bahan yang telah ditentukan sebagai berikut:

$$\rho_{min} = 1,4 / f_y = 1,4 / 420 = 0,0033$$

$$\rho_{min} = \frac{\sqrt{f_c}}{4 \times f_y} = \frac{\sqrt{35}}{4 \times 420} = 0,00352 \text{ (menentukan)}$$

Karena mutu beton berada di atas 28 MPa, maka nilai β_1 , kita gunakan perumusan sesuai dengan (SNI 2847:2019 Pasal 22.2.2.4.3)

$$\begin{aligned}\beta_1 &= 0,85 - \left(\frac{(f_c-28)}{7} \times 0,05 \right) \\ \beta_1 &= 0,8 \\ \rho_{\max} &= 0,025 \text{ (SNI 2847:2019 Pasal 18.6.3.1)} \\ m &= \frac{f_y}{0,85 f_c'} = \frac{420}{0,85 \times 35} = 14,12\end{aligned}$$

Penulangan Lentur pada Daerah Tumpuan

$$\begin{aligned}R_n &= \frac{Mu}{\phi bd^2} = \frac{99,15 \times 10^6}{0,9 \times 350 \times 539^2} = 1,083 \text{ N/mm}^2 \\ \rho_{\text{perlu}} &= \frac{1}{m} \left(1 - \sqrt{1 - \frac{2xmxR_n}{f_y}} \right) \\ &= \frac{1}{14,12} \left(1 - \sqrt{1 - \frac{2 \times 14,12 \times 1,083}{420}} \right) \\ &= 0,0026 < \rho_{\min}\end{aligned}$$

Maka dipakai $\rho_{\min} = 0,00352$

- 1) Menentukan jumlah tulangan tumpuan atas:

$$\begin{aligned}\text{As perlu} &= \rho \cdot b \cdot d \\ &= 0,00352 \times 350 \times 539 = 664,33 \text{ mm}^2\end{aligned}$$

$$\text{As D22} = 380,13 \text{ mm}^2$$

$$n = \frac{\text{As perlu}}{\text{As D22}} = 1,75 \approx \mathbf{2 \text{ buah}}$$

- 2) Menentukan jumlah tulangan tumpuan bawah:

$$\begin{aligned}\text{As perlu} &= \frac{1}{2} \cdot \rho \cdot b \cdot d \\ &= \frac{1}{2} \times 0,00352 \times 350 \times 539 = 332,16 \text{ mm}^2\end{aligned}$$

$$n = \frac{\text{As perlu}}{\text{As D22}} = 0,87 \approx \mathbf{2 \text{ buah}}$$

Penulangan Lentur pada Daerah Lapangan

Dikarenakan seluruh gaya gempa pada daerah lapangan dipikul oleh tendon, maka pemasangan tulangan di lapangan memakai tulangan minimum.

$$\rho_{\min} = 0,00352$$

3) Menentukan jumlah tulangan lapangan bawah:

$$\text{As perlu} = \rho \cdot b \cdot d \\ = 0,00352 \times 350 \times 539 = 664,33 \text{ mm}^2$$

$$\text{As D22} = 380,13 \text{ mm}^2$$

$$n = \frac{\text{As perlu}}{\text{As D22}} = \frac{664,33}{380,13} = 1,75 \approx 2 \text{ buah}$$

4) Menentukan jumlah tulangan lapangan atas:

$$\text{As perlu} = \frac{1}{2} \cdot \rho \cdot b \cdot d \\ = \frac{1}{2} \times 0,00352 \times 350 \times 539 = 664,33 \text{ mm}^2 \\ n = \frac{\text{As perlu}}{\text{As D22}} = \frac{664,33}{380,13} = 1,75 \approx 2 \text{ buah}$$

b. Penulangan Geser

Perhitungan penulangan geser berdasarkan SNI 2847:2019 Pasal 22.5.8.2. Gaya geser rencana didapat dengan menggunakan program bantu ETABS, yaitu sebagai berikut:

$$V_u = 160,71 \text{ kN} = 160.709 \text{ N}$$

$$M_u = 301,3 \text{ kNm}$$

$$V_c = (0,05\lambda\sqrt{F_c} + 4,8 \frac{V_u \cdot d_p}{M_u}) \cdot b \cdot w \cdot d$$

$$b = 350 \text{ mm}$$

$$h = 600 \text{ mm}$$

$$d_p = y_b + e = 424,2 + 50 = 474,2 \text{ mm}$$

$$\lambda = 1$$

$$d = 539 \text{ mm}$$

$$V_c = (0,05 \cdot 1 \cdot \sqrt{35} + 4,8 \frac{160,71 \times 539}{301,3 \times 1000}) \cdot 350 \times 539 \\ = 284,84 \text{ kN} = 284.839 \text{ N}$$

$$V_{c \min} = 0,17 \cdot \lambda \sqrt{F_c} \cdot b \cdot w \cdot d \\ = 0,17 \times 1 \times \sqrt{35} \times 350 \times 539 \\ = 189,73 \text{ kN} = 189.732 \text{ N}$$

$$V_{c \max} = 0,42 \cdot \lambda \sqrt{F_c} \cdot b \cdot w \cdot d \\ = 0,42 \times 1 \times \sqrt{35} \times 350 \times 539 \\ = 468,75 \text{ kN} = 468.749 \text{ N}$$

V_c pakai = 284.839 N ($V_c < V_{cmax}$)

Berikut persyaratan pemasangan tulangan geser

1. $V_u \leq 0,5\emptyset V_c$

$$160.709 \leq 0,5 \times 0,75 \times 284.839$$

$160.709 \leq 106.815$ (NOT OK)

sehingga butuh tulangan geser

2. $0,5\emptyset V_c \leq V_u \leq \emptyset V_c$

$$0,5 \times 0,75 \times 284.839 \leq 160.709 \leq 0,75 \times 284.839$$

$$106.709 \text{ N} \leq 160.709 \text{ N} \leq 213.629 \text{ N} \text{ (OK)}$$

Sehingga butuh tulangan geser minimum

Kebutuhan luas minimum tulangan geser, A_{Vmin} , diambil terbesar dari:

$$A_{Vmin1} = 0,062 \sqrt{fc} \frac{bw}{fyt} \text{ (SNI 2847:2019 pasal 9.6.3.3)} \\ = 308,13 \text{ mm}^2$$

$$A_{Vmin2} = 0,35 \frac{bw}{fyt} \text{ (SNI 2847:2019 pasal 9.6.3.3)} \\ = 291,67 \text{ mm}^2$$

$$A_{Vpaku} = 308,13 \text{ mm}^2$$

Dipakai 2D10 ($A_v = 157,08 \text{ mm}^2$)

$$S_{\text{rencana}} = \frac{1000}{A_{Vpaku}/A_{vtul}} = 509,8 \text{ mm} \approx 500 \text{ mm}$$

Pada daerah di luar sendi plastis, jarak maksimum sengkang yang diperbolehkan adalah $d/2 = 269,5 \text{ mm}$ (SNI 2847:2019 Pasal 18.6.4.6)

$s_{\text{paku}} = 250 \text{ mm.} < 269,5 \text{ mm}$

Pada daerah sendi plastis, jarak maksimum antar sengkang tertutup tidak boleh melebihi SNI 2847:2019 Pasal 18.6.4.4:

$$1. \frac{d}{4} = 539/4 = 134,75 \text{ mm}$$

$$2. 6 \times \text{Dutama} = 6 \times 22 = 132 \text{ mm}$$

$$3. 150 \text{ mm} = 150 \text{ mm}$$

Dari jarak yang sudah dihitung, diambil jarak sengkang yang paling kecil, yaitu = 125 mm. Sengkang

dipasang sepanjang $2h = 2 \times 600 = 1200$ mm dari muka kolom. Sengkang pertama dipasang 50 mm dari muka kolom di kedua ujung balok.

Rekapitulasi penulangan lentur dan sengkang balok prategang tertera pada **Tabel 4.44**.

Tabel 4. 44 Rekapitulasi Penulangan Lentur dan Sengkang Balok Prategang

Nama Balok	Daerah	Lentur		Sengkang	
		Tul. Atas	Tul. Bawah	Daerah Sendi Plastis (<2h)	Di Luar Sendi Plastis (>2h)
Balok Pratekan	Tumpuan	2D22	2D22	2D10-125	2D10-250
	Lapangan	2D22	2D22		

c. Penulangan Torsi

Perencanaan torsi didasarkan dari SNI 2847:2019 Pasal 22.7.1.1. yaitu pengaruh puntir dapat diabaikan jika momen puntir terfaktor Tu memenuhi syarat sebagai berikut:

$$Tu < \phi \cdot 0,083\lambda\sqrt{fc} \left(\frac{Acp^2}{Pcp} \right) \sqrt{1 + \frac{fpc}{0,33\lambda\sqrt{fc}}}$$

Acp = Luas penampang keseluruhan

Pcp = Keliling penampang keseluruhan

$\lambda = 1$

$\phi = 0,75$ (faktor reduksi beban torsi)

Fpc = 3,27 Mpa

Kontrol kebutuhan torsi:

$$Acp = b \times h = 350 \times 600 = 210.000 \text{ mm}^2$$

$$Pcp = 2(b+h) = 2 \times (350 + 600) = 1900 \text{ mm}$$

$$Tu = 11,77 \text{ kN.m} = 11.765.500 \text{ N.mm}$$

$$Tu < 0,75 \times 0,083 \times 1 \times \sqrt{35} \left(\frac{210.000^2}{1900} \right) \sqrt{1 + \frac{3,27}{0,331 \cdot \sqrt{35}}}$$

$$11.765.500 < 13.977.140 \text{ N.mm (OK)}$$

Persyaratan diatas terpenuhi, maka balok prategang **tidak memerlukan tulangan torsi.**

4.4.12. Kontrol Momen Nominal Setelah Adanya Tulangan

Kontrol momen nominal dilakukan untuk mengecek secara keseluruhan apakah tendon baja pratekan yang telah dipasang dengan tulangan lunak baja telah memenuhi kontrol momen. Kontrol penampang dilakukan agar mengetahui kekuatan batas penampang rencana apakah telah mampu menahan momen *ultimate* yang terjadi, baik dari beban hidup dan mati maupun setelah menerima gempa. Dalam perhitungan ini, konsep keseimbangan gaya tekan dan tarik pada beton menjadi dasar perhitungan kontrol momen nominal :

$$C' = T$$

a. Momen Nominal oleh Tendon Pratekan

Tumpuan

$$f_c = 35 \text{ MPa}$$

$$A_{ps} = 1140,1 \text{ mm}^2$$

$$d = yb + e_{tumpuan}$$

$$= 424,2 + 50$$

$$= 474,2 \text{ mm}$$

$$b = 350 \text{ mm}$$

$$\beta_1 = 0,85 - \frac{(f'_c - 28)}{7} \times 0,05$$

$$= 0,85 - \frac{(35 - 28)}{7} \times 0,05$$

$$= 0,8$$

$$\gamma_p = 0,4$$

$$f_{pu} = 1860 \text{ MPa}$$

$$f_{ps} = f_{pu} \left\{ 1 - \frac{\gamma_p}{\beta_1} \left[\rho_p \frac{f_{pu}}{f'_c} + \frac{d}{d_p} (\omega - \omega') \right] \right\}$$

Untuk sebaran tulangan tekan yang dihitung, maka :

$$\left[\rho_p \frac{f_{pu}}{f'_c} + \frac{d}{d_p} (\omega - \omega') \right] \text{dapat diambil tidak kurang dari } 0,17.$$

Diambil $\left[\rho_p \frac{f_{pu}}{f'_c} + \frac{d}{d_p} (\omega - \omega') \right] = 0,17$

Fps $= 1860 \left\{ 1 - \frac{0,4}{0,8} 0,17 \right\}$
 $= 1701,9 \text{ MPa}$

T $= \text{Aps} \times \text{fps}$
 $= 1140,1 \times 1701,9$
 $= 1.940.322,28 \text{ N}$

a $= \frac{\text{Aps} \cdot \text{fps}}{0,85 f'_c b}$
 $= \frac{1.940.322,28}{0,85 \cdot 35 \cdot 350}$
 $= 186,35 \text{ mm}$

Mn $= T \cdot \left(d - \frac{a}{2} \right)$
 $= 1.940.322,28 (474,2 - \frac{186,35}{2}) \times 10^{-6}$
 $= 739,32 \text{ kN.m}$

25% ØM_n $= 25\% \times 0,9 \times 739,32 \text{ kN.m}$
 $= 166,35 \text{ kN.m}$

Lapangan

f' _c	= 35 Mpa
A _{ps}	= 1140,1 mm ²
d	= 450 mm
b _{eff}	= 1350 mm
β ₁	= $0,85 - \frac{(f'c - 28)}{7} \times 0,05$ $= 0,8$
Y _p	= 0,4
f _{pu}	= 1860 MPa
fps	= $f_{pu} \left\{ 1 - \frac{Y_p}{\beta_1} \left[\rho_p \frac{f_{pu}}{f'_c} + \frac{d}{d_p} (\omega - \omega') \right] \right\}$

Untuk sebaran tulangan tekan yang dihitung, maka :

$$\left[\rho_p \frac{f_{pu}}{f'_c} + \frac{d}{d_p} (\omega - \omega') \right] \text{dapat diambil tidak kurang dari } 0,17.$$

Diambil $\left[\rho_p \frac{f_{pu}}{f'_c} + \frac{d}{d_p} (\omega - \omega') \right] = 0,17$

Fps $= 1860 \left\{ 1 - \frac{0,4}{0,8} 0,17 \right\}$
 $= 1701,9 \text{ MPa}$

T $= A_{ps} \times f_{ps}$
 $= 1140,1 \times 1701,9$
 $= 1.940.322,28 \text{ N}$

a $= \frac{A_{ps} \cdot f_{ps}}{0,85 f'_c b}$
 $= \frac{1.940.322,28}{0,85 \cdot 35 \cdot 1350}$
 $= 48,32 \text{ mm}$

Mn $= T \cdot \left(d - \frac{a}{2} \right)$
 $= 1.940.322,28 (450 - \frac{48,32}{2}) \times 10^{-6}$
 $= 826,27 \text{ kN.m}$

b. Momen Nominal oleh Tulangan Lunak pada Tumpuan

Dipakai tulangan lentur 2D 22

As $= 760,27 \text{ mm}^2$

f_y $= 420 \text{ Mpa}$

f'_c $= 35 \text{ Mpa}$

d $= 539 \text{ mm}$

a $= \frac{As \times f_y}{0,85 \times f'_{cx} b} = \frac{760,27 \times 420}{0,85 \times 35 \times 350} = 30,67 \text{ mm}$

Mn $= T \cdot \left(d - \frac{a}{2} \right)$
 $= 760,27 \times 420 \times \left(539 - \frac{30,67}{2} \right)$
 $= 167,21 \text{ kNm}$

M_n total $= \text{Mn tump (tendon)} + \text{Mn tump (lentur)}$
 $= 739,32 + 167,21$
 $= 906,53 \text{ kNm}$

M_{u envelope} = 301,3 kNm

$\phi M_n \geq M_u \text{ max tumpuan, dimana nilai } \phi = 0,9$

$$0,9 \times 885,84 \geq 301,3 \text{ kNm}$$

$$815,88 \text{ kNm} \geq 301,3 \text{ kNm (OK)}$$

Kontrol terhadap gempa (Kombinasi Gempa)

$$M_n \text{ total} = 25\% \times 739,32 + 167,21$$

$$= 352,04 \text{ kNm}$$

$$Mu \text{ gempa} = 256,5 \text{ kNm}$$

$$\phi M_n \geq M_u \text{ max gempa}, \text{ dimana nilai } \phi = 0,9$$

$$0,9 \times 352,04 \text{ kNm} \geq 256,5 \text{ kNm}$$

$$316,84 \text{ kNm} \geq 256,5 \text{ kNm (OK)}$$

c. Momen Nominal oleh Tulangan Lunak pada Lapangan

Dipakai tulangan lentur 2D 22

$$As = 760,27 \text{ mm}^2$$

$$f_y = 420 \text{ Mpa}$$

$$f'_c = 35 \text{ Mpa}$$

$$d = 539 \text{ mm}$$

$$a = \frac{As \times f_y}{0,85 \times f'_c \times b} = \frac{760,27 \times 420}{0,85 \times 35 \times 350} = 30,67 \text{ mm}$$

$$M_n = T \cdot \left(d - \frac{a}{2} \right)$$

$$= 760,27 \times 420 \times \left(539 - \frac{30,67}{2} \right)$$

$$= 167,21 \text{ kNm}$$

$$M_n \text{ total} = M_n \text{ lapangan (tendon)} + M_n \text{ lapangan (lentur)}$$

$$= 826,27 + 167,21$$

$$= 993,48 \text{ kNm}$$

$$Mu \text{ envelope} = 179,71 \text{ kNm}$$

$$\phi M_n \geq M_u \text{ max lapangan}, \text{ dimana nilai } \phi = 0,9$$

$$0,9 \times 993,48 \geq 179,71 \text{ kNm}$$

$$894,13 \text{ kNm} \geq 179,71 \text{ kNm (OK)}$$

4.4.13. Kontrol Momen Retak

Perhitungan kuat *ultimate* dari beton pratekan harus memenuhi persyaratan SNI 2847:2019 pasal 9.6.2.1 mengenai jumlah total baja tulangan non pratekan dan pratekan harus cukup untuk menghasilkan beban terfaktor paling sedikit 1,2 beban

retak yang terjadi berdasarkan nilai modulus retak sebesar 0,62 $\sqrt{f_c}$ sehingga didapatkan $\phi M_n > 1.2 M_{cr}$, dengan nilai $\phi = 0.9$.

a. Tumpuan

$$\begin{aligned}
 F &= 1143,68 \text{ kN} \\
 K_b &= 184 \text{ mm} \\
 e &= 50 \text{ mm} \\
 W_T &= 64.477.591,96 \text{ mm}^3 \\
 f_r &= 0,62 \sqrt{f_c} = 0,62 \sqrt{35} \\
 &= 3,67 \text{ MPa} \\
 M_1 &= F(e+K_b) \\
 &= 1143,68 \times 10^3 (50 + 184) \\
 &= 267.875.024,35 \text{ Nmm} \\
 M_2 &= f_r \times W_T \\
 &= 3,67 \times 64.477.591,96 \\
 &= 236.501.838,52 \text{ Nmm} \\
 M_{cr} &= M_1 + M_2 \\
 &= 504,38 \text{ kNm}
 \end{aligned}$$

Berdasarkan persyaratan kontrol momen retak dapat dihitung sebagai berikut:

$$\begin{aligned}
 \phi M_n &> 1.2 M_{cr} \\
 815,88 &> 1,2 \times 504,38 \\
 815,88 \text{ kNm} &> 605,256 \text{ kNm} \text{ (OK)}
 \end{aligned}$$

b. Lapangan

$$\begin{aligned}
 F &= 1143,68 \text{ kN} \\
 K_t &= 76,35 \text{ mm} \\
 e &= 274,2 \text{ mm} \\
 W_B &= 26.721.265,13 \text{ mm}^3 \\
 f_r &= 0,62 \sqrt{f_c} = 0,62 \sqrt{35} \\
 &= 3,67 \text{ MPa} \\
 M_1 &= F(e+K_t) \\
 &= 1143,68 \times 10^3 (274,2 + 76,35) \\
 &= 400.913.528,28 \text{ Nmm} \\
 M_2 &= f_r \times W_B \\
 &= 3,67 \times 26.721.265,13
 \end{aligned}$$

$$\begin{aligned}
 &= 98.012.784,56 \text{ Nmm} \\
 \text{Mcr} &= M_1 + M_2 \\
 &= 498,93 \text{ kNm}
 \end{aligned}$$

Berdasarkan persyaratan kontrol momen retak dapat dihitung sebagai berikut:

$$\begin{aligned}
 \phi M_n &> 1,2 M_{cr} \\
 894,14 &> 1,2 \times 498,93 \\
 894,14 \text{ kNm} &> 597,756 \text{ kNm (OK)}
 \end{aligned}$$

4.4.14. Daerah Limit Tendon

Daerah limit kabel adalah daerah batas dimana tendon dapat diletakkan. Tegangan tarik pada serat beton terjauh akibat beban layan tidak boleh melebihi nilai maksimum yang diijinkan persyaratan yang ada. Oleh karena itu diperlukan daerah batas pada penampang beton dimana pada daerah tersebut gaya prategang dapat diterapkan pada penampang tanpa menyebabkan terjadinya tegangan tarik pada penampang beton. Pada perencanaan ini, balok prategang dibuat menyilang sehingga perlu adanya kontrol agar semua tendon baik dari arah memanjang dan melintang masuk ke dalam daerah limit kabel. Tegangan tarik diperbolehkan sebesar tegangan ijin beton prategang sehingga terdapat perluasan daerah limit kabel dengan menaikkan atau menurunkan daerah limit sesuai dengan rumus di bawah ini:

$$\begin{aligned}
 \text{et} &= \frac{f b' \times A \times kt}{F} \\
 \text{eb} &= \frac{f t' \times A \times kb}{F_o}
 \end{aligned}$$

et = batas atas yang memperbolehkan terjadinya tarik

eb = batas bawah yang memperbolehkan terjadinya tarik

ft' = tegangan tarik ijin pada serat atas saat transfer

fb' = tegangan tarik ijin pada serat bawah akibat beban kerja

F = gaya prategang efektif

F_o = gaya prategang awal

kt = kern atas

kb = kern bawah

Berikut merupakan contoh perhitungan daerah limit kabel.

- Limit atas kabel dipengaruhi oleh momen maksimum yang terdiri dari beban mati dan beban hidup dan gaya prategang efektif (F_e).

Momen pada koordinat $x = 6$ m pada balok pratekan

$$a_1 \text{ (atas)} = \frac{M_{\max}}{F} = \frac{141,44 \times 10^6}{1143,68} = 123,67 \text{ mm}$$

$$k_t = \frac{W_b}{A} = \frac{26.721.265,13}{350000} = 76,35 \text{ mm}$$

$$f_{b'} = 4,73 \text{ MPa}$$

$$e_t = \frac{f_{b'} \times A \times k_t}{F} = 110,52 \text{ mm}$$

- Limit bawah kabel dipengaruhi oleh momen minimum yang terdiri dari beban mati dan gaya prategang (F_o).

Momen pada koordinat $x = 6$ m pada balok pratekan

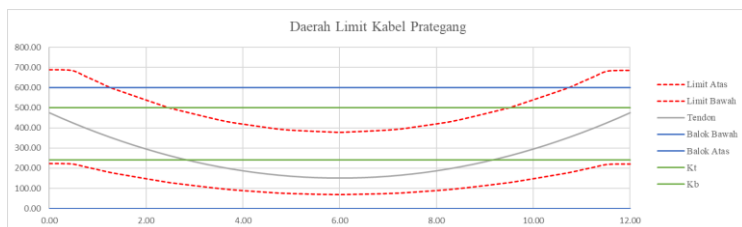
$$a_2 \text{ (bawah)} = \frac{M_{\min}}{F_o} = \frac{91,58 \times 10^6}{1500} = 61,05 \text{ mm}$$

$$k_b = \frac{W_t}{A} = \frac{64.477.591,96}{350000} = 184,22 \text{ mm}$$

$$f_{t'} = 4,73 \text{ MPa}$$

$$e_b = \frac{f_{t'} \times A \times k_b}{F_o} = 203,32 \text{ mm}$$

Daerah limit tendon diilustrasikan pada **Gambar 4.50**.



Gambar 4. 50 Daerah Limit Balok Pratekan

4.4.15. Pengangkuran Ujung

Balok pratekan pasca tarik, kegagalan bisa disebabkan oleh hancurnya bantalan beton pada daerah tepat dibelakang angkur tendon akibat tekanan yang sangat besar. Kegagalan ini

diperhitungkan pada kondisi ekstrim saat transfer, yaitu saat gaya pratekan maksimum dan kekuatan beton minimum. Kuat tekan nominal beton pada daerah pengangkuran global diisyaratkan oleh SNI 2847:2019 Pasal 25.9.4.5.2. Bila diperlukan, pada daerah pengangkuran dapat dipasang tulangan untuk memikul gaya pencar, pengelupasan dan gaya tarik tepi longitudinal yang timbul akibat pengangkuran tendon sesuai pasal 25.9.4.4.2

Dalam studi ini digunakan angkur hidup. Hal ini dikarenakan metode pemberian gaya pratekan dengan sistem pasca tarik. Penulangan pengekangan di seluruh pengangkuran harus sedemikian rupa hingga mencegah pembelahan dan *bursting* yang merupakan hasil dari gaya tekan terpusat besar yang disalurkan melalui alat angkur. Metode perhitungan perencanaan daerah pengangkuran global sesuai dengan SNI 2847:2019 pasal 25.9.4.3.

$$P_u = 1,2 \times P$$

$$P = 1500 \text{ kN} = 1.500.000 \text{ N}$$

$$P_u = 1,2 \times 1.500.000 = 1.800.000 \text{ N}$$

$$T_{\text{pencar}} = 0,25 \times P_u \left(1 - \frac{a}{h}\right)$$

$$d_{\text{pencar}} = 0,5(h - 2e)$$

dimana:

P_u = Jumlah gaya tendon terfaktor total untuk pengaturan penarikan tendon yang ditinjau

a = Tinggi angkur atau kelompok angkur yang berdekatan pada arah yang ditinjau

e = Eksentrisitas angkur atau kelompok angkur yang berdekatan terhadap sumbu berat penampang

h = Tinggi enampang pada arah yang ditinjau

Diperoleh:

a = 215 mm (angkur strand 5-12, VSL tabel)

e = 50 mm

h = 600 mm

Maka:

$$T_{\text{pencar}} = 0,25 \times 1.800.000 \left(1 - \frac{215}{600}\right) = 288.750 \text{ N}$$

$$d_{\text{pencar}} = 0,5 (600 - 2 \times 50) = 250 \text{ mm}$$

$$A_{\text{vp}} = \frac{T_{\text{pencar}}}{f_y} = \frac{288.750}{420} = 687,5 \text{ mm}^2$$

Digunakan tulangan 2D16 ($A_v = 402 \text{ mm}^2$), maka kebutuhan tulangan ialah sebanyak

$$n = \frac{687,5}{402} = 1,71 \approx 2 \text{ buah}$$

Spasi antar sengkang dihitung dengan cara sebagai berikut

$$S = \frac{d_{\text{pencar}}}{n} = \frac{250}{2} = 125 \text{ mm}$$

Sehingga spasi yang dipakai = 100 mm

4.4.16. Metode Pelaksanaan

Balok pratekan dengan sistem hubungan balok-kolom monolit dan menggunakan metode *post-tension*. Urutan pelaksanaannya adalah sebagai berikut:

- 1) Beton prategang dikerjakan setelah struktur utama non prategang dibawahnya selesai. Karena kolom merupakan struktur vertikal yang merupakan struktur utama dari sebuah gedung, maka pekerjaan balok prategang dikerjakan setelah kolom berdiri.
- 2) Bekisting beton pratekan dipasang, lalu dipasang tulangan-tulangan yang terdapat pada balok pratekan. Kemudian pipa selongsong lentur yang dibuat dari *plastic* atau *metal* dipasang yang berfungsi untuk menyelubungi tendon. Pipa tersebut diletakan di dalam bekisting dengan posisi diatur dan ditahan untuk membentuk pola sesuai bidang momennya.
- 3) Kemudian karena pekerjaannya dilakukan dengan metode cor ditempat, maka beton langsung di cor, pengecoran dilakukan bertahap. Karena pelat yang digunakan menggunakan pelat pracetak, maka balok pratekan tidak langsung di cor penuh, melainkan diberi sisa setebal pelat. Setelah beton sedikit mengeras, pelat pracetak diletakan, lalu keseluruhan pelat dan balok pratekan di cor kembali sekaligus pengecoran *overtopping* dari pelat sehingga menjadi monolit dengan pelat. Pengecoran harus tetap

menjaga pipa selongsong tendon tetap kokoh pada posisinya dan tidak kemasukan adukan, kemudian dilakukan perawatan pengerasan beton secukupnya sampai mencapai kekuatan tertentu.

- 4) Setelah itu, tendon dimasukkan ke dalam pipa selongsong yang sudah disiapkan.
- 5) Tendon tersebut kemudian ditarik (*jacking*) di satu ujung dan ujung satunya. Pada saat penarikan tendon ini, sudah terjadi kehilangan gaya-gaya prategangnya. Dengan demikian *jacking* harus sudah mempertimbangkan hal-hal yang menyangkut kehilangan tersebut.
- 6) Kemudian diangkurkan, fungsi angkur untuk menahan tendon agar tidak terjadi *slip* (penggelinciran) dalam rangka upaya agar beban atau tegangan tarikan tetap bertahan pada tendon.
- 7) Kemudian proses *grouting*, proses ini dilakukan dengan menyuntikkan pasta semen setelah tendon ditarik atau sebelum beban hidup bekerja.
- 8) Setelah dilakukan proses pengecoran dan *jacking* pada suatu balok, ditunggu ± 24 jam baru dilanjutkan pengecoran balok pratekan selanjutnya sesuai metode pelaksanaan yang telah ditentukan.

4.5. Perencanaan Struktur Utama Non Prategang

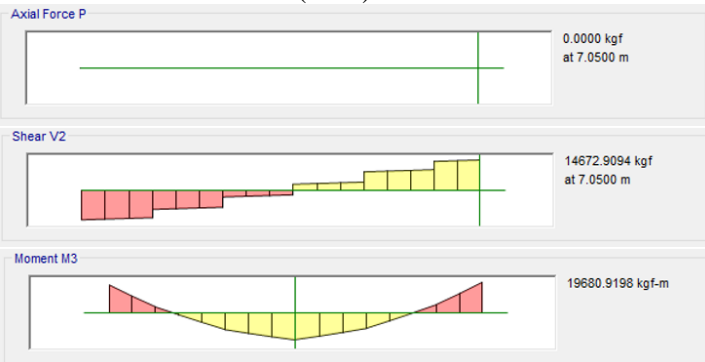
4.5.1. Perencanaan Struktur Balok Induk

Penulangan balok dihitung dalam 2 kondisi yaitu kondisi sebelum komposit dan setelah komposit. Dari kedua kondisi tersebut diambil perhitungan penulangan dengan jumlah kebutuhan terbesar (kritis) yang akan digunakan untuk kebutuhan penulangan balok induk. Perencanaan Gedung Apartemen Arundaya sebagian besar konstruksinya menggunakan beton bertulang biasa, sehingga diperlukan ketelitian antara aplikasi *software* bantu sipil dan perhitungan penulangan secara manual.

4.5.1.1. Gaya-gaya yang Terjadi

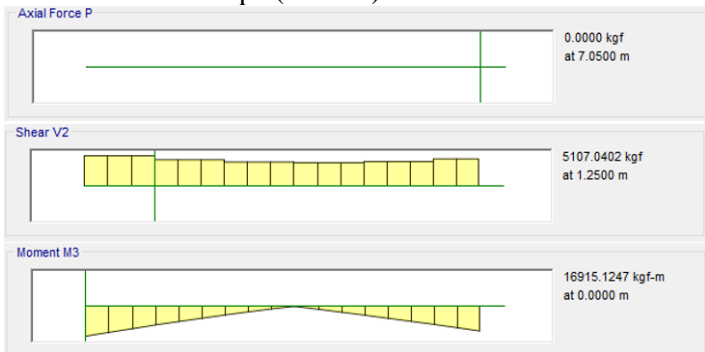
Berikut merupakan gaya-gaya yang terjadi hasil *output* permodelan dari program bantu ETABS. Berikut merupakan gaya-gaya dalam yang terjadi pada Balok Induk BI 1 yang tertera pada **Gambar 4.51, 4.52, 4.53, 4.54, 4.55, dan 4.56**.

- Akibat Beban Gravitasi (D+L)



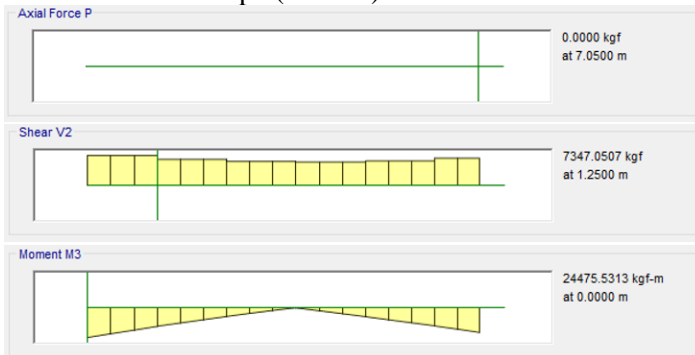
Gambar 4. 51 Gaya-gaya dalam (N, D, M) BI 1 akibat Beban Gravitasi (D+L)

- Akibat Beban Gempa (Arah X)



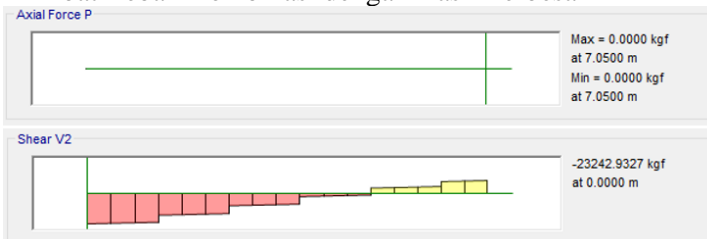
Gambar 4. 52 Gaya-gaya dalam (N, D, M) BI 1 akibat Beban Gempa (Arah X)

- Akibat Beban Gempa (Arah Y)

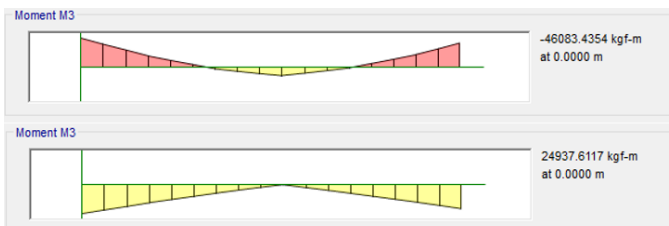


Gambar 4. 53 Gaya-gaya dalam (N, D, M) BI 1 akibat Beban Gempa (Arah Y)

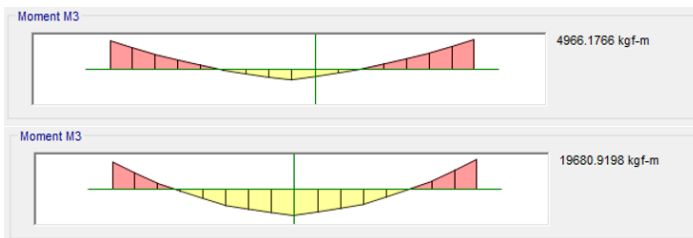
- Akibat Beban Kombinasi dengan Hasil Terbesar



Gambar 4. 54 Gaya-gaya dalam (N, D) BI 1 akibat Beban Kombinasi



Gambar 4. 55 Gaya dalam Momen BI 1 akibat Beban Kombinasi pada Daerah Tumpuan



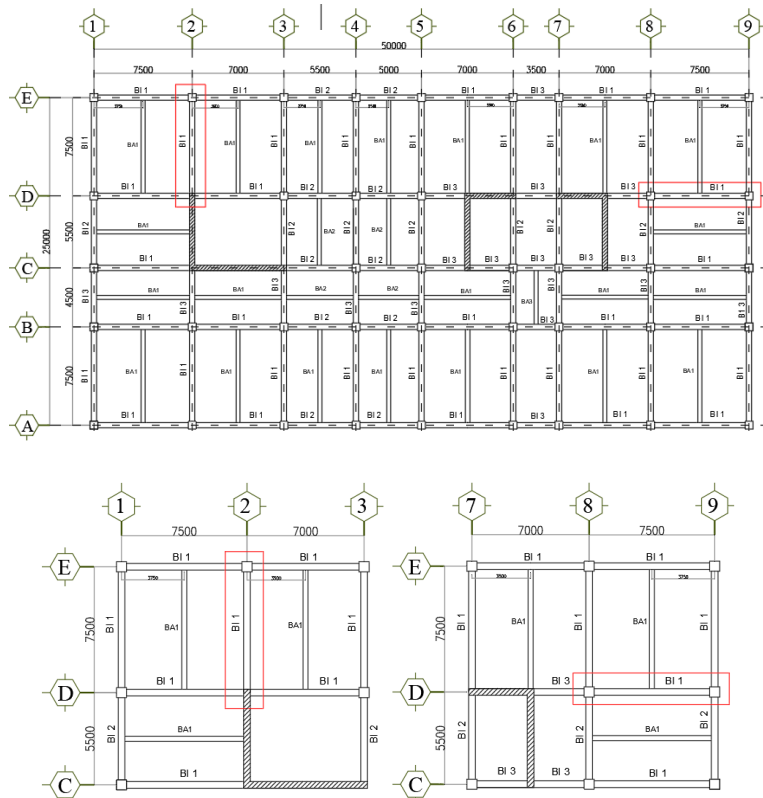
Gambar 4. 56 Gaya dalam Momen BI 1 akibat Beban Kombinasi pada Daerah Lapangan

4.5.1.2. Perhitungan Tulangan Balok Setelah Komposit

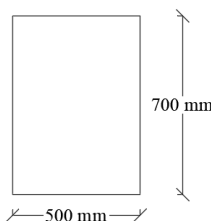
Berikut merupakan data perencanaan Balok Induk BI 1 pada gedung Apartemen Arundaya Surabaya:

- Dimensi Komposit = 50/70 cm
- Dimensi *Half Beam* = 50/56 cm
- *Overtopping* = 14 cm
- Mutu beton (f_c') = 35 MPa
- Mutu baja (f_y) = 420 MPa
- Mutu beton pengangkatan = 28 MPa (7 hari)
- L = 7,5 m
- Tulangan Longitudinal = 25 mm
- Tulangan Transversal = 13 mm
- *Clear Cover* = 50 mm

Balok tinjauan pada perhitungan kali ini diilustrasikan pada **Gambar 4.57.**



Gambar 4. 57 Balok BI 1 (50x70) sebagai tinjauan contoh perhitungan



Gambar 4. 58 Dimensi Balok BI 1

Diambil dua tinjauan karena dua balok tersebut memiliki M_{+} max dan M_{-} max yang didapat dari output permodelan oleh aplikasi ETABS.

Momen dan Gaya geser yang terjadi setelah komposit akibat kombinasi beban yang terbesar (Hasil ETABS):

$$M_{\text{tumpuan} (-)} = 46083,435 \text{ kgm}$$

$$M_{\text{tumpuan} (+)} = 24937,612 \text{ kgm}$$

$$M_{\text{lapangan} (+)} = 19680,92 \text{ kgm}$$

$$M_{\text{lapangan} (-)} = 4966,177 \text{ kgm}$$

$$V_u = 23242,933 \text{ kg}$$

$$d = h - cc - \emptyset - \frac{1}{2} d_b$$

$$d = 700 - 50 - 13 - \frac{1}{2} (25) = 624,5 \text{ mm}$$

$$d' = h - d = 75,5 \text{ mm}$$

$$\rho_{\min 1} = \frac{1,4}{f_y} = \frac{1,4}{420} = 0,0033 \text{ (SNI 2847:2019 Pasal 9.6.1.2)}$$

$$\rho_{\min 2} = \frac{0,25 \times \sqrt{fc'}}{f_y} = \frac{0,25 \times \sqrt{35}}{420} = 0,00352$$

Gunakan ρ_{\min} terbesar:

$$\rho_{\min} \text{ pakai} = 0,00352$$

$$\rho_{\max} = 0,025 \text{ (SNI 2847:2019 Pasal 18.6.3.1)}$$

$$m = \frac{f_y}{0,85 \times f_{c'}} = \frac{420}{0,85 \times 35} = 14,12$$

$$\beta_1 = 0,85 - 0,05 \frac{f_{c'} - 28}{7} = 0,8$$

a. Perhitungan Tulangan Lentur

a. Tulangan Tarik Tumpuan

$$R_n = \frac{Mu}{\phi \times b \times d^2} = \frac{46083,44 \times 10^4}{0,9 \times 500 \times 624,5^2} = 2,63 \text{ N/mm}^2$$

$$\begin{aligned} \rho_{\text{perlu}} &= \frac{1}{m} \left(1 - \sqrt{1 - \frac{2xmxR_n}{f_y}} \right) \\ &= \frac{1}{14,12} \left(1 - \sqrt{1 - \frac{2 \times 14,12 \times 2,63}{420}} \right) \\ &= 0,0066 > \rho_{\min} \end{aligned}$$

Maka dipakai $\rho_{\text{perlu}} = 0,0066$

$$\begin{aligned}
 A_s \text{ perlu} &= \rho_{\text{perlu}} \times b \times d \\
 &= 0,0066 \times 500 \times 624,5 \\
 &= 2046,9 \text{ mm}^2 \\
 n_{\text{pakai}} &= \frac{A_s \text{ perlu}}{A_s \text{ tulangan}} = \frac{2046,9}{490,87} = 4,17 \approx 5 \text{ buah} \\
 A_s \text{ pakai} &= \text{jumlah tulangan} \times A_s D_{25} = 5 \times 490,87 \\
 &= 2454,35 \text{ mm}^2 > A_s \text{ perlu} (\text{OK})
 \end{aligned}$$

∴ Digunakan tulangan tarik tumpuan 5D25

b. Tulangan Tekan Tumpuan

$$\begin{aligned}
 R_n &= \frac{Mu}{\phi \times b \times d^2} = \frac{24937,61 \times 10^4}{0,9 \times 500 \times 624,5^2} = 1,42 \text{ N/mm}^2 \\
 \rho_{\text{perlu}} &= \frac{1}{m} \left(1 - \sqrt{1 - \frac{2xmxRn}{fy}} \right) \\
 &= \frac{1}{14,12} \left(1 - \sqrt{1 - \frac{2 \times 14,12 \times 1,42}{420}} \right) \\
 &= 0,00346 < \rho_{\text{min}}
 \end{aligned}$$

Maka dipakai $\rho_{\text{min}} = 0,00352$

$$\begin{aligned}
 A_s \text{ perlu} &= \rho_{\text{perlu}} \times b \times d \\
 &= 0,00352 \times 500 \times 624,5 \\
 &= 1099,58 \text{ mm}^2 \\
 n_{\text{pakai}} &= \frac{A_s \text{ perlu}}{A_s \text{ tulangan}} = \frac{1099,58}{490,87} = 2,24 \approx 3 \text{ buah} \\
 A_s \text{ pakai} &= \text{jumlah tulangan} \times A_s D_{25} = 3 \times 490,87 \\
 &= 1472,61 \text{ mm}^2 > A_s \text{ perlu} (\text{OK})
 \end{aligned}$$

∴ Digunakan tulangan tekan tumpuan 3D25

c. Tulangan Tarik Lapangan

$$\begin{aligned}
 R_n &= \frac{Mu}{\phi \times b \times d^2} = \frac{19680,92 \times 10^4}{0,9 \times 500 \times 624,5^2} = 1,12 \text{ N/mm}^2 \\
 \rho_{\text{perlu}} &= \frac{1}{m} \left(1 - \sqrt{1 - \frac{2xmxRn}{fy}} \right) \\
 &= \frac{1}{14,12} \left(1 - \sqrt{1 - \frac{2 \times 14,12 \times 1,12}{420}} \right)
 \end{aligned}$$

$$= 0,0027 < \rho_{\min}$$

Maka dipakai $\rho_{\min} = 0,00352$

$$A_s \text{ perlu} = \rho_{\text{perlu}} \times b \times d$$

$$= 0,00352 \times 500 \times 624,5$$

$$= 1099,58 \text{ mm}^2$$

$$n_{\text{pakai}} = \frac{A_s \text{ perlu}}{A_s \text{ tulangan}} = \frac{1099,58}{490,87} = 2,24 \approx 3 \text{ buah}$$

$$A_s \text{ pakai} = \text{jumlah tulangan} \times A_s D_{25} = 3 \times 490,87$$

$$= 1472,61 \text{ mm}^2 > A_s \text{ perlu} (\text{OK})$$

∴ Digunakan tulangan tarik lapangan 3D25

d. Tulangan Tekan Lapangan

M_u eksisting sangat kecil, gunakan:

$$0,25 M_u \text{ tumpuan } (-) = 11520,859 \text{ kgm}$$

$$R_n = \frac{Mu}{\phi \times b \times d^2} = \frac{11520,859 \times 10^4}{0,9 \times 500 \times 624,5^2} = 0,66 \text{ N/mm}^2$$

$$\rho_{\text{perlu}} = \frac{1}{m} \left(1 - \sqrt{1 - \frac{2xmxRn}{f_y}} \right)$$

$$= \frac{1}{14,12} \left(1 - \sqrt{1 - \frac{2 \times 14,12 \times 0,66}{420}} \right)$$

$$= 0,0016 < \rho_{\min}$$

Maka dipakai $\rho_{\min} = 0,00352$

$$A_s \text{ perlu} = \rho_{\text{perlu}} \times b \times d$$

$$= 0,00352 \times 500 \times 624,5$$

$$= 1099,58 \text{ mm}^2$$

$$n_{\text{pakai}} = \frac{A_s \text{ perlu}}{A_s \text{ tulangan}} = \frac{1099,58}{490,87} = 2,24 \approx 3 \text{ buah}$$

$$A_s \text{ pakai} = \text{jumlah tulangan} \times A_s D_{25} = 3 \times 490,87$$

$$= 1472,61 \text{ mm}^2 > A_s \text{ perlu} (\text{OK})$$

∴ Digunakan tulangan tekan lapangan 3D25

e. Kontrol Regangan

$$a = \frac{As f_y}{0,85 \times b \times f_{c'}} = \frac{2454,35 (420)}{0,85 \times 500 \times 35} = 69,3 \text{ mm}$$

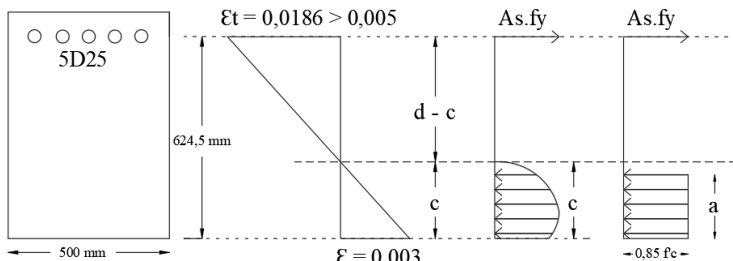
$$c = \frac{a}{\beta_1} = \frac{69,3}{0,8} = 86,62 \text{ mm}$$

$$\varepsilon_t = \frac{d-c}{c} \times 0,003 = \frac{624,5-86,62}{86,62} \times 0,003$$

$$= 0,0186 > 0,005$$

∴ Faktor Reduksi $\Omega = 0,9$ "OK"

Dengan diagram block tegangan dan regangan tertera pada **Gambar 4.59.**



Gambar 4. 59 Diagram block tegangan dan regangan beton pada balok induk sisi tumpuan

f. Kontrol Tulangan Rangkap

$$\rho = \frac{A_s}{bd} = \frac{2454,35}{500 \times 624,5} = 0,00786$$

$$\rho' = \frac{A'_s}{bd} = \frac{1472,61}{500 \times 624,5} = 0,00472$$

$$\rho - \rho' \geq \frac{0,85 \times f_{c'} \times \beta_1 \times d'}{420 \times d} \times \frac{600}{600 - f_y}$$

$$0,00786 - 0,00472 \geq \frac{0,85 \times 35 \times 0,8 \times 75,5}{420 \times 624,5} \times \frac{600}{600 - 420}$$

0,00314 ≤ 0,0228 (Tulangan tekan belum leleh)

$$f_s = 600 \left(\frac{c-d'}{c} \right)$$

$$A_{sfy} = 0,85 f'c ab + A'_s (f'_s - 0,85 f'c)$$

$$\alpha = \frac{A_{sfy} - A'_s (f'_s - 0,85 f'c)}{0,85 f'c b}$$

$$\beta_{1c} = \frac{A_{sfy} - A'_s (f'_s - 0,85 f'c)}{0,85 f'c b}$$

Selesaikan persamaan diatas, diperoleh:

$$c_1 = 83,33 \text{ mm}$$

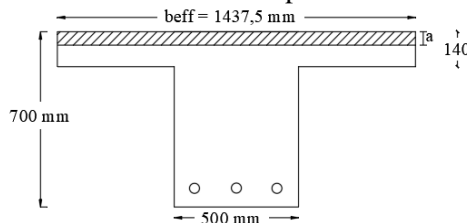
$$\begin{aligned}
 c_2 &= -67,27 \text{ mm} \\
 c_{\text{pakai}} &= 83,33 \text{ mm} \\
 a &= \beta_1 c = 66,66 \text{ mm} \\
 f'_s &= 600 \left(\frac{c-d'}{c} \right) \\
 &= 600 \left(\frac{83,33-75,5}{83,33} \right) \\
 &= 56,38 \text{ MPa} \\
 M_n &= (A_s f_y - A'_s f'_{s'}) (d - \frac{a}{2}) + A'_s f'_{s'} (d - d') \\
 &= (2454,35(420) - 1472,61(56,38)(624,5 - \frac{66,7}{2}) + 1472,61(56,38)(624,5 - 75,5) \\
 &= 60589,6 \text{ kgm} \\
 \phi M_n &= 0,9 (60589,6) = 54530,64 \text{ kgm} \\
 \phi M_n &\geq M_u = 46083,435 \text{ kgm... (OK)}
 \end{aligned}$$

g. Kontrol Balok T

Lebar efektif balok T (SNI 2847:2019 Pasal 6.3.2.1)

$$\begin{aligned}
 b_{e1} &= bw + \frac{l}{8} = 500 + \frac{7500}{8} = 1437,5 \text{ mm} \\
 b_{e2} &= bw + 8tp = 500 + 8(140) = 1620 \text{ mm} \\
 b_{e3} &= bw + \text{total transverse span} \\
 &= 500 + 0,5(3750+3500) = 4125 \text{ mm} \\
 b_e \text{ pakai} &= 1437,5 \text{ mm} \\
 a &= \frac{As f_y}{0,85 \times b_e \times f'_{ct}} = \frac{1472,61 (420)}{0,85 \times 1437,5 \times 35} = 14,46 \text{ mm} \\
 c &= \frac{a}{\beta_1} = \frac{14,46}{0,8} = 18,08 \text{ mm} < tp = 140 \text{ mm ... (OK)}
 \end{aligned}$$

Ilustrasi kontrol Balok T tertera pada **Gambar 4.60.**



Gambar 4. 60 Kontrol Balok T

h. Cek Balok T Palsu

$$\begin{aligned} T &= As \times fy \\ &= 1472,61 \times 420 \\ &= 618496,2 \text{ N} \end{aligned}$$

$$\begin{aligned} C &= 0,85 \times f'_c \times b_e \times t_f \\ &= 0,85 \times 35 \times 1437,5 \times 140 \\ &= 5987187,5 \text{ N} \end{aligned}$$

Karena $C > T$, maka balok dianggap sebagai balok T palsu, berperilaku sebagai balok persegi dengan lebar b_e .

$$\begin{aligned} \phi M_n &= \phi \times As \times fy \times \left(d - \frac{a}{2}\right) \\ &= 0,9 \times 1472,61 \times 420 \times \left(624,5 - \frac{14,46}{2}\right) \\ &= 34360,32 \text{ kgm} \\ \phi M_n &> M_u = 24937,61,92 \text{ kgm} \dots (\text{OK}) \end{aligned}$$

b. Hasil Perhitungan Tulangan Lentur

Berikut merupakan hasil perhitungan tulangan lentur setelah komposit yang tertera pada **Tabel 4.45, 4.46, dan 4.67**. Serta diilustrasikan pada **Gambar 4.61, 4.62, dan 4.63**

Tabel 4. 45 Perhitungan Tul. Lentur Balok setelah Komposit

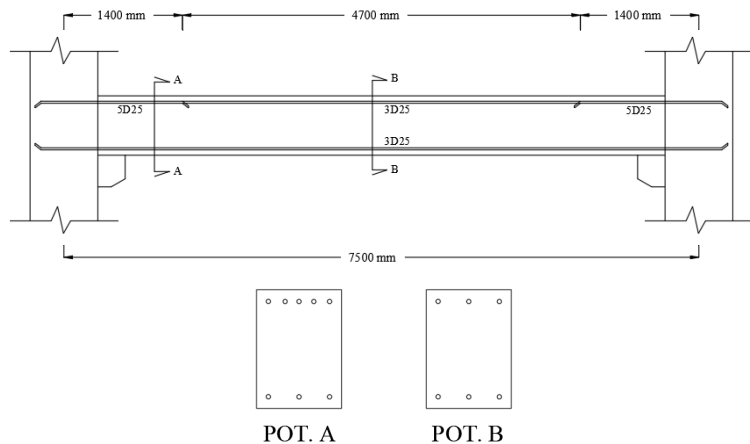
Balok	Dimensi Tulangan		Mutu Tulangan		Dimensi Balok				
	Lentur	Geser	Lentur	Geser	B	H	Cover	d'	d
	(mm)	(mm)	(MPa)	(MPa)	(mm)	(mm)	(mm)	(mm)	(mm)
BI 1	Tumpuan	-	25	13	420	420	500	700	50
	Tumpuan	+	25	13	420	420	500	700	50
	Lapangan	+	25	13	420	420	500	700	50
	Lapangan	-	25	13	420	420	500	700	50
BI 2	Tumpuan	-	25	13	420	420	450	600	50
	Tumpuan	+	25	13	420	420	450	600	50
	Lapangan	+	25	13	420	420	450	600	50
	Lapangan	-	25	13	420	420	450	600	50
BI 3	Tumpuan	-	25	13	420	420	350	600	50
	Tumpuan	+	25	13	420	420	350	600	50
	Lapangan	+	25	13	420	420	350	600	50
	Lapangan	-	25	13	420	420	350	600	50

Tabel 4. 46 Perhitungan Tul. Lentur Balok setelah Komposit
(Lanjutan)

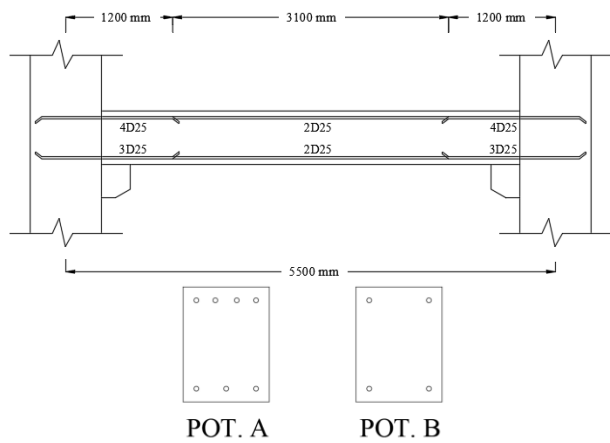
Balok		Mutu Beton		Batas Rasio Tulangan		m	Momen	
		f _c	β ₁	ρ _{min}	ρ _{max}		(kgm)	
		(MPa)						
BI 1	Tumpuan -	35	0.8	0.0035	0.025	14.12	46083.44	
	Tumpuan +	35	0.8	0.0035	0.025	14.12	24937.61	
	Lapangan +	35	0.8	0.0035	0.025	14.12	19680.92	
	Lapangan -	35	0.8	0.0035	0.025	14.12	1596.55	
BI 2	Tumpuan -	35	0.8	0.0035	0.025	14.12	30126.87	
	Tumpuan +	35	0.8	0.0035	0.025	14.12	21062.33	
	Lapangan +	35	0.8	0.0035	0.025	14.12	10098.63	
	Lapangan -	35	0.8	0.0035	0.025	14.12	2017.74	
BI 3	Tumpuan -	35	0.8	0.0035	0.025	14.12	31885.86	
	Tumpuan +	35	0.8	0.0035	0.025	14.12	18564.14	
	Lapangan +	35	0.8	0.0035	0.025	14.12	6824.21	
	Lapangan -	35	0.8	0.0035	0.025	14.12	2383.41	

Tabel 4. 47 Perhitungan Tul. Lentur Balok setelah Komposit
(Lanjutan)

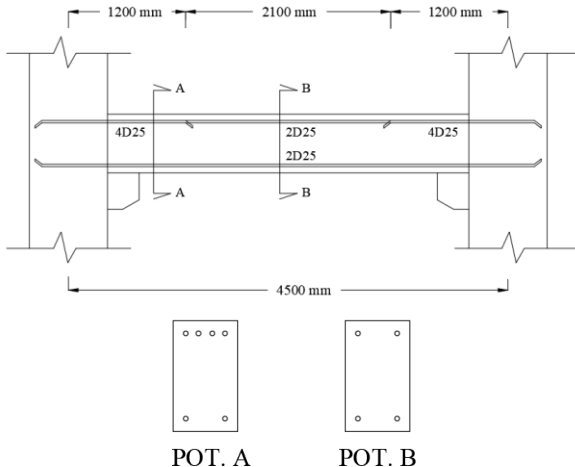
Balok		Perhitungan Tulangan Lentur					
		Rn	ρ _{perlu}	ρ _{pakai}	A _s butuh	Jumlah Tulangan	
		MPa			(mm ²)	Butuh	Pakai
BI 1	Tumpuan -	2.63	0.0066	0.0066	2046.90	4.17	5
	Tumpuan +	1.42	0.0035	0.0035	1099.58	2.24	3
	Lapangan +	1.12	0.0027	0.0035	1099.58	2.24	3
	Lapangan -	0.66	0.0016	0.0035	1099.58	2.24	3
BI 2	Tumpuan -	2.70	0.0068	0.0068	1595.71	3.25	4
	Tumpuan +	1.89	0.0047	0.0047	1098.44	2.24	3
	Lapangan +	0.91	0.0022	0.0035	831.16	1.69	2
	Lapangan -	0.68	0.0016	0.0035	831.16	1.69	2
BI 3	Tumpuan -	3.68	0.0094	0.0094	1722.34	3.51	4
	Tumpuan +	2.14	0.0053	0.0053	972.73	1.98	2
	Lapangan +	0.79	0.0019	0.0035	646.45	1.32	2
	Lapangan -	0.92	0.0022	0.0035	646.45	1.32	2



Gambar 4. 61 Penulangan Lentur Balok BI 1



Gambar 4. 62 Penulangan Lentur Balok BI 2



Gambar 4. 63 Penulangan Lentur Lentur Balok BI 3

c. Penulangan Geser Balok

Nilai momen nominal maksimum dari tulangan nominal yang terpasang diasumsikan tumpuan kiri dan tumpuan kanan dipasang dengan jumlah yang sama. Berdasarkan SNI 2847:2019 pasal 18.6.5.1, dalam mendesain gaya geser harus ditentukan dari peninjauan terhadap gaya-gaya maksimum yang dapat dihasilkan di *joints* (Mpr). Nilai dari Gaya-gaya maksimum dapat dituliskan dalam persamaan sebagai berikut:

$$M_{pr} = As \cdot 1,25fy \left(d - \frac{a}{2} \right)$$

$$a = \frac{As \cdot 1,25fy}{0,85 f'c b}$$

Contoh perhitungan M_{pr} :

Tumpuan Atas

$$a = \frac{As \cdot 1,25fy}{0,85 \times f'c \times b} = \frac{(5 \times 490,87) \cdot 1,25(420)}{0,85 \times 35 \times 500} = 86,63 \text{ mm}$$

$$\begin{aligned} M_{pr} &= (n_{tul} \times As_{tul}) \times 1,25fy \left(d - \frac{a}{2} \right) \\ &= (5 \times 490,87) \times 1,25(420) \left(624,5 - \frac{86,63}{2} \right) \\ &= 748,89 \text{ kNm} \end{aligned}$$

Rekapitulasi perhitungan nilai M_{pr} tertera pada **Tabel 4.48**.

Tabel 4.48 Perhitungan M_{pr} Balok Induk

Lokasi		Jumlah Tulangan	A_s (mm ²)	a (mm)	M_{pr} (kNm)
Tumpuan	Kiri	Atas	5	2454.37	86.62
	Kanan	Bawah	3	1472.62	51.97
	Kiri	Bawah	3	1472.62	51.97
	Kanan	Atas	5	2454.37	86.62
					748.89

Perumusan perhitungan gaya lintang pada balok:

$$V_u = \frac{M_{pr1} + M_{pr2}}{l_n} \pm V_{act}$$

$$M_{pr1} = 748,89 \text{ kNm}$$

$$M_{pr2} = 462,73 \text{ kNm}$$

$$l_n = 7,5 \text{ m}$$

$$V_{act} = 232,43 \text{ kN} \text{ (didapatkan dari program bantu ETABS)}$$

$$V_u = \frac{748,89 + 462,73}{7,5} + 232,43$$

$$V_u = 393,98 \text{ kN}$$

Berdasarkan SNI 2847:2019 Pasal 18.6.5.2, tulangan transversal harus diproporsikan untuk menahan geser dengan mengasumsikan $V_c = 0$ apabila kedua persyaratan berikut terjadi:

Syarat 1:

$$M_{pr} = \frac{M_{pr1} + M_{pr2}}{l_n} \geq 0,5 V_u$$

$$M_{pr} = \frac{748,89 + 462,73}{7,5} \geq 0,5 (393,98)$$

$$M_{pr} = 161,55 \text{ kN} \leq 196,83 \text{ kN}$$

Syarat 2:

$$P_u \leq \frac{1}{20} A_g f'_c$$

Karena pada balok nilai P_u sangat kecil, maka syarat kedua dapat diabaikan. Namun, karena syarat 1 tidak memenuhi, maka kekuatan beton V_c tetap diperhitungkan.

- Daerah Sendi Plastis

$$V_u = 393,97 \text{ kN}$$

$$\begin{aligned}
 V_c &= 0,17 \sqrt{f'c} bd \\
 &= 314,04 \text{ kN} \\
 \phi V_c &= 235,53 \text{ kN} \\
 0,5 \phi V_c &= 117,77 \text{ kN} \\
 V_{s \min} &= 0,062 \sqrt{f'c} bd \\
 &= 115,46 \text{ kN} \\
 \phi(V_c + V_{s \min}) &= 322,13 \text{ kN} \\
 V'_s &= 0,35 \sqrt{f'c} bd \\
 &= 615,77 \text{ kN} \\
 \phi V'_s &= 461,83 \text{ kN} \\
 \phi(V_c + V'_s) &= 697,36 \text{ kN}
 \end{aligned}$$

Syarat:

Kondisi 1:

$$V_u \leq 0,5 \phi V_c \rightarrow \text{tidak memenuhi}$$

Kondisi 2:

$$0,5 \phi V_c \leq V_u \leq \phi V_c \rightarrow \text{tidak memenuhi}$$

Kondisi 3:

$$\phi V_c \leq V_u \leq \phi(V_c + V_{s \min}) \rightarrow \text{tidak memenuhi}$$

Kondisi 4:

$$\phi(V_c + V_{s \min}) \leq V_u \leq \phi(V_c + V'_s) \rightarrow \text{memenuhi}$$

Oleh karena kondisi 4 persyaratan tulangan geser memenuhi, maka diperlukan tulangan geser dalam perencanaan balok induk ini.

$$V_s = \frac{V_u - V_c}{\phi} = \frac{393,97 - 235,53}{0,9} = 176,04 \text{ kN}$$

Direncanakan tulangan sengkang 2 kaki ($A_v 2D13 = 265,46 \text{ mm}^2$)

$$S = \frac{A_v \times f_y \times d}{V_s} = \frac{265,46 \times 420 \times 624,5}{176044} = 396,26 \text{ mm}$$

Berdasarkan SNI 2847:2019 Pasal 18.6.4.4, disebutkan bahwa syarat untuk jarak sengkang di daerah sendi plastis harus kurang dari persyaratan berikut:

$$a. \quad \frac{d}{4} = \frac{624,5}{4} = 156,13 \text{ mm}$$

b. $6D = 6 \times 25 = 150 \text{ mm}$

c. 150 mm

Maka, $S_{\max} = 150 \text{ mm}$. Dari syarat tersebut, maka diambil jarak antar sengkang = 150 mm

Sehingga, nilai kuat geser diperoleh sebagai berikut:

$$V_s = \frac{Av \times fy \times d}{s} = \frac{265,46 \times 420 \times 624,5}{150} = 464183,4 \text{ N} = 464,18 \text{ kN}$$

$$\phi V_s = 0,9 \times 464,18 = 417,77 \text{ kN}$$

$$V_{s \max} = \frac{2}{3} \times bw \times d \times \sqrt{f'c} = \frac{2}{3} \times 500 \times 624,5 \times \sqrt{35} \\ = 1231530 \text{ N} > V_s \dots (\text{OK})$$

Sengkang yang dipasang 2D13 mm sejarak 150 mm dengan ketentuan dan syarat sebagai berikut mengacu pada SNI 2847:2019 Pasal 18.6.4.4 sebagai berikut :

- S_{\max} sepanjang sendi plastis di ujung balok
 $2h = 2 \times 700 = 1400 \text{ mm}$
- Sengkang tertutup pertama harus dipasang tidak lebih dari 50 mm dari muka tumpuan

.: Digunakan sengkang daerah sendi plastis 2D13-150 mm

- Diluar daerah sendi plastis

$$V_u = 232,43 \text{ kN}$$

$$V_c = 0,17 \sqrt{f'c} bd$$

$$= 314,04 \text{ kN}$$

$$\phi V_c = 235,53 \text{ kN}$$

$$0,5 \phi V_c = 117,77 \text{ kN}$$

$$V_{s \min} = 0,062 \sqrt{f'c} bd$$

$$= 115,46 \text{ kN}$$

$$\phi(V_c + V_{s \min}) = 322,13 \text{ kN}$$

Syarat:

Kondisi 1:

$$V_u \leq 0,5 \phi V_c \rightarrow \text{tidak memenuhi}$$

Kondisi 2:

$$0,5 \phi V_c \leq V_u \leq \phi V_c \rightarrow \text{memenuhi}$$

Oleh karena kondisi 2 persyaratan tulangan geser memenuhi, maka diperlukan tulangan geser minimum dalam perencanaan balok induk ini.

$$V_s = \frac{Vu}{\phi} = \frac{232,43}{0,9} = 258,26 \text{ kN}$$

Direncanakan tulangan sengkang 2 kaki ($A_v 2D13 = 265,46 \text{ mm}^2$)

$$S = \frac{Av \times f_y \times d}{V_s} = \frac{265,46 \times 420 \times 624,5}{258255} = 269,97 \text{ mm}$$

Berdasarkan SNI 2847:2019 Pasal 18.6.4.6, disebutkan bahwa syarat untuk jarak sengkang di daerah sendi plastis harus kurang dari persyaratan berikut:

$$\text{d. } \frac{d}{2} = \frac{624,5}{2} = 312,25 \text{ mm}$$

Maka, $S_{\max} = 300 \text{ mm}$. Dari syarat tersebut, maka diambil jarak antar sengkang = 250 mm

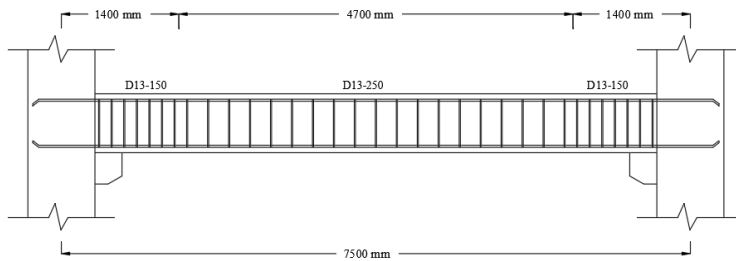
Sehingga, nilai kuat geser diperoleh sebagai berikut:

$$V_s = \frac{Av \times f_y \times d}{s} = \frac{265,46 \times 420 \times 624,5}{250} = 278510 \text{ N} = 278,51 \text{ kN}$$

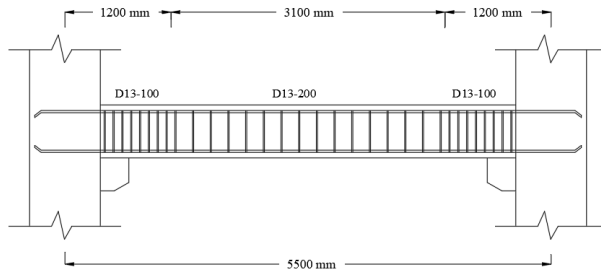
$$\phi V_s = 0,9 \times 278,51 = 250,66 \text{ kN}$$

∴ Digunakan sengkang diluar daerah sendi plastis 2D13-250 mm

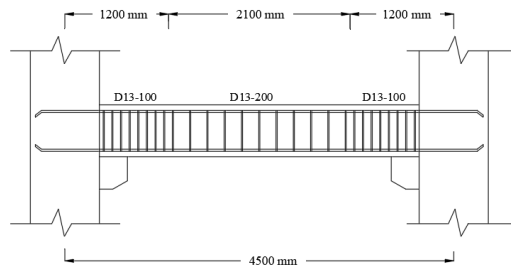
Ilustrasi penulangan geser sesuai pada **Gambar 4.64, 4.65, dan 4.66**.



Gambar 4. 64 Penulangan Geser Balok BI 1



Gambar 4. 65 Penulangan Geser Balok BI 2



Gambar 4. 66 Penulangan Geser Balok BI 3

d. Penulangan Torsi

Pada perencanaan penampang yang diakibatkan oleh torsi harus didasarkan pada perumusan sebagai berikut:
 $\phi T_n \geq T_u$ (SNI 2847:2019 Pasal 22.7.6)



Gambar 4. 67 Skema Gaya Dalam Torsi Balok BI 1

$$T_u = 7713,45 \text{ kgm} \text{ (Hasil ETABS)}$$

$$= 77,13 \text{ kNm}$$

$$V_u = 232,43 \text{ kN}$$

$$A_{cp} = 500 \times 700 = 350000 \text{ mm}^2$$

$$P_{cp} = 2(500+700) = 2400 \text{ mm}$$

Pada perencanaan ini, balok induk termasuk torsi kompatibilitas, sehingga dapat terjadi redistribusi puntir. Berdasarkan SNI 2847:2019 Pasal 22.7.5.1 momen puntir terfaktor maksimum dapat direduksi sesuai persamaan berikut:

$$T_u \leq \Phi 0,33 \lambda \sqrt{f'c} \left(\frac{A_{cp}^2}{P_{cp}} \right)$$

Sesuai SNI 2847:2019 Pasal 22.7.4.1 pengaruh torsi balok dapat diabaikan bila momen torsi terfaktor T_u kurang dari perumusan berikut:

$$T_u \leq \Phi 0,083 \lambda \sqrt{f'c} \left(\frac{A_{cp}^2}{P_{cp}} \right)$$

$$77,13 \leq 0,75 \times 0,083(1) \sqrt{35} \left(\frac{350000^2}{2400} \right) \times 10^{-6}$$

$$77,13 \text{ kNm} \geq 25,06 \text{ kNm} \rightarrow \text{perlu tulangan torsi}$$

Dimensi penampang harus sebagai berikut:

$$\sqrt{\left(\frac{V_u}{b_w d} \right)^2 + \left(\frac{T_u P_h}{1,7 A_{oh}^2} \right)^2} \leq \Phi \left(\frac{V_c}{b_w d} + 0,66 \sqrt{f'c} \right)$$

$$\begin{aligned} x_1 &= b - 2(\text{clear cover} + D_{\text{sengkang}}) \\ &= 500 - 2(50+13) \\ &= 374 \text{ mm} \end{aligned}$$

$$\begin{aligned} y_1 &= h - 2(\text{clear cover} + D_{\text{sengkang}}) \\ &= 700 - 2(50+13) \\ &= 574 \text{ mm} \end{aligned}$$

$$\begin{aligned} A_{oh} &= x_1 \times y_1 \\ &= 374 \times 574 \\ &= 214676 \text{ mm}^2 \end{aligned}$$

$$\begin{aligned} A_o &= 0,85 A_{oh} \\ &= 182474,6 \text{ mm}^2 \end{aligned}$$

$$\begin{aligned} P_h &= 2(x_1 + y_1) \\ &= 1896 \text{ mm} \end{aligned}$$

$$\theta = 45^\circ$$

$$\cot \theta = 1$$

Cek Penampang Balok:

$$\sqrt{\left(\frac{V_u}{b_w d} \right)^2 + \left(\frac{T_u P_h}{1,7 A_{oh}^2} \right)^2} \leq \Phi \left(\frac{V_c}{b_w d} + 0,66 \sqrt{f'c} \right)$$

$$\sqrt{\left(\frac{232429,33}{500(624,5)}\right)^2 + \left(\frac{77134,55 \times 1896}{1,7(182474,6)^2}\right)^2} \leq 3,683$$

$2,01 \leq 3,683$ (OK)

- Torsi Transversal

$$T_n = \frac{2A_o A_t f_{yt}}{s} \cot\theta \quad (\text{SNI 2847:2019 Pasal 22.7.6.1})$$

$$T_n = T_u/\phi = 102,85 \text{ kNm}$$

$$\begin{aligned} \frac{A_t}{s} &= \frac{T_n}{2A_o A_t f_{yt} \cot\theta} \\ &= \frac{102,85 \times 10^6}{2 \times 182474,6 \times 420 \times 1} \\ &= 0,671 \text{ mm}^2/\text{mm} \end{aligned}$$

$$\begin{aligned} V_s &= V_n - V_c \\ &= 309905,769 - 314040,305 \\ &= -4134,536 \text{ N} < 0 \end{aligned}$$

Tidak diperlukan tulangan torsi transversal

- Torsi Longitudinal

$$\begin{aligned} A_l &= \frac{A_t}{s} P_h \frac{f_{yt}}{f_y} \cot^2\theta \\ &= 0,669 \times 1896 \times \frac{420}{420} \times 1 \\ &= 1272,168 \text{ mm}^2 \\ A_{l \min} &= \frac{0,42\sqrt{f'c} A_{cp}}{f_y} - \frac{A_t}{s} P_h \frac{f_{yt}}{f_y} \\ &= 798,46 \text{ mm}^2 \text{ (OK)} \end{aligned}$$

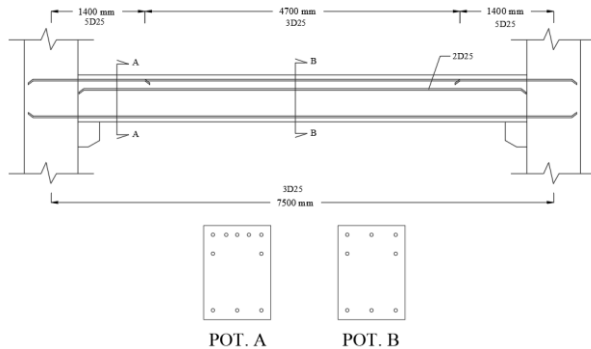
Tulangan longitudinal untuk torsi dibagi menjadi 4 bagian, 25% didistribusikan ke atas, 25% didistribusikan ke bawah, dan 50% didistribusikan merata ke kiri dan ke kanan. Hasil dari kebutuhan luas tulangan longitudinal torsi akan digabung dengan kebutuhan luas tulangan lentur yang dihitung sebelumnya.

Luasan tulangan torsi untuk kiri dan kanan:

$$0,5 \times 1272,168 \text{ mm}^2 = 636,084 \text{ mm}^2$$

Dikarenakan tulangan minimum sebanyak 2 buah, maka digunakan tulangan 2D25 ($A_s = 981,774 \text{ mm}^2$), dipasang

masing-masing 1 batang di sisi samping kanan dan kiri balok di sepanjang bentang balok. Penulangan dan rekapitulasi tulangan torsi diilustrasikan pada **Gambar 4.68** dan **Tabel 4.49**.



Gambar 4. 68 Skema Penulangan Balok BI 1 dengan tambahan Tulangan Torsi

Tabel 4. 49 Rekapitulasi Kebutuhan Tulangan Torsi Longitudinal

Tulangan Torsi Longitudinal						
Nama Balok	Lokasi	Tulungan	d_b (mm)	n awal	n torsi	n total
BI 1	Tumpuan	Atas	25	5	0	5
		Tengah	25		2	2
		Bawah	25	3	0	3
	Lapangan	Atas	25	3	0	3
		Tengah	25		2	2
		Bawah	25	3	0	3
BI 2	Tumpuan	Atas	25	4	0	4
		Tengah	25		2	2
		Bawah	25	3	0	3
	Lapangan	Atas	25	2	1	3
		Tengah	25		2	2
		Bawah	25	2	1	3
BI 3	Tumpuan	Atas	25	4	1	5
		Tengah	25		2	2
		Bawah	25	2	1	3
	Lapangan	Atas	25	2	0	2
		Tengah	25		2	2
		Bawah	25	2	0	2

e. Kontrol Lendutan

Komponen struktur beton yang mengalami lentur harus dirancang agar memiliki kekakuan cukup untuk batas deformasi yang akan memperlemah kemampuan layan struktur saat bekerja. Sesuai SNI 2847-2019 Pasal 9.3.1 syarat tebal minimum balok apabila lendutan tidak dihitung adalah sebagai berikut:

Balok dengan dua tumpuan:

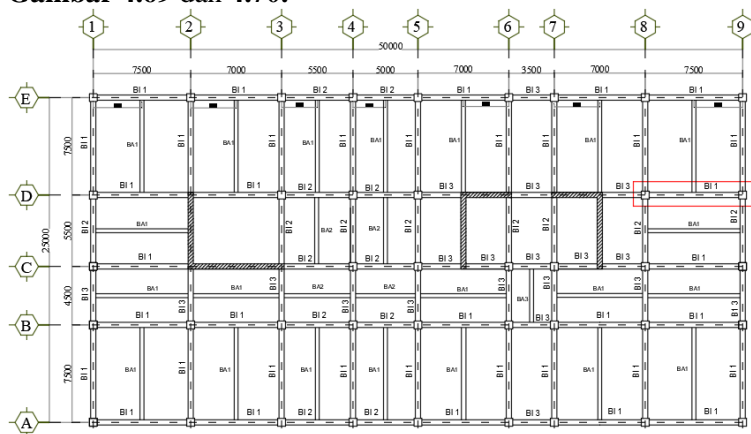
$$h_{min} = \frac{1}{16} \times L_b$$

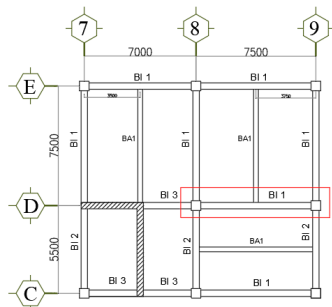
Lendutan tidak perlu dihitung sebab sejak *preliminary design* telah direncanakan agar tinggi dari masing-masing tipe balok lebih besar dari persyaratan h_{min} .

4.5.1.3. Perhitungan Tulangan Balok Sebelum Komposit

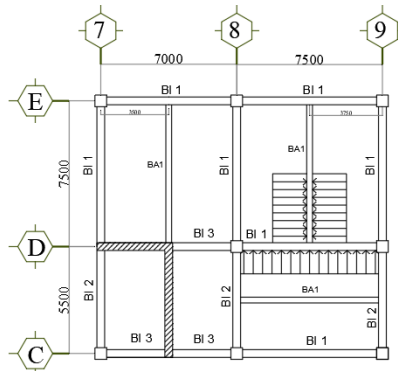
a. Pembebanan pada Balok

Balok pracetak pada saat sebelum komposit dihitung sebagai balok sederhana pada tumpuan dua perletakan sederhana. Perhitungan untuk pembebanan merata pada balok menggunakan konsep tributary area. Berikut merupakan beban merata (q) yang terjadi pada balok yang ditinjau yang diilustrasikan pada **Gambar 4.69** dan **4.70**.





Gambar 4. 69 Tinjauan Balok Induk BI 1 Sebelum Komposit



Gambar 4. 70 Distribusi Beban pada Balok Induk

- Beban Mati Merata

$$\text{Berat Sendiri Balok} = 2400 \times 0,5 \times 0,56 = 672 \text{ kg/m}$$

$$\text{Berat Pelat} = 2400 \times 1,375 \times 0,09 = 297 \text{ kg/m}$$

$$q_D = 969 \text{ kg/m}$$

- Beban Mati Terpusat

$$\text{Berat Pelat} = 2400 \times 3,75 \times 3,75 \times 0,09 = 3037.5 \text{ kg}$$

$$\text{Berat Balok Anak} = 2400 \times 0,35 \times 3,75 \times 0,5 = 1575 \text{ kg}$$

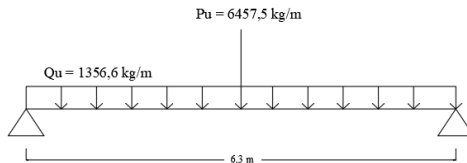
$$P_D = 4612.5 \text{ kg}$$

- Kombinasi Beban Merata

$$q_u = 1,4 \times 969 = 1356.6 \text{ kg/m}$$

- Kombinasi Beban Terpusat

$$P_u = 1,4 \times 4612.5 = 6457.5 \text{ kg}$$



Gambar 4. 71 Pembebatan BI 1 sebelum Komposit

b. Perhitungan Tulangan Lentur

Data Perencanaan

- Mutu beton ($f'c$) = 35 MPa
- Mutu baja (f_y) = 420 MPa
- L = 7,5 m
- Diameter tulangan utama = 25 mm
- Diamater tulangan sengkang = 13 mm
- Clear cover = 50 mm

$$d = h - cc - D_{\text{sengkang}} - 0,5D_{\text{utama}}$$

$$d = 560 - 50 - 13 - 0,5(25) = 484,5 \text{ mm}$$

$$d' = 50 + 13 + 0,5(25) = 75,5 \text{ mm}$$

$$\rho_{\min 1} = \frac{1,4}{f_y} = \frac{1,4}{420} = 0,0033 \text{ (SNI 2847:2019 Pasal 9.6.1.2)}$$

$$\rho_{\min 2} = \frac{0,25 \times \sqrt{f'c'}}{f_y} = \frac{0,25 \times \sqrt{35}}{420} = 0,00352$$

Gunakan ρ_{\min} terbesar:

$$\rho_{\min \text{ pakai}} = 0,00352$$

$$\rho_{\max} = 0,025 \text{ (SNI 2847:2019 Pasal 18.6.3.1)}$$

$$m = \frac{f_y}{0,85 \times f'c'} = \frac{420}{0,85 \times 35} = 14,12$$

$$\beta_1 = 0,85 - 0,05 \frac{f'c' - 28}{7} = 0,8$$

Momen dan Gaya geser sebelum komposit:

Momen yang terjadi pada balok induk sebelum balok induk komposit dihitung dengan beranggapan tumpuan pada

balok induk adalah tumpuan sederhana, sehingga momen pada tumpuan dianggap tidak ada.

$$M_{tumpuan} (-) = 0 \text{ kgm}$$

$$M_{tumpuan} (+) = 0 \text{ kgm}$$

$$M_{lapangan} (-) = 0 \text{ kgm}$$

$$\begin{aligned} M_{lapangan} (+) &= \frac{1}{8} q_u L^2 + \frac{1}{4} P_u L \\ &= \frac{1}{8} 1356,6(6,3)^2 + \frac{1}{4} 6457,5(6,3) \\ &= 18838,24 \text{ kgm} \end{aligned}$$

$$V_u = 0,5 (q_u L + P_u)$$

$$\begin{aligned} &= 0,5 (1356,6(6,3) + 6457,5) \\ &= 7502,04 \text{ kg} \end{aligned}$$

- Tulangan Lentur Tumpuan

$$M_{tumpuan} = 0$$

Karena pada tumpuan tidak terjadi momen, sehingga dipasang tulangan praktis 2D25

.: Digunakan tulangan lentur tumpuan 2D25

- Tulangan Lentur Lapangan

$$M_{lapangan} = 18838,24,41 \text{ kgm}$$

$$R_n = \frac{Mu}{\phi \times b \times d^2} = \frac{18838,24 \times 10^4}{0,9 \times 500 \times 484,5^2} = 1,78 \text{ N/mm}^2$$

$$\begin{aligned} \rho_{perlu} &= \frac{1}{m} \left(1 - \sqrt{1 - \frac{2xmxRn}{fy}} \right) \\ &= \frac{1}{14,12} \left(1 - \sqrt{1 - \frac{2x14,12x1,78}{420}} \right) \\ &= 0,0044 > \rho_{min} \end{aligned}$$

Maka dipakai $\rho_{perlu} = 0,0044$

$$\begin{aligned} A_s \text{ perlu} &= \rho_{perlu} \times b \times d \\ &= 0,0044 \times 500 \times 484,5 \\ &= 1061,45 \text{ mm}^2 \end{aligned}$$

$$n_{pakai} = \frac{A_s \text{ perlu}}{A_s \text{ tulangan}} = \frac{1061,45}{490,87} = 2,16 \approx 3 \text{ buah}$$

$$\begin{aligned}
 A_s \text{ pakai} &= \text{jumlah tulangan} \times A_s D_{25} = 3 \times 490,87 \\
 &= 1472,61 \text{ mm}^2 > A_s \text{ perlu (OK)}
 \end{aligned}$$

∴ Digunakan tulangan lentur lapangan 3D25

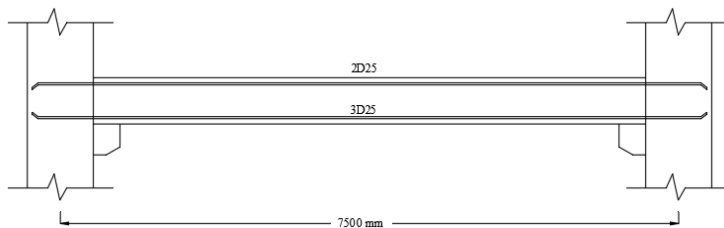
Rekapitulasi serta ilustrasi perhitungan tulangan sebelum komposit tertera pada **Tabel 4.50** dan **4.51** serta pada **Gambar 4.72, 4.73, dan 4.74**.

Tabel 4. 50 Perhitungan Tulangan Sebelum Komposit

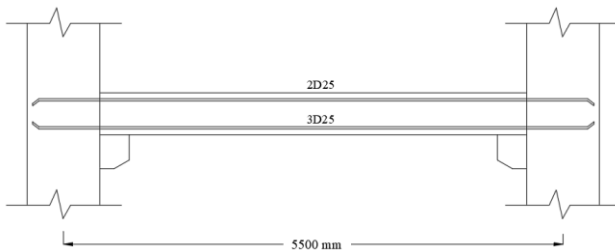
Balok		Dimensi dan Mutu		Dimensi Balok		Mutu Beton	Momen (kgm)
		Lentur (mm)	Lentur (MPa)	B (mm)	H (mm)	f _c (MPa)	
BI 1	Lapangan +	25	420	500	560	35	18838.24
	Lapangan -	25	420	500	560	35	0
BI 2	Lapangan +	25	420	450	460	35	13787.00
	Lapangan -	25	420	450	460	35	0
BI 3	Lapangan +	25	420	350	460	35	9262.64
	Lapangan -	25	420	350	460	35	0

Tabel 4. 51 Perhitungan Tulangan Sebelum Komposit (Lanjutan)

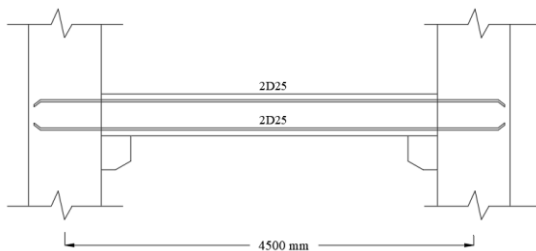
Balok		Batas Rasio Tulangan		m	Perhitungan Tulangan Lentur				
		ρ_{\min}	ρ_{\max}		Rn MPa	ρ_{perlu}	ρ_{pakai}	$A_s \text{ butuh}$ (mm ²)	Jumlah Tulangan
BI 1	Lapangan +	0.0035	0.025	14.12	1.78	0.0044	0.0044	1061.45	2.16
	Lapangan -	0.0035	0.025	14.12	0	0.0035	0.0035	853.08	1.74
BI 2	Lapangan +	0.0035	0.025	14.12	2.30	0.0057	0.0057	988.46	2.01
	Lapangan -	0.0035	0.025	14.12	0	0.0035	0.0035	609.30	1.24
BI 3	Lapangan +	0.0035	0.025	14.12	1.99	0.0049	0.0049	660.16	1.34
	Lapangan -	0.0035	0.025	14.12	0	0.0035	0.0035	473.90	1.34



Gambar 4. 72 Penulangan Balok Induk BI 1 sebelum Komposit



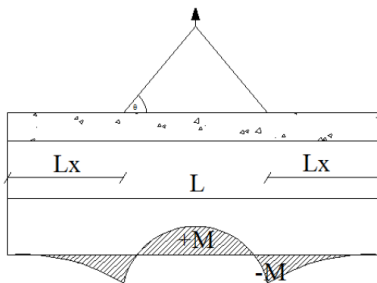
Gambar 4. 73 Penulangan Balok Induk BI 2 sebelum Komposit



Gambar 4. 74 Penulangan Balok Induk BI 3 sebelum Komposit

4.5.1.4. Pengangkatan Balok

Elemen balok harus dirancang untuk menghindari kerusakan pada waktu proses pengangkatan. Titik pengangkatan dan kekuatan tulangan angkat harus menjamin keamanan elemen balok tersebut dari kerusakan. Pada saat pengangkatan direncanakan 2 titik angkat dengan lokasi titik pengangkatan berada pada daerah tumpuan. Berikut merupakan rencana pengangkatan balok induk yang diilustrasikan pada **Gambar 4.75** dan **4.76**:



Gambar 4. 75 Titik Angkat Balok Induk

Kondisi pengangkatan sebelum *overtopping*

$$b = 50 \text{ cm}$$

$$h = 56 \text{ cm}$$

$$L = 630 \text{ cm}$$

Dimana :

$$+M = \frac{WL^2}{8} \left(1 - 4X + \frac{4Y_c}{L \tan\theta} \right)$$

$$-M = \frac{WX^2L^2}{2}$$

$$X = \frac{1 + \frac{4Y_c}{Lx \tan\theta}}{2 \left(1 + \sqrt{1 + \frac{Y_t}{Y_b} \left(1 + \frac{4Y_c}{L \tan\theta} \right)} \right)}$$

Perhitungan:

$$Y_t = Y_b = \frac{70 - 14}{2} = 28 \text{ cm}$$

$$\begin{aligned} I_{\text{balok}} &= \frac{1}{12} b h^3 \\ &= \frac{1}{12} 50 (56)^3 \\ &= 731733,3 \text{ cm}^4 \end{aligned}$$

$$Y_c = Y_t + 5 = 33 \text{ cm}$$

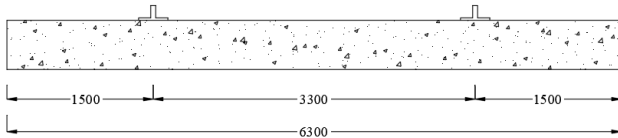
Balok direncanakan diangkat dengan sudut 45°

$$\theta = 45^\circ$$

$$L = 6,3 \text{ m}$$

$$X = \frac{1 + \frac{4Y_c}{Lx \tan\theta}}{2 \left(1 + \sqrt{1 + \frac{Y_t}{Y_b} \left(1 + \frac{4Y_c}{L \tan\theta} \right)} \right)}$$

$$= 0,243 \\ L \times X = 6,3 \times 0,243 = 1,53 \text{ m}$$



Gambar 4. 76 Titik Angkat Balok Induk BI 1

a. Pembebanan

$$W_{\text{balok}} = 1,4 \times 2400 \times 0,5 \times 0,56 \times 6,3 = 5927,04 \text{ kg}$$

$$K (\text{faktor kejut}) = 1,2$$

$$\begin{aligned} T \sin \theta &= P = \frac{K \times W}{2} \\ &= \frac{1,2 \times 5927,04}{2} \\ &= 3556,22 \text{ kg} \\ T &= \frac{3556,22}{\sin 45^\circ} = 5029,26 \text{ kg} \end{aligned}$$

b. Tulangan Angkat Balok Induk

$$T_u = 5029,26 \text{ kg}$$

Menurut PBI pasal 2.2.2. tegangan ijin tarik dasar baja bertulang mutu $f_y = 420 \text{ Mpa}$ adalah $f_y/1,5$

$$\sigma_{\text{tarik ijin}} = 4200/1,5 = 2800 \text{ kg/cm}^2$$

$$D_{\text{tulangan angkat}} \geq \sqrt{\frac{4 \times T_u}{\sigma_{\text{ijin}} \times \pi}}$$

$$D_{\text{tulangan angkat}} \geq \sqrt{\frac{4 \times 5029,26}{2800 \times \pi}}$$

$$D_{\text{tulangan angkat}} \geq 1,512 \text{ cm}$$

Digunakan Tulangan D19 mm

c. Momen yang terjadi

$$\text{Balok} = 0,5 \times 0,56 \times 2400 = 672 \text{ kg/m}$$

Dalam upaya untuk mengatasi beban kejut akibat pengangkatan, momen pengangkatan dikalikan dengan faktor kejut akibat pengangkatan sebesar 1,2 sebagai berikut:

- Momen Lapangan

$$\begin{aligned} +M &= \frac{WL^2}{8} \left(1 - 4X + \frac{4Y_c}{L \tan\theta} \right) \\ +M &= \frac{940,8(6,3)^2}{8} \left(1 - 4(0,243) + \frac{4(0,33)}{6,5 \tan 45^\circ} \right) \\ &= 1104,48 \text{ kgm} \end{aligned}$$

Tegangan yang terjadi

$$\begin{aligned} \sigma &= \frac{M}{W} = \frac{1104,48 \times 10^4}{\frac{I}{y}} = 0,42 \text{ MPa} \\ \sigma_{ijin} &= \frac{0,7\sqrt{f'c}}{SF} = \frac{0,7\sqrt{35}}{1,5} = 2,76 \text{ MPa} \end{aligned}$$

$\sigma < \sigma_{ijin} \dots (\text{OK})$

- Momen Tumpuan

$$\begin{aligned} -M &= \frac{WX^2L^2}{2} \\ -M &= \left(\frac{940,8 \times 0,238^2 \times 6,3^2}{2} \right) \\ &= 1104,483 \text{ kgm} \end{aligned}$$

Tegangan yang terjadi

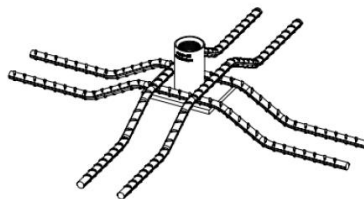
$$\begin{aligned} \sigma &= \frac{M}{W} = \frac{1104,483 \times 10^4}{\frac{I}{y}} = 0,42 \text{ MPa} \\ \sigma_{ijin} &= \frac{0,7\sqrt{f'c}}{SF} = \frac{0,7\sqrt{35}}{1,5} = 2,76 \text{ MPa} \end{aligned}$$

$\sigma < \sigma_{ijin} \dots (\text{OK})$

Dari perhitungan momen diatas, didapatkan nilai σ akibat momen positif dan negatif berada di bawah nilai σ_{ijin} . Jadi dapat ditarik kesimpulan, balok induk tersebut aman dalam menerima tegangan akibat pengangkatan

d. Pemilihan Profil Tulangan Angkat

Tulangan angkat yang digunakan adalah jenis *Jenka Lifting System* dari *Peikko Group*. Tipe yang digunakan adalah *Jenka PSA Short Insert* dengan kait *JL*. Disetiap titik angkat, profil ini dapat mengangkat beban sebesar 63 kN dengan sudut $0^\circ - 45^\circ$. Ilustrasi tulangan angkat sesuai pada **Gambar 4.77** dan **4.78**.



Gambar 4. 77 Jenka PSA Short Inserts



Gambar 4. 78 Kait JL

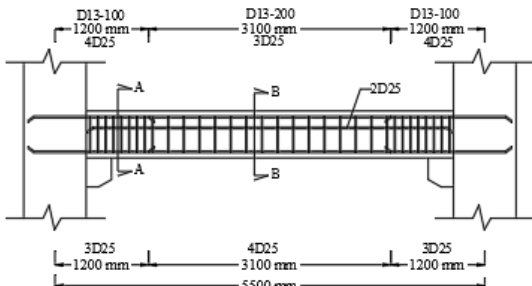
4.5.1.5. Rekapitulasi Tulangan Balok Induk

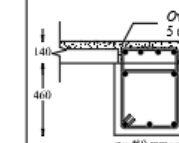
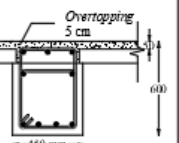
Berikut merupakan rekapitulasi tulangan balok induk pada yang tertera **Tabel 4.52.**

Tabel 4. 52 Rekapitulasi Tulangan Balok Induk

Tipe Balok	BI 1		BI 2		BI 3	
	Tumpuan	Lapangan	Tumpuan	Lapangan	Tumpuan	Lapangan
Dimensi	500 mm x 700 mm		450 mm x 600 mm		350 mm x 600 mm	
Bentang	7.5 mm		5.5 m		4.5 m	
Decking	50 mm		50 mm		50 mm	
Atas	5D25	3D25	4D25	3D25	5D25	2D25
Tengah	2D25	2D25	2D25	2D25	2D25	2D25
Bawah	3D25	3D25	3D25	4D25	3D25	2D25
Sengkang	2D13-150 mm	2D13-250 mm	2D13-100 mm	2D13-200 mm	2D13-100 mm	2D13-200 mm

BALOK	BALOK BI 1	
	POTONGAN A	POTONGAN B
SKETSA		
PENAMPANG	500x700 mm	500x700 mm
DECKING	50 mm	50 mm
TUL. ATAS	5D25	3D25
TUL. TENGAH	2D25	2D25
TUL. BAWAH	3D25	3D25
SENGKANG	2D13 - 150	2D13 - 250



BALOK	BALOK BI 2	
	POTONGAN A	POTONGAN B
SKETSA		
PENAMPANG	450x600 mm	450x600 mm
DECKING	50 mm	50 mm
TUL. ATAS	4D25	3D25
TUL. TENGAH	2D25	2D25
TUL. BAWAH	3D25	4D25
SENGKANG	2D13 - 100	2D13 - 200

BALOK	BALOK BI 3	
	POTONGAN A	POTONGAN B
SKETSA		
PENAMPANG	350x600 mm	350x600 mm
DECKING	50 mm	50 mm
TUL. ATAS	5D25	2D25
TUL. TENGAH	2D25	2D25
TUL. BAWAH	3D25	2D25
SENGKANG	2D13 - 100	2D13 - 200

4.5.2. Perencanaan Struktur Kolom

Kolom merupakan struktur utama yang berfungsi memikul seluruh beban yang diterima struktur, baik dari struktur sekunder maupun balok induk. Selain itu kolom juga berfungsi meneruskan beban yang diterima ke pondasi. Perencanaan kolom untuk tugas akhir pada gedung Apartemen Arundaya Surabaya dibedakan menjadi 4 tipe kolom, yaitu:

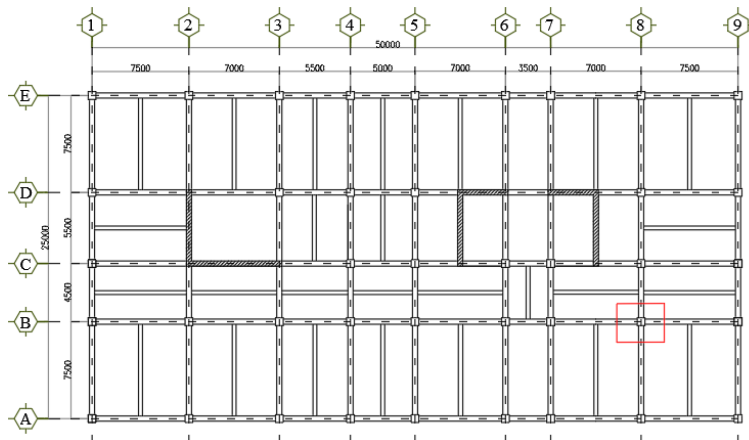
- Dimensi Kolom Lt. *Basement* – 5 (K4) = 90 x 90 cm
- Dimensi Kolom Lt. 6 - 10 (K3) = 75 x 75 cm
- Dimensi Kolom Lt. 11 - 15 (K2) = 60 x 60 cm
- Dimensi Kolom Lt. 16 - 20 (K1) = 50 x 50 cm

4.5.2.1. Data Perencanaan Kolom

Pada penulisan ini, akan diberikan contoh perhitungan kolom lt. *basement* – lantai 5 (K4). Berikut merupakan data perencanaan kolom K4 Apartemen Arundaya:

- Dimensi Kolom = 90 x 90 cm
- Mutu Beton = 35 Mpa
- Mutu Baja Tulangan = 420 Mpa
- *Clear Cover* = 50 mm
- Tulangan Longitudinal = 25 mm
- Tulangan Transversal = 16 mm

Detail kolom yang ditinjau serta data perencanaan dari masing-masing kolom diilustrasikan pada **Gambar 4.79** dan **Tabel 4.53**.



Gambar 4. 79 Kolom yang ditinjau

Tabel 4. 53 Data Perencanaan Kolom

Kolom	Dimensi		Spesifikasi Material					
	Lebar 1 mm	Lebar 2 mm	D Longitudinal mm	Fy Longitudinal MPa	D transversal mm	Fy Transversal MPa	f'c MPa	clear cover mm
K1	500	500	25	420	16	420	35	50
K2	600	600	25	420	16	420	35	50
K3	750	750	25	420	16	420	35	50
K4	900	900	25	420	16	420	35	50

Berdasarkan hasil analisis program bantu ETABS didapatkan beban aksial dan momen dari semua kombinasi yang bekerja pada K4 (**Gambar 4.80**), yaitu:

$$P_{u \max} = 9977,512 \text{ kN}$$

$$V_{u \max} = 161,001 \text{ kN}$$

$$M_{x \max} = 349,965 \text{ kNm}$$

$$M_{y \max} = 460,715 \text{ kNm}$$

$$T_{u \max} = 24,662 \text{ kNm}$$



Gambar 4. 80 Skema gaya-gaya dalam (N, D, M) maksimum Kolom K4

4.5.2.2. Kontrol Dimensi Kolom

Menurut SNI 2847:2019 Pasal 18.7.2.1, jika komponen struktur SRPMK menahan gaya tekan aksial terfaktor akibat sembarang kombinasi ialah $\geq \frac{A_g f'c}{10}$, maka komponen struktur rangka ini harus juga memenuhi 2 syarat pada pasal tersebut.

$$\begin{aligned} P_u &\geq \frac{A_g f'c}{10} \\ 9977,512 \text{ kN} &\geq \frac{900 \times 900 \times 35 \times 10^{-3}}{10} \\ 9977,512 \text{ kN} &\geq 2835 \text{ kN} \end{aligned}$$

Maka dari itu syarat pada SNI 2847:2019 Pasal 18.7.2.1 harus dipenuhi.

Syarat 1:

Dimensi penampang terpendek	≥ 300 mm
900 mm	≥ 300 mm (OK)

Syarat 2:

Rasio dimensi penampang	$\geq 0,4$
$\frac{900}{900} = 1$	$\geq 0,4$ (OK)

Tabel 4. 54 Kontrol Dimensi Kolom

Kolom	Kontrol Dimensi Kolom		
	P _u	0,1A _g x f'c	Ket
	kN	kN	
K1	1748.93	875	OK
K2	3637.27	1260	OK
K3	3637.27	1968.75	OK
K4	9977.52	2835	OK

4.5.2.3. Penulangan Longitudinal Kolom

Dari hasil analisis program bantu ETABS didapatkan beban aksial dan momen maksimum yang terjadi pada kolom (**Tabel 4.55** dan **4.56**). Beban tersebut diinput pada program spColumn.

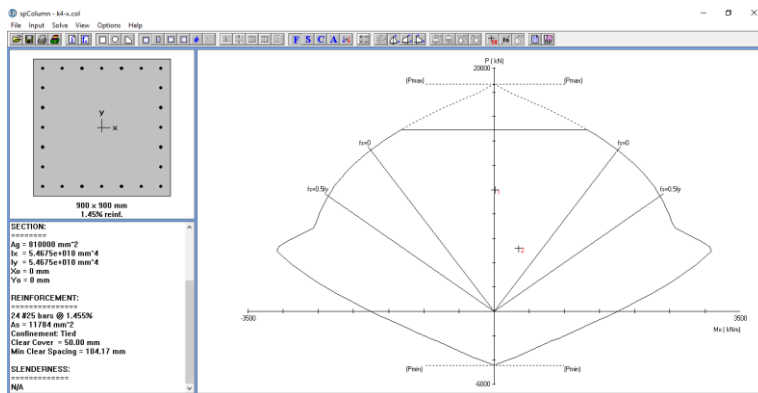
Tabel 4. 55 Beban Aksial dan Momen Maksimum Arah X

Kombinasi Beban	P (kN)	M _x (kNm)
1,2D + 1,6L	9977.5205	241.6873
1,2D + L + Ex	5163.8024	349.9647

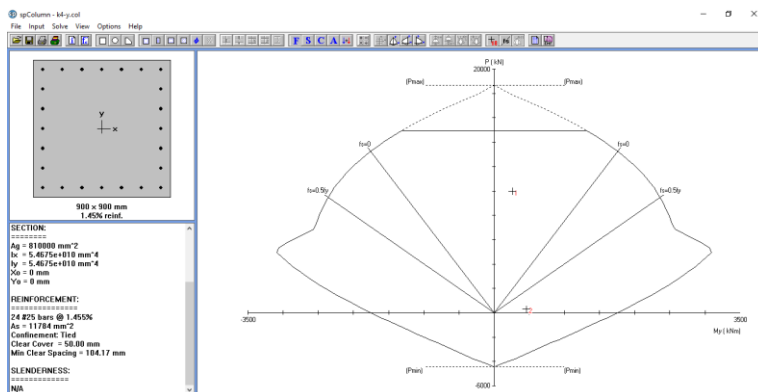
Tabel 4. 56 Beban Aksial dan Momen Maksimum Arah Y

Kombinasi Beban	P (kN)	M _y (kNm)
1,2D + 1,6L	9977.5205	259.1899
1,2D + L + Ey	313.9903	460.7149

Dari beban aksial dan momen yang terjadi, kemudian dilakukan perhitungan penulangan kolom longitudinal menggunakan program bantu spColumn dan didapatkan diagram interaksi yang tertera pada **Gambar 4.81** dan **4.82**:



Gambar 4. 81 Diagram Interaksi P-M arah X



Gambar 4. 82 Diagram Interaksi P-M arah Y

Jumlah tulangan yang digunakan untuk kolom K4 adalah 24 D25. Sementara itu dari diagram interaksi menggunakan program bantu spColumn, didapatkan:

$$\Phi M_{n,x} > M_{u,x}$$

$$2305,76 \text{ kNm} > 349,96 \text{ kNm}$$

$$\Phi M_{n,y} > M_{u,y}$$

$$1859,87 \text{ kNm} > 460,71 \text{ kNm}$$

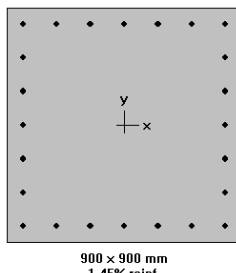
Rekapitulasi kontrol tulangan longitudinal kolom tertera pada **Tabel 4.57**.

Tabel 4. 57 Penulangan Longitudinal Kolom

Kolom	Konfigurasi tulangan	Penulangan Longitudinal Kolom						Ket	
		Arah X		Arah Y		ϕM_n	M_u		
		ϕM_n	M_u	ϕM_n	M_u				
kNm	kNm	kNm	kNm						
K1	16 D25	585.41	278.66	600.62	334.28			OK	
K2	16 D25	945.49	284.85	1036.55	310.63			OK	
K3	20 D25	1730.27	315.37	1806.19	335.91			OK	
K4	24 D25	2305.76	349.96	1859.87	460.71			OK	

4.5.2.4. Kontrol Rasio Tulangan Longitudinal pada Kolom

Berdasarkan SNI 2847:2019 Pasal 18.7.4.1, luas tulangan longitudinal penahan lentur tidak boleh kurang dari 0,01 A_g dan lebih dari 0,06 A_g . Sebagai asumsi awal, tulangan longitudinal kolom dipasang sebanyak 24 buah dengan diameter 25 mm. Dengan konfigurasi seperti terlihat pada **Gambar 4.83** kolom memiliki rasio tulangan, $\rho_g = 1,45\%$ (OK)



Gambar 4. 83 Rasio Tulangan Kolom K1 pada SP Column

Tabel 4. 58 Kontrol Rasio Tulangan

Kolom	Kontrol Rasio Tulangan	
	Rasio Tul.	Ket
	%	
K1	3.14	OK
K2	2.18	OK
K3	1.75	OK
K4	1.45	OK

4.5.2.5. Kontrol Kapasitas Beban Aksial Kolom Terhadap Beban Aksial Terfaktor

Menurut SNI 2847:2019 Pasal 22.4.2.2, kapasitas beban aksial kolom tidak boleh kurang dari beban aksial terfaktor hasil analisa struktur.

$$\phi P_n = \phi 0,80 \times (0,85 f'c(A_g - A_{st}) + fy A_{st})$$

Dimana:

$$P_u = 9977,512 \text{ kN}$$

$$\Phi = 0,65$$

$$A_g = 900 \times 900 = 810000 \text{ mm}^2$$

$$A_{st} = 24 \times D25 = 11780,97 \text{ mm}^2$$

Sehingga:

$$\phi P_n = 14921,412 \text{ kN} > P_u = 9977,512 \text{ kN}$$

Rekapitulasi perhitungan kontrol kapasitas beban aksial kolom tertera pada **Tabel 4.59**.

Tabel 4. 59 Kontrol Kapasitas Beban Aksial

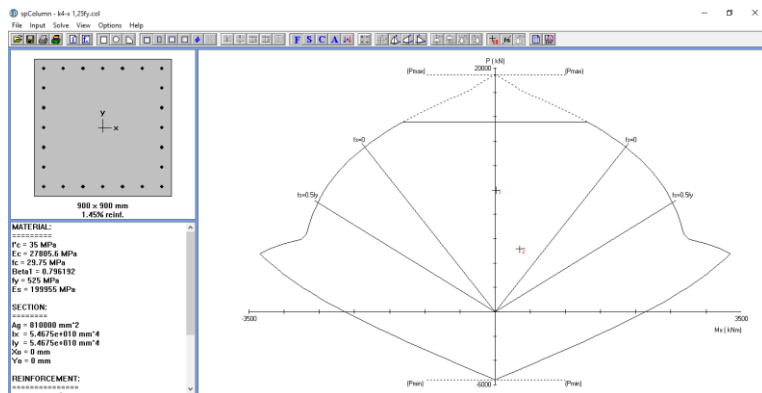
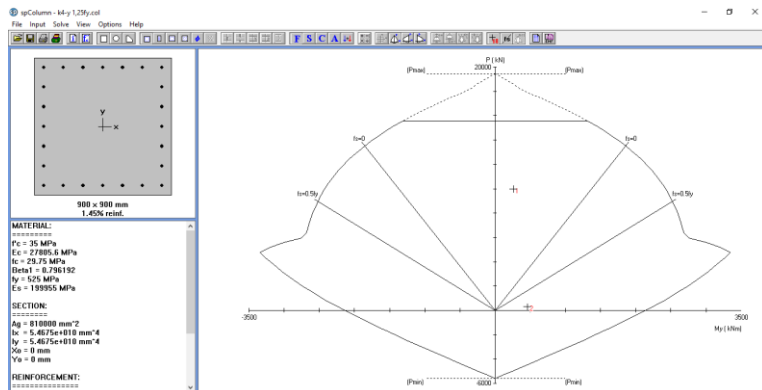
Kolom	Kontrol Kapasitas Beban Aksial				
	A _g	A _{st}	ϕP_n	P _u	Ket
	mm ²	mm ²	kN	kN	
K1	250000	7853.982	5461.308	1748.934	OK
K2	360000	7853.982	7163.008	3637.272	OK
K3	562500	9817.477	10694.14	5760.832	OK
K4	810000	11780.97	14921.41	9977.521	OK

4.5.2.6. Kontrol Gaya Tekan Terhadap Gaya Geser Rencana

Gaya geser rencana, V_e, untuk menentukan kebutuhan tulangan geser kolom menurut SNI 2847:2019 pasal 18.6.5.1.

$$f_s = 1,25 \times fy = 1,25 \times 420 = 525 \text{ MPa}$$

Diagram interaksi P-M kolom serta nilai M_{pr} berturut-turut ditunjukkan pada **Gambar 4.84, 4.85, dan 4.86**.

Gambar 4. 84 Diagram P-M Kolom arah X dengan $f_s = 1,25f_y$ Gambar 4. 85 Diagram P-M Kolom arah Y dengan $f_s = 1,25f_y$

Control Points:							
Bending about	Axial Load P kN	X-Moment kNm	Y-Moment NA depth kNm	Dt depth mm	eps_t	Phi	
X @ Max compression	19456.8	0.00	0.00	6711	038	-0.00263	0.650
@ Allowable comp.	15565.4	1311.79	0.00	964	038	-0.00039	0.650
@ fs = 0.0	13521.3	1853.19	0.00	038	038	0.00000	0.650
@ fs = 0.5*f_y	8971.2	2518.74	0.00	583	038	0.00131	0.650
@ Balanced point	6049.5	2695.62	0.00	447	038	0.00263	0.650
@ Tension control	4823.9	3350.53	0.00	314	038	0.00500	0.900
@ Pure bending	0.0	2138.18	0.00	142	038	0.01472	0.900
@ Max tension	-5567.9	-0.00	-0.00	0	038	9.99999	0.900

Gambar 4. 86 Output SpColumn (setelah Mpr)

$$\begin{aligned}
 l_u &= 5000 \text{ mm} - 700 \text{ mm} = 4300 \text{ mm} = 4,3 \text{ m} \\
 M_{pr} &= 3350,53 \text{ kNm} \\
 V_e &= \frac{2 \times M_{pr}}{l_u} = \frac{2 \times 3350,53}{4,3} = 1558,39 \text{ kN} > V_u = 161 \text{ kN} \text{ (OK)}
 \end{aligned}$$

Tabel 4. 60 Kontrol Gaya Tekan terhadap Gaya Geser

Kolom	Kontrol Gaya Tekan Terhadap Gaya Geser						Ket
	M _{pr x}	M _{pr y}	l _u	V _{e x}	V _{e y}	V _u	
	kNm	kNm	m	kN	kN	kN	
K1	727.85	727.85	2.5	582.28	582.28	209.36	OK
K2	1105.08	1105.08	2.5	884.06	884.06	219.04	OK
K3	2034.83	2034.83	2.5	1627.86	1627.86	239.36	OK
K4	3350.53	3350.53	4.3	1558.39	1558.39	161.00	OK

4.5.2.7. Persyaratan “Strong Column-Weak Beam”

Sesuai dengan filosofi desain kapasitas, maka SNI 2847:2019 Pasal 18.7.3.2 mensyaratkan bahwa:

$$\Sigma M_{nc} \geq (1,2) \Sigma M_{nb}$$

Di mana ΣM_{nc} adalah momen kapasitas kolom dan ΣM_{nb} merupakan momen kapasitas balok. Perlu dipahami bahwa M_{nc} harus dicari dari gaya aksial terfaktor yang menghasilkan kuat lentur terendah, sesuai dengan arah gempa yang ditinjau yang dipakai untuk memeriksa syarat *strong column weak beam*. Arah momen yang terjadi diilustrasikan pada **Gambar 4.87**.

Setelah kita dapatkan jumlah tulangan untuk kolom, maka selanjutnya adalah mengontrol apakah kapasitas kolom tersebut sudah memenuhi persyaratan *strong column weak beam*. Berdasarkan hasil analisa dengan menggunakan program bantu SpColumn diperoleh nilai momen nominal kolom untuk arah X dan arah Y, untuk momen nominal balok nilai diambil berdasarkan perhitungan sebelumnya.

$$\Phi M_{nc} \text{ arah x} = 2305,76 \text{ kNm} \text{ (SpColumn)}$$

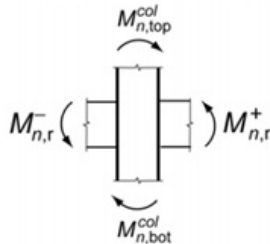
$$\Phi M_{nc} \text{ arah y} = 1859,87 \text{ kNm} \text{ (SpColumn)}$$

$$M_{nb} 1 \text{ atas (Arah X)} = 599,109 \text{ kNm}$$

$$M_{nb} 2 \text{ bawah (Arah X)} = 370,181 \text{ kNm}$$

$$M_{nb} 1 \text{ atas (Arah Y)} = 599,109 \text{ kNm}$$

$$M_{nb} \text{ 2 bawah (Arah Y)} = 306,545 \text{ kNm}$$



Gambar 4. 87 Ilustrasi Arah Momen Nominal

$$\Sigma M_{nc} \geq 1,2 \Sigma M_{nb} \text{ (Arah X)}$$

$$2 \times 2305,76 \geq 1,2(599,109 + 370,181)$$

$$4611,52 \text{ kNm} \geq 1136,147 \text{ kNm (OK)}$$

$$\Sigma M_{nc} \geq 1,2 \Sigma M_{nb} \text{ (Arah Y)}$$

$$2 \times 2305,76 \geq 1,2(599,109 + 306,545)$$

$$3719,74 \text{ kNm} \geq 1086,784 \text{ kNm (OK)}$$

Tabel 4. 61 Kontrol Strong Column Weak Beam Arah X

Kolom	Strong Column Weak Beam (Arah X)						
	M _{nc}	M _{nb} (+)	M _{nb} (-)	M _{nb}	2 M _{nc}	1,2 M _{nb}	Ket
	kNm	kNm	kNm	kNm	kNm	kNm	
K1	585.41	599.1086	370.1806	969.2892	1170.82	1163.147	OK
K2	945.49	599.1086	370.1806	969.2892	1890.98	1163.147	OK
K3	1730.27	599.1086	370.1806	969.2892	3460.54	1163.147	OK
K4	2305.76	599.1086	370.1806	969.2892	4611.52	1163.147	OK

Tabel 4. 62 Kontrol Strong Column Weak Beam Arah Y

Kolom	Strong Column Weak Beam (Arah Y)						
	M _{nc}	M _{nb} (+)	M _{nb} (-)	M _{nb}	2 M _{nc}	1,2 M _{nb}	Ket
	kNm	kNm	kNm	kNm	kNm	kNm	
K1	600.62	599.1086	306.5446	905.6532	1201.24	1086.784	OK
K2	1036.55	599.1086	306.5446	905.6532	2073.1	1086.784	OK
K3	1806.19	599.1086	306.5446	905.6532	3612.38	1086.784	OK
K4	1859.87	599.1086	306.5446	905.6532	3719.74	1086.784	OK

4.5.2.8. Perhitungan Tulangan Geser

Menurut SNI 2847:2019 Pasal 18.7.5.1, tulangan transversal harus disediakan sepanjang l_o dari muka *joint* dengan nilai l_o sebagai berikut:

$$l_{o1} = \text{dimensi kolom}$$

$$= 900 \text{ mm}$$

$$l_{o2} = \frac{1}{6} lu$$

$$= 716,667 \text{ mm}$$

$$l_{o3} = 450 \text{ mm}$$

$$l_{opakai} = 900 \text{ mm}$$

- Pemasangan Tulangan di Daerah Sendi Plastis

Menurut SNI 2847:2019 Pasal 18.7.5.3, spasi yang digunakan untuk tulangan geser tidak boleh melebihi berikut:

$$s_{max1} = \frac{1}{4} \text{ dimensi kolom} = \frac{1}{4} 900 = 225 \text{ mm}$$

$$s_{max2} = 6 d_b = 6 \times 25 = 150 \text{ mm}$$

$$100 \leq s_{max3} \leq 150 \text{ mm}$$

$$Spakai = 100 \text{ mm}$$

Penentuan nilai luasan tulangan minimum untuk tulangan transversal diatur dalam SNI 2847:2019 Pasal 18.10.6.4.

$$b_{c1} = b_{c2} = \text{Jarak terjauh antar tulangan longitudinal}$$

$$= 900 - 2(50)$$

$$= 800 \text{ mm}$$

$$A_{ch} = b_{c1} \times b_{c2}$$

$$= 640.000 \text{ mm}^2$$

Nilai $A_{sh\ min}$ sesuai SNI 2847:2019 Pasal 18.10.6.4 diambil terbesar dari:

$$A_{sh1} = 0,3 \left(\frac{A_g}{A_{ch}} - 1 \right) \frac{f'c}{fyt} sb_c$$

$$= 531,25 \text{ mm}^2$$

$$A_{sh2} = 0,09 \frac{f'c}{fyt} sb_c$$

$$= 600 \text{ mm}^2$$

$$A_{sh\ pakai} = 600 \text{ mm}^2$$

$$\begin{aligned}
 A_{sh tul.} &= 0,25\pi(16)^2 \\
 &= 201,06 \text{ mm}^2 \\
 n_{pakai} &= \frac{A_{sh min}}{A_{sh tul}} = \frac{600}{201,06} = 2,98 \approx 4 \text{ buah}
 \end{aligned}$$

∴ Maka digunakan tulangan geser 4D16-100 mm pada sepanjang daerah sendi plastis

- Pemasangan Tulangan di Luar Daerah Sendi Plastis

Berdasarkan SNI 2847:2019 Pasal 18.10.7.4, sisa panjang kolom di luar sendi plastis tetap harus dipasang tulangan transversal dengan tidak lebih dari:

$$S_{max1} = 6 d_b = 6 \times 25 = 150 \text{ mm}$$

$$S_{max2} = 150 \text{ mm}$$

$$S_{pakai} = 150 \text{ mm}$$

∴ Maka digunakan tulangan geser 4D16-150 mm diluar daerah sendi plastis

Rekapitulasi perhitungan tulangan geser kolom tertera pada **Tabel 4.63** dan **4.64**.

Tabel 4. 63 Perhitungan Tulangan Geser pada Sendi Plastis

Kolom	Perhitungan Tulangan Geser										
	Sendi Plastis				B _c	A _c	A _{sh min 1}	A _{sh min 2}	A _{sh min}	Jumlah kaki butuh	Jumlah kaki pakai
	S _{max1}	S _{max2}	S _{max3}	S _{pakai}							
mm	mm	mm	mm	mm	mm	mm ²	mm ²	mm ²	mm ²	buah	buah
K1	125	150	150	125	400	160000	703.13	375	703.13	3.50	4
K2	150	150	150	100	500	250000	550	375	550	2.74	4
K3	187.5	150	150	100	650	422500	538.46	487.5	538.46	2.68	4
K4	225	150	150	100	800	640000	531.25	600	600	2.98	4

Tabel 4. 64 Perhitungan Tulangan Geser diluar Sendi Plastis

Kolom	Perhitungan Tulangan Geser				
	Diluar Sendi Plastis			Jumlah kaki pakai	
	S _{max1}	S _{max3}	S _{pakai}		
mm	mm	mm	mm	buah	
K1	150	150	150	4	
K2	150	150	150	4	
K3	150	150	150	4	
K4	150	150	150	4	

4.5.2.9. Kontrol Kebutuhan Torsi

$$T_u = 24,662 \text{ kNm}$$

$$N_u = 9977,521 \text{ kNm}$$

$$\begin{aligned}
 A_{cp} &= 900 \times 900 \\
 &= 810.000 \text{ mm}^2 \\
 P_{cp} &= 2(900+900) \\
 &= 3600 \text{ mm}
 \end{aligned}$$

Menurut SNI 2847:2019 Pasal 22.7.4.1, pengaruh torsi dapat diabaikan jika momen torsi terfaktor T_u kurang dari persamaan berikut:

$$\begin{aligned}
 T_u &\leq \Phi T_{cr} \\
 T_{cr} &= 0,083\lambda\sqrt{f'c}\left(\frac{A_{cp}}{P_{cp}}\right)^2 \sqrt{1 + \frac{N_u}{0,33A_g\lambda\sqrt{f'c}}} \\
 &= 0,083(1)\sqrt{35}\left(\frac{810000^2}{3600}\right) \sqrt{1 + \frac{9977,521}{0,33(810000)(1)\sqrt{35}}} \\
 &= 89,773 \text{ kNm} \\
 \Phi T_{cr} &= 67,33 \text{ kNm} \\
 \Phi T_{cr} &\geq T_u = 24,662 \text{ kNm}
 \end{aligned}$$

Maka tulangan torsi diabaikan.

Tabel 4. 65 Kontrol Kebutuhan Torsi

Kolom	Kebutuhan Torsi						Ket
	N _u	A _g	A _{cp}	P _{cp}	ΦT_{cr}	T _u	
	kN	mm ²	mm ²	mm	kNm	kNm	
K1	1748.934	250000	250000	2000	15.3723	2.6918	diabaikan
K2	3637.272	360000	360000	2400	26.58439	5.4911	diabaikan
K3	5760.832	562500	562500	3000	51.92447	12.8512	diabaikan
K4	9977.521	810000	810000	3600	89.77293	24.6619	diabaikan

4.5.2.10. Rekapitulasi Perencanaan Struktur Kolom

Berikut merupakan rekapitulasi perencanaan struktur kolom yang tertera pada **Tabel 4.66**.

Tabel 4. 66 Rekapitulasi Perencanaan Struktur Kolom

Tipe	K1		K2	
Kondisi	Tumpuan	Lapangan	Tumpuan	Lapangan
Penampang	50x50 cm		60x60 cm	
Tulangan	16 D25		16 D25	
Sengkang	4D16-125 mm	4D16-150 mm	4D16-100 mm	4D16-150 mm

Tipe	K3		K4	
Kondisi	Tumpuan	Lapangan	Tumpuan	Lapangan
Penampang	75x75 cm		90x90 cm	
Tulangan	20 D25		24 D25	
Sengkang	4D16-100 mm	4D16-150 mm	4D16-100 mm	4D16-150 mm

NAMA KOLOM	KOLOM 1 (K1)	KOLOM 2 (K2)
LOKASI	LANTAI 16-20	LANTAI 11-15
SKETSA		
PENAMPANG	500 mm x 500 mm	600 mm x 600 mm
DECKING	50 mm	50 mm
TUL. UTAMA	16 D25	16 D25
SENGKANG TUMP.	4D 16 - 125 mm	4D 16 - 100 mm
SENGKANG LAP.	4D 16 - 150 mm	4D 16 - 150 mm
NAMA KOLOM	KOLOM 3 (K3)	KOLOM 4 (K4)
LOKASI	LANTAI 6-10	BASEMENT-LANTAI 5
SKETSA		
PENAMPANG	750 mm x 700 mm	900 mm x 900 mm
DECKING	50 mm	50 mm
TUL. UTAMA	20 D25	24 D25
SENGKANG TUMP.	4D 16 - 100 mm	4D 16 - 100 mm
SENGKANG LAP.	4D 16 - 150 mm	4D 16 - 150 mm

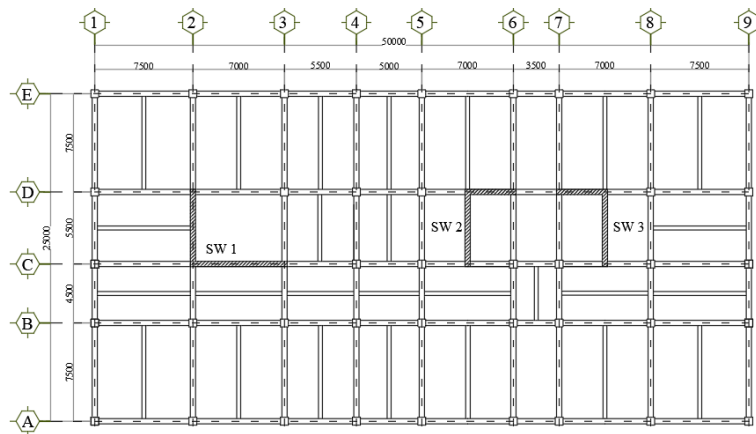
4.5.3. Perencanaan Struktur Dinding Geser

Seluruh dinding geser menahan 75% gaya gempa yang disalurkan ke struktur bangunan. Perencanaan dinding geser dibedakan menjadi Dinding Geser SW1, SW2, dan SW3. Pada perencanaan dinding geser, akan dicontohkan perhitungan dinding geser SW1.

4.5.3.1. Data Perencanaan Dinding Geser

Dinding geser yang akan direncanakan (SW1) memiliki data sebagai berikut:

Tebal dinding	= 32 cm
Tebal <i>decking</i>	= 40 mm
D longitudinal	= 25 mm
D transversal	= 16 mm
d'	= $320 - 40 - 16 - 25/2 = 251,5$ mm
Mutu tulangan (<i>f_y</i>)	= 420 MPa
Mutu beton (<i>f'c</i>)	= 35 Mpa
Tinggi lantai	= 500 cm (maximum)
Lebar dinding	= 700 cm (x) dan 550 cm (y)



Gambar 4. 88 Denah *Shearwall*

Data perencanaan shearwall tertera pada **Tabel 4.67**.

Tabel 4. 67 Data Perencanaan *Shearwall*

Shearwall	t (cm)	Clear cover	Lebar X (cm)	Lebar Y (cm)	Lebar Total (cm)	D _{tul} mm
SW 1	32	40	700	550	1250	25
SW 2	32	40	350	550	900	25
SW 3	32	40	350	550	900	25

Berdasarkan hasil perhitungan ETABS didapat gaya aksial dan momen yang bekerja pada shearwall, yaitu :

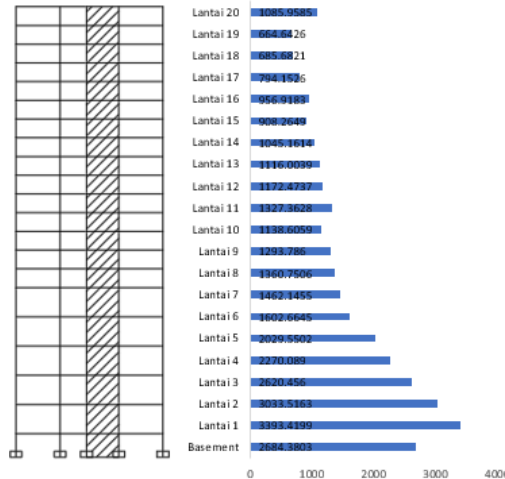
$$\begin{aligned}
 P_u &= 32917,957 \text{ kN} \\
 M_{u x} &= 67753,119 \text{ kNm} \\
 M_{u y} &= 41978,112 \text{ kNm} \\
 V_{u x} &= 3393,42 \text{ kN} \\
 V_{u y} &= 2055,634 \text{ kN}
 \end{aligned}$$

Diagram gaya geser SW 1 diilustrasikan pada **Gambar 4.89** dan **4.90**. Serta untuk diagram gaya momen diilustrasikan pada **Gambar 4.91** dan **4.92**. Pada **Tabel 4.68** merupakan rekapitulasi gaya-gaya dalam yang terjadi pada seluruh tipe shearwall.

Tabel 4. 68 Gaya-gaya Dalam pada *Shearwall*

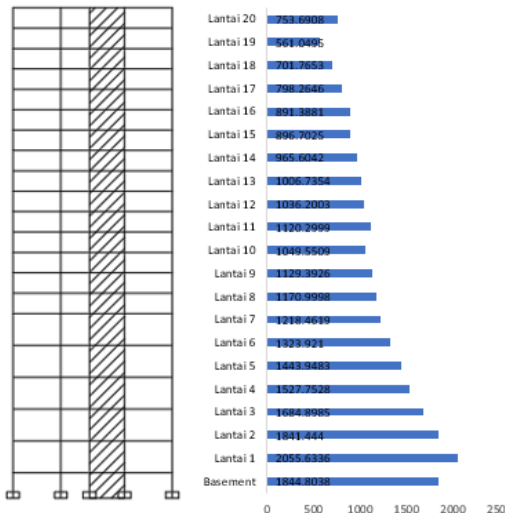
Shearwall	P	V _x	V _y	M _{ux}	M _{uy}
	kN	kN	kN	kN	kN
SW 1	32917.96	3393.42	2055.63	67753.12	41978.11
SW 2	19064.39	2194.22	1047.39	41898.49	17595.51
SW 3	22806.93	2037.43	1021.28	35556.49	12958.36

Diagram Geser Shearwall Arah X



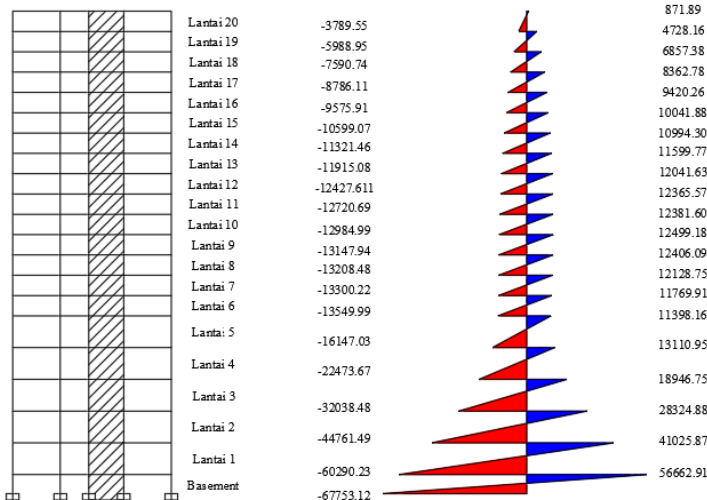
Gambar 4. 89 Diagram Geser Shearwall (SW 1) Arah X

Diagram Geser Shearwall Arah Y



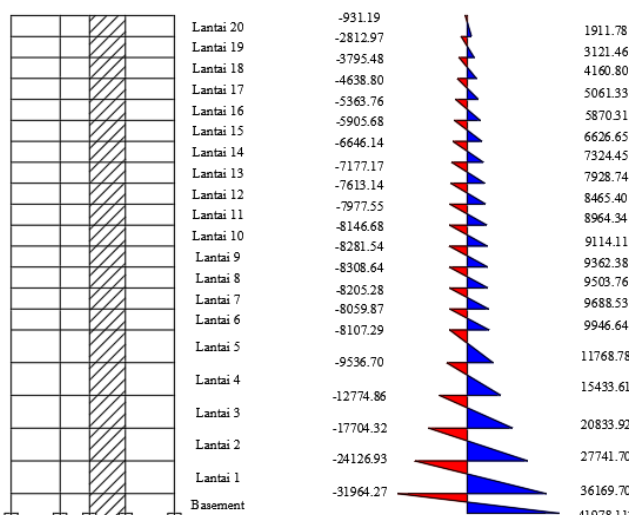
Gambar 4. 90 Diagram Geser Shearwall (SW 1) Arah Y

Diagram Momen Shearwall Arah X



Gambar 4. 91 Diagram Momen Shearwall (SW 1) Arah X

Diagram Momen Shearwall Arah Y



Gambar 4. 92 Diagram Momen Shearwall (SW 1) Arah Y

4.5.3.2. Kontrol Ketebalan Minimum Dinding Geser

Menurut SNI 2847:2019 Pasal 11.3.1.1, ketebalan dinding tidak boleh kurang dari:

$$h_{\min 1} = \frac{1}{25} h_w = \frac{5000}{25} = 200 \text{ mm}$$

$$h_{\min 2} = \frac{1}{25} l_w = \frac{7000}{25} = 280 \text{ mm}$$

$$h_{\min 3} = 100 \text{ mm}$$

$$h_{\text{pakai}} = 320 \text{ mm} \geq h_{\min} (\text{OK})$$

Jadi, ketebalan *shear wall* 320 mm sudah memenuhi persyaratan.

4.5.3.3. Kontrol Dimensi Penampang Terhadap Gaya Geser

Menurut SNI 2847:2019 Pasal 18.10.4.4, kombinasi V_n tidak boleh diambil lebih besar dari syarat berikut:

$$V_n \leq 0,83 A_{cw} \sqrt{f'c}$$

$$V_n = \frac{V_u}{\phi} = \frac{3393,42}{0,75} = 4525,56 \text{ kN}$$

$$A_{cw} = l_w \times h = 7000 \times 320 \\ = 2240000 \text{ mm}^2$$

$$V_n \leq 0,83 A_{cw} \sqrt{f'c}$$

$$V_n \leq 0,83 \times 2240000 \sqrt{35} \times 10^{-3}$$

$$4525,56 \text{ kN} \leq 10999,176 \text{ kN} \dots (\text{OK})$$

Tabel 4. 69 Kontrol Penampang terhadap Gaya Geser

Shearwall		V_n	$\phi 0,83 A_{cv} f'c^{0,5}$	Cek
		kN		
SW 1	X	4524.56	10999.18	OK
	Y	2740.84	8642.21	OK
SW 2	X	2925.63	5499.59	OK
	Y	1396.52	8642.21	OK
SW 3	X	2716.58	5499.59	OK
	Y	1361.71	8642.21	OK

4.5.3.4. Penulangan Geser Shearwall

Terdapat dua kondisi berdasarkan SNI 2847:2019 untuk menentukan jumlah lapisan tulangan pada dinding, yaitu:

- a. Berdasarkan SNI 2847:2019 Pasal 18.10.2.2 menyebutkan bahwa sedikitnya harus dipasang dua lapis tulangan pada dinding apabila gaya geser terfaktor melebihi gaya geser nominal

$$V_u < 0.17 \times A_{cv} \times \sqrt{f'c}$$

$$3393,42 < 0.17 \times 320 \times 7000 \times \sqrt{35} \times 10^{-3}$$

$$3393,42 \text{ kN} > 2252,84 \text{ kN} \rightarrow 2 \text{ lapis tulangan}$$

- b. Berdasarkan SNI 2847:2019 Pasal 11.7.2.3 menyebutkan bahwa pada dinding yang mempunyai ketebalan lebih besar dari 250 mm, kecuali dinding ruang bawah tanah harus dipasang dua lapis tulangan.

$$320 \text{ mm} > 250 \text{ mm} \rightarrow 2 \text{ lapis tulangan}$$

Sehingga, berdasarkan peraturan SNI 2847:2019, penulangan pada dinding geser menggunakan 2 lapis tulangan.

Menurut SNI 2847:2019 Pasal 18.12.9.1, kuat geser dinding struktural dikatakan mencukupi apabila memenuhi kondisi berikut:

$$V_u < \phi V_n$$

$$V_n = A_{cv}(0,17\sqrt{f'c} + \rho_t f_y)$$

Dinding geser direncanakan menggunakan tulangan geser 2D16 ($A_s = 402,12 \text{ mm}^2$) dengan $s = 100 \text{ mm}$ pada arah vertikal dan horizontal.

$$\rho_{t \min} = 0,0025 \text{ (SNI 2847:2019 Pasal 18.10.2.1)}$$

$$\rho_t = \frac{A_s}{d \times s} = \frac{402,12}{251,5 \times 100} = 0,016 > \rho_{t \ min}$$

$$V_u < \phi \times 320 \times 7000 (0,17\sqrt{35} + 0,016 \times 420)$$

$$3393,42 \text{ kN} < 12971,485 \text{ kN... (OK)}$$

4.5.3.5. Kontrol Rasio Tulangan Vertikal dan Horizontal

- Menurut SNI 2847:2019 Pasal 11.6.1 : Rasio tulangan Vertikal (ρ_l) tidak boleh kurang dari 0,0025
- Menurut SNI 2847:2013 Pasal 11.6.2 : Rasio tulangan horizontal (ρ_t) tidak boleh kurang dari 0,0025

Dipakai tulangan vertikal dan horizontal 2D25 ($A_s = 490,87 \text{ mm}^2$) dengan rasio tulangan :

$$\rho_n = \frac{A_s}{d \times s} = \frac{2 \times \frac{1}{4} \pi \times 25^2}{251,5 \times 100} = 0,0195 > 0,0025$$

4.5.3.6. Kontrol Spasi Tulangan Vertikal dan Horizontal

- Menurut SNI 2847:2019 Pasal 18.10.2.1, spasi tulangan transversal dan longitudinal tidak boleh lebih dari 450 mm:

$$S_{\text{transversal}} = 100 \text{ mm} < 450 \text{ mm (OK)}$$

$$S_{\text{longitudinal}} = 100 \text{ mm} < 450 \text{ mm (OK)}$$

- Menurut SNI 2847:2019 Pasal 11.7.3.1, spasi tulangan horizontal mensyaratkan:

$$S_{\text{horizontal}} < 3h = 3(320)$$

$$< 960 \text{ mm}$$

$$S_{\text{horizontal}} < 450 \text{ mm}$$

$$S_{\text{horizontal}} < \frac{l_w}{5} = \frac{7000}{5} = 2333.33 \text{ mm}$$

$$S_{\text{horizontal}} = 100 \text{ mm... (OK)}$$

- Menurut SNI 2847:2019 Pasal 11.7.2.1, spasi tulangan vertikal mensyaratkan:

$$S_{\text{vertikal}} < 3h = 3(320)$$

$$< 960 \text{ mm}$$

$$S_{\text{vertikal}} < 450 \text{ mm}$$

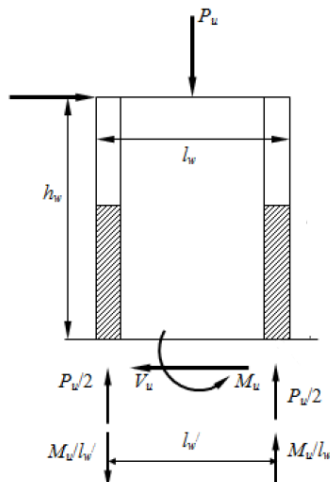
$$S_{\text{vertikal}} < \frac{l_w}{5} = \frac{7000}{5} = 2333.33 \text{ mm}$$

$$S_{\text{vertikal}} = 100 \text{ mm... (OK)}$$

4.5.3.7. Kontrol Komponen Batas

a. Pendekatan Tegangan

Menurut SNI 2847:2019 Pasal 18.10.6.3, komponen batas diperlukan apabila kombinasi momen dan gaya aksial terfaktor yang bekerja pada *shearwall* lebih dari $0,2f_c$. Pendekatan ini diilustrasikan sesuai pada **Gambar 4.93**.



Gambar 4. 93 Ilustrasi Pendekatan Berbasis Tegangan

Tabel 4. 70 Rekapitulasi Titik Berat dan Inersia

Shearwall	Titik Berat X	Titik Berat Y	$I_X (\text{mm}^4)$	$I_X (\text{mm}^4)$
SW 1	2079,54	1329,54	10,929,900,000,000	19,788,100,000,000
SW 2	801,13	3698,87	8,770,680,000,000	2,847,230,000,000
SW 3	2698,87	3698,87	8,770,680,000,000	2,847,230,000,000

$$x_a = 2079,54 \text{ mm}$$

$$x_b = 4920,46 \text{ mm}$$

$$I_y = 1,9788 \times 10^{13} \text{ mm}^4$$

Untuk ujung sisi kiri:

$$\frac{My \times x_a + \frac{Pu}{Ac}}{I_y} > 0,2 f_c$$

$$\frac{41978,11 \times 10^6 \times 2079,54}{1,9788 \times 10^{13}} + \frac{32917,96 \times 10^3}{320 \times 7000} > 0,2 \quad (35)$$

$$12,86 \text{ MPa} > 7 \text{ MPa}$$

(Butuh komponen batas)

Untuk ujung sisi kanan:

$$\frac{My \times xb}{I_y} + \frac{Pu}{Ac} > 0,2 f_c$$

$$\frac{41978,11 \times 10^6 \times 4920,46}{1,9788 \times 10^{13}} + \frac{32917,96 \times 10^3}{320 \times 7000} > 0,2 (35)$$

$$18,88 \text{ MPa} > 7 \text{ MPa}$$

(Butuh komponen batas)

Rekapitulasi perhitungan kebutuhan komponen batas tertera pada **Tabel 4.71** dan **4.72**.

Tabel 4. 71 Kontrol Komponen Batas Arah X

Shearwall		Pendekatan Tegangan	Kontrol
		$M_u y/I + P_u/A_c$	
SW 1	Kiri	12.857	Butuh Komponen Batas
	Kanan	18.884	Butuh Komponen Batas
SW 2	Kiri	29.722	Butuh Komponen Batas
	Kanan	23.542	Butuh Komponen Batas
SW 3	Kiri	25.045	Butuh Komponen Batas
	Kanan	11.857	Butuh Komponen Batas

Tabel 4. 72 Kontrol Komponen Batas Arah Y

Shearwall		Pendekatan Tegangan	Kontrol
		$M_u y/I + P_u/A_c$	
SW 1	Atas	35.057	Butuh Komponen Batas
	Bawah	15.928	Butuh Komponen Batas
SW 2	Atas	15.468	Butuh Komponen Batas
	Bawah	24.534	Butuh Komponen Batas
SW 3	Atas	15.513	Butuh Komponen Batas
	Bawah	23.206	Butuh Komponen Batas

b. Pendekatan Perpindahan

Berdasarkan SNI 284:2019 pasal 18.10.6.2, penentuan elemen pembatas khusus berdasarkan pendekatan perpindahan (*displacement method*) dimana elemen pembatas diperlukan apabila:

$$c \geq \frac{l_w}{600 \left(\frac{1,5 \delta_u}{h_w} \right)} ; \frac{\delta_u}{h_w} > 0,005$$

Nilai δ_u adalah nilai *displacement* pada lantai tertinggi pada masing-masing arah.

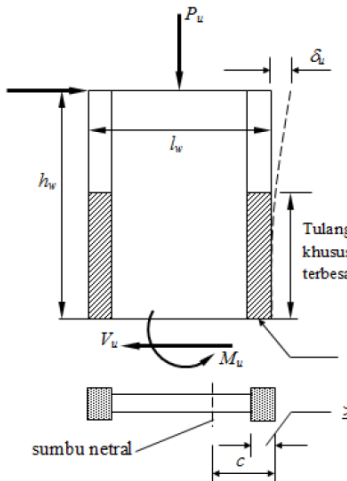
δ_u (arah x) = 35,569 mm (dari perhitungan simpangan)

$$\frac{\delta_u}{h_w} = \frac{35,569}{5000} = 0,0071 > 0,005$$

$$\frac{\delta_u}{h_w} \text{ pakai } = 0,0071$$

$$c_{\text{spColumn}} > \frac{7000}{600(1,5 \times 0,0071)} = 1093,35$$

Pendekatan ini diilustrasikan sesuai pada **Gambar 4.94.**



Gambar 4. 94 Ilustrasi Pendekatan Berbasis Perpindahan

Untuk ujung sisi kiri:

Berdasarkan *output* spColumn, diperoleh nilai $c = 364$ mm.
 $364 \text{ mm} < 1093,35$ (**Tidak butuh komponen batas**)

Untuk ujung sisi kanan:

Berdasarkan *output* spColumn, diperoleh nilai $c = 5711$ mm.
 $5711 \text{ mm} > 1093,35$ (**Butuh komponen batas**)

Rekapitulasi perhitungan kebutuhan komponen batas tertera pada **Tabel 4.71** dan **4.72**.

Tabel 4. 73 Kontrol Pendekatan Perpindahan Arah X

Shearwall		Pendekatan Perpindahan			Kontrol
		δ/h_w pakai	c	c sp column	
SW 1	Kiri	0.0071	1093.35	364	Tidak Perlu
	Kanan	0.0071	1093.35	5711	Butuh Komponen Batas
SW 2	Kiri	0.0071	546.68	214	Tidak Perlu
	Kanan	0.0071	546.68	2567	Butuh Komponen Batas
SW 3	Kiri	0.0071	546.68	3403	Butuh Komponen Batas
	Kanan	0.0071	546.68	225	Tidak Perlu

Tabel 4. 74 Kontrol Pendekatan Perpindahan Arah Y

Shearwall		Pendekatan Perpindahan			Kontrol
		δ/h_w pakai	c	c sp column	
SW 1	Atas	0.005	1222.22	5157	Butuh Komponen Batas
	Bawah	0.005	1222.22	211	Tidak Perlu
SW 2	Atas	0.005	1222.22	389	Tidak Perlu
	Bawah	0.005	1222.22	3793	Butuh Komponen Batas
SW 3	Atas	0.005	1222.22	501	Tidak Perlu
	Bawah	0.005	1222.22	4010	Butuh Komponen Batas

Berdasarkan 2 syarat diatas, mengharuskan penggunaan komponen batas, maka berdasarkan SNI 2847:2019 Pasal 18.10.6.4, komponen batas harus dipasang horizontal dari sisi serat tekan terluar tidak kurang dari pada $(c - 0,1l_w)$ dan $c/2$.

Untuk ujung sisi kiri:

$$\begin{aligned}
 - c - 0,1 l_w &= 364 - 0,1 (7000) \\
 &= -336 \text{ mm} \\
 - \frac{c}{2} &= \frac{364}{2} \\
 &= 182 \text{ mm}
 \end{aligned}$$

Sehingga digunakan jarak komponen batas sebesar 350 mm.

Untuk ujung sisi kanan:

$$- c - 0,1 l_w = 5711 - 0,1 (7000)$$

$$\begin{aligned}
 &= 5011 \text{ mm} \\
 - \frac{c}{2} &= \frac{5711}{2} \\
 &= 2855,5 \text{ mm}
 \end{aligned}$$

Sehingga digunakan jarak komponen batas sebesar 5100 mm.

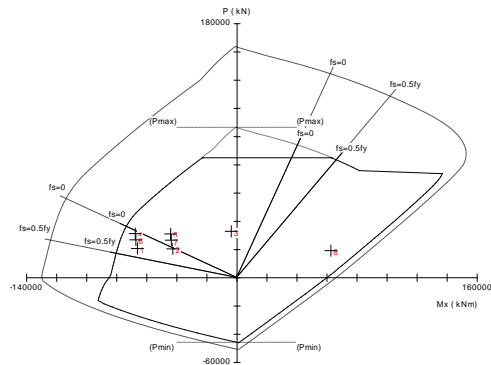
Rekapitulasi panjang kebutuhan elemen batas tertera pada **Tabel 4.75**.

Tabel 4. 75 Panjang Elemen Batas

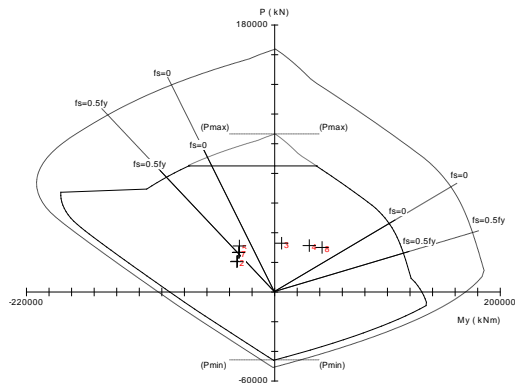
Shearwall	Section	Panjang Elemen Batas			
		Syarat 1	Syarat 2	Pakai	Panjang Elemen
SW 1	Kiri	-336	182	336	350
	Kanan	5011	2855.5	5011	5100
	Atas	4607	2578.5	4607	4700
	Bawah	-339	105.5	339	350
SW 2	Kiri	-136	107	136	150
	Kanan	2217	1283.5	2217	2300
	Atas	-161	194.5	194.5	250
	Bawah	3243	1896.5	3243	3300
SW 3	Kiri	3053	1701.5	3053	3100
	Kanan	-125	112.5	125	150
	Atas	-49	250.5	250.5	300
	Bawah	3460	2005	3460	3500

4.5.3.8. Kontrol Tulangan Longitudinal Shearwall

Dari beban aksial dan momen yang terjadi, kemudian dilakukan penulangan *shearwall* menggunakan program bantu SpColumn, sehingga diperoleh diagram interaksi untuk SW 1 yang tertera pada **Gambar 4.95** dan **4.96**:



Gambar 4. 95 Diagram P-M Shearwall (SW 1) Arah X



Gambar 4. 96 Diagram P-M Shearwall (SW 1) Arah Y

Sehingga diperoleh kapasitas momen untuk masing-masing arah pada dinding geser yang tertera pada **Tabel 4.76** dan **4.77**:

Tabel 4. 76 Kontrol Tulangan Longitudinal Arah X

Pengecekan dengan SpColumn Arah X			
Shearwall	M _{ux}	φM _{nx}	Cek
	(kNm)	(kNm)	
SW 1	67753.12	75358.44	OK
SW 2	41898.49	66385.05	OK
SW 3	35556.49	65332.1	OK

Tabel 4. 77 Kontrol Tulangan Longitudinal Arah Y

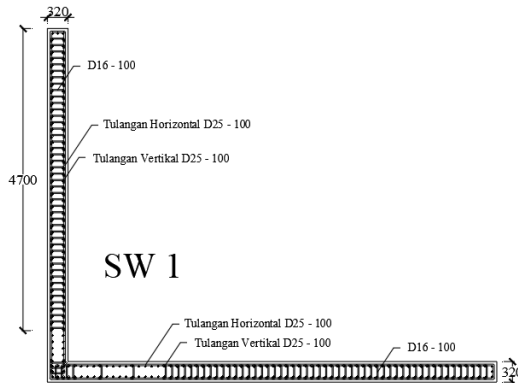
Pengecekan dengan SpColumn Arah Y			
Shearwall	M _{uy}	φM _{ny}	Cek
	(kNm)	(kNm)	
SW 1	41978.11	110778.8	OK
SW 2	17595.51	33552.35	OK
SW 3	12958.36	31163.79	OK

4.5.3.9. Rekapitulasi Perencanaan Dinding Geser

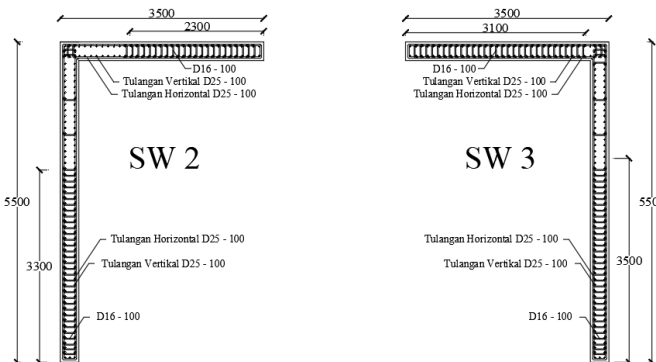
Berdasarkan perhitungan diatas, berikut merupakan hasil rekapitulasi perencanaan dinding geser yang tertera pada **Tabel 4.78**. Serta detail penulangan shearwall yang diilustrasikan pada **Gambar 4.97** dan **4.98**.

Tabel 4. 78 Rekapitulasi Penulangan *Shearwall*

Rekapitulasi Penulangan			
Shearwall	Longitudinal X	Longitudinal Y	Transversal
SW 1	D25 - 100	D25 - 100	D16 - 100
SW 2	D25 - 100	D25 - 100	D16 - 100
SW 3	D25 - 100	D25 - 100	D16 - 100



Gambar 4. 97 Detail Penulangan SW 1



Gambar 4. 98 Detail Penulangan SW 2 dan SW 3

4.6. Perencanaan Sambungan

4.6.1. Umum

Sambungan berfungsi sebagai penyalur gaya-gaya yang dipikul oleh elemen struktur ke elemen struktur yang lainnya. Gaya-gaya tersebut untuk selanjutnya diteruskan ke pondasi. Selain itu desain sambungan dibuat untuk menciptakan kestabilan. Suatu sambungan diharapkan dapat mentransfer beberapa gaya secara bersamaan.

Sambungan basah relatif mudah dalam pelaksanaannya jika dibandingkan dengan sambungan kering (*non topping*) seperti *mechanical connection* dan *welding connection* yang cukup rumit.

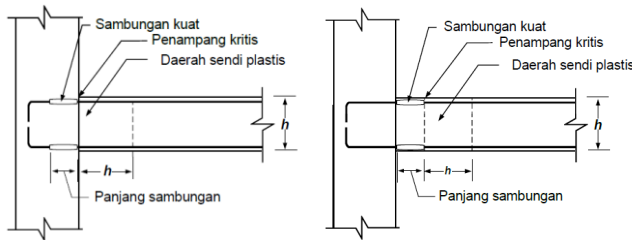
Untuk sambungan basah dalam daerah *joint*, diberikan tulangan yang dihitung berdasarkan panjang penyaluran dan sambungan lewatan. Selain itu juga dilakukan perhitungan geser friksi yaitu geser beton yang berbeda umurnya antara beton pracetak dengan beton *topping*. Di dalam pelaksanaan biasanya dipakai stud tulangan (*shear connector*) yang berfungsi sebagai penahan geser dan sebagai pengikat antara pelat pracetak dan pelat *topping* agar pelat bersifat secara monolit dalam satu kesatuan integritas struktur.

Sambungan antar elemen beton pracetak tersebut harus mempunyai kekuatan, kekakuan, dan dapat memberikan kebutuhan daktilitas yang disyaratkan sesuai dengan peraturan yang berlaku. Baik sambungan cor in situ maupun sambungan *grouting* sudah banyak dipergunakan sebagai salah satu alternatif pemecahan adalah dalam mendesain konstruksi pracetak yang setara dengan kontruksi cor setempat (*Cast in situ*).

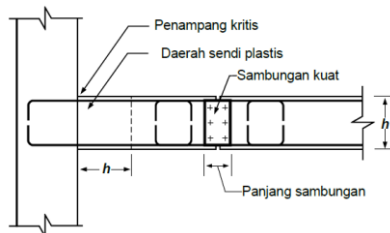
Pada Tugas Akhir ini tidak direncanakan sambungan antar kolom-kolom, karena pekerjaan kolom dilakukan dengan metode cor ditempat.

4.6.2. Konsep Desain Sambungan

Konsep desain sambungan pada perencanaan Gedung Apartemen Arundaya ini berdasarkan dengan detail sambungan yang disyaratkan pada SNI 2849:2019 Pasal 18.9 sebagaimana tertera pada **Gambar 4.99** dan **4.100** berikut:



Gambar 4. 99 Detail Sambungan Balok – Kolom
Sumber: SNI 2847:2019



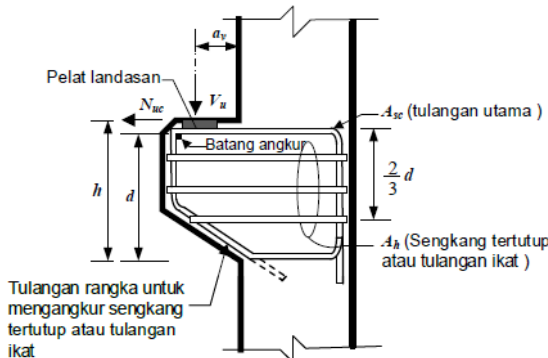
Gambar 4. 100 Detail Sambungan Balok-Balok
Sumber: SNI 2847:2019

Sambungan direncanakan dengan menggunakan produk dari *Peikko Group*. Sambungan antar balok – kolom dan balok – balok anak menggunakan *Modix Coupler* dari produk *Peikko* untuk menyalurkan tulangan antar elemen pracetak. Dan untuk menahan beban balok dan geser friksi digunakan konsol pendek.

4.6.3. Perencanaan Konsol pada Elemen Pracetak

Pada perencanaan sambungan antara balok induk dengan kolom maupun balok induk dengan balok anak, dipergunakan sambungan dengan menggunakan konsol pendek. Balok induk diletakan pada konsol yang berada pada kolom yang kemudian dirangkai menjadi satu kesatuan. Demikian juga antara balok induk dan balok anak, konsol berada pada balok induknya. Perencanaan konsol tersebut mengikuti persyaratan yang diatur

dalam SNI 2847:2019 pasal 16.5. Detail konsol pendek yang digunakan sesuai dengan **Gambar 4.101** berikut:



Gambar 4. 101 Potongan Melintang dan Geometrik Konsol Pendek

Sumber: SNI 2847:2019

a. Data Perencanaan

Dalam perencanaan konsol pendek, akan diberikan contoh perhitungan konsol pada kolom dan balok BI 1 50/70 cm. Berikut merupakan perhitungan konsol pendek pada kolom:

$$V_u = 227,935 \text{ kN} = 227395 \text{ N} \text{ (Hasil ETABS)}$$

Dimensi Balok = 50/70 cm

Dimensi Konsol:

$$bw = 500 \text{ mm}$$

$$h = 350 \text{ mm}$$

$$d = 350 - 40 - 13 - 0,5(16) = 289 \text{ mm}$$

$$a_v = 150 \text{ mm}$$

$$f'_c = 35 \text{ MPa}$$

$$f_y = 420 \text{ MPa}$$

$$D_{\text{longitudinal}} = 16 \text{ mm}$$

$$D_{\text{transversal}} = 13 \text{ mm}$$

$$\text{Clear Cover} = 40 \text{ mm}$$

Persyaratan yang digunakan dalam perencanaan konsol pendek sesuai SNI 2847:2019 Pasal 16.5. Untuk dapat menggunakan pasal tersebut, geometrik konsol serta gaya yang bekerja pada konsol tersebut harus sesuai dengan yang disyaratkan pada SNI 2847:2019 Pasal 16.5.1. Syarat tersebut adalah sebagai berikut:

- $a/d = 150/289 = 0,52 < 1$ (OK)
 - $N_{uc} \leq V_u$
- $$N_{uc} = 0,2 \times 227395 = 45587 \text{ N}$$

b. Menentukan Luasan Tulangan Geser Friksi

Berdasarkan SNI 2847:2019 Pasal 16.5.2.4 untuk beton normal, kuat geser (V_n) tidak boleh diambil lebih besar daripada nilai-nilai berikut:

$$V_n = \frac{V_u}{\phi} = \frac{227,935}{0,75} = 303,91 \text{ kN}$$

$$\begin{aligned} V_{n \max 1} &\leq 0,2 \times f'c \times bw \times d \\ &\leq 0,2 \times 35 \times 500 \times 289 \\ &\leq 1011,5 \text{ kN} \end{aligned}$$

$$\begin{aligned} V_{n \max 2} &\leq (3,3 + 0,08f'c) bw \times d \\ &\leq (3,3 + 0,08(35)) \times 500 \times 289 \\ &\leq 881,45 \text{ kN} \end{aligned}$$

$$\begin{aligned} V_{n \max 3} &\leq 11 \times bw \times d \\ &\leq 11 \times 500 \times 289 \\ &\leq 1589,5 \text{ kN} \end{aligned}$$

$$V_n \leq V_{n \max} \text{ (OK)}$$

$$V_n \text{ pakai} = 303,91 \text{ kN}$$

$$\mu = 1,4 \text{ (SNI 2847:2019 Pasal 22.9.4.2)}$$

$$A_{vf} = \frac{V_n}{f_y \times \mu} = \frac{303,91 \times 1000}{420 \times 1,4} = 516,86 \text{ mm}^2$$

c. Menentukan Luas Tulangan Lentur

Perletakan yang akan digunakan dalam konsol pendek ini adalah sendi-rol yang mengizinkan adanya deformasi arah lateral ataupun horizontal, maka gaya horizontal akibat susut jangka panjang dan deformasi rangka balok tidak boleh terjadi. Maka

sesuai dengan SNI 2847:2019 pasal 16.5.3.1, akan digunakan Nuc minimum sebagai berikut:

$$\begin{aligned} M_u &= V_u \times a_v + N_{uc} (h - d) \\ &= 227,935(1000)(150) + 45587(350 - 289) \\ &= 36971106 \text{ Nmm} \end{aligned}$$

$$m = \frac{f_y}{0,85 \times f'c} = \frac{420}{0,85 \times 35} = 14,118$$

$$R_n = \frac{M_u}{\phi \times b \times d^2} = \frac{36971106}{0,9 \times 500 \times 289^2} = 1,18 \text{ N/mm}^2$$

$$\begin{aligned} \rho_{perlu} &= \frac{1}{m} \left(1 - \sqrt{1 - \frac{2xmxR_n}{f_y}} \right) \\ &= \frac{1}{14,12} \left(1 - \sqrt{1 - \frac{2 \times 14,12 \times 1,18}{420}} \right) \end{aligned}$$

$$= 0,0029 < \rho_{min} = 0,0035$$

$$\rho_{perlu} = 0,0035$$

$$A_{f1} = \frac{M_u}{0,85 \times \phi \times f_y \times d} = \frac{36971106}{0,85 \times 0,75 \times 420 \times 289} = 477,79 \text{ mm}^2$$

$$A_{f2} = \rho \times b \times d = 0,0035 \times 500 \times 289 = 508,85 \text{ mm}^2$$

$$A_{f \text{ pakai}} = 508,85 \text{ mm}^2$$

Tulangan pokok A_s :

$$A_n = \frac{N_{uc}}{\phi f_y} = \frac{45587}{0,75 \times 420} = 144,72 \text{ mm}^2$$

d. Pemilihan Tulangan yang Digunakan

Berdasarkan SNI 2847:2019 Pasal 16.5.5.1 luas tulangan utama A_{sc} diambil yang terbesar dari:

$$\begin{aligned} A_{sc1} &= A_f + A_n = 508,85 + 144,72 \\ &= 653,57 \text{ mm}^2 \end{aligned}$$

$$\begin{aligned} A_{sc2} &= \frac{2}{3} A_{vf} + A_n = \frac{2}{3} 516,86 + 144,72 \\ &= 489,29 \text{ mm}^2 \end{aligned}$$

$$\begin{aligned} A_{sc3} &= 0,04 \frac{f'_c}{f_y} b d = 0,04 \frac{35}{420} 500 \times 289 \\ &= 481,67 \text{ mm}^2 \end{aligned}$$

$$A_{sc \text{ pakai}} = 653,57 \text{ mm}^2$$

∴ Digunakan tulangan utama 4D16 ($A_s = 804,25 \text{ mm}^2$)

Berdasarkan SNI 2847:2019 Pasal 16.5.5.2 luasan tulangan horizontal tertutup diatur sebagai berikut:

$$\begin{aligned} A_h &= 0,5(A_{sc} - A_n) = 0,5(653,57 - 144,72) \\ &= 254,43 \text{ mm}^2 \end{aligned}$$

.: Digunakan tulangan 2D16 ($A_s = 401,12 \text{ mm}^2$) dipasang di sepanjang $(2/3)d = 192,67 \approx 200 \text{ mm}$

$$V_u = 227,935 \text{ kN}$$

$$V_s = \frac{Vu}{\phi} = \frac{227,935}{0,75} = 303,914 \text{ kN}$$

Direncanakan tulangan geser 2D13 ($A_v = 265,46 \text{ mm}^2$)

$$S = \frac{Av \times f_y \times d}{Vs} = \frac{265,46 \times 420 \times 289}{303914} = 106,02 \text{ mm} \approx 100 \text{ mm}$$

.: Dipasang sengkang 2D13 – 100 mm

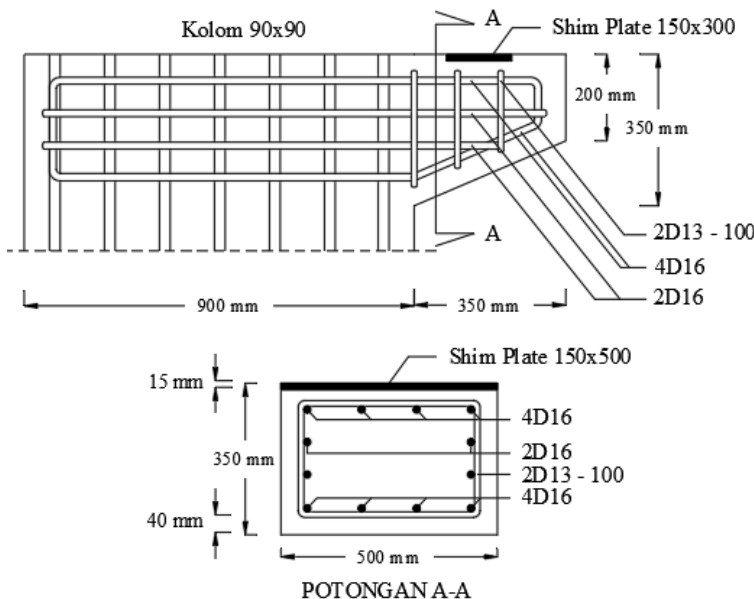
e. Luas Pelat Landasan

$$V_u = \phi \times 0,85 \times f'c \times A_l$$

$$A_l = \frac{Vu}{\phi \times 0,85 \times f'c} = \frac{227935}{0,75 \times 0,85 \times 35} = 10215,59 \text{ mm}^2$$

.: Maka, dipakai pelat landasan 150 x 500 mm² (75000 mm²) dengan tebal 15 mm.

Rekapitulasi perhitungan konsol pendek tertera pada **Tabel 4.79** dan **4.80**. Detail penulangan konsol pendek diilustrasikan pada **Gambar 4.102**.



Gambar 4. 102 Detail Konsol Pendek pada Kolom

Tabel 4. 79 Rekapitulasi Perencanaan Konsol Pendek

Sambungan	V _u (kN)	N _u (kN)	Ukuran		D _{longitudinal} (mm)	D _{transversal} (mm)
			b (mm)	h (mm)		
Kolom - BI 1	227.94	45.59	500	350	16	13
Kolom - BI 2	175.39	35.08	450	300	16	13
Kolom - BI 3	170.71	34.14	350	300	16	13
BI 1 - BA 1	104.90	20.98	350	200	16	13
BI 2 - BA 2	57.85	11.57	300	150	16	13
BI 3 - BA 3	32.05	6.41	250	200	16	13
SW - BI 1	227.94	45.59	500	350	16	13
SW - BI 2	175.39	35.08	450	300	16	13

Tabel 4. 80 Rekapitulasi Perencanaan Konsol Pendek (Lanjutan)

Sambungan	Tulangan Primer		Tulangan Horizontal		Tulangan Geser	
	A _{sc} (mm ²)	n (buah)	A _h (mm ²)	n (buah)	V _s (kN)	s (mm)
Kolom - BI 1	653.57	4	254.43	2	303.91	100
Kolom - BI 2	555.93	3	222.28	2	233.86	100
Kolom - BI 3	541.09	3	216.35	2	227.62	100
BI 1 - BA 1	523.76	3	228.58	2	139.86	100
BI 2 - BA 2	430.51	3	196.89	1	265.46	125
BI 3 - BA 3	160.05	2	69.85	1	42.74	100
SW - BI 1	653.57	4	254.43	2	303.91	100
SW - BI 2	555.93	3	222.28	2	233.86	100

4.6.4. Perencanaan Sambungan Balok-Kolom

Sambungan balok dengan kolom memanfaatkan panjang penyaluran pada tulangan balok. Tulangan balok nantinya akan diteruskan atau dikaitkan ke dalam kolom. Panjang penyaluran bagian bawah akan menerima tekan dan panjang penyaluran bagian atas akan menerima tarik. Maka perhitungan panjang penyaluran dihitung dalam dua kondisi yaitu tekan dan tarik. Pada sambungan balok-kolom terdapat 2 kondisi yaitu sambungan *single sided connection* dan *double sided connection*.

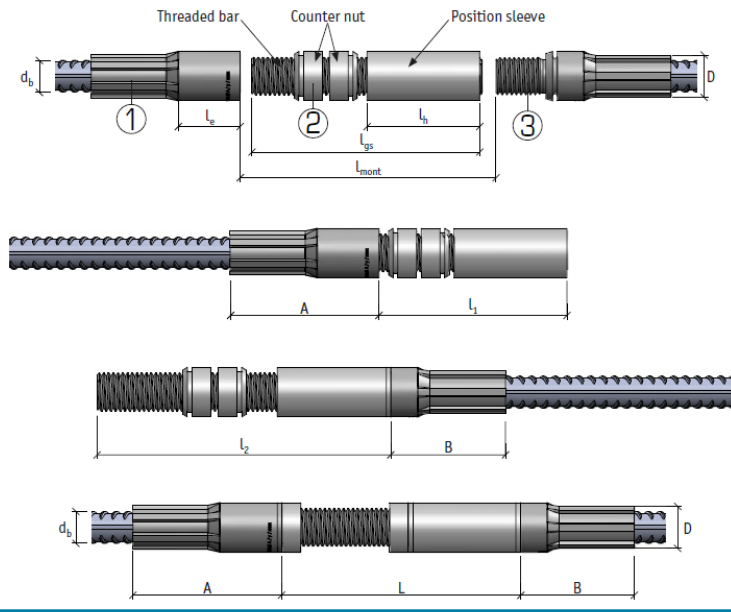
Dalam perencanaan sambungan ini akan digunakan produk sambungan dari *Peikko group* yaitu dengan menggunakan *Modix Rebar Couplers*. Diketahui bahwa *Modix Rebar Coupler* didesain untuk sambungan elemen pracetak yang tahan terhadap gaya tarik maupun gaya tekan yang terjadi pada penampang beton. Kekuatan leleh yang dimiliki oleh *Modix Rebar Coupler* adalah 550 Mpa, sehingga sambungan *Coupler* ini dapat digunakan karena kekuatan leleh pada baja tulangan hanya 420 Mpa. Dalam perencanaan tulangan atas dan bawah digunakan *Modix Rebar Coupler type PM*. Untuk kait standard juga menggunakan produk *Peikko Group*. Berikut merupakan perhitungan sambungan balok induk – kolom:

• For connecting bars with the same diameter
• At least one bar can be moved axially and rotated

Coupler type	Bar Ø d _b [mm]	Coupler Ø D [mm]	Length Part A [mm]	Length Part B [mm]	Parts A+B fitted together [mm]	Metric thread M	Thread length l _z [mm]	Color of thread protector
SM10	10	17.5	52	46	96	M 12 x 1.75	16.0	Orange
SM12	12	21.0	63	52	113	M 16 x 2	21.2	Yellow
SM14	14	24.0	72	57	127	M 18 x 2.5	24.8	Blue
SM16	16	27.0	80	63	141	M 20 x 2.5	27.5	White
SM20	20	33.0	98	77	173	M 24 x 3	31.6	Gray
SM25	25	41.0	122	98	218	M 30 x 3.5	39.0	Red
SM28	28	47.0	141	111	250	M 36 x 4	46.0	Black
SM32	32	53.0	156	124	278	M 42 x 4.5	53.5	Brown
SM40	40	63.5	163	136	297	M 48 x 5.0	61.7	Green

Gambar 4. 103 Spesifikasi Standard Coupler (SM) Modix Rebar

Sumber: Brosur Modix Rebar Coupler

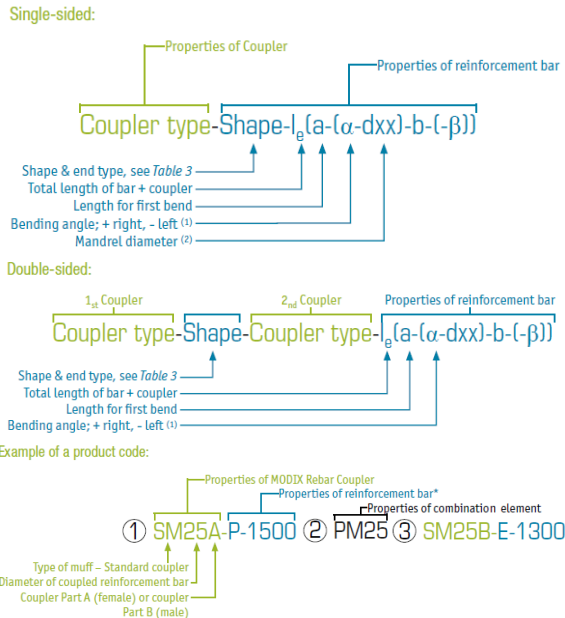


- For connecting straight or bent bars
- None of the bars can move axially or rotate



Coupling type	Bar Ø d _b [mm]	Coupler Ø D [mm]	Length Part A [mm]	Thread length Part A l _a	Length l ₁	Length l ₂	Length of position sleeve l _s	Length threaded bar l _b	Max. free spacing l _{mont}	Length L	ISO metric thread M	Color of thread protector
PM10	10	17.5	52	21	58	95	37	79	59	74	M 12 x 1.75	Orange
PM12	12	21.0	63	26	72	119	48	98	73	93	M 16 x 2	Yellow
PM14	14	24.0	72	30	81	135	55	111	82	105	M 18 x 2.5	Blue
PM16	16	27.0	80	33	88	148	61	121	89	115	M 20 x 2.5	White
PM20	20	33.0	98	37	99	167	69	136	100	130	M 24 x 3	Gray
PM25	25	41.0	122	44	117	200	83	161	118	156	M 30 x 3.5	Red
PM28	28	47.0	141	51	136	233	97	187	137	182	M 36 x 4	Black
PM32	32	53.0	156	59	155	267	112	214	156	208	M 42 x 4.5	Brown
PM40	40	63.5	163	65	175	301	127	240	173	234	M 48 x 5.0	Green

Gambar 4. 104 Spesifikasi Position Coupler (PM) Modix Rebar
Sumber: Brosur Modix Rebar Coupler



Gambar 4. 105 Contoh Penamaan Kode Produk Modix Rebar Coupler dari Peikko Group

Sumber: Brosur Modix Rebar Coupler

4.6.4.1. Data Perencanaaan

- f'_c = 35 MPa
- f_y = 420 MPa
- d_b = 25 mm

4.6.4.2. Perhitungan Single-Sided Connection

Berikut merupakan contoh perhitungan sambungan antara BI 1 dengan K4:

a. Panjang Penyaluran Kait Standar dalam Tarik

Berdasarkan SNI 2847:2019 Pasal 25.4.3.1 panjang penyaluran untuk batang tulangan ulir dalam kondisi tarik yang diakhiri dengan kait standar adalah sebagai berikut:

$$\begin{aligned} l_{dh\ 1} &= \frac{0,24\ f_y \psi_e \psi_c \psi_r}{\lambda \sqrt{f'_c}} d_b \\ &= \frac{0,24 (420)}{\sqrt{35}} 25 \\ &= 425,96 \text{ mm (menentukan)} \end{aligned}$$

$$\begin{aligned} l_{dh\ 2} &= 8 d_b \\ &= 8(25) \\ &= 200 \text{ mm} \end{aligned}$$

$$l_{dh\ 3} = 150 \text{ mm}$$

∴ Maka dipakai $l_{dh} = 460$ mm dengan kait minimum panjang penyaluran yang masuk ke dalam kolom dengan panjang kait standar 90° sebesar $12 \times d_b = 12 \times 25 = 300$ mm

Pemilihan Profil Sambungan

Pada sambungan tulangan pada bagian tarik di balok menggunakan produk dari *Peikko Group* yaitu *Modix Rebar Coupler*. Profil yang digunakan adalah **Modix Coupler SM25A-P12-760(460)-PM25-SM25B-P-1875**. Profil ini digunakan pada semua dimensi kolom.

b. Panjang Penyaluran Kait Standar dalam Tekan

Berdasarkan SNI 2847:2019 Pasal 25.4.9.1 panjang penyaluran untuk batang tulangan ulir dalam kondisi tekan yang diakhiri dengan kait standar adalah sebagai berikut:

$$\begin{aligned} l_{dc\ 1} &= \frac{0,24\ f_y \psi_r}{\lambda \sqrt{f'_c}} d_b \\ &= \frac{0,24 (420)}{\sqrt{35}} 25 \\ &= 425,96 \text{ mm} \end{aligned}$$

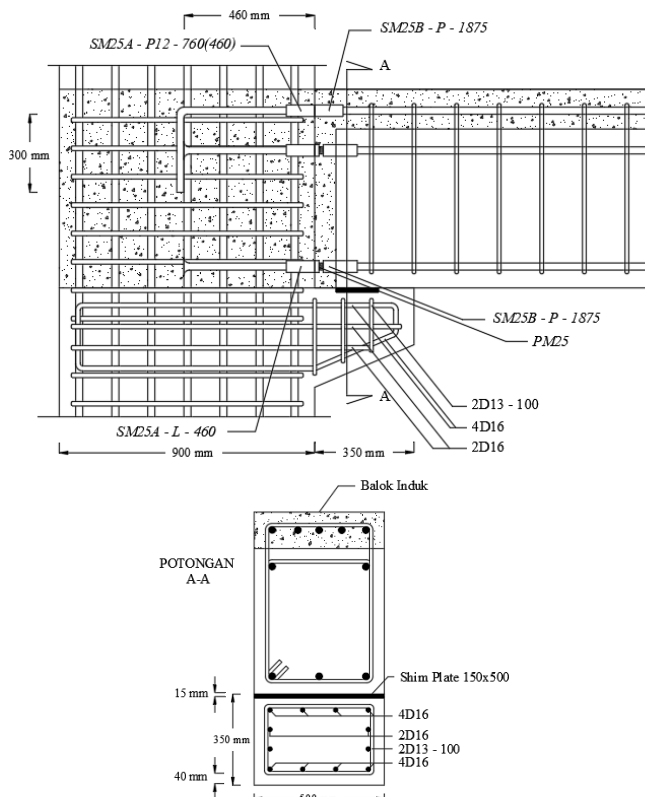
$$\begin{aligned} l_{dc\ 2} &= 0,043\ f_y \psi_r d_b \\ &= 0,043 (420) (25) \\ &= 451,5 \text{ mm (menentukan)} \end{aligned}$$

$$l_{dc\ 3} = 200 \text{ mm}$$

∴ Maka dipakai panjang penyaluran tulangan dalam kondisi tekan adalah $l_{dh} = 460$ mm.

Pemilihan Profil Sambungan

Sambungan tulangan pada bagian tekan di balok menggunakan produk dari *Peikko Group* yaitu *Modix Rebar Coupler*. Profil yang digunakan adalah **Modix Coupler SM25A-L-460-PM25-SM25B-P-1875**. Profil ini digunakan pada semua dimensi kolom. Detail sambungan diilustrasikan pada **Gambar 4.106**.



Gambar 4. 106 Detail Sambungan Balok Induk-Kolom Single Sided Connection

4.6.4.3. Perhitungan Double-Sided Connection

Berikut merupakan contoh perhitungan sambungan balok kolom pada BI 1 – K4 – BI 1:

a. Panjang Penyaluran Kait Standar dalam Tarik

Berdasarkan SNI 2847:2019 Pasal 25.4.3.1 panjang penyaluran untuk batang tulangan ulir dalam kondisi tarik yang diakhiri dengan kait standar adalah sebagai berikut:

$$\begin{aligned} l_{dh\ 1} &= \frac{0,24\ f_y \psi_e \psi_c \psi_r}{\lambda \sqrt{f'c}} d_b \\ &= \frac{0,24 (420)}{\sqrt{35}} 25 \\ &= 425,96 \text{ mm (menentukan)} \end{aligned}$$

$$\begin{aligned} l_{dh\ 2} &= 8 d_b \\ &= 8(25) \\ &= 200 \text{ mm} \end{aligned}$$

$$l_{dh\ 3} = 150 \text{ mm}$$

.:. Maka dipakai $l_{dh} = 460$ mm dengan kait minimum panjang penyaluran yang masuk ke dalam kolom dengan panjang kait standar 90° sebesar $12 \times d_b = 12 \times 25 = 300$ mm

Pemilihan Profil Sambungan

Sambungan tulangan pada bagian Tarik di balok menggunakan produk dari *Peikko Group* yaitu *Modix Rebar Coupler*. Profil yang digunakan adalah **Modix Coupler SM25B-P-1875-PM25-SM25A-D-900-PM25-SM25B-P-1750.**

b. Panjang Penyaluran Kait Standar dalam Tekan

Berdasarkan SNI 2847:2019 Pasal 25.4.9.1 panjang penyaluran untuk batang tulangan ulir dalam kondisi tekan yang diakhiri dengan kait standar adalah sebagai berikut:

$$\begin{aligned} l_{dc\ 1} &= \frac{0,24\ f_y \psi_r}{\lambda \sqrt{f'c}} d_b \\ &= \frac{0,24 (420)}{\sqrt{35}} 25 \end{aligned}$$

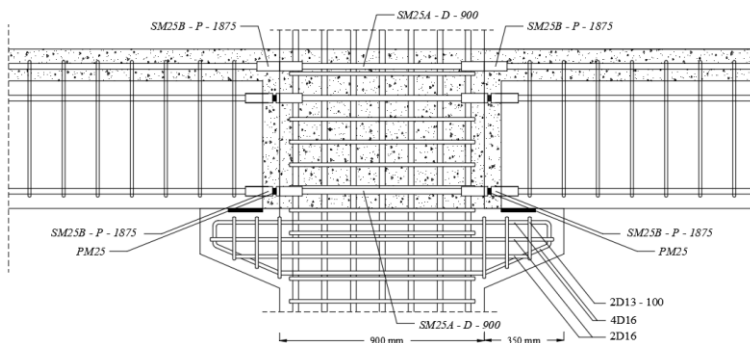
$$\begin{aligned}
 &= 425,96 \text{ mm} \\
 l_{dc\ 2} &= 0,043 f_y \psi_r d_b \\
 &= 0,043 (420) (25) \\
 &= 451,5 \text{ mm (menentukan)} \\
 l_{dc\ 3} &= 200 \text{ mm}
 \end{aligned}$$

∴ Maka dipakai panjang penyaluran tulangan dalam kondisi tekan adalah $l_{dh} = 460$ mm.

Pemilihan Profil Sambungan

Sambungan tulangan pada bagian tekan di balok menggunakan produk dari Peikko Group yaitu *Modix Rebar Coupler*. Profil yang digunakan adalah ***Modix Coupler SM25B-P-1875-PM25-SM25A-D-900-PM25-SM25B-P-1750***.

Sedangkan untuk tulangan yang tidak memiliki pasangan atau tidak bertemu, dipakai profil ***Modix Coupler SM25A-L-460-PM25-SM25B-P-1875***. Detail sambungan dilustrasikan pada **Gambar 4.107**.



Gambar 4. 107 Detail Sambungan Balok Induk-Kolom Double Sided Connection

4.6.5. Perencanaan Sambungan Balok Induk dan Balok Anak

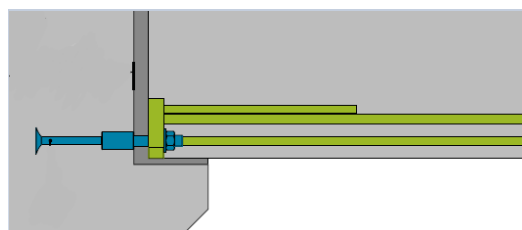
Pada perencanaan sambungan antara balok induk dan balok anak digunakan sambungan dengan konsol pendek. Balok anak diletakkan pada konsol yang berada pada balok induk yang kemudian dirangkai menjadi satu kesatuan. Perencanaan konsol pada balok induk tersebut mengikuti persyaratan yang diatur dalam SNI 2847:2019 Pasal 16.5 mengenai konsol pendek. Perhitungan konsol pendek sesuai dengan yang sudah direncanakan pada Sub Bab 4.6.3 pada Tugas Akhir ini.

Sistem sambungan antara balok induk dengan balok anak pada perencanaan ini memanfaatkan panjang penyaluran dengan tulangan balok. Panjang penyaluran diasumsikan menerima tekan dan juga menerima tarik, sehingga dalam perencanaan dihitung dalam dua kondisi, yaitu kondisi tarik dan kondisi tekan.

$db = 22 \text{ mm}$

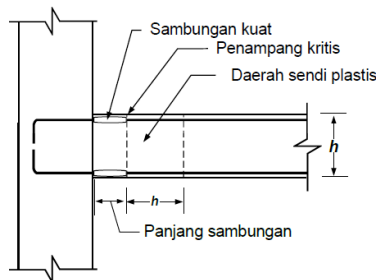
a. Panjang Penyaluran Tekan

Dikarenakan balok induk yang digunakan juga merupakan elemen pracetak maka digunakan *Beco Beam Shoe* dari *Peikko Group* yang memiliki $fy > 1,25 \times fy = 525 \text{ MPa}$ sehingga termasuk kategori *mechanical splice* tipe 2 yang dihubungkan ke *Copra Anchor*. Sesuai dengan SNI 2847:2019 Pasal 18.2.7.2 *mechanical splices* dapat digunakan di lokasi manapun.



Gambar 4. 108 Contoh Pemasangan *BECO Beam Shoe*
Sumber: Brosur *BECO Beam Shoe*

Sambungan juga memenuhi SNI 2847:2019 Pasal 18.9.2.2 (d) dimana tulangan utama longitudinal harus dibuat menerus dari sambungan kuat dan daerah plastisnya.



Gambar 4. 109 Sambungan Kuat Balok

Sumber: SNI 2847:2019

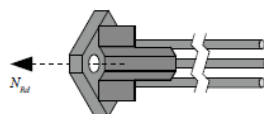
Berdasarkan kuat tarik maksimum yang mampu dipikul oleh 1 *beam shoe* maka dibutuhkan $N_{Rd} > 525 \text{ MPa} \times A_s D22$ ($380,13 \text{ mm}^2$) = $199569,67 \text{ N} = 199,57 \text{ kN}$

Spesifikasi *Beco Beam Shoe* dan *Copra Anchor* sesuai yang tertera pada **Tabel 4.81**, **Gambar 4.110** dan **4.111**.

Tabel 4. 81 Spesifikasi BECO Beam Shoe

Table 2. Design value resistances of individual BECO Beam Shoes for concrete grade C30/37.

Beam Shoe	Anchoring Coupler	N_{Rd} [kN]
BECO® 16H	COPRA® 16H-...*	62
BECO® 20H	COPRA® 20H-...*	96
BECO® 24H	COPRA® 24H-...*	139
BECO® 30H	COPRA® 30H-...*	220
BECO® 39H	COPRA® 39H-...*	383
BECO® 30P	COPRA® 30P-...*	299
BECO® 36P	COPRA® 36P-...*	436
BECO® 39P	COPRA® 39P-...*	521
BECO® 45P	COPRA® 45P-...*	697
BECO® 52P	COPRA® 52P-...*	938



Maka digunakan *BECO Beam Shoe* 30H dan *Copra Anchor* L30H

Figure 10. Dimension [mm] of the BECO® beam shoe.

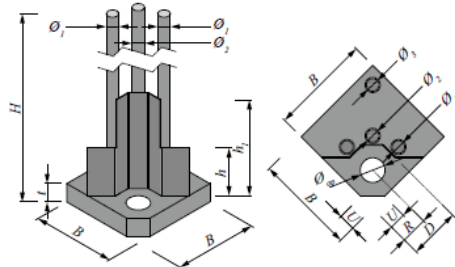


Table 1. Dimensions [mm], weights [kg], and color codes of Beam Shoes.

Beam Shoe	BECO® 16H	BECO® 20H	BECO® 24H	BECO® 30H	BECO® 39H	BECO® 30P	BECO® 36P	BECO® 39P	BECO® 45P	BECO® 52P
B	115	125	140	150	190	160	200	225	260	290
H	925	1080	1220	1620	2240	1850	2320	2100	2390	3130
t	15	20	25	35	45	40	50	50	60	80
R	50	50	50	50	60	50	60	60	60	60
U	30	30	30	30	37	30	37	37	37	37
D	80	80	85	90	115	90	110	115	125	130
h	80	90	90	100	130	100	110	130	125	150
h1	145	160	165	185	225	185	215	225	245	295
Ø₁	12	16	20	25	32	28	32	28	32	40
Ø₂	-	-	-	-	-	-	-	28	32	32
Ø₃	10	12	16	20	28	20	28	28	32	32
Ø_{ap}	27	30	35	40	55	40	50	55	60	70
Weight	3.5	6.2	10.3	19.6	43.9	27.0	47.2	52.0	79.6	133.3
Color code*	Yellow	Blue	Gray	Green	Orange	Black	Red	Brown	Purple	White

Gambar 4. 110 Dimensi BECO Beam Shoe
Sumber: Brosur BECO Beam Shoe Peikko Group

Table 2. Dimensions of the COPRA L with headed anchor bar(s).

Load class H										
	COPRA 16H	COPRA 20H	COPRA 24H	COPRA 30H	COPRA 39H	COPRA 30P	COPRA 36P	COPRA 39P	COPRA 45P	COPRA 52P
M	M16	M20	M24	M30	M39	M30	M36	M39	M45	M52
<i>l_{TB}</i> [mm]	130	145	166	195	245	195	220	245	263	320
<i>l_{Cb}</i> [mm]	48	60	72	90	120	90	108	120	135	160
<i>Ø_c</i> [mm]	25	30	35	50	65	50	60	65	75	90
<i>Ø</i> [mm]	Ø16	Ø20	Ø25	Ø32	Ø40	2025	2028	2028	2032	4032
<i>d_b</i> [mm]	38	46	55	70	90	55	84	84	70	70
<i>k</i> [mm]	10	12	13	15	18	13	20	20	15	15
Color code	Yellow	Blue	Gray	Green	Orange	Black	Red	Brown	Purple	White

Gambar 4. 111 Dimensi COPRA Anchor

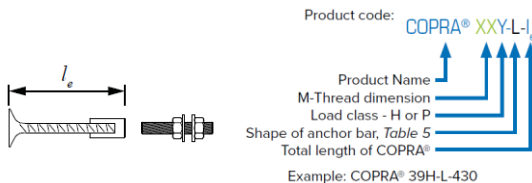
Sumber: Brosur COPRA Anchor Peikko Group

b. Panjang Penyaluran Tarik

$$\begin{aligned} l_{dh} &\geq 8 d_b \\ &\geq 8(22) \\ &\geq 176 \text{ mm} \\ l_{dh} &\geq 150 \text{ mm} \end{aligned}$$

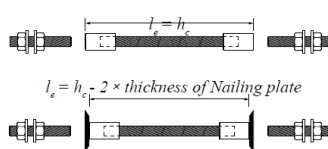
Maka dipakai $l_{dh} = 450$ mm dengan mengaitkan tulangan utama balok anak ke tulangan utama balok induk.

Detail kode produk yang digunakan dari produk *Peikko Group* sesuai yang tertera pada **Gambar 4.112 dan 4.113**.



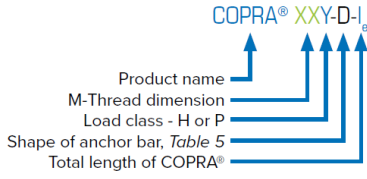
Gambar 4. 112 Contoh Kode Produk *Single Sided Connection*

Used COPRA® Anchoring Couplers:



System product code:
1. BECO® 39H 2. COPRA® 39H-D-600

Product code:



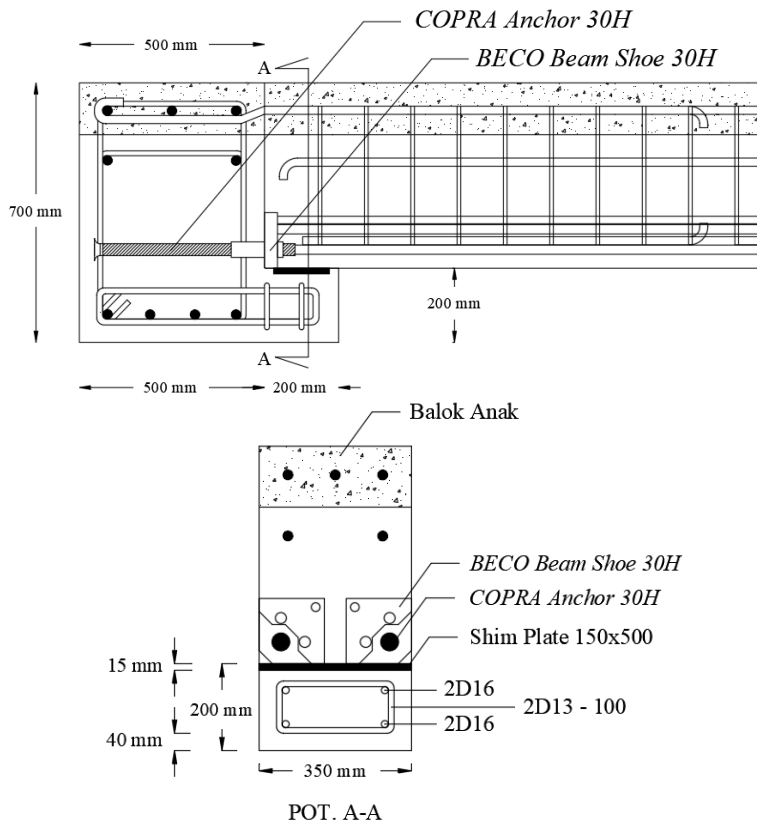
Example: COPRA® 39H-D-600

Gambar 4. 113 Contoh Kode Produk *Double Sided Connection*

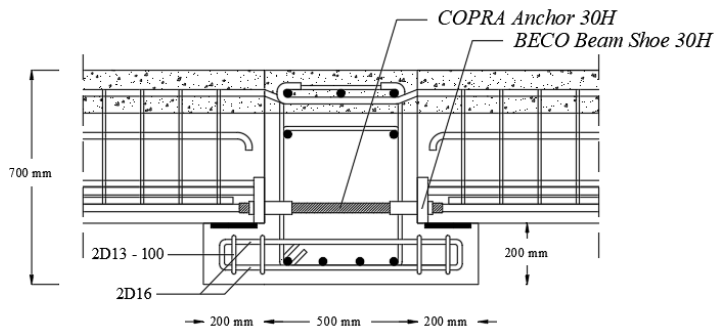
Pada sambungan *single sided connection* balok induk – balok anak digunakan sambungan *BECO Beam Shoe* dan *COPRA Anchor* dengan kode produk ***BECO 30H*** dan ***COPRA 30H-L-450***.

Serta, pada sambungan *double sided connection* balok induk – balok anak digunakan sambungan *BECO Beam Shoe* dan *COPRA Anchor* dengan kode produk ***BECO 30H*** dan ***COPRA 30H-D-500***.

Detail sambungan diilustrasikan pada **Gambar 4.114 dan 4.115**.



Gambar 4. 114 Detail Sambungan Balok Anak ke Balok Induk
(BI 1 – BA1) *Single Sided Connection*



Gambar 4. 115 Detail Sambungan Balok Anak ke Balok Induk (BA1 – BI 1 – BA1) *Double Sided Connection*

4.6.6. Perencanaan Sambungan Pelat dan Balok

Sambungan antara balok dengan pelat mengandalkan adanya tulangan tumpuan yang dipasang memanjang melintas tegak lurus diatas balok (menghubungkan stud – stud pelat). Selanjutkan pelat pracetak yang sudah dihubungkan tersebut diberi *overtopping* dengan metode *cast in situ*.

a. Panjang Penyaluran Tulangan Pelat

Berdasarkan perhitungan pada Sub Bab 4.2.3, didapatkan hasil penulangan pada pelat menggunakan tulangan:

$$d_b = 10 \text{ mm}$$

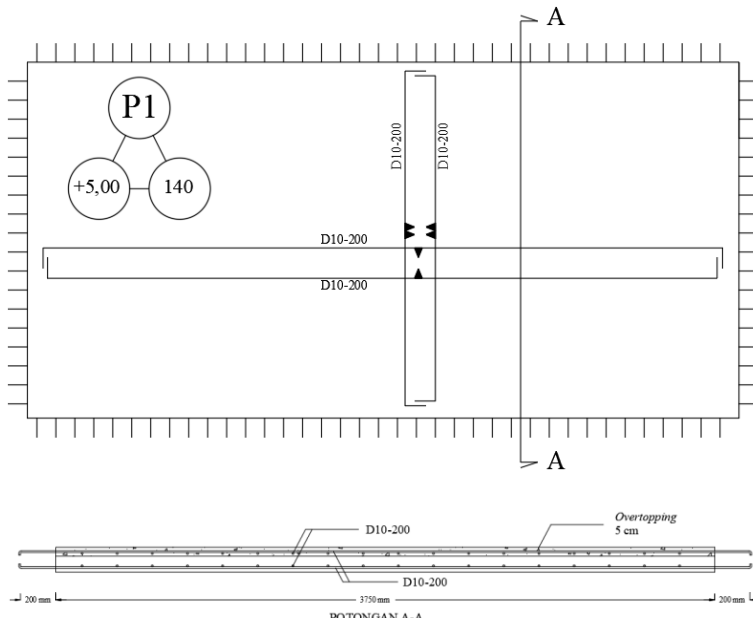
Menurut SNI 2847:2019 Pasal 25.4.9

$$\begin{aligned} l_{d1} &= \frac{0,24 f_y \psi_r}{\lambda \sqrt{f'c}} d_b \\ &= \frac{0,24 (420)}{\sqrt{35}} 10 \\ &= 170,38 \text{ mm} \end{aligned}$$

$$\begin{aligned} l_{d2} &= 0,043 f_y \psi_r d_b \\ &= 0,043 (420) (10) \\ &= 180,6 \text{ mm} \end{aligned}$$

$$l_{d3} = 200 \text{ mm (menentukan)}$$

Maka dipasang panjang penyaluran 200 mm. Detail panjang penyaluran diilustrasikan pada **Gambar 4.116**.



Gambar 4. 116 Detail panjang penyaluran pelat

4.6.7. Perencanaan Sambungan Tangga dengan Balok / Shearwall

Pada perencanaan sambungan antara tangga dengan balok/shearwall dipergunakan sambungan dengan menggunakan konsol pendek karena perletakan di desain sebagai sendi rol. Tangga kemudian diletakkan pada konsol yang berada pada balok/shearwall. Kebutuhan tulangan konsol dihitung setiap 1m'. Berikut merupakan perhitungan konsol pendek:

a. Data Perencanaan

$$V_u = 5700,62 \text{ kg/m} \text{ (reaksi perletakan terbesar)}$$

Tebal Tangga = 140 mm

Dimensi Balok = 50/70

Dimensi Konsol:

b_w	= 1000 mm
h	= 560 mm
<i>clear cover</i>	= 40 mm
$D_{tulangan\ lentur}$	= 16 mm
$D_{tulangan\ geser}$	= 13 mm
d	= $560 - 40 - 13 - 0,5 \times 16 = 499$ mm
f'_c	= 35 MPa
f_y	= 420 MPa
Panjang Konsol	= 200 mm
a_v	= 100 mm

Persyaratan yang digunakan dalam perencanaan konsol pendek sesuai SNI 2847:2019 Pasal 16.5. Untuk dapat menggunakan pasal tersebut, geometrik konsol serta gaya yang bekerja pada konsol tersebut harus sesuai dengan yang disyaratkan pada SNI 2847:2019 Pasal 16.5.1. Syarat tersebut adalah sebagai berikut:

- $a/d = 100/499 = 0,2 < 1$ (OK)
- $N_{uc} \leq V_u$
 $N_{uc} = 0,2 \times 57006,2 = 11401,24$ N

b. Menentukan Luasan Tulangan Geser Friksi

Berdasarkan SNI 2847:2019 Pasal 16.5.2.4 untuk beton normal, kuat geser (V_n) tidak boleh diambil lebih besar daripada nilai-nilai berikut:

$$V_n = \frac{V_u}{\phi} = \frac{5700,62}{0,75} = 76,01 \text{ kN}$$

$$\begin{aligned} V_{n\ max\ 1} &\leq 0,2 \times f'_c \times b_w \times d \\ &\leq 0,2 \times 35 \times 2000 \times 499 \\ &\leq 6986 \text{ kN} \end{aligned}$$

$$\begin{aligned} V_{n\ max\ 2} &\leq (3,3 + 0,08f'_c) b_w \times d \\ &\leq (3,3 + 0,08(35)) \times 2000 \times 499 \\ &\leq 6087,8 \text{ kN} \end{aligned}$$

$$V_{n\ max\ 3} \leq 11 \times b_w \times d$$

$$\begin{aligned} &\leq 11 \times 2000 \times 499 \\ &\leq 10978 \text{ kN} \end{aligned}$$

$$V_n \leq V_{n \max} (\text{OK})$$

$$V_n \text{ pakai} = 76,01 \text{ kN}$$

$$\mu = 1,4 (\text{SNI 2847:2019 Pasal 22.9.4.2})$$

$$A_{vf} = \frac{V_n}{f_y \times \mu} = \frac{76,01 \times 1000}{420 \times 1,4} = 129,27 \text{ mm}^2$$

c. Menentukan Luas Tulangan Lentur

Perletakan yang akan digunakan dalam konsol pendek ini adalah sendi-rol yang mengizinkan adanya deformasi arah lateral ataupun horizontal, maka gaya horizontal akibat susut jangka panjang dan deformasi rangka balok tidak boleh terjadi. Maka sesuai dengan SNI 2847:2019 pasal 16.5.3.1, akan digunakan Nuc minimum sebagai berikut:

$$\begin{aligned} M_u &= V_u \times a_v + N_{uc} (h - d) \\ &= 57006,2 (100) + 45587 (560 - 499) \\ &= 6396095 \text{ Nmm} \end{aligned}$$

$$m = \frac{f_y}{0,85 \times f'c} = \frac{420}{0,85 \times 35} = 14,118$$

$$R_n = \frac{M_u}{\phi \times b \times d^2} = \frac{6396095}{0,9 \times 1000 \times 289^2} = 0,034 \text{ N/mm}^2$$

$$\begin{aligned} \rho_{\text{perlu}} &= \frac{1}{m} \left(1 - \sqrt{1 - \frac{2 \times m \times R_n}{f_y}} \right) \\ &= \frac{1}{14,12} \left(1 - \sqrt{1 - \frac{2 \times 14,12 \times 0,034}{420}} \right) \end{aligned}$$

$$= 0,000082 < \rho_{\min} = 0,0035$$

$$\rho_{\text{perlu}} = 0,0035$$

$$A_{f1} = \frac{M_u}{0,85 \times \phi \times f_y \times d} = \frac{6396095}{0,85 \times 0,75 \times 420 \times 499} = 47,87 \text{ mm}^2$$

$$A_{f2} = \rho \times b \times d = 0,0035 \times 1000 \times 499 = 1757,422 \text{ mm}^2$$

$$A_{f \text{ pakai}} = 1757,422 \text{ mm}^2$$

Tulangan pokok A_s :

$$A_n = \frac{N_{uc}}{\phi f_y} = \frac{11401,24}{0,75 \times 420} = 36,19 \text{ mm}^2$$

d. Pemilihan Tulangan yang Digunakan

Berdasarkan SNI 2847:2019 Pasal 16.5.5.1 luas tulangan utama A_{sc} diambil yang terbesar dari:

$$A_{sc\ 1} = A_f + A_n = 1757,422 + 36,19$$

$$= 1793,41 \text{ mm}^2$$

$$A_{sc\ 2} = \frac{2}{3} A_{vf} + A_n = \frac{2}{3} 129,27 + 36,19$$

$$= 122,37 \text{ mm}^2$$

$$A_{sc\ 3} = 0,04 \frac{f'c}{f_y} b d = 0,04 \frac{35}{420} 1000 \times 499$$

$$= 1663,33 \text{ mm}^2$$

$$A_{sc\ pakai} = 1793,41 \text{ mm}^2$$

∴ Digunakan tulangan utama 9D16 / D16-100 ($A_s = 3619,12 \text{ mm}^2$)

Berdasarkan SNI 2847:2019 Pasal 16.5.5.2 luasan tulangan horizontal tertutup diatur sebagai berikut:

$$A_h = 0,5(A_{sc} - A_n) = 0,5(1793,41 - 36,19)$$

$$= 878,61 \text{ mm}^2$$

∴ Digunakan tulangan 9D16 / D16-100 dipasang di sepanjang $(2/3)d = 332,67 \approx 350 \text{ mm}$

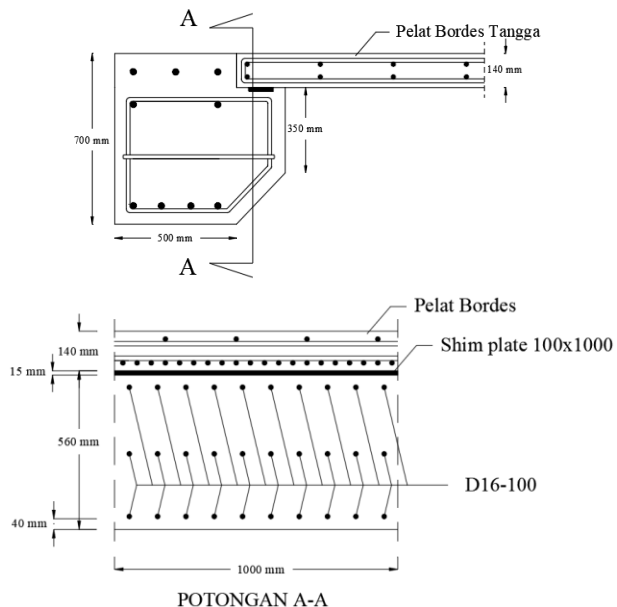
e. Luas Pelat Landasan

$$V_u = \phi \times 0,85 \times f'c \times A_l$$

$$A_l = \frac{V_u}{\phi \times 0,85 \times f'c} = \frac{57006,2}{0,75 \times 0,85 \times 35} = 2554,9 \text{ mm}^2$$

∴ Maka, dipakai pelat landasan $1000 \times 100 \text{ mm}^2$ (10000 mm^2) dengan tebal 15 mm.

Detail penulangan konsol pendek diilustrasikan pada **Gambar 4.117.**



Gambar 4. 117 Detail Sambungan Tangga

4.7. Perencanaan Struktur Bawah

4.7.1. Umum

Perencanaan struktur bawah bangunan, meliputi perencanaan pondasi dan perencanaan *basement*. Pondasi pada umumnya berlaku sebagai komponen struktur pendukung bangunan yang terbawah dan berfungsi sebagai elemen terakhir yang meneruskan beban ke tanah. Pondasi pada gedung ini direncanakan memakai pondasi tiang pancang jenis *prestressed concrete spun pile* produk dari PT. WIKA (Wijaya Karya) Beton. Pada bab perencanaan pondasi pembahasan meliputi perencanaan jumlah tiang pancang yang dibutuhkan dan perencanaan *poer* (*pile cap*).

4.7.2. Beban Struktur

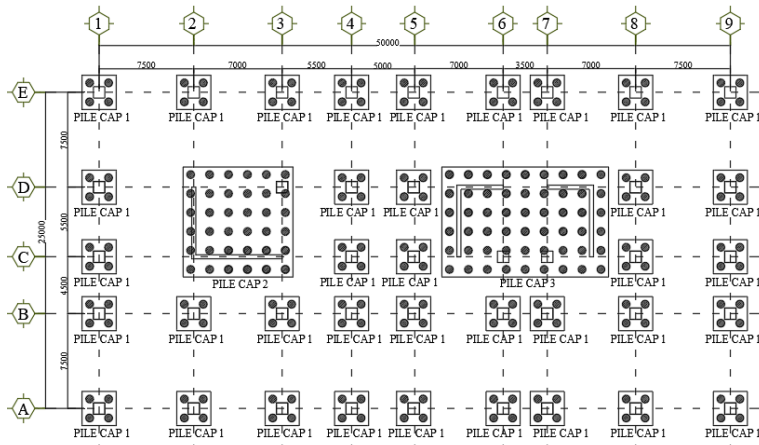
Beban struktur menentukan bagaimana perencanaan pondasi yang akan dilakukan. Beban struktur disalurkan melalui kolom kemudian ke tiang pancang. Beban yang bekerja pada pondasi dihitung menurut SNI 1726:2019 kombinasi beban untuk metode tegangan ijin. Kombinasi beban-beban dibawah ini adalah kombinasi beban untuk menghitung tiang pancang dengan desain tegangan ijin:

- 1D
- D + L
- D + 0,75L
- D + 0,7E
- D + 0,75L + 0,75(0,7E)
- 0,6D + 0,7E

Dari kombinasi beban di atas dilakukan kontrol dari masing-masing kombinasi untuk menentukan perhitungan jumlah tiang pancang, defleksi dan momen yang terjadi pada reaksi perletakan.

Output dari *joint reaction* ini kemudian dipilih sesuai kombinasi maksimum yang paling menentukan dalam perhitungan P_{ijin} 1 tiang. Denah pondasi tertera pada **Gambar**

4.118. Berikut ini adalah *output* dari *joint reaction* pada pondasi yang terteran pada **Tabel 4.82, 4.83, dan 4.84**.



Gambar 4. 118 Denah Pondasi

Tabel 4. 82 Beban pada Pondasi Tipe 1

Kombinasi	P	Hx	Hy	Mx	My
	ton	ton	ton	ton m	ton m
0.6D+0.7Ex Max	409.49	6.89	5.69	15.27	18.81
0.6D+0.7Ex Min	358.87	-6.20	-5.88	-13.71	-18.51
0.6D+0.7Ey Max	426.80	5.85	6.64	20.65	14.12
0.6D+0.7Ey Min	341.56	-5.31	-6.65	-20.55	-14.01
1D	640.30	-5.54	5.75	5.84	-4.94
1D+1L	795.97	-9.52	10.11	9.85	-8.42
1D+0.75L	757.05	-8.53	9.02	8.85	-7.55
1D+0.75L+0.525Ex Max	776.03	10.94	10.69	17.48	18.81
1D+0.75L+0.525Ex Min	738.07	-10.69	-10.73	-14.60	-19.21
1D+0.75L+0.525Ey Max	789.01	10.16	11.42	21.22	15.29
1D+0.75L+0.525Ey Min	725.09	-9.99	-11.30	-20.72	-15.55
1D+0.7Ex Max	665.61	9.08	7.99	17.35	20.59
1D+0.7Ex Min	615.00	-8.42	-8.14	-15.00	-20.48
1D+0.7Ey Max	682.92	8.04	8.94	22.54	15.90
1D+0.7Ey Min	597.68	-7.49	-8.90	-22.41	-15.78

Tabel 4. 83 Beban pada Pondasi Tipe 2

Kombinasi	P	Hx	Hy	Mx	My
	ton	ton	ton	ton m	ton m
0.6D+0.7Ex Max	3174.76	192.56	122.34	58.60	90.64
0.6D+0.7Ex Min	208.23	-195.47	-113.73	-56.39	-95.84
0.6D+0.7Ey Max	2975.47	133.95	138.71	86.53	63.59
0.6D+0.7Ey Min	407.52	-136.86	-130.10	-84.32	-68.79
1D	2819.16	-2.42	7.17	1.84	-4.33
1D+1L	3337.95	-3.93	12.44	1.09	-7.01
1D+0.75L	3208.25	-3.55	11.12	1.28	-6.34
1D+0.75L+0.525Ex Max	4320.70	141.96	99.65	44.40	63.59
1D+0.75L+0.525Ex Min	2095.80	-149.06	-77.40	-41.85	-76.27
1D+0.75L+0.525Ey Max	4171.23	98.00	111.93	65.35	43.31
1D+0.75L+0.525Ey Min	2245.27	-105.11	-89.68	-62.79	-55.98
1D+0.7Ex Max	4302.43	191.59	125.20	59.34	88.91
1D+0.7Ex Min	1335.89	-196.44	-110.86	-55.66	-97.57
1D+0.7Ey Max	4103.13	132.98	141.58	87.27	61.86
1D+0.7Ey Min	1535.19	-137.83	-127.24	-83.58	-70.52

Tabel 4. 84 Beban pada Pondasi Tipe 3

Kombinasi	P	Hx	Hy	Mx	My
	ton	ton	ton	ton m	ton m
0.6D+0.7Ex Max	3407.41	156.7562	132.9088	67.1362	111.9187
0.6D+0.7Ex Min	613.6737	-159.18	-127.224	-68.0719	-113.913
0.6D+0.7Ey Max	4245.294	178.9876	276.5129	167.5541	77.6355
0.6D+0.7Ey Min	-224.211	-181.411	-270.828	-168.49	-79.6297
1D	3350.903	-2.0196	4.7374	-0.7798	-1.662
1D+1L	3917.287	-3.4182	8.7506	-3.2043	-2.654
1D+0.75L	3775.691	-3.0686	7.7474	-2.598	-2.406
1D+0.75L+0.525Ex Max	4823.342	115.4072	105.2971	48.1049	82.2811
1D+0.75L+0.525Ex Min	2728.04	-121.545	-89.8021	-53.3012	-87.0929
1D+0.75L+0.525Ey Max	5451.755	132.0809	213.0002	123.4185	56.5685
1D+0.75L+0.525Ey Min	2099.627	-138.218	-197.506	-128.615	-61.3804
1D+0.7Ex Max	4747.771	155.9484	134.8036	66.8243	111.2541
1D+0.7Ex Min	1954.035	-159.988	-125.329	-68.3838	-114.578
1D+0.7Ey Max	5585.655	178.1798	278.4076	167.2424	76.9708
1D+0.7Ey Min	1116.151	-182.219	-268.933	-168.802	-80.2943

4.7.3. Spesifikasi Tiang Pancang

Pada perencanaan pondasi gedung ini, digunakan pondasi tiang pancang jenis *Prestressed Concrete Spun Piles* Produk dari PT. Wijaya Karya Beton dengan spesifikasi yang tertera pada **Tabel 4.85.**

Tabel 4. 85 Spesifikasi Tiang Pancang WIKA

PRESTRESSED CONCRETE PRETENSION SPUN PILES SPECIFICATION Concrete Compressive Strength $f_c' = 52 \text{ MPa}$ (Cube 600 kg/cm^2)										
Size (mm)	Thickness (t)	Cross Section (cm^2)	Section Inertia (cm^4)	Unit Weight (kg/m)	Class	Bending Moment		Allowable Compression (ton)	Decompression Tension (ton)	Length of Pile ** (m)
						Crack *	Break (tonum)			
300	60	452.39	34,607.78	113	A2	2.50	3.75	72.60	23.11	6 - 12
					A3	3.00	4.50	70.75	29.86	6 - 13
					B	3.50	6.30	67.50	41.96	6 - 14
					C	4.00	8.00	65.40	49.66	6 - 15
350	65	581.98	62,162.74	145	A1	3.50	5.25	93.10	30.74	6 - 13
					A3	4.20	6.30	89.50	37.50	6 - 14
					B	5.00	9.00	86.40	49.93	6 - 15
					C	6.00	12.00	85.00	60.87	6 - 16
400	75	765.76	106,488.95	191	A2	5.50	8.25	121.10	38.62	6 - 14
					A3	6.50	9.75	117.60	45.51	6 - 15
					B	7.50	13.50	114.40	70.27	6 - 16
					C	9.00	18.00	111.50	80.94	6 - 17
450	80	929.91	166,570.38	232	A1	7.50	11.25	149.50	39.28	6 - 14
					A2	8.50	12.75	145.80	53.39	6 - 15
					A3	10.00	15.00	143.80	66.57	6 - 16
					B	11.00	19.80	139.10	78.84	6 - 17
500	90	1,159.25	255,324.30	290	A1	10.50	15.75	185.30	54.56	6 - 15
					A2	12.50	18.75	181.70	68.49	6 - 16
					A3	14.00	21.00	178.20	88.00	6 - 17
					B	15.00	27.00	174.90	94.13	6 - 18
600	100	1,570.80	510,508.81	393	A1	17.00	25.50	252.70	70.52	6 - 16
					A2	19.00	28.50	249.00	77.68	6 - 17
					A3	22.00	33.00	243.20	104.94	6 - 18
					B	25.00	45.00	238.30	131.10	6 - 19
800	120	2,563.54	1,527,869.60	641	A1	40.00	60.00	415.00	119.34	6 - 20
					A2	46.00	69.00	406.10	151.02	6 - 21
					A3	51.00	76.50	399.17	171.18	6 - 22
					B	55.00	99.00	388.61	215.80	6 - 23
1000 ***	140	3,782.48	3,589,571.20	946	A1	65.00	130.00	368.17	290.82	6 - 24
					A2	75.00	112.50	613.52	169.81	6 - 22
					A3	82.00	123.00	601.27	215.16	6 - 23
					B	93.00	139.50	589.66	258.19	6 - 24
1200 ***	150	4,948.01	6,958,136.85	1,237	A1	105.00	189.00	575.33	311.26	6 - 24
					A2	120.00	240.00	555.23	385.70	6 - 24
					A3	145.00	217.50	778.60	311.00	6 - 24
					B	170.00	306.00	751.90	409.60	6 - 24
					C	200.00	400.00	721.50	522.20	6 - 24

1. Tiang pancang beton pracetak (*precast concrete pile*) dengan bentuk penampang bulat.
2. Mutu beton tiang pancang $F_c' = 52 \text{ Mpa}$

Berikut ini, spesifikasi tiang pancang yang akan digunakan:

- Diameter tiang	= 600 mm
- Tebal tiang	= 100 mm
- Klasifikasi	= A1
- <i>Concrete cross section</i>	= 1570,8 cm ²
- Berat	= 393 kg/m
- Panjang	= 6 – 20 m
- <i>Bending moment crack</i>	= 17 t.m
- <i>Bending momen ultimate</i>	= 25,5 t.m
- <i>Allowable axial load</i>	= 252,7 ton

4.7.4. Data Tanah

Data tanah diperlukan untuk merencanakan pondasi yang sesuai dengan jenis dan kemampuan daya dukung tanah tersebut. Data tanah didapatkan melalui penyelidikan tanah pada lokasi dimana struktur tersebut akan dibangun. Dalam hal ini data tanah yang digunakan untuk perencanaan pondasi Gedung Apartemen Arundaya adalah data tanah di lokasi pembangunan Apartemen Arundaya itu sendiri. Data tanah di lokasi Apartemen Arundaya terdapat pada lampiran.

4.7.5. Daya Dukung

4.7.5.1. Daya Dukung Tiang Pancang Tunggal

Daya dukung pada pondasi tiang pancang ditentukan oleh dua hal, yaitu daya dukung perlawanan tanah dari unsur dasar tiang pondasi (Q_p) dan daya dukung tanah dari unsur lekatan lateral tanah (Q_s). Sehingga daya dukung total dari tanah dapat dirumuskan:

$$Qu = Q_p + Q_s$$

Disamping peninjauan berdasarkan kekuatan tanah tempat pondasi tiang pancang di tanam, daya dukung suatu tiang juga harus ditinjau berdasarkan kekuatan bahan tiang pancang tersebut. Hasil daya dukung yang menentukan yang dipakai sebagai daya dukung ijin tiang. Perhitungan daya dukung dapat ditinjau dari dua keadaan, yaitu :

- Daya dukung tiang pancang tunggal yang berdiri sendiri
- Daya dukung tiang pancang dalam kelompok.

Daya dukung SPT dari lapangan tidak dapat langsung digunakan untuk perencanaan tiang pancang. Harus dilakukan koreksi terlebih dahulu terhadap data SPT asli. Metode perhitungan menggunakan cara dari *Terzaghi Bazaaraa* 1960, adapun perhitungannya adalah sebagai berikut:

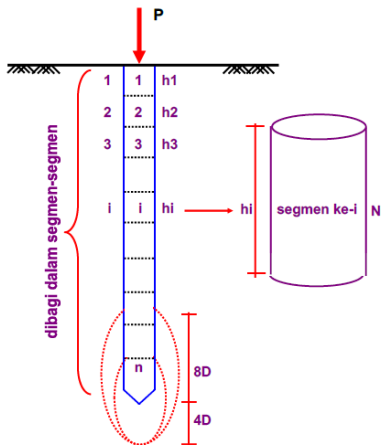
- Koreksi terhadap muka air tanah
Khusus untuk tanah berpasir halus, pasir berlanau, dan pasir berlempung, yang berada dibawah muka air tanah dan hanya bila $N > 15$:
 - a. $N_1 = 15 + \frac{1}{2}(N-15)$
 - b. $N_1 = 0,6 N$
 Kemudian pilih harga N_1 yang terkecil

- Koreksi terhadap *overburden pressure* dari tanah
Dari harga N_1 dikoreksi lagi untuk pengaruh tekanan tanah vertikal

$$N_2 = \frac{4N_1}{(1+0,4P_o)}, \text{ untuk } P_o < 7,5 \text{ ton}$$

$$N_2 = \frac{4N_1}{(3,25+0,1P_o)}, \text{ untuk } P_o > 7,5 \text{ ton}$$
 Harga N_2 yang telah dihitung harus lebih kecil dari $2N_1$, apabila $N_2 > 2N_1$, maka nilai N_2 dibuat menjadi $2N_1$.

- Menghitung daya dukung *ultimate* tiang
Perhitungan daya dukung tiang pancang ini dilakukan berdasarkan hasil uji *Standard Penetration Test* (SPT) dengan kedalaman 30 m.
Tiang pancang dibagi menjadi n segmen, seperti pada **Gambar 4.119**:



Gambar 4. 119 Pembagian segmen tiang pancang

$$P_{ult} = C_n A_{ujung} + \sum C_{li} A_{si}$$

Dimana :

C_{li} = Hambatan geser selimut tiang pada segmen i

= $\frac{N_i}{2}$ untuk tanah lempung/lanau

= $\frac{N_i}{5}$ untuk tanah pasir

A_{si} = Luas selimut tiang pada segmen i = $O_i \times h_i$

O_i = Keliling tiang

C_n = 40 N

N = Harga rata-rata N₂ 4D dibawah ujung hingga 8D diatas

Maka:

$$P_{ult} = 40 N A_{ujung} + \sum_{2 \text{ atau } 5} \frac{N_i}{A_{si}}$$

Daya dukung ijin dari satu tiang pancang yang berdiri sendiri adalah daya dukung tiang total dibagi dengan suatu angka keamanan.

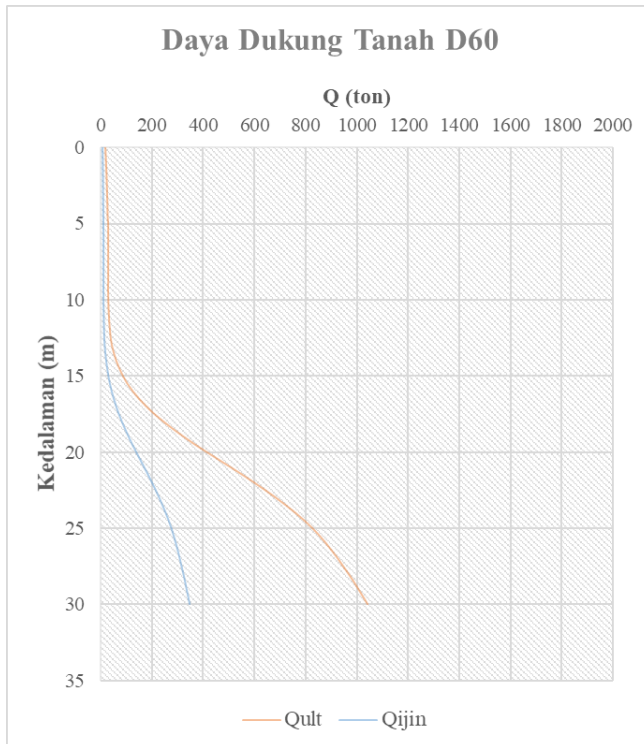
$$P_{ijin} = \frac{P_{ult}}{SF}$$

Pada tugas akhir ini, digunakan nilai angka keamanan sebersar 3 (SF=3).

Perhitungan daya dukung tiang pancang terdapat pada lampiran. Dengan grafik daya dukung terdapat pada **Gambar 4.120**.

Dari hasil perhitungan daya dukung tanah diatas, direncanakan tiang pancang pada kedalaman 23,5 meter dengan daya dukung tanah sebesar 241,22 ton. Maka, panjang tiang pancang yang digunakan setelah dikurangi tinggi *basement* dan tebal pilecap ialah 19 m.

$$\begin{array}{ll} \text{Bebas ijin aksial 1 tiang (sesuai brosur)} & = 252,7 \text{ ton} \\ \text{Daya dukung tanah pada kedalaman 23,5 m} & = 241,22 \text{ ton} \end{array}$$



Gambar 4. 120 Grafik Daya Dukung Tanah terhadap Kedalaman

4.7.5.2. Pengaturan Jarak Antar Tiang Pancang

Untuk mengetahui jumlah tiang pancang yang dibutuhkan dalam satu kolom adalah dengan membagi beban aksial dan daya dukung ijin satu tiang.

Terdapat beberapa tipe susunan tiang pancang berdasarkan satu berat kolom yang dipikulnya. Jumlah tiang pancang direncanakan jarak nya sesuai dengan yang diijinkan. Tebal *poer* yang direncanakan pada tiang pancang group sebesar 1,5 meter.

- Jarak antar tiang :

$$2 D \leq S \leq 2,5 D$$

$$2 \times 600 \leq S \leq 2,5 \times 600$$

$$1200 \text{ mm} \leq S \leq 1500 \text{ mm}$$

Digunakan jarak antar tiang = 1500 mm

- Jarak tepi tiang pancang :

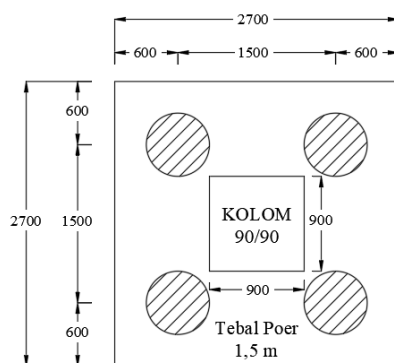
$$1 D \leq S_1 \leq 1,5 D$$

$$1 \times 600 \leq S_1 \leq 1,5 \times 600$$

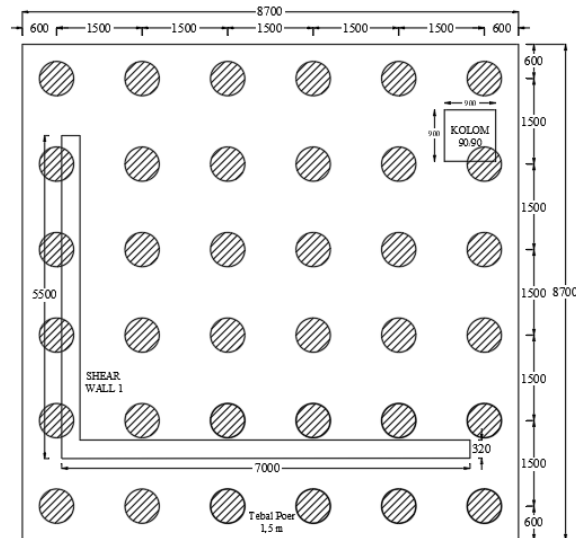
$$600 \text{ cm} \leq S_1 \leq 900 \text{ cm}$$

Digunakan jarak tiang ke tepi = 600 mm

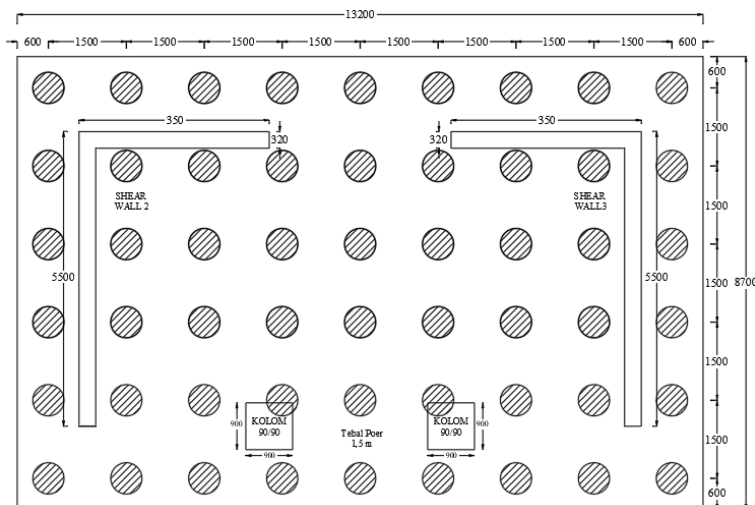
Konfigurasi tiang pancang yang direncanakan sesuai pada Gambar 4.121, 4.122, dan 4.123.



Gambar 4. 121 Konfigurasi Tiang Pancang Pondasi Tipe 1



Gambar 4. 122 Konfigurasi Tiang Pancang Pondasi Tipe 2



Gambar 4. 123 Konfigurasi Tiang Pancang Pondasi Tipe 3

4.7.5.3. Daya Dukung Tiang Pancang Kelompok

Perhitungan daya dukung tiang pancang kelompok untuk daya dukung pondasi kelompok harus dikoreksi terlebih dahulu dengan koefisien efisiensi (η) menurut Seiler-Keeney Formula.

$$\eta = \left(1 - \frac{36 \times S}{(75 \times S^2 - 7)} \times \left(\frac{m+n-2}{m+n-1} \right) \right) + \frac{0,3}{m+n}$$

Dimana :

D = diameter tiang pancang

S = jarak antar tiang pancang

m = jumlah baris tiang pancang dalam group

n = jumlah kolom tiang pancang dalam group

Untuk contoh perhitungan, digunakan Pondasi Tipe 1 dengan keterangan sebagai berikut:

- D = 0,6 m

- m = 2

- n = 2

- S = 1,5 m

Maka, nilai koefisien efisiensi:

$$\eta = \left(1 - \frac{36 \times 1,5}{(75 \times 1,5^2 - 7)} \times \left(\frac{2+2-2}{2+2-1} \right) \right) + \frac{0,3}{2+2} = 0,8524$$

Besar P_{ijin} daya dukung tanah untuk satu tiang pancang pada kedalaman 23,5 m adalah 241,22 ton. Nilai tersebut perlu dikalikan dengan koefisien efisiensi sehingga daya dukung tanah tiang dalam kelompok pada Pondasi Tipe 1 adalah sebagai berikut:

$$\begin{aligned} P_{ijin\ (grup)} &= P_{ijin\ (1\ tiang)} \times \eta \times \text{jumlah tiang} \\ &= 241,22 \times 0,8524 \times 4 \\ &= 822,51 \text{ ton} > P = 795,97 \text{ ton. (OK)} \end{aligned}$$

Rekapitulasi perhitungan daya dukung tiang pancang dalam kelompok tertera pada **Tabel 4.86, 4.87, dan 4.88.**

Tabel 4. 86 Kontrol Tiang Pancang dalam Grup Tipe 1

Kombinasi	P	η	n	$P_{ijin tiang}$	$P_{ijin grup}$	Cek
	ton		(buah)	(ton)	(ton)	
0.6D+0.7Ex Max	409.49	0.852	4	241.22	822.51	OK
0.6D+0.7Ex Min	358.87	0.852	4	241.22	822.51	OK
0.6D+0.7Ey Max	426.80	0.852	4	241.22	822.51	OK
0.6D+0.7Ey Min	341.56	0.852	4	241.22	822.51	OK
1D	640.30	0.852	4	241.22	822.51	OK
1D+1L	795.97	0.852	4	241.22	822.51	OK
1D+0.75L	757.05	0.852	4	241.22	822.51	OK
1D+0.75L+0.525Ex Max	776.03	0.852	4	241.22	822.51	OK
1D+0.75L+0.525Ex Min	738.07	0.852	4	241.22	822.51	OK
1D+0.75L+0.525Ey Max	789.01	0.852	4	241.22	822.51	OK
1D+0.75L+0.525Ey Min	725.09	0.852	4	241.22	822.51	OK
1D+0.7Ex Max	665.61	0.852	4	241.22	822.51	OK
1D+0.7Ex Min	615.00	0.852	4	241.22	822.51	OK
1D+0.7Ey Max	682.92	0.852	4	241.22	822.51	OK
1D+0.7Ey Min	597.68	0.852	4	241.22	822.51	OK

Tabel 4. 87 Kontrol Tiang Pancang dalam Grup Tipe 2

Kombinasi	P	η	n	$P_{ijin tiang}$	$P_{ijin grup}$	Cek
	ton		(buah)	(ton)	(ton)	
0.6D+0.7Ex Max	3174.76	0.722	36	241.22	6265.56	OK
0.6D+0.7Ex Min	208.23	0.722	36	241.22	6265.56	OK
0.6D+0.7Ey Max	2975.47	0.722	36	241.22	6265.56	OK
0.6D+0.7Ey Min	407.52	0.722	36	241.22	6265.56	OK
1D	2819.16	0.722	36	241.22	6265.56	OK
1D+1L	3337.95	0.722	36	241.22	6265.56	OK
1D+0.75L	3208.25	0.722	36	241.22	6265.56	OK
1D+0.75L+0.525Ex Max	4320.70	0.722	36	241.22	6265.56	OK
1D+0.75L+0.525Ex Min	2095.80	0.722	36	241.22	6265.56	OK
1D+0.75L+0.525Ey Max	4171.23	0.722	36	241.22	6265.56	OK
1D+0.75L+0.525Ey Min	2245.27	0.722	36	241.22	6265.56	OK
1D+0.7Ex Max	4302.43	0.722	36	241.22	6265.56	OK
1D+0.7Ex Min	1335.89	0.722	36	241.22	6265.56	OK
1D+0.7Ey Max	4103.13	0.722	36	241.22	6265.56	OK
1D+0.7Ey Min	1535.19	0.722	36	241.22	6265.56	OK

Tabel 4. 88 Kontrol Tiang Pancang dalam Grup Tipe 3

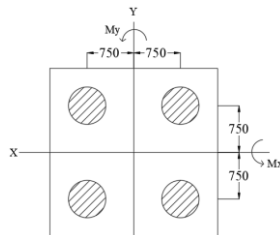
Kombinasi	P	η	n	$P_{ijin tiang}$	$P_{ijin grup}$	Cek
	ton		(buah)	(ton)	(ton)	
0.6D+0.7Ex Max	3407.41	0.710	54	241.22	9248.49	OK
0.6D+0.7Ex Min	613.6737	0.710	54	241.22	9248.49	OK
0.6D+0.7Ey Max	4245.294	0.710	54	241.22	9248.49	OK
0.6D+0.7Ey Min	-224.211	0.710	54	241.22	9248.49	OK
1D	3350.903	0.710	54	241.22	9248.49	OK
1D+1L	3917.287	0.710	54	241.22	9248.49	OK
1D+0.75L	3775.691	0.710	54	241.22	9248.49	OK
1D+0.75L+0.525Ex Max	4823.342	0.710	54	241.22	9248.49	OK
1D+0.75L+0.525Ex Min	2728.04	0.710	54	241.22	9248.49	OK
1D+0.75L+0.525Ey Max	5451.755	0.710	54	241.22	9248.49	OK
1D+0.75L+0.525Ey Min	2099.627	0.710	54	241.22	9248.49	OK
1D+0.7Ex Max	4747.771	0.710	54	241.22	9248.49	OK
1D+0.7Ex Min	1954.035	0.710	54	241.22	9248.49	OK
1D+0.7Ey Max	5585.655	0.710	54	241.22	9248.49	OK
1D+0.7Ey Min	1116.151	0.710	54	241.22	9248.49	OK

4.7.5.4. Kontrol Beban Maksimum 1 Tiang Pancang

Beban maksimum yang bekerja pada satu tiang dalam tiang kelompok dihitung berdasarkan gaya aksial dan momen yang bekerja pada tiang. Momen pada tiang dapat menyebabkan gaya tekan atau tarik pada tiang, namun yang diperhitungkan hanya gaya tekan karena gaya tarik dianggap lebih kecil dari beban gravitasi struktur, sehingga berlaku persamaan:

$$P_{max} = \frac{P}{n} + \frac{M_y \times X_{max}}{\Sigma X^2} + \frac{M_x \times Y_{max}}{\Sigma Y^2} \leq P_{ijin tanah} \text{ (1 tiang)}$$

Untuk contoh perhitungan, dilakukan perhitungan dengan menggunakan grup tiang pancang Pondasi Tipe 1 (**Gambar 4.124**) dengan kombinasi beban 1D+1L.



Gambar 4. 124 Grup tiang pancang Tipe 1

Contoh perhitungan (Pondasi Tipe 1 Kombinasi 1D+1L):

$$P = 795,95 \text{ ton}$$

$$n = 4 \text{ tiang}$$

$$M_x = M_x + (H_y \times t_{poer}) = 9,85 + (10,11 \times 1,5) = 25,015 \text{ ton m}$$

$$M_y = M_y + (H_x \times t_{poer}) = 8,42 + (9,52 \times 1,5) = 22,701 \text{ ton m}$$

$$X_{\max} = 0,75 \text{ m}$$

$$Y_{\max} = 0,75 \text{ m}$$

$$\Sigma x^2 = 2 \times (0,75^2 + 0,75^2) = 2,25 \text{ m}^2$$

$$\Sigma y^2 = 2 \times (0,75^2 + 0,75^2) = 2,25 \text{ m}^2$$

$$P_{\max} = \frac{795,95}{4} + \frac{25,015 \times 0,75}{2,25} + \frac{22,701 \times 0,75}{2,25}$$

$$= 214,897 \text{ ton} < P_{ijin \text{ 1 tiang}} = 241,22 \text{ ton (OK)}$$

Rekapitulasi kontrol beban maksimum 1 tiang pancang tertera pada **Tabel 4.89, 4.90, dan 4.91**,

Tabel 4. 89 Rekapitulasi Kontrol Beban Maksimum Tipe 1

Kombinasi	P (ton)	P/n TP (ton)	Mx (ton m)	Mx y/ Σy^2 (ton)	My (ton m)	My x/ Σx^2 (ton)	Pmax (ton)	Pjijn (ton)	Cek
0.6D+0.7Ex Max	409.49	102.37	23.81	7.94	29.14	9.71	120.02	241.22	OK
0.6D+0.7Ex Min	358.87	89.72	22.53	7.51	27.81	9.27	106.50	241.22	OK
0.6D+0.7Ey Max	426.80	106.70	30.61	10.20	22.89	7.63	124.53	241.22	OK
0.6D+0.7Ey Min	341.56	85.39	30.52	10.17	21.98	7.33	102.89	241.22	OK
ID	640.30	160.08	14.46	4.82	13.24	4.41	169.31	241.22	OK
ID+1L	795.97	198.99	25.01	8.34	22.70	7.57	214.90	241.22	OK
ID+0.75L	757.05	189.26	22.38	7.46	20.34	6.78	203.50	241.22	OK
ID+0.75L+0.525Ex Max	776.03	194.01	33.52	11.17	35.22	11.74	216.92	241.22	OK
ID+0.75L+0.525Ex Min	738.07	184.52	30.69	10.23	35.23	11.74	206.49	241.22	OK
ID+0.75L+0.525Ey Max	789.01	197.25	38.34	12.78	30.53	10.18	220.21	241.22	OK
ID+0.75L+0.525Ey Min	725.09	181.27	37.67	12.56	30.53	10.18	204.01	241.22	OK
ID+0.7Ex Max	665.61	166.40	29.33	9.78	34.22	11.41	187.58	241.22	OK
ID+0.7Ex Min	615.00	153.75	27.20	9.07	33.11	11.04	173.85	241.22	OK
ID+0.7Ey Max	682.92	170.73	35.95	11.98	27.96	9.32	192.04	241.22	OK
ID+0.7Ey Min	597.68	149.42	35.77	11.92	27.01	9.00	170.35	241.22	OK

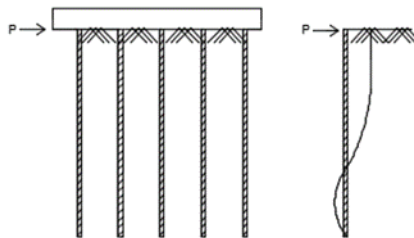
Tabel 4. 90 Rekapitulasi Kontrol Beban Maksimum Tipe 2

Kombinasi	P (ton)	P/n TP (ton)	Mx (ton m)	Mx y/ Σy^2 (ton)	My (ton m)	My x/ Σx^2 (ton)	Pmax (ton)	Pjijn (ton)	Cek
0.6D+0.7Ex Max	3174.76	88.19	242.11	3.84	379.48	6.02	98.05	241.22	OK
0.6D+0.7Ex Min	208.23	5.78	226.99	3.60	389.04	6.18	15.56	241.22	OK
0.6D+0.7Ey Max	2975.47	82.65	294.59	4.68	264.52	4.20	91.53	241.22	OK
0.6D+0.7Ey Min	407.52	11.32	279.48	4.44	274.08	4.35	20.11	241.22	OK
ID	2819.16	78.31	12.60	0.20	7.97	0.13	78.64	241.22	OK
ID+1L	3337.95	92.72	19.75	0.31	12.90	0.20	93.24	241.22	OK
ID+0.75L	3208.25	89.12	17.96	0.29	11.67	0.19	89.59	241.22	OK
ID+0.75L+0.525Ex Max	4320.70	120.02	193.87	3.08	276.53	4.39	127.49	241.22	OK
ID+0.75L+0.525Ex Min	2095.80	58.22	157.95	2.51	299.86	4.76	65.48	241.22	OK
ID+0.75L+0.525Ey Max	4171.23	115.87	233.24	3.70	190.31	3.02	122.59	241.22	OK
ID+0.75L+0.525Ey Min	2245.27	62.37	197.31	3.13	213.64	3.39	68.89	241.22	OK
ID+0.7Ex Max	4302.43	119.51	247.15	3.92	376.30	5.97	129.41	241.22	OK
ID+0.7Ex Min	1335.89	37.11	221.95	3.52	392.23	6.23	46.86	241.22	OK
ID+0.7Ey Max	4103.13	113.98	299.63	4.76	261.34	4.15	122.88	241.22	OK
ID+0.7Ey Min	1535.19	42.64	274.44	4.36	277.27	4.40	51.40	241.22	OK

Tabel 4. 91 Rekapitulasi Kontrol Beban Maksimum Tipe 3

Kombinasi	P (ton)	P/n TP (ton)	Mx (ton m)	Mx y/ Σy^2	My (ton m)	My x/ Σx^2	Pmax (ton)	Pijm (ton)	Cek
0.6D+0.7Ex Max	3407.41	63.10	266.50	2.82	347.05	2.57	68.49	241.22	OK
0.6D+0.7Ex Min	613.67	11.36	258.91	2.74	352.68	2.61	16.72	241.22	OK
0.6D+0.7Ey Max	4245.29	78.62	582.32	6.16	346.12	2.56	87.34	241.22	OK
0.6D+0.7Ey Min	224.21	4.15	574.73	6.08	351.75	2.61	12.84	241.22	OK
1D	3350.90	62.05	6.33	0.07	4.69	0.03	62.16	241.22	OK
1D+1L	3917.29	72.54	9.92	0.10	7.78	0.06	72.70	241.22	OK
1D+0.75L	3775.69	69.92	9.02	0.10	7.01	0.05	70.07	241.22	OK
1D+0.75L+0.525Ex Max	4823.34	89.32	206.05	2.18	255.39	1.89	93.39	241.22	OK
1D+0.75L+0.525Ex Min	2728.04	50.52	188.00	1.99	269.41	2.00	54.50	241.22	OK
1D+0.75L+0.525Ey Max	5451.76	100.96	442.92	4.69	254.69	1.89	107.53	241.22	OK
1D+0.75L+0.525Ey Min	2099.63	38.88	424.87	4.50	268.71	1.99	45.37	241.22	OK
1D+0.7Ex Max	4747.77	87.92	269.03	2.85	345.18	2.56	93.33	241.22	OK
1D+0.7Ex Min	1954.03	36.19	256.38	2.71	354.56	2.63	41.53	241.22	OK
1D+0.7Ey Max	5585.66	103.44	584.85	6.19	344.24	2.55	112.18	241.22	OK
1D+0.7Ey Min	1116.15	20.67	572.20	6.06	353.62	2.62	29.34	241.22	OK

4.7.5.5. Kontrol Kekuatan Tiang Terhadap Gaya Lateral



Gambar 4. 125 Diagram Gaya Lateral Tiang

Gaya lateral yang bekerja pada tiang dapat menyebabkan terjadinya defleksi dan momen. Oleh karena itu harus dilakukan kontrol terhadap defleksi yang terjadi pada tiang.

Kontrol defleksi tiang :

$$\delta = Fd \left(\frac{PT^3}{EI} \right) \leq 2.5 \text{ cm}$$

δ = Defleksi yang terjadi

F_δ = Koefisien defleksi (dilihat pada grafik)

P = Gaya lateral 1 tiang

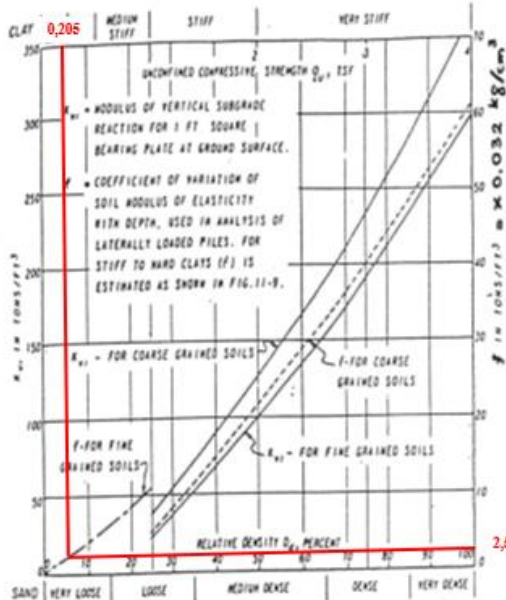
T = *Relative stiffness Factor*

Contoh perhitungan pada Pondasi Tipe 1 (Kombinasi 1D + 1L)
Jumlah tiang = 4

$$H_{max} = 6,89 \text{ ton} = 6888,1 \text{ kg}$$

$$H_{max} \text{ 1 tiang} = 6888,1 \text{ ton} / 4 \text{ buah} = 1722,025 \text{ kg}$$

$$q_u, tsf = x 0.977 \text{ ksf/cm}^2$$



Gambar 4. 126 Grafik *Immediate Settlement of Isolate Footing*

$$C_u = 0,1 \text{ kg/cm}^2 \text{ (didapat dari data tanah)}$$

$$Q_u = 2 \times C_u = 2 \times \frac{0,1}{0,977} = 0,205 \frac{t}{ft^2}$$

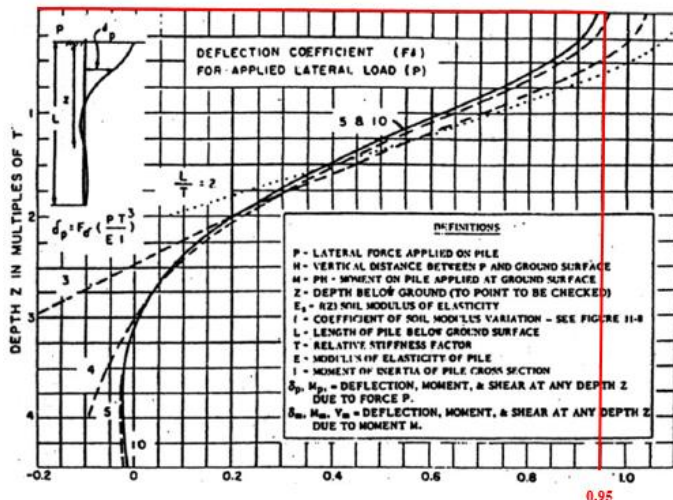
Lempung (Data Tanah) → Dianggap *Fine Grained Soils*

Didapatkan dari grafik *Immediate Settlement of Isolate Footing* (**Gambar 4.126**):

$$f \text{ (soil modulus of elasticity coefficient)} = 2,5 \text{ ton/ft}^3 \\ = 0,08 \text{ kg/cm}^3$$

$$T = \left(\frac{EI}{f} \right)^{\frac{1}{5}}$$

$$\begin{aligned}
 E &= 4700 \sqrt{f'c} = 4700 \sqrt{52} = 33892 \text{ MPa} \\
 &= 338921 \text{ kg/cm}^2 \\
 I &= \frac{\pi}{64} \times (D_{luar}^4 - D_{dalam}^4) \\
 &= \frac{\pi}{64} \times (60^4 - (60 - 10 - 10^4)) \\
 &= 510508,81 \text{ cm}^4 \\
 T &= \left(\frac{EI}{f} \right)^{\frac{1}{5}} = \left(\frac{338921 \times 510508,81}{0,08} \right)^{\frac{1}{5}} = 293,09 \text{ cm} \\
 L &= 19 \text{ m} = 1900 \text{ (kedalaman tiang pancang)} \\
 L/T &= 6,48
 \end{aligned}$$



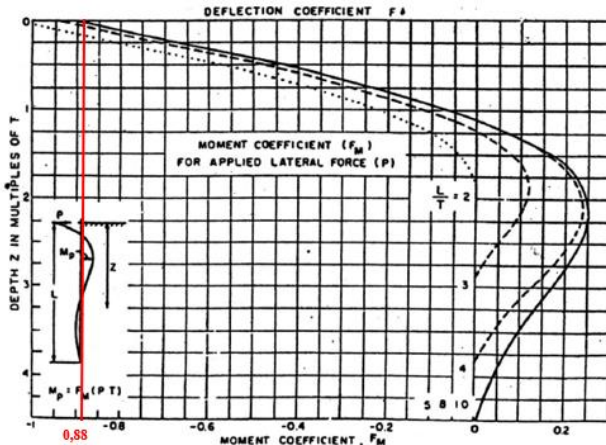
Gambar 4. 127 Grafik Influence Value for Laterally Loaded Pile

Dari grafik *Influence Value for Laterally Loaded Pile* (**Gambar 4.127**) maka didapatkan F_δ (deflection coefficient) = 0,95

$$\delta = F_d \left(\frac{H \max T^3}{EI} \right) \leq 2,5 \text{ cm}$$

$$\delta = 0,95 \left(\frac{10109 \times 239,09^3}{338921,82 \times 510508,81} \right) \leq 2,5 \text{ cm}$$

$$\delta = 0,35 \text{ cm} \leq 2,5 \text{ cm (OK)}$$



Gambar 4. 128 Grafik *Influence Value for Laterally Loaded Pile*

Kontrol Momen :

$$L/T = 6,48$$

Didapatkan dari grafik *Influence Value for Laterally Loaded Pile (Gambar 4.128)*:

$$F_m \text{ (moment coefficient)} = 0,88$$

$$M = F_m (H_{max} T) \leq M_{bending crack}$$

$$M = 0,88 (10,1 \times 293,09) \leq 17 \text{ ton m (data tiang pancang)}$$

$$M = 6,52 \text{ ton m} \leq 17 \text{ ton m (OK)}$$

Rekapitulasi perhitungan kontrol kekuatan tiang terhadap gaya lateral tertera pada **Tabel 4.92, 4.93, dan 4.94**.

Tabel 4. 92 Kontrol terhadap Gaya Lateral Tipe 1

Jumlah Tiang	Kombinasi	H _{max} (kg)	H _{max} 1 tiang (kg)	δ (cm)	$\delta < 2,5$ (cm)	M _{max} (ton m)	M _{crack} (ton m)	Cek
4	0.6D+0.7Ex Max	6888.1	1722.03	0.24	OK	4.44	17.00	OK
4	0.6D+0.7Ex Min	6201.1	1550.28	0.21	OK	4.00	17.00	OK
4	0.6D+0.7Ey Max	6643.8	1660.95	0.23	OK	4.28	17.00	OK
4	0.6D+0.7Ey Min	6646.3	1661.58	0.23	OK	4.29	17.00	OK
4	ID	5749.0	1437.25	0.20	OK	3.71	17.00	OK
4	ID+1L	10109.4	2527.35	0.35	OK	6.52	17.00	OK
4	ID+0.75L	9019.3	2254.83	0.31	OK	5.82	17.00	OK
4	ID+0.75L+0.525Ex Max	10941.2	2735.30	0.38	OK	7.05	17.00	OK
4	ID+0.75L+0.525Ex Min	10728.5	2682.13	0.37	OK	6.92	17.00	OK
4	ID+0.75L+0.525Ey Max	11415.1	2853.78	0.39	OK	7.36	17.00	OK
4	ID+0.75L+0.525Ey Min	11303.5	2825.88	0.39	OK	7.29	17.00	OK
4	ID+0.7Ex Max	9084.5	2271.13	0.31	OK	5.86	17.00	OK
4	ID+0.7Ex Min	8415.5	2103.88	0.29	OK	5.43	17.00	OK
4	ID+0.7Ey Max	8943.5	2235.88	0.31	OK	5.77	17.00	OK
4	ID+0.7Ey Min	8902.1	2225.53	0.31	OK	5.74	17.00	OK

Tabel 4. 93 Kontrol terhadap Gaya Lateral Tipe 2

Jumlah Tiang	Kombinasi	H _{max} (kg)	H _{max} 1 tiang (kg)	δ (cm)	$\delta < 2,5$ (cm)	M _{max} (ton m)	M _{crack} (ton m)	Cek
36	0.6D+0.7Ex Max	192561.1	5348.9194	0.739426	OK	13.79594	17.00	OK
36	0.6D+0.7Ex Min	195469.1	5429.6972	0.750592	OK	14.00428	17.00	OK
36	0.6D+0.7Ey Max	138707.5	3852.9861	0.53263	OK	9.937627	17.00	OK
36	0.6D+0.7Ey Min	136861	3801.6944	0.52554	OK	9.805335	17.00	OK
36	ID	7169.7	199.15833	0.027531	OK	0.513669	17.00	OK
36	ID+1L	12442.1	345.61389	0.047777	OK	0.891408	17.00	OK
36	ID+0.75L	11124	309	0.042716	OK	0.796973	17.00	OK
36	ID+0.75L+0.525Ex Max	141958.8	3943.3	0.545115	OK	10.17056	17.00	OK
36	ID+0.75L+0.525Ex Min	149063.9	4140.6639	0.572398	OK	10.67961	17.00	OK
36	ID+0.75L+0.525Ey Max	111928.2	3109.1167	0.429799	OK	8.019038	17.00	OK
36	ID+0.75L+0.525Ey Min	105107.9	2919.6639	0.403609	OK	7.530401	17.00	OK
36	ID+0.7Ex Max	191591.9	5321.9972	0.735704	OK	13.7265	17.00	OK
36	ID+0.7Ex Min	196438.4	5456.6222	0.754314	OK	14.07373	17.00	OK
36	ID+0.7Ey Max	141575.4	3932.65	0.543643	OK	10.1431	17.00	OK
36	ID+0.7Ey Min	137830.2	3828.6167	0.529262	OK	9.874773	17.00	OK

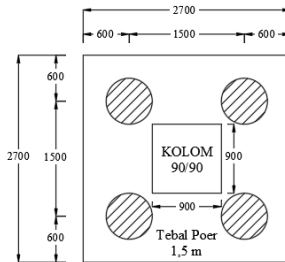
Tabel 4. 94 Kontrol terhadap Gaya Lateral Tipe 3

Jumlah Tiang	Kombinasi	H _{max} (kg)	H _{max} 1 tiang (kg)	δ (cm)	$\delta < 2,5$ (cm)	M _{max} (ton m)	M _{crack} (ton m)	Cek
54	0.6D+0.7Ex Max	156756.2	2902.8926	0.401291	OK	7.487144	17.00	OK
54	0.6D+0.7Ex Min	159179.6	2947.7704	0.407495	OK	7.602893	17.00	OK
54	0.6D+0.7Ey Max	276512.9	5120.6093	0.707865	OK	13.20708	17.00	OK
54	0.6D+0.7Ey Min	270828	5015.3333	0.693311	OK	12.93555	17.00	OK
54	ID	4737.4	87.72963	0.012128	OK	0.226272	17.00	OK
54	ID+1L	8750.6	162.04815	0.022401	OK	0.417955	17.00	OK
54	ID+0.75L	7747.4	143.47037	0.019833	OK	0.370039	17.00	OK
54	ID+0.75L+0.525Ex Max	115407.2	2137.1704	0.295439	OK	5.512192	17.00	OK
54	ID+0.75L+0.525Ex Min	121544.6	2250.8259	0.31115	OK	5.805333	17.00	OK
54	ID+0.75L+0.525Ey Max	213000.2	3944.4481	0.545274	OK	10.17353	17.00	OK
54	ID+0.75L+0.525Ey Min	197505.5	3657.5093	0.505608	OK	9.433452	17.00	OK
54	ID+0.7Ex Max	155948.4	2887.9333	0.399223	OK	7.448561	17.00	OK
54	ID+0.7Ex Min	159987.6	2962.7333	0.409563	OK	7.641485	17.00	OK
54	ID+0.7Ey Max	278407.6	5155.6963	0.712715	OK	13.29758	17.00	OK
54	ID+0.7Ey Min	268933.1	4980.2426	0.68846	OK	12.84505	17.00	OK

4.7.6. Perencanaan Poer (*Pile Cap*)

Pada perhitungan perencanaan *poer* diambil salah satu contoh tipe *poer*, yaitu tipe Pondasi *Pile Cap* 1 (**Gambar 4.129**). Berikut data perencanaan yang diperlukan untuk perancangan *poer*:

- Σ tiang pancang tiap grup = 4
- Diamater tiang pancang = 60 cm
- Dimensi kolom = $900 \times 900 \text{ mm}^2$
- Dimensi *Pile Cap* = $2,7 \times 2,7 \times 1,5 \text{ m}^3$
- Mutu Beton ($f'c$) = 35 MPa
- Mutu Baja (f_y) = 420 MPa
- Diameter Tulangan (D) = 29 mm
- *Clear Cover* = 75 mm
- λ = 1 (beton normal)
- Tinggi efektif (d) = $1500-75-\frac{1}{2} \times 29 = 1410,5 \text{ mm}$



Gambar 4. 129 Tampak Atas Pile Cap Tipe 1

$$P_u \text{ Kolom} = 795,97 \text{ ton}$$

$$P_u \text{ Pile} = 1,5 \times P_{ijin} = 1,5 \times 241,22 = 361,84 \text{ ton}$$

Diambil SF *Pile Cap* 1,5 karena diasumsikan *pile cap* tidak boleh gagal terlebih dahulu dibandingkan tiang pancang.

4.7.6.1. Kontrol Geser Pons pada *Pile Cap*

a. Akibat Kolom

Poer harus mampu menyebarkan beban dari kolom ke pondasi, sehingga perlu dilakukan kontrol kekuatan geser pons untuk memastikan bahwa kekuatan geser nominal beton harus lebih besar dari geser pons yang terjadi. Perencanaan geser pons pada poer tersebut dilakukan berdasarkan ketentuan SNI 2847:2019 Pasal 22.6.5.2.

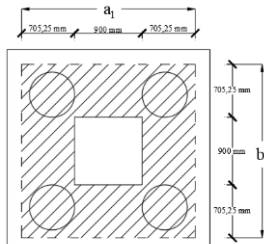
Bagian geser yang terjadi pada geser dua arah adalah pada d/2 dari muka kolom, seperti pada gambar dibawah.

$$a_1 = 900 + (705,25 \times 2) = 2310,5 \text{ mm}$$

$$b_1 = 900 + (705,25 \times 2) = 2310,5 \text{ mm}$$

$$U = 2 (a_1 + b_1) = 9242 \text{ mm}$$

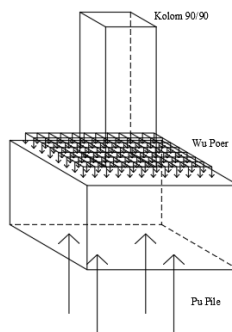
Ilustrasi daerah geser pons pada Pilecap tipe 1 tertera pada **Gambar 4.130**.



Gambar 4. 130 Ilustrasi Daerah Geser Pons pada Pondasi tipe 1

Pada SNI tidak memberikan prosedur eksplisit untuk menghitung *punching load* pada *pile cap*. Sehingga *punching load* dapat diasumsikan sama dengan beban kolom ditambah beban *pile cap* sendiri di dalam daerah kritis ($d/2$), serta dikurang berat dari bagian pile yang terletak di dalam daerah kritis ($d/2$). *Punching load* bisa diperhitungkan sebagai berikut dan diilustrasikan seperti pada **Gambar 4.131**:

$$\begin{aligned}
 W_{u \text{ poer}} &= 1,2 \times BJ_{\text{beton}} \times \text{Luas daerah kritis} \times \text{tebal pilecap} \\
 &= 1,2 \times 2,4 \times 2310,5^2 \times 1,5 = 23,06 \text{ ton} \\
 P_{\text{pile}} &= P_{u \text{ pile}} \times \text{jumlah pile di daerah kritis} \\
 &= 361,84 \times 4 = 1447,36 \text{ ton} \\
 P_{u \text{ punch}} &= P_{u \text{ kolom}} + W_{u \text{ poer}} - P_{\text{pile}} \\
 &= 795,97 + 23,06 - 1447,36 \\
 &= 628,32 \text{ ton}
 \end{aligned}$$



Gambar 4. 131 Ilustrasi Gaya *Punching Load*

Untuk pondasi tapak nonprategang (V_c) ditentukan berdasarkan SNI 22.6.5.2 dan diambil nilai yang terkecil dari persamaan berikut:

$$V_{c1} = 0,17 \left(1 + \frac{2}{\beta}\right) \lambda \sqrt{f'c} b_o d$$

$$V_{c2} = 0,083 \left(2 + \frac{a_s d}{b_o}\right) \lambda \sqrt{f'c} b_o d$$

$$V_{c2} = 0,33 \lambda \sqrt{f'c} b_o d$$

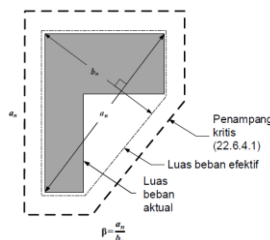
Dimana:

a_s = 20 untuk kolom sudut, 30 untuk kolom tepi ,40 untuk kolom interior

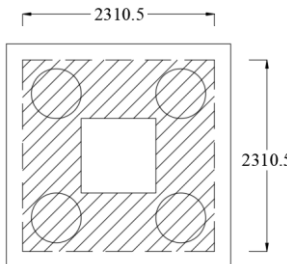
β = Rasio sisi terpanjang terhadap sisi terpendek kolom
 $= 900/900 = 1$

b_o = Keliling penampang kritis
 $= 2 (a_1 + b_1) = 2 (2310,5 + 2310,5)$
 $= 9242 \text{ mm}$

Menurut SNI 2847:2019 Pasal 22.6.5.2 untuk kolom berbentuk selain bentuk persegi, β diambil dari rasio dimensi rata-rata terbesar dari daerah pembebanan efektif, sampai dimensi tegak lurus terbesar dari daerah pembebanan efektif seperti pada **Gambar 4.132**:



Gambar 4. 132 Ilustrasi Pembebanan Kolom Selain Bentuk Persegi



Gambar 4. 133 Area Kritis Geser Pons Dua Arah Pondasi Tipe 1

$$\begin{aligned} V_{c1} &= 0,17 \left(1 + \frac{2}{1}\right) 1\sqrt{35} \times 9242 \times 1410,5 \\ &= 39.331.748,45 \text{ N} \end{aligned}$$

$$\begin{aligned} V_{c2} &= 0,083 \left(2 + \frac{20(1410,5)}{9242}\right) 1\sqrt{35} \times 9242 \times 1410,5 \\ &= 32.340.446,79 \text{ N} \end{aligned}$$

$$\begin{aligned} V_{c3} &= 0,33(1)\sqrt{35} \times 9242 \times 1410,5 \\ &= 25.681.318,11 \text{ N} \end{aligned}$$

$$\begin{aligned} V_c \text{ pakai} &= 25.681.318,11 \text{ N} \\ &= 2568,13 \text{ ton} \end{aligned}$$

$$\phi V_c = 0,75 \times 2568,13 = 1926,1 \text{ ton}$$

$$\phi V_c > P_u \text{ punch} = 628,32 \text{ ton (OK)}$$

Kontrol tegangan geser yang terjadi:

$$\tau_c = 0,33\sqrt{f'c} = 0,33\sqrt{35} = 1,97 \text{ MPa}$$

$$\tau_u = \frac{P_u \text{ punch}}{b_o \times d} = \frac{628,31 \times 10^4}{9242 \times 1410,5} = 0,48 \text{ MPa}$$

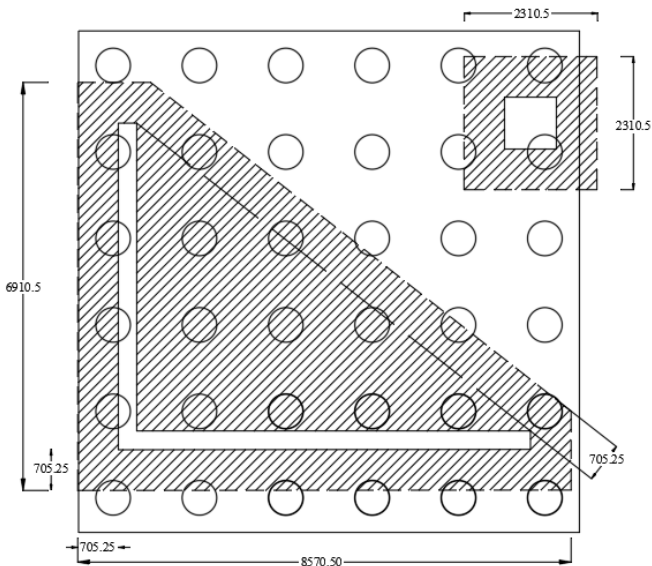
$$\tau_u < \tau_c \dots (\text{OK})$$

Dari kontrol tersebut dapat diasumsikan ketebalan dan ukuran poer mampu menahan gaya geser pons yang terjadi.

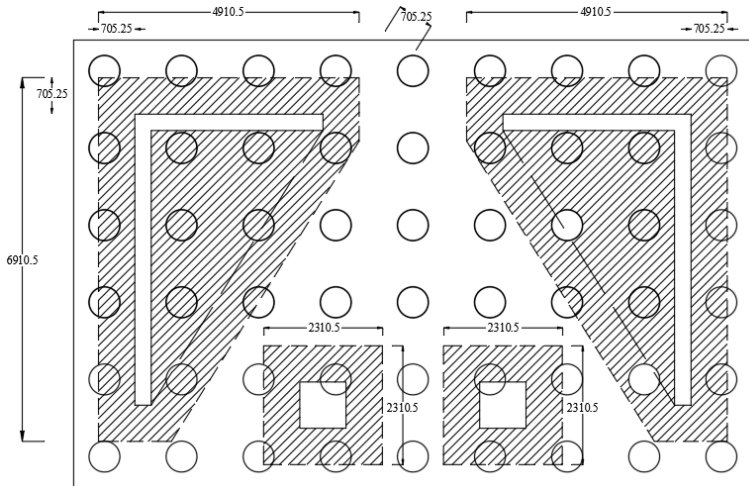
Area kritis geser pons pada Pilecap Tipe 2 dan 3 diilustrasikan pada **Gambar 4.134** dan **4.135**.

Tabel 4. 95 Kontrol Geser dan Tegangan 2 Arah Akibat Kolom

Tipe Pondasi	ϕV_c	P_u Punch	Kontrol	τ_c	τ_u	Kontrol
	(ton)	(ton)		(MPa)	(MPa)	
1	1,926.10	628.32	OK	1.972027	0.481991	OK
2	5,287.57	2359.14	OK	1.972027	0.454615	OK
3	7,409.59	5005.74	OK	1.972027	0.620265	OK

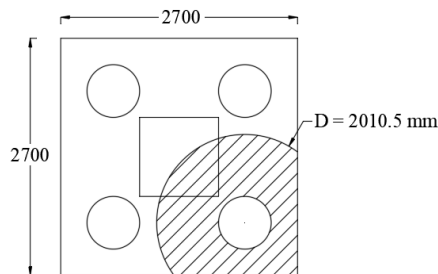


Gambar 4. 134 Area kritis geser pons dua arah Pondasi Tipe 2



Gambar 4. 135 Area kritis geser pons dua arah Pondasi Tipe 3

b. Akibat Tiang Pancang



Gambar 4. 136 Area Kritis Akibat 1 Tiang Pancang

β = rasio sisi terpanjang terhadap sisi terpendek

$$= \frac{60}{60} = 1$$

$$D = 600 + 705,25 + 705,25 = 2010,5 \text{ mm}$$

$$b_0 = \text{Keliling penampang kritis}$$

$$= \pi D = 3,14 \times 2010,5$$

$$= 6316,172 \text{ mm}^2$$

$$\begin{aligned}
 P_{u \text{ pile}} &= 361,84 \text{ ton} \\
 P_{\text{kolom}} &= \text{Kolom yang berada pada area kritis} \times P_{u \text{ kolom}} \\
 &= 0,358 \times 795,97 \\
 &= 284,96 \text{ ton} \\
 P_{\text{total}} &= 361,84 - 284,96 = 76,88 \text{ ton} \\
 V_{c1} &= 0,17 \left(1 + \frac{2}{1}\right) 1\sqrt{35} \times 6316,172 \times 1410,5 \\
 &= 26.880.122,21 \text{ N} \\
 V_{c2} &= 0,083 \left(2 + \frac{20(1410,5)}{6316,172}\right) 1\sqrt{35} \times 6316,172 \times 1410,5 \\
 &= 28.287.584,52 \text{ N} \\
 V_{c3} &= 0,33(1)\sqrt{35} \times 6316,172 \times 1410,5 \\
 &= 17.551.138,62 \text{ N} \\
 V_{c \text{ pakai}} &= 17.551.138,62 \text{ N} \\
 &= 1755,11 \text{ ton} \\
 \phi V_c &= 0,75 \times 1755,11 = 1316,34 \text{ ton} \\
 \phi V_c &> P_{u \text{ total}} = 76,88 \text{ ton (OK)}
 \end{aligned}$$

Kontrol tegangan geser yang terjadi:

$$\begin{aligned}
 \tau_c &= 0,33\sqrt{f'c} = 0,33\sqrt{35} = 1,97 \text{ MPa} \\
 \tau_u &= \frac{P_{u \text{ total}}}{b_o \times d} = \frac{76,88 \times 10^4}{6316,172 \times 1410,5} = 0,086 \text{ MPa} \\
 \tau_u &< \tau_c \dots (\text{OK})
 \end{aligned}$$

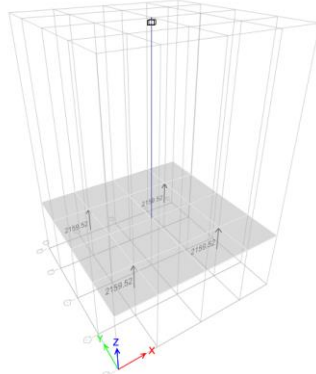
Tabel 4. 96 Kontrol Geser dan Tegangan 2 Arah Akibat Tiang Pancang

Tipe Pondasi	ϕV_c	$P_{u \text{ total}}$	Kontrol	τ_c	τ_u	Kontrol
	(ton)	(ton)		(MPa)	(MPa)	
1	1,316.34	76.88	OK	1.972027	0.086295	OK
2	1,316.34	361.84	OK	1.972027	0.406148	OK
3	1,316.34	361.84	OK	1.972027	0.406148	OK

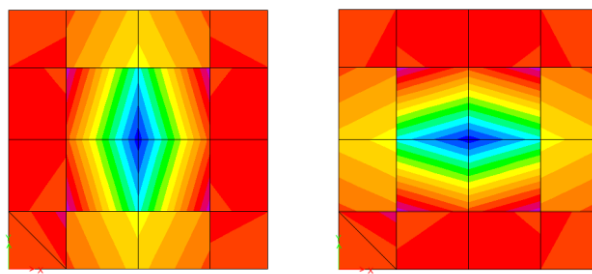
4.7.6.2. Penulangan Pilecap

Untuk penulangan lentur, momen *pilecap* dianalisa menggunakan program bantu ETABS, sebagai pelat atau *shell* dengan ketebalan 1,5 m. Lalu pelat dijepit atau dikekang dengan

kolom atau *shearwall* yang menumpu pada pilecap tersebut. Sedangkan tiang pancang dimodelkan sebagai beban P_{max} yang melawan arah gravitasi dan ditambah dengan berat sendiri dari *pilecap*. Berikut merupakan hasil permodelan dari *pilecap* tipe 1, 2, dan 3. **Gambar 4.137** dan **4.138** merupakan permodelan serta diagram momen yang terjadi pada Pilecap tipe 1.



Gambar 4. 137 Permodelan 3D Pilecap Tipe 1



(a)

(b)

Gambar 4. 138 M11 (a) dan M22 (b) pada Pilecap Tipe 1

Pada perhitungan penulangan *pilecap* kali ini akan diberikan contoh perhitungan dari *Pilecap* Tipe 1.

- Penulangan *Pilecap* Tipe 1 Arah X (M11)

Dari hasil permodelan pada ETABS didapatkan:

$$M_u \text{ Positif} = 1855,42 \text{ kNm} = 1855421000 \text{ Nmm}$$

$$M_u \text{ Negatif} = 417,47 \text{ kNm} = 417468000 \text{ Nmm}$$

$$d_x = 1500 - 75 - 0,5(29) = 1410,5 \text{ mm}$$

$$d_y = 1500 - 75 - 29 - 0,5(29) = 1381,5 \text{ mm}$$

- Penulangan Tarik (Bawah)

$$R_n = \frac{Mu}{\emptyset \times b \times dx^2} = \frac{1855421000}{0,9 \times 2700 \times 1410,5^2} = 0,384 \text{ Mpa}$$

$$\rho_{min1} = \frac{1,4}{f_y} = \frac{1,4}{420} = 0,0033$$

$$\rho_{min2} = \frac{0,25 \times \sqrt{fc'}}{f_y} = \frac{0,25 \times \sqrt{35}}{420} = 0,00352$$

Maka, ρ_{min} pakai = 0,00352

$$m = \frac{f_y}{0,85 \times f'c} = \frac{420}{0,85 \times 35} = 14,12$$

$$\begin{aligned} \rho_{perlu} &= \frac{1}{m} \left(1 - \sqrt{1 - \frac{2 \times m \times Rn}{f_y}} \right) \\ &= \frac{1}{14,12} \left(1 - \sqrt{1 - \frac{2 \times 14,12 \times 0,384}{420}} \right) = 0,00092 \end{aligned}$$

$\rho_{perlu} < \rho_{min}$, maka digunakan $\rho_{min} = 0,00352$

$$A_s \text{ perlu} = \rho \times b \times d = 0,00352 \times 1000 \times 1410,5$$

$$= 4967,04 \text{ mm}^2$$

$$s = \frac{0,25 \times \pi \times \phi^2 \times 1000}{A_s \text{ perlu}} = \frac{0,25 \times \pi \times 29^2 \times 1000}{4967,04}$$

$$= 132,98 \text{ mm} \approx 100 \text{ mm}$$

∴ Digunakan Tulangan Tarik Arah X D29 – 100 mm

- Penulangan Tekan (Atas)

$$R_n = \frac{Mu}{\emptyset \times b \times dx^2} = \frac{417468000}{0,9 \times 2700 \times 1410,5^2} = 0,086 \text{ Mpa}$$

$$\rho_{min1} = \frac{1,4}{f_y} = \frac{1,4}{420} = 0,0033$$

$$\rho_{min2} = \frac{0,25 \times \sqrt{fc'}}{f_y} = \frac{0,25 \times \sqrt{35}}{420} = 0,00352$$

Maka, ρ_{min} pakai = 0,00352

$$m = \frac{fy}{0,85 \times f'c} = \frac{420}{0,85 \times 35} = 14,12$$

$$\begin{aligned}\rho_{perlu} &= \frac{1}{m} \left(1 - \sqrt{1 - \frac{2 \times m \times Rn}{fy}} \right) \\ &= \frac{1}{14,12} \left(1 - \sqrt{1 - \frac{2 \times 14,12 \times 0,086}{420}} \right) = 0,00021\end{aligned}$$

$\rho_{perlu} < \rho_{min}$, maka digunakan $\rho_{min} = 0,00352$

$$\begin{aligned}A_s \text{ perlu} &= \rho \times b \times d = 0,00352 \times 1000 \times 1410,5 \\ &= 4967,04 \text{ mm}^2\end{aligned}$$

$$\begin{aligned}s &= \frac{0,25 \times \pi \times \phi^2 \times 1000}{A_s \text{ perlu}} = \frac{0,25 \times \pi \times 29^2 \times 1000}{4967,04} \\ &= 132,98 \text{ mm} \approx 100 \text{ mm}\end{aligned}$$

∴ Digunakan Tulangan Tekan Arah X D29 – 100 mm

- Penulangan *Pilecap* Tipe 1 Arah Y (M22)

Dari hasil permodelan pada ETABS didapatkan:

$$M_u \text{ Positif} = 1855,42 \text{ kNm} = 1855421000 \text{ Nmm}$$

$$M_u \text{ Negatif} = 417,47 \text{ kNm} = 417468000 \text{ Nmm}$$

$$d_x = 1500 - 75 - 0,5(29) = 1410,5 \text{ mm}$$

$$d_y = 1500 - 75 - 29 - 0,5(29) = 1381,5 \text{ mm}$$

- Penulangan Tarik (Bawah)

$$R_n = \frac{Mu}{\emptyset \times b \times dy^2} = \frac{1855421000}{0,9 \times 2700 \times 1381,5^2} = 0,4 \text{ Mpa}$$

$$\rho_{min1} = \frac{1,4}{fy} = \frac{1,4}{420} = 0,0033$$

$$\rho_{min2} = \frac{0,25 \times \sqrt{f'c'}}{fy} = \frac{0,25 \times \sqrt{35}}{420} = 0,00352$$

Maka, ρ_{min} pakai = 0,00352

$$m = \frac{fy}{0,85 \times f'c} = \frac{420}{0,85 \times 35} = 14,12$$

$$\rho_{perlu} = \frac{1}{m} \left(1 - \sqrt{1 - \frac{2 \times m \times Rn}{fy}} \right)$$

$$= \frac{1}{14,12} \left(1 - \sqrt{1 - \frac{2 \times 14,12 \times 0,4}{420}} \right) = 0,00096$$

$\rho_{perlu} < \rho_{min}$, maka digunakan $\rho_{min} = 0,00352$

$$A_s \text{ perlu} = \rho \times b \times d = 0,00352 \times 1000 \times 1381,5$$

$$= 4864,92 \text{ mm}^2$$

$$s = \frac{0,25 \times \pi \times \phi^2 \times 1000}{A_s \text{ perlu}} = \frac{0,25 \times \pi \times 29^2 \times 1000}{4864,92}$$

$$= 135,77 \text{ mm} \approx 100 \text{ mm}$$

∴ **Digunakan Tulangan Tarik Arah Y D29 – 100 mm**

- Penulangan Tekan (Atas)

$$R_n = \frac{Mu}{\emptyset \times b \times dy^2} = \frac{417468000}{0,9 \times 2700 \times 1381,5^2} = 0,09 \text{ Mpa}$$

$$\rho_{min1} = \frac{1,4}{f_y} = \frac{1,4}{420} = 0,0033$$

$$\rho_{min2} = \frac{0,25 \times \sqrt{fc'}}{f_y} = \frac{0,25 \times \sqrt{35}}{420} = 0,00352$$

Maka, ρ_{min} pakai = 0,00352

$$m = \frac{f_y}{0,85 \times f'_c} = \frac{420}{0,85 \times 35} = 14,12$$

$$\rho_{perlu} = \frac{1}{m} \left(1 - \sqrt{1 - \frac{2 \times m \times Rn}{f_y}} \right)$$

$$= \frac{1}{14,12} \left(1 - \sqrt{1 - \frac{2 \times 14,12 \times 0,09}{420}} \right) = 0,00022$$

$\rho_{perlu} < \rho_{min}$, maka digunakan $\rho_{min} = 0,00352$

$$A_s \text{ perlu} = \rho \times b \times d = 0,00352 \times 1000 \times 1381,5$$

$$= 4864,92 \text{ mm}^2$$

$$s = \frac{0,25 \times \pi \times \phi^2 \times 1000}{A_s \text{ perlu}} = \frac{0,25 \times \pi \times 29^2 \times 1000}{4864,92}$$

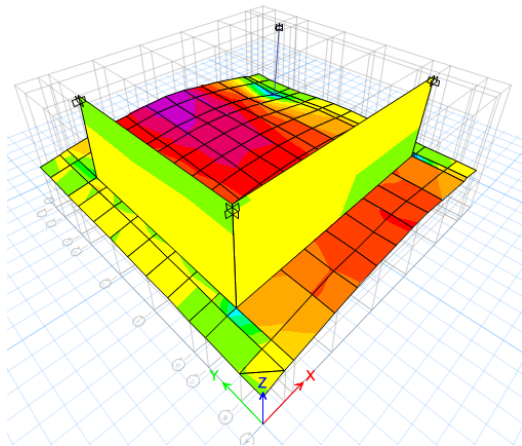
$$= 135,77 \text{ mm} \approx 100 \text{ mm}$$

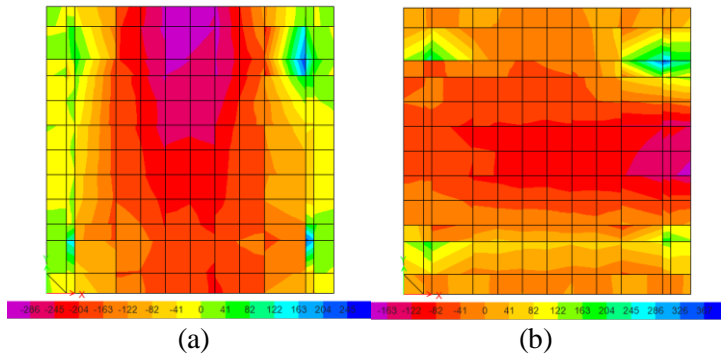
∴ **Digunakan Tulangan Tekan Arah Y D29 – 100 mm**

Tabel 4. 97 Rekapitulasi Penulangan *Pilecap*

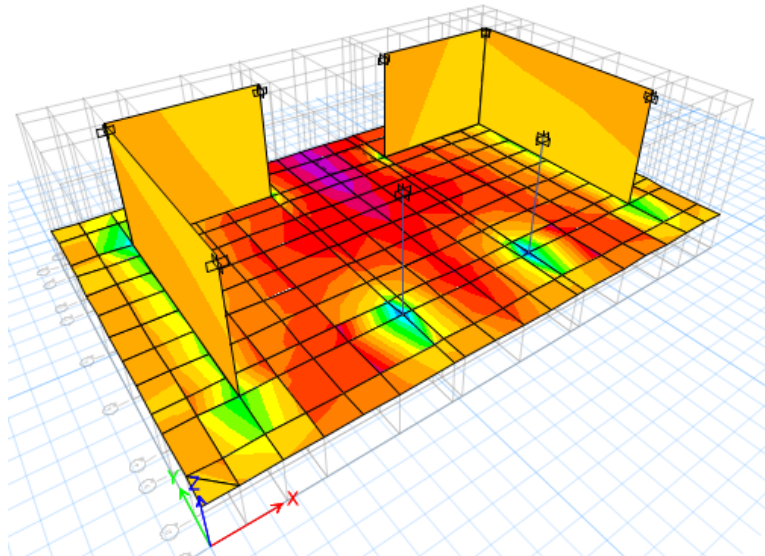
Tipe Pilecap	Tulangan	M11	M22	Tulangan Pakai Arah X	Tulangan Pakai Arah Y
		(kNm)	(kNm)		
1	Tarik (Bawah)	1855.42	1855.421	D29 - 100 mm	D29 - 100 mm
	Tekan (Atas)	417.47	417.47	D29 - 100 mm	D29 - 100 mm
2	Tarik (Bawah)	254.20	254.20	D29 - 100 mm	D29 - 100 mm
	Tekan (Atas)	316.67	316.67	D29 - 100 mm	D29 - 100 mm
3	Tarik (Bawah)	157.43	197.59	D29 - 100 mm	D29 - 100 mm
	Tekan (Atas)	109.98	103.56	D29 - 100 mm	D29 - 100 mm

Gambar 4.139 dan **4.140** berturut-turut merupakan diagram momen yang terjadi pada Pilecap tipe 2. Serta, **Gambar 4.141, 4.142, dan 4.143** merupakan diagram momen yang terjadi pada Pilecap tipe 3.

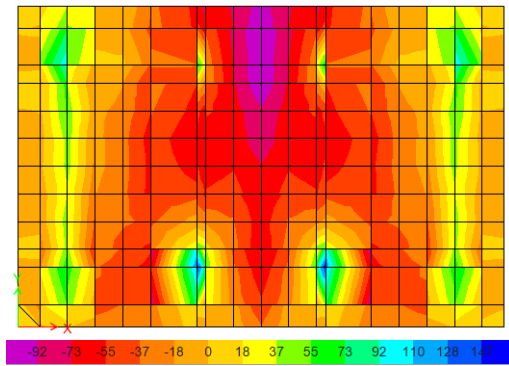
Gambar 4. 139 Permodelan *Pilecap* Tipe 2



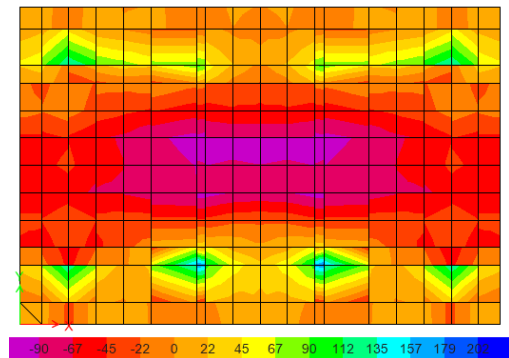
Gambar 4. 140 M11 (a) dan M22 (b) pada Pilecap Tipe 2



Gambar 4. 141 Permodelan *Pilecap* Tipe 3



Gambar 4. 142 M11 pada Pilecap Tipe 3



Gambar 4. 143 M22 pada Pilecap Tipe 3

4.7.6.3. Penulangan Tusuk Konde

Dalam perhitungan tulangan tusuk konde diambil rasio tulangan minimum menurut SNI 2847:2019 yaitu sebesar 2% dari *inner* diameter tiang pancang. Spesifikasi tiang pancang yang digunakan adalah diameter 600 mm dengan ketebalan 100 mm.

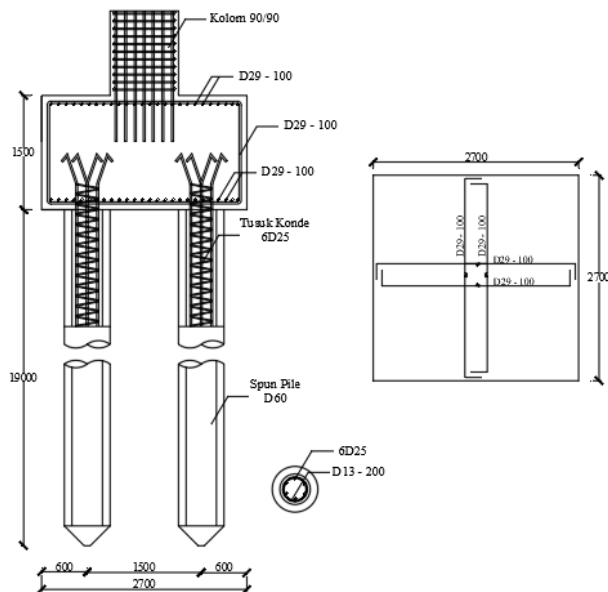
$$\text{Inner diameter} = 600 - 2 \times 100 = 400 \text{ mm}$$

$$\begin{aligned} A_s \text{ perlu} &= \rho \times 0,25\pi \times d^2 = 0,02 \times 0,25\pi \times 400^2 \\ &= 2513,27 \text{ mm}^2 \end{aligned}$$

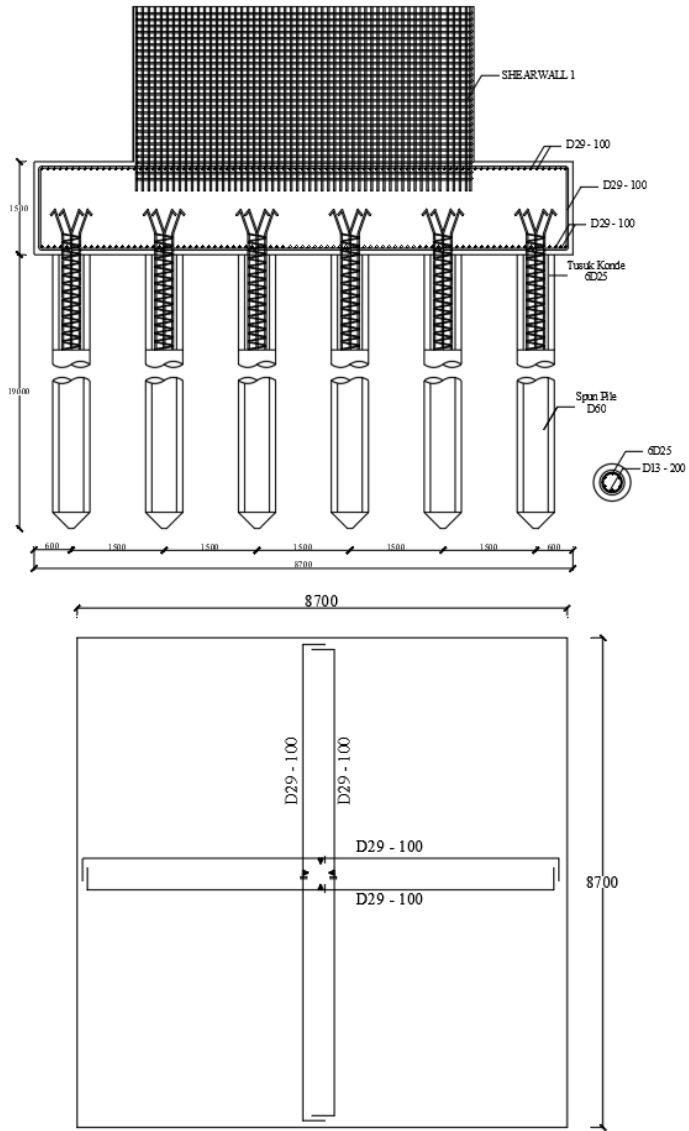
$$n = \frac{2513,27}{0,25 \times \pi \times 25^2} = 5,1 \approx 6 \text{ buah}$$

Digunakan tulangan tusuk konde 6D25

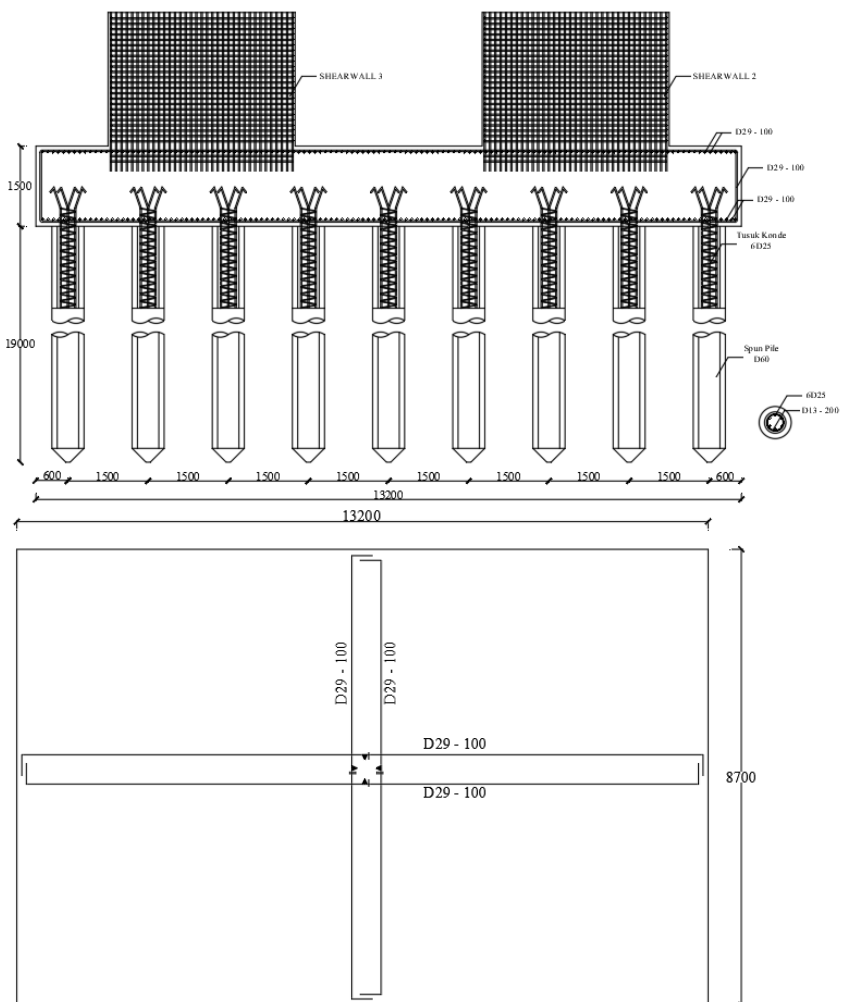
Detail penulangan pilecap diilustrasikan pada **Gambar 4.144, 4.145, dan 4.146.**



Gambar 4. 144 Penulangan *Pilecap* Tipe 1



Gambar 4. 145 Penulangan *Pilecap* Tipe 2



Gambar 4. 146 Penulangan Pilecap Tipe 3

4.7.7. Perencanaan *Basement*

4.7.7.1. Perencanaan Dinding Penahan Tanah

Dinding penahan tanah harus direncanakan dengan tepat, sehingga perlu diketahui gaya horizontal yang bekerja antar konstruksi penahan dengan massa yang ditahan. Perencanaan dinding penahan tanah menggunakan sistem pelat vertikal. Tinggi *basement* yang direncanakan memiliki ketinggian 3 m. Pada perencanaan ini, direncanakan dengan kondisi muka air tertinggi dengan adanya *surcharge load* beban kendaraan sebesar $q = 1 \text{ t/m}^2$. Berikut merupakan data perencanaan yang digunakan dalam analisa tegangan horizontal :

Mutu beton (f_c)	= 35 MPa
Mutu baja (f_y)	= 420 MPa
Tebal dinding (t)	= 300 mm
Diameter tulangan	= 16 mm
Dimensi dinding	= 3 x 7,5 m (Paling besar)
Kedalaman <i>basement</i>	= 3 m
Tebal selimut beton	= 40 mm
γ_{sat}	= 1,65 t/m'
γ_{air}	= 1 t/m'
γ'	= $1,65 - 1 = 0,65 \text{ t/m}'$
ϕ	= 0
c'	= 0,68 t/m ² (dari data tanah)
$q_{surcharge}$	= 1 t/m ²

- Tekanan Aktif Tanah

$$\sigma_v' (0) = q + (\gamma' \times h) = 1 + (0,65 \times 0) = 1 \text{ t/m}^2$$

$$\begin{aligned}\sigma_v' (3) &= \sigma_{v1} + (\gamma' \times h) \\ &= 1 + (0,65 \times 3) \\ &= 2,94 \text{ t/m}^2\end{aligned}$$

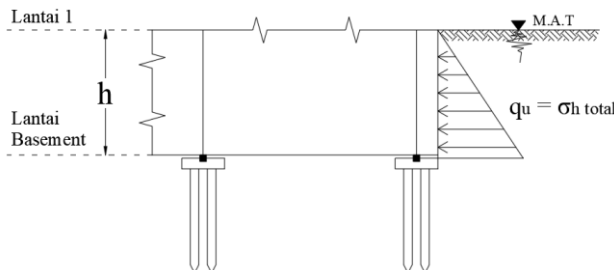
$$K_a = \tan^2 \left(45 - \frac{\phi}{2} \right) = \tan^2 \left(45 - \frac{0}{2} \right) = 1$$

$$\begin{aligned}\sigma_h' (0) &= (\sigma_v' \times K_a) - (2 \times c' \times \sqrt{K_a}) \\ &= (1 \times 1) - (2 \times 0,68 \times \sqrt{1}) \\ &= -0,36 \approx 1 \text{ t/m}^2\end{aligned}$$

$$\begin{aligned}
 \sigma_h \text{ total (0)} &= \sigma_h' + (\gamma_{\text{air}} \times h) = 1 + (1 \times 0) = 1 \text{ t/m}^2 \\
 \sigma_h' (3) &= (\sigma_v' \times K_a) - (2 \times c' \times \sqrt{K_a}) \\
 &= (2,94 \times 1) - (2 \times 0,68 \times \sqrt{1}) \\
 &= 1,58 \text{ t/m}^2 \\
 \sigma_h \text{ total (3)} &= \sigma_h' + (\gamma_{\text{air}} \times h) = 1,58 + (1 \times 3) = 4,58 \text{ t/m}^2
 \end{aligned}$$

Sehingga pada kedalaman 3 meter didapat tekanan tanah horizontal sebesar $4,58 \text{ ton/m}^2 = 45,8 \text{ kN/m}^2$.

Gaya tegangan horizontal yang bekerja pada dinding basement diilustrasikan pada **Gambar 4.147**.



Gambar 4. 147 Diagram Tegangan pada Dinding Basement

$$\beta = \frac{Ly}{Lx} \quad (\beta \geq 2 \rightarrow \text{Pelat 1 arah}, \beta < 2 \rightarrow \text{pelat 1 arah})$$

$$\beta = \frac{Ly}{Lx} = \frac{7500}{3000} = 2,5 \rightarrow 1 \text{ arah}$$

$$dx = 300 - 40 - 16/2 = 252 \text{ mm}$$

$$dy = 300 - 40 - 16 - 16/2 = 236 \text{ mm}$$

Untuk mutu beton $f'_c = 35 \text{ MPa}$ berdasarkan SNI 2847:2019 Pasal 22.2.2.4.3 harga dari β_1 adalah sebagai berikut:

$$\beta_1 = 0,85 - 0,005 \frac{f'_c - 28}{7} = 0,8$$

Menentukan Batasan harga tulangan dengan menggunakan rasio tulangan yang disyaratkan sebagai berikut:
 $\rho_{\min} = 0,0025$ (SNI 2847:2019 Pasal 11.6.1)

Penulangan pokok dinding *basement* pada tumpuan sama dengan pada lapangan, tetapi letak tulangan tariknya berbeda. Pada daerah tumpuan tulangan tarik berada di atas sedangkan pada daerah lapangan tulangan tariknya berada di bawah.

Dengan menggunakan koefisien momen PBI 1971 tabel 13.3.1 untuk momen-momen di dalam pelat yang terjepit penuh dengan $Ly/Lx = 2,5$ didapat persamaan momen sebagai berikut:

$$M = 0,001 \times qu \times Lx^2 \times X$$

$$\text{Mulx (+)} = X1 \rightarrow 42 \text{ (PBI 1971, Tabel 13.3.1)}$$

$$\text{Mulx (+)} = 0,001 \times 4,86 \times 3^2 \times 42 = 17,31 \text{ kNm}$$

$$\text{Muly (+)} = X2 \rightarrow 10 \text{ (PBI 1971, Tabel 13.3.1)}$$

$$\text{Muly (+)} = 0,001 \times 4,86 \times 3^2 \times 10 = 4,12 \text{ kNm}$$

$$\text{Mutx (-)} = X3 \rightarrow 83 \text{ (PBI 1971, Tabel 13.3.1)}$$

$$\text{Mutx (-)} = 0,001 \times 4,86 \times 3^2 \times 83 = 34,2 \text{ kNm}$$

$$\text{Muty (-)} = X4 \rightarrow 57 \text{ (PBI 1971, Tabel 13.3.1)}$$

$$\text{Muty (-)} = 0,001 \times 4,86 \times 3^2 \times 57 = 23,49 \text{ kNm}$$

• Perhitungan Tulangan Tumpuan dan Lapangan Arah X

- Besaran momen yang digunakan:

$$\text{Mulx (+)} = \text{Mutx (-)} = 34,2 \text{ kNm} = 34200449 \text{ Nmm}$$

$$m = \frac{fy}{0,85 \times f'c} = \frac{420}{0,85 \times 35} = 14,12$$

$$Rn = \frac{Mu}{\emptyset \times b \times dx^2} = \frac{34200449}{0,9 \times 1000 \times 252^2} = 0,598 \text{ Mpa}$$

- Rasio tulangan:

$$\begin{aligned} \rho_{\text{perlu}} &= \frac{1}{m} \left(1 - \sqrt{1 - \frac{2 \times m \times Rn}{fy}} \right) \\ &= \frac{1}{14,12} \left(1 - \sqrt{1 - \frac{2 \times 14,12 \times 0,598}{420}} \right) = 0,001439 \end{aligned}$$

$\rho_{\text{perlu}} < \rho_{\text{min}}$, maka digunakan $\rho_{\text{min}} = 0,0025$

- Perhitungan kebutuhan tulangan arah X:

$$A_{s \text{ perlu}} = \rho \times b \times d = 0,0025 \times 1000 \times 252 = 630 \text{ mm}^2$$

- Jumlah tulangan per meter
 $n = \frac{A_s \text{ perlu}}{A_s \text{ tulangan}} = \frac{630}{210,06} = 3,13 \approx 4 \text{ buah}$
- Jarak tulangan
 $s_{\max 1} = 450 \text{ mm (SNI 2847:2019 Pasal 7.7.2.3)}$
 $s_{\max 2} = 3t = 3 \times 300 = 900 \text{ mm}$
 $\text{Spakai} = \frac{1000}{4} = 250 \text{ mm} < s_{\max} (\text{OK})$
 $A_s \text{ pasang} = n \times A_s \text{ tulangan}$
 $A_s \text{ pasang} = 4 \times 201,06 = 804,25 \text{ mm}^2 > A_s \text{ perlu} = 630 \text{ mm}^2$

.: Digunakan tulangan lentur arah X (Vertikal) = D16 – 250

• Perhitungan Tulangan Tumpuan dan Lapangan Arah Y

- Besaran momen yang digunakan:
 $M_{\text{uly}} (+) = M_{\text{uty}} (-) = 23,49 \text{ kNm} = 23487055 \text{ Nmm}$

$$m = \frac{fy}{0,85 \times f'c} = \frac{420}{0,85 \times 35} = 14,12$$

$$R_n = \frac{Mu}{\emptyset \times b \times dy^2} = \frac{23487055}{0,9 \times 1000 \times 236^2} = 0,469 \text{ Mpa}$$

- Rasio tulangan:

$$\rho_{\text{perlu}} = \frac{1}{m} \left(1 - \sqrt{1 - \frac{2 \times m \times R_n}{f_y}} \right)$$

$$= \frac{1}{14,12} \left(1 - \sqrt{1 - \frac{2 \times 14,12 \times 0,469}{420}} \right) = 0,001125$$

$\rho_{\text{perlu}} < \rho_{\min}$, maka digunakan $\rho_{\min} = 0,0025$

- Perhitungan kebutuhan tulangan arah Y:
 $A_s \text{ perlu} = \rho \times b \times d = 0,0025 \times 1000 \times 236 = 590 \text{ mm}^2$

- Jumlah tulangan per meter

$$n = \frac{A_s \text{ perlu}}{A_s \text{ tulangan}} = \frac{590}{210,06} = 2,93 \approx 4 \text{ buah}$$

- Jarak tulangan

$$s_{\max 1} = 450 \text{ mm (SNI 2847:2019 Pasal 7.7.2.3)}$$

$$s_{\max 2} = 3t = 3 \times 300 = 900 \text{ mm}$$

$$\text{Spakai} = \frac{1000}{4} = 250 \text{ mm} < s_{\max} (\text{OK})$$

$$A_s \text{ pasang} = n \times A_s \text{ tulangan}$$

$$A_s \text{ pasang} = 4 \times 201,06 = 804,25 \text{ mm}^2 > A_s \text{ perlu} = 590 \text{ mm}^2$$

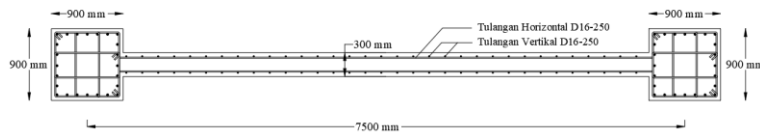
.:. Digunakan tulangan lentur arah Y(Horizontal) = D16 – 250

4.7.7.2. Kontrol Ketebalan Minimum Dinding *Basement*

Menurut SNI 2847:2019 Pasal 11.3.1.1 yang menyatakan bahwa tebal dinding *basement* eksterior dan dinding pondasi tidak boleh kurang dari 190 mm.

Dinding *basement* yang dipakai 300 mm. (OK)

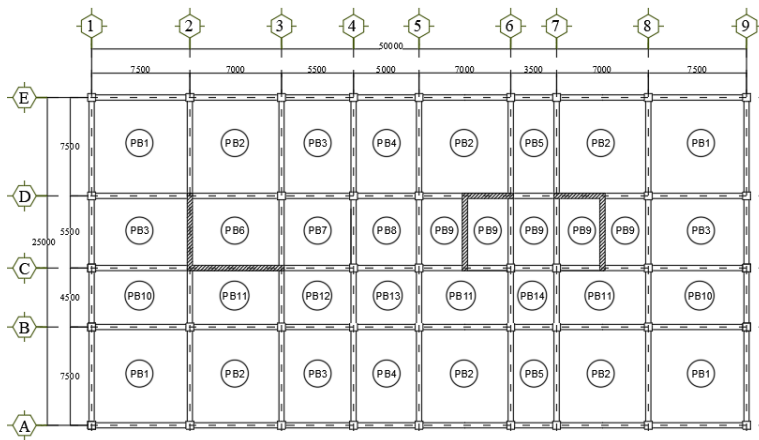
Detail penulangan dinding *basement* diilustrasikan pada **Gambar 4.148**.



Gambar 4. 148 Detail Penulangan Dinding *Basement*

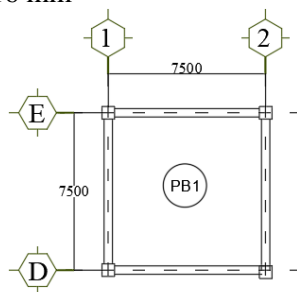
4.7.7.3. Perencanaan Pelat *Basement*

Pada pelat *basement* terdapat 2 kondisi maksimum yang terjadi yaitu pada saat musim hujan terjadi dan tidak ada kendaraan yang parkir sehingga gaya yang terjadi yaitu uplift akibat air. Kondisi kedua adalah pada saat musim kemarau yang menyebabkan muka air tanah dibawah elevasi *basement* serta terdapat kendaraan yang parkir sehingga gaya yang terjadi yaitu akibat beban parkir kendaraan. Denah pelat basement tertera pada **Gambar 4.149**.

Gambar 4. 149 Denah Pelat *Basement*

Pada perencanaan ini akan diberikan contoh perhitungan pada Pelat *Basement* 1 (PB1) (**Gambar 4.150**). Berikut merupakan data-data perencanaan pelat *basement*:

L_y	= 7500 mm
L_x	= 7500 mm
Tebal pelat	= 300 mm
Selimut beton	= 75 mm
Mutu beton	= 35 MPa
Mutu baja	= 420 MPa
Berat jenis air	= 1000 kg/m ³
D tulangan	= 16 mm

Gambar 4. 150 Pelat *Basement* (PB 1) yang ditinjau

Beban yang terjadi:

- Akibat gaya *uplift* air

Dari data tersebut, dapat dihitung gaya *uplift* yang bekerja dengan sebagai berikut:

Elevasi M.A.T = 0 m

Elevasi *basement* = -3,00 m

$$\begin{aligned} q_{air} &= h_{air} \times \text{berat jenis air} \\ &= 3 \times 1000 = 3000 \text{ kg/m}^2 \end{aligned}$$

- Akibat beban parkir

Beban Mati:

$$\text{Pelat} = 0,3 \times 2400 = 720 \text{ kg/m}^2$$

$$\text{Spesi (2 cm)} = 21 \times 2 = 42 \text{ kg/m}^{2s}$$

$$q_D = 762 \text{ kg/m}^2$$

Beban Hidup:

$$q_L \text{ basement} = 800 \text{ kg/m}^2 (\text{PPIUG 1983 Tabel 13.1})$$

$$q_L = 800 \text{ kg/m}^2$$

$$\begin{aligned} q_u &= 1,2 q_D + 1,6 q_L = 1,2(762) + 1,6(800) \\ &= 2194,4 \text{ kg/m}^2 \end{aligned}$$

Dari dua kondisi tersebut digunakan beban q_u maksimum yang terjadi untuk perencanaan pelat *basement*.

$$q_u = 3000 \text{ kg/m}^2 = 30 \text{ kN/m}^2$$

$$\beta = \frac{Ly}{Lx} \quad (\beta \geq 2 \rightarrow \text{Pelat 1 arah}, \beta < 2 \rightarrow \text{pelat 1 arah})$$

$$\beta = \frac{Ly}{Lx} = \frac{7500}{7500} = 1 \rightarrow 2 \text{ arah}$$

$$dx = 300 - 75 - 16/2 = 217 \text{ mm}$$

$$dy = 300 - 75 - 16 - 16/2 = 201 \text{ mm}$$

Untuk mutu beton $f'_c = 35 \text{ MPa}$ berdasarkan SNI 2847:2019 Pasal 22.2.2.4.3 harga dari β_1 adalah sebagai berikut:

$$\beta_1 = 0,85 - 0,005 \frac{f'_c - 28}{7} = 0,8$$

Menentukan Batasan harga tulangan dengan menggunakan rasio tulangan yang disyaratkan sebagai berikut:

$$\rho_{\min} = \frac{0,0018 \times 420}{f_y} = 0,0018 \text{ (SNI 2847:2019 Pasal 24.4.3.2)}$$

Penulangan pokok pelat *basement* pada tumpuan sama dengan pada lapangan, tetapi letak tulangan tariknya berbeda. Pada daerah tumpuan tulangan tarik berada di atas sedangkan pada daerah lapangan tulangan tariknya berada di bawah.

Dengan menggunakan koefisien momen PBI 1971 tabel 13.3.1 untuk momen-momen di dalam pelat yang terjepit penuh dengan $Ly/Lx = 1$ didapat persamaan momen sebagai berikut:

$$M = 0,001 \times qu \times Lx^2 \times X$$

$$\text{Mulx (+)} = X1 \rightarrow 21 \text{ (PBI 1971, Tabel 13.3.1)}$$

$$\text{Mulx (+)} = 0,001 \times 30 \times 7,5^2 \times 21 = 35,44 \text{ kNm}$$

$$\text{Muly (+)} = X2 \rightarrow 21 \text{ (PBI 1971, Tabel 13.3.1)}$$

$$\text{Muly (+)} = 0,001 \times 30 \times 7,5^2 \times 21 = 35,44 \text{ kNm}$$

$$\text{Mutx (-)} = X3 \rightarrow 52 \text{ (PBI 1971, Tabel 13.3.1)}$$

$$\text{Mutx (-)} = 0,001 \times 30 \times 7,5^2 \times 52 = 87,75 \text{ kNm}$$

$$\text{Muty (-)} = X4 \rightarrow 52 \text{ (PBI 1971, Tabel 13.3.1)}$$

$$\text{Muty (-)} = 0,001 \times 30 \times 7,5^2 \times 57 = 87,75 \text{ kNm}$$

- **Perhitungan Tulangan Tumpuan dan Lapangan Arah X**

- Besaran momen yang digunakan:

$$\text{Mulx (+)} = \text{Mutx (-)} = 87,75 \text{ kNm} = 87750000 \text{ Nmm}$$

$$m = \frac{fy}{0,85 \times f'c} = \frac{420}{0,85 \times 35} = 14,12$$

$$Rn = \frac{Mu}{\emptyset \times b \times dx^2} = \frac{87750000}{0,9 \times 1000 \times 217^2} = 2,07 \text{ Mpa}$$

- Rasio tulangan:

$$\rho_{\text{perlu}} = \frac{1}{m} \left(1 - \sqrt{1 - \frac{2 \times m \times Rn}{f_y}} \right)$$

$$= \frac{1}{14,12} \left(1 - \sqrt{1 - \frac{2 \times 14,12 \times 2,07}{420}} \right) = 0,00512$$

$\rho_{perlu} > \rho_{min}$, maka digunakan $\rho_{perlu} = 0,00512$

- Perhitungan kebutuhan tulangan arah X:
 $A_s \text{ perlu} = \rho \times b \times d = 0,00512 \times 1000 \times 217 = 1109,85 \text{ mm}^2$
- Jumlah tulangan per meter
 $n = \frac{A_s \text{ perlu}}{A_s \text{ tulangan}} = \frac{1109,85}{210,06} = 5,52 \approx 6 \text{ buah}$
- Jarak tulangan
 $s_{\max 1} = 450 \text{ mm (SNI 2847:2019 Pasal 7.7.2.3)}$
 $s_{\max 2} = 3t = 3 \times 300 = 900 \text{ mm}$
 Spakai $= \frac{1000}{6} = 166,67 \approx 150 \text{ mm} < s_{\max} (\text{OK})$
 $A_s \text{ pasang} = n \times A_s \text{ tulangan}$
 $A_s \text{ pasang} = 6 \times 201,06 = 1206,37 \text{ mm}^2 > A_s \text{ perlu} = 1109,85 \text{ mm}^2$

.: Digunakan tulangan lentur arah X = D16 – 150 mm

• Perhitungan Tulangan Tumpuan dan Lapangan Arah Y

- Besaran momen yang digunakan:
 $M_{\text{uly}} (+) = M_{\text{uty}} (-) = 87,75 \text{ kNm} = 87750000 \text{ Nmm}$

$$m = \frac{f_y}{0,85 \times f'c} = \frac{420}{0,85 \times 35} = 14,12$$

$$R_n = \frac{M_u}{\emptyset \times b \times d \times y^2} = \frac{87750000}{0,9 \times 1000 \times 201^2} = 2,41 \text{ Mpa}$$

- Rasio tulangan:

$$\rho_{perlu} = \frac{1}{m} \left(1 - \sqrt{1 - \frac{2 \times m \times R_n}{f_y}} \right)$$

$$= \frac{1}{14,12} \left(1 - \sqrt{1 - \frac{2 \times 14,12 \times 2,41}{420}} \right) = 0,006$$

$\rho_{perlu} > \rho_{min}$, maka digunakan $\rho_{perlu} = 0,006$

- Perhitungan kebutuhan tulangan arah Y:
 $A_s \text{ perlu} = \rho \times b \times d = 0,006 \times 1000 \times 201 = 1206,02 \text{ mm}^2$
- Jumlah tulangan per meter
 $n = \frac{A_s \text{ perlu}}{A_s \text{ tulangan}} = \frac{1206,02}{210,06} = 5,98 \approx 6 \text{ buah}$

- Jarak tulangan

$$s_{\max 1} = 450 \text{ mm (SNI 2847:2019 Pasal 7.7.2.3)}$$

$$s_{\max 2} = 3t = 3 \times 300 = 900 \text{ mm}$$

$$Spakai = \frac{1000}{6} = 166,67 \approx 150 \text{ mm} < s_{\max} (\text{OK})$$

$$A_s \text{ pasang} = n \times A_s \text{ tulangan}$$

$$A_s \text{ pasang} = 6 \times 201,06 = 1206,37 \text{ mm}^2 > A_s \text{ perlu} = 1206,02 \text{ mm}^2$$

∴ Digunakan tulangan lentur arah Y = D16 – 150 mm

Rekapitulasi perhitungan pelat basement tertera pada **Tabel 4.98.**

Tabel 4. 98 Rekapitulasi Perhitungan Pelat Basement

Tipe	Dimensi		Tipe Arah	Tebal Pakai mm	Tulangan Arah X	Tulangan Arah Y
	Ly	Lx				
	mm	mm				
PB1	7500	7500	2 Arah	300	D16 - 150	D16 - 150
PB2	7500	7000	2 Arah	300	D16 - 150	D16 - 150
PB3	7500	5500	2 Arah	300	D16 - 200	D16 - 250
PB4	7500	5000	2 Arah	300	D16 - 250	D16 - 250
PB5	7500	3500	1 Arah	300	D16 - 250	D16 - 250
PB6	7000	5500	2 Arah	300	D16 - 250	D16 - 250
PB7	5500	5500	2 Arah	300	D16 - 250	D16 - 250
PB8	5500	5000	2 Arah	300	D16 - 250	D16 - 250
PB9	5500	3500	2 Arah	300	D16 - 250	D16 - 250
PB10	7500	4500	2 Arah	300	D16 - 250	D16 - 250
PB11	7000	4500	2 Arah	300	D16 - 250	D16 - 250
PB12	5500	4500	2 Arah	300	D16 - 250	D16 - 250
PB13	5000	4500	2 Arah	300	D16 - 250	D16 - 250
PB14	4500	3500	2 Arah	300	D16 - 250	D16 - 250

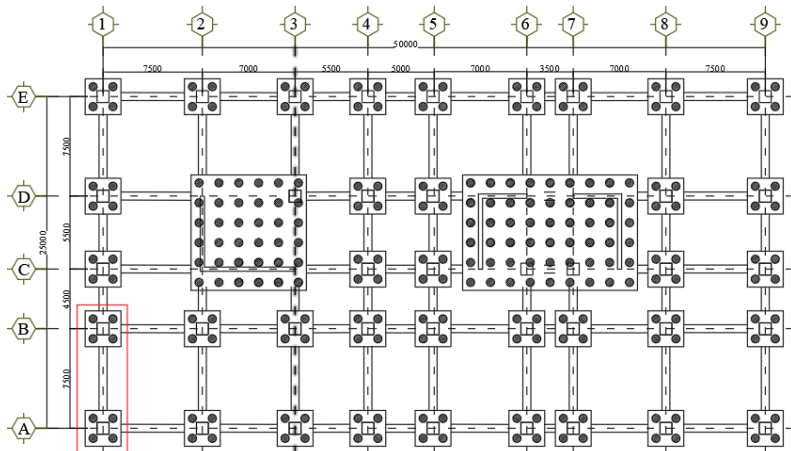
4.7.8. Perencanaan Sloof

Struktur sloof digunakan untuk membuat penurunan secara bersamaan pada pondasi atau sebagai pengaku yang menghubungkan antar pondasi yang satu dengan yang lainnya. Adapun beban – beban yang ditimpakan ke sloof meliputi beban lateral dan beban aksial yang berasal dari 10% beban kolom. Adapun data – data perencanaan sloof sebagai berikut:

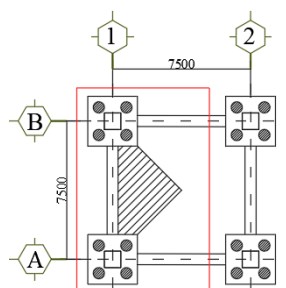
- L = 7,5 m
- b = 500 mm
- h = 750 mm

- $A_g = 375000 \text{ mm}^2$
- $f_c = 35 \text{ MPa}$
- $f_y = 420 \text{ MPa}$
- Cover = 50 mm
- $D_{\text{utama}} = 25 \text{ mm}$
- $D_{\text{sengkang}} = 16 \text{ mm}$
- $d = 750 - (50 + 16 + 25/2) = 671,5 \text{ mm}$

Denah sloof serta luasan tributary sloof yang ditinjau berturut-turut tertera pada **Gambar 4.151** dan **4.152**.



Gambar 4. 151 Denah Sloof



Gambar 4. 152 Luasan tributary sloof yang ditinjau

4.7.8.1. Penulangan Sloof

Pembebanan sloof untuk beban lateral direncanakan dalam dua keadaan, yaitu terbebani akibat beban kendaraan dan akibat beban *uplift*. Dari dua keadaan tersebut akan ditinjau untuk mendapatkan kondisi terkritis.

Sloof diasumsikan berperilaku seperti kolom karena menerima beban lentur dan aksial sehingga dalam perhitungan ini digunakan program bantu SpColumn untuk mengetahui diagram interaksi pada sloof. Berikut adalah pembebaran yang diperhitungkan dalam perencanaan Sloof.

- Berat sendiri sloof

$$q = 0,5 \text{ m} \times 0,75 \text{ m} \times 2400 \text{ kg/m}^3 = 900 \text{ kg/m}$$
 - Berat dinding *basement*

$$q = 3 \text{ m} \times 0,3 \text{ m} \times 2400 \text{ kg/m}^3 = 2160 \text{ kg/m}$$
 - Beban pelat *basement*

$$q_D = 762 \text{ kg/m}^2$$
 (sesuai pada perhitungan pelat *basement*)

$$q_L = 800 \text{ kg/m}^2$$
 (beban *basement* PPIUG 1983)
 - Beban *Uplift*

$$q = 3 \times 1000 \text{ kg/m}^3 = 3000 \text{ kg/m}^2$$
- Akibat Beban Kendaraan

$$q_u = 1,2q_D + 1,6 q_L$$

$$= 1,2 (900 + 2160 + (762 \times 1,875)) + 1,6 (800 \times 1,875)$$

$$= 7786,5 \text{ kg/m}$$

$$M_u = 1/8 \times q \times L^2$$

$$= 1/8 \times 7786,5 \times 7,5^2$$

$$= 54748,83 \text{ kNm} = 547,49 \text{ kNm}$$
 - Akibat Beban Uplift

$$q_u = 1,4qD$$

$$= 1,4 (900 + 2160 + (762 \times 1,875) - (3000 \times 1,875))$$

$$= -1590,75 \text{ kg/m}$$

$$Mu = 1/8 \times q \times L^2$$

$$= 1/8 \times 1590,75 \times 7,5^2$$

$$= 11184,96 \text{ kgm} = 111,85 \text{ kNm}$$

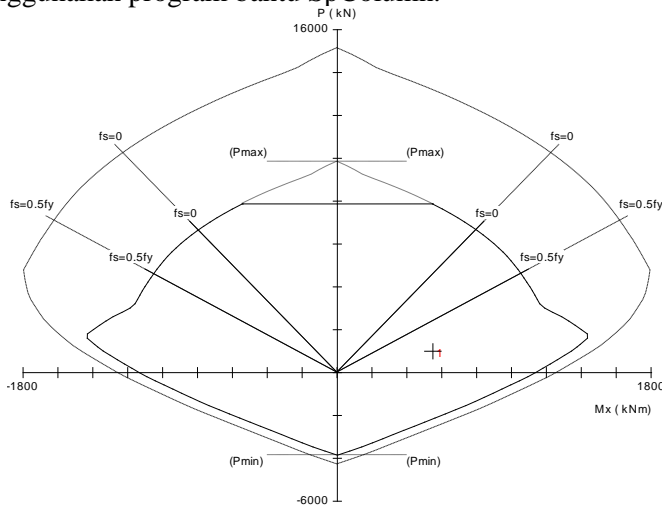
Maka, kondisi yang digunakan dalam perencanaan sloof kali ini adalah akibat beban kendaraan dengan $M_u = 547,49 \text{ kNm}$.

• Penulangan Lentur

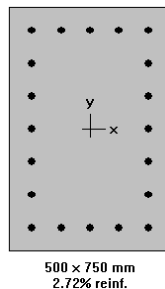
Pada perencanaan ini akan digunakan penulangan sloof 20 D25. Untuk beban yang diinput ialah:

$$\begin{aligned} P &= 10\% P_u \\ &= 10\% \times 9977,51 \text{ kN} = 997,751 \text{ kN} \\ M_u &= 547,49 \text{ kNm} \end{aligned}$$

Pada **Gambar 4.153** adalah diagram P-M hasil analisa menggunakan program bantu SpColumn.



Gambar 4. 153 Diagram Interaksi P-M Sloof



Gambar 4. 154 Ilustrasi Penulangan Lentur Sloof

$$\begin{aligned} M_u &= 547,49 \text{ kNm} \\ \phi M_n &= 1339,29 \text{ kNm} > M_u (\text{OK}) \end{aligned}$$

• Penulangan Geser

Penulangan geser sloof akan direncanakan seperti perencanaan geser pada balok.

$$\begin{aligned} V_u &= \frac{1}{2} \times q \times L \\ &= \frac{1}{2} \times 7786,5 \times 7,5 \\ &= 29199,375 \text{ kg} = 291993,75 \text{ N} \end{aligned}$$

$$\begin{aligned} V_c &= 0,17 \sqrt{f'c} bd \\ &= 337675,04 \text{ N} \end{aligned}$$

$$\begin{aligned} \phi V_c &= 253256,28 \text{ N} \\ 0,5 \phi V_c &= 126628,14 \text{ N} \end{aligned}$$

$$\begin{aligned} V_{s \min} &= 0,062 \sqrt{f'c} bd \\ &= 124145,24 \text{ N} \end{aligned}$$

$$\phi(V_c + V_{s \min}) = 346365,2 \text{ N}$$

Syarat:

Kondisi 1:

$$V_u \leq 0,5 \phi V_c \rightarrow \text{tidak memenuhi}$$

Kondisi 2:

$$0,5 \phi V_c \leq V_u \leq \phi V_c \rightarrow \text{tidak memenuhi}$$

Kondisi 3:

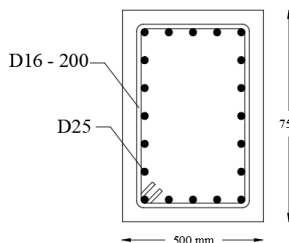
$$\phi V_c \leq V_u \leq \phi(V_c + V_{s \min}) \rightarrow \text{memenuhi}$$

Oleh karena kondisi 3 persyaratan tulangan geser memenuhi, maka diperlukan tulangan geser pada perencanaan balok anak ini.

$$\begin{aligned}
 S_{\max 1} &= \frac{d}{2} = \frac{671,5}{2} = 335,75 \text{ mm} \\
 S_{\max 2} &= 600 \text{ mm} \\
 Spakai &= 200 \text{ mm} \\
 D_{\text{sengkang}} &= 16 \text{ mm}, As = 201,06 \text{ mm}^2 \\
 \text{Sengkang} &= 2 \text{ kaki} \\
 f_y \text{ sengkang} &= 420 \text{ MPa} \\
 A_v &= 2 \times As D16 = 2 \times 201,06 = 402,12 \text{ mm}^2 \\
 V_s \text{ pakai} &= \frac{A_v f_y d}{Spakai} = \frac{402,12(420)(671,5)}{200} \\
 &= 567054,96 \text{ N} > V_{s \min} (\text{OK})
 \end{aligned}$$

.: Maka, digunakan tulangan geser D16-200 mm

Detail penulangan sloof diilustrasikan pada **Gambar 4.155**.



Gambar 4. 155 Potongan Sloof

4.8. Metode Pelaksanaan Konstruksi

4.8.1. Umum

Metode konstruksi beton pracetak merupakan bagian dari metode konstruksi terbarukan saat ini. Inovasi metode pelaksanaan pekerjaan yang efektif dan efisien tanpa mengurangi kekuatan sistem struktur merupakan salah satu permintaan yang besar. Metode pelaksanaan merupakan salah satu faktor penting yang sangat berkaitan dalam desain beton pracetak. Sebelum adanya perencanaan, terlebih dahulu perlu adanya pertimbangan apakah struktur yang akan dibangun dapat terealisasikan di

lapangan. Metode pelaksanaan ini merupakan uraian mengenai komponen dan material pendukung yang digunakan dalam pelaksanaan metode beton pracetak.

4.8.2. Fabrikasi Beton Pracetak

Proses produksi elemen pracetak dilakukan secara fabrikasi di dalam suatu industry beton pracetak. Berikut merupakan hal – hal yang perlu dipertimbangkan dalam proses fabrikasi:

- a. Perlu adanya standar khusus sehingga hasil pracetak dapat diaplikasikan secara umum di pasaran.
- b. Adanya keterbatasan fleksibilitas ukuran yang disediakan untuk produk pracetak yang disebabkan karena harus mengikuti kaidah sistem dimensi satuan yang telah disepakati bersama dalam bentuk kelipatan suatu modul.
- c. Dengan cara ini dimungkinkan untuk mencari produk yang terbaik dari lain pabrik.

4.8.3. Pengangkatan dan Penempatan *Crane*

Berikut merupakan elemen struktur pracetak yang direncanakan :

1. Balok Induk (50/70) dengan bentang 7,5 m.

$$W = 2400 \times 0,5 \times 0,7 \times 7,5 \text{ m} = 6300 \text{ kg}$$
2. Balok Anak (35/50) dengan bentang 7,5 m.

$$W = 2400 \times 0,35 \times 0,5 \times 7,5 \text{ m} = 3150 \text{ kg}$$
3. Pelat tebal 14 cm dengan dimensi 3,75 x 7,5 m.

$$W = 2400 \times 0,14 \times 3,75 \times 7,5 \text{ m} = 9450 \text{ kg}$$

Maka dari itu, dibutuhkan kapasitas *crane* yang mampu mengangkat beban maksimum dari keseluruhan elemen beton pracetak yaitu pelat 3,75 x 7,5 m sebesar 9450 kg = 10 ton. Hal – hal yang perlu diperhatikan dalam pengangkatan elemen pracetak antara lain :

1. Kemampuan maksimum *crane* yang digunakan.
2. Metode pengangkatan.
3. Letak titik – titik angkat pada elemen pracetak.

Hal – hal tentang pengangkatan dan penentukan titik angkat telah dibahas pada bab – bab sebelumnya. Dalam perencanaan ini memakai peralatan tower *crane* untuk mengangkat elemen pracetak di lapangan. Untuk pemilihan tower *crane* harus disesuaikan antara kemampuan angkat *crane* dengan berat elemen pracetak. Berikut merupakan spesifikasi *crane* yang digunakan dalam perencanaan :

1. Jenis Crane POTAIN MD 265C J12.
2. Jarak jangkau maksimum 65 m dengan beban maksimum 12 ton.
3. Tower *crane* yang digunakan 1 buah.

4.8.4. Transportasi Elemen Beton Pracetak

Sistem transportasi disini meliputi :

1. Pemindahan beton pracetak di areal pabrik.
2. Pemindahan dari pabrik ke tempat penampungan di proyek.
3. Pemindahan dari penampungan sementara di proyek ke posisi akhir.

Tahap pemindahan komponen beton pracetak dari lokasi pabrikasi ke areal proyek diperlukan sarana angkut seperti truk tunggal, tandem, atau temple. Truk yang biasa digunakan untuk pengangkutan berukuran lebar 2,4 m x 16 m atau 2,4 m x 18 m dengan kapasitas angkut kurang lebih 50 ton. Untuk komponen tertentu dimana panjangnya cukup panjang hingga 30 m dapat dipergunakan truk temel dimana kapasitasnya dapat mencapai 80 ton. Di areal lokasi proyek diperlukan sarana untuk pemindahan komponen beton pracetak mempergunakan tower *crane*.

4.8.5. Metode Pekerjaan Elemen Beton Pracetak

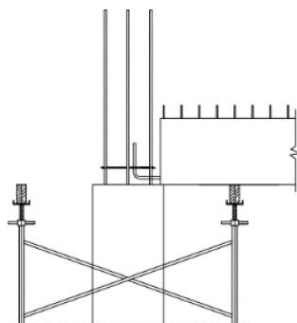
4.8.5.1. Pemasangan Elemen Balok Induk dan Balok Anak

Pemasangan balok pracetak dilakukan setelah pengecoran kolom. Balok induk dipasang terlebih dahulu baru kemudian dilanjutkan dengan pemasangan balok anak. Kemudian dapat dilanjutkan dengan pemasangan tulangan utama pada balok yaitu tulangan tarik pada tumpuan. Lalu setelah

tulangan terpasang baru dilakukan pengecoran setempat pada sambungan balok – kolom dan pengecoran *overtopping* pelat dan balok.

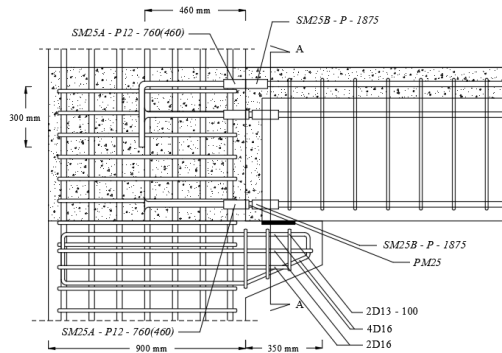
a. Pemasangan Balok Induk Pracetak

Balok induk dipasang terlebih dahulu baru kemudian dilanjutkan dengan pemasangan balok anak. Diperlukan peralatan *crane* untuk membantu menunjang balok pracetak. Kemudian dapat dilanjutkan dengan pemasangan tulangan utama pada balok yaitu tulangan tarik pada tumpuan. Lalu setelah tulangan terpasang baru dilakukan pengecoran. Tahapan berikut diilustrasikan pada **Gambar 4.156**.



Gambar 4. 156 Pemasangan Balok Induk

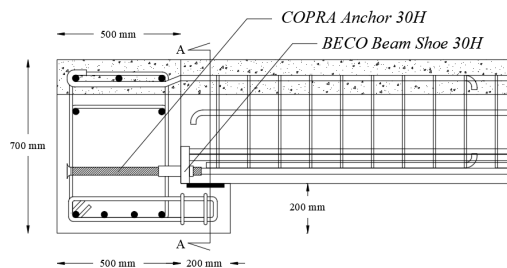
Sambungan pada balok induk ke kolom menggunakan panjang penyaluran dan sambungan *Modix Rebar Coupler* produk dari *Peikko Group*. Kemudian dilakukan *overtopping*. Detail sambungan diilustrasikan pada **Gambar 4.157**.



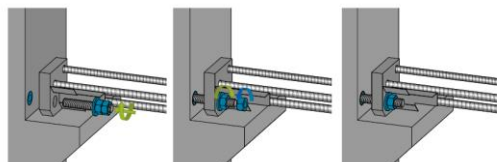
Gambar 4. 157 Detail sambungan Kolom – Balok Induk

b. Pemasangan Elemen Balok Anak Pracetak

Sambungan tulangan tumpuan untuk momen positif di tumpuan menggunakan *COPRA Anchor & BECO Beam Shoe* dari *Peikko Group*. Detail sambungan tertera pada **Gambar 4.158**.



Gambar 4. 158 Detail Sambungan Balok Induk – Balok Anak

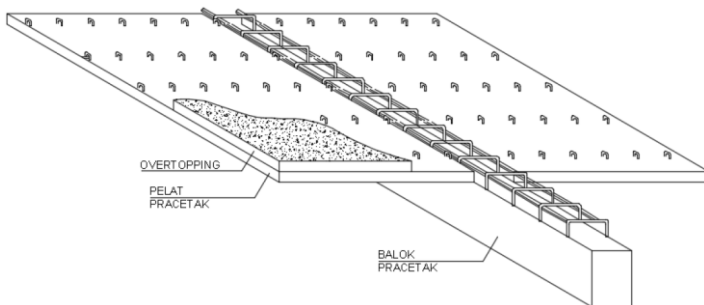


Gambar 4. 159 Detail Penyambungan Beam Shoe
(Sumber: Brosur *BECO Beam Shoe*)

4.8.5.2. Pemasangan Elemen Pelat Pracetak

Pemasangan pelat pracetak di atas balok induk dan balok anak sesuai dengan dimensi pelat yang sudah ditentukan. Pemasangan tulangan bagian atas, baik tulangan tumpuan maupun tulangan lapangan untuk pelat, balok anak dan balok induk.

Setelah semua tulangan terpasang, kemudian dilakukan pengecoran pada bagian atas balok anak dan balok induk yang berfungsi sebagai *topping* atau penutup bagian atas. Selain itu *topping* juga berfungsi untuk merekatkan komponen pelat, balok anak, dan balok induk agar menjadi satu kesatuan (komposit). Hal ini diperkuat dengan adanya tulangan panjang penyaluran pada masing - masing komponen pelat, balok anak, dan balok induk. Proses tahapan tersebut diilustrasikan pada **Gambar 4.160**.



Gambar 4. 160 Pengecoran *Topping*

Untuk pekerjaan lantai berikutnya dilakukan sama dengan urutan pelaksanaan di atas sampai semua elemen pracetak terpasang.

BAB V

PENUTUP

5.1. Kesimpulan

Berdasarkan keseluruhan hasil analisis dan perencanaan yang telah dilakukan dalam penyusunan Tugas Akhir “Desain Modifikasi Struktur Gedung Apartemen Arundaya Menggunakan Sistem Balok Pratekan pada Lantai 5 sebagai *Ballroom* dan Menggunakan Metode Beton Pracetak” maka dapat disimpulkan beberapa hasil perencanaan sebagai berikut:

1. Sesuai perhitungan yang mengacu pada peraturan SNI 2847:2019 diperoleh dimensi untuk struktur sekunder, primer, dan struktur bawah.

Tabel 5. 1 Dimensi Struktur Sekunder

Struktur Sekunder					
Elemen	Tipe	Kondisi	Dimensi	Satuan	
Pelat	Lantai dan Atap	Pracetak	9	cm	
		Komposit	14	cm	
Balok Anak	BA 1	Pracetak	35/36	cm	
		Komposit	35/50	cm	
	BA 2	Pracetak	30/31	cm	
		Komposit	30/45	cm	
Tangga	Pelat Tangga Pelat Bordes	Pracetak	25/26	cm	
		Komposit	25/40	cm	
		Cast in situ	15	cm	
			15	cm	

Tabel 5. 2 Dimensi Struktur Primer

Struktur Primer				
Elemen	Tipe	Kondisi	Dimensi	Satuan
Balok Induk	BI 1	Pracetak	50/56	cm
		Komposit	50/70	cm
	BI 2	Pracetak	45/46	cm
		Komposit	45/60	cm
	BI 3	Pracetak	35/46	cm
		Komposit	35/60	cm
Balok Pratekan	BP	Cast in situ	35/60	cm
Kolom	K1	Cast in situ	50/50	cm
	K2		60/60	cm
	K3		75/75	cm
	K4		90/90	cm
Shearwall	SW 1	Cast in situ	32	cm
	SW 2		32	cm
	SW 3		32	cm

Tabel 5. 3 Dimensi Struktur Bawah

Struktur Bawah				
Elemen	Tipe	Kondisi	Dimensi	Satuan
Spun Pile	Tipikal	Diameter	60	cm
		Kedalaman	23.5	m
Pilecap	Tipe 1	Cast in situ	2.7 x 2.7 x 1.5	m
	Tipe 2		8.7 x 8.7 x 1.5	m
	Tipe 3		13.2 x 8.7 x 1.5	m
Basement wall		Cast in situ	30	cm
Pelat	Basement	Cast in situ	30	cm
Sloof		Cast in situ	50 x 75	cm

2. Perhitungan pembebanan struktur berdasarkan SNI 1727:2013. Analisis struktur menggunakan program bantu ETABS. Beban yang dimasukkan ke dalam permodelan struktur merupakan beban mati tambahan, hidup, dan beban gempa.
3. Perhitungan gaya gempa menggunakan analisis respons spektrum di daerah Surabaya berdasarkan peraturan SNI 1726:2019.
4. Perencanaan dengan menggunakan sistem balok prategang berdasarkan karena kebutuhan akan ruangan yang luas dan bebas kolom pada tengah bentangnya, sehingga penggunaan balok prategang sangat tepat untuk memenuhi kebutuhan tersebut.
5. Balok induk, balok anak, serta pelat direncanakan menggunakan elemen pracetak. Kolom, balok pratekan, dinding geser, tangga, pelat *basement*, dinding *basement*, dan *pilecap* direncanakan menggunakan metode *cast in situ* untuk mempermudah pelaksanaan konstruksi dan mempersingkat waktu pelaksanaan.
6. Sistem sambungan pada elemen balok induk dan kolom menggunakan produk *Modix Rebar Coupler* dari *Peikko Group*. Sedangkan, sambungan pada elemen balok anak dan balok induk menggunakan *BECO Beam Shoe* dan *COPRA Anchor* dari *Peikko Group*. Pendetailan sambungan pracetak dirancang bersifat monolit antar elemennya dengan tulangan – tulangan dan penyaluran yang muncul dari masing-masing elemen pracetak untuk menyatukan elemen dengan cor setempat.
7. Pondasi yang direncanakan sesuai dengan ketentuan yang berlaku. Perhitungan tiang pancang (*spun pile*) menggunakan produk dari WIKA Beton dengan metode tegangan ijin dan *pilecap* berdasarkan metode tegangan *ultimate*.
8. Hasil analisis struktur yang telah dilakukan pada Gedung Apartemen Arundaya akan dituangkan pada gambar teknik pada lampiran.

5.2. Saran

Saran yang dapat diberikan berdasarkan hasil analisis dalam Tugas Akhir ini diantaranya:

1. Urutan yang benar dalam perencanaan gedung dengan metode pracetak adalah menentukan kriteria desain dan konsep desain sambungan. Hal ini dikarenakan hal terpenting dalam perencanaan metode beton pracetak adalah konsep yang dimiliki, karena untuk perhitungan hampir sama dengan metode konvensional. Hal tersebut dikarenakan dengan sambungan merupakan penyulur gaya-gaya yang menjaga integritas suatu struktur bangunan.
2. Perencanaan menggunakan balok prategang sebaiknya memperhatikan dimensi balok dengan gaya prategang yang terjadi, disesuaikan dengan panjang dan dimensi angkur yang akan dipasang nantinya pada tumpuan.
3. Pengembangan pada teknologi balok prategang perlu dilakukan peningkatan, agar lebih mudah dalam penggerjaannya, dikarenakan penggunaan prategang dapat membuat fungsi ruang pada gedung semakin efisien.
4. Dalam pelaksanaan di lapangan terutama pada bagian pengangkatan elemen pracetak dan sambungan antar elemen pracetak harus diberi pengawasan yang baik dan benar. Dalam pengangkatan harus diperhatikan tinggi dan sudut pengangkatan agar tidak terjadi kegagalan struktur akibat beban yang tak terduga saat pengangkatan. Pada saat penyambungan, tentunya sambungan beton pracetak tidak semonolit sambungan cor setempat dan rawan terjadi keretakan akibat gaya-gaya yang tidak diinginkan karena kurang sempurnanya pekerjaan sambungan.
5. Diperlukan penelitian lebih lanjut terkait konsep sambungan yang digunakan oleh penulis dalam pembuatan Tugas Akhir ini, karena analisa yang digunakan hanya melalui kekuatan aksial dari brosur produk sambungan.

DAFTAR PUSTAKA

- Abeles, Bardhah, & Turner. (1976). *Prestressed Concrete Designer's Handbook*. Spon Press.
- Adewuye, A. P., & Franklin. (2011). Analytical Investigation of Prestressed Concrete Structures Incorporating Combined Post-Tensioned and Post-Compressed Reinforcements.
- Badan Standarisasi Nasional. (2013). *SNI 1727:2013 Beban minimum untuk perancangan bangunan gedung dan struktur lain*. Jakarta : Badan Standarisasi Nasional.
- Badan Standarisasi Nasional. (2019). *SNI 1726:2019 Tata cara perencanaan ketahanan gempa untuk struktur bangunan gedung dan nongedung*. Jakarta: Badan Standarisasi Nasional.
- Badan Standarisasi Nasional. (2019). *SNI 2847:2019 Persyaratan beton struktural untuk bangunan gedung dan penjelasan*. Jakarta: Badan Standarisasi Nasional.
- Elliot, K. S. (2002). *Precast Concrete Structure*. Oxford: Butterworth-Heinemann.
- Ervianto, W. I. (2006). *Eksplorasi Teknologi dalam Proyek Konstruksi Beton Pracetak dan Bekisting*. Bandung: CV. Andi OFFSET.
- Gilbert, R., & Mickleborough, N. (1990). *Design of Prestress Concrete*. Sydney: Spon Press.
- Lin, T. Y., & Burns, N. H. (1981). *Design of Prestressed Concrete Structures*. San Francisco: Quinn.
- Marshall, V. (2000). *Prestressed Concrete Design and Practice*. Concrete Society Southern Africa.
- McCormac, J. C., & Nelson, J. K. (2005). *Design of Reinforced Concrete; ACI 318-05 Code Edition*.
- PCI. (2004). *PCI Design Handbook Precast and Prestressed Concrete 6th Edition*. Chicago: PCI Industry Handbook Committee.

- Rudiatmoko, Restu, Budiwati, I., & Made, N. (2012). Perencanaan Struktur Gedung Beton Bertulang Menggunakan Sistem Rangka Pemikul Momen Khusus (SRPMK).
- Tavio, & Kusuma, B. (2009). Desain Sistem Rangka Pemikul Momen dan Dinding Struktur Beton Bertulang Tahan Gempa.
- Tjahjono, E., & Purnomo, H. (2004). *Pengaruh Penempatan Penyambungan Pada Perilaku Rangkaian Balok-Kolom Beton Pracetak Bagian Sisi Luar*. Makara Teknologi 8 (3).
- Yadav, N. B., & Shah, R. A. (2013). *Pre-Cast Technology: An Initial Step to Sustainable Development*. Bardoli: India.

LAMPIRAN



LABORATORIUM MEKANIKA TANAH & BATUAN

JURUSAN TEKNIK SIPIL

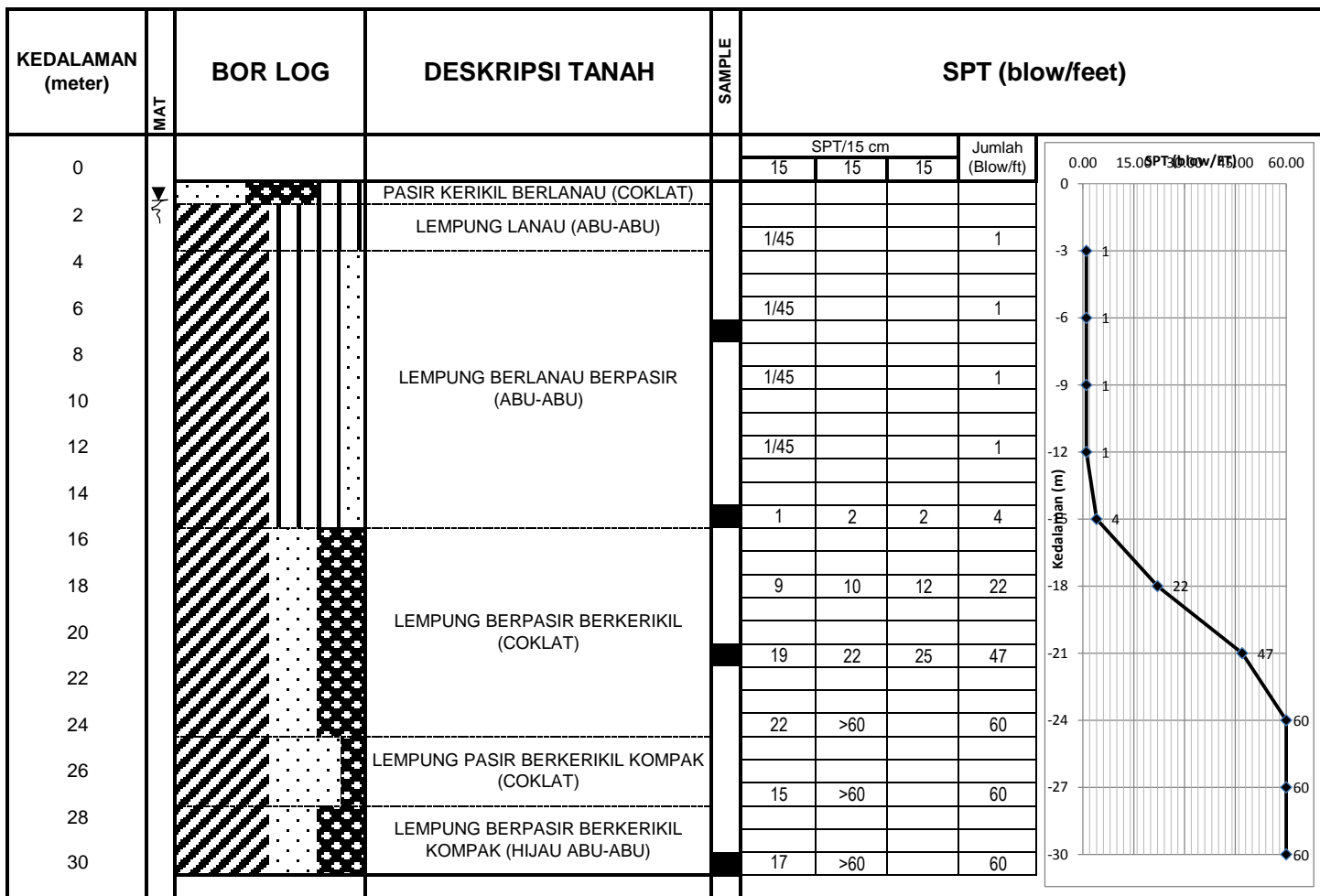
FAKULTAS TEKNIK SIPIL DAN PERENCANAAN - ITS

Kampus ITS, Keputih Sukolilo Surabaya 60111, Telp. 031 5994251-55 Psw 1140 Telp/Fax 031 592 8601, e-mail : tanah.its@gmail.com

LEGEND	PASIR	LEMPUNG	LANAU	KERIKIL	BATU BARA	UNDISTURBED SAMPLE	MAT

KLIENT : PT. KOPEL LAHAN ANDALAN
PROYEK : PEMBANGUNAN APARTEMEN
LOKASI : JL. KENJERAN 504 SURABAYA
TITIK BOR No. : BH - 2

TANGGAL : 19 - 20 Agustus 2016
MASTER BOR : Ropii Cs
ELEVASI : ±0.00 m - MT
MAT : - 1,15 m





LABORATORIUM MEKANIKA TANAH & BATUAN
JURUSAN TEKNIK SIPIL
FAKULTAS TEKNIK SIPIL DAN PERENCANAAN - ITS
 Kampus ITS, Keputih Sukolilo Surabaya
 Telp. 031 5994251 - 55 Psw. 1140,
 Telp/Fax: 031 5928601, e-mail: tanah.its@gmail.com

REKAP HASIL TEST LABORATORIUM

KLIEN : PT. KOPEL LAHAN ANDALAN

PROYEK : PEMBANGUNAN APARTEMEN

LOKASI : JL. KENJERAN 504 SURABAYA

TITIK BOR : BH - 2

MASTER BOR : Ropii Cs

DEPTH (Meter)	VOLUMETRIC + GRAVIMETRIC							CONSOLIDATION			
	Gs	e	Sr	Wc	n	γ_t	γ_d	γ_{sat}	Pp	Cc	Cv
-7.50	2.553	1.403	100.00	54.95	58.39	1.646	1.062	1.646	1.13	1.021	4.90E-03
-15.00	2.519	1.397	100.00	55.46	58.28	1.634	1.051	1.634	*	*	*
-21.50	2.642	0.894	100.00	33.84	47.20	1.867	1.395	1.867	*	*	*
-30.00	2.586	0.751	100.00	29.04	42.89	1.906	1.477	1.906	*	*	*

DEPTH (Meter)	SIEVE ANALYSIS			ATTERBERG LIMITS			DIRECT TEST		Unconfined test		TRIAXIAL CD		VANE TEST		k (cm/sec)
	G	S	S+Cl	LL	PL	IP	C	ϕ	C_u	ϕ_u	C_d	ϕ_d	S_u	C_u	
-7.50	0.00	18.45	81.55	65.98	29.46	36.52	*	*	*	0	*	*	*	0.05	*
-15.00	0.00	15.34	84.66	60.35	30.52	29.83	*	*	0.21	0	*	*	*	*	*
-21.50	12.12	13.77	74.11	54.13	26.54	27.59	*	*	3.12	0	*	*	*	*	*
-30.00	15.64	15.43	68.93	52.45	30.86	21.59	*	*	3.65	0	*	*	*	*	*

REMARK	G = Gravel (%)	LL = Liquid Limit (%)	C = Cohesion of direct shear (kg/cm^2)
	S = Sand (%)	PL = Plastic Limit (%)	C_d = Drained cohesion triaxial test(kg/cm^2)
	S + Cl = Silt + Clay (%)	IP = Plastic Index (%)	C_u = Undrained cohesion (kg/cm^2)
	e = Void ratio	Cc = Compression Index	S_u = Strength of vane test (kg/cm^2)
	Gs = Specific Gravity	Cv = Coefficient of Consolidation (cm^2/det)	ϕ = Angle of internal friction direct shear test (degree)
	n = Porosity (%)	Pp = Preconsolidation Pressure (kg/cm^2)	ϕ_d = Angle of internal friction drained triaxial test (degree)
	Sr = Degree of saturation (%)	*	ϕ_u = Angle of internal friction undrained triaxial test (degree)
	W _c = Water content (%)		
	γ_t = Moisture density (gr/cc)	k = Coeficient of permeability (cm/sec)	
	γ_{sat} = Saturated density (gr/cc)		
	γ_d = Dry density (gr/cc)		

Perhitungan Daya Dukung Tiang Pancang

Kedalaman (m)	N	Jenis Tanah	Koreksi terhadap MAT			Ysat	po t/m ²	Koreksi thd Overburden Pressure		N rata-rata
			N1 (Terzaghi)	N1 (Bazaraa)	N1 Pakai			N2	N2 Pakai	
						t/m ³	t/m ²			
0	0	Lempung	0	0	0	1.646	0.00	0.00	0.00	1.67
0.5	1	Lempung	1	1	1	1.646	0.32	3.54	2.00	1.71
1	1	Lempung	1	1	1	1.646	0.65	3.18	2.00	1.75
1.5	1	Lempung	1	1	1	1.646	0.97	2.88	2.00	1.77
2	1	Lempung	1	1	1	1.646	1.29	2.64	2.00	1.78
2.5	1	Lempung	1	1	1	1.646	1.62	2.43	2.00	1.78
3	1	Lempung	1	1	1	1.646	1.94	2.25	2.00	1.77
3.5	1	Lempung	1	1	1	1.646	2.26	2.10	2.00	1.75
4	1	Lempung	1	1	1	1.646	2.58	1.97	1.97	1.73
4.5	1	Lempung	1	1	1	1.646	2.91	1.85	1.85	1.71
5	1	Lempung	1	1	1	1.646	3.23	1.75	1.75	1.80
5.5	1	Lempung	1	1	1	1.646	3.55	1.65	1.65	1.76
6	1	Lempung	1	1	1	1.646	3.88	1.57	1.57	1.71
6.5	1	Lempung	1	1	1	1.646	4.20	1.49	1.49	1.65
7	1	Lempung	1	1	1	1.646	4.52	1.42	1.42	1.60
7.5	1	Lempung	1	1	1	1.646	4.85	1.36	1.36	1.54
8	1	Lempung	1	1	1	1.634	5.16	1.31	1.31	1.48
8.5	1	Lempung	1	1	1	1.634	5.48	1.25	1.25	1.42
9	1	Lempung	1	1	1	1.634	5.80	1.21	1.21	1.35
9.5	1	Lempung	1	1	1	1.634	6.11	1.16	1.16	1.29
10	1	Lempung	1	1	1	1.634	6.43	1.12	1.12	1.31
10.5	1	Lempung	1	1	1	1.634	6.75	1.08	1.08	1.33
11	1	Lempung	1	1	1	1.634	7.06	1.05	1.05	1.42
11.5	1	Lempung	1	1	1	1.634	7.38	1.01	1.01	1.51
12	1	Lempung	1	1	1	1.634	7.70	1.00	1.00	1.67
12.5	2	Lempung	2	2	2	1.634	8.02	1.97	1.97	1.84
13	2	Lempung	2	2	2	1.634	8.33	1.96	1.96	2.19
13.5	3	Lempung	3	3	3	1.634	8.65	2.92	2.92	2.73
14	3	Lempung	3	3	3	1.634	8.97	2.89	2.89	3.44
14.5	4	Lempung	4	4	4	1.634	9.28	3.83	3.83	4.34
15	4	Lempung	4	4	4	1.634	9.60	3.80	3.80	5.41
15.5	7	Lempung	7	7	7	1.867	10.03	6.58	6.58	6.65
16	10	Lempung	10	10	10	1.867	10.47	9.31	9.31	8.12
16.5	13	Lempung	13	13	13	1.867	10.90	11.98	11.98	9.80
17	16	Lempung	16	16	16	1.867	11.33	14.60	14.60	11.71
17.5	19	Lempung	19	19	19	1.867	11.77	17.17	17.17	13.76
18	22	Lempung	22	22	22	1.867	12.20	19.69	19.69	16.08
18.5	26	Lempung	26	26	26	1.867	12.63	23.04	23.04	18.53
19	30	Lempung	30	30	30	1.867	13.07	26.33	26.33	21.07
19.5	34	Lempung	34	34	34	1.867	13.50	29.56	29.56	23.64
20	38	Lempung	38	38	38	1.867	13.94	32.73	32.73	26.35
20.5	43	Lempung	43	43	43	1.867	14.37	36.70	36.70	28.95
21	47	Lempung	47	47	47	1.867	14.80	39.74	39.74	31.45
21.5	49	Lempung	49	49	49	1.906	15.26	41.04	41.04	33.85
22	51	Lempung	51	51	51	1.906	15.71	42.32	42.32	36.04
22.5	54	Lempung	54	54	54	1.906	16.16	44.39	44.39	38.04
23	56	Lempung	56	56	56	1.906	16.61	45.61	45.61	39.84
23.5	58	Lempung	58	58	58	1.906	17.07	46.81	46.81	41.39
24	60	Lempung	60	60	60	1.906	17.52	47.98	47.98	42.70
24.5	60	Lempung	60	60	60	1.906	17.97	47.55	47.55	43.76
25	60	Lempung	60	60	60	1.906	18.43	47.13	47.13	44.59
25.5	60	Lempung	60	60	60	1.906	18.88	46.71	46.71	45.12
26	60	Lempung	60	60	60	1.906	19.33	46.30	46.30	45.43
26.5	60	Lempung	60	60	60	1.906	19.79	45.90	45.90	45.63
27	60	Lempung	60	60	60	1.906	20.24	45.51	45.51	45.72
27.5	60	Lempung	60	60	60	1.906	20.69	45.12	45.12	45.64
28	60	Lempung	60	60	60	1.906	21.14	44.74	44.74	45.64
28.5	60	Lempung	60	60	60	1.906	21.60	44.36	44.36	45.56
29	60	Lempung	60	60	60	1.906	22.05	44.00	44.00	45.35
29.5	60	Lempung	60	60	60	1.906	22.50	43.63	43.63	45.15
30	60	Lempung	60	60	60	1.906	22.96	43.28	43.28	44.96

Perhitungan Daya Dukung Tiang Pancang (Lanjutan)

Kedalaman (m)	Cn ujung t/m²	Qp ton	f_{si} (ton/m²)	f_{si} x Asi (ton)	Q_s (ton)	Q_{ult} (ton)	Q_{ijin} = Q_{ult}/SF (ton)
0	66.67	18.85	0.00	0.00	0.00	18.85	6.28
0.5	68.57	19.39	1.00	0.94	0.94	20.33	6.78
1	70.00	19.79	1.00	0.94	1.88	21.68	7.23
1.5	70.96	20.06	1.00	0.94	2.83	22.89	7.63
2	71.27	20.15	1.00	0.94	3.77	23.92	7.97
2.5	71.13	20.11	1.00	0.94	4.71	24.82	8.27
3	70.71	19.99	1.00	0.94	5.65	25.65	8.55
3.5	70.10	19.82	1.00	0.94	6.60	26.42	8.81
4	69.36	19.61	0.98	0.93	7.52	27.13	9.04
4.5	68.53	19.38	0.92	0.87	8.40	27.77	9.26
5	72.16	20.40	0.87	0.82	9.22	29.62	9.87
5.5	70.31	19.88	0.83	0.78	10.00	29.88	9.96
6	68.32	19.32	0.78	0.74	10.74	30.05	10.02
6.5	66.20	18.72	0.75	0.70	11.44	30.16	10.05
7	63.96	18.08	0.71	0.67	12.11	30.19	10.06
7.5	61.61	17.42	0.68	0.64	12.75	30.17	10.06
8	59.16	16.73	0.65	0.62	13.37	30.10	10.03
8.5	56.62	16.01	0.63	0.59	13.96	29.97	9.99
9	54.07	15.29	0.60	0.57	14.53	29.81	9.94
9.5	51.79	14.64	0.58	0.55	15.07	29.72	9.91
10	52.41	14.82	0.56	0.53	15.60	30.42	10.14
10.5	53.22	15.05	0.54	0.51	16.11	31.16	10.39
11	56.82	16.07	0.52	0.49	16.60	32.67	10.89
11.5	60.56	17.12	0.51	0.48	17.08	34.20	11.40
12	66.97	18.94	0.50	0.47	17.55	36.48	12.16
12.5	73.47	20.77	0.99	0.93	18.48	39.25	13.08
13	87.55	24.75	0.98	0.92	19.40	44.16	14.72
13.5	109.03	30.83	1.46	1.37	20.78	51.60	17.20
14	137.77	38.95	1.45	1.36	22.14	61.09	20.36
14.5	173.61	49.09	1.91	1.80	23.94	73.03	24.34
15	216.40	61.19	1.90	1.79	25.74	86.92	28.97
15.5	266.02	75.21	3.29	3.10	28.84	104.05	34.68
16	324.67	91.80	4.65	4.39	33.22	125.02	41.67
16.5	392.20	110.89	5.99	5.65	38.87	149.76	49.92
17	468.38	132.43	7.30	6.88	45.75	178.18	59.39
17.5	550.41	155.62	8.58	8.09	53.84	209.47	69.82
18	643.05	181.82	9.84	9.28	63.12	244.94	81.65
18.5	741.26	209.58	11.52	10.86	73.98	283.56	94.52
19	842.99	238.35	13.17	12.41	86.39	324.74	108.25
19.5	945.62	267.37	14.78	13.93	100.32	367.69	122.56
20	1053.85	297.97	16.37	15.43	115.74	413.71	137.90
20.5	1157.92	327.39	18.35	17.29	133.04	460.43	153.48
21	1257.91	355.67	19.87	18.73	151.77	507.43	169.14
21.5	1353.91	382.81	20.52	19.34	171.11	553.92	184.64
22	1441.77	407.65	21.16	19.94	191.05	598.70	199.57
22.5	1521.66	430.24	22.19	20.92	211.97	642.21	214.07
23	1593.73	450.62	22.80	21.49	233.46	684.08	228.03
23.5	1655.76	468.16	23.40	22.06	255.52	723.67	241.22
24	1707.94	482.91	23.99	22.61	278.13	761.04	253.68
24.5	1750.46	494.93	23.78	22.41	300.53	795.46	265.15
25	1783.49	504.27	23.56	22.21	322.74	827.01	275.67
25.5	1804.93	510.33	23.36	22.01	344.75	855.09	285.03
26	1817.25	513.82	23.15	21.82	366.57	880.39	293.46
26.5	1825.13	516.04	22.95	21.63	388.21	904.25	301.42
27	1828.64	517.04	22.75	21.45	409.65	926.69	308.90
27.5	1825.68	516.20	22.56	21.26	430.91	947.11	315.70
28	1825.78	516.23	22.37	21.08	452.00	968.22	322.74
28.5	1822.20	515.22	22.18	20.91	472.90	988.12	329.37
29	1814.12	512.93	22.00	20.73	493.64	1006.56	335.52
29.5	1806.13	510.67	21.82	20.56	514.20	1024.87	341.62
30	1798.23	508.44	21.64	20.39	534.59	1043.03	347.68

MULTISTRAND POST-TENSIONING

VSL

STRAND PROPERTIES – TO AS1311

Nominal Diameter mm	Nominal Steel Area mm ²	Nominal Mass kg/m	Minimum Breaking Load kN	Minimum Proof Load (0.2% Offset) kN	Min. Elong. to Fracture in 600mm %	Relaxation After 1,000hrs at 0.7 Breaking Load %	Modulus of Elasticity MPa
12.7	100.1	0.786	184	156.4	3.5	2.5	180–205
15.2	143.3	1.125	250	212.5	3.5	2.5	$\times 10^3$

TENDON PROPERTIES

STRAND TYPE 12.7mm			
TENDON UNIT	No. OF STRANDS	Minimum Breaking Load kN	STEEL DUCT Internal Diameter mm
5-3	2	368	39
	3	552	39
5-7	4	736	51
	5	920	51
	6	1100	51
	7	1290	51
5-12	8	1470	69
	9	1660	69
	10	1840	69
	11	2020	69
	12	2210	69
5-19	13	2390	84
	14	2580	84
	15	2760	84
	16	2940	84
	17	3130	84
	18	3310	84
	19	3500	84
5-22	20	3680	90
	21	3860	90
	22	4050	90
5-27	23	4230	96
	24	4420	96
	25	4600	96
	26	4780	96
	27	4970	96
5-31	28	5150	105
	29	5340	105
	30	5520	105
	31	5700	105
5-37	32	5890	115
	33	6070	115
	34	6260	115
	35	6440	115
	36	6620	115
	37	6810	115
5-42	38	6990	118
	39	7180	118
	40	7360	118
	41	7540	118
	42	7730	118
5-48	43	7910	127
	44	8100	127
	45	8280	127
	46	8460	127
	47	8650	127
	48	8830	127
5-55	49	9020	135
	50	9200	135
	51	9380	135
	52	9570	135
	53	9750	135
	54	9940	135
	55	10120	135

STRAND TYPE 15.2mm			
TENDON UNIT	No. OF STRANDS	Minimum Breaking Load kN	STEEL DUCT Internal Diameter mm
6-3	2	500	39
	3	750	39
6-4	4	1000	51
6-7	5	1250	69
	6	1500	69
	7	1750	69
6-12	8	2000	84
	9	2250	84
	10	2500	84
	11	2750	84
	12	3000	84
6-19	13	3250	96
	14	3500	96
	15	3750	96
	16	4000	96
	17	4250	96
	18	4500	96
	19	4750	96
6-22	20	5000	105
	21	5250	105
	22	5500	105
6-27	23	5750	115
	24	6000	115
	25	6250	115
	26	6500	115
	27	6750	115
6-31	28	7000	118
	29	7250	118
	30	7500	118
	31	7750	118
6-37	32	8000	127
	33	8250	127
	34	8500	127
	35	8750	127
6-42	36	9000	135
	37	9250	135
	38	9500	135
	39	9750	135
	40	10000	135
	41	10250	135
	42	10500	135
6-48	43	10750	144
	44	11000	144
	45	11250	144
	46	11500	144
	47	11750	144
	48	12000	144
6-55	49	12250	154
	50	12500	154
	51	12750	154
	52	13000	154
	53	13250	154
	54	13500	154
	55	13750	154

Note: 1. Intermediate duct diameters may be available on application.

2. Duct diameters are for corrugated steel duct.

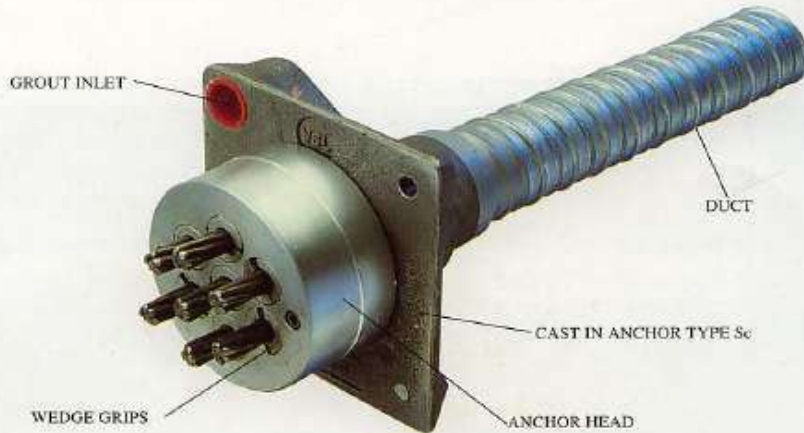
3. Duct external dia. = 1. Dia. + 6mm nominal

4. Corrugated polyethylene PT-Plus™ duct is also available, refer page 14.

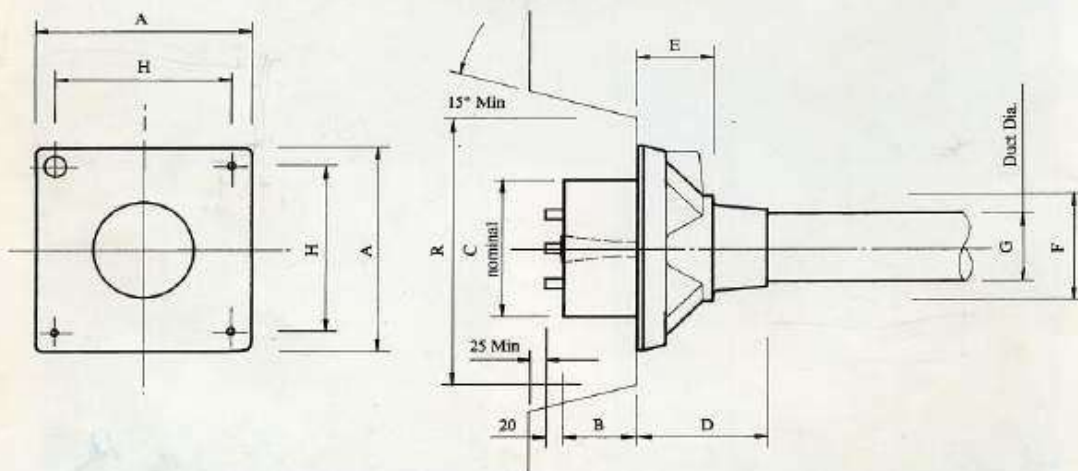
5. For special applications other strand and tendon capacities are available.



MULTISTRAND POST-TENSIONING



VSL STRESSING ANCHORAGE TYPE Sc
LIVE END



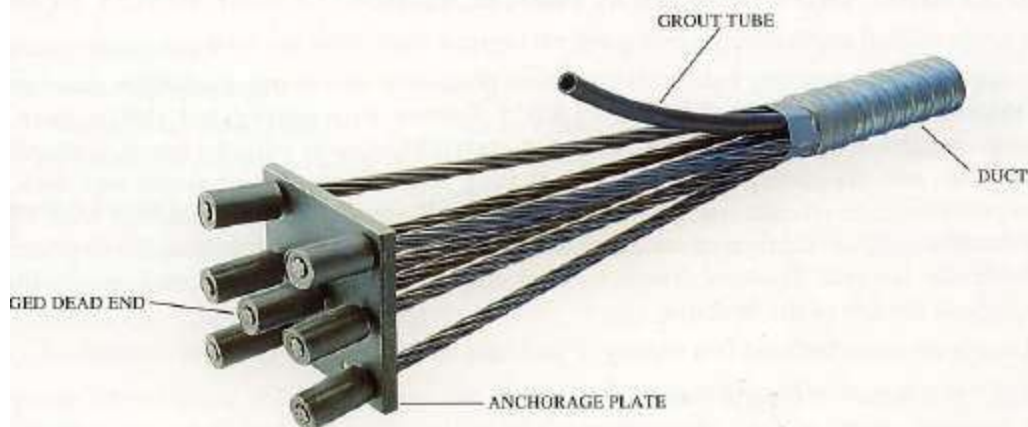
TENDON UNIT	Dimensions (mm)									
	A	B	C	D	E	F	G Int. Dia.	H	R	
*5-3P	135	57	90	191	16	56	39	116	210	
*5-4P	150	57	90	216	16	64	39	125	210	
5-7	165	57	120	100	60	85	51	125	275	
5-12	215	54	160	160	84	120	69	151	320	
5-19	265	66	180	210	110	145	84	200	360	
5-22	290	77	200	215	140	153	90	230	360	
5-27	315	92	220	250	160	176	96	250	360	
5-31	315	92	230	250	161	175	105	250	360	
5-37	370	107	250	320	160	200	115	305	650	
5-42	390	112	290	346	168	217	118	325	650	
5-48	430	122	300	340	161	233	127	365	750	
5-55	465	142	320	340	160	400	135	400	750	
STRAND TYPE 12.7mm	*6-3P	150	60	90	190	16	56	39	116	210
	*6-4P	165	54	120	100	60	85	51	125	270
	6-7	215	54	160	160	85	120	69	150	320
	6-12	265	66	180	210	110	145	84	200	360
	6-19	315	92	220	250	160	175	96	250	360
	6-22	315	92	230	250	160	175	105	250	360
	6-27	370	107	250	320	160	200	115	305	650
	6-31	390	112	290	340	160	217	118	325	650
	6-37	430	122	300	340	160	235	135	365	750
STRAND TYPE 15.2mm	6-42	465	142	320	340	160	250	135	400	750
	*6-48P	575	155	340	1025	110	269	144	495	900
*6-55P	600	190	360	1070	120	294	154	520	900	

Note: Dimension R does not allow for Lift Off force check. Smaller recesses can be provided for special cases.

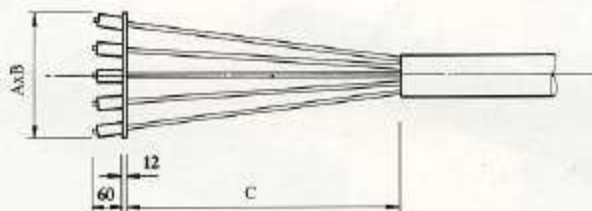
Refer VSL office for details.

*Plate type anchorages (Type P). Also available for other tendon units.

MULTISTRAND POST-TENSIONING



VSL DEAD END ANCHORAGE TYPE P



STRAND TYPE 12.7mm			
TENDON UNIT	A Dimensions (mm)	B Dimensions (mm)	C
5-3	100	100	100
5-4	120	120	150
5-7	150	150	250
5-12	200	200	350
5-19	250	250	500
5-22	300	250	500
5-27	300	300	650
5-31	350	300	650
5-37	375	350	850
5-42	375	375	850
5-48	400	400	1000
5-55	425	425	1000

STRAND TYPE 15.2mm			
TENDON UNIT	A Dimensions (mm)	B Dimensions (mm)	C
6-3	150	150	250
6-4	150	150	250
6-7	200	200	350
6-12	250	250	500
6-19	300	300	500
6-22	300	300	500
6-27	350	350	650
6-31	350	350	650
6-37	400	350	850
6-42	400	350	850
6-48	475	475	1000
6-55	550	475	1000



JENKA Lifting System

For safe and efficient lifting of precast concrete elements

Version: Peikko Group 04/2016



Technical Manual

About JENKA Lifting System

1.2 JENKA short inserts

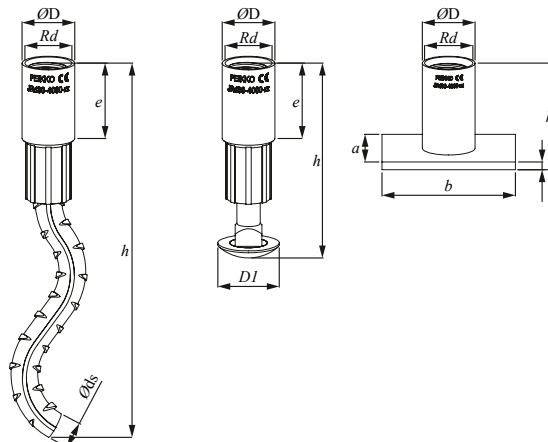
The JENKA Short Inserts, WAS, BSA and PSA, are used in applications where only limited anchoring depth is present, such as slabs. They are not intended for tilting up processes and the load angle is limited to 45°. This section describes the product properties of JENKA Short Inserts. Peikko's standard products are always delivered galvanized with Peikko Rd thread, which enables full compatibility with M thread. All dimensions given in this section are valid for all finishes and both Rd and M threaded items equally.

JRd30: JENKA Lifting Insert specialized Rd30 thread (standard item)
JM30: JENKA Lifting Insert metric M30 thread (available up on request)

1.2.1 Dimensions

JENKA Short Inserts are available in the standard lengths shown in *Figure 20* and *Table 15*. Inserts with customized lengths for special purposes are available upon request.

Figure 20. WAS, BSA and PSA insert types.



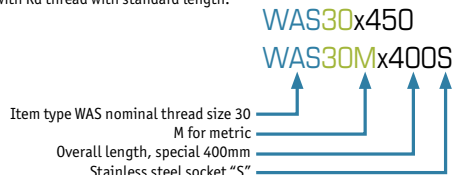
About JENKA Lifting System

Table 15. Dimensions of WAS/BSA/PSA inserts.

Item No. JRd/JM	Dimensions							WAS h [mm]	BSA h [mm]	PSA h [mm]
	Rd/M [mm]	OD [mm]	e [mm]	OdS [mm]	ODI [mm]	a x b [mm]	t [mm]			
12	12	15.0	22	8	20	25x35	4	150	60	30
14	14	18.0	25	10	24	35x35	4	155	70	33
16	16	21.0	27	12	30	35x50	4	175	80	35
18	18	24.0	34	14	38	45x60	5	225	90	44
20	20	27.0	35	14	38	60x60	5	250	100	47
24	24	31.0	43	16	46	60x80	5	275	115	54
30	30	40.0	56	20	46	80x100	6	350	150	72
36	36	47.0	68	25		100x130	6	450		84
42	42	54.0	80	28		130x130	8	500		98
52	52	67.0	100			130x150	10			117

Ordering example for Peikko JENKA WAS Inserts.

Item type with Rd thread with standard length.



PLEASE NOTE:

Selecting items such as WAS30 or WAS30x350 defines same product because standard length will be selected when no other information is added. For customized lengths please use the following code: WAS30xL (L in mm). The method can also be applied to BSA or PSA inserts.

1.2.2 Weights of system components

Component weights are given in Table 16. This information is valid for Rd and M threaded products and for electro galvanized, black, or stainless steel finishes. These Tables only take into account standard product dimensions.

Table 16. Weight of JENKA Short Inserts.

Item No. JRd/JM	WAS [kg/pcs]	BSA [kg/pcs]	PSA [kg/pcs]
12	0.1	0.1	0.1
14	0.1	0.1	0.1
16	0.2	0.1	0.1
18	0.3	0.2	0.2
20	0.4	0.3	0.3

Item No. JRd/JM	WAS [kg/pcs]	BSA [kg/pcs]	PSA [kg/pcs]
24	0.6	0.4	0.4
30	1.2	0.7	0.7
36	2.0		1.2
42	3.1		1.8
52			2.9

About JENKA Lifting System

1.2.3 Safe working loads for JENKA Short Inserts

The resistance of the JENKA Lifting System is determined by a design concept that makes reference to the following standards and regulations.

EN1992-1-1:2011
Machinery directive 2006/42/EC
VDI/BV-BS6205:2012

The load capacities depend very much on how and in which combination the items will be used. For short JENKA Lifting Inserts, all JENKA Lifting Keys (TLL, JL, JLW) can be used at an angle β of 0–45°.

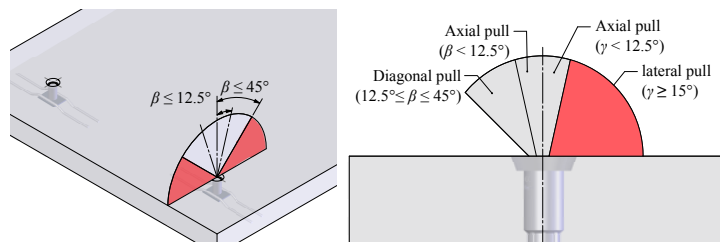
The safe working load capacities (SWL) are based upon specific dimensions and edge distances as given in the following sections. Before selecting an insert, take note of the design assumptions in this manual. The minimum compressive strength of the concrete at the moment of load application is 15 MPa. Min 15MPa

Table 17 shows the safe working load levels of JENKA Short Inserts. Select inserts that are suitable for the planned load directions. Figure 21 illustrates the load directions related to this table.

Table 17. Safe working load (SWL) for JENKA Short Inserts.

Item No. JRd/JM	Load Class	WAS SWL for β 0–45° [kN]	BSA SWL for β 0–45° [kN]	PSA SWL for β 0–45°		
				at 15 MPa [kN]	at 20 MPa [kN]	at 25 MPa [kN]
12	500	5	5	5	5	5
14	800	8	8	8	8	8
16	1200	12	12	10	12	12
18	1600	16	16	14.2	16	16
20	2000	20	20	18.3	20	20
24	2500	25	25	25	25	25
30	4000	40	40	40	40	40
36	6300	63		63	63	63
42	8000	80		80	78	80
52	12500			95	110	125

Figure 21. Load directions for JENKA Short Inserts.



About JENKA Lifting System



PLEASE NOTE:

Diagonal pull between 12.5° and 45° is only permitted with additional reinforcement in accordance with the following section.

1.2.4 Unit geometry and spacing

The use of Peikko Lifting systems requires a specific element geometry. The load capacities given in this section of the manual are based on specific dimensions and edge and axial distances. The safety factors can only be ensured as described if the geometric specifications are complied with. Peikko's engineering service offers customized solutions to make special applications possible.

Before selecting and installing an insert, consider the general information in the previous sections of this manual. The required part geometry specification for JENKA Long Inserts differs from that for short inserts. The two types cannot replace each other or be applied in the same way unless the geometric requirements are complied with.

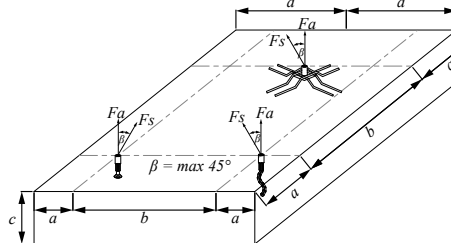
JENKA Short Inserts are commonly used in thin, flat elements with limited anchorage depth. With this insert type, most of the anchor loads are transferred over the width of the element. In many cases, capacities are limited by the element thickness c due to slab bending during lifting. The minimum element thickness and minimum edge and axial distances for respective insert types are shown in Table 18. Figure 22 visualizes the requirements.

Table 18. Minimum unit geometry for JENKA Short Inserts.

Item No. JRd/JM	WAS			BSA			PSA		
	b [mm]	a [mm]	c [mm]	b [mm]	a [mm]	c [mm]	b [mm]	a [mm]	c [mm]
12	200	95	140	360	180	80	350	180	70
14	200	115	160	420	210	90	350	180	80
16	260	135	190	180	240	100	500	250	85
18	300	155	210	540	270	110	600	300	95
20	350	170	215	600	300	120	600	300	100
24	440	220	270	690	345	135	800	400	115
30	550	275	335	900	450	170	1000	500	140
36	600	300	420				1300	650	160
42	800	400	480				1300	650	175
52							1500	750	215

About JENKA Lifting System

Figure 22. JENKA Short Inserts geometry requirements.



PLEASE NOTE:

The geometry specification requires that installation is within the tolerances defined in section 2.

1.2.5 Reinforcement for JENKA Short Inserts

The use of lifting systems requires a minimum level of reinforcement in the concrete elements. The reinforcement that is defined by structural design can be considered by taking into account the existing cross section. The required reinforcement level can be attained using single reinforcing bars or wire mesh with an equivalent or greater cross section (mm^2/m or cm^2/m). If the designed reinforcement must be removed or cut to install the JENKA Lifting Insert, this area must be repaired by adding a similar cross section of reinforcement (single bars or wire mesh) with sufficient overlapping length.



WARNING:

Always check that sufficient reinforcement is designed and installed. Too little reinforcement can result in severe accidents and collapsing elements.

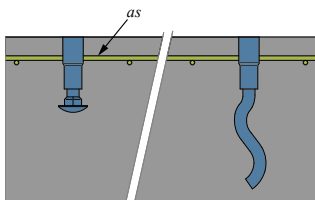
The reinforcement described in this section supports only the load impact of the lifting system on the concrete element. The structural designer must bear in mind that the element may bend as a result of the transportation process. Additional reinforcement may be needed to prevent the element from cracking. This must be defined separately. Surface reinforcement (mm^2/m) must be considered and installed cross-wise for each element direction.

About JENKA Lifting System

JENKA Short Inserts require only a top surface that must have a reinforcement layer. *Table 19* and *Table 20* show the required reinforcement level.

Table 19. Reinforcement for JENKA BSA and WAS Short Inserts.

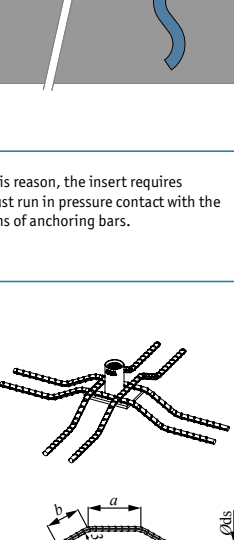
Item No. JRd/JM	BSA		WAS	
	Surface reinforcement [#mm ² /m]			
12	131	131	131	131
14	131	131	131	131
16	131	131	131	131
18	188	188	188	188
20	188	188	188	188
24	188	188	188	188
30	188	188	188	188
36			188	
42			188	



The PSA insert type is designed to fit into very flat and slim elements. For this reason, the insert requires anchoring bars in addition to surface reinforcement. The anchoring bars must run in pressure contact with the base steel plate. *Table 20* illustrates the installation and detailed dimensions of anchoring bars.

Table 20. Reinforcement for JENKA PSA Short Inserts.

Item No. JRd/JM	PSA surface Reinforcement [mm ² /m]	Amount [pcs.]	Anchoring bars for PSA			
			\varnothing_{ds} [mm]	L [mm]	a [mm]	b [mm]
12	131	2	6	250	60	60
14	131	2	6	360	60	70
16	131	2	8	420	90	70
18	188	2	8	530	90	80
20	188	2	8	640	90	80
24	188	4	10	640	90	100
30	221	4	12	830	90	110
36	221	4	14	1140	140	120
42	513	4	16	1250	140	120
52	513	4	20	1530	140	150



About JENKA Lifting System

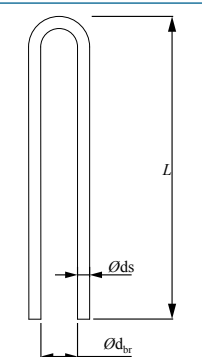
1.2.6 Types and geometry of additional reinforcement

Reinforcement for diagonal pull (from 12.5° to 45°)

Diagonal pull on the inserts requires special reinforcement around the socket to support the insert. This reinforcement must always have direct pressure contact with the socket. This can either be achieved by wire fixing or by using Peikko DSH item which enables double sided curved fixing for the additional rebar. A smaller diameter for the rebar can be used for limitations up to a maximum of 30°. Depending on the angle that must remain within 45°, the reinforcement is shown in *Table 21*.

Table 21. Diagonal rebar for all insert types.

Item No. JRd/JM	For all insert types			
	$12.5^\circ \leq \beta \leq 45^\circ$ \varnothing_{ds} [mm]	$12.5^\circ \leq \beta \leq 30^\circ$ \varnothing_{ds} [mm]	$12.5^\circ \leq \beta \leq 30^\circ$ L [mm]	$12.5^\circ \leq \beta \leq 30^\circ$ L [mm]
12	6	6	150	150
14	6	6	200	200
16	8	6	200	250
18	8	8	250	200
20	8	8	300	250
24	10	8	300	300
30	12	10	400	350
36	14	12	550	450
42	16	14	600	600
52	20	16	750	700





MODIX Rebar Couplers

Safe and flexible rebar splicing system

Version: Peikko Group 01/2016



Technical Manual



MODIX Rebar Couplers

Safe and flexible rebar splicing system

- Reduces congestion of reinforcement by eliminating lap splicing
- Simplifies construction of reinforced concrete structures
- Wide range of connections with a small number of coupler types
- Quick and easy assembly with simple tools
- Safe and time-saving assembly control
- High production speed



MODIX Rebar Couplers are building products used to create mechanical connections between ribbed reinforcement bars in cast-in-situ and precast concrete structures. MODIX consists of prefabricated female and male muffs with M-threads, which are pressed onto the reinforcement bars. This system provides high production speed with reliable quality. A unique visual inspection system makes the assembly process fast and safe.

MODIX Rebar Couplers transfer the full resistance of reinforcement bars for compressive and tensile forces in connections with straight and bent reinforcement bars of the same and different diameters, also enabling the rebar to be attached to a steel profile and to form an end anchor. MODIX is available for rebar diameters of 10 mm to 40 mm.



System approved by

VTT DIBt KOMO ÉMI ITB

A list of national product approvals is available on Peikko's website: www.peikko.com

www.peikko.com

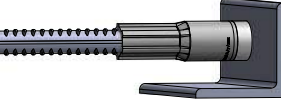
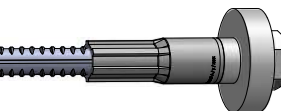
About MODIX Rebar Couplers

1. PRODUCT PROPERTIES

MODIX Rebar Couplers are used to create threaded connections between reinforcement bars. MODIX consists of a threaded coupler swaged onto a hot-rolled ribbed reinforcement bar with a diameter of 10mm to 40mm. MODIX is typically used to:

- Create continuity of reinforcement in concrete elements
- Fix end anchors to the reinforcement bar
- Fix the reinforcement bar to a steel profile

Variants of MODIX are shown in the table below:

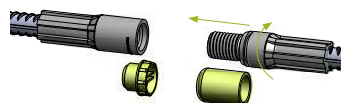
MODIX SM Standard Coupler	Threaded coupler system for connecting reinforcing bars with the same diameters.
	
MODIX PM Position Coupler	Threaded coupler system for bars that cannot be turned and moved in an axial direction, such as tapered columns with connecting bars bent at right angles.
	
MODIX RM Reduction Coupler	Threaded coupler system for connecting bars with different diameters.
	
MODIX KM Combination Coupler	Threaded coupler system for use as a combination coupler to connect a reinforcement bar and a metric screw.
	
MODIX EM End anchor Coupler	Threaded coupler system for use as an end-anchor coupler including a standard screw and end-plate.
	
MODIX AM Welded-to Coupler	Threaded coupler system for use as a weld-to coupler for connecting reinforcement bars and steel construction elements.
	

About MODIX Rebar Couplers

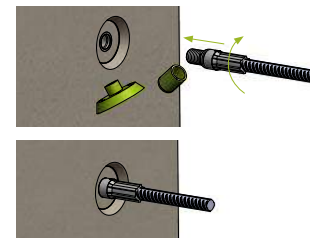
The unique visual inspection system allows MODIX connections to be installed without using special tools such as torque wrenches. MODIX connections allow all reinforcement in the concrete element to be connected in one cross section without using additional transverse reinforcement bars. This helps to avoid congestion of reinforcement in the concrete element. All in all, the optimized labor and material costs associated with using MODIX make it a competitive solution compared to traditional techniques for connecting reinforcement bars (lap splicing, welding). MODIX Rebar Couplers can be connected inside concrete elements (*Figure 1a*), on the surface of concrete elements (*Figure 1b*), or as a protruding bar solution (*Figure 1c*).

Figure 1.

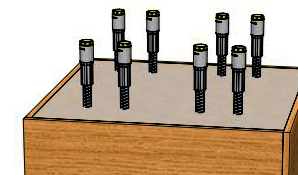
a) MODIX connected inside concrete elements MODIX connected on the surface of the element.



b) attached to formwork.



c) protruding bar solution.



1.1 Structural behavior

MODIX Rebar Couplers are designed to provide slip-free bolted connections between reinforcement bars with a tensile/compressive resistance corresponding to the resistance of the connected reinforcement bar. MODIX Rebar Couplers can be seen in the same way as unspliced continuous reinforcement bars.

1.2 Application conditions

MODIX Rebar Couplers are pre-designed for use under the conditions mentioned in this chapter. If these conditions may not be satisfied, please contact the Customer Engineering Service for custom-designed MODIX Rebar Coupler solution.

About MODIX Rebar Couplers

1.2.1 Loading and environmental conditions

MODIX Rebar Couplers are designed, tested and approved to carry static loads, dynamic loads, and impact loads. The couplers are made from carbon steel and can be exposed to the same environmental effects as ordinary reinforcement bars. These properties enable MODIX Rebar Couplers to be used in following types of structures:

- Public and commercial buildings
- Residential buildings
- Industrial buildings and structures
- Infrastructure (bridges and tunnels)
- Nuclear power plants

The minimum thickness of concrete cover and spacing between MODIX Rebar Couplers must be adequate according to the environmental exposure class and intended operating life.

1.2.2 Execution of the connection

The properties of MODIX connections are conditioned by proper tightening of the system in accordance with the installation instructions.

1.3 Other properties

The material properties of parts of the MODIX system have the following properties:

MODIX Rebar Couplers S355 EN 10025-2
Reinforcement bars Hot-rolled ribbed bars with characteristic yield strength of $f_y = 450 - 550 \text{ MPa}$
 (for example B450B, B500B and B550B according EN 10080)

Peikko Group's production units are externally controlled and periodically audited on the basis of production certifications and product approvals by various organizations, including Inspecta Certification, VTT Expert Services, Nordcert, SLV, TSUS, MPA NRW, EMI, KOMO, SPSC and AFCAB.

For traceability purposes, the products bear producer identification markings – the batch number, including the type of product and number of the steel partner.

MODIX Rebar Couplers are under continuous quality control, which includes permanent visual and dimensional control and regular tensile and fatigue testing by third parties.

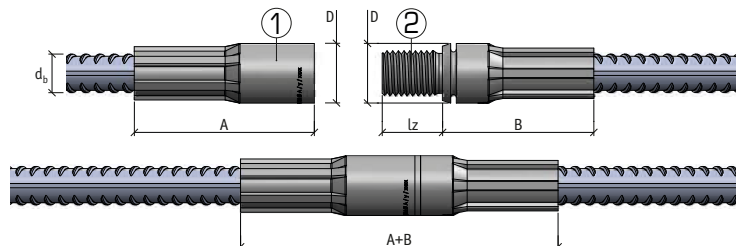
About MODIX Rebar Couplers

MODIX® SM (Standard Coupler)

- For connecting bars with the same diameter
- At least one bar can be moved axially and rotated

Coupler type	Bar Ø d_b [mm]	Coupler Ø D [mm]	Length Part A [mm]	Length Part B [mm]	Parts A+B fitted together [mm]	ISO metric thread M	Thread length l _z [mm]	Color of thread protector
SM10	10	17.5	52	46	96	M 12 x 1.75	16.0	Orange
SM12	12	21.0	63	52	113	M 16 x 2	21.2	Yellow
SM14	14	24.0	72	57	127	M 18 x 2.5	24.8	Blue
SM16	16	27.0	80	63	141	M 20 x 2.5	27.5	White
SM20	20	33.0	98	77	173	M 24 x 3	31.6	Gray
SM25	25	41.0	122	98	218	M 30 x 3.5	39.0	Red
SM28	28	47.0	141	111	250	M 36 x 4	46.0	Black
SM32	32	53.0	156	124	278	M 42 x 4.5	53.5	Brown
SM40	40	63.5	163	136	297	M 48 x 5.0	61.7	Green

- Part A and Part B can be ordered separately.



Example of a product code:

① SM25A-P-1500 ② SM25B-L-1300

① Properties of MODIX Rebar Coupler
 ② Properties of reinforcement bar*

Type of muff – Standard coupler
 Diameter of coupled reinforcement bar
 Coupler Part A (female) or coupler Part B (male)

*Detailed explanations of the properties of reinforcement bars are described in Annex A

Application

MODIX SM Standard Couplers are used as regular connections for reinforcement bars with the same diameters with full tension and compression capacity.



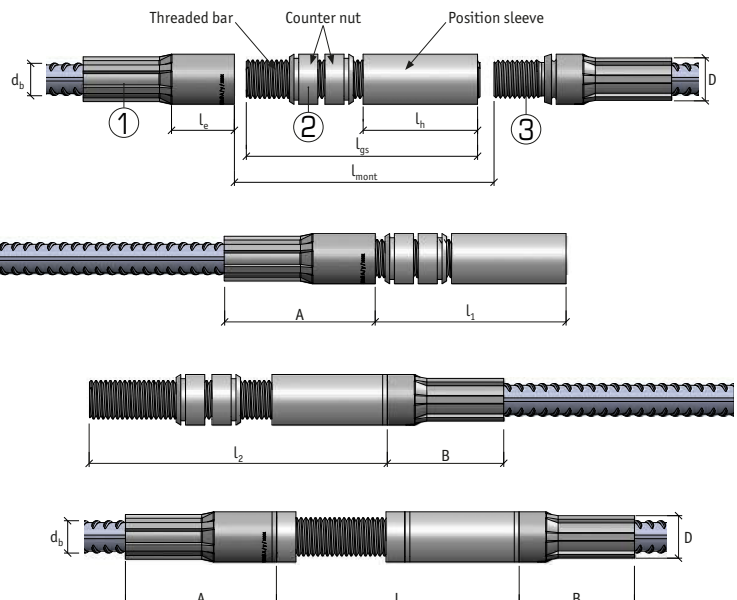
About MODIX Rebar Couplers

MODIX® PM (Position Coupler)

- For connecting straight or bent bars
- None of the bars can move axially or rotate

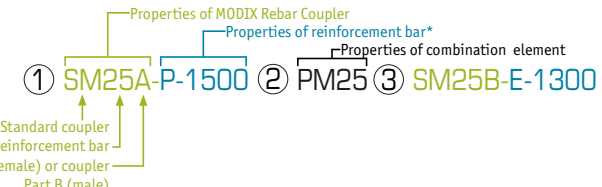


Coupler type	Bar Ø d_b [mm]	Coupler Ø D [mm]	Length Part A l_{A_e} [mm]	Thread length Part A l_1 [mm]	Length l_2 [mm]	Length of position sleeve l_h [mm]	Length threaded bar l_{gs} [mm]	Max. free spacing l_{mont} [mm]	Length L [mm]	ISO metric thread M	Color of thread protector
PM10	10	17.5	52	21	58	95	37	79	59	M 12 x 1.75	Orange
PM12	12	21.0	63	26	72	119	48	98	73	M 16 x 2	Yellow
PM14	14	24.0	72	30	81	135	55	111	82	M 18 x 2.5	Blue
PM16	16	27.0	80	33	88	148	61	121	89	M 20 x 2.5	White
PM20	20	33.0	98	37	99	167	69	136	100	M 24 x 3	Gray
PM25	25	41.0	122	44	117	200	83	161	118	M 30 x 3.5	Red
PM28	28	47.0	141	51	136	233	97	187	137	M 36 x 4	Black
PM32	32	53.0	156	59	155	267	112	214	156	M 42 x 4.5	Brown
PM40	40	63.5	163	65	175	301	127	240	173	M 48 x 5.0	Green



About MODIX Rebar Couplers

Example of a product code:



Application

MODIX PM Position Couplers are used when none of the bars can rotate or move (such as connections of bent bars or connections of two precast elements).



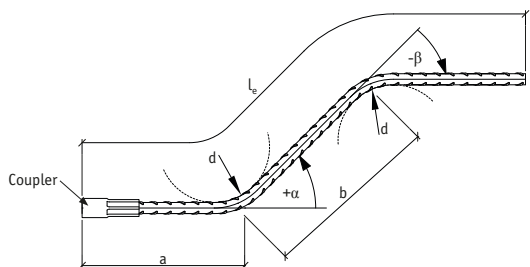
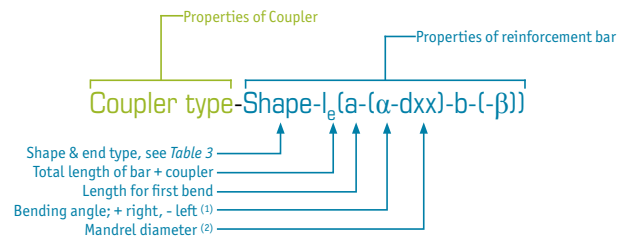
Annex A - Shape of reinforcement bars

Annex A – Shape of reinforcement bars

Reinforcement bars connected with MODIX may be processed to the forms specified in *Table 3*. The geometry of the reinforcement bar must be specified in the product code or product shape list (*Table 2*) following the instructions below.

General product code principles

Single-sided:



Example: SM25A-P26-1200(400-(45)-500-(-45))

(1) The bending angle must be defined in shapes 15, 25, 26 according to *Table 3*. Shapes 12, 13, 21 have standard bending angle $\Rightarrow 12, 21 = 90^\circ; 13 = 180^\circ$

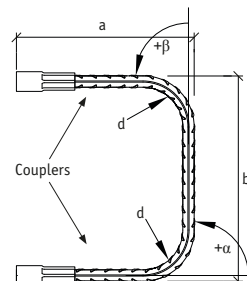
(2) The mandrel diameter \varnothing m must be defined only if the value is differ from the minimum requirements of EN 1992-1-1 8.3.

Annex A - Shape of reinforcement bars

Double-sided:



Shape & end type, see *Table 3*
Total length of bar + coupler
Length for first bend
Bending angle; + right, - left (1)



Example : SM20A-D21-SM20A-1100(400-300)

(1) The Bending angle must be defined in shapes 15, 25, 26 according to *Table 3*. Shapes 12, 13, 21 have standard bending angle $\Rightarrow 12, 21 = 90^\circ; 13 = 180^\circ$

Table 2. MODIX Rebar Coupler list examples.

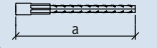
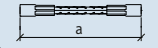
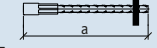
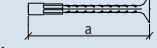
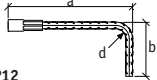
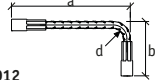
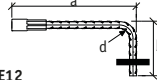
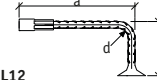
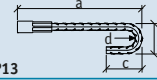
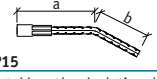
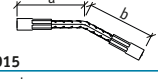
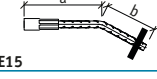
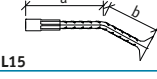
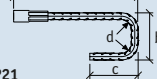
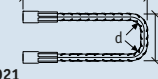
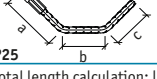
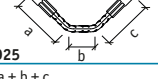
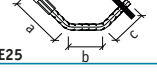
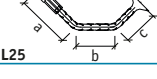
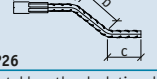
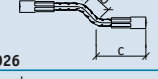
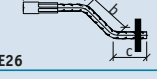
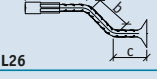
#	Pcs	MODIX		Reinforcement bar			Dimensions					Notes ^(A)	
		1 st end	2 nd end	Bending shape + End type	\varnothing [mm]	Material	Standard	L_e [mm]	a [mm]	b [mm]	α [mm]	β [mm]	
1 ^(B)	38	SM25A	--	P26	25	B500B	EN 10080	1200	400	500	45	45	d200
2 ^(B)	5	SM20A	RM16A	D21	20	B500B	EN 10080	1100	400	300	90	90	--
3 ^(B)	30	SM 16A	--	E	16	B500B	EN 10080	800	--	--	--	--	10x50x50

(A) Additional information can be specified, e.g. if the required mandrel diameter \varnothing m differs from the standard values specified in *Table 5* or custom dimensions of anchor plates are in group E

(B) Examples

Annex A - Shape of reinforcement bars

Table 3. MODIX rebar Product shape list.

P – Straight end	D – Double sided	E – End plate	L – Headed stud
			
Total length calculation: $l_e = a$ Example of product code: SM25A-E-1200			
 P12	 D12	 E12	 L12
Total length calculation: $l_e = b - \frac{1}{4}d - d_b$ Example of product code: SM25A-P12-1200(500)			
 P13	 D13		
Total length calculation: $l_e = a + 0.57b + c - 1.57d_b$ or $l_e = 2a + 0.57b - 1.57d_b$ Example of product code: SM25A-D13-SM25A-1200(500-300)			
 P15	 D15	 E15	 L15
Total length calculation: $l_e = a + b$ Example of product code: SM25A-E15-1000(500-(-30))			
 P21	 D21		
Total length calculation: $l_e = a + b + c - \frac{1}{2}d - 2d_b$ Example of product code: SM25A-P21-1500(700-600)			
 P25	 D25	 E25	 L25
Total length calculation: $l_e = a + b + c$ Example of product code: SM25A-L25-1500(700-(45)-600-(45))			
 P26	 D26	 E26	 L26
Total length calculation: $l_e = a + b + c$ Example of product code: SM25A-L26-1500(700-(-45)-600-(45))			

Annex A - Shape of reinforcement bars

NOTES

- The letter in the code describes the MODIX rebar end type (P, D, E, L) and the numbers describe the rebar bending shape according to EN ISO 3766.
- The product code of MODIX rebar with no bending does not contain a bending shape.
- The standard end plate (default) dimensions are shown in Table 4. Customized end plates can be produced if all necessary dimensions are provided on the ordering list. For customized end plates, Peikko takes no responsibility for the end plate design.

Table 4. Standard dimensions for anchor plates (E product shape) and anchor heads (L product shape).

End plate – Product shape E		Anchor head – Product shape L								
Bar Ø	d_b [mm]	10	12	14	16	20	25	30	35	40
Product shape E (end plate)										
Thickness of end plate	t_p [mm]	10	12	15	20	20	25	30	35	40
Length of end plate	a_p [mm]	40	45	50	55	70	90	100	115	140
Width of end plate	b_p [mm]	40	45	50	55	70	90	100	115	140
Product shape L (anchor head)										
Diameter of anchor head	D_h [mm]	30	36	42	48	60	75	84	96	98

Annex A - Shape of reinforcement bars

Table 5. Minimum dimensions of bended reinforcement bar in mm.

Bar Ø	10	12	14	16	20	25	28	32	40
$\varnothing_{m,min}$	40	40	40	40	70	70	70	70	70
$\varnothing_{m,min}$	40 mm	48 mm	56 mm	64 mm	140 mm	175 mm	196 mm	224 mm	280 mm
A	52	63	72	80	98	122	141	156	163
B	46	52	57	63	77	98	111	124	136
$a_{min,A}$	132	159	184	208	288	360	407	460	543
$a_{min,B}$	126	148	169	191	267	336	377	428	516
b_{min}	80	96	112	128	190	238	266	304	380
c_{min}	120	124	168	172	320	350	400	450	500

Minimum mandrel diameters $\varnothing_{m,min}$ are according to EN 1992-1-1 chapter 8.3.

Installation of MODIX Rebar Couplers

Installation of MODIX Rebar Coupler

Identification of the product

The type of MODIX Rebar Coupler can be identified by the marking on the product. Size of the Coupler can be identified also according to the color of the thread protection accessories. The color codes are shown in the table below.

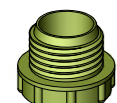
Bar Ø [mm]	10	12	14	16	20	25	28	32	40
Color of thread protector	Orange	Yellow	Blue	White	Gray	Red	Black	Brown	Green

Thread protection accessories are installed at the MODIX production factory and delivered with couplers.



Screw-in protective plug

- Is screwed into coupler Part A
- Protects the thread from water, concrete, dust, and particles during the first pouring
- Is removed directly before fitting Part B or replaced by a nailng plate before being attached to the mold



Slip over protective cap

- Is slipped onto coupler Part B
- Protects the thread from water and dust during storage and transportation
- Is removed directly before assembling with Part A



Storage

To avoid corrosion and damage to MODIX Rebar Couplers, they should be stored in dry conditions and not directly exposed to water.

Quality of connection

General procedures to follow before and during assembly of MODIX Rebar Couplers:

1. Remove the thread protector from the MODIX part
2. Clean the thread properly
3. Check visually that the thread has no damage
4. Carefully align the counterparts to avoid damage to the first pitches
5. Carefully turn on the first pitches
6. Never use force to connect MODIX parts – correct use enables a screw connection to be made by hand
7. To reduce friction, a special lubrication spray or grease can be used
8. Proper tightening of the MODIX Rebar Coupler system is achieved when the ring gap on MODIX Part B and the distance sleeve are closed (see Figure 2). This can be achieved using a wrench (a torque wrench is not required). Excessive tightening (e.g. using a hammer) is prohibited. Connections can be checked by visual inspection.

TECHNICAL MANUAL



BECO® Beam Shoe

Effective Bolted Beam-to Column Connections

Version PEIKKO GROUP 03/2019



INFORMATION

About BECO® Beam Shoe

1. Product properties

BECO® Beam Shoes are available in several standard models for most precast concrete column-beam connections. The system consists of:

- Beam Shoes
- Anchoring Couplers
- Accessories

BECO® Beam Shoes are used with COPRA® Anchoring Couplers to create precast concrete column-beam connections. Beam Shoes are cast into the end part of the concrete beam together with main and supplementary reinforcement, detailed in Appendix A to this manual. COPRA® Anchoring Couplers are cast into the column. The beam is usually attached to the column through beam shoes with threaded bars screwed into anchoring couplers (Figure 1). When using half precast concrete slabs, the beams are only coupled to the lower beam shoes and the upper connection is realized using Peikko MODIX® Rebar Couplers (Figure 2).

Figure 1. Precast concrete connection.

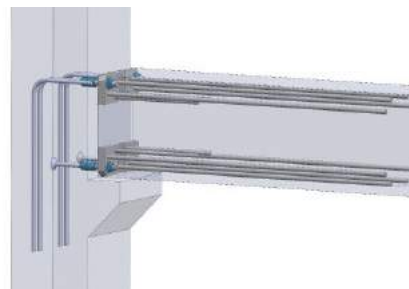
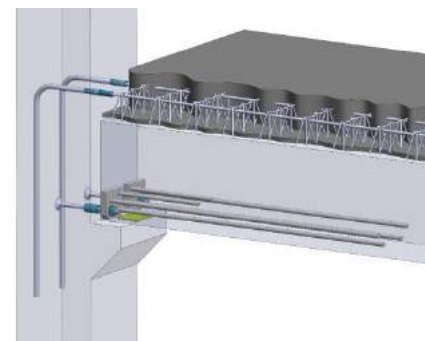


Figure 2. Half precast concrete connection.



INFORMATION

The bolted connection offers sufficient assembly tolerances to adjust the beam to the correct position. The recesses and joint must be grouted and the grout substance must harden before the structure is used.

Figure 3. Beam Shoe and Anchoring Coupler.

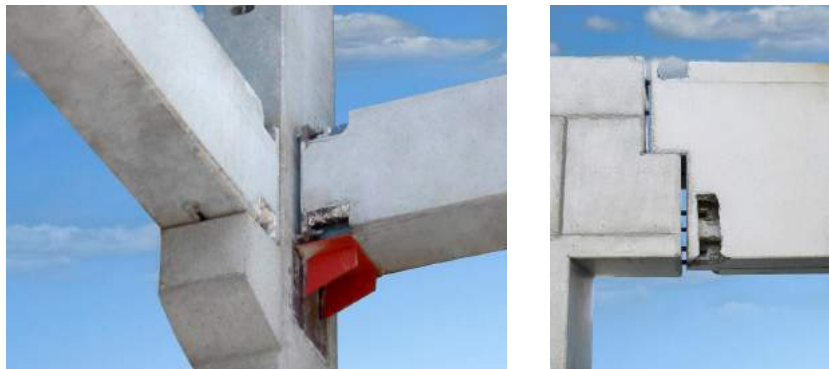


The design value resistances of BECO® Beam Shoes are equal to the design value resistances of the corresponding COPRA® Anchoring Couplers.

1.1 Structural behavior

BECO® Beam Shoes are designed to carry only normal forces resulting from the bending of the beam. The vertical reactions of the beam are transferred to the column through separate supporting systems (such as corbels).

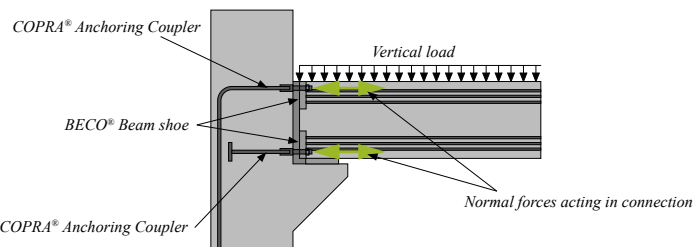
Figure 4. Supporting systems for the beam.



The joint between the beam end and the column should be filled with non-shrinking grout as soon as possible after installation. After the grout has hardened, the bending capacity of the joint is provided by coupling the tension force in BECO® Beam Shoes and the compressive force in the grout. The joint then behaves as a reinforced concrete section and can be designed according to the principles of EN 1992-1-1.

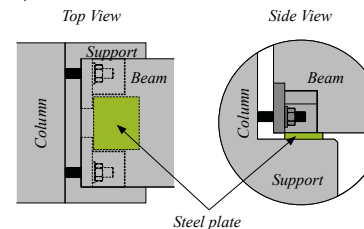
INFORMATION

Figure 5. Structural behavior of the column-beam connection (example of usage).



Steel plates or shims should be used as bearings for vertical loads. These plates must be placed outside the BECO® Beam Shoe. (See Figure 6)

Figure 6. Position of steel/shim plate.



1.2 Application conditions

The standard BECO® Beam shoe models are pre-designed to be used under the conditions mentioned in this section. If these conditions are not met, please contact Peikko's Customer Engineering Service for custom-designed BECO® Beam Shoes.

1.2.1 Loading and environmental conditions

BECO® Beam Shoes are designed to carry static loads. Beam Shoes are designed to be used indoors and in dry conditions. When using BECO® Beam Shoes in other conditions, the surface treatment, concrete cover, or raw materials must be adequate with regard to the environmental exposure class and intended operating life.

1.2.2 Positioning of the beam shoe

The concrete cover of the beam shoe connection reinforcement is $c=30\text{mm}$ if the beam shoe is placed in the corner of the beam. A thicker concrete cover can be obtained by moving the shoe inside the cross section. The standard properties of BECO® Beam Shoes are guaranteed in reinforced concrete beams made of concrete grade C30/37 or higher. If these conditions are not met, please contact Peikko's Customer Engineering Service for custom-designed BECO® Beam Shoes.

The structural properties of BECO® Beam Shoes are guaranteed only if supplementary reinforcement is provided in the beam in accordance with the rules set out in Appendix A to this Technical Manual. It should be noted that the supplementary reinforcement is used in addition to the main reinforcement designed to resist internal forces in the beam.

1.2.3 Application options

Figure 7. Installation of beams from the opposite sides of the column.

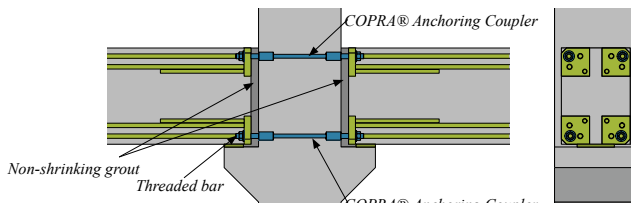


Figure 8. Installation of beams from the opposite sides of the column using a half-precast connection.

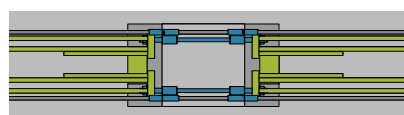
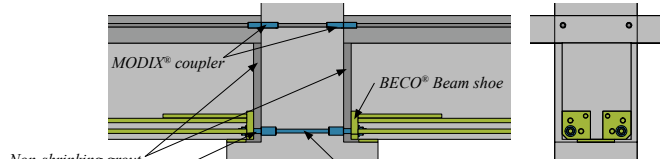
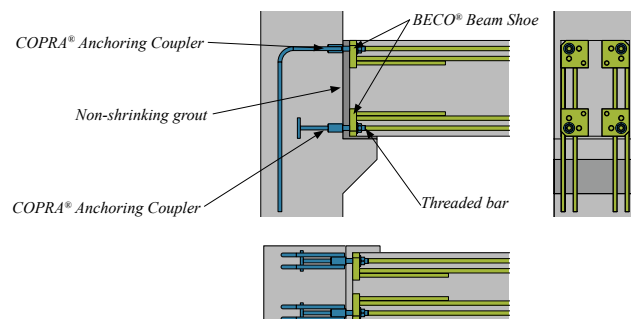


Figure 9. Installation of the beam from one side.



INFORMATION

1.3 Other properties

BECO® Beam Shoes are made of steel plates and reinforcing bars with the following material properties:

Steel plates	S355J2+N	EN 10025-2
Ribbed bars	B500B	EN 10080

Peikko Group's production units are externally controlled and periodically audited on the basis of production certifications and product approvals by various independent organizations.

The products bear the inspection mark, the emblem of Peikko Group, the type of product, and the year and week of manufacturing.

Figure 10. Dimension [mm] of the BECO® beam shoe.

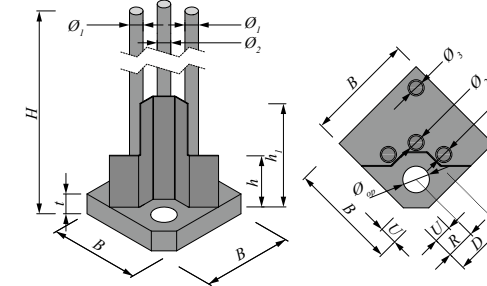


Table 1. Dimensions [mm], weights [kg], and color codes of Beam Shoes.

Beam Shoe	BECO® 16H	BECO® 20H	BECO® 24H	BECO® 30H	BECO® 39H	BECO® 30P	BECO® 36P	BECO® 39P	BECO® 45P	BECO® 52P
B	115	125	140	150	190	160	200	225	260	290
H	925	1080	1220	1620	2240	1850	2320	2100	2390	3130
t	15	20	25	35	45	40	50	50	60	80
R	50	50	50	50	60	50	60	60	60	60
U	30	30	30	30	37	30	37	37	37	37
D	80	80	85	90	115	90	110	115	125	130
h	80	90	90	100	130	100	110	130	125	150
h1	145	160	165	185	225	185	215	225	245	295
O₁	12	16	20	25	32	28	32	28	32	40
O₂	-	-	-	-	-	-	-	28	32	32
O₃	10	12	16	20	28	20	28	28	32	32
O_{sp}	27	30	35	40	55	40	50	55	60	70
Weight	3.5	6.2	10.3	19.6	43.9	27.0	47.2	52.0	79.6	133.3
Color code*	Yellow	Blue	Gray	Green	Orange	Black	Red	Brown	Purple	White

*Color code is marked on base surface of BECO® bottom plate.

Lap lengths of anchor bars are defined according to concrete grade C30/37 in good bond conditions. If beam shoes are used in poor bond conditions, please contact Peikko's Customer Engineering Service for custom design.

INFORMATION

2. Resistances

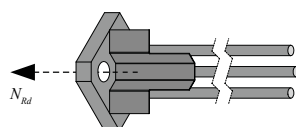
The resistances of BECO® Beam Shoes are determined by a design concept that makes reference to the following standards:

- EN 1992-1-1:2004/AC:2010
- EN 1993-1-1:2005/AC:2009
- EN 1993-1-8:2005

BECO® Beam Shoes are designed to withstand tensile forces corresponding to the design value resistances of COPRA® Anchoring Couplers. The maximum design value resistances of individual BECO® Beam Shoes are given in *Table 2*.

Table 2. Design value resistances of individual BECO® Beam Shoes for concrete grade C30/37.

Beam Shoe	Anchoring Coupler	N_{Rd} [kN]
BECO® 16H	COPRA® 16H...*	62
BECO® 20H	COPRA® 20H...*	96
BECO® 24H	COPRA® 24H...*	139
BECO® 30H	COPRA® 30H...*	220
BECO® 39H	COPRA® 39H...*	383
BECO® 30P	COPRA® 30P...*	299
BECO® 36P	COPRA® 36P...*	436
BECO® 39P	COPRA® 39P...*	521
BECO® 45P	COPRA® 45P...*	697
BECO® 52P	COPRA® 52P...*	938



* See the section entitled "Selecting connection components" for more information about product code of COPRA®

The maximum resistance of BECO® Beam Shoes is based on the tensile resistance of the COPRA® Anchoring Couplers N_{Rd} .

2.1 Fire resistance

The concrete cover of the anchoring coupler and the anchor bars of the beam shoes should be at least equivalent to the concrete cover of the reinforcement of the precast beam elements. If the fire resistance of the beam shoe connection is judged to be insufficient, the concrete cover of the beam shoe must be increased by increasing the dimensions of the precast beam or placing BECO® Beam Shoe more inside if the size of the cross section allows it.

SELECTING

Selecting BECO® Beam Shoe

The following aspects must be considered when designing the column-beam connection using BECO® Beam Shoes and COPRA® Anchoring Couplers:

- Resistance
- Position and arrangement of the beam shoes
- Properties of the concrete column

Resistance:

External forces (dead load, vertical load) acting on the precast beam generate a bending moment. Distribution of forces as shown in *Figure 5* leads to normal forces acting on the connection. The normal forces must be determined within the global analysis of the structure in accordance with relevant design standards. Appropriate models of beam shoe and anchoring coupler are selected to ensure that they have sufficient resistance compared to the design value of tensile force in the connection (see *Table 2*).

Design example:

- Tensile force in connection (per beam shoe)
 $N_{Ed} = 356.0 \text{ kN}$

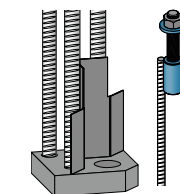
Selected anchoring coupler and beam shoe:

- Beam Shoe BECO® 39H
- Anchoring coupler COPRA® 39H...*
- Resistance element $N_{Rd} = 383.4 \text{ kN}$

$$N_{Ed} < N_{Rd}$$

$$356.0 \text{ kN} < 383.4 \text{ kN}$$

Figure 11. BECO® Beam Shoe and COPRA® Anchoring Coupler.



Position and arrangement of the beam shoes

The beam shoes are cast into the end part of the concrete beam and in the corners of the cross-sections of the concrete beam. At least two beam shoes need to be used in connection for half-precast concrete connections (*Figure 8*). In normal precast connections, it is recommended to use at least four beam shoes at each end of the beam.

The minimum dimensions of the concrete beam and distances between couplers are in *Table 3* and *Table 4*. Fire resistance, environmental conditions and placement of main reinforcement must be considered when defining dimensions of structures. If minimum distances are not met, please contact Peikko's Customer Engineering Service.

Table 3. Minimum dimensions of concrete beams.

Beam	BECO® 16H	BECO® 20H	BECO® 24H	BECO® 30H	BECO® 39H	BECO® 30P	BECO® 36P	BECO® 39P	BECO® 45P	BECO® 52P
$a_{b,min}$	240	260	290	310	390	330	410	460	530	590
$b_{b,min}$	240	260	290	310	390	330	410	460	530	590

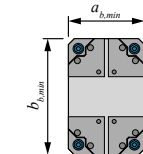
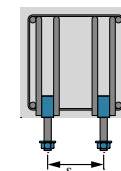


Table 4. Minimum distance between COPRA® Anchoring Couplers in column.

Beam	BECO® 16H	BECO® 20H	BECO® 24H	BECO® 30H	BECO® 39H	BECO® 30P	BECO® 36P	BECO® 39P	BECO® 45P	BECO® 52P
s_{min}	140	160	190	210	270	230	290	340	410	470

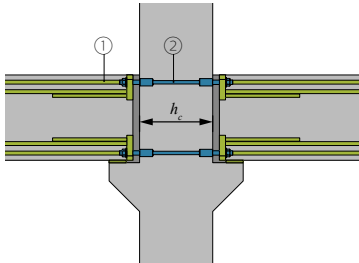
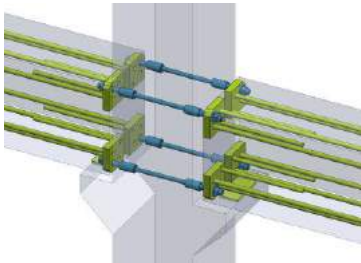


SELECTING

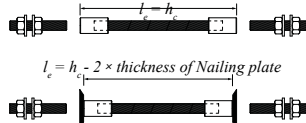
Properties of the connection

- Double-sided solution

For double-sided connections, COPRA® is symmetric and consists of two threaded muffs connected with a threaded bar (see the figure below).



Used COPRA® Anchoring Couplers:



Product code:

COPRA® XXY-D- l_e

Product name
M-Thread dimension
Load class - H or P
Shape of anchor bar, Table 5
Total length of COPRA®

Example: COPRA® 39H-D-600

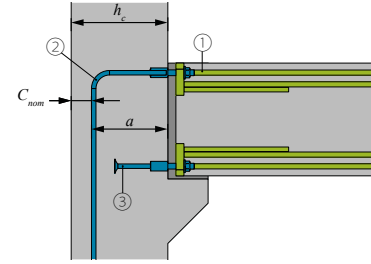
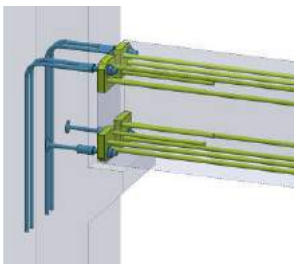
System product code:
1. BECO® 39H 2. COPRA® 39H-D-600

NOTE: Nailing plates should be taken into account only in cases where they are used. More information can be found in COPRA® Technical manual.

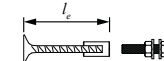
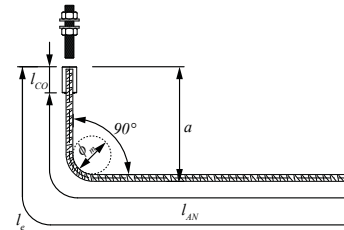
SELECTING

- Single-sided solutions

For single-sided connections, COPRA® consists of one threaded muff and an anchorage part. The standard types of single-sided COPRA® Anchoring Coupler are shown in the figure below.



Used COPRA® Anchoring Couplers:



Product code: COPRA® XXY-P12- l_e (a- l_d XX)*

Product Name
M-Thread dimension
Load class - H or P
Shape of anchor bar, Table 5
Total length of COPRA®
Length [mm]
Mandrel diameter ϕ_m

Product code: COPRA® XXY-L- l_e

Product Name
M-Thread dimension
Load class - H or P
Shape of anchor bar, Table 5
Total length of COPRA®

Example: COPRA® 39H-L-430

* Mandrel diameter must be defined only if value differs from minimum requirements of EN 1992-1-1 section 8.3

$$l_e = l_{co} + l_{AN}$$

l_{co} - length of coupler (table below)
 l_{AN} - anchor length of bar acc. EN 1992-1-1.

SELECTING

.....

	a_{min}	l_{co}		a_{min}	l_{co}
COPRA® 16H	205	48	COPRA® 30P	315	90
COPRA® 20H	255	60	COPRA® 36P	365	108
COPRA® 24H	315	72	COPRA® 39P	375	120
COPRA® 30H	395	90	COPRA® 45P	430	135
COPRA® 39H	490	120	COPRA® 52P	570	160

Example: COPRA® 39H-P12-1050(570)

System product code:

1. BECO® 39H 2. COPRA® 39H-P12-1050(570) 3. COPRA® 39H-L-430

Table 5. End types & bending shapes of COPRA® Anchoring Coupler. Shape codes acc. to EN ISO 3766.

P - Straight end		D - Double sided		L - Headed stud	
P		D		L	
P12					

NOTE: P, D or L letters describe end type of anchor bar, but numbers after letter - bending shape.

TECHNICAL MANUAL



COPRA® Anchoring Coupler For Smart Bolted Connections

Version: PEIKKO GROUP 03/2017



About COPRA Anchoring Coupler

1. Product properties

COPRA Anchoring Couplers are used for connecting structural and non-structural elements to concrete load-bearing structures. Anchoring couplers consist of a removable threaded bar, which is installed on the building site, and an anchored coupler. The coupler is cast into base structure and anchored via one or more anchor bars.

COPRA Anchoring Couplers are available in various standard or semi-standard models that are suitable for different applications.

- COPRA P Anchoring Coupler with straight anchor bar(s)
- COPRA L Anchoring Coupler with headed anchor bar(s)
- COPRA D Anchoring Coupler with double-sided arrangement

Figure 1. COPRA Anchoring Coupler: a) with straight anchor bars; b) with headed anchor bars; c) double sided model.



The COPRA P Anchoring Coupler transfers tensile forces by splicing anchor bars to the overlapping main reinforcement of the concrete member. COPRA Anchoring Coupler with straight anchor bars (Figure 1: a) is intended for use in structures with sufficient depth. Alternatively, the anchor bars may be bent to fit in shallow concrete members (see Figure 2).

COPRA L Anchoring Coupler with headed anchor bars is primarily used in columns or other shallow structures (see Figure 1: b).

The COPRA D Anchoring Coupler with one coupler on each side is suitable for transferring tensile forces throughout construction (e.g. connecting parts of the construction from opposite sides of the column – see Figure 3).

Anchoring couplers are cast into the construction together with the main and supplementary reinforcement (see section Installation of the COPRA Anchoring Coupler). The connection is assembled by placing the threaded bar into the coupler and fastening the base plate using a washer and nuts.

Anchoring couplers can be designed to transfer axial and shear forces, as well as combinations thereof.

About COPRA Anchoring Coupler

Figure 2. COPRA Anchoring Couplers in a single-sided beam-to-column connection.



Figure 3. COPRA Anchoring Couplers in a double-sided beam-to-column connection.



About COPRA Anchoring Coupler

1.1 Structural behavior

COPRA Anchoring Couplers are connecting elements that carry tensile, compression, and shear forces and transfer them into the base structure. Typically, the anchoring couplers are used to create moment-resistant connections. Forces can be transformed at precast beam-to-column or column-to-foundation connections. Other applications are also possible.

The load transfer mechanisms of the COPRA Anchoring Coupler under different types of connections are shown in Figures 4, 5, and 6.

Figure 4. Structural behavior of anchoring couplers in column-to-foundation connections.

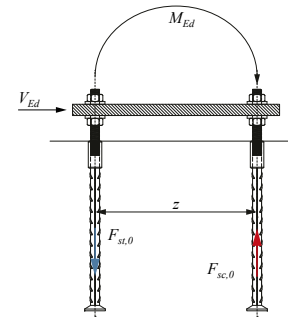
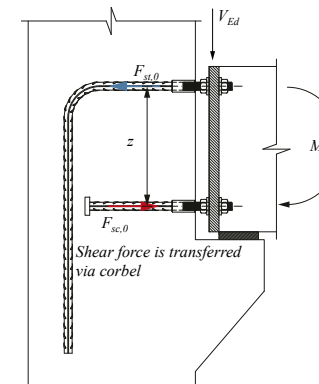
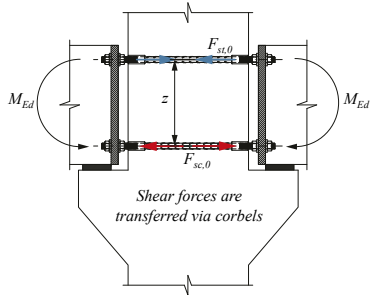


Figure 5. Structural behavior of anchoring couplers in beam-to-column connection.



About COPRA Anchoring Coupler

Figure 6. Structural behavior of anchoring couplers in double-sided connections.



1.2 Application conditions

The standard models of COPRA P Anchoring Couplers with straight bars are pre-designed for use under the conditions mentioned in this section.

The anchorage part of the COPRA L and COPRA D models must be designed on a project basis.

The COPRA L Anchoring Coupler is a semi-standard model. The geometry of the concrete element must be taken into account to design the proper length of the headed anchor bars. Design should follow the requirements of standards EN 1992-1-1 or CEN/TS 1992-4-2.

The double-sided COPRA Anchoring Coupler is a semi-standard model with pre-designed parts. The length of the double-sided anchoring coupler must be based on the geometry of the concrete member.

See the section entitled "Selecting a COPRA Anchoring Coupler" for further details. If this condition may not be satisfied, please contact Peikko's Customer Engineering Service.

Note: COPRA Anchoring Couplers must not be used as rebar couplers for reinforcement. Rebar Couplers from the Peikko product portfolio can be used to connect to the rebar.

1.2.1 Loading and environmental conditions

COPRA Anchoring Couplers are designed to transfer static loads. To ensure resistance to corrosion, the concrete cover of the anchoring coupler, including washers and nuts, must observe the minimum values determined according to the environmental exposure class and intended operating life (EN 1992-1-1). For headed anchoring couplers, concrete cover refers to the forged head near the edge of the concrete element.

About COPRA Anchoring Coupler

1.2.2 Interaction with base structure

COPRA Anchoring Couplers are pre-designed for use in reinforced concrete structures such as columns, beams, and foundations. The properties of the anchoring couplers are valid for reinforced concrete with strength class in the range C25/30 to C50/60.

1.2.3 Positioning of the anchoring couplers

COPRA Anchoring Couplers are cast into the concrete element up to the top of the coupler. The layout of the anchoring couplers should also consider the existing reinforcement to ensure the correct installation of the anchoring couplers and casting of all parts.

1.3 Other properties

COPRA Anchoring Couplers are produced from structural steel rods, rebars and threaded bars with the following properties:

Coupler	S355J2	EN 10025-2
Ribbed bar	B500B	EN 10080-1
Threaded bar (load class H) (load class P)	8.8 High strength steel, property class 8.8 $f_{yk} \geq 640\text{MPa}$ $f_{uk} \geq 800\text{MPa}$	EN ISO 898-1 Mechanical properties according to EN ISO 898-1
Washer	S355J2+N	EN 10025-2
Nut (load class H) (load class P)	Property class 8 Property class 10	EN ISO 4032/EN ISO 898-2

Standard delivery for each anchoring coupler includes a threaded bar, two hexagon nuts, and two washers.

Peikko Group's production units are externally controlled and periodically audited on the basis of production certifications and product approvals by various organizations, including Inspecta Certification, VTT Expert Services, Nordcert, SLV, TSUS, and SPSC, among others.

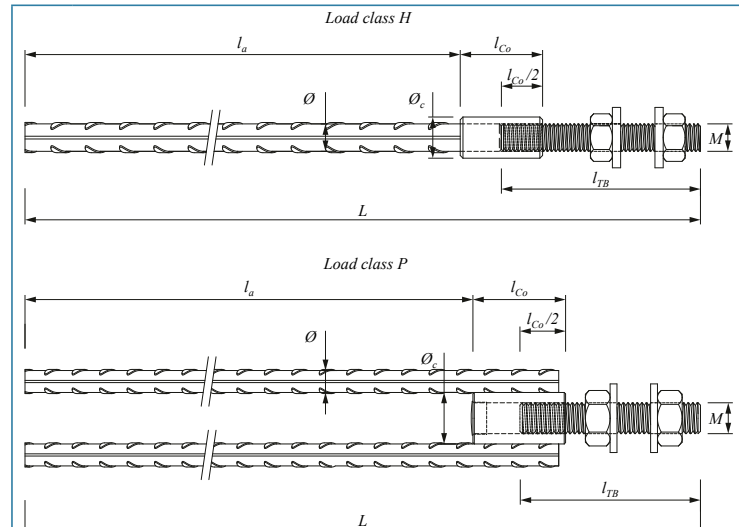
Manufacturing method	
Ribbed bars	Mechanical cutting
Threads	Rolling
Welds	MAG welding
Anchor heads	Forging

Manufacturing tolerances	
Total length	$\pm 10\text{mm}$
Threads	+5mm, -0mm

About COPRA Anchoring Coupler

The dimensions of the standard models of COPRA Anchoring Couplers are summarized in *Table 1*, *Table 2*, and *Table 3*.

Table 1. Dimensions of the COPRA P with straight anchor bar(s).



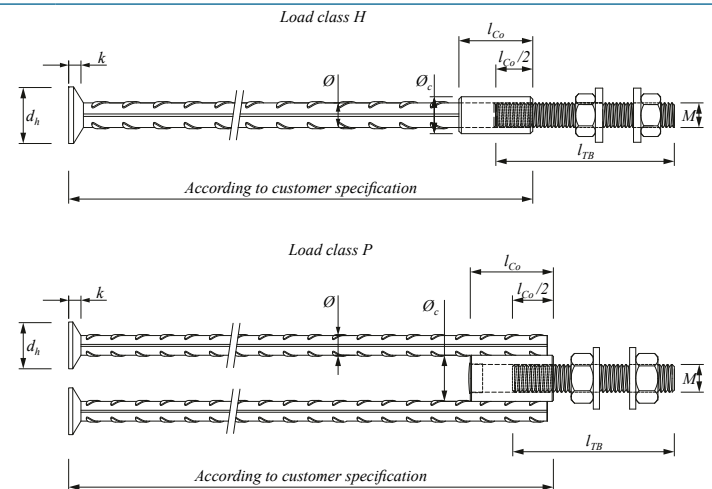
Load class H

	COPRA 16H	COPRA 20H	COPRA 24H	COPRA 30H	COPRA 39H	COPRA 30P	COPRA 36P	COPRA 39P	COPRA 45P	COPRA 52P
M	M16	M20	M24	M30	M39	M30	M36	M39	M45	M52
<i>l_{TB}</i> [mm]	130	145	166	195	245	195	220	245	263	320
<i>l_c</i> [mm]	48	60	72	90	120	90	108	120	135	160
<i>Ø_c</i> [mm]	25	30	35	50	65	50	60	65	75	90
<i>Ø</i> [mm]	Ø16	Ø20	Ø25	Ø32	Ø40	Ø2025	Ø2028	Ø2028	Ø2032	Ø4032
<i>l_a</i> [mm]	816	1140	1224	1455	2390	1245	1692	1990	2265	1500
<i>L</i> [mm]	970	1315	1426	1695	2695	1483	1966	2295	2595	1900
Weight [kg]	1.86	3.77	6.31	12.53	31.05	13.32	22.50	27.15	40.14	57.39
Color code	Yellow	Blue	Gray	Green	Orange	Black	Red	Brown	Purple	White

NOTE: Lap lengths of standard length anchor bars are calculated for concrete grade C25/30 in good bond condition.

About COPRA Anchoring Coupler

Table 2. Dimensions of the COPRA L with headed anchor bar(s).



	Load class H					Load class P				
	COPRA 16H	COPRA 20H	COPRA 24H	COPRA 30H	COPRA 39H	COPRA 30P	COPRA 36P	COPRA 39P	COPRA 45P	COPRA 52P
M	M16	M20	M24	M30	M39	M30	M36	M39	M45	M52
<i>l_{TB}</i> [mm]	130	145	166	195	245	195	220	245	263	320
<i>l_c</i> [mm]	48	60	72	90	120	90	108	120	135	160
<i>Ø_c</i> [mm]	25	30	35	50	65	50	60	65	75	90
<i>Ø</i> [mm]	Ø16	Ø20	Ø25	Ø32	Ø40	Ø2025	Ø2028	Ø2028	Ø2032	Ø4032
<i>d_h</i> [mm]	38	46	55	70	90	55	84	84	70	70
<i>k</i> [mm]	10	12	13	15	18	13	20	20	15	15
Color code	Yellow	Blue	Gray	Green	Orange	Black	Red	Brown	Purple	White

NOTE: The total length of the headed anchoring bars should be defined according to the dimensions of the concrete member and verified according to CEN/TS 1992-4-2.

About COPRA Anchoring Coupler

Table 3. Dimensions of the double-sided COPRA D.

Load class H										
COPRA 16H	COPRA 20H	COPRA 24H	COPRA 30H	COPRA 39H	COPRA 30P	COPRA 36P	COPRA 39P	COPRA 45P	COPRA 52P	
M	M16	M20	M24	M30	M39	M30	M36	M39	M45	M52
l_{TB} [mm]	130	145	166	195	245	195	220	245	263	320
l_{co} [mm]	48	60	72	90	120	90	108	120	135	160
O_c [mm]	25	30	35	50	65	50	60	65	75	90
\varnothing [mm]	16	20	25	32	40	30	36	39	45	52
Color code	Yellow	Blue	Gray	Green	Orange	Black	Red	Brown	Purple	White

NOTE: The total length of the double-sided COPRA Anchoring Coupler should be defined according to the dimensions of the concrete member.

The connecting bar in the double-sided H load class model is manufactured from ribbed bars with threads on both ends and can be produced with a minimum length of 350mm. The connecting bar in the P load class model is manufactured from weldable threaded bar.

1.3.1 Anchoring couplers with bent anchor bars

The anchor bars in single-sided COPRA Anchoring Couplers may be bent to fit in shallow concrete members. The minimum dimensions of the bent part are specified in Table 4 and should be also taken into account when designing the bent anchoring couplers.

About COPRA Anchoring Coupler

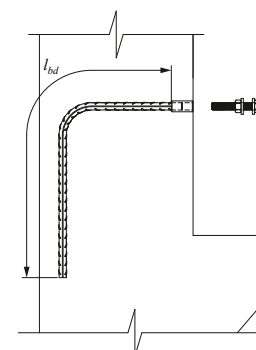
Table 4. Minimum dimensions of the bent part of the anchoring coupler.

COPRA 16H	COPRA 20H	COPRA 24H	COPRA 30H	COPRA 39H	COPRA 30P	COPRA 36P	COPRA 39P	COPRA 45P	COPRA 52P	
\varnothing [mm]	16	20	25	32	40	25	28	28	32	32
$\varnothing_{m,min}$ [mm]	64	140	175	224	280	175	196	196	224	224
L_{co} [mm]	48	60	72	90	120	90	108	120	135	160
a_{min} [mm]	176	250	310	394	500	328	374	386	439	464
b_{min} [mm]	128	190	238	304	380	238	266	266	304	304

NOTE: The minimum mandrel diameter $\varnothing_{m,min}$ must be checked for each individual case according to EN 1992-1-1 section 8.3.

The length of the bent anchor bars should be determined in accordance with EN 1992-1-1: section 8.4

Figure 7. Anchorage length for bent anchoring couplers.



About COPRA Anchoring Coupler

2. Resistances

The resistances of COPRA Anchoring Couplers are determined by a design concept that makes reference to the following standards:

- EN 1992-1-1:2004/AC:2010
- EN 1993-1-8:2005
- VDI 2233-1:2003

The resistances of COPRA Anchoring Couplers provided in this document are equal to the tensile resistances of the threaded bars used in the anchoring couplers.

Table 5. Design values of tensile or compressive resistance of individual COPRA Anchoring Coupler.

	COPRA 16H	COPRA 20H	COPRA 24H	COPRA 30H	COPRA 39H	COPRA 30P	COPRA 36P	COPRA 39P	COPRA 45P	COPRA 52P	
N_{Rd} $N_{Rd,0}$	[kN]	62	96	139	220	383	299	436	521	697	938

NOTE: The tensile resistance shown in *Table 6* may be reduced when COPRA L type parts with head(s) are used due to the close location to the concrete edge or a small anchorage length. Each case must be designed case-by-case and verified by a designer.

Table 6. Design values of shear resistance of individual COPRA Anchoring Coupler.

	COPRA 16H	COPRA 20H	COPRA 24H	COPRA 30H	COPRA 39H	COPRA 30P	COPRA 36P	COPRA 39P	COPRA 45P	COPRA 52P	
Erection Stage $V_{Rd,0}$	[kN]	5	10	18	37	72	53	88	104	144	215
Final Stage V_{Rd}	[kN]	20	31	45	72	125	89	130	155	207	219
t_{Grout}	[mm]	50	50	50	50	60	50	55	60	65	70

NOTE 1: The resistances V_{Rd} and $V_{Rd,0}$ are valid for thicknesses of grouting equal to t_{Grout} and when counter nuts are used.

NOTE 2: The design value of resistance of the anchoring couplers from load class H correspond to the resistance of the HPM Anchor Bolts and load class P corresponds to the resistance of the PPM Anchor Bolts.

NOTE 3: The resistances shown in *Table 5* and *Table 6* are without the simultaneous action of axial and shear load. For combined resistance, use the HPM Technical manual section 2.2.

NOTE 4: The shear resistance of the COPRA Anchoring Coupler is not applicable in combination with the BECO Beam Shoe. For more information, please see the BECO Technical manual.

2.1 Fire resistance

The concrete cover of the anchoring couplers should be at least equivalent to the concrete cover of the reinforcement of the concrete element to ensure adequate fire protection of the coupler. If the fire resistance of the connection is judged to be insufficient, the concrete cover of the anchoring coupler must be increased.

Selecting COPRA Anchoring Coupler

The following aspects must be considered when selecting an appropriate type of COPRA Anchoring Coupler to be used in bolted connections:

- Resistances
- Position and arrangement of the anchoring couplers in the load-bearing structure
- Design values of loads

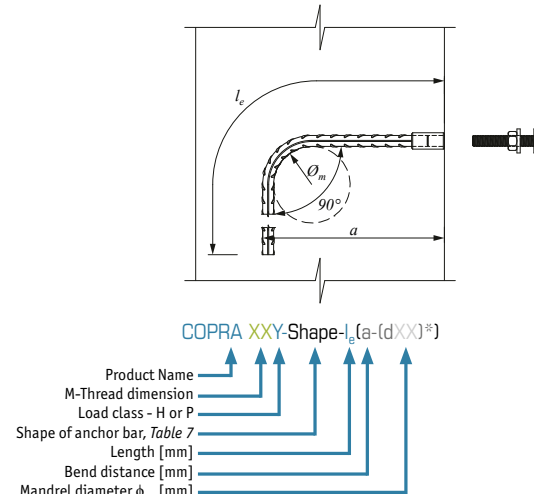
The resistance of the COPRA Anchoring Coupler must be verified at following stages:

- Erection stage
- Final stage
- In the event of a fire

Product code

After selecting the correct COPRA Anchoring Coupler, a product code describing the product may be defined according to the description in *Figure 8*. Please use this code in drawings and when ordering the product from Peikko's Sales Service.

Figure 8. Product code of single-sided COPRA Anchoring Couplers.



*Mandrel diameter must be defined only if the value differs from minimum requirements of EN 1992-1-1, section 8.3.

Length of COPRA P with straight anchor bar/s:

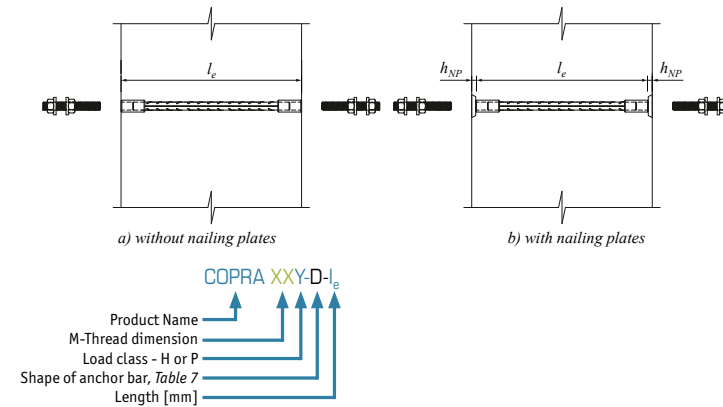
$$l_e = l_{bd} + l_{co}$$

where:

- l_{co} = length of the coupler, *Table 1* [mm]
- l_{bd} = anchorage length, *Figure 7* [mm]
- = for standard models $l_{bd} = l_a$, *Table 1* [mm]

Selecting COPRA Anchoring Coupler

Figure 9. Product code of double-sided COPRA Anchoring Couplers.



Length of the double sided anchoring coupler

$$l_e = h_c - 2 \times h_{np}$$

where:

h_c = column width [mm]
 h_{np} = thickness of nailng plate [mm], see section Annex B Accessories [mm]

NOTE: The thickness of nailng plates should be taken into account only in cases where nailng plates are used.

Table 7. End types and bending shapes of COPRA Anchoring Couplers. Shape codes according to EN ISO 3766.

	P - Straight end	D - Double sided	L- Headed stud
(P)		(D)	(L)
(P12)			

PC PILES

DESCRIPTION

Type of Piles	Prestressed Concrete Square Piles Prestressed Concrete Spun Piles Prestressed Concrete Spun Square Piles Prestressed Concrete Triangular Piles
System of Joints	Welded at steel joint plate
Type of Shoe	Concrete Pencil Shoe (Standard) for PC Spun Piles, Spun Square Pile & Square Piles Mamira Shoe (Special Order) for PC Spun Pile
Method of Driving	Dynamic Pile Driving : Diesel Hammer and Hydraulic Hammer Static Pile Driving :Hydraulic Static Pile Driver (Jacking Pile)

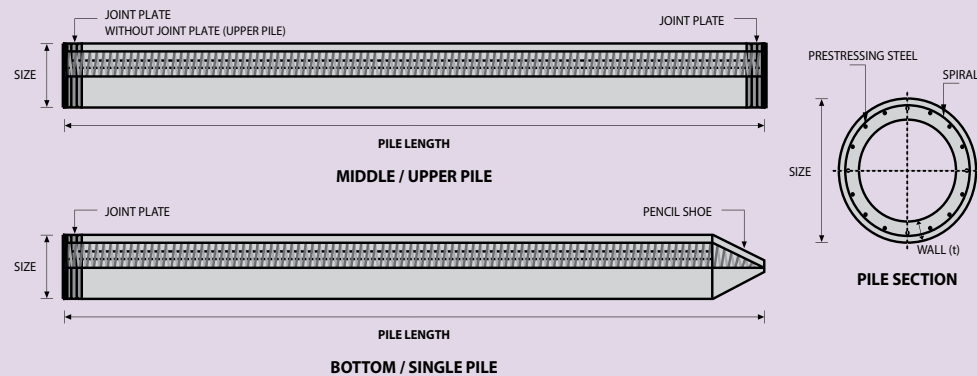
DESIGN & MANUFACTURING REFERENCE

Design	ACI 543R	Design, Manufactured and Installation of Concrete Piles Chapter-4 Structural design requirement for piles with no seismic loading (In case pile is consider to seismic loading, piles detail should re-design refer to ACI 543R Chapter-5)
Manufacturing	SNI 2847 - 2013 WB - PRD - PS - 16	Indonesian Standard Code for Concrete Production Manufacturing Procedure

MATERIAL SPECIFICATION

ITEM	REFERENCE	DESCRIPTION	SPECIFICATION
Aggregate	ASTM C 33 / C 33M-11a	Standard Specification for Concrete Aggregates	
Cement	SNI 2049 - 2015	Portland Cement	Standard Product Type I Special Order : Type II or V
Admixture	ASTM C 494 / C 494M - 99a	Standard Specification for Chemical Admixture for Concrete	Type F : High Range Water Reducing Admixture
Concrete	SNI 2834 - 2000 SNI 2493 - 2011	Concrete Mix Design Making and Curing Concrete Sample	
PC Strand	ASTM A 416 / A 416M - 99	Standard Specification for Steel Strand, Uncoated Seven-Wire for Prestressed Concrete	Grade 270 (Low Relaxation Type)
PC Wire	JIS G 3536 - 2014	Uncoated Stress-Relieved Steel Wires and Strands for Prestressed Concrete	SWPD1 (Deformed Wire Type)
PC Bar	JIS G 3137 - 2008	Small Size-Deformed Steel Bars for Prestressed Concrete	Grade D - Class 1 - SBPD 1275/1420
Rebar	SNI 2052 - 2014	Reinforcement Steel for Concrete	Steel Class : BjTS 40 (Deformed) Steel Class : BjTP 24 (Round)
Spiral Wire	JIS G 3532 - 2011	Low Carbon Steel Wires	SWM-P (Round Type) Cold-reduced steel wire for the reinforcement of concrete and the manufacture of welded fabric.
Joint Plate	JIS G 3101 - 2004	Rolled Steels for General Structure	SS400 (Tensile Strength 400 N/mm ²) Applicable steel product for steel plates and sheets, steel strip in coil, sections, flats and bars.
Welding	ANSI / AWS D1.1 - 900	Structural Welding Code Steel	AWS A5.1/E6013 NIKKO STEEL RB 26 / RD 260, LION 26, or equivalent.

PILE SHAPE & SPECIFICATION | PRESTRESSED CONCRETE SPUN PILES



PRESTRESSED CONCRETE SPUN PILES SPECIFICATION

Concrete Compressive Strength $f_c' = 52 \text{ MPa}$ (Cube 600 kg/cm²)

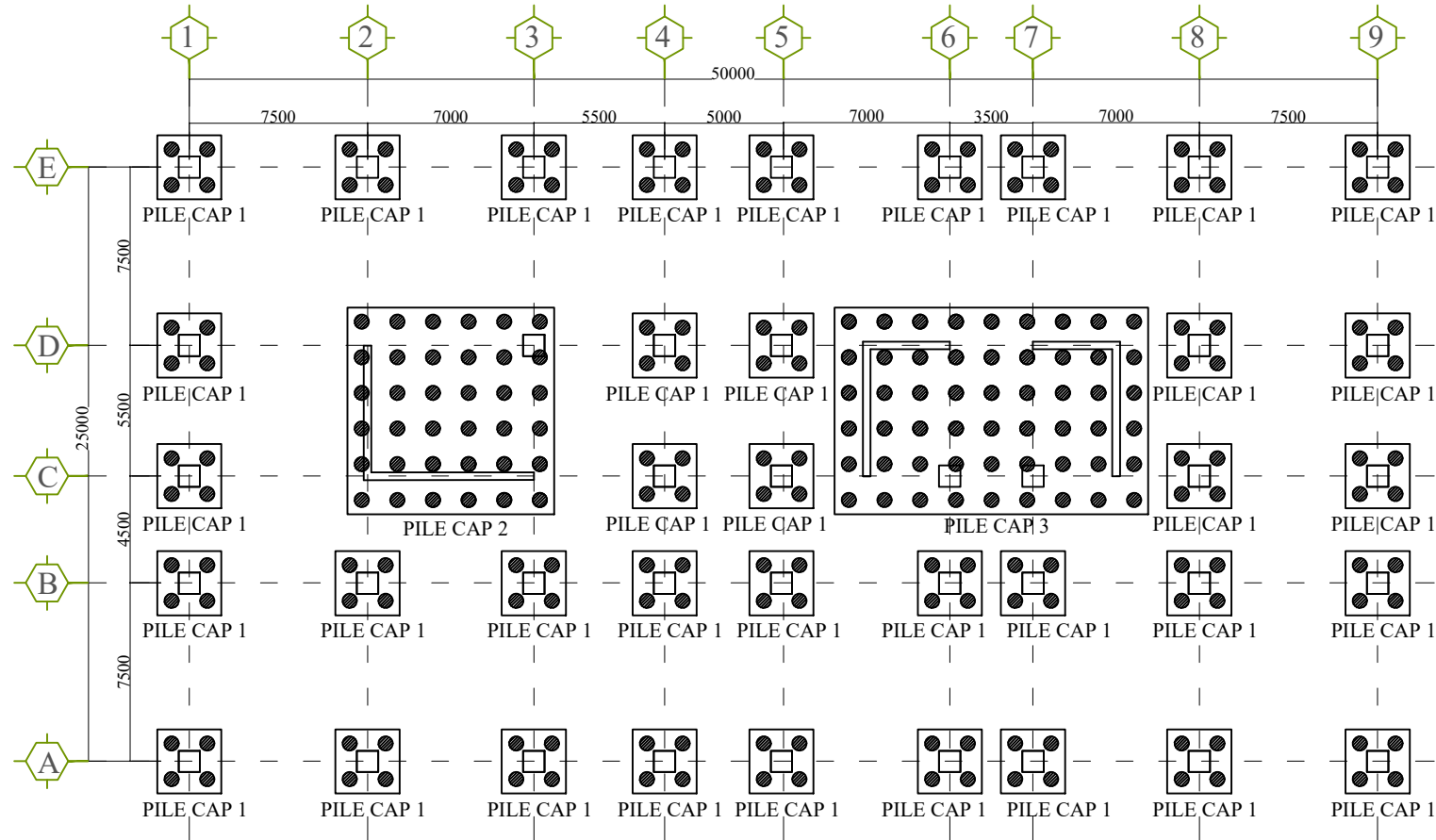
Size (mm)	Thickness Wall (t) (mm)	Cross Section (cm ²)	Section Inertia (cm ⁴)	Unit Weight (kg/m)	Class	Bending Moment		Allowable Compression (ton)	Decompression Tension (ton)	Length of Pile ** (m)
						Crack * (ton.m)	Break (ton.m)			
300	60	452.39	34,607.78	113	A2	2.50	3.75	72.60	23.11	6 - 12
						3.00	4.50	70.75	29.86	6 - 13
						3.50	6.30	67.50	41.96	6 - 14
						4.00	8.00	65.40	49.66	6 - 15
350	65	581.98	62,162.74	145	A1	3.50	5.25	93.10	30.74	6 - 13
						4.20	6.30	89.50	37.50	6 - 14
						5.00	9.00	86.40	49.93	6 - 15
						6.00	12.00	85.00	60.87	6 - 16
400	75	765.76	106,488.95	191	A2	5.50	8.25	121.10	38.62	6 - 14
						6.50	9.75	117.60	45.51	6 - 15
						7.50	13.50	114.40	70.27	6 - 16
						9.00	18.00	111.50	80.94	6 - 17
450	80	929.91	166,570.38	232	A1	7.50	11.25	149.50	39.28	6 - 14
						8.50	12.75	145.80	53.39	6 - 15
						10.00	15.00	143.80	66.57	6 - 16
						11.00	19.80	139.10	78.84	6 - 17
						12.50	25.00	134.90	100.45	6 - 18
500	90	1,159.25	255,324.30	290	A1	10.50	15.75	185.30	54.56	6 - 15
						12.50	18.75	181.70	68.49	6 - 16
						14.00	21.00	178.20	88.00	6 - 17
						15.00	27.00	174.90	94.13	6 - 18
						17.00	34.00	169.00	122.04	6 - 19
600	100	1,570.80	510,508.81	393	A1	17.00	25.50	252.70	70.52	6 - 16
						19.00	28.50	249.00	77.68	6 - 17
						22.00	33.00	243.20	104.94	6 - 18
						25.00	45.00	238.30	131.10	6 - 19
						29.00	58.00	229.50	163.67	6 - 20
800	120	2,563.54	1,527,869.60	641	A1	40.00	60.00	415.00	119.34	6 - 20
						46.00	69.00	406.10	151.02	6 - 21
						51.00	76.50	399.17	171.18	6 - 22
						55.00	99.00	388.61	215.80	6 - 23
						65.00	130.00	368.17	290.82	6 - 24
1000 ***	140	3,782.48	3,589,571.20	946	A1	75.00	112.50	613.52	169.81	6 - 22
						82.00	123.00	601.27	215.16	6 - 23
						93.00	139.50	589.66	258.19	6 - 24
						105.00	189.00	575.33	311.26	6 - 24
						120.00	240.00	555.23	385.70	6 - 24
1200 ***	150	4,948.01	6,958,136.85	1,237	A1	120.00	180.00	802.80	221.30	6 - 24
						130.00	195.00	794.50	252.10	6 - 24
						145.00	217.50	778.60	311.00	6 - 24
						170.00	306.00	751.90	409.60	6 - 24
						200.00	400.00	721.50	522.20	6 - 24

Unit Conversion : 1 ton = 9.8060 kN

Note : *) Crack Moment Based on JIS A 5335-1987 (Prestressed Spun Concrete Piles)

**) Length of pile may exceed usual standard whenever lifted in certain position

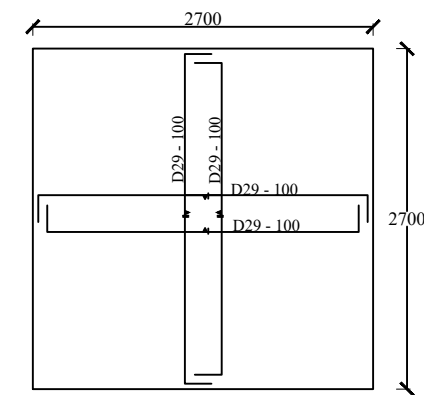
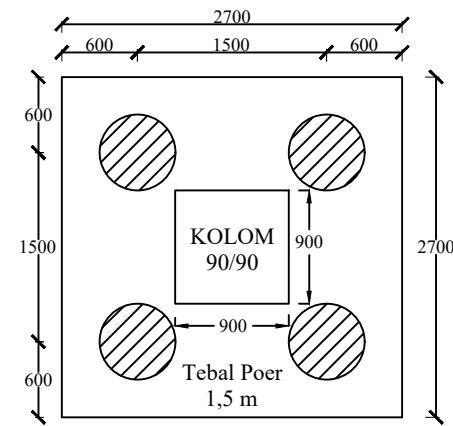
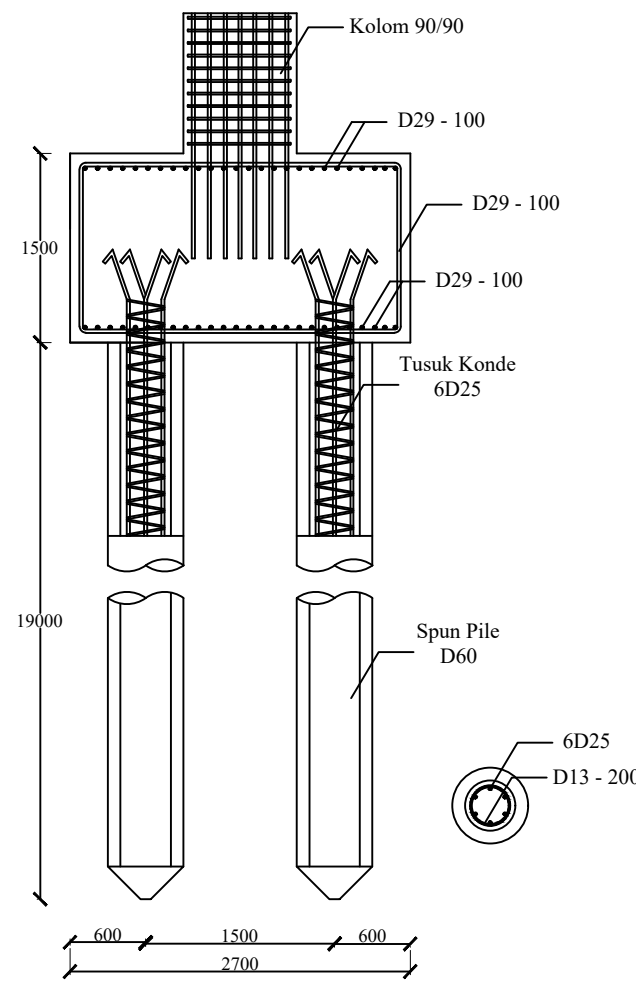
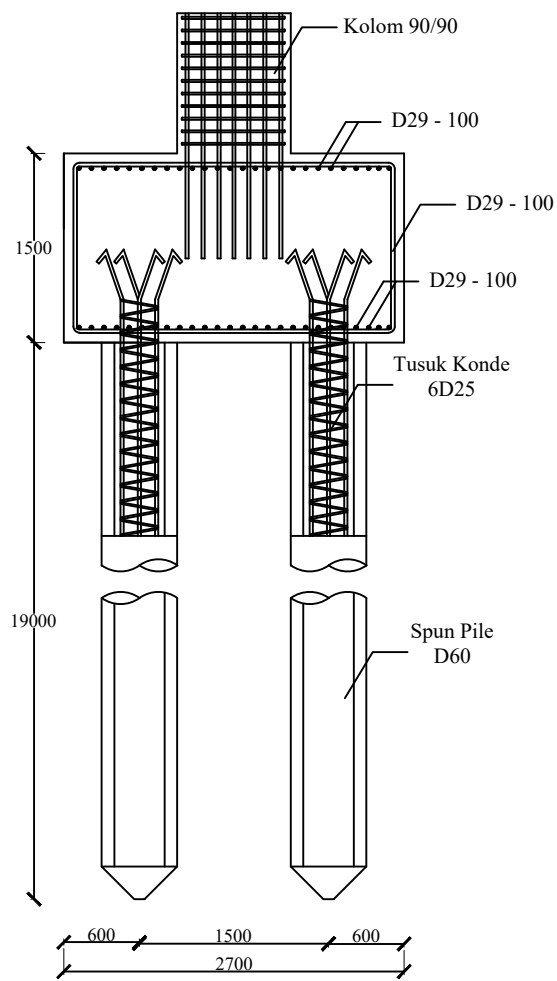
***) Type of Shoe for Bottom Pile is Mamira Shoe



DENAH PONDASI

SKALA 1:300
Satuan gambar dalam mm

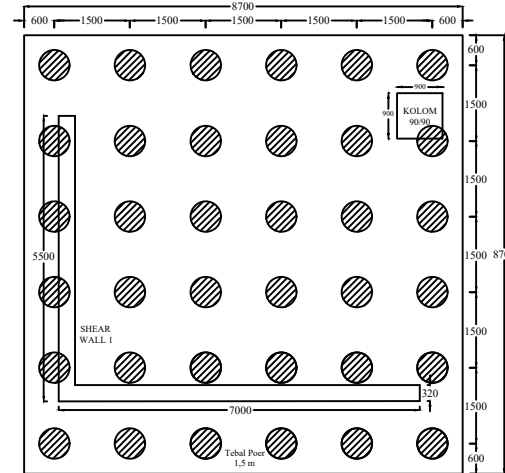
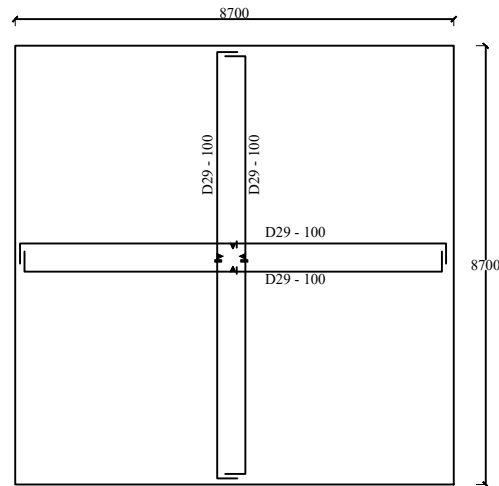
DEPARTEMEN TEKNIK SIPIL FTSPK INSTITUT TEKNOLOGI SEPULUH NOPEMBER SURABAYA 2020	JUDUL TUGAS AKHIR	DOSEN PEMBIMBING	MAHASISWA	JUDUL GAMBAR	NO / JUMLAH LEMBAR
	DESAIN MODIFIKASI STRUKTUR GEDUNG APARTEMEN ARUNDAYA MENGGUNAKAN SISTEM BALOK PRATEKAN PADA LANTAI 5 SEBAGAI BALLROOM DAN MENGGUNAKAN METODE BETON PRACETAK	Prof. Dr. Ir. Triwulan, DEA. Prof. Dr. Ir. I Gusti Putu Raka	Muhammad Ali Azmi (0311164000038)	DENAH PONDASI	1/47



DETAIL PENULANGAN PONDASI TIPE 1

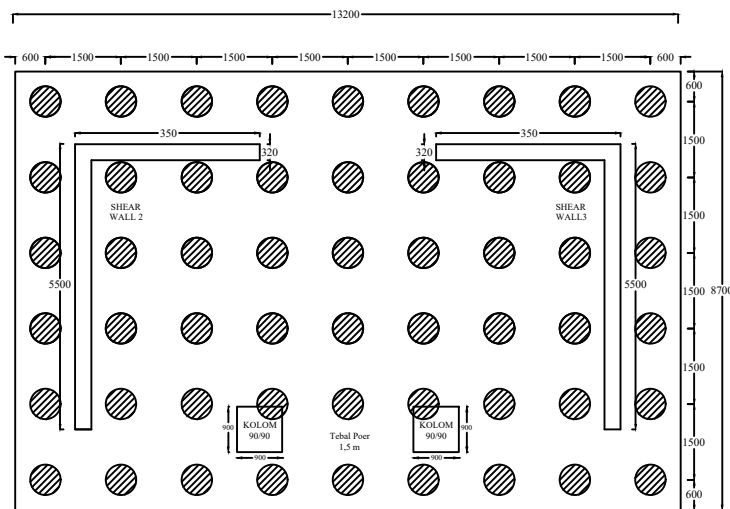
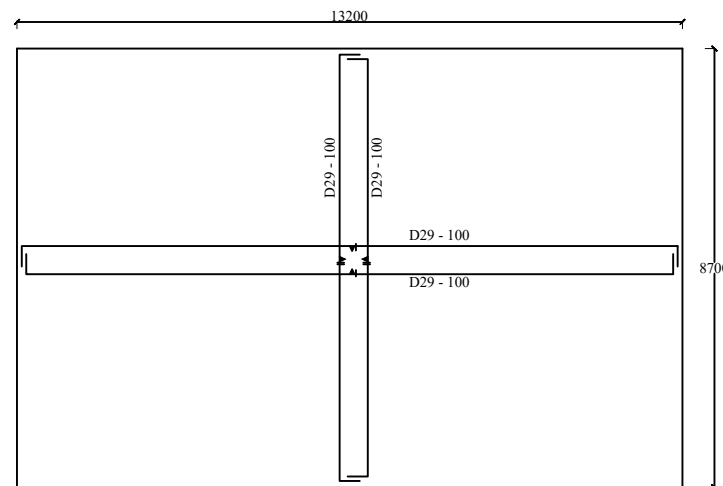
SKALA 1:60
Satuan gambar dalam mm

DEPARTEMEN TEKNIK SIPIL FTSPK INSTITUT TEKNOLOGI SEPULUH NOPEMBER SURABAYA 2020	JUDUL TUGAS AKHIR	DOSEN PEMBIMBING	MAHASISWA	JUDUL GAMBAR	NO / JUMLAH LEMBAR
	DESAIN MODIFIKASI STRUKTUR GEDUNG APARTEMEN ARUNDAYA MENGGUNAKAN SISTEM BALOK PRATEKAN PADA LANTAI 5 SEBAGAI BALLROOM DAN MENGGUNAKAN METODE BETON PRACETAK	Prof. Dr. Ir. Triwulan, DEA. Prof. Dr. Ir. I Gusti Putu Raka	Muhammad Ali Azmi (03111640000038)	DETAIL PENULANGAN PONDASI TIPE 1	2/47



DENAH PENULANGAN PONDASI TIPE II

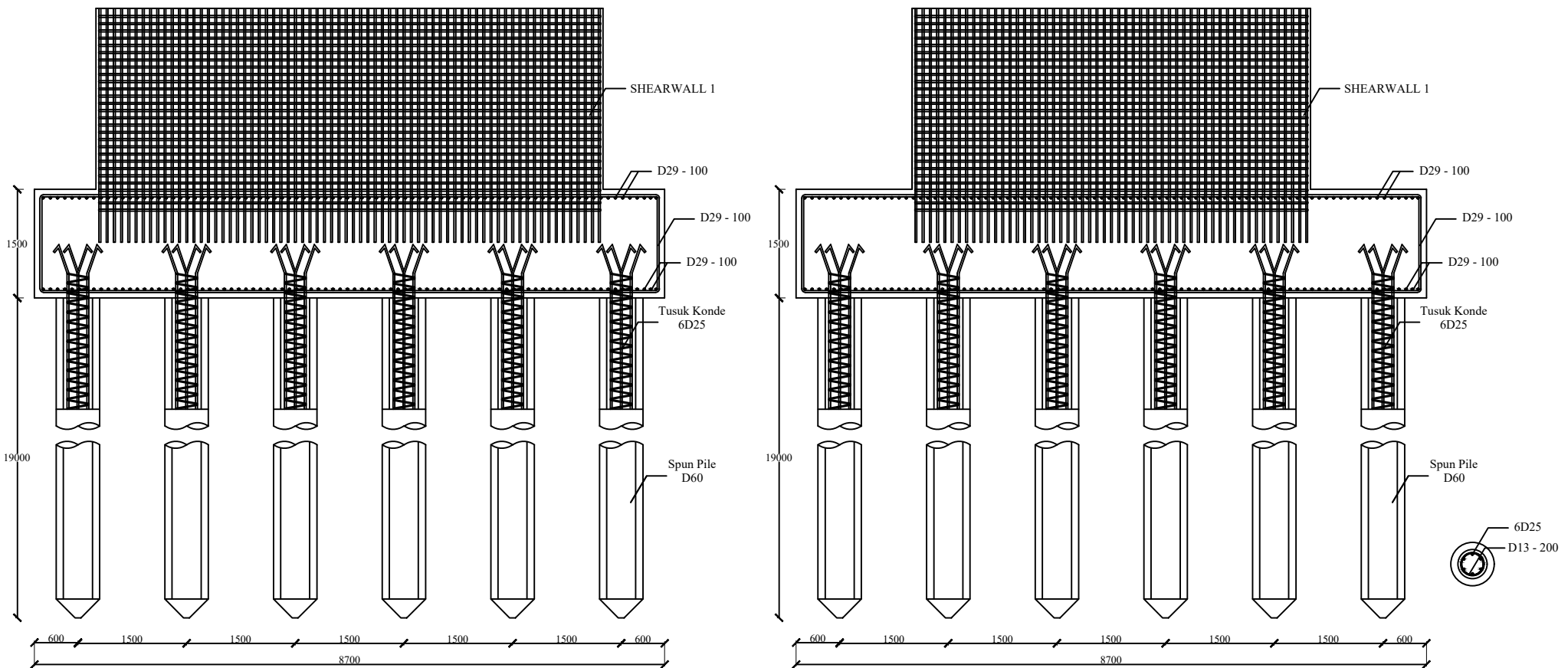
SKALA 1:150
Satuan gambar dalam mm



DENAH PENULANGAN PONDASI TIPE III

SKALA 1:150
Satuan gambar dalam mm

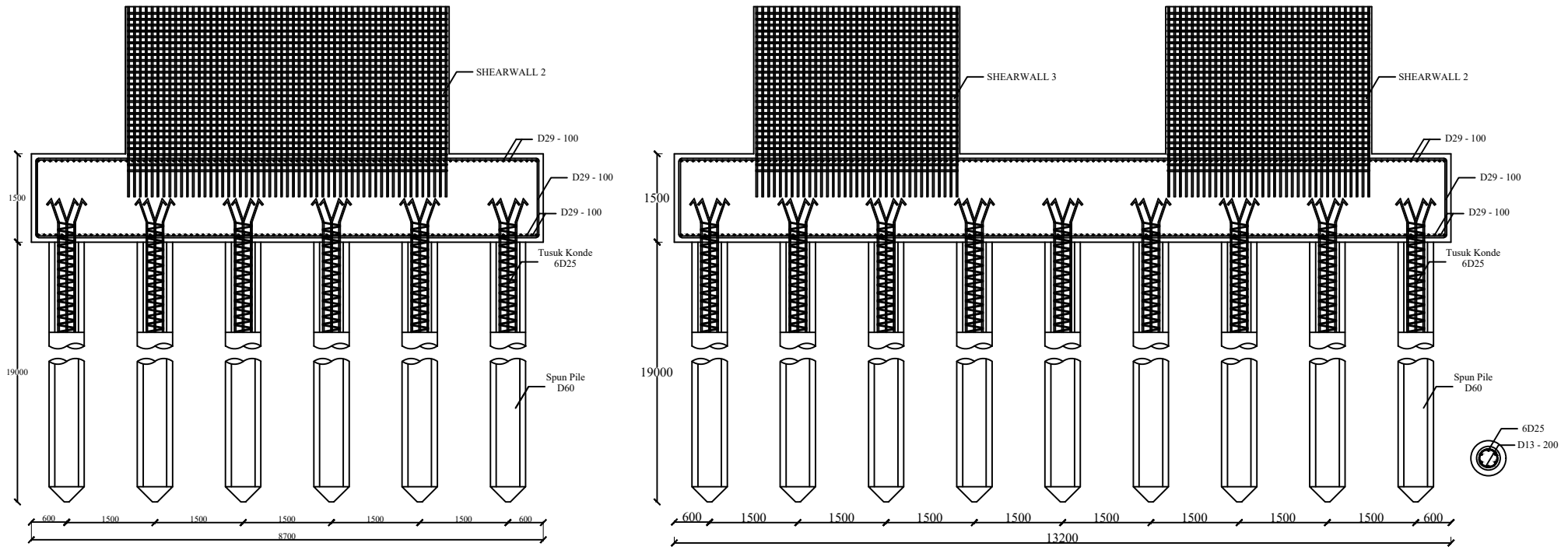
DEPARTEMEN TEKNIK SIPIL FTSPK INSTITUT TEKNOLOGI SEPULUH NOPEMBER SURABAYA 2020	JUDUL TUGAS AKHIR	DOSEN PEMBIMBING	MAHASISWA	JUDUL GAMBAR	NO / JUMLAH LEMBAR
	DESAIN MODIFIKASI STRUKTUR GEDUNG APARTEMEN ARUNDAYA MENGGUNAKAN SISTEM BALOK PRATEKAN PADA LANTAI 5 SEBAGAI BALLROOM DAN MENGGUNAKAN METODE BETON PRACETAK	Prof. Dr. Ir. Triwulan, DEA. Prof. Dr. Ir. I Gusti Putu Raka	Muhammad Ali Azmi (03111640000038)	DENAH PENULANGAN PONDASI	3/47



DETAIL PENULANGAN PONDASI TIPE II

SKALA 1:80
Satuan gambar dalam mm

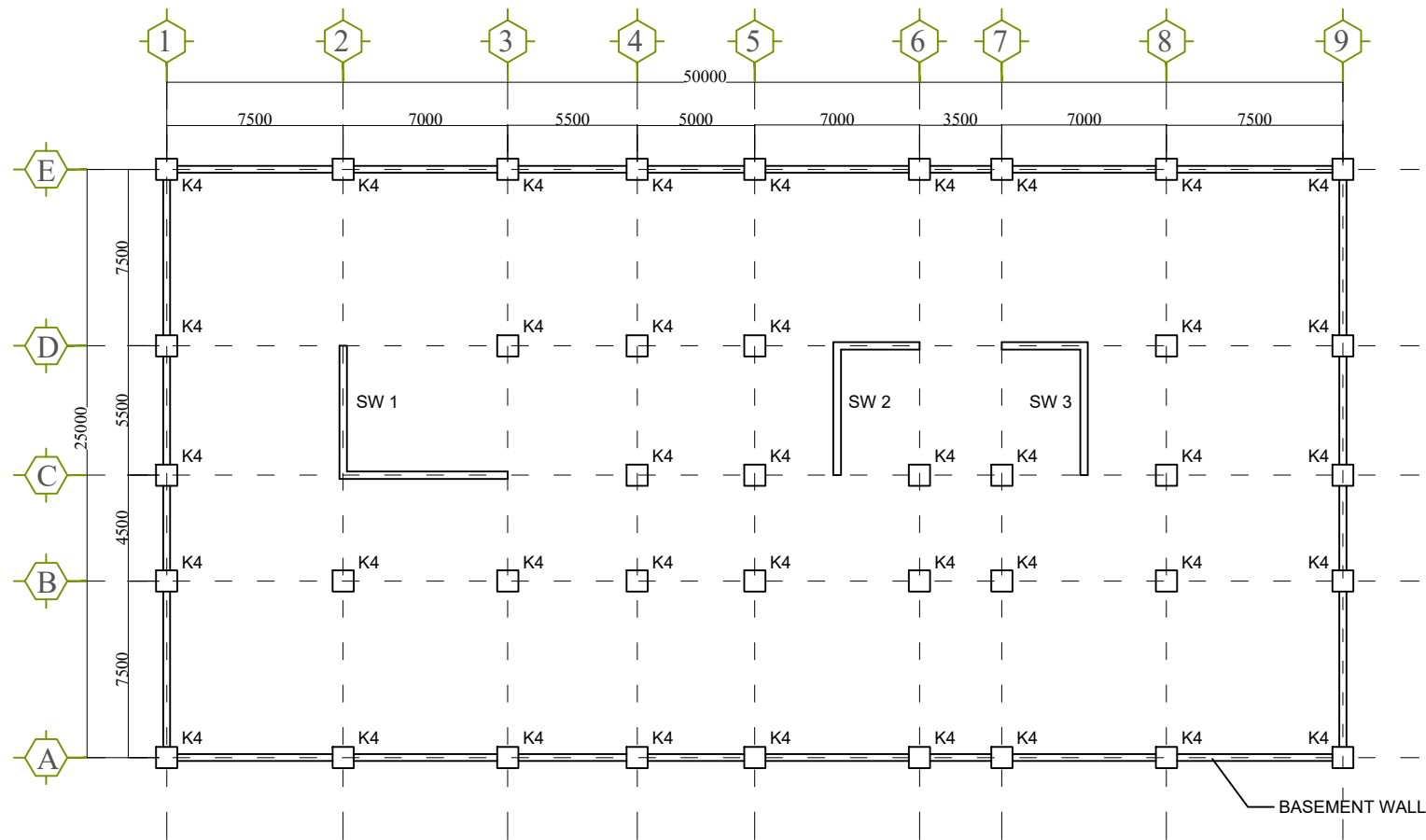
DEPARTEMEN TEKNIK SIPIL FTSPK INSTITUT TEKNOLOGI SEPULUH NOPEMBER SURABAYA 2020	JUDUL TUGAS AKHIR	DOSEN PEMBIMBING	MAHASISWA	JUDUL GAMBAR	NO / JUMLAH LEMBAR
	DESAIN MODIFIKASI STRUKTUR GEDUNG APARTEMEN ARUNDAYA MENGGUNAKAN SISTEM BALOK PRATEKAN PADA LANTAI 5 SEBAGAI BALLROOM DAN MENGGUNAKAN METODE BETON PRACETAK	Prof. Dr. Ir. Triwulan, DEA. Prof. Dr. Ir. I Gusti Putu Raka	Muhammad Ali Azmi (03111640000038)	DETAIL PENULANGAN PONDASI TIPE II	4/47



DETAIL PENULANGAN PONDASI TIPE III

SKALA 1:100
Satuan gambar dalam mm

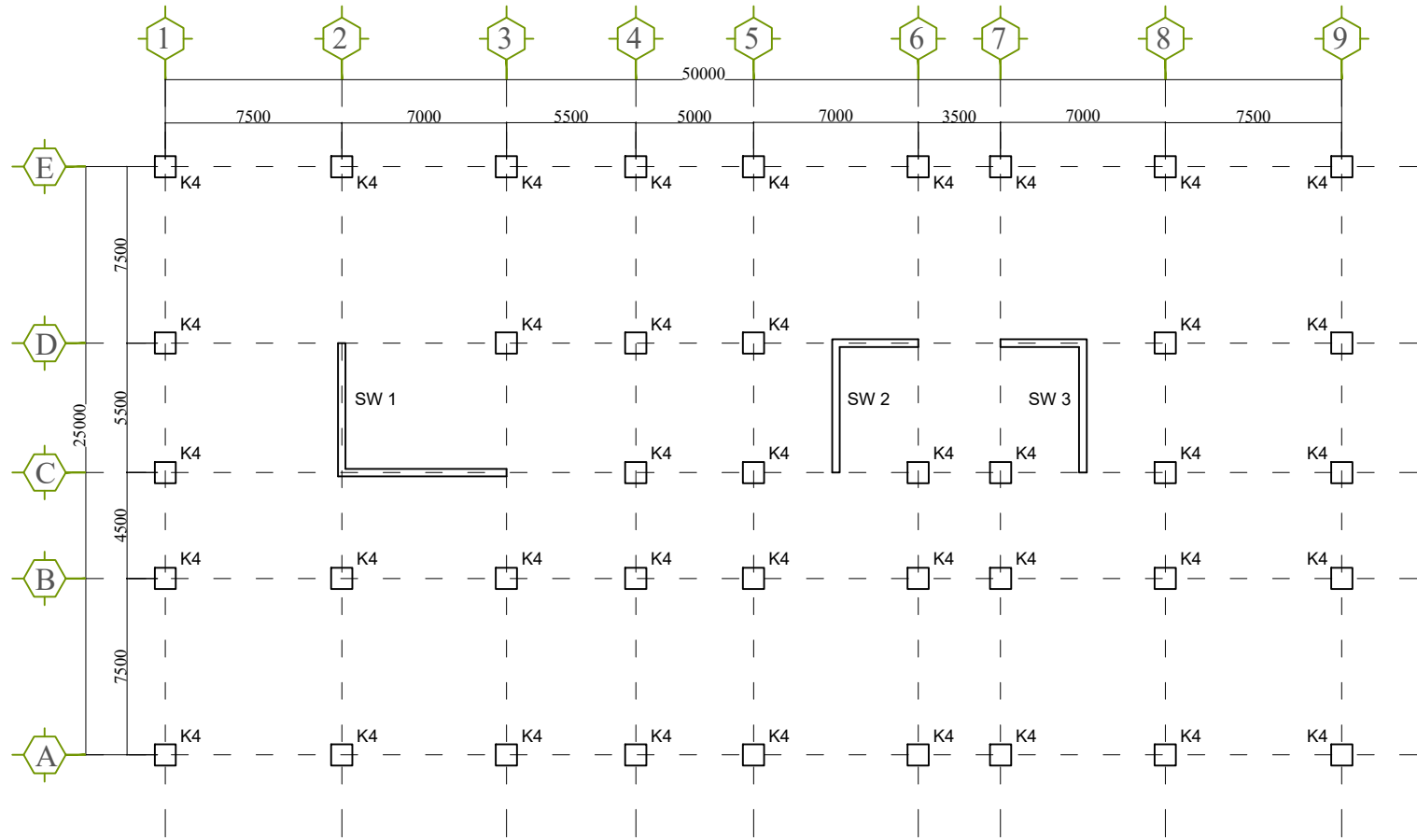
DEPARTEMEN TEKNIK SIPIL FTSPK INSTITUT TEKNOLOGI SEPULUH NOPEMBER SURABAYA 2020	JUDUL TUGAS AKHIR	DOSEN PEMBIMBING	MAHASISWA	JUDUL GAMBAR	NO / JUMLAH LEMBAR
	DESAIN MODIFIKASI STRUKTUR GEDUNG APARTEMEN ARUNDAYA MENGGUNAKAN SISTEM BALOK PRATEKAN PADA LANTAI 5 SEBAGAI BALLROOM DAN MENGGUNAKAN METODE BETON PRACETAK	Prof. Dr. Ir. Triwulan, DEA. Prof. Dr. Ir. I Gusti Putu Raka	Muhammad Ali Azmi (03111640000038)	DETAIL PENULANGAN PONDASI TIPE III	5/47



DENAH KOLOM DAN SHEARWALL LANTAI BASEMENT

SKALA 1:300
Satuan gambar dalam mm

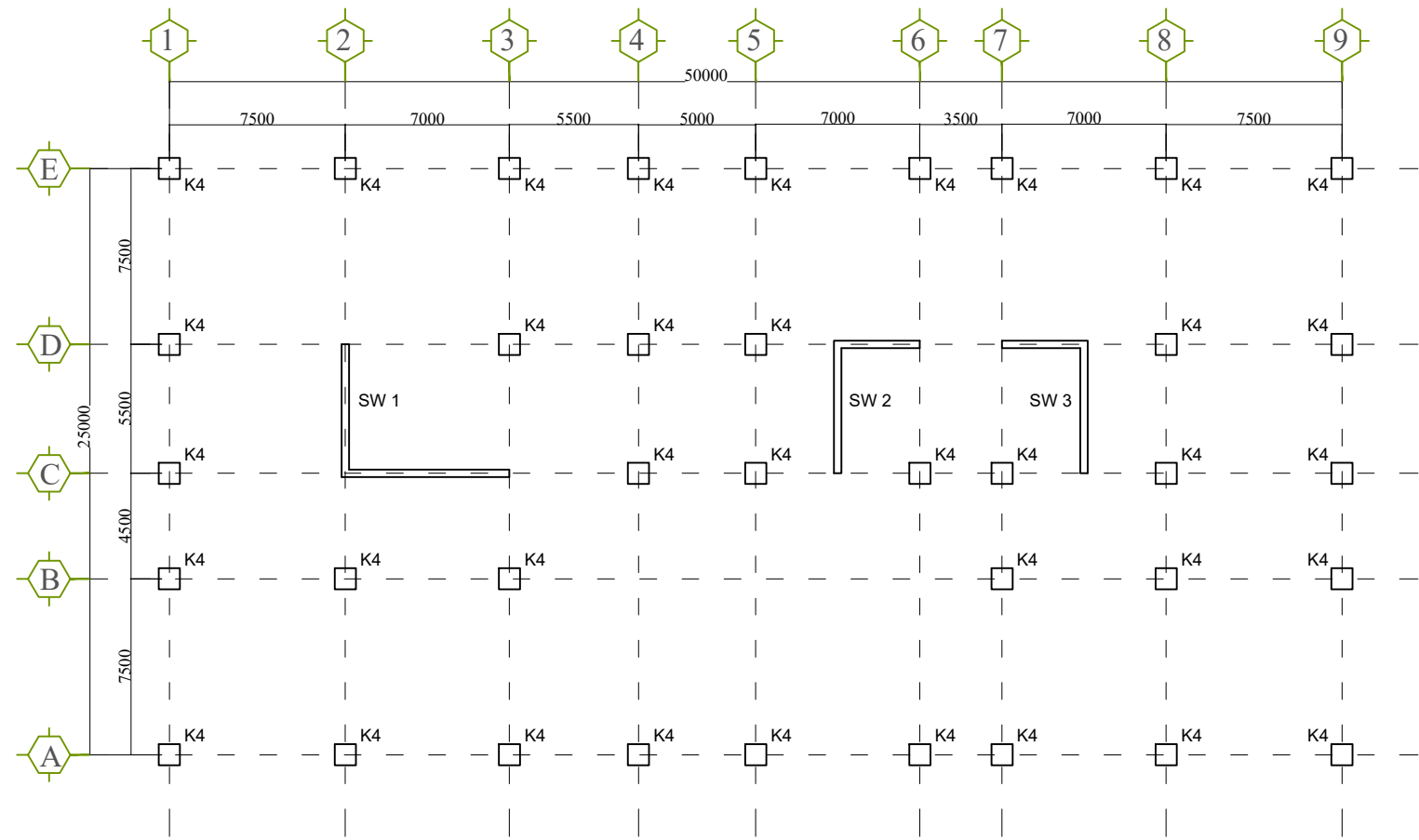
DEPARTEMEN TEKNIK SIPIL FTSPK INSTITUT TEKNOLOGI SEPULUH NOPEMBER SURABAYA 2020	JUDUL TUGAS AKHIR	DOSEN PEMBIMBING	MAHASISWA	JUDUL GAMBAR	NO / JUMLAH LEMBAR
	DESAIN MODIFIKASI STRUKTUR GEDUNG APARTEMEN ARUNDAYA MENGGUNAKAN SISTEM BALOK PRATEKAN PADA LANTAI 5 SEBAGAI BALLROOM DAN MENGGUNAKAN METODE BETON PRACETAK	Prof. Dr. Ir. Triwulan, DEA. Prof. Dr. Ir. I Gusti Putu Raka	Muhammad Ali Azmi (03111640000038)	DENAH KOLOM DAN SHEARWALL LANTAI BASEMENT	6/47



DENAH KOLOM DAN SHEARWALL LANTAI 1 - 4

SKALA 1:300
Satuan gambar dalam mm

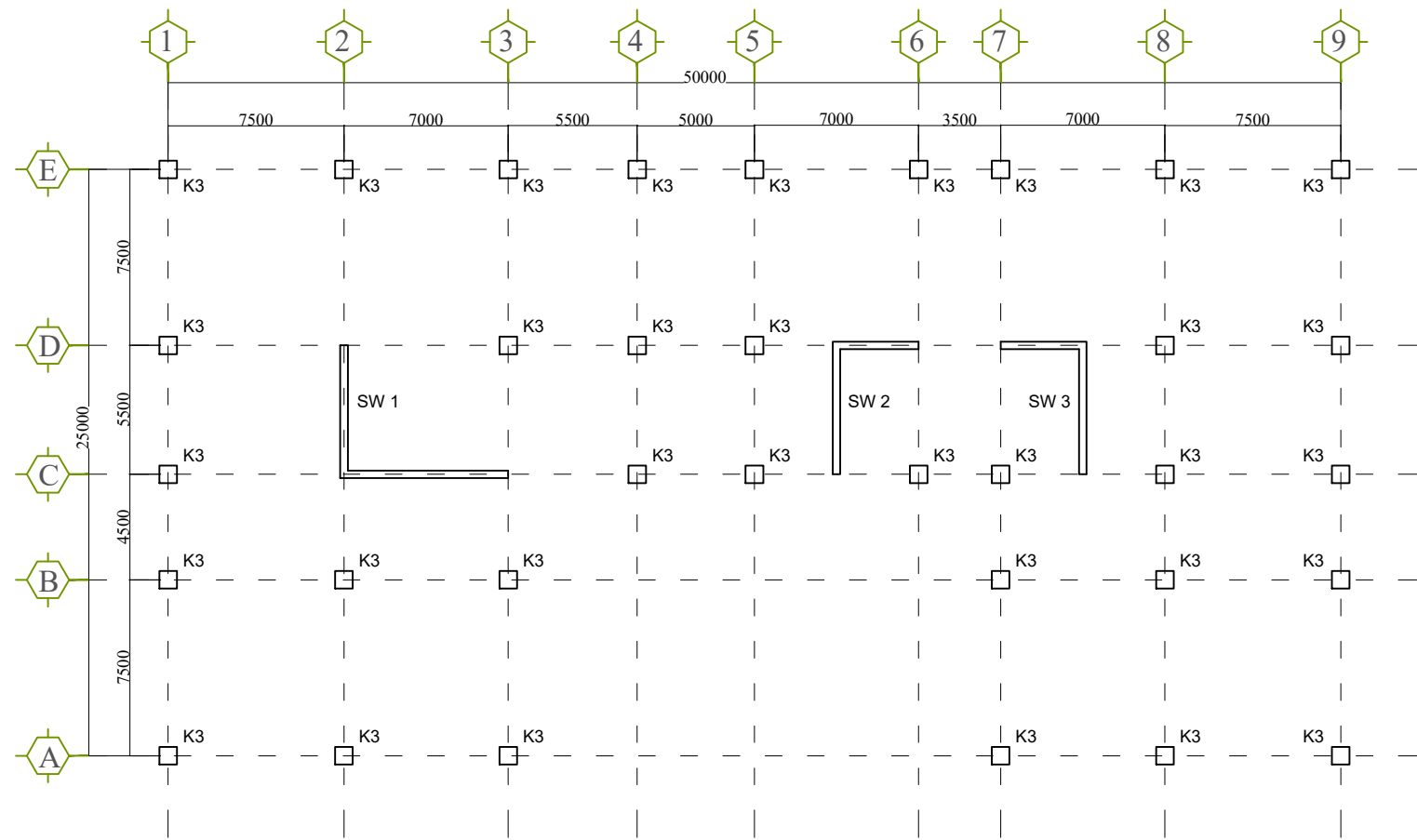
DEPARTEMEN TEKNIK SIPIL FTSPK INSTITUT TEKNOLOGI SEPULUH NOPEMBER SURABAYA 2020	JUDUL TUGAS AKHIR	DOSEN PEMBIMBING	MAHASISWA	JUDUL GAMBAR	NO / JUMLAH LEMBAR
	DESAIN MODIFIKASI STRUKTUR GEDUNG APARTEMEN ARUNDAYA MENGGUNAKAN SISTEM BALOK PRATEKAN PADA LANTAI 5 SEBAGAI BALLROOM DAN MENGGUNAKAN METODE BETON PRACETAK	Prof. Dr. Ir. Triwulan, DEA. Prof. Dr. Ir. I Gusti Putu Raka	Muhammad Ali Azmi (03111640000038)	DENAH KOLOM DAN SHEARWALL LANTAI 1 - 4	7/47



DENAH KOLOM DAN SHEARWALL LANTAI 5

SKALA 1:300
Satuan gambar dalam mm

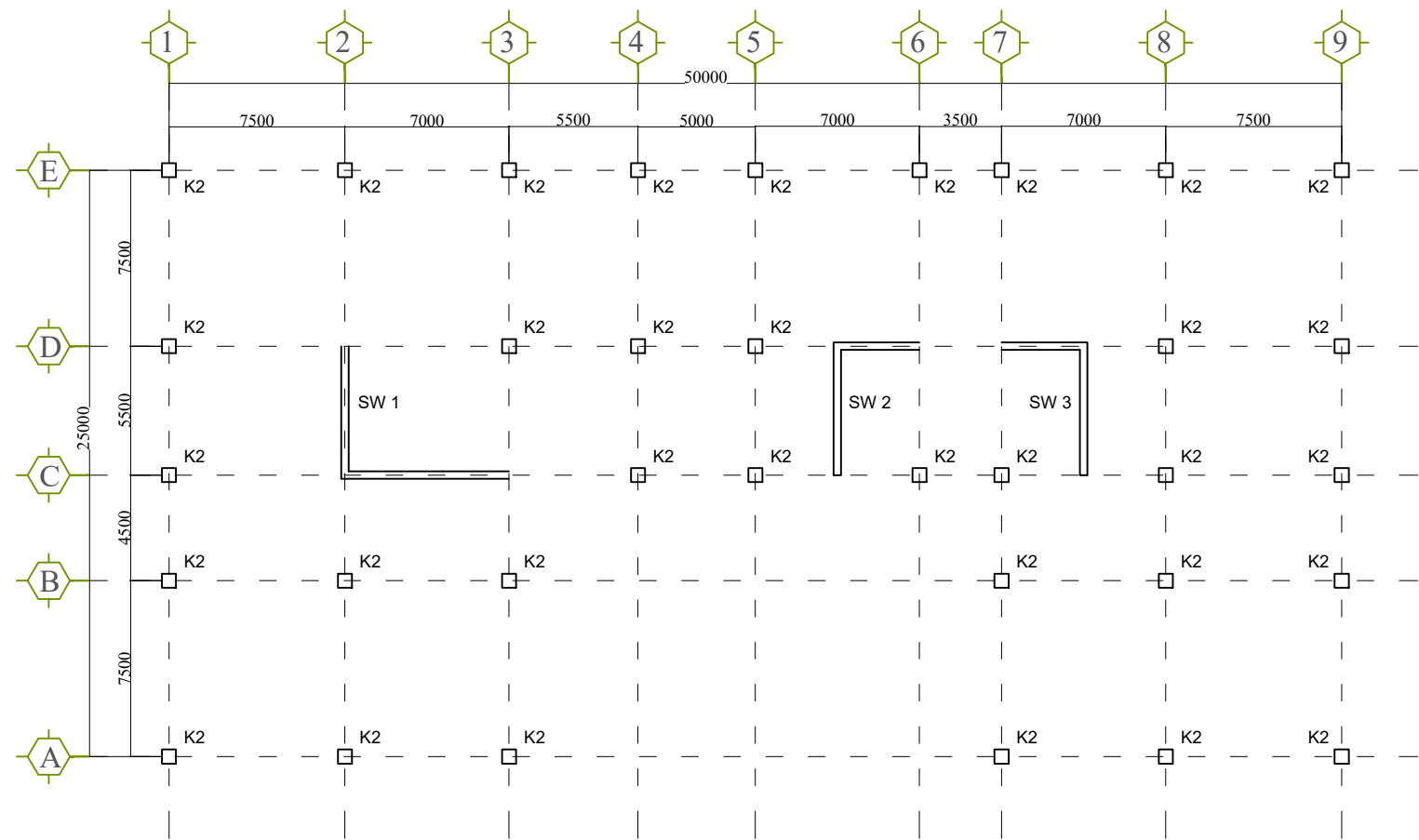
DEPARTEMEN TEKNIK SIPIL FTSPK INSTITUT TEKNOLOGI SEPULUH NOPEMBER SURABAYA 2020	JUDUL TUGAS AKHIR	DOSEN PEMBIMBING	MAHASISWA	JUDUL GAMBAR	NO / JUMLAH LEMBAR
	DESAIN MODIFIKASI STRUKTUR GEDUNG APARTEMEN ARUNDAYA MENGGUNAKAN SISTEM BALOK PRATEKAN PADA LANTAI 5 SEBAGAI BALLROOM DAN MENGGUNAKAN METODE BETON PRACETAK	Prof. Dr. Ir. Triwulan, DEA. Prof. Dr. Ir. I Gusti Putu Raka	Muhammad Ali Azmi (0311164000038)	DENAH KOLOM DAN SHEARWALL LANTAI 5	8/47



DENAH KOLOM DAN SHEARWALL LANTAI 6 - 10

SKALA 1:300
Satuan gambar dalam mm

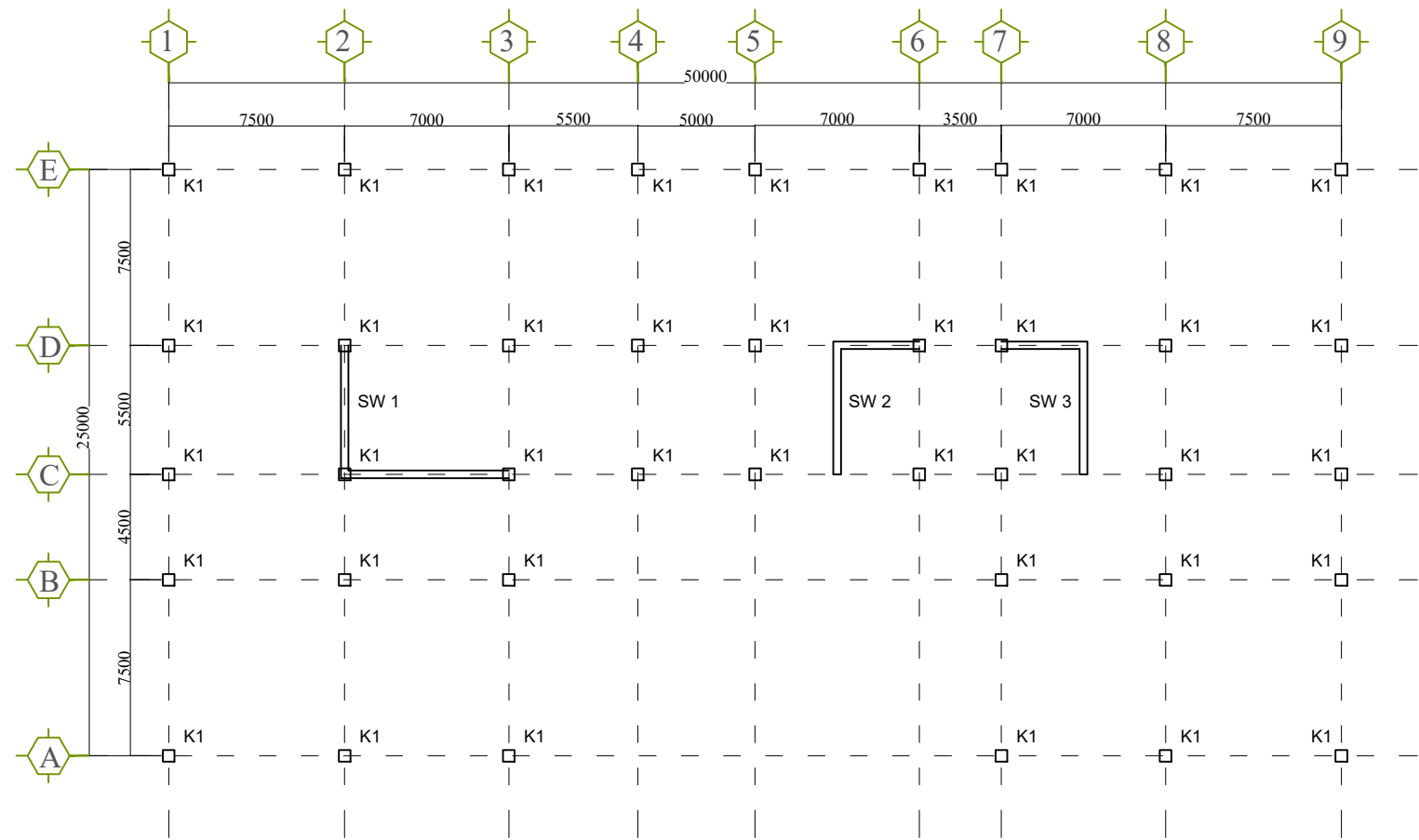
DEPARTEMEN TEKNIK SIPIL FTSPK INSTITUT TEKNOLOGI SEPULUH NOPEMBER SURABAYA 2020	JUDUL TUGAS AKHIR	DOSEN PEMBIMBING	MAHASISWA	JUDUL GAMBAR	NO / JUMLAH LEMBAR
	DESAIN MODIFIKASI STRUKTUR GEDUNG APARTEMEN ARUNDAYA MENGGUNAKAN SISTEM BALOK PRATEKAN PADA LANTAI 5 SEBAGAI BALLROOM DAN MENGGUNAKAN METODE BETON PRACETAK	Prof. Dr. Ir. Triwulan, DEA. Prof. Dr. Ir. I Gusti Putu Raka	Muhammad Ali Azmi (03111640000038)	DENAH KOLOM DAN SHEARWALL LANTAI 6 - 10	9/47



DENAH KOLOM DAN SHEARWALL LANTAI 11 - 15

SKALA 1:300
Satuan gambar dalam mm

DEPARTEMEN TEKNIK SIPIL FTSPK INSTITUT TEKNOLOGI SEPULUH NOPEMBER SURABAYA 2020	JUDUL TUGAS AKHIR	DOSEN PEMBIMBING	MAHASISWA	JUDUL GAMBAR	NO / JUMLAH LEMBAR
	DESAIN MODIFIKASI STRUKTUR GEDUNG APARTEMEN ARUNDAYA MENGGUNAKAN SISTEM BALOK PRATEKAN PADA LANTAI 5 SEBAGAI BALLROOM DAN MENGGUNAKAN METODE BETON PRACETAK	Prof. Dr. Ir. Triwulan, DEA. Prof. Dr. Ir. I Gusti Putu Raka	Muhammad Ali Azmi (03111640000038)	DENAH KOLOM DAN SHEARWALL LANTAI 11 - 15	10/47



DENAH KOLOM DAN SHEARWALL LANTAI 16 - 20

SKALA 1:300
Satuan gambar dalam mm

DEPARTEMEN TEKNIK SIPIL FTSPK INSTITUT TEKNOLOGI SEPULUH NOPEMBER SURABAYA 2020	JUDUL TUGAS AKHIR	DOSEN PEMBIMBING	MAHASISWA	JUDUL GAMBAR	NO / JUMLAH LEMBAR
	DESAIN MODIFIKASI STRUKTUR GEDUNG APARTEMEN ARUNDAYA MENGGUNAKAN SISTEM BALOK PRATEKAN PADA LANTAI 5 SEBAGAI BALLROOM DAN MENGGUNAKAN METODE BETON PRACETAK	Prof. Dr. Ir. Triwulan, DEA. Prof. Dr. Ir. I Gusti Putu Raka	Muhammad Ali Azmi (0311164000038)	DENAH KOLOM DAN SHEARWALL LANTAI 16 - 20	11/47

NAMA KOLOM	KOLOM 1 (K1)	KOLOM 2 (K2)
LOKASI	LANTAI 16-20	LANTAI 11-15
SKETSA		
PENAMPANG	500 mm x 500 mm	600 mm x 600 mm
DECKING	50 mm	50 mm
TUL. UTAMA	16 D25	16 D25
SENGKANG TUMP.	4D 16 - 125 mm	4D 16 - 100 mm
SENGKANG LAP.	4D 16 - 150 mm	4D 16 - 150 mm

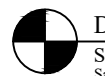
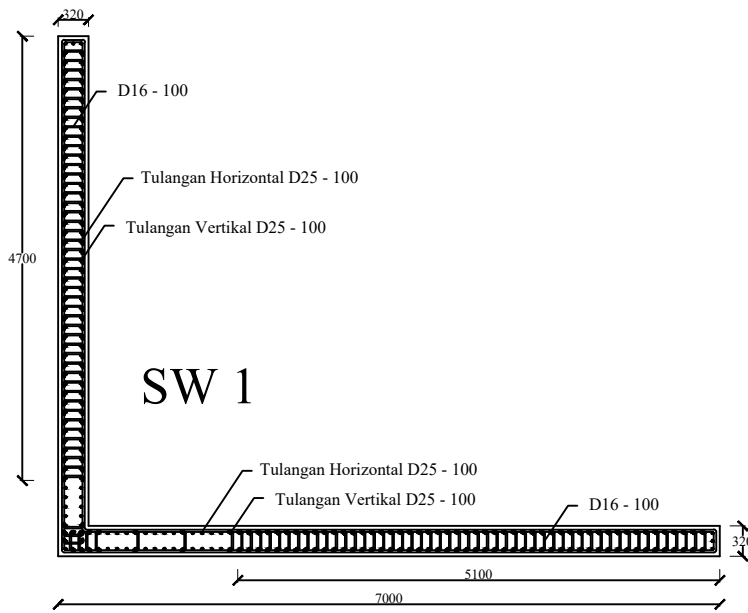
NAMA KOLOM	KOLOM 3 (K3)	KOLOM 4 (K4)
LOKASI	LANTAI 6-10	BASEMENT-LANTAI 5
SKETSA		
PENAMPANG	750 mm x 700 mm	900 mm x 900 mm
DECKING	50 mm	50 mm
TUL. UTAMA	20 D25	24 D25
SENGKANG TUMP.	4D 16 - 100 mm	4D 16 - 100 mm
SENGKANG LAP.	4D 16 - 150 mm	4D 16 - 150 mm



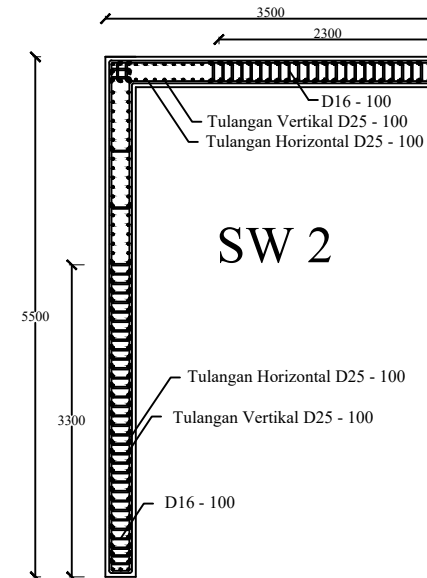
DETAIL PENULANGAN KOLOM

SKALA 1:60
Satuan gambar dalam mm

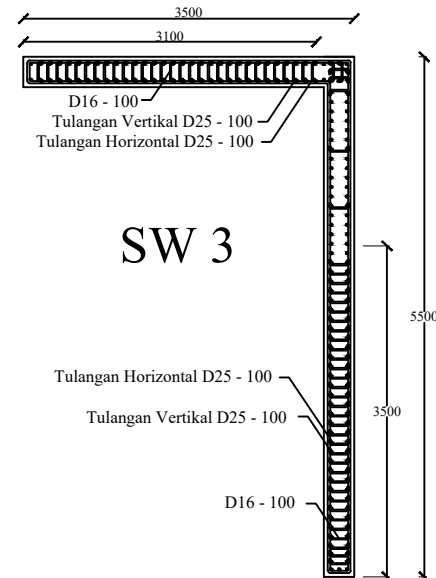
DEPARTEMEN TEKNIK SIPIL FTSPK INSTITUT TEKNOLOGI SEPULUH NOPEMBER SURABAYA 2020	JUDUL TUGAS AKHIR	DOSEN PEMBIMBING	MAHASISWA	JUDUL GAMBAR	NO / JUMLAH LEMBAR
	DESAIN MODIFIKASI STRUKTUR GEDUNG APARTEMEN ARUNDAYA MENGGUNAKAN SISTEM BALOK PRATEKAN PADA LANTAI 5 SEBAGAI BALLROOM DAN MENGGUNAKAN METODE BETON PRACETAK	Prof. Dr. Ir. Triwulan, DEA. Prof. Dr. Ir. I Gusti Putu Raka	Muhammad Ali Azmi (03111640000038)	DETAIL PENULANGAN KOLOM	12/47



DETAIL PENULANGAN SHEARWALL 1
SKALA 1:80
Satuan gambar dalam mm

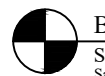
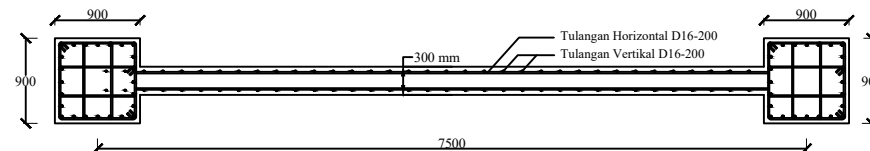


DETAIL PENULANGAN SHEARWALL 2
SKALA 1:80
Satuan gambar dalam mm



DETAIL PENULANGAN SHEARWALL 3
SKALA 1:80
Satuan gambar dalam mm

BASEMENT WALL



BASEMENT WALL
SKALA 1:60
Satuan gambar dalam mm



DEPARTEMEN TEKNIK SIPIL
FTSPK
INSTITUT TEKNOLOGI
SEPULUH NOPEMBER
SURABAYA
2020

JUDUL TUGAS AKHIR

DESAIN MODIFIKASI STRUKTUR GEDUNG
APARTEMEN ARUNDAYA MENGGUNAKAN
SISTEM BALOK PRATEKAN PADA LANTAI 5
SEBAGAI BALLROOM DAN MENGGUNAKAN
METODE BETON PRACETAK

DOSEN PEMBIMBING

Prof. Dr. Ir. Triwulan, DEA.
Prof. Dr. Ir. I Gusti Putu Raka

MAHASISWA

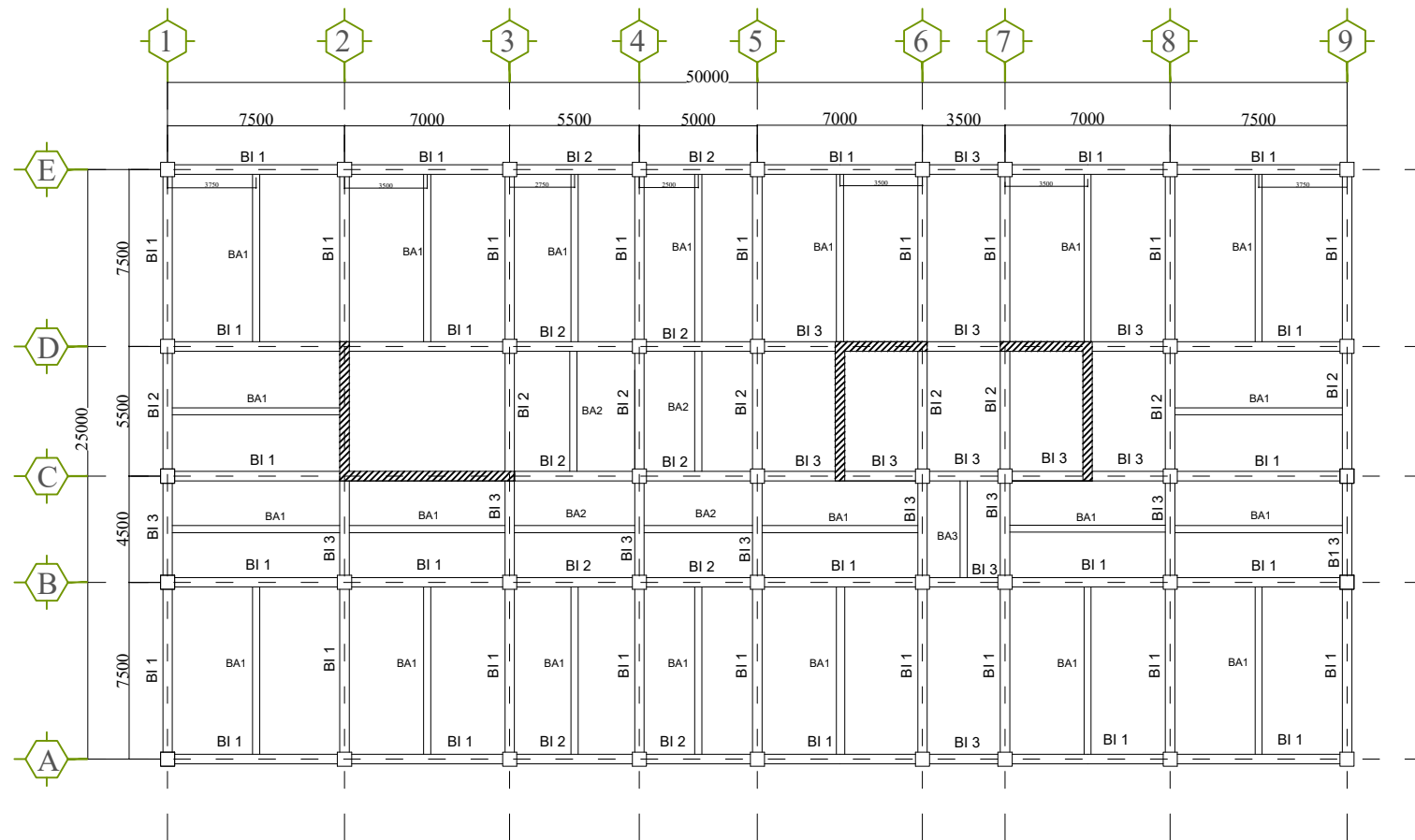
Muhammad Ali Azmi
(03111640000038)

JUDUL GAMBAR

DETAIL PENULANGAN
DINDING

NO / JUMLAH LEMBAR

13/47



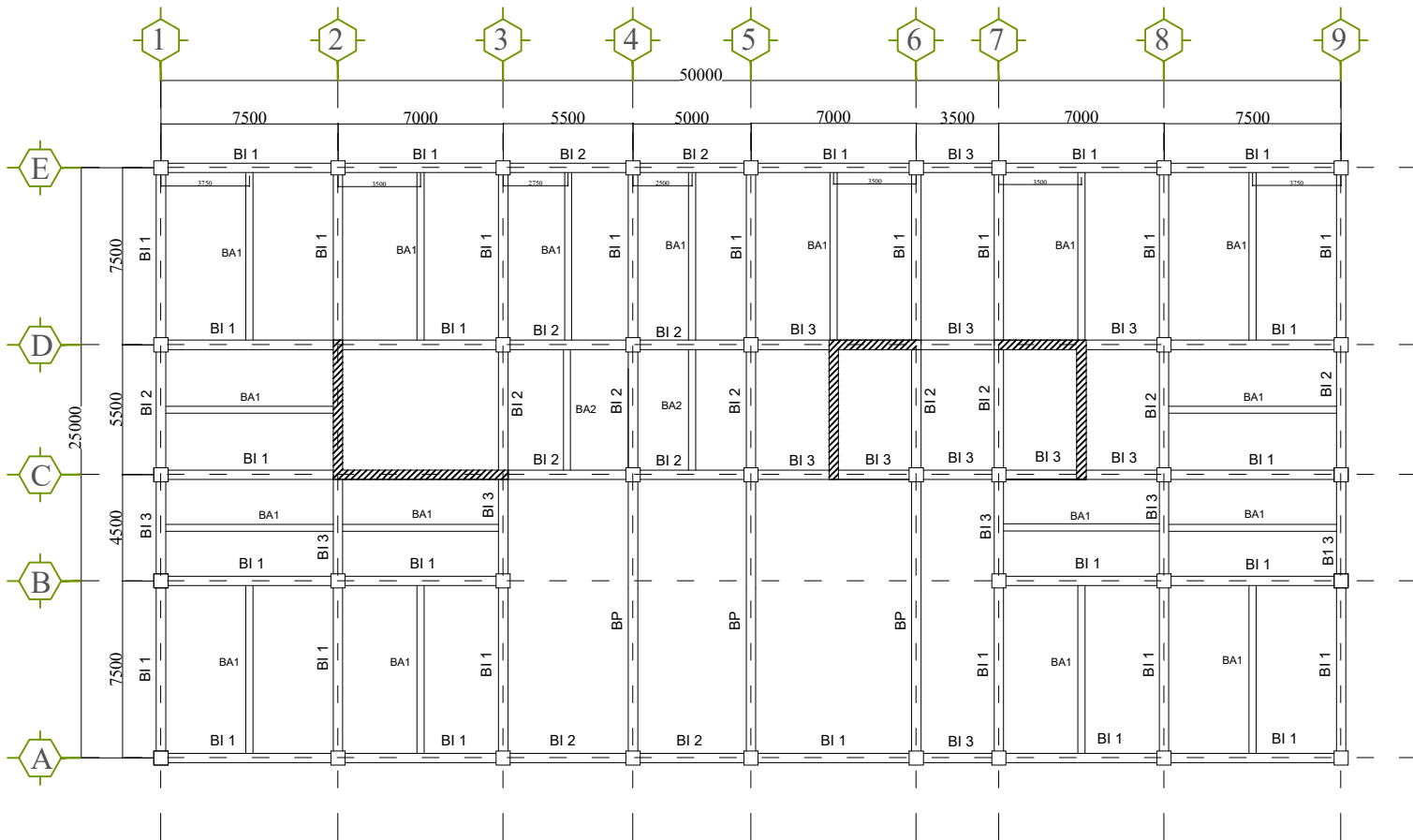
DENAH BALOK BASEMENT - LANTAI 4

SKALA 1:300
Satuan gambar dalam mm

BALOK INDUK	
Tipe	Ukuran (mm)
BI 1	500/700
BI 2	450/600
BI 3	350/600

BALOK ANAK	
Tipe	Ukuran (mm)
BA 1	350/500
BA 2	300/450
BA 3	250/400





DENAH BALOK LANTAI 5

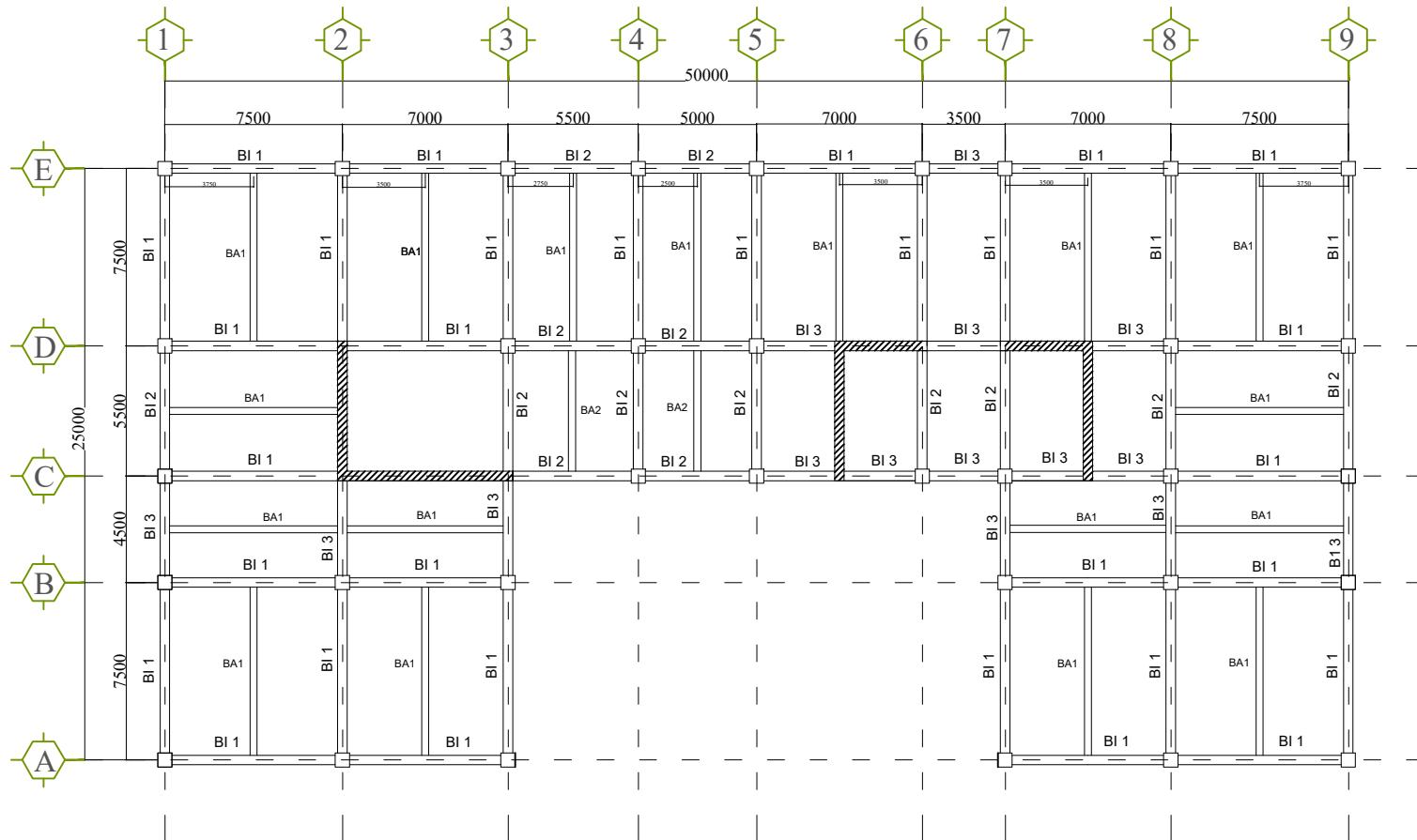
SKALA 1:300
Satuan gambar dalam mm

BALOK INDUK	
Tipe	Ukuran (mm)
BI 1	500/700
BI 2	450/600
BI 3	350/600

BALOK PRATEKAN	
Tipe	Ukuran (mm)
BP	350/600

BALOK ANAK	
Tipe	Ukuran (mm)
BA 1	350/500
BA 2	300/450
BA 3	250/400





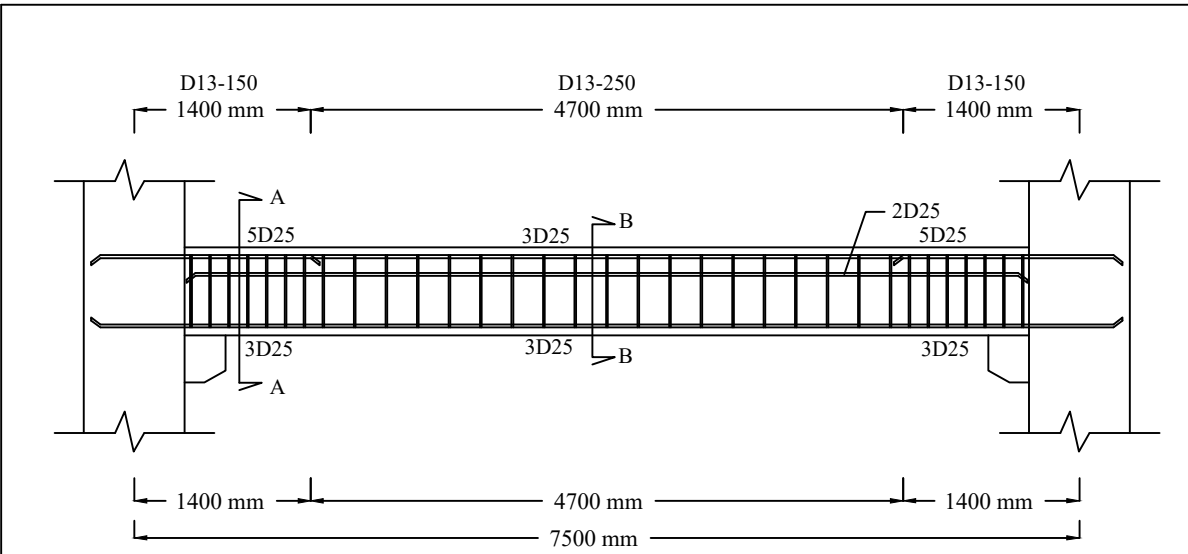
DENAH BALOK LANTAI 6 - 20

SKALA 1:300
Satuan gambar dalam mm

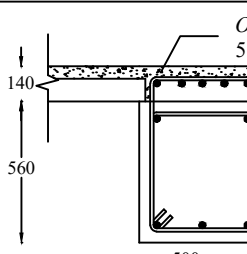
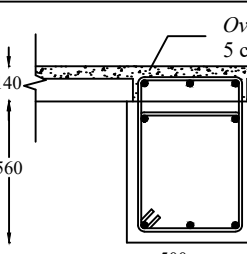
BALOK INDUK	
Tipe	Ukuran (mm)
BI 1	500/700
BI 2	450/600
BI 3	350/600

BALOK ANAK	
Tipe	Ukuran (mm)
BA 1	350/500
BA 2	300/450
BA 3	250/400



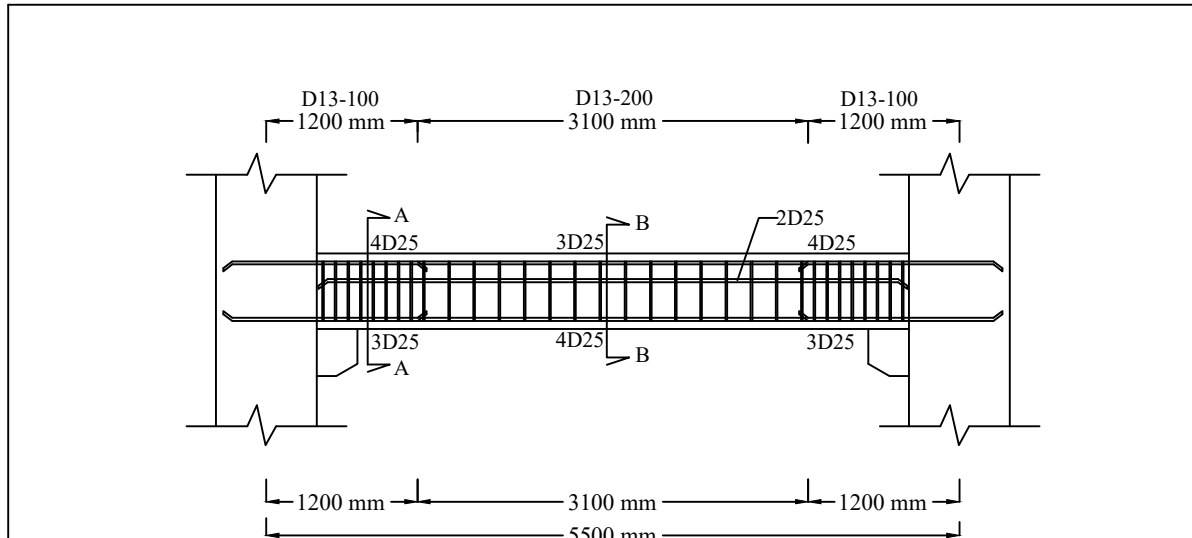


 **POTONGAN MEMANJANG**
SKALA 1:60
Satuan gambar dalam mm

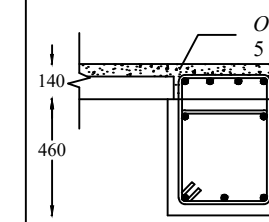
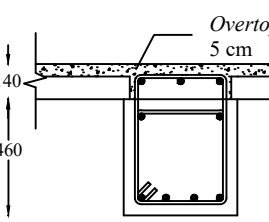
BALOK	BALOK BI 1	
	POTONGAN A	POTONGAN B
SKETSA		
PENAMPANG	500 x 700 mm	500 x 700 mm
DECKING	50 mm	50 mm
TUL. ATAS	5D25	3D25
TUL. TENGAH	2D25	2D25
TUL. BAWAH	3D25	3D25
SENGKANG	2D13 - 150	2D13 - 250

 **POTONGAN MELINTANG**
SKALA 1:30
Satuan gambar dalam mm

DEPARTEMEN TEKNIK SIPIL FTSPK INSTITUT TEKNOLOGI SEPULUH NOPEMBER SURABAYA 2020	JUDUL TUGAS AKHIR	DOSEN PEMBIMBING	MAHASISWA	JUDUL GAMBAR	NO / JUMLAH LEMBAR
	DESAIN MODIFIKASI STRUKTUR GEDUNG APARTEMEN ARUNDAYA MENGGUNAKAN SISTEM BALOK PRATEKAN PADA LANTAI 5 SEBAGAI BALLROOM DAN MENGGUNAKAN METODE BETON PRACETAK	Prof. Dr. Ir. Triwulan, DEA. Prof. Dr. Ir. I Gusti Putu Raka	Muhammad Ali Azmi (0311164000038)	DETAIL PENULANGAN BALOK INDUK BI 1	17/47

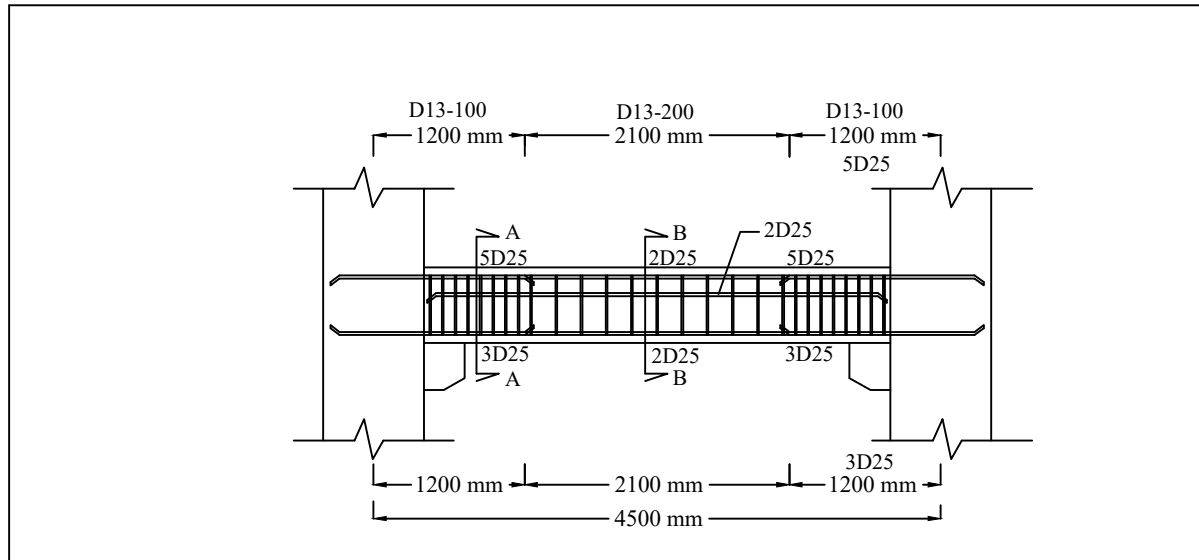


 **POTONGAN MEMANJANG**
SKALA 1:60
Satuan gambar dalam mm

BALOK	BALOK BI 2	
	POTONGAN A	POTONGAN B
SKETSA		
PENAMPANG	450 x 600 mm	450 x 600 mm
DECKING	50 mm	50 mm
TUL. ATAS	4D25	3D25
TUL. TENGAH	2D25	2D25
TUL. BAWAH	3D25	4D25
SENGKANG	2D13 - 100	2D13 - 200

 **POTONGAN MELINTANG**
SKALA 1:30
Satuan gambar dalam mm

DEPARTEMEN TEKNIK SIPIL FTSPK INSTITUT TEKNOLOGI SEPULUH NOPEMBER SURABAYA 2020	JUDUL TUGAS AKHIR	DOSEN PEMBIMBING	MAHASISWA	JUDUL GAMBAR	NO / JUMLAH LEMBAR
	DESAIN MODIFIKASI STRUKTUR GEDUNG APARTEMEN ARUNDAYA MENGGUNAKAN SISTEM BALOK PRATEKAN PADA LANTAI 5 SEBAGAI BALLROOM DAN MENGGUNAKAN METODE BETON PRACETAK	Prof. Dr. Ir. Triwulan, DEA. Prof. Dr. Ir. I Gusti Putu Raka	Muhammad Ali Azmi (0311164000038)	DETAIL PENULANGAN BALOK INDUK BI 2	18/47

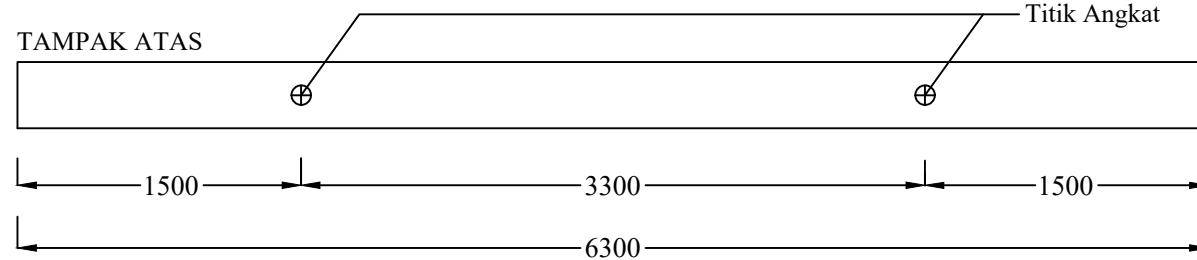


POTONGAN MEMANJANG
SKALA 1:60
Satuan gambar dalam mm

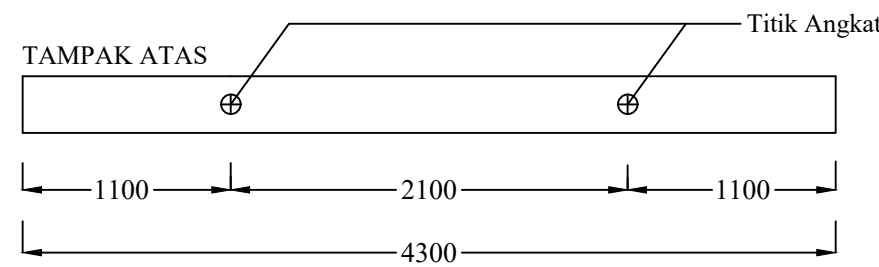
BALOK	BALOK BI 3	
	POTONGAN A	POTONGAN B
SKETSA		
PENAMPANG	350 x 600 mm	350 x 600 mm
DECKING	50 mm	50 mm
TUL. ATAS	5D25	2D25
TUL. TENGAH	2D25	2D25
TUL. BAWAH	3D25	2D25
SENGKANG	2D13 - 100	2D13 - 200

POTONGAN MELINTANG
SKALA 1:30
Satuan gambar dalam mm

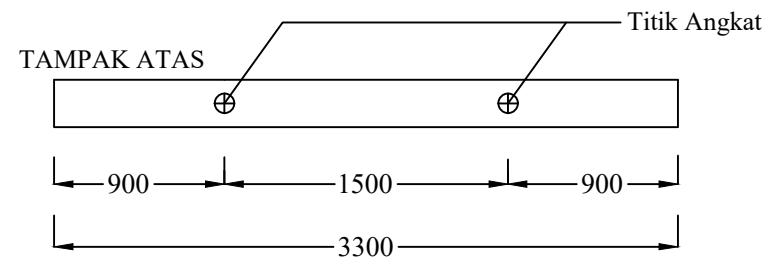
DEPARTEMEN TEKNIK SIPIL FTSPK INSTITUT TEKNOLOGI SEPULUH NOPEMBER SURABAYA 2020	JUDUL TUGAS AKHIR	DOSEN PEMBIMBING	MAHASISWA	JUDUL GAMBAR	NO / JUMLAH LEMBAR
	DESAIN MODIFIKASI STRUKTUR GEDUNG APARTEMEN ARUNDAYA MENGGUNAKAN SISTEM BALOK PRATEKAN PADA LANTAI 5 SEBAGAI BALLROOM DAN MENGGUNAKAN METODE BETON PRACETAK	Prof. Dr. Ir. Triwulan, DEA. Prof. Dr. Ir. I Gusti Putu Raka	Muhammad Ali Azmi (03111640000038)	DETAIL PENULANGAN BALOK INDUK BI 3	19/47



TITIK ANGKAT BALOK INDUK BI 1
SKALA 1:40
Satuan gambar dalam mm

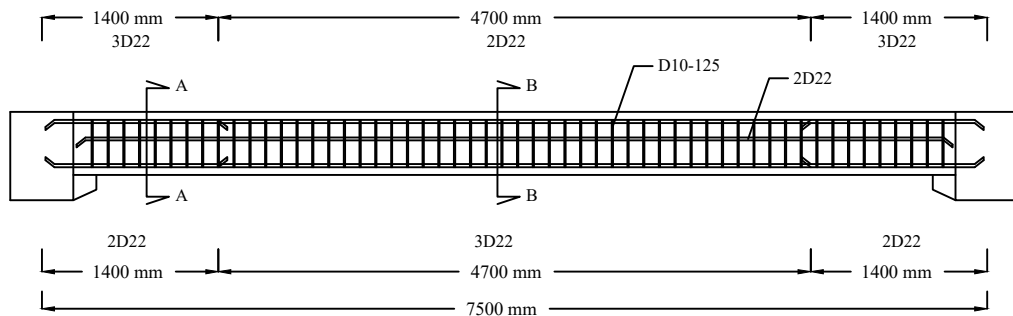


TITIK ANGKAT BALOK INDUK BI 2
SKALA 1:40
Satuan gambar dalam mm



TITIK ANGKAT BALOK INDUK BI 3
SKALA 1:40
Satuan gambar dalam mm

DEPARTEMEN TEKNIK SIPIL FTSPK INSTITUT TEKNOLOGI SEPULUH NOPEMBER SURABAYA 2020	JUDUL TUGAS AKHIR	DOSEN PEMBIMBING	MAHASISWA	JUDUL GAMBAR	NO / JUMLAH LEMBAR
	DESAIN MODIFIKASI STRUKTUR GEDUNG APARTEMEN ARUNDAYA MENGGUNAKAN SISTEM BALOK PRATEKAN PADA LANTAI 5 SEBAGAI BALLROOM DAN MENGGUNAKAN METODE BETON PRACETAK	Prof. Dr. Ir. Triwulan, DEA. Prof. Dr. Ir. I Gusti Putu Raka	Muhammad Ali Azmi (03111640000038)	TITIK ANGKAT BALOK INDUK	20/47



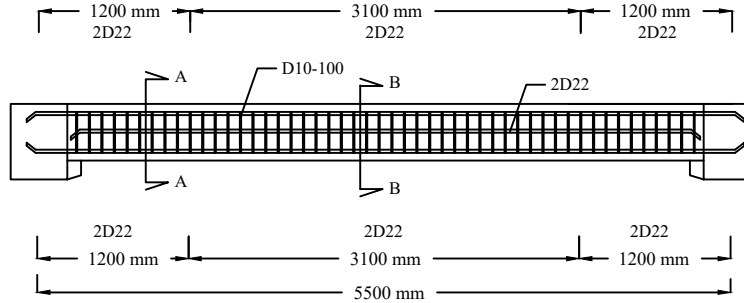
POTONGAN MEMANJANG
SKALA 1:60
Satuan gambar dalam mm

BALOK	BALOK BA 1	
	POTONGAN A	POTONGAN B
SKETSA		
PENAMPANG	350 x 500 mm	350 x 500 mm
DECKING	50 mm	50 mm
TUL. ATAS	3D22	2D22
TUL. TENGAH	2D22	2D22
TUL. BAWAH	2D22	3D22
SENGKANG	D10 - 125	D10 - 125



POTONGAN MELINTANG
SKALA 1:30
Satuan gambar dalam mm

DEPARTEMEN TEKNIK SIPIL FTSPK INSTITUT TEKNOLOGI SEPULUH NOPEMBER SURABAYA 2020	JUDUL TUGAS AKHIR	DOSEN PEMBIMBING	MAHASISWA	JUDUL GAMBAR	NO / JUMLAH LEMBAR
	DESAIN MODIFIKASI STRUKTUR GEDUNG APARTEMEN ARUNDAYA MENGGUNAKAN SISTEM BALOK PRATEKAN PADA LANTAI 5 SEBAGAI BALLROOM DAN MENGGUNAKAN METODE BETON PRACETAK	Prof. Dr. Ir. Triwulan, DEA. Prof. Dr. Ir. I Gusti Putu Raka	Muhammad Ali Azmi (03111640000038)	DETAIL PENULANGAN BALOK ANAK BA 1	21/47



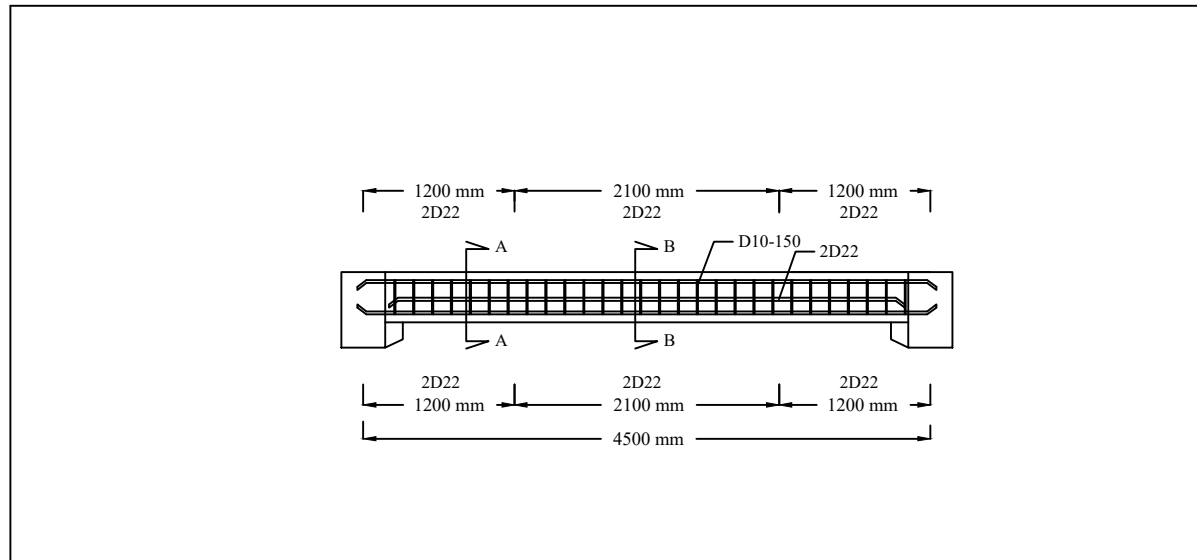
POTONGAN MEMANJANG
SKALA 1:60
Satuan gambar dalam mm

BALOK	BALOK BA 2	
	POTONGAN A	POTONGAN B
SKETSА		
PENAMPANG	300 x 450 mm	300 x 450 mm
DECKING	50 mm	50 mm
TUL. ATAS	2D22	2D22
TUL. TENGAH	2D22	2D22
TUL. BAWAH	2D22	2D22
SENGKANG	D10 - 100	D10 - 100



POTONGAN MELINTANG
SKALA 1:30
Satuan gambar dalam mm

DEPARTEMEN TEKNIK SIPIL FTSPK INSTITUT TEKNOLOGI SEPULUH NOPEMBER SURABAYA 2020	JUDUL TUGAS AKHIR	DOSEN PEMBIMBING	MAHASISWA	JUDUL GAMBAR	NO / JUMLAH LEMBAR
	DESAIN MODIFIKASI STRUKTUR GEDUNG APARTEMEN ARUNDAYA MENGGUNAKAN SISTEM BALOK PRATEKAN PADA LANTAI 5 SEBAGAI BALLROOM DAN MENGGUNAKAN METODE BETON PRACETAK	Prof. Dr. Ir. Triwulan, DEA. Prof. Dr. Ir. I Gusti Putu Raka	Muhammad Ali Azmi (03111640000038)	DETAIL PENULANGAN BALOK ANAK BA 2	22/47



POTONGAN MEMANJANG

SKALA 1:60

Satuan gambar dalam mm

BALOK	BALOK BA 3	
	POTONGAN A	POTONGAN B
SKETSA		
PENAMPANG	250x400 mm	250x400 mm
DECKING	50 mm	50 mm
TUL. ATAS	2D22	2D22
TUL. TENGAH	2D22	2D22
TUL. BAWAH	2D22	2D22
SENGKANG	D10 - 150	D10 - 150

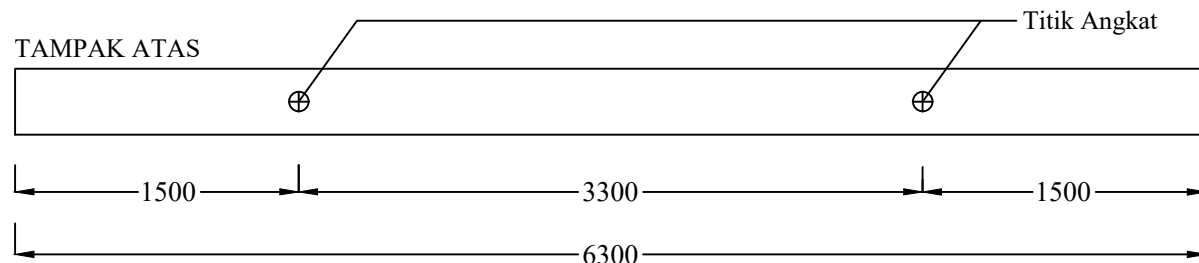


POTONGAN MELINTANG

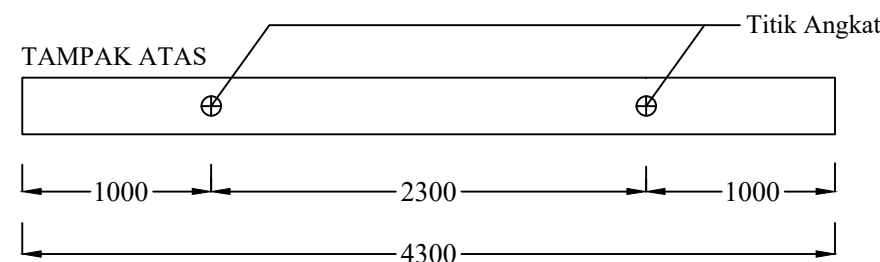
SKALA 1:30

Satuan gambar dalam mm

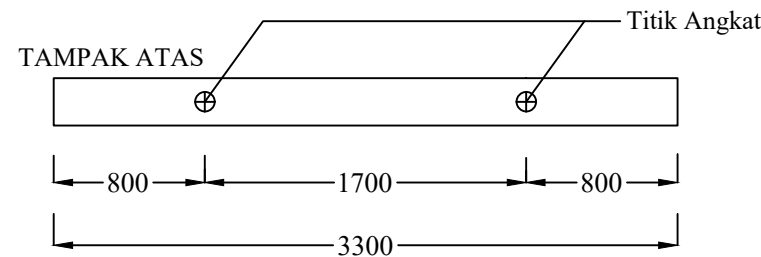
DEPARTEMEN TEKNIK SIPIL FTSPK INSTITUT TEKNOLOGI SEPULUH NOPEMBER SURABAYA 2020	JUDUL TUGAS AKHIR	DOSEN PEMBIMBING	MAHASISWA	JUDUL GAMBAR	NO / JUMLAH LEMBAR
	DESAIN MODIFIKASI STRUKTUR GEDUNG APARTEMEN ARUNDAYA MENGGUNAKAN SISTEM BALOK PRATEKAN PADA LANTAI 5 SEBAGAI BALLROOM DAN MENGGUNAKAN METODE BETON PRACETAK	Prof. Dr. Ir. Triwulan, DEA. Prof. Dr. Ir. I Gusti Putu Raka	Muhammad Ali Azmi (03111640000038)	DETAIL PENULANGAN BALOK ANAK BA 3	23/47



TITIK ANGKAT BALOK ANAK BI 1
SKALA 1:40
Satuan gambar dalam mm

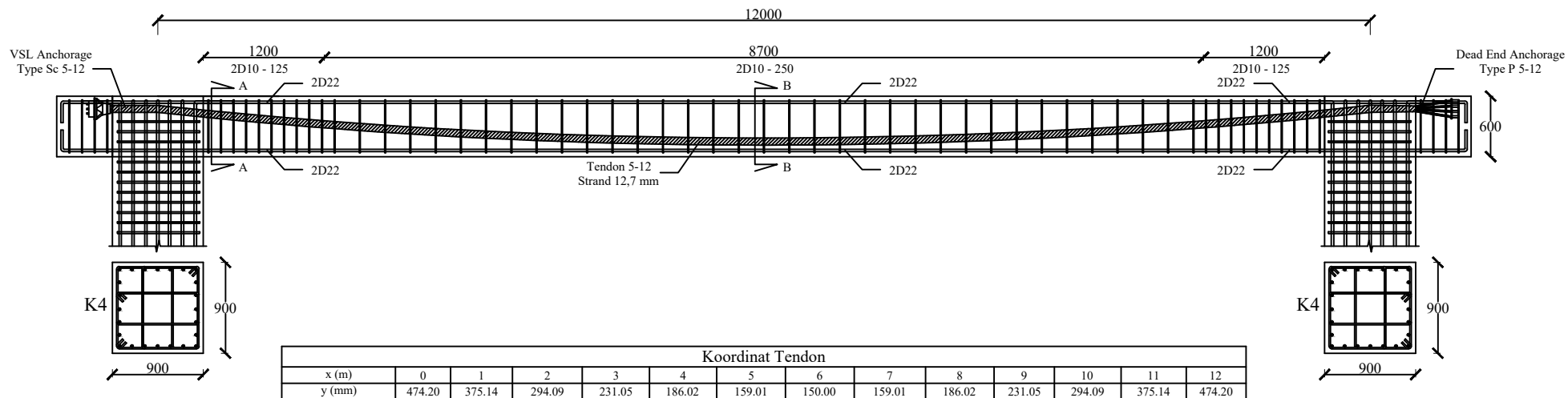


TITIK ANGKAT BALOK ANAK BI 2
SKALA 1:40
Satuan gambar dalam mm

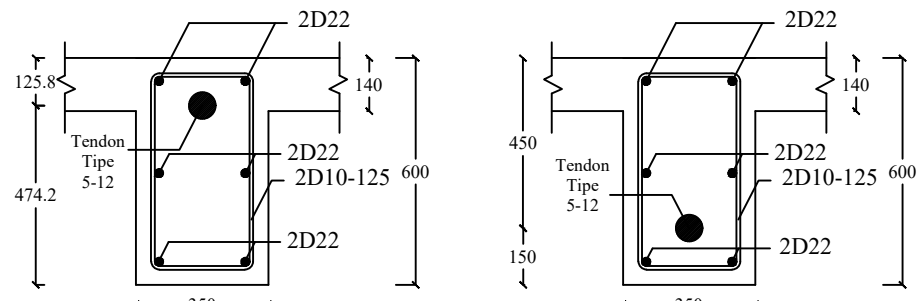


TITIK ANGKAT BALOK ANAK BI 3
SKALA 1:40
Satuan gambar dalam mm

DEPARTEMEN TEKNIK SIPIL FTSPK INSTITUT TEKNOLOGI SEPULUH NOPEMBER SURABAYA 2020	JUDUL TUGAS AKHIR	DOSEN PEMBIMBING	MAHASISWA	JUDUL GAMBAR	NO / JUMLAH LEMBAR
	DESAIN MODIFIKASI STRUKTUR GEDUNG APARTEMEN ARUNDAYA MENGGUNAKAN SISTEM BALOK PRATEKAN PADA LANTAI 5 SEBAGAI BALLROOM DAN MENGGUNAKAN METODE BETON PRACETAK	Prof. Dr. Ir. Triwulan, DEA. Prof. Dr. Ir. I Gusti Putu Raka	Muhammad Ali Azmi (03111640000038)	TITIK ANGKAT BALOK ANAK	24/47

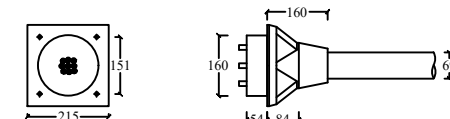


POTONGAN MEMANJANG BALOK PRATEKAN
SKALA 1:60
Satuan gambar dalam mm

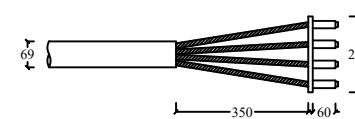


POTONGAN A-A
SKALA 1:20
Satuan gambar dalam mm

POTONGAN B-B
SKALA 1:20
Satuan gambar dalam mm

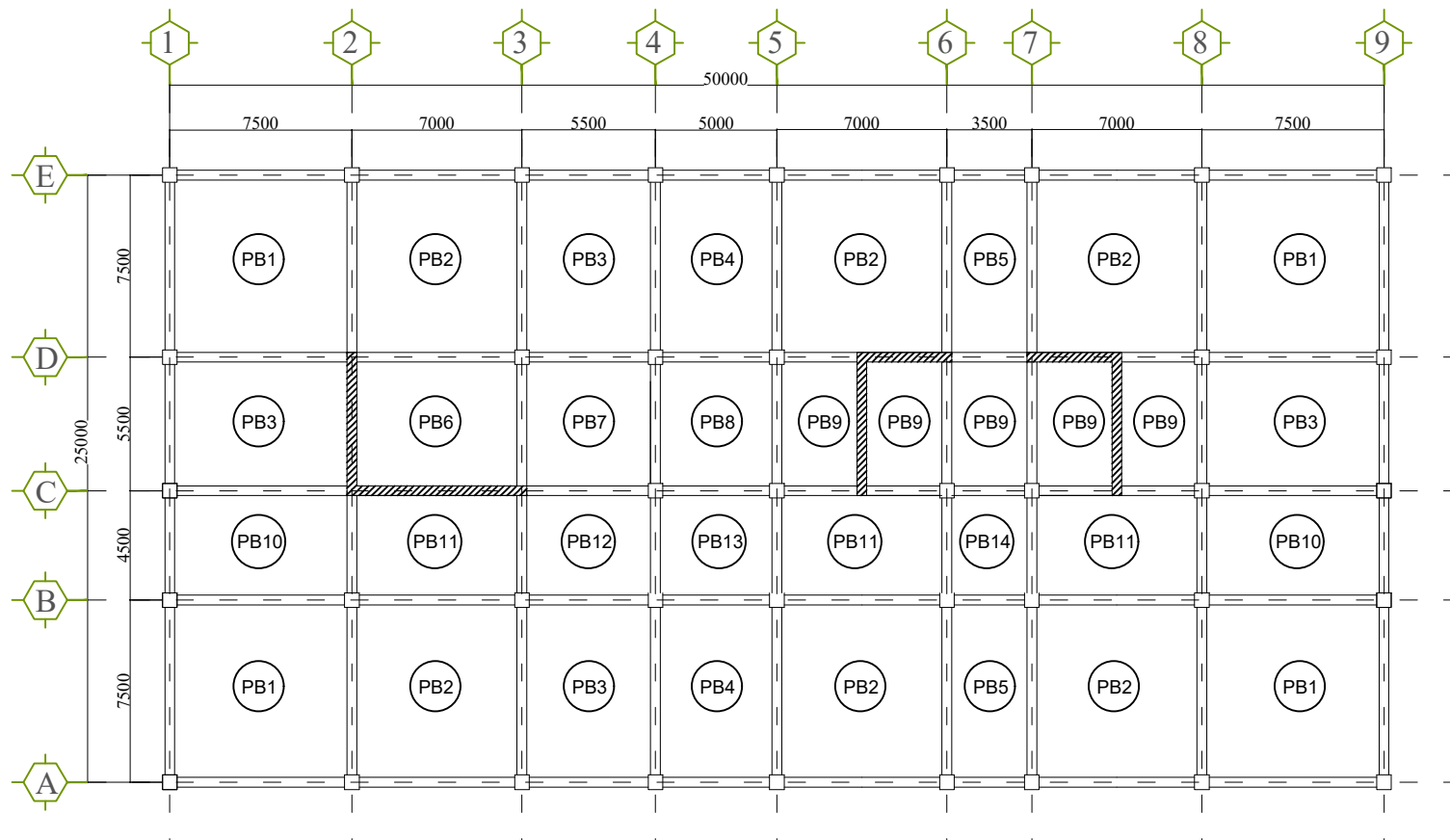


DETAIL ANGKUR HIDUP
SKALA 1:20
Satuan gambar dalam mm



DETAIL ANGKUR MATI
SKALA 1:20
Satuan gambar dalam mm

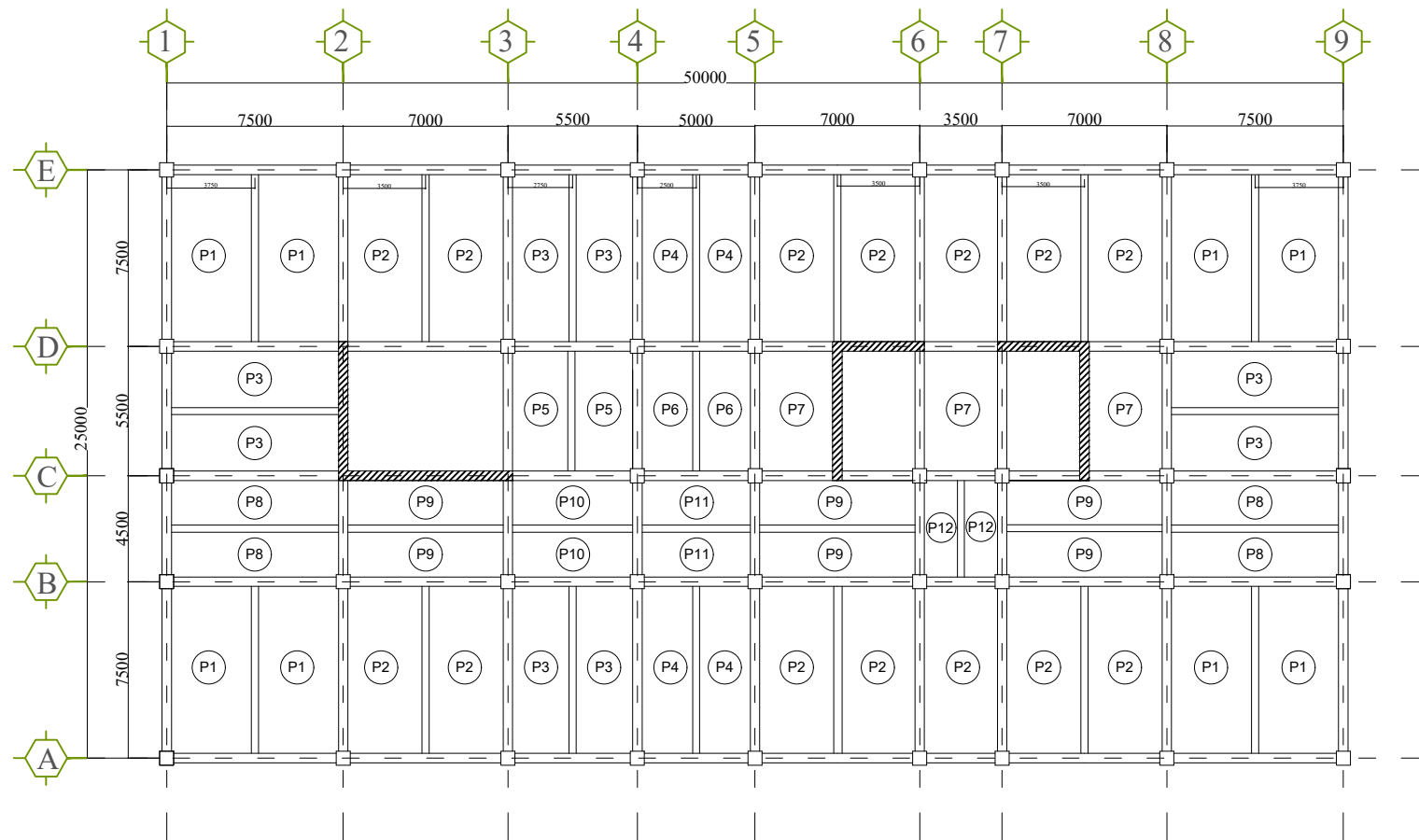




DENAH PELAT BASEMENT

SKALA 1:300
Satuan gambar dalam mm

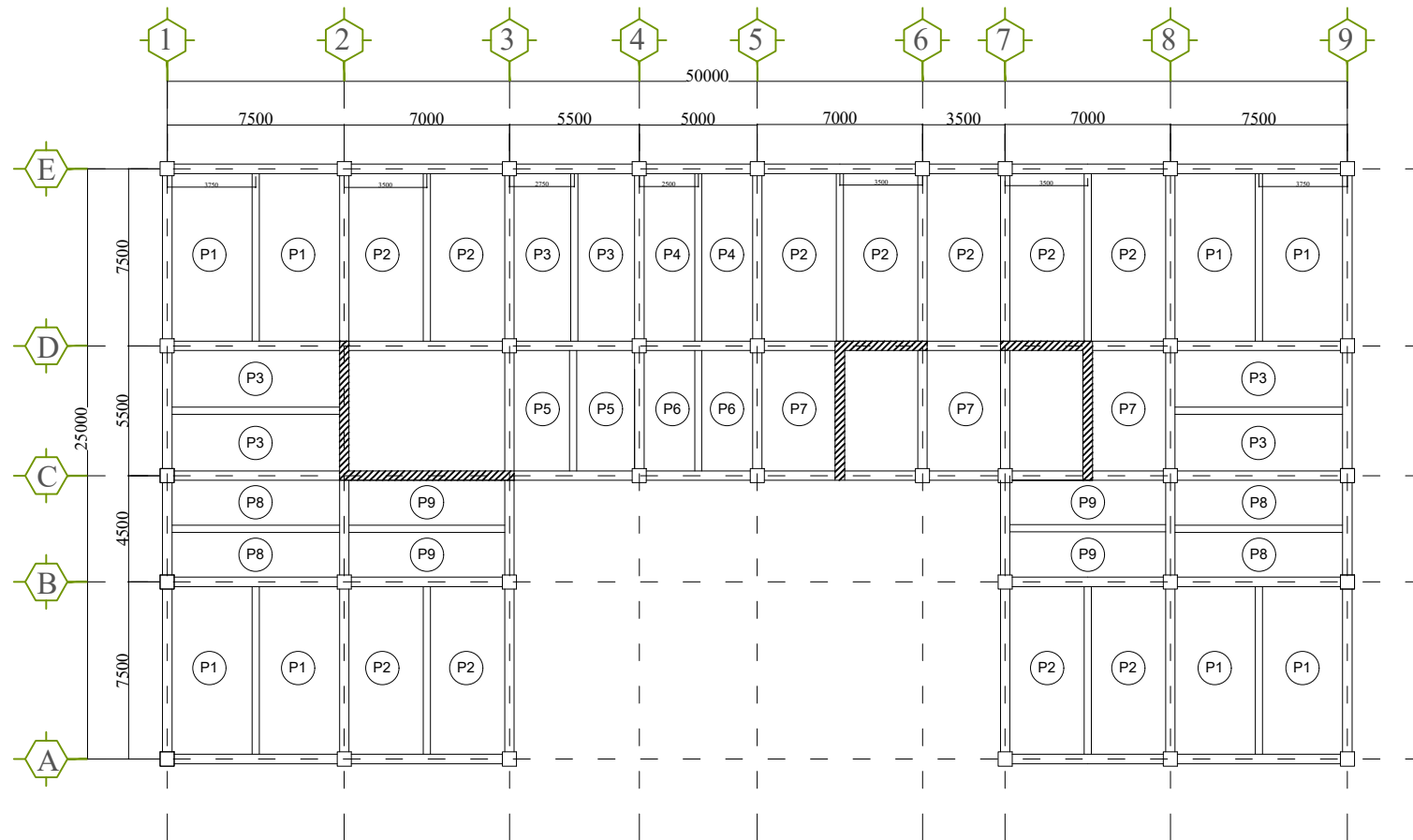
DEPARTEMEN TEKNIK SIPIL FTSPK INSTITUT TEKNOLOGI SEPULUH NOPEMBER SURABAYA 2020	JUDUL TUGAS AKHIR	DOSEN PEMBIMBING	MAHASISWA	JUDUL GAMBAR	NO / JUMLAH LEMBAR
	DESAIN MODIFIKASI STRUKTUR GEDUNG APARTEMEN ARUNDAYA MENGGUNAKAN SISTEM BALOK PRATEKAN PADA LANTAI 5 SEBAGAI BALLROOM DAN MENGGUNAKAN METODE BETON PRACETAK	Prof. Dr. Ir. Triwulan, DEA. Prof. Dr. Ir. I Gusti Putu Raka	Muhammad Ali Azmi (03111640000038)	DENAH PELAT BASEMENT	26/47



DENAH PELAT LANTAI 1 - 5

SKALA 1:300
Satuan gambar dalam mm

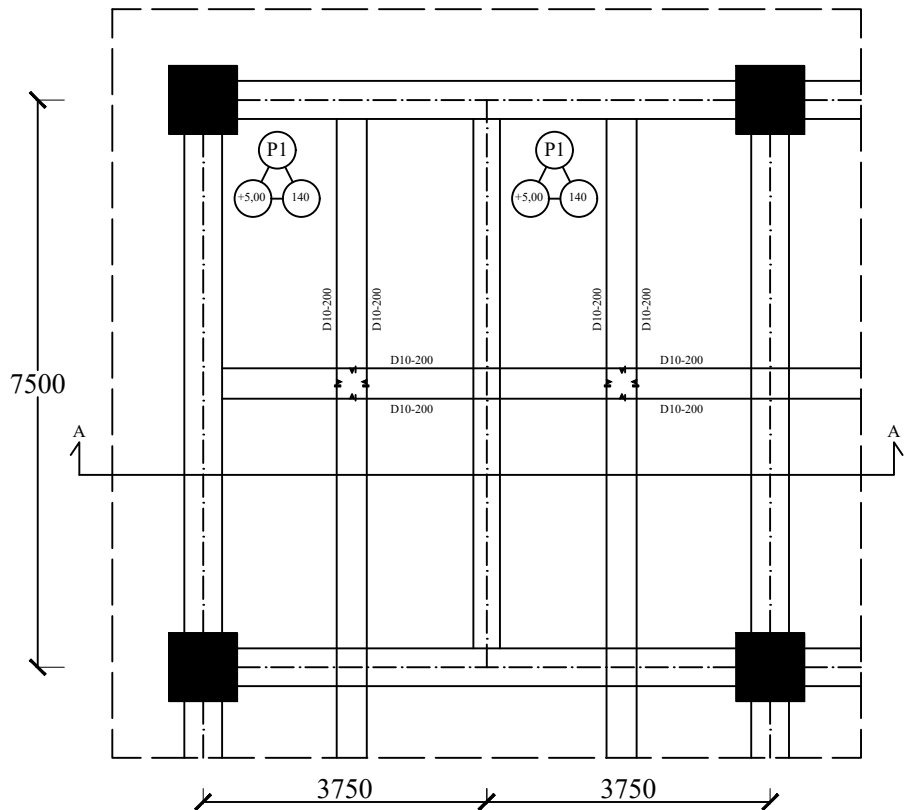
DEPARTEMEN TEKNIK SIPIL FTSPK INSTITUT TEKNOLOGI SEPULUH NOPEMBER SURABAYA 2020	JUDUL TUGAS AKHIR	DOSEN PEMBIMBING	MAHASISWA	JUDUL GAMBAR	NO / JUMLAH LEMBAR
	DESAIN MODIFIKASI STRUKTUR GEDUNG APARTEMEN ARUNDAYA MENGGUNAKAN SISTEM BALOK PRATEKAN PADA LANTAI 5 SEBAGAI BALLROOM DAN MENGGUNAKAN METODE BETON PRACETAK	Prof. Dr. Ir. Triwulan, DEA. Prof. Dr. Ir. I Gusti Putu Raka	Muhammad Ali Azmi (03111640000038)	DENAH PELAT LANTAI 1 - 5	27/47



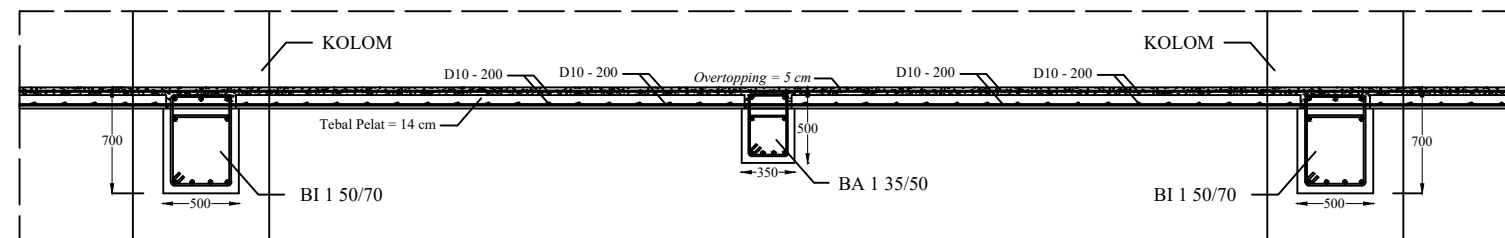
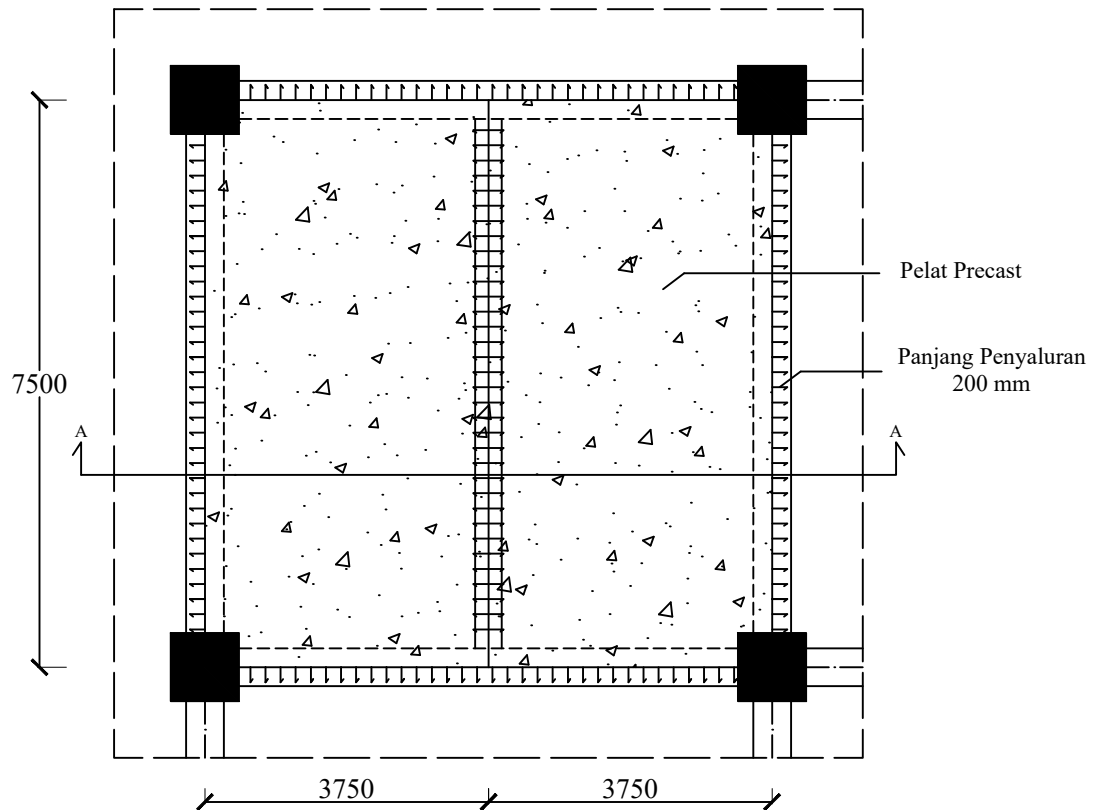
DENAH PELAT LANTAI 6 - 20

SKALA 1:300
Satuan gambar dalam mm

DEPARTEMEN TEKNIK SIPIL FTSPK INSTITUT TEKNOLOGI SEPULUH NOPEMBER SURABAYA 2020	JUDUL TUGAS AKHIR	DOSEN PEMBIMBING	MAHASISWA	JUDUL GAMBAR	NO / JUMLAH LEMBAR
	DESAIN MODIFIKASI STRUKTUR GEDUNG APARTEMEN ARUNDAYA MENGGUNAKAN SISTEM BALOK PRATEKAN PADA LANTAI 5 SEBAGAI BALLROOM DAN MENGGUNAKAN METODE BETON PRACETAK	Prof. Dr. Ir. Triwulan, DEA. Prof. Dr. Ir. I Gusti Putu Raka	Muhammad Ali Azmi (03111640000038)	DENAH PELAT LANTAI 6 - 20	28/47



DETAIL PENULANGAN PELAT
SKALA 1:100
Satuan gambar dalam mm



POTONGAN A - A
SKALA 1:50
Satuan gambar dalam mm



DEPARTEMEN TEKNIK SIPIL
FTSPK
INSTITUT TEKNOLOGI
SEPULUH NOPEMBER
SURABAYA
2020

JUDUL TUGAS AKHIR

DESAIN MODIFIKASI STRUKTUR GEDUNG
APARTEMEN ARUNDAYA MENGGUNAKAN
SISTEM BALOK PRATEKAN PADA LANTAI 5
SEBAGAI BALLROOM DAN MENGGUNAKAN
METODE BETON PRACETAK

DOSEN PEMBIMBING

Prof. Dr. Ir. Triwulan, DEA.
Prof. Dr. Ir. I Gusti Putu Raka

MAHASISWA

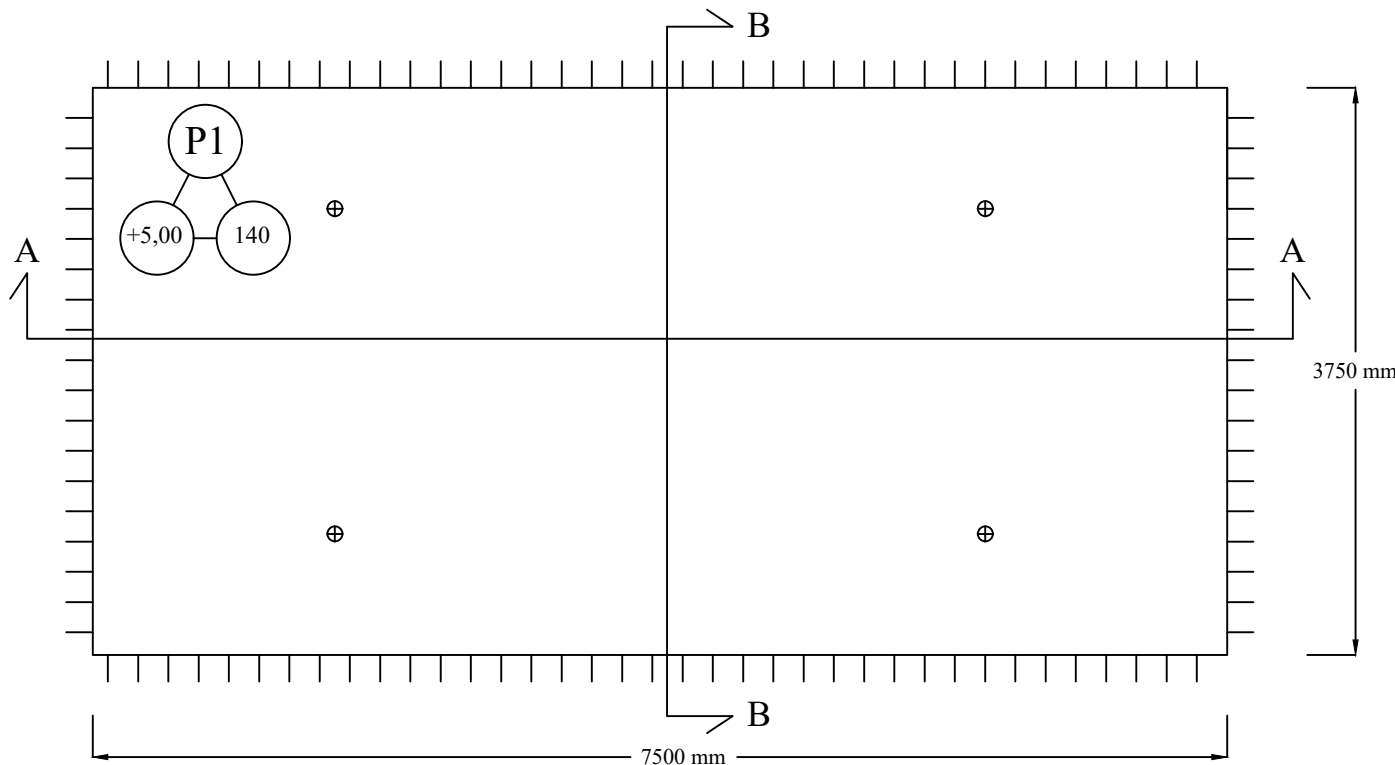
Muhammad Ali Azmi
(03111640000038)

JUDUL GAMBAR

DETAIL PENULANGAN PELAT

29/47

NO / JUMLAH LEMBAR	JUDUL GAMBAR	MAHASISWA	DOSEN PEMBIMBING	JUDUL TUGAS AKHIR	DEPARTEMEN TEKNIK SIPIL
29/47	DETAIL PENULANGAN PELAT	Muhammad Ali Azmi (03111640000038)	Prof. Dr. Ir. Triwulan, DEA. Prof. Dr. Ir. I Gusti Putu Raka	DESAIN MODIFIKASI STRUKTUR GEDUNG APARTEMEN ARUNDAYA MENGGUNAKAN SISTEM BALOK PRATEKAN PADA LANTAI 5 SEBAGAI BALLROOM DAN MENGGUNAKAN METODE BETON PRACETAK	DEPARTEMEN TEKNIK SIPIL FTSPK INSTITUT TEKNOLOGI SEPULUH NOPEMBER SURABAYA 2020



PELAT	PANJANG PENYALURAN	
	ARAH X	ARAH Y
P1	200 mm	200 mm
P2	200 mm	200 mm
P3	200 mm	200 mm
P4	200 mm	200 mm
P5	200 mm	200 mm
P6	200 mm	200 mm
P7	200 mm	200 mm
P8	200 mm	200 mm
P9	200 mm	200 mm
P10	200 mm	200 mm
P11	200 mm	200 mm
P12	200 mm	200 mm

DETAIL PANJANG PENYALURAN PELAT
SKALA 1:50
Satuan gambar dalam mm



POTONGAN A - A
SKALA 1:50
Satuan gambar dalam mm

POTONGAN B - B
SKALA 1:50
Satuan gambar dalam mm



DEPARTEMEN TEKNIK SIPIL
FTSPK
INSTITUT TEKNOLOGI
SEPULUH NOPEMBER
SURABAYA
2020

JUDUL TUGAS AKHIR

DESAIN MODIFIKASI STRUKTUR GEDUNG
APARTEMEN ARUNDAYA MENGGUNAKAN
SISTEM BALOK PRATEKAN PADA LANTAI 5
SEBAGAI BALLROOM DAN MENGGUNAKAN
METODE BETON PRACETAK

DOSEN PEMBIMBING

Prof. Dr. Ir. Triwulan, DEA.
Prof. Dr. Ir. I Gusti Putu Raka

MAHASISWA

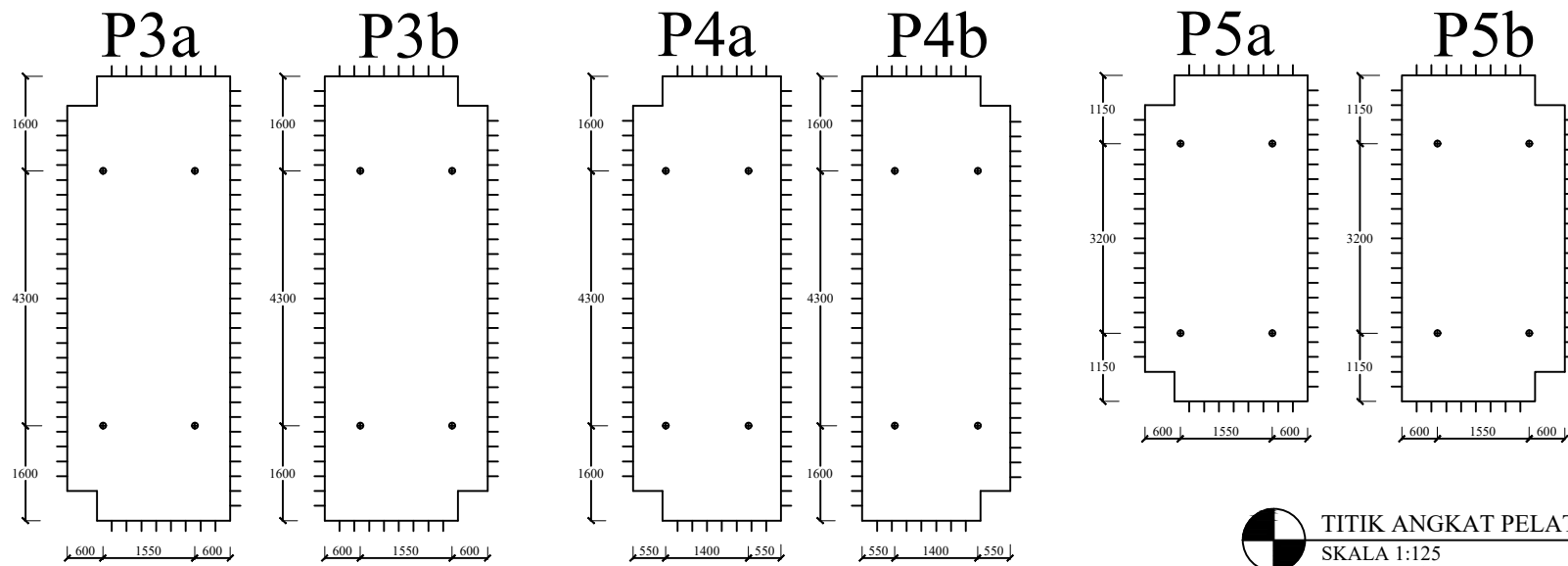
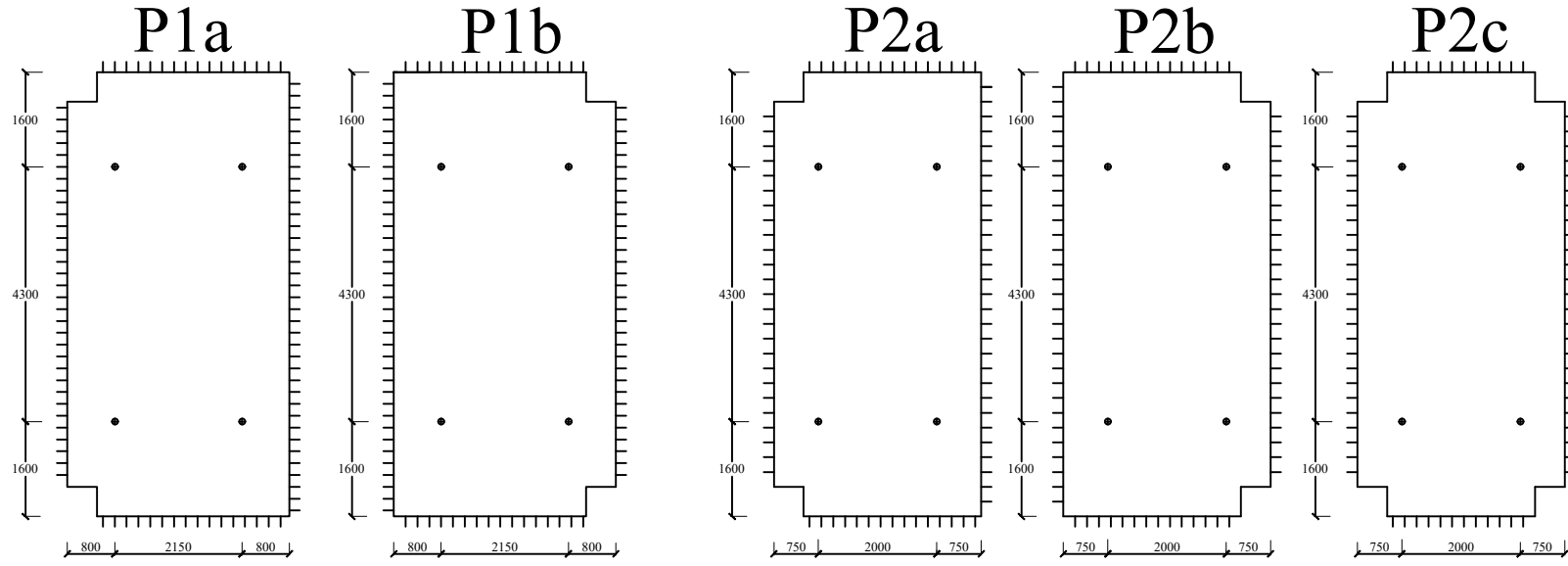
Muhammad Ali Azmi
(0311164000038)

JUDUL GAMBAR

DETAIL PANJANG
PENYALURAN PELAT

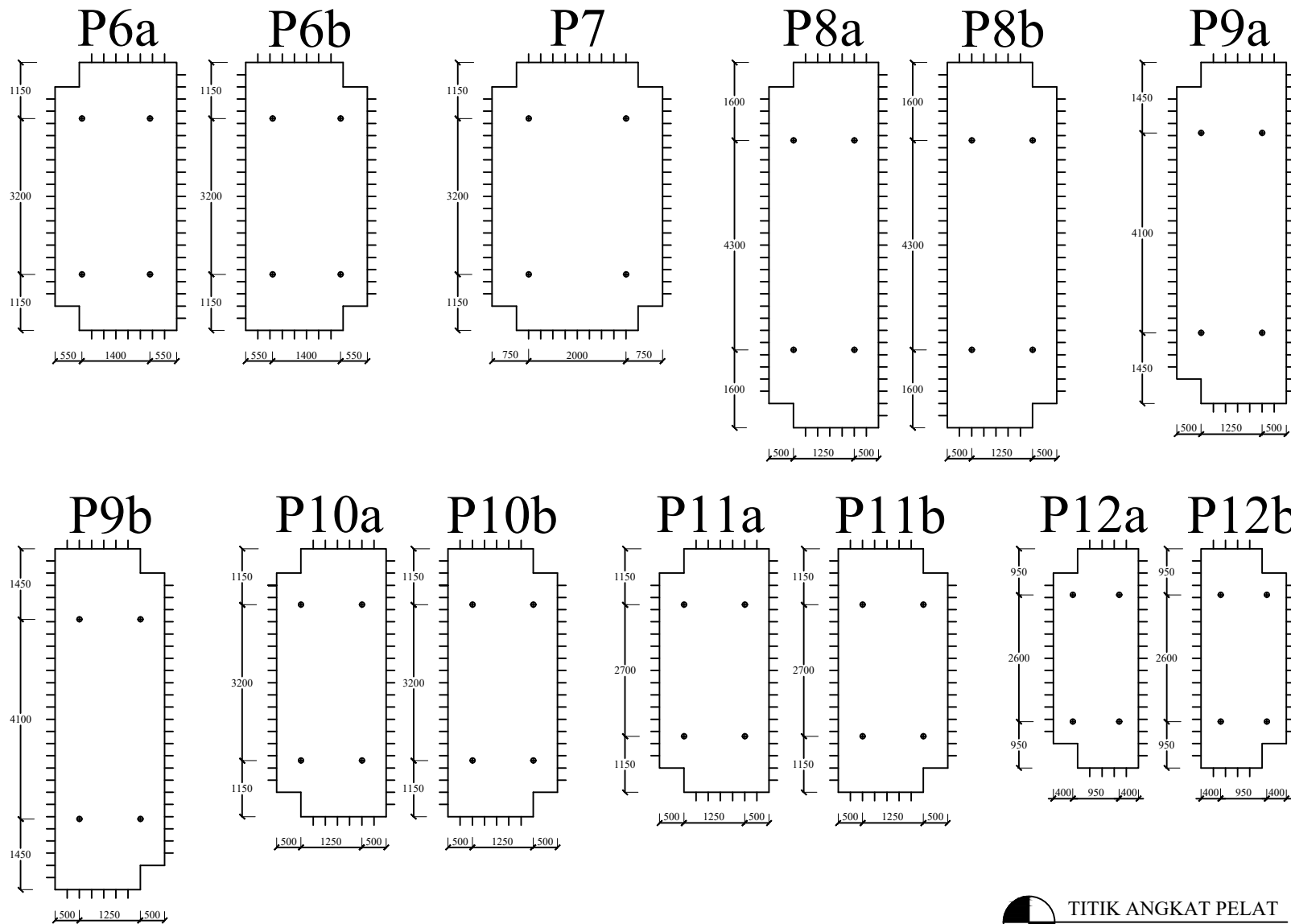
NO / JUMLAH LEMBAR

30/47



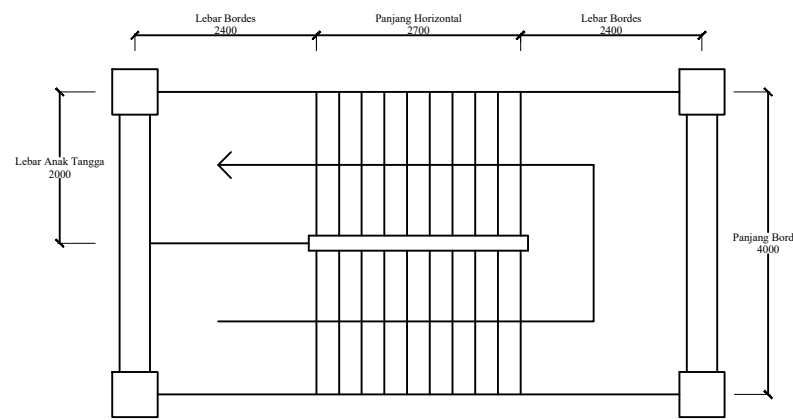
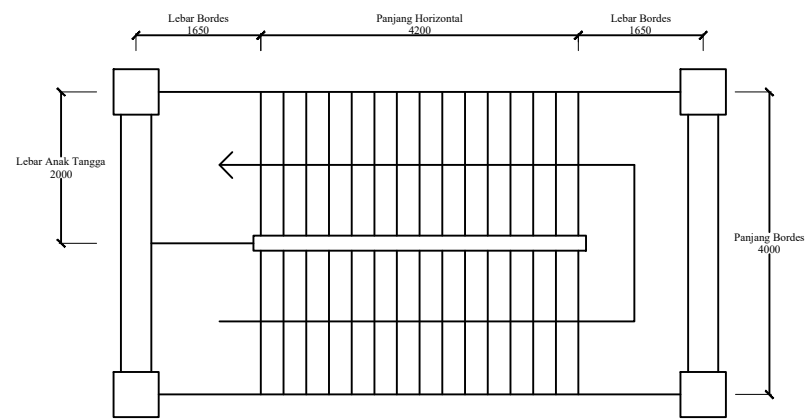
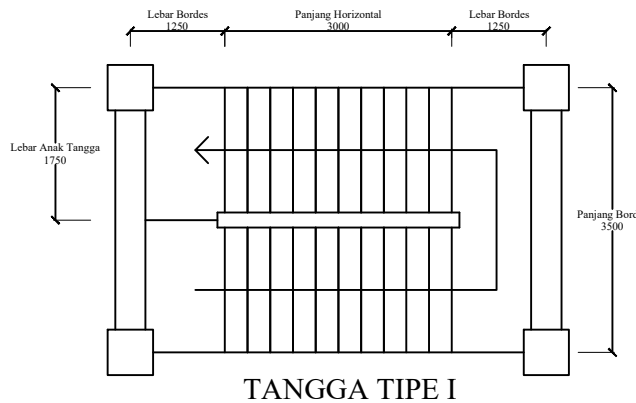
TITIK ANGKAT PELAT
SKALA 1:125
Satuan gambar dalam mm

DEPARTEMEN TEKNIK SIPIL FTSPK INSTITUT TEKNOLOGI SEPULUH NOPEMBER SURABAYA 2020	JUDUL TUGAS AKHIR DESAIN MODIFIKASI STRUKTUR GEDUNG APARTEMEN ARUNDAYA MENGGUNAKAN SISTEM BALOK PRATEKAN PADA LANTAI 5 SEBAGAI BALLROOM DAN MENGGUNAKAN METODE BETON PRACETAK	DOSEN PEMBIMBING Prof. Dr. Ir. Triwulan, DEA. Prof. Dr. Ir. I Gusti Putu Raka	MAHASISWA Muhammad Ali Azmi (03111640000038)	JUDUL GAMBAR TITIK ANGKAT PELAT	NO / JUMLAH LEMBAR 31/47
--	--	---	--	--	---------------------------------



TITIK ANGKAT PELAT
SKALA 1:125
Satuan gambar dalam mm

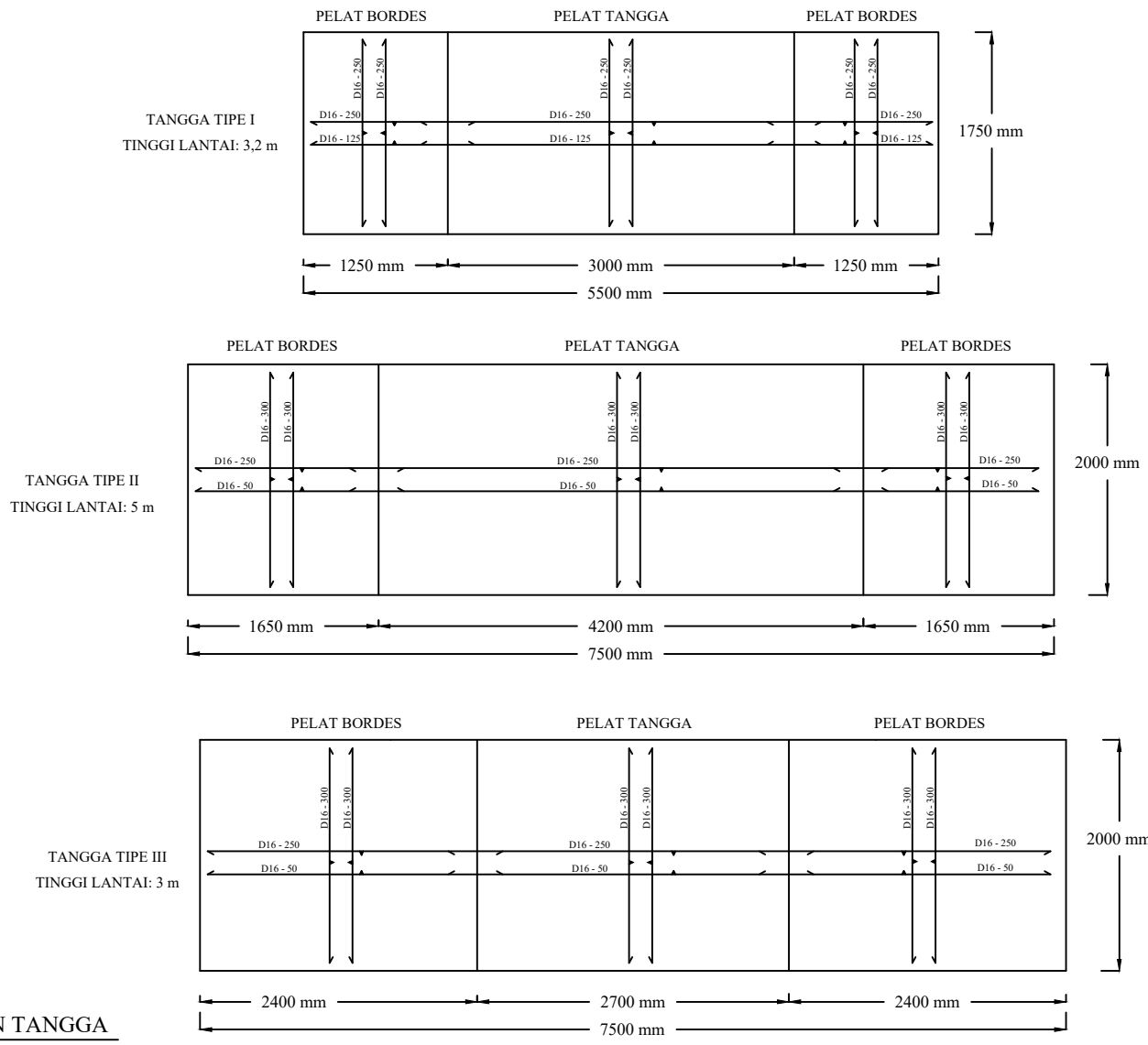
DEPARTEMEN TEKNIK SIPIL FTSPK INSTITUT TEKNOLOGI SEPULUH NOPEMBER SURABAYA 2020	JUDUL TUGAS AKHIR	DOSEN PEMBIMBING	MAHASISWA	JUDUL GAMBAR	NO / JUMLAH LEMBAR
	DESAIN MODIFIKASI STRUKTUR GEDUNG APARTEMEN ARUNDAYA MENGGUNAKAN SISTEM BALOK PRATEKAN PADA LANTAI 5 SEBAGAI BALLROOM DAN MENGGUNAKAN METODE BETON PRACETAK	Prof. Dr. Ir. Triwulan, DEA. Prof. Dr. Ir. I Gusti Putu Raka	Muhammad Ali Azmi (03111640000038)	TITIK ANGKAT PELAT	32/47



DENAH TANGGA

SKALA 1:100
Satuan gambar dalam mm

DEPARTEMEN TEKNIK SIPIL FTSPK INSTITUT TEKNOLOGI SEPULUH NOPEMBER SURABAYA 2020	JUDUL TUGAS AKHIR	DOSEN PEMBIMBING	MAHASISWA	JUDUL GAMBAR	NO / JUMLAH LEMBAR
	DESAIN MODIFIKASI STRUKTUR GEDUNG APARTEMEN ARUNDAYA MENGGUNAKAN SISTEM BALOK PRATEKAN PADA LANTAI 5 SEBAGAI BALLROOM DAN MENGGUNAKAN METODE BETON PRACETAK	Prof. Dr. Ir. Triwulan, DEA. Prof. Dr. Ir. I Gusti Putu Raka	Muhammad Ali Azmi (03111640000038)	DENAH TANGGA TIPE I, II, III	33/47



DENAH PENULANGAN TANGGA
SKALA 1:60
Satuan gambar dalam mm



DEPARTEMEN TEKNIK SIPIL
FTSPK
INSTITUT TEKNOLOGI
SEPULUH NOPEMBER
SURABAYA
2020

JUDUL TUGAS AKHIR

DESAIN MODIFIKASI STRUKTUR GEDUNG
APARTEMEN ARUNDAYA MENGGUNAKAN
SISTEM BALOK PRATEKAN PADA LANTAI 5
SEBAGAI BALLROOM DAN MENGGUNAKAN
METODE BETON PRACETAK

DOSEN PEMBIMBING

Prof. Dr. Ir. Triwulan, DEA.
Prof. Dr. Ir. I Gusti Putu Raka

MAHASISWA

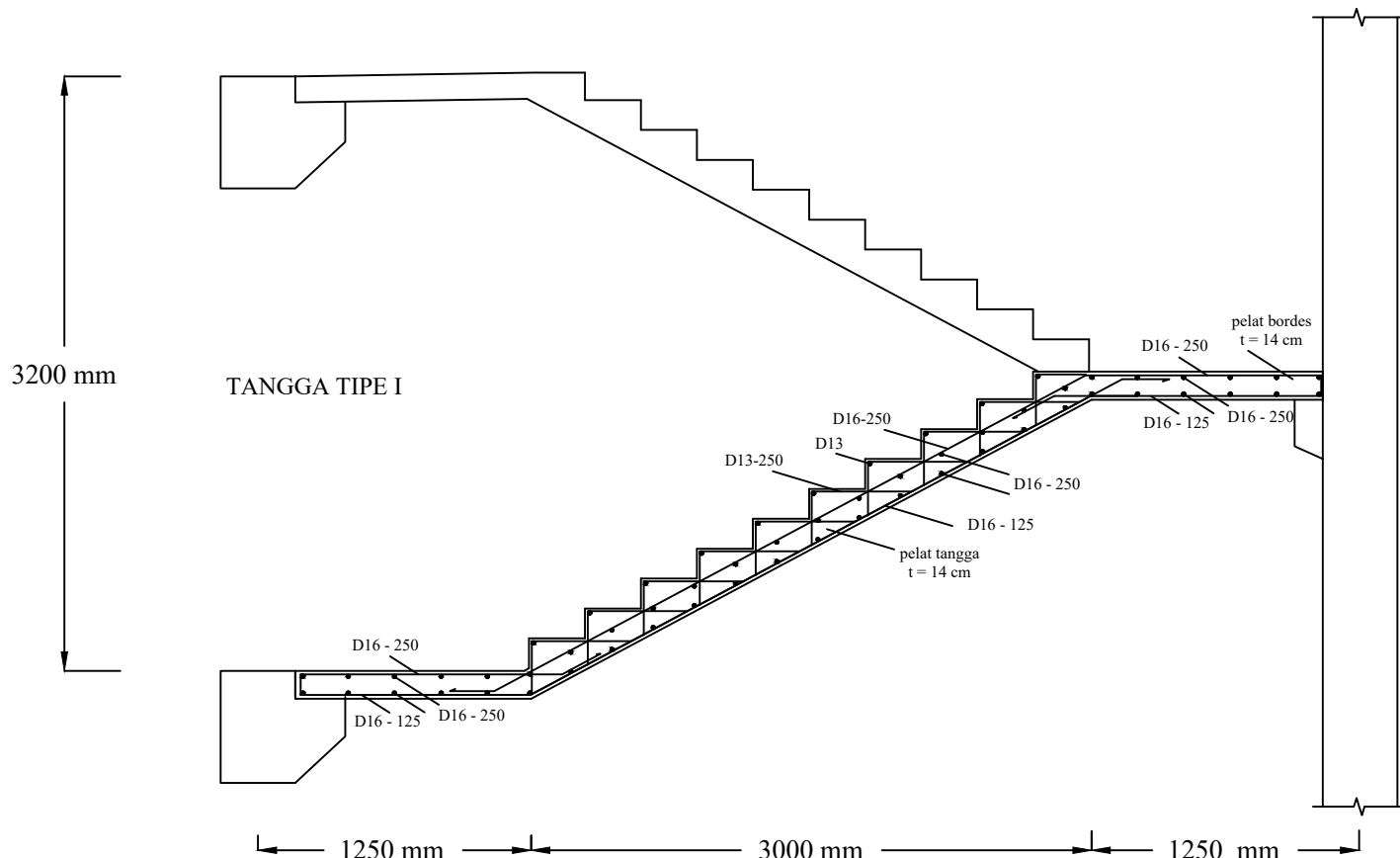
Muhammad Ali Azmi
(03111640000038)

JUDUL GAMBAR

PENULANGAN TANGGA
TIPE I, II, III

NO / JUMLAH LEMBAR

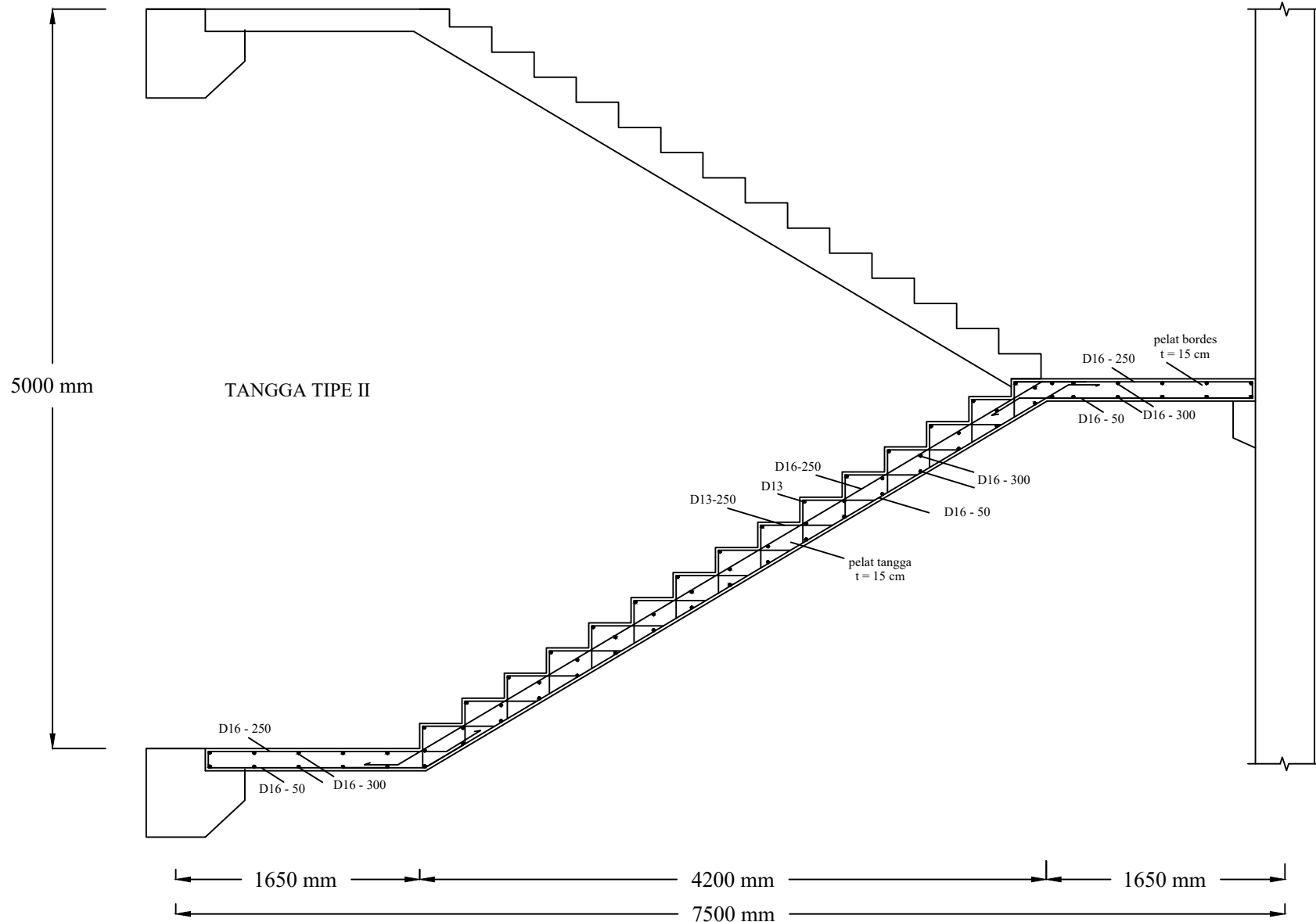
34/47



DETAIL PENULANGAN TANGGA TIPE I

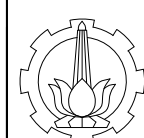
SKALA 1:40
Satuan gambar dalam mm

DEPARTEMEN TEKNIK SIPIL FTSPK INSTITUT TEKNOLOGI SEPULUH NOPEMBER SURABAYA 2020	JUDUL TUGAS AKHIR	DOSEN PEMBIMBING	MAHASISWA	JUDUL GAMBAR	NO / JUMLAH LEMBAR
	DESAIN MODIFIKASI STRUKTUR GEDUNG APARTEMEN ARUNDAYA MENGGUNAKAN SISTEM BALOK PRATEKAN PADA LANTAI 5 SEBAGAI BALLROOM DAN MENGGUNAKAN METODE BETON PRACETAK	Prof. Dr. Ir. Triwulan, DEA. Prof. Dr. Ir. I Gusti Putu Raka	Muhammad Ali Azmi (0311164000038)	DETAIL PENULANGAN TANGGA TIPE I	35/47



DETAIL PENULANGAN TANGGA TIPE II

SKALA 1:40
Satuan gambar dalam mm



DEPARTEMEN TEKNIK SIPIL
FTSPK
INSTITUT TEKNOLOGI
SEPULUH NOPEMBER
SURABAYA
2020

JUDUL TUGAS AKHIR

DESAIN MODIFIKASI STRUKTUR GEDUNG APARTEMEN ARUNDAYA MENGGUNAKAN SISTEM BALOK PRATEKAN PADA LANTAI 5 SEBAGAI BALLROOM DAN MENGGUNAKAN METODE BETON PRACETAK

DOSEN PEMBIMBING

Prof. Dr. Ir. Triwulan, DEA.
Prof. Dr. Ir. I Gusti Putu Raka

MAHASISWA

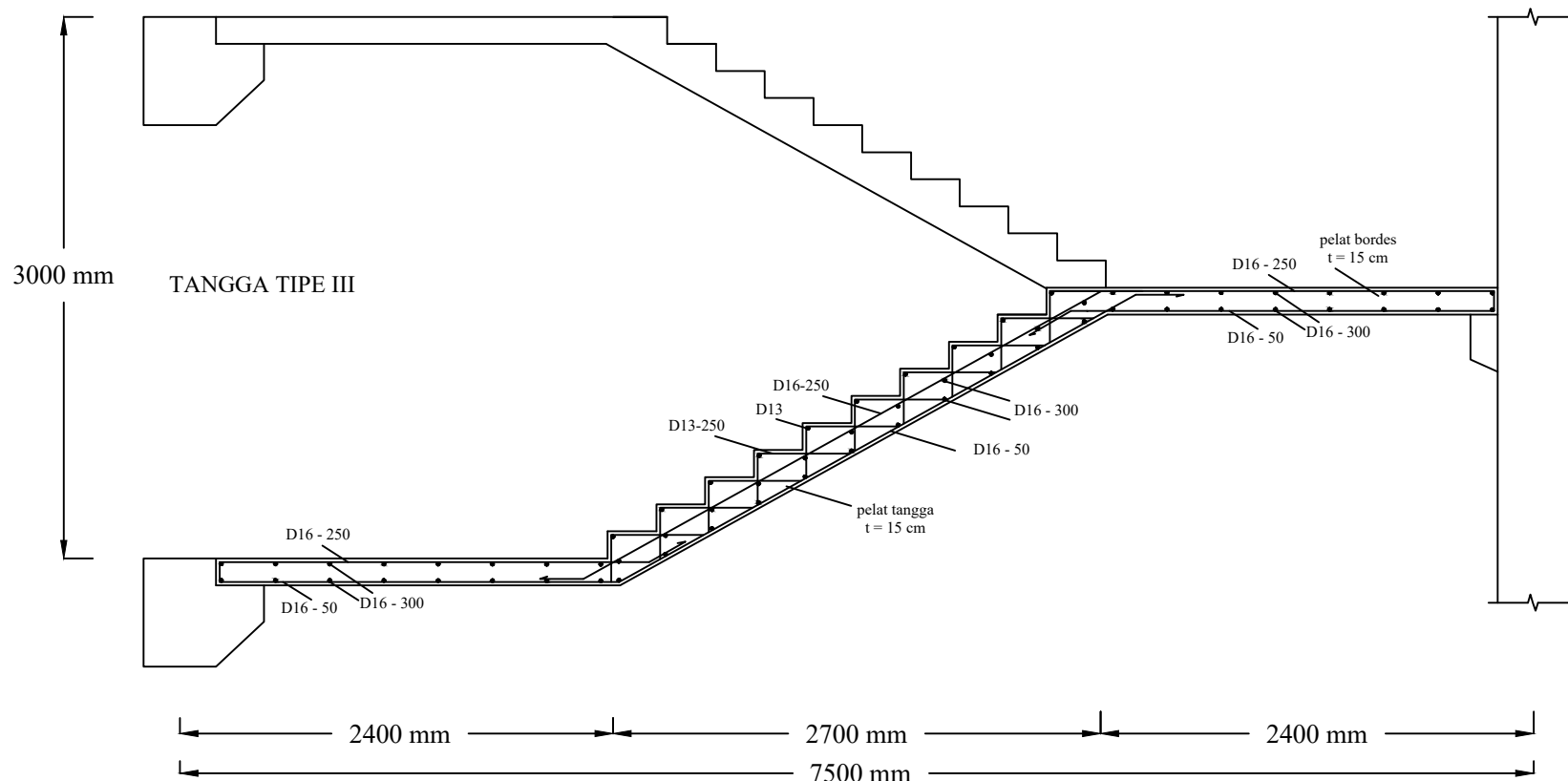
Muhammad Ali Azmi
(0311164000038)

JUDUL GAMBAR

DETAIL PENULANGAN
TANGGA TIPE II

NO / JUMLAH LEMBAR

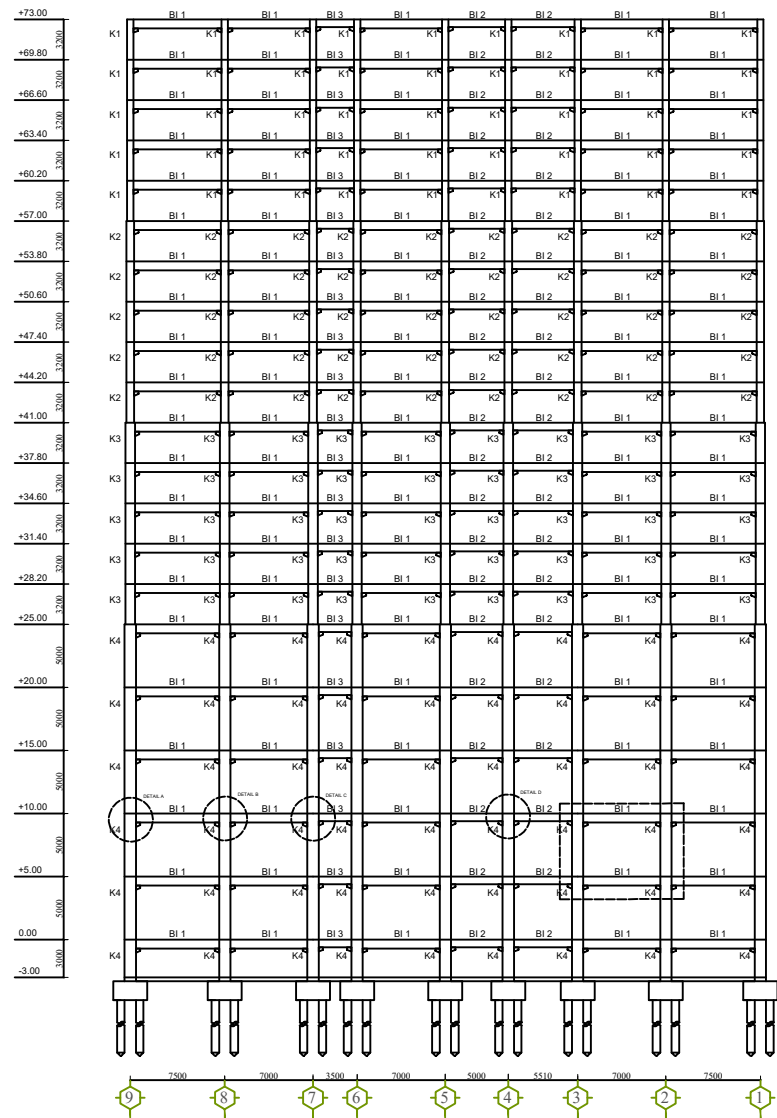
36/47



DETAIL PENULANGAN TANGGA TIPE III

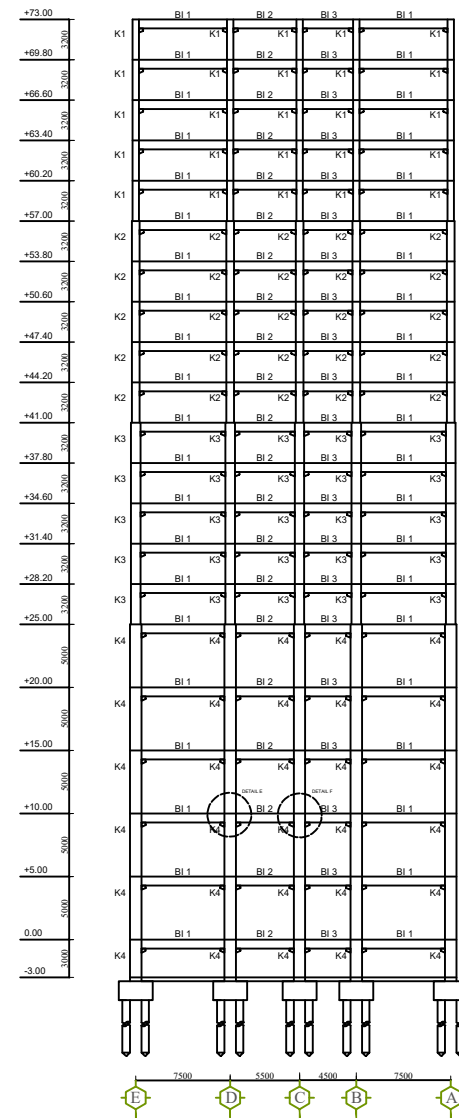
SKALA 1:40
Satuan gambar dalam mm

DEPARTEMEN TEKNIK SIPIL FTSPK INSTITUT TEKNOLOGI SEPULUH NOPEMBER SURABAYA 2020	JUDUL TUGAS AKHIR	DOSEN PEMBIMBING	MAHASISWA	JUDUL GAMBAR	NO / JUMLAH LEMBAR
	DESAIN MODIFIKASI STRUKTUR GEDUNG APARTEMEN ARUNDAYA MENGGUNAKAN SISTEM BALOK PRATEKAN PADA LANTAI 5 SEBAGAI BALLROOM DAN MENGGUNAKAN METODE BETON PRACETAK	Prof. Dr. Ir. Triwulan, DEA. Prof. Dr. Ir. I Gusti Putu Raka	Muhammad Ali Azmi (0311164000038)	DETAIL PENULANGAN TANGGA TIPE III	37/47



 SKALA 1:600
Satuan gambar dalam mm

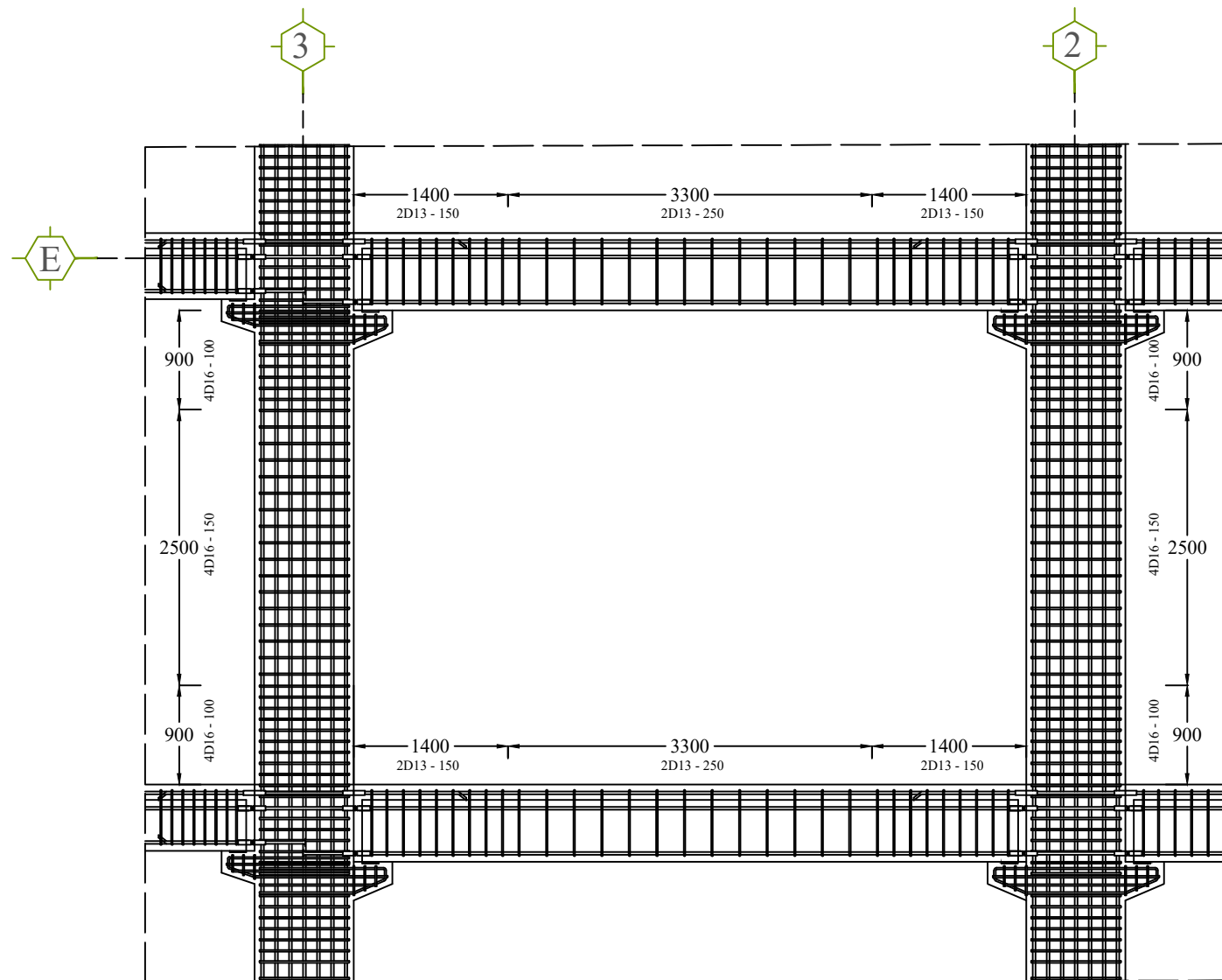
SKALA 1:600
Satuan gambar dalam m





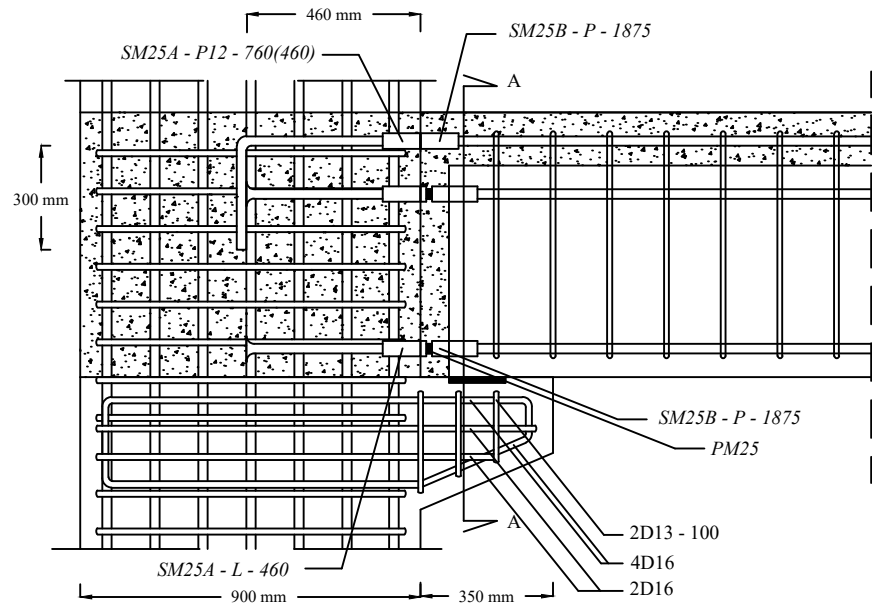
POTONGAN MELINTANG
SKALA 1:600
Satuan gambar dalam mm

DEPARTEMEN TEKNIK SIPIL FTSPK INSTITUT TEKNOLOGI SEPULUH NOPEMBER SURABAYA 2020	JUDUL TUGAS AKHIR	DOSEN PEMBIMBING	MAHASISWA	JUDUL GAMBAR	NO / JUMLAH LEMBAR
	DESAIN MODIFIKASI STRUKTUR GEDUNG APARTEMEN ARUNDAYA MENGGUNAKAN SISTEM BALOK PRATEKAN PADA LANTAI 5 SEBAGAI <i>BALLROOM</i> DAN MENGGUNAKAN METODE BETON PRACETAK	Prof. Dr. Ir. Triwulan, DEA. Prof. Dr. Ir. I Gusti Putu Raka	Muhammad Ali Azmi (0311164000038)	POTONGAN MEMANJANG DAN MELINTANG	38/47



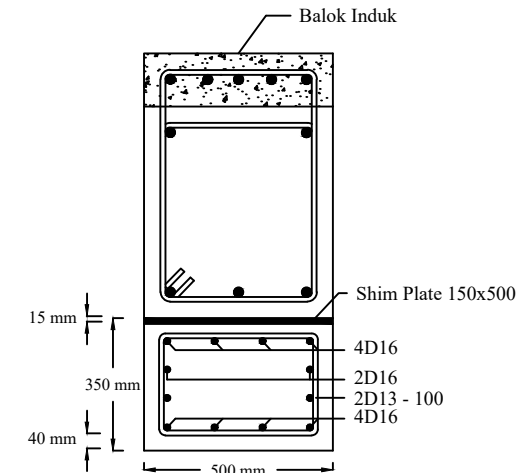
DETAIL POTONGAN MEMANJANG
SKALA 1:60
Satuan gambar dalam mm

DEPARTEMEN TEKNIK SIPIL FTSPK INSTITUT TEKNOLOGI SEPULUH NOPEMBER SURABAYA 2020	JUDUL TUGAS AKHIR DESAIN MODIFIKASI STRUKTUR GEDUNG APARTEMEN ARUNDAYA MENGGUNAKAN SISTEM BALOK PRATEKAN PADA LANTAI 5 SEBAGAI BALLROOM DAN MENGGUNAKAN METODE BETON PRACETAK	DOSEN PEMBIMBING Prof. Dr. Ir. Triwulan, DEA. Prof. Dr. Ir. I Gusti Putu Raka	MAHASISWA Muhammad Ali Azmi (03111640000038)	JUDUL GAMBAR DETAIL POTONGAN MEMANJANG	NO / JUMLAH LEMBAR 39/47
--	--	---	--	--	---------------------------------



DETAIL SAMBUNGAN SINGLE SIDED K4 - BI 1 (DETAIL A)

SKALA 1:20
Satuan gambar dalam mm



POTONGAN A - A

SKALA 1:20
Satuan gambar dalam mm



DEPARTEMEN TEKNIK SIPIL
FTSPK
INSTITUT TEKNOLOGI
SEPULUH NOPEMBER
SURABAYA
2020

JUDUL TUGAS AKHIR

DESAIN MODIFIKASI STRUKTUR GEDUNG
APARTEMEN ARUNDAYA MENGGUNAKAN
SISTEM BALOK PRATEKAN PADA LANTAI 5
SEBAGAI BALLROOM DAN MENGGUNAKAN
METODE BETON PRACETAK

DOSEN PEMBIMBING

Prof. Dr. Ir. Triwulan, DEA.
Prof. Dr. Ir. I Gusti Putu Raka

MAHASISWA

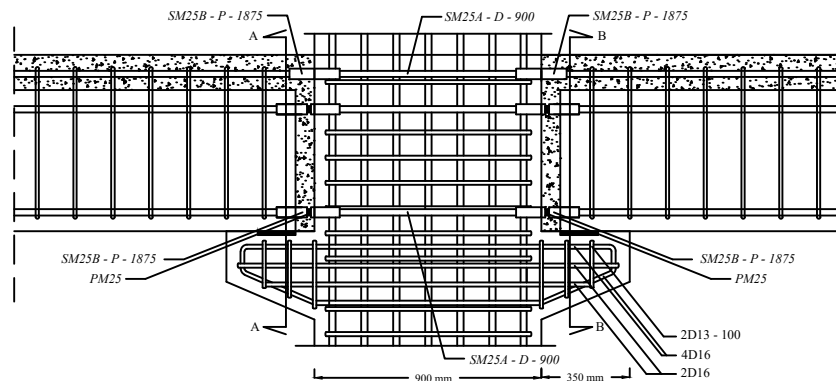
Muhammad Ali Azmi
(03111640000038)

JUDUL GAMBAR

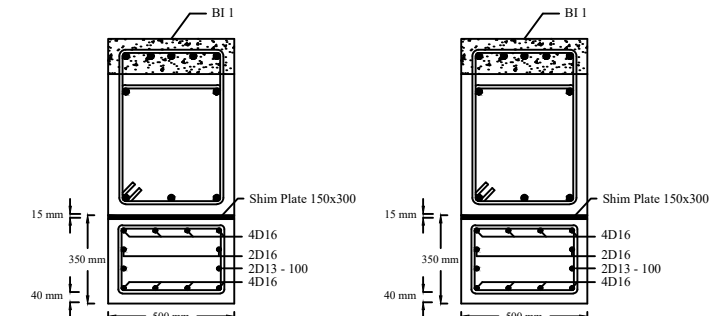
DETAIL SAMBUNGAN
KOLOM - BALOK INDUK

NO / JUMLAH LEMBAR

40/47

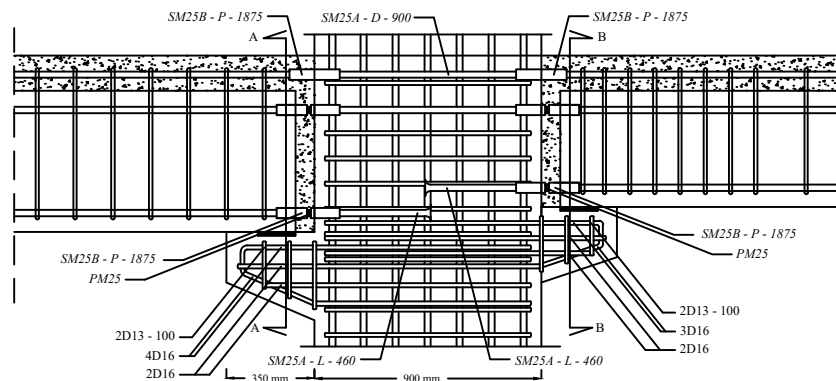


DETAIL SAMBUNGAN DOUBLE SIDED BI 1 - K4 - BI 1 (DETAIL B)
SKALA 1:30
Satuan gambar dalam mm

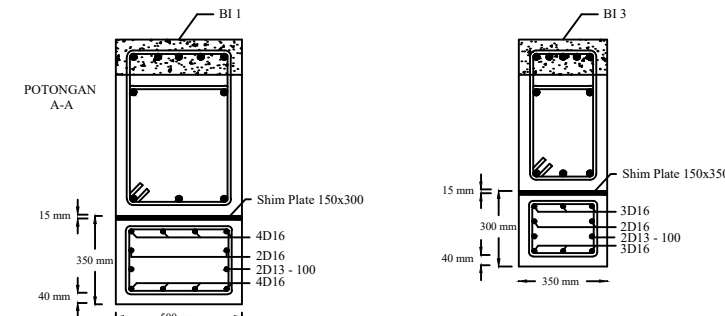


POTONGAN A - A
SKALA 1:30
Satuan gambar dalam mm

POTONGAN B - B
SKALA 1:30
Satuan gambar dalam mm



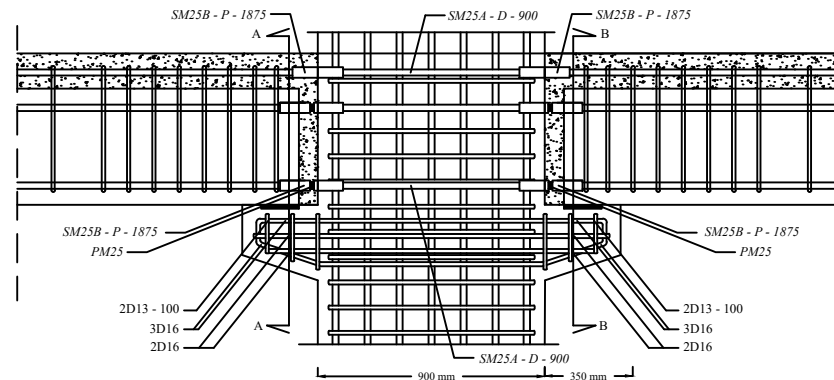
DETAIL SAMBUNGAN DOUBLE SIDED BI 1 - K4 - BI 3 (DETAIL C)
SKALA 1:30
Satuan gambar dalam mm



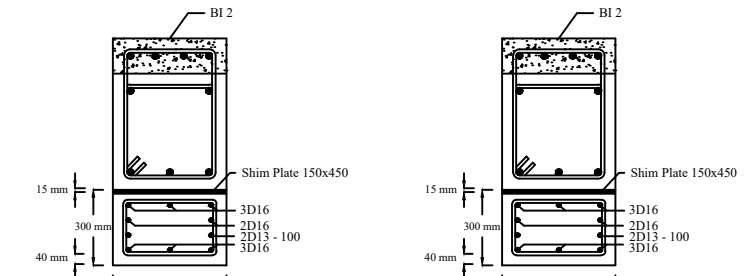
POTONGAN A - A
SKALA 1:30
Satuan gambar dalam mm

POTONGAN B - B
SKALA 1:30
Satuan gambar dalam mm

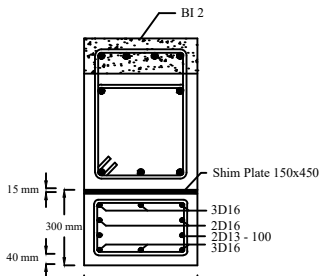
DEPARTEMEN TEKNIK SIPIL FTSPK INSTITUT TEKNOLOGI SEPULUH NOPEMBER SURABAYA 2020	JUDUL TUGAS AKHIR	DOSEN PEMBIMBING	MAHASISWA	JUDUL GAMBAR	NO / JUMLAH LEMBAR
	DESAIN MODIFIKASI STRUKTUR GEDUNG APARTEMEN ARUNDAYA MENGGUNAKAN SISTEM BALOK PRATEKAN PADA LANTAI 5 SEBAGAI BALLROOM DAN MENGGUNAKAN METODE BETON PRACETAK	Prof. Dr. Ir. Triwulan, DEA. Prof. Dr. Ir. I Gusti Putu Raka	Muhammad Ali Azmi (03111640000038)	DETAIL SAMBUNGAN KOLOM - BALOK INDUK	41/47



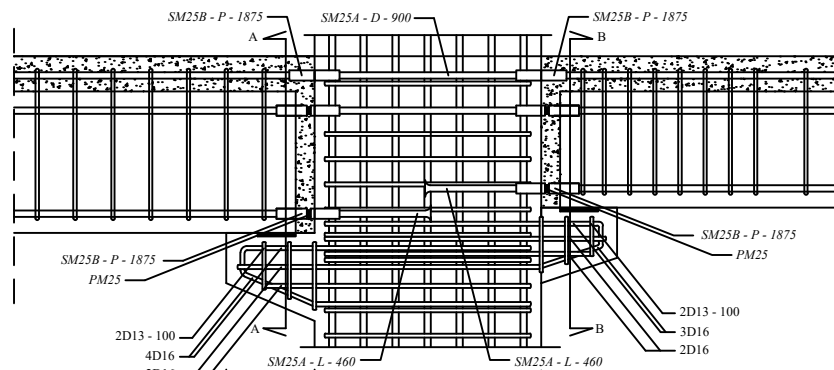
DETAIL SAMBUNGAN DOUBLE SIDED BI 2 - K4 - BI 2 (DETAIL D)
SKALA 1:30
Satuan gambar dalam mm



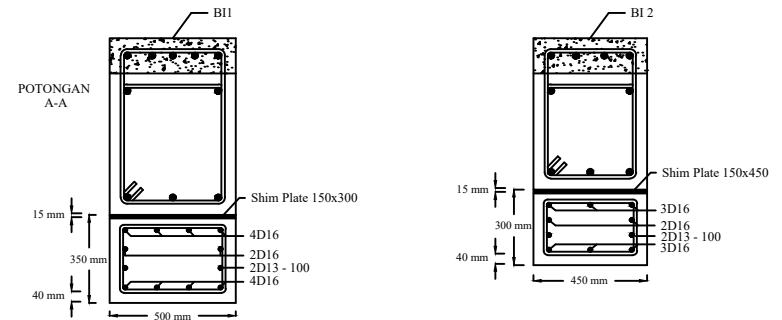
POTONGAN A - A
SKALA 1:30
Satuan gambar dalam mm



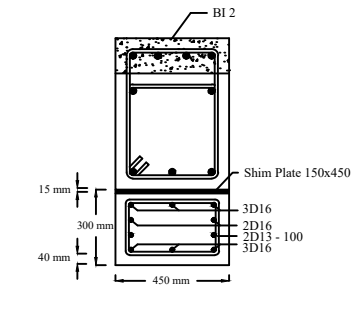
POTONGAN B - B
SKALA 1:30
Satuan gambar dalam mm



DETAIL SAMBUNGAN DOUBLE SIDED BI 1 - K4 - BI 2 (DETAIL E)
SKALA 1:30
Satuan gambar dalam mm

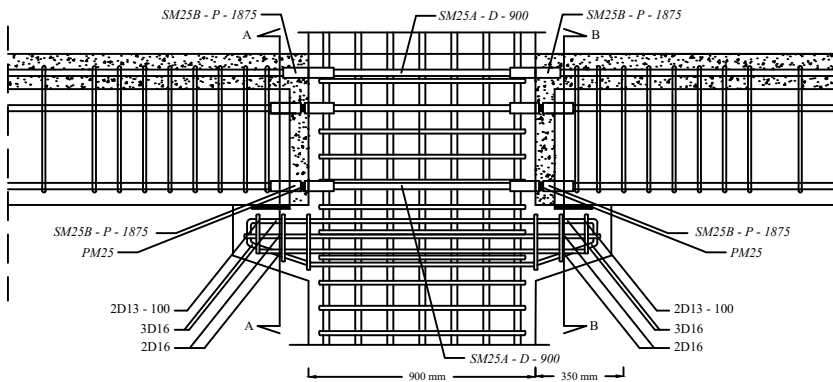


POTONGAN A - A
SKALA 1:30
Satuan gambar dalam mm

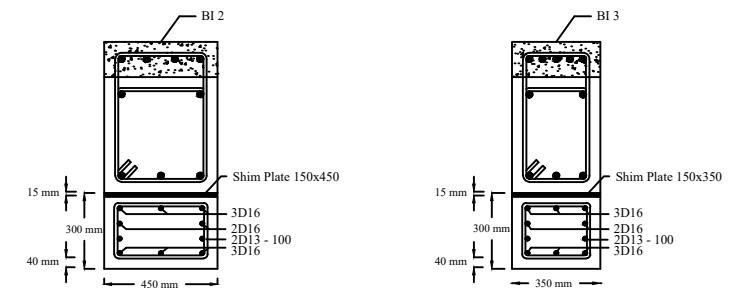


POTONGAN B - B
SKALA 1:30
Satuan gambar dalam mm



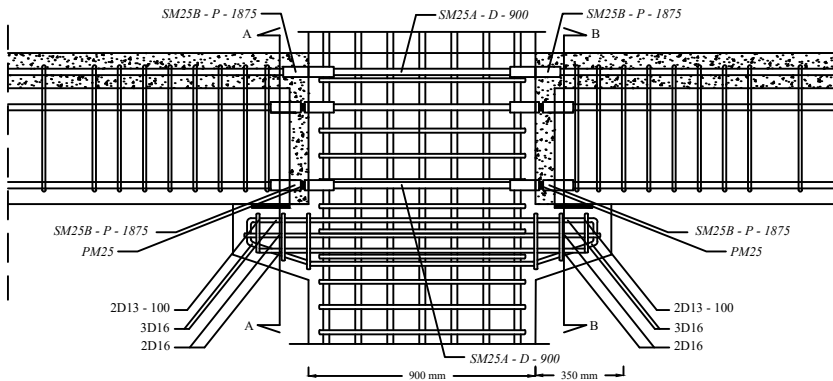


DETAIL SAMBUNGAN DOUBLE SIDED BI 2 - K4 - BI 3 (DETAIL F)
SKALA 1:30
Satuan gambar dalam mm

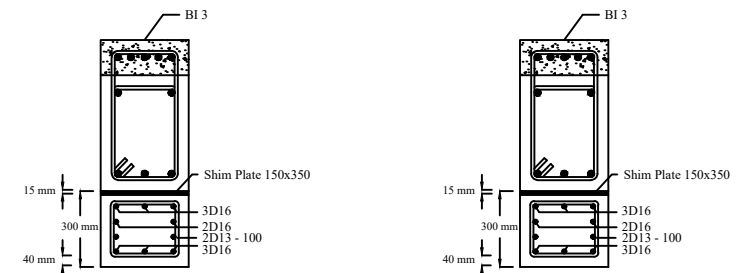


POTONGAN A - A
SKALA 1:30
Satuan gambar dalam mm

POTONGAN B - B
SKALA 1:30
Satuan gambar dalam mm



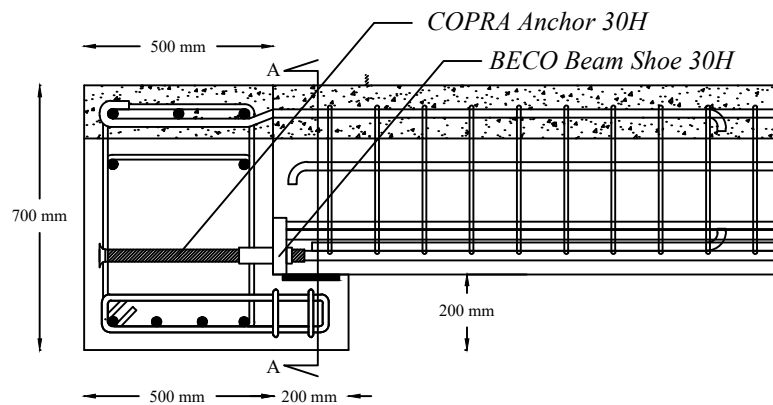
DETAIL SAMBUNGAN DOUBLE SIDED BI 3 - K4 - BI 3
SKALA 1:30
Satuan gambar dalam mm



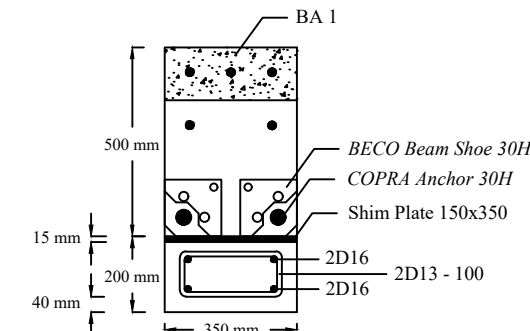
POTONGAN A - A
SKALA 1:30
Satuan gambar dalam mm

POTONGAN B - B
SKALA 1:30
Satuan gambar dalam mm

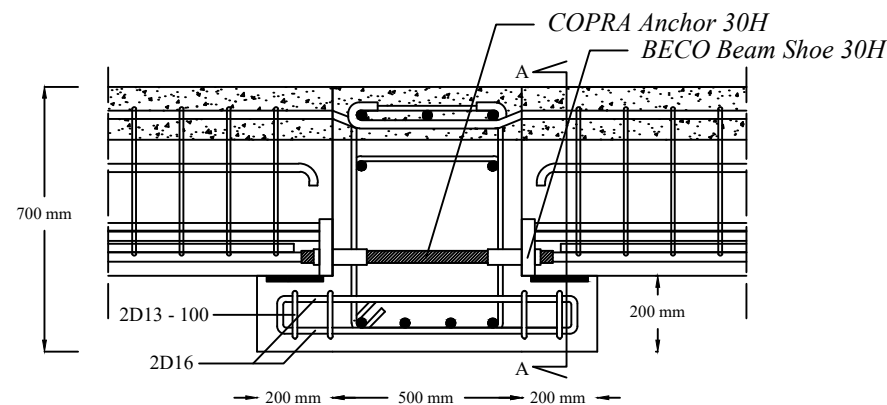
DEPARTEMEN TEKNIK SIPIL FTSPK INSTITUT TEKNOLOGI SEPULUH NOPEMBER SURABAYA 2020	JUDUL TUGAS AKHIR	DOSEN PEMBIMBING	MAHASISWA	JUDUL GAMBAR	NO / JUMLAH LEMBAR
	DESAIN MODIFIKASI STRUKTUR GEDUNG APARTEMEN ARUNDAYA MENGGUNAKAN SISTEM BALOK PRATEKAN PADA LANTAI 5 SEBAGAI BALLROOM DAN MENGGUNAKAN METODE BETON PRACETAK	Prof. Dr. Ir. Triwulan, DEA. Prof. Dr. Ir. I Gusti Putu Raka	Muhammad Ali Azmi (03111640000038)	DETAIL SAMBUNGAN KOLOM - BALOK INDUK	43/47



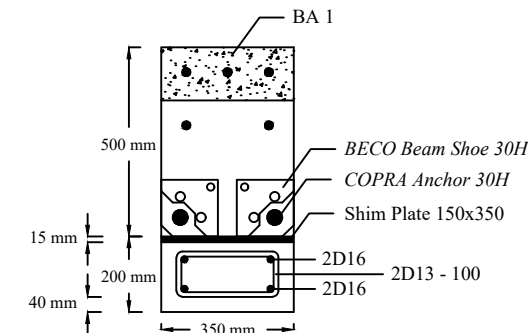
DETAIL SAMBUNGAN SINGLE SIDED B1 1 - BA 1
SKALA 1:20
Satuan gambar dalam mm



POTONGAN A - A
SKALA 1:20
Satuan gambar dalam mm

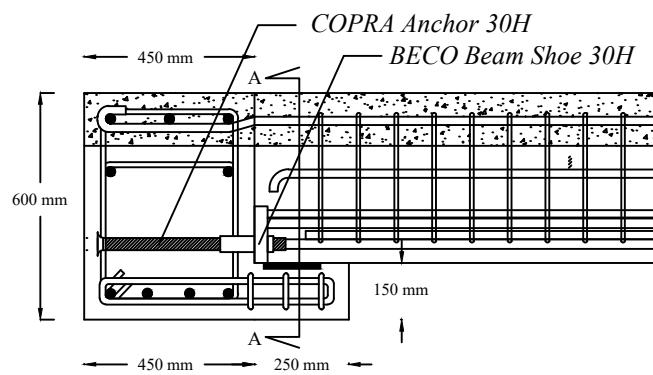


DETAIL SAMBUNGAN DOUBLE SIDED BA 1 - BI 1 - BA 1
SKALA 1:20
Satuan gambar dalam mm

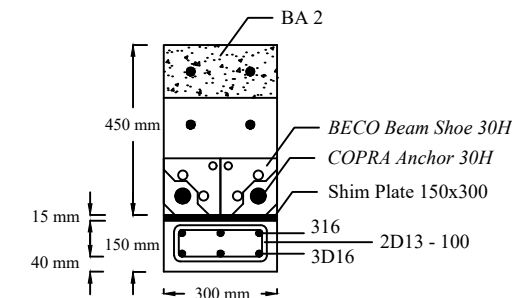


POTONGAN A - A
SKALA 1:20
Satuan gambar dalam mm

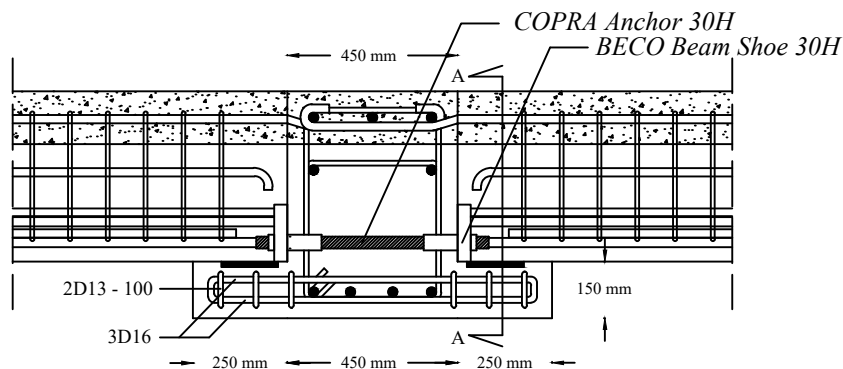
DEPARTEMEN TEKNIK SIPIL FTSPK INSTITUT TEKNOLOGI SEPULUH NOPEMBER SURABAYA 2020	JUDUL TUGAS AKHIR	DOSEN PEMBIMBING	MAHASISWA	JUDUL GAMBAR	NO / JUMLAH LEMBAR
	DESAIN MODIFIKASI STRUKTUR GEDUNG APARTEMEN ARUNDAYA MENGGUNAKAN SISTEM BALOK PRATEKAN PADA LANTAI 5 SEBAGAI BALLROOM DAN MENGGUNAKAN METODE BETON PRACETAK	Prof. Dr. Ir. Triwulan, DEA. Prof. Dr. Ir. I Gusti Putu Raka	Muhammad Ali Azmi (03111640000038)	DETAIL SAMBUNGAN BALOK INDUK - BALOK ANAK	44/47



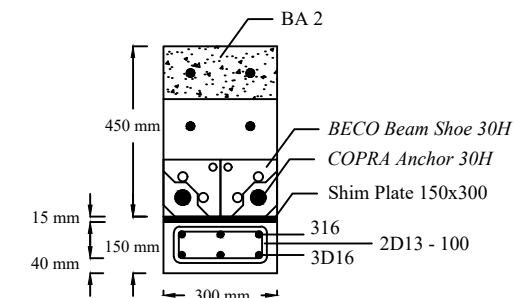
DETAIL SAMBUNGAN SINGLE SIDED B1 2 - BA 2
SKALA 1:20
Satuan gambar dalam mm



POTONGAN A - A
SKALA 1:20
Satuan gambar dalam mm

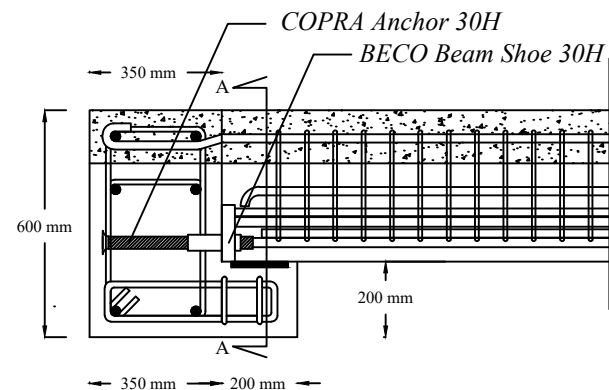


DETAIL SAMBUNGAN DOUBLE SIDED BA 2 - BI 2 - BA 2
SKALA 1:20
Satuan gambar dalam mm

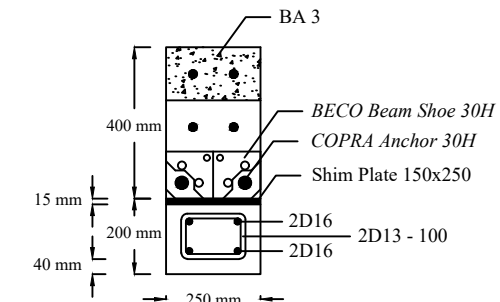


POTONGAN A - A
SKALA 1:20
Satuan gambar dalam mm

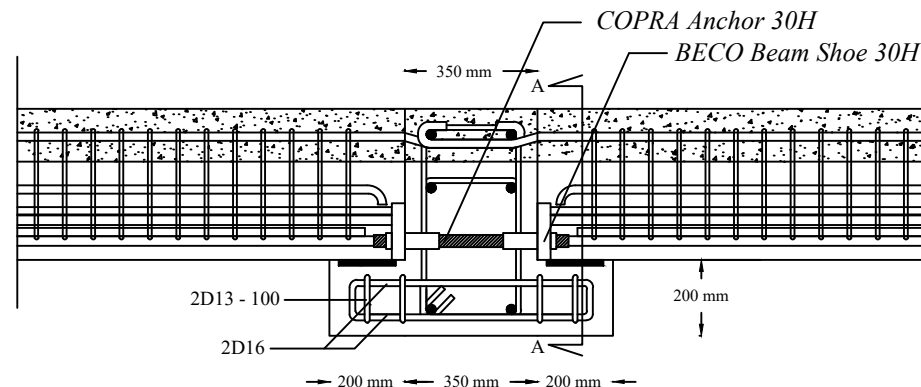
DEPARTEMEN TEKNIK SIPIL FTSPK INSTITUT TEKNOLOGI SEPULUH NOPEMBER SURABAYA 2020	JUDUL TUGAS AKHIR	DOSEN PEMBIMBING	MAHASISWA	JUDUL GAMBAR	NO / JUMLAH LEMBAR
	DESAIN MODIFIKASI STRUKTUR GEDUNG APARTEMEN ARUNDAYA MENGGUNAKAN SISTEM BALOK PRATEKAN PADA LANTAI 5 SEBAGAI BALLROOM DAN MENGGUNAKAN METODE BETON PRACETAK	Prof. Dr. Ir. Triwulan, DEA. Prof. Dr. Ir. I Gusti Putu Raka	Muhammad Ali Azmi (03111640000038)	DETAIL SAMBUNGAN BALOK INDUK - BALOK ANAK	45/47



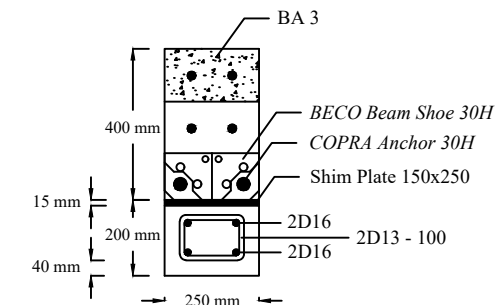
DETAIL SAMBUNGAN SINGLE SIDED B1 3 - BA 3
SKALA 1:20
Satuan gambar dalam mm



POTONGAN A - A
SKALA 1:20
Satuan gambar dalam mm

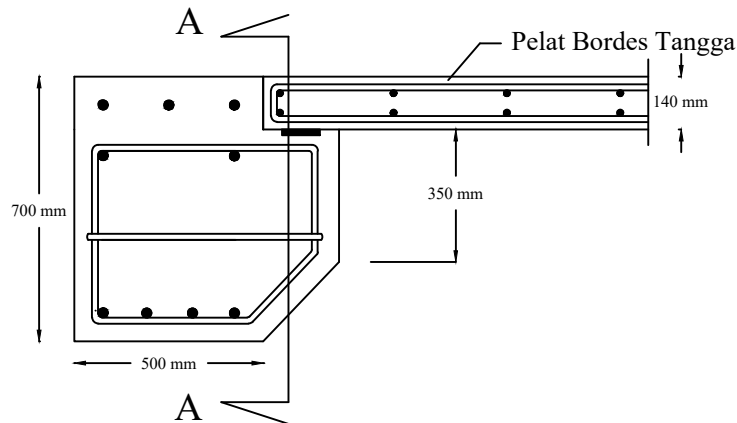


DETAIL SAMBUNGAN DOUBLE SIDED BA 3 - BI 3 - BA 3
SKALA 1:20
Satuan gambar dalam mm

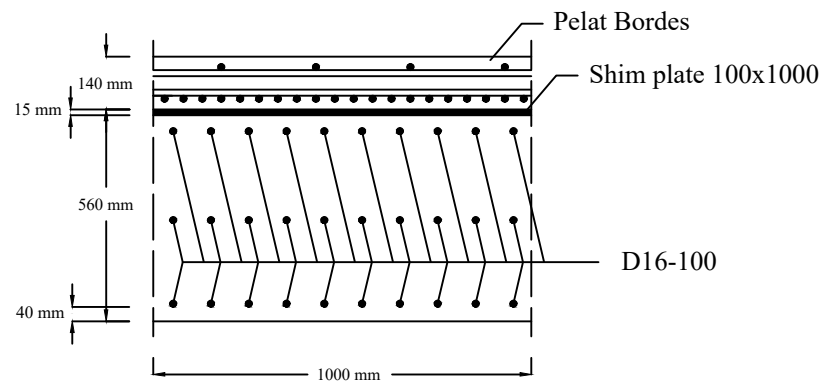


POTONGAN A - A
SKALA 1:20
Satuan gambar dalam mm

DEPARTEMEN TEKNIK SIPIL FTSPK INSTITUT TEKNOLOGI SEPULUH NOPEMBER SURABAYA 2020	JUDUL TUGAS AKHIR	DOSEN PEMBIMBING	MAHASISWA	JUDUL GAMBAR	NO / JUMLAH LEMBAR
	DESAIN MODIFIKASI STRUKTUR GEDUNG APARTEMEN ARUNDAYA MENGGUNAKAN SISTEM BALOK PRATEKAN PADA LANTAI 5 SEBAGAI BALLROOM DAN MENGGUNAKAN METODE BETON PRACETAK	Prof. Dr. Ir. Triwulan, DEA. Prof. Dr. Ir. I Gusti Putu Raka	Muhammad Ali Azmi (03111640000038)	DETAIL SAMBUNGAN BALOK INDUK - BALOK ANAK	46/47



DETAIL SAMBUNGAN TANGGA - BALOK INDUK
SKALA 1:20
Satuan gambar dalam mm



POTONGAN A - A
SKALA 1:20
Satuan gambar dalam mm

DEPARTEMEN TEKNIK SIPIL FTSPK INSTITUT TEKNOLOGI SEPULUH NOPEMBER SURABAYA 2020	JUDUL TUGAS AKHIR DESAIN MODIFIKASI STRUKTUR GEDUNG APARTEMEN ARUNDAYA MENGGUNAKAN SISTEM BALOK PRATEKAN PADA LANTAI 5 SEBAGAI BALLROOM DAN MENGGUNAKAN METODE BETON PRACETAK	DOSEN PEMBIMBING Prof. Dr. Ir. Triwulan, DEA. Prof. Dr. Ir. I Gusti Putu Raka	MAHASISWA Muhammad Ali Azmi (03111640000038)	JUDUL GAMBAR DETAIL SAMBUNGAN TANGGA - BALOK INDUK	NO / JUMLAH LEMBAR 47/47
--	--	---	--	--	---------------------------------

BIODATA PENULIS



Penulis memiliki nama lengkap Muhammad Ali Azmi, lahir di Samarinda, pada tanggal 3 September 1998. Penulis merupakan anak kedua dari empat bersaudara pasangan Martono, S.E., dan Endah Kurnianingsih, A.Md. Penulis telah menempuh pendidikan formal di SDN Selat Hilir III Kapuas, SMP Kharisma Bangsa, dan SMAN 1 Depok. Kemudian penulis melanjutkan pendidikan di Institut Teknologi Sepuluh Nopember Departemen Teknik Sipil (FTSPK-ITS) Surabaya melalui Program Sarjana. Di Departemen Teknik Sipil, penulis mengambil tugas akhir di bidang Struktur dan terdaftar dengan NRP 03111640000038.

Dalam kehidupan kampusnya, penulis aktif dalam organisasi kemahasiswaan. Penulis menjadi pengurus Himpunan Mahasiswa Sipil sebagai staff Departemen Pengembangan Sumber Daya Mahasiswa pada tahun 2017-2018. Serta diamanahkan untuk menjadi Ketua Himpunan Mahasiswa Sipil pada tahun 2018-2019. Di waktu senggangnya penulis juga senang menghabiskan waktu untuk berolahraga.

Narahubung:

Email : muhammadali.azmi@gmail.com